



**Vlaanderen**  
is wetenschap



# Trends op basis van de Algemene Broedvogelmonitoring Vlaanderen (ABV)

Technisch achtergrondrapport voor de periode 2007-2020

Thierry Onkelinx, Glenn Vermeersch, Koen Devos

INSTITUUT  
NATUUR- EN BOSONDERZOEK

**Auteurs:**

Thierry Onkelinx, Glenn Vermeersch, Koen Devos

**Reviewers:**

Hans Van Calster

Het INBO is het onafhankelijk onderzoeksinstituut van de Vlaamse overheid dat via toegepast wetenschappelijk onderzoek, data- en kennisontsluiting het biodiversiteitsbeleid en -beheer onderbouwt en evalueert.

**Vestiging:**

INBO Brussel

VAC Brussel - Herman Teirlinck, Havenlaan 88 bus 73, 1000 Brussel

<https://www.vlaanderen.be/inbo>

**e-mail:**

[thierry.onkelinx@inbo.be](mailto:thierry.onkelinx@inbo.be)

**Wijze van citeren:**

Onkelinx, T. et al. (2021). Trends op basis van de Algemene Broedvogelmonitoring Vlaanderen (ABV). Technisch achtergrondrapport voor de periode 2007-2020. Rapporten van het Instituut voor Natuur- en Bosonderzoek 2021 (14). Instituut voor Natuur- en Bosonderzoek, Brussel. DOI: <https://doi.org/10.21436/inbor.34162521>

**D/2021/3241/106**

**Rapporten van het Instituut voor Natuur- en Bosonderzoek 2021 (14)**

**ISSN: 1782-9054**

**Verantwoordelijke uitgever:**

Maurice Hoffmann

**Foto cover:**

Merel (*Turdus merula*). © Yves Adams / Vildaphoto.

**Dit onderzoek werd uitgevoerd in samenwerking met:**

Natuurpunt Studie vzw

Coxiestraat 11, 2800 Mechelen

<https://www.natuurpunt.be>



Dit werk valt onder een [Creative Commons Naamsvermelding-GelijkDelen 4.0 Internationaal-licentie](https://creativecommons.org/licenses/by-nc-sa/4.0/).

**TRENDS OP BASIS VAN DE  
ALGEMENEBROEDVOGELMONITORING  
VLAANDEREN (ABV)**

**Technisch achtergrondrapport voor de periode  
2007-2020**

Thierry Onkelinx, Glenn Vermeersch, Koen Devos

<https://doi.org/10.21436/inbor.34162521>

## Inhoudsopgave

Inhoudsopgave . . . . .	4
1 Inleiding . . . . .	5
<b>I Methodologie . . . . .</b>	<b>6</b>
2 Inzameling van de tellingen in het veld . . . . .	7
2.1 Steekproef . . . . .	7
2.2 Steekproefeenheid . . . . .	8
2.3 Tellingen . . . . .	9
3 Verwerking van de gegevens . . . . .	10
3.1 Selectie van relevante gegevens per soort . . . . .	10
3.2 Trendberekening . . . . .	12
3.2.1 Niet-lineaire trends . . . . .	12
3.2.2 Statistische verdelingen . . . . .	12
3.2.3 Lineaire trends . . . . .	13
3.2.4 Resultaten per driejarige cyclus . . . . .	13
3.2.5 Modellen fitten . . . . .	14
3.3 Gemiddeld aantal dieren per meetpunt . . . . .	14
3.4 Vergelijken van jaren . . . . .	15
3.5 Gewicht van de strata . . . . .	15
3.6 Samengestelde indices . . . . .	16
4 Voorstelling van de gegevens . . . . .	17
4.1 Onzekerheid . . . . .	17
4.2 Opdeling van de effecten in een aantal klassen . . . . .	17
4.3 Overzicht van de lineaire trends . . . . .	19
4.4 Evolutie van gemiddelde aantallen per soort . . . . .	19
4.5 Paarsgewijze vergelijking van jaren . . . . .	19
5 Reproduceerbaarheid en traceerbaarheid van de gegevensverwerking . . . . .	21
5.1 Versiebeheer . . . . .	21
5.2 Reproduceerbaarheid . . . . .	21
5.3 Traceerbaarheid . . . . .	21
5.4 Downloadbaar cijfermateriaal . . . . .	22
<b>II Indicatoren . . . . .</b>	<b>23</b>
6 Bos . . . . .	24
7 Generalist . . . . .	26
8 Landbouw . . . . .	28
9 NARA2020 . . . . .	30
10 Standvogel . . . . .	33
11 SubSaharaMigrant . . . . .	35



12	Watervogel . . . . .	37
<b>III</b>	<b>Resultaten per soort . . . . .</b>	<b>39</b>
13	Overzicht van de trends . . . . .	40
14	Aalscholver . . . . .	45
15	Bergeend . . . . .	48
16	Blauwborst . . . . .	51
17	Blauwe reiger . . . . .	54
18	Boerenzwaluw . . . . .	57
19	Bonte vliegenvanger . . . . .	60
20	Boomklever . . . . .	64
21	Boomkruiper . . . . .	67
22	Boomleeuwerik . . . . .	70
23	Boompieper . . . . .	73
24	Bosrietzanger . . . . .	76
25	Bruine kiekendief . . . . .	79
26	Buizerd . . . . .	82
27	Canadese gans . . . . .	85
28	Cetti's zanger . . . . .	88
29	Dodaars . . . . .	91
30	Ekster . . . . .	94
31	Fazant . . . . .	97
32	Fitis . . . . .	100
33	Fuut . . . . .	103
34	Gaai . . . . .	106
35	Geelgors . . . . .	109
36	Gekraagde roodstaart . . . . .	112
37	Gele kwikstaart . . . . .	116
38	Gierzwaluw . . . . .	119
39	Glanskop . . . . .	122
40	Goudhaan . . . . .	125
41	Grasmus . . . . .	128
42	Graspieper . . . . .	131
43	Grauwe gans . . . . .	134
44	Groene specht . . . . .	137
45	Groenling . . . . .	140
46	Grote bonte specht . . . . .	143
47	Grote lijster . . . . .	147
48	Grutto . . . . .	150
49	Halsbandparkiet . . . . .	153
50	Havik . . . . .	156
51	Heggenmus . . . . .	159



52	Holenduif . . . . .	162
53	Houtduif . . . . .	165
54	Huismus . . . . .	168
55	Huiszwaluw . . . . .	171
56	Kauw . . . . .	174
57	Kievit . . . . .	177
58	Kleine karekiet . . . . .	180
59	Kleine mantelmeeuw . . . . .	183
60	Kneu . . . . .	187
61	Knobbelzwaan . . . . .	190
62	Koekoek . . . . .	193
63	Kokmeeuw . . . . .	196
64	Koolmees . . . . .	199
65	Krakeend . . . . .	202
66	Kuifeend . . . . .	205
67	Kuifmees . . . . .	208
68	Matkop . . . . .	211
69	Meerkoet . . . . .	214
70	Merel . . . . .	217
71	Nachtegaal . . . . .	220
72	Nijlgans . . . . .	223
73	Patrijs . . . . .	226
74	Pimpelmees . . . . .	229
75	Putter . . . . .	232
76	Rietgors . . . . .	235
77	Rietzanger . . . . .	238
78	Ringmus . . . . .	241
79	Roek . . . . .	244
80	Roodborst . . . . .	247
81	Roodborsttapuit . . . . .	250
82	Scholekster . . . . .	253
83	Sperwer . . . . .	256
84	Spotvogel . . . . .	259
85	Spreeuw . . . . .	262
86	Sprinkhaanzanger . . . . .	265
87	Staartmees . . . . .	268
88	Stadsduif . . . . .	271
89	Tjiftjaf . . . . .	274
90	Torenvalk . . . . .	277
91	Tuinfluiter . . . . .	280
92	Turkse tortel . . . . .	283



93	Veldleeuwerik . . . . .	286
94	Vink . . . . .	289
95	Waterhoen . . . . .	292
96	Wielewaal . . . . .	295
97	Wilde eend . . . . .	298
98	Winterkoning . . . . .	301
99	Witte kwikstaart . . . . .	304
100	Wulp . . . . .	307
101	Zanglijster . . . . .	310
102	Zilvermeeuw . . . . .	313
103	Zwarte kraai . . . . .	316
104	Zwarte mees . . . . .	319
105	Zwarte roodstaart . . . . .	322
106	Zwarte specht . . . . .	326
107	Zwartkop . . . . .	329
	Referenties . . . . .	332



# 1 INLEIDING

Dit rapport publiceert de meest recente analyses op basis van het telwerk voor het project 'Algemene Broedvogelmonitoring Vlaanderen' of kortweg ABV. Dit project is een gezamenlijk initiatief van het Instituut voor Natuur- en Bosonderzoek (INBO) en Natuurpunt Studie in samenwerking met de lokale vogelwerkgroepen. De samenwerking tussen deze organisaties staat garant voor een goede ondersteuning van en communicatie naar het vrijwilligersnetwerk door Natuurpunt Studie, en een degelijke professionele wetenschappelijke ondersteuning en dataverwerking door het INBO.

Het project werd opgestart in 2007 en heeft als doelstelling het beschrijven van aantalsontwikkelingen van een set van ca. 80 algemene broedvogelsoorten in Vlaanderen. Zowel jaarlijkse fluctuaties als meerjarige trends zijn daarbij interessante resultaten in functie van lokaal, regionaal en/of internationaal beleid.

Dit rapport is bedoeld als een technisch achtergrondrapport. Het bestaat uit drie delen: het eerste deel beschrijft de methodiek van de verwerking en de weergave van de resultaten; het tweede deel geeft een aantal indicatoren gebaseerd op trends van meerdere soorten; het derde deel beschrijft de tijdreeks van individuele soorten. We beperken ons in delen twee en drie tot een droge, gestandaardiseerde weergave van de cijfers zonder ecologische interpretatie. Voor een ecologische interpretatie van de resultaten verwijzen we naar andere publicaties zoals [INBO Vogelnieuws](#).



# Deel I

## METHODOLOGIE

## 2 INZAMELING VAN DE TELLINGEN IN HET VELD

Hier beschrijven we beknopt het veldwerk, voor de details verwijzen we naar [Vermeersch et al. \(2018b\)](#).

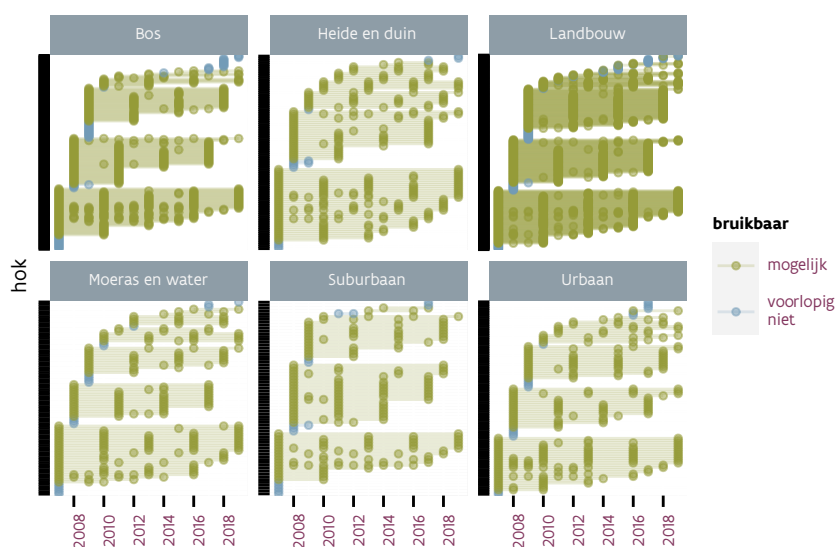
### 2.1 STEEKPROEF

De UTM 1x1 hokken vormen de basis waaruit de steekproef getrokken is. Bij de start van het meetnet hebben we de hokken opgedeeld in een aantal strata. De regels zijn gebaseerd op het oppervlaktaandeel van een bepaald landgebruik op basis van de Biologische Waarderingkaart ([Vriens et al., 2011](#)).

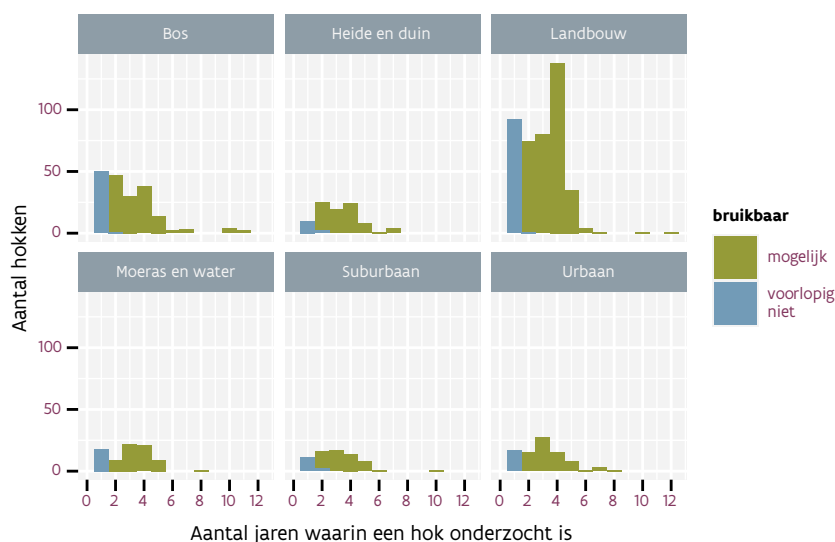
1. Landbouw: minstens 80% landbouw. 6311 hokken.
2. Urbaan: minstens 80% urbaan. 416 hokken.
3. Bos: minstens 80% bos. 319 hokken.
4. Suburbaan: minstens 80% suburbaan. 201 hokken.
5. Heide en duin: minstens 20% heide of duin. 199 hokken.
6. Moeras en water: minstens 20% moeras en water. 137 hokken.

Uit deze set trekken we een aselechte, gestratificeerde steekproef van 1200 hokken waarbij zeldzamere habitats overbemonsterd worden. We streven er naar om jaarlijks 300 hokken te bemonsteren in een driejarige rotatie. De waarnemers mochten in het eerste jaar 300 hokken kiezen uit de set van 1200. Deze set van hokken komen in principe opnieuw aan bod in jaren 4, 7, 10, ... In jaar 2 kiezen ze 300 hokken uit de overgebleven 900 hokken. Deze set komt opnieuw aan bod in jaren 5, 8, 11, ... Tenslotte kiezen de waarnemers in het derde jaar een laatste set van 300 hokken uit de laatste 900 hokken. Deze set hokken bemonsteren we in de jaren 3, 6, 9, 12, ...

Figuur 2.1 geeft de effectieve monitoringsinspanning weer. In deze figuur hebben we de hokken gesorteerd volgens 1) het eerste jaar met gegevens, 2) het laatste jaar met gegevens, 3) het tweede jaar met gegevens, 4) het derde jaar met gegevens, ... Hierdoor staan hokken met een meer gelijkende onderzoeksgeschiedenis dicht bij elkaar. Merk op dat de driejarige cyclus voor de meest hokken wordt gerespecteerd. Voor sommige hokken is de inspanning variabel, soms frequenter dan om de drie jaar, soms zit er meer tijd tussen. Sommige hokken werden slechts in een of twee jaar onderzocht (fig. 2.2). Voor het onderscheid tussen mogelijk bruikbaar en voorlopig niet bruikbaar verwijzen we naar §3.1.



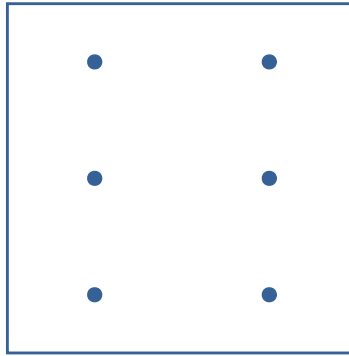
Figuur 2.1: Overzicht van de effectieve monitoringsinspanning. Elk punt is een hok dat onderzocht is in een bepaald jaar. De horizontale lijnen verbinden het eerste en meest recente bezoek aan eenzelfde hok.



Figuur 2.2: Histogram van het aantal jaren waarin een hok onderzocht is opgesplitst per stratum.

## 2.2 STEEKPROEFENHEID

De steekprofeenheid bestaat uit een hok van 1 x 1 km. Binnen dit hok worden zes punten vastgelegd in een vaste patroon (fig. 2.3). Indien de punten in de praktijk niet bereikbaar zijn, mag de waarnemer ze verplaatsen naar het dichtsbijzide bereikbare punt. De waarnemer documenteert deze wijziging zodat we in de toekomst steeds op dezelfde punten blijven waarnemen.



Figuur 2.3: Standaardlocatie van meetpunten binnen een km hok.

## 2.3 TELLINGEN

In het jaar dat we een hok bemonsteren zal de waarnemer het hok in drie periodes bezoeken: 1 maart - 15 april, 16 april - 31 mei, 1 juni - 15 juli. Tussen twee opeenvolgende bezoeken moet er minstens twee weken liggen. Alle meetpunten van een hok worden op dezelfde dag onderzocht tussen zonsopgang en 4 uur na zonsopgang. Op elk meetpunt telt de waarnemer gedurende 5 minuten het aantal volwassen vogels per soort. Overvliegende groepen vogels worden hierbij niet meegeteld.

## 3 VERWERKING VAN DE GEGEVENS

### 3.1 SELECTIE VAN RELEVANTE GEGEVENS PER SOORT

Hoewel we alle waargenomen vogelsoorten op een meetpunt noteren, toch zijn niet alle hokken even relevant voor een bepaalde soort. Om de redenering op te bouwen, beschouwen we een fictieve soort die enkel op een afgelegen eiland voorkomt. Alle vogeltellingen buiten dit eiland zijn uiteraard niet informatief voor wijzigingen in de aantallen van deze fictieve soort. Buiten het eiland zullen de getelde aantallen immers per definitie nul zijn. Wanneer we deze tellingen toch zouden in rekening brengen, dan zullen ze de globale trend afvlakken. De globale trend is min of meer equivalent met een ‘gemiddelde’ trend over de verschillende locaties. Als een locatie steeds nul geeft, dan zijn lokaal de aantallen wiskundig ‘stabiel’ (geen lokale trend). Daarom is het noodzakelijk om de locaties die niet relevant zijn voor een soort buiten beschouwing te houden.

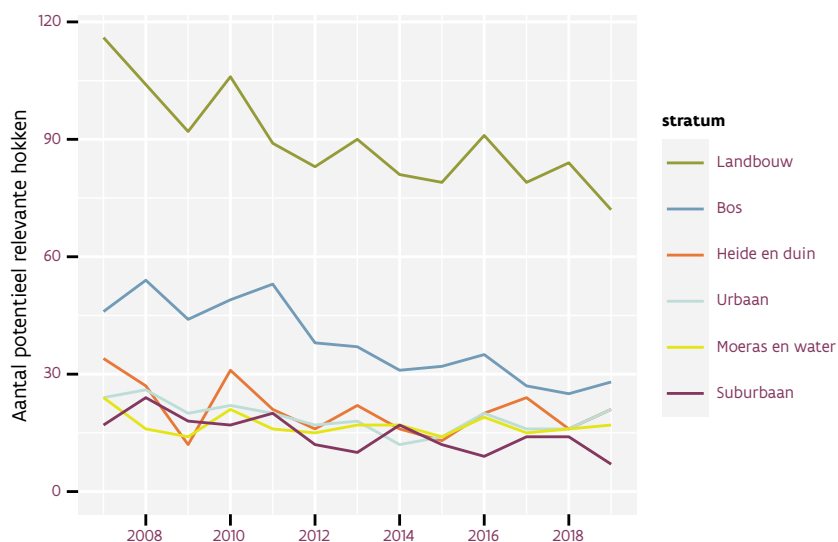
In Vlaanderen is de situatie niet zo zwart-wit als bij het voorbeeld met het afgelegen eiland. Daarom hebben nood aan een set regels die we toepassen op de beschikbare gegevens.

1. We beschouwen een hok als relevant voor een soort wanneer we deze soort tijdens minstens twee verschillende driejarige cycli waarnemen. Op deze manier sluiten we hokken uit waar de soort nooit of slechts toevallig waargenomen is. Hokken die slechts binnen één driejarige cyclus onderzocht zijn, kunnen we hierdoor voorlopig niet gebruiken. Figuur 3.1 geeft een overzicht van het aantal hokken die gedurende minstens twee cycli onderzocht zijn.
2. Een stratum is relevant voor een soort wanneer het minstens drie relevante hokken bevat.
3. Op basis van de overblijvende gegevens berekenen we het (meetkundig<sup>1</sup>) gemiddelde van de aantallen in elk van de drie perioden. De periode met het hoogste gemiddelde gebruiken we als referentieperiode. We houden enkel de periodes waarbij het gemiddelde minstens 15% van de referentieperiode bedraagt. Op deze manier sluiten we periodes uit waarbij de soort zelden gezien wordt. Bijvoorbeeld een trekvogel die pas in de loop van de tweede periode toekomt en waarvoor de eerste periode bijgevolg niet relevant is.
4. We passen de regels voor relevante hokken en strata opnieuw toe. Het negeren van een of twee irrelevante periodes kan er voor zorgen dat een hok niet langer relevant is.

Na het toepassen van deze regels gaan we na of we minstens 100 waarnemingen van de soort hebben. Hierbij is een waarneming de telling van minstens één dier in een combinatie van jaar, periode, hok en meetpunt. Stel dat we een soort hebben waarbij we de drie periodes weerhouden en de waarnemer ziet de soort op elk van de zes meetpunten tijdens alle periodes van een bepaald jaar, dan hebben we  $3 \times 6 = 18$  waarnemingen voor dat hok in dat jaar.

<sup>1</sup>Het meetkundig gemiddelde of geometrisch gemiddelde van  $n$  getallen wordt verkregen door de getallen met elkaar te vermenigvuldigen en vervolgens van het product de  $n$ -de-machtswortel te nemen.

$$m = \left( \prod_{i=1}^n a_i \right)^{1/n}$$



Figuur 3.1: Aantal onderzochte hokken per stratum en per jaar waarbij we enkel rekening houden met hokken die in minstens twee verschillende driejarige cycli onderzocht zijn.

Als we minder dan 100 waarnemingen voorhouden voor een soort, dan stopt voorlopig het verhaal voor deze soort. We hebben dan te weinig waarnemingen voor een betrouwbare trendberekening. Dit wil niet zeggen dat we deze soort permanent afschrijven! Wanneer we deze regels in de toekomst opnieuw toepassen hebben we mogelijk wel voldoende waarnemingen. Ook hokken of strata in de toekomst gekoloniseerd worden, worden dan opgepikt.

## 3.2 TRENDBEREKENING

### 3.2.1 Niet-lineaire trends

Om de trends te berekenen, voorspellen we de waargenomen aantallen aan de hand van een statistisch model.  $Y_{jpsh m}$  is de voorspelling voor jaar  $j$ , periode  $p$ , stratum  $s$ , hok  $h$  en meetpunt  $m$ . Veronderstellen dat deze aantallen uit een *zero-inflated negative binomial*<sup>2</sup> verdeling komen met parameters  $\mu_{jpsh m}$ ,  $\nu$  en  $\pi$ .

$$Y_{jpsh m} \sim ZINB(\mu_{jpsh m}, \nu, \pi)$$

Laat ons eerst focussen op  $\mu_{jpsh m}$ . Deze parameter is via een log link gerelateerd aan de lineaire predictor  $\eta_{jpsh m}$ . Door deze log link kunnen we de individuele termen van de lineaire predictor interpreteren als relatieve effecten.

$$\log \mu_{jpsh m} = \eta_{jpsh m}$$

En nu wordt het interessant want deze lineaire predictor hangt af van vijf termen:

- $\beta_s$ : het effect van stratum  $s$ .
- $\beta_p$ : het verschil tussen periode  $p$  en de referentieperiode.
- $b_h$ : het effect van hok  $h$ . Deze effecten komen uit een Gaussiaanse verdeling met gemiddelde 0 en variantie  $\sigma_h^2$ .
- $b_m$ : het effect van meetpunt  $m$ . Deze effecten komen uit een Gaussiaanse verdeling met gemiddelde 0 en variantie  $\sigma_m^2$ .
- $b_{j,s}$ : het effect van jaar  $j$  in stratum  $s$ . Dit effect modelleert een eerste orde random walk per stratum. Het verschil tussen twee opeenvolgende jaren komt uit een Gaussiaanse verdeling met gemiddelde 0 en variantie  $\sigma_j^2$ .

$$\eta_{jpsh m} = \beta_s + \beta_p + b_h + b_m + b_{j,s}$$

$$b_h \sim \mathcal{N}(0, \sigma_h^2)$$

$$b_m \sim \mathcal{N}(0, \sigma_m^2)$$

$$b_{j,s} - b_{j-1,s} = \Delta b_{j,s} \sim \mathcal{N}(0, \sigma_j^2)$$

De random walk  $b_{j,s}$  is de term die ons het meest interesseert aangezien deze modelleert hoe de aantallen in de tijd wijzigen. Het komt er op neer dat de aantallen in jaar  $j$  en stratum  $s$  een factor  $e^{\Delta b_{j,s}}$  verschillen van het voorgaande jaar in datzelfde stratum. De variantie  $\sigma_j^2$  bepaalt hoe groot de sterkste schommelingen tussen de opeenvolgende jaren kunnen zijn. Het model laat toe dat elk stratum zijn eigen trend heeft.

### 3.2.2 Statistische verdelingen

Een standaard distributie voor aantallen is de Poisson verdeling. Deze heeft als kenmerk dat de variantie gelijk is aan het gemiddelde ( $\sigma^2 = \mu$ ). Bij veel ecologisch gegevens zien we dat de variantie in de praktijk groter is dan het gemiddelde, een fenomeen dat we overdispersie noemen. In dat geval kunnen we een negatief binomiale verdeling gebruiken. Deze heeft als variantie  $\sigma^2 = \mu + \mu^2/\nu$ , waarbij de parameter  $\nu$  is een maat voor overdispersie. Merk op dat als de overdispersieparameter zeer groot wordt ( $\nu = \infty$ ), dan wordt de term  $\mu/\nu = 0$  en bijgevolg reduceert de negatief binomiale verdeling dan tot een Poisson verdeling.

<sup>2</sup>Een negatief binomiale verdeling met een overmaat aan nullen.

Sommige ecologische gegevens vertonen een “overmaat” aan nullen, dat zijn meer nulwaarnemingen dan de Poisson of negatief binomiale verdeling kan modelleren. In dergelijke gevallen kunnen we overschakelen naar de *zero-inflated* versie van deze verdelingen. Deze hebben een parameter  $\pi$  die een maat is voor de kans op een overmatige nul.

Bij het modelleren zullen we in eerste instantie deze twee parameters instellen op  $\nu = \infty$  en  $\pi = 0$ , m.a.w. geen overdispersie en geen overmaat aan nullen zodat we een Poisson verdeling krijgen. Vervolgens gaan we na of er voldoende aanwijzingen zijn voor overdispersie of een overmaat aan nullen. In het geval van overdispersie laten we  $\nu$  door het model schatten waardoor we overgaan van een Poisson naar een negatief binomiaal. In het geval van een overmaat aan nullen laten we  $\pi$  door het model schatten waardoor we overgaan van een Poisson naar een *zero-inflated* Poisson. Soms hebben we zowel aanwijzingen voor overdispersie als een overmaat aan nullen. In die gevallen kiezen we de negatief binomiaal of *zero-inflated* Poisson naargelang welke de sterkste aanwijzingen heeft. Vervolgens gaan we na of we de andere parameter ook nog een probleem vormt. Zo ja, gaan we over naar een *zero-inflated* negatief binomiaal waarbij het model zowel  $\nu$  als  $\pi$  zal schatten.

### 3.2.3 Lineaire trends

Lineaire trends veronderstellen dat er een constante wijziging is over de volledige looptijd. Het model dat we hiervoor gebruiken is nagenoeg identiek aan het niet-lineaire model. Het enige verschil zit in de lineaire predictor waar we de first order random walk ( $b_{j,s}$ ) vervangen door een lineaire trend per stratum ( $\beta_{s1j}$ ).

$$\eta_{jpsh m} = \beta_s + \beta_p + b_h + b_m + \beta_{s1j}$$

Het lineaire model is een vereenvoudiging van het niet-lineaire model. We kunnen deze modellen met elkaar vergelijken op basis van het *Wantanabe-Akaike Information Criterion* (WAIC) (Gelman *et al.*, 2014). De WAIC waarde daalt bij een betere modelfit en stijgt wanneer het model complexer wordt. Als we modellen met elkaar vergelijken op basis van WAIC, zal het model met de laagste WAIC de beste mix zijn tussen een goede modelfit en een zo eenvoudig mogelijk model. We beschouwen de trend als **lineair** wanneer het lineaire model de laagste WAIC heeft. Wanneer de WAIC van het niet-lineaire model minder dan 2 eenheden lager is dan deze van het lineaire model, beschouwen de trend als **mogelijk niet-lineair**. Pas wanneer de WAIC van het niet-lineaire model duidelijk lager is dan het lineaire model, stellen we dat de trend **niet-lineair** is. In dat geval de gebruiker moet de gerapporteerde lineaire trend met de nodige voorzichtigheid interpreteren. Kijk zeker naar de bijhorende niet-lineaire trend vooraleer de cijfers te interpreteren.

### 3.2.4 Resultaten per driejarige cyclus

Zoals aangegeven in §2.1 zullen we een bepaald hok in principe om de drie jaar herbezoeken. Hierdoor krijgen we drie sets van hokken. Er bestaat een kans dat de schatting voor een bepaald jaar beïnvloed is door de set van hokken die in dat jaar onderzocht worden. Om dit effect uit te schakelen, analyseren we de gegevens tevens op basis van de driejarige cyclus  $c$  i.p.v. jaar  $j$ .

De eerste cyclus omvat de eerste drie jaar sinds de start van het meetnet (2007-2009). De volgende cyclus omvat telkens de volgende drie jaar aansluitend op de vorige cyclus. Aangezien we alle beschikbare gegevens gebruiken bij de analyse bevat de laatste cyclus mogelijk minder dan drie jaar. Dit is duidelijk zichtbaar doordat het laatste jaar van de cyclus op dat ogenblik in de toekomst ligt. Als bijvoorbeeld 2019 het meest recente jaar met gegevens is, dan is de laatste cyclus 2019-2021.

Hieronder geven we aan op welke manier we de eerste beschreven modellen aanpassen.

$$Y_{cpsh m} \sim ZINB(\mu_{cpsh m}, \nu, \pi)$$



$$\log \mu_{cpshm} = \eta_{cpshm}$$

### Niet-lineaire trend

$$\eta_{cpshm} = \beta_s + \beta_p + b_h + b_m + b_{c,s}$$

$$b_{c,s} - b_{c-1,s} = \Delta b_{c,s} \sim \mathcal{N}(0, \sigma_c^2)$$

$b_{c,s}$ : het effect van driejarige cyclus  $c$  in stratum  $s$ . Dit effect modelleert een eerste orde random walk per stratum. Het verschil tussen twee opeenvolgende driejarige cycli komt uit een Gaussiaanse verdeling met gemiddelde 0 en variantie  $\sigma_c^2$ .

### Lineaire trend

$$\eta_{cpshm} = \beta_s + \beta_p + b_h + b_m + \beta_{s1}c$$

## 3.2.5 Modellen fitten

We fitten de statische modellen in R (R Core Team, 2021) met het INLA package (Rue et al., 2009). INLA gebruikt een Bayesiaanse benadering om de modellen te fitten. Daarom moeten we priors specificeren voor de (hyper-)parameters.

- $\beta_s, \beta_p$  en  $\beta_{s1}$  krijgen een Gaussiaanse prior  $\mathcal{N}(0, 5)$ .
- $\sigma_h^2$  krijgt een *penalised complexity* prior (Simpson et al., 2017) zodat  $Prob(\sigma_h > 1) = 0.01$ .
- $\sigma_m^2$  krijgt een *penalised complexity* prior zodat  $Prob(\sigma_m > 1) = 0.01$ .
- $\sigma_j^2$  krijgt een *penalised complexity* prior zodat  $Prob(\sigma_j > 0.5) = 0.01$ .
- $\sigma_c^2$  krijgt een *penalised complexity* prior zodat  $Prob(\sigma_c > 0.5) = 0.01$ .
- $\nu$  krijgt een Gamma prior zodat  $\nu \sim \Gamma(1/7, 1/7)$ .
- $\pi$  wordt intern geparametriseerd als  $\theta = \log \frac{\pi}{1-\pi}$  met Gaussiaanse prior  $\theta \sim \mathcal{N}(-1, 5)$ .

## 3.3 GEMIDDELD AANTAL DIEREN PER MEETPUNT

Een gemiddeld hok heeft als effect  $b_h = 0$  en een gemiddeld meetpunt  $b_m = 0$ . In de referentieperiode is  $\beta_p = 0$ . In deze gevallen vereenvoudigt de lineaire predictor tot het effect van stratum  $s$  en de trend in dat stratum:

$$\eta_{js} = \beta_s + b_{j,s}$$

Door de effecten van de strata te vermenigvuldigen met hun stratumgewicht ( $\gamma_s$ ) krijgen we een schatting voor Vlaanderen.

$$\eta_j = \sum_s (\gamma_s \beta_s + \gamma_s b_{j,s})$$

Om de schatting van het gemiddelde aantal in Vlaanderen te krijgen, moeten we de lineaire predictor terug omzetten van de log schaal naar de natuurlijke schaal en corrigeren voor de eventuele overmaat aan nullen. We krijgen dan:

$$E[Y_j] = (1 - \pi) e^{\eta_j} \prod_s (e^{\gamma_s \beta_s} e^{\gamma_s b_{j,s}})$$

### 3.4 VERGELIJKEN VAN JAREN

We kunnen twee jaren  $a$  en  $b$  met elkaar vergelijken door hun lineaire predictoren voor het gemiddeld aantal dieren van elkaar af te trekken.

$$\eta_a - \eta_b = \sum_s (\gamma_s \beta_s + \gamma_s b_{a,s}) - \sum_s (\gamma_s \beta_s + \gamma_s b_{b,s})$$

Aangezien het globale stratumeffecten en de stratumgewichten niet wijzigen in de tijd, kunnen we dit vereenvoudigen tot

$$\eta_a - \eta_b = \sum_s \gamma_s (b_{a,s} - b_{b,s})$$

De wijziging in Vlaanderen is het gewogen gemiddelde van de wijzigingen in de strata. Na omzetting van de  $\log$  schaal naar de natuurlijke schaal krijgen we het relatieve aantal  $I_{a|b}$  van jaar  $a$  t.o.v. jaar  $b$

$$I_{a|b} = \frac{e^{\nu_a}}{e^{\nu_b}} = \prod_s \left( \frac{e^{\gamma_s b_{a,s}}}{e^{\gamma_s b_{b,s}}} \right)$$

Wanneer we een jaar met zichzelf vergelijken krijgen we per definitie  $I_{a|a} = 1 = 100\%$ . Wanneer we meerdere jaren met eenzelfde referentiejaar vergelijken krijgen we een indexwaarde: het relatieve verschil van elk jaar t.o.v. van een bepaald referentiejaar.

### 3.5 GEWICHT VAN DE STRATA

In het vorige onderdeel hebben gebruikt gemaakt van stratumgewichten  $\gamma_s$  zonder deze te definiëren. We bepalen het gewicht van een stratum op basis van drie kenmerken: het totaal aantal hokken van het stratum in Vlaanderen ( $N_s$ ), het aantal onderzochte hokken in het stratum ( $T_s$ ) ongeacht of ze al dan niet relevant zijn voor de soort en het aantal relevante hokken voor de soort in het stratum ( $R_s$ ).

Het aandeel relevante hokken per stratum ( $R_s/T_s$ ) is een goede maat van de frequentie waarmee een soort aanwezig is binnen een stratum. Wanneer een soort in nagenoeg alle onderzochte hokken van het stratum waargenomen wordt is  $R_s/T_s \simeq 1$ . Is de soort zeer zeldzaam (komt slechts in een paar van de onderzochte hokken voor) dan is  $R_s/T_s \simeq 0$ .

Het basisgewicht  $\gamma_{sb}$  voor stratum  $s$  is het aandeel relevante hokken vermenigvuldigd met het totaal aantal hokken in het stratum. Dit is een schatting van het totaal aantal hokken in het stratum waar de soort voldoende frequent voorkomt.

$$\gamma_{sb} = \frac{R_s}{T_s} N_s$$

Om makkelijker te kunnen rekenen delen we de basisgewichten door hun som zodat de stratumgewichten sommeren tot 1.

$$\gamma_s = \frac{\gamma_{sb}}{\sum_s \gamma_{sb}}$$

Merk op dat het aantal relevante hokken per stratum ( $R_s$ ) soortafhankelijk is. Bijgevolg zijn de stratumgewichten eveneens soortafhankelijk.

### 3.6 SAMENGESTELDE INDICES

We berekenen een aantal samengestelde indices die de trends voor een groep van soorten aggregeren. Deze indices zijn het meetkundig gemiddelde van de verschillen tussen jaren voor alle soorten van de groep. Bij de berekening maken we gebruik van het truukje dat we een product kunnen schrijven als een som van logaritmes die we nadien terug exponentiëren. Een meetkundig gemiddelde in de natuurlijke schaal kunnen we dat schrijven als een rekenkundig gemiddelde in de log-schaal.

$$\sqrt[n]{\prod_{i=1}^n a_i} = \exp\left(\frac{\sum_{i=1}^n \log a_i}{n}\right)$$

Het voordeel aan deze techniek is dat de schattingen van de paargewijze verschillen tussen de jaren reeds beschikbaar zijn in de log-schaal. Bovendien beschikken we tevens over hun variantie in de log-schaal. Dit laat ons toe om makkelijk het betrouwbaarheidsinterval te berekenen aan de hand van een paar vuistregels.

1. Bij onafhankelijke variabelen geldt dat de variantie van hun som gelijk is aan de som van de varianties.  
 $\sigma_{\sum X_i}^2 = \sum \sigma_{X_i}^2$
2. De variantie van het product van een variabele en een constante is gelijk aan de variantie van de variabele vermenigvuldigd met die constante.  $\sigma_{aX}^2 = a\sigma_X^2$
3. Het model veronderstelt dat de individuele modelparameters een Gaussiaanse verdeling volgen. Hierdoor volgen de paarsgewijze verschillen tussen de jaren en hun gemiddelde (telkens in de log-schaal) een Gaussiaanse verdeling. Aangezien we zowel het gemiddeld als de variantie van deze verdeling kennen, kunnen we hieruit de gewenste kwantielen voor de betrouwbaarheidsintervallen berekenen (nog steeds in de log-schaal).
4. De log-transformatie is een monotoon stijgende functie aangezien  $\log(x)$  steeds groter wordt wanneer  $x$  groter wordt. Een kenmerk van een monotoon stijgende transformatie is dat ze de volgorde behouden: het 5% kleinste element zal ook na de transformatie het 5% kleinste element zijn. Waardoor we de kwantielen van de betrouwbaarheidsintervallen zonder probleem kunnen terugrekenen naar de natuurlijke schaal.

## 4 VOORSTELLING VAN DE GEGEVENS

### 4.1 ONZEKERHEID

Alle resultaten zijn gebaseerd op een steekproef en op de waarnemingen zit onvermijdelijk een zekere meetfout. Vandaar dat we bij de puntschattingen tevens een betrouwbaarheidsinterval weergeven. In de tekst gebruiken we het 90% (5%; 95%) interval waarbij er 5% kans is dat de werkelijke waarde kleiner is dan de ondergrens en 5% dat ze groter is dan de bovengrens. Het 90% interval is iets smaller dan het traditionele 95% (2.5%; 97.5%) interval. Door een smaller interval te kiezen zullen we sneller uitspraken kunnen doen, waardoor de kans kleiner wordt dat we ten onrechte stellen dat er geen effect is. De prijs die we hiervoor betalen is dat de kans dat we ten onrechte stellen dat er een significant effect is, stijgt van 5% naar 10%. De doelstelling van de algemene broedvogelmonitoring is zo spoedig mogelijk detecteren wanneer er iets aan de hand is de broedvogels. Vanuit dat oogpunt is het vermijden van vals negatieve signalen (ten onrechte stellen dat er niets aan de hand is) belangrijker dan het vermijden van vals positieve signalen (ten onrechte stellen dat er iets aan de hand is).

Wanneer we het interval op een figuur (bijvoorbeeld fig. 4.1) weergeven, vullen we het 90% interval aan met een 60% (20%; 80%) interval en een 30% (35%; 65%) interval. Britton *et al.* (1998) waren de inspiratie voor deze manier van weergeven. Het 30% interval vormt het donkerste deel van het interval en geeft de meeste waarschijnlijke locatie van de werkelijke waarde weer. Naarmate het interval lichter wordt, neemt de onzekerheid toe.

### 4.2 OPDELING VAN DE EFFECTEN IN EEN AANTAL KLASSEN

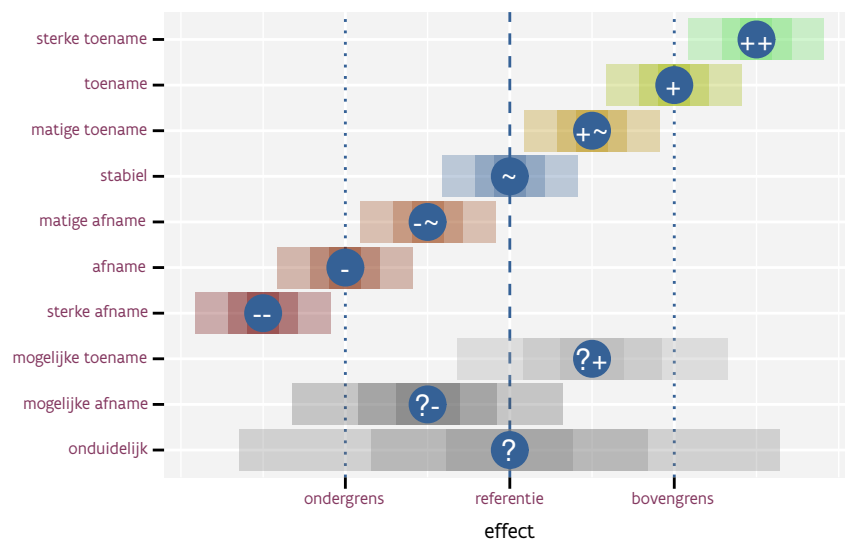
Bij het niet-lineaire model berekenen we alle paarsgewijze relatieve verschillen tussen de verschillende jaren. Bij het lineaire model hebben we de gemiddelde jaarlijkse relatieve verandering. Deze laatste rekenen we tevens om naar de totale wijziging over de looptijd van het meetnet omdat dit eenvoudiger te interpreteren is. Vergelijk een daling met -5% per jaar of een daling met -50% over 15 jaar. Deze laatste klinkt dramatischer door het grotere cijfer, terwijl -5% per jaar overeenkomt met -54% over 15 jaar. De totale wijziging over de looptijd van het lineaire model is tevens vergelijkbaar met de wijziging tussen het eerste en laatste jaar van het niet-lineaire model.

Om de interpretatie makkelijker te maken, delen we de wijzigingen op in tien klassen door hun 90% interval te vergelijken met een referentie, onder- en bovengrens. Een effect is significant wanneer de referentie buiten het 90% interval ligt. We spreken over een **toename (afname)** als het interval volledig boven (onder) de referentie ligt. Niet-significante effect is ook informatief wanneer het bijhorende interval voldoende smal is. Bijvoorbeeld als het interval volledig tussen een onder- en bovengrens ligt. In dat geval kunnen we stellen dat het effect niet-significant en klein is, het immers zeker minder sterk dan de ondergrens en minder sterk dan de bovengrens. Dergelijk effect krijgt de naam **stabiel**. Heeft het effect een breed interval dat zowel de boven- als ondergrens bevat, spreken we over een **onduidelijk** effect. Daarnaast is er nog de mogelijkheid dat het interval zowel de bovengrens (ondergrens) als de referentie bevat maar niet de ondergrens (bovengrens). Dan spreken we over een **mogelijke toename (mogelijke afname)**. We kunnen de boven- en ondergrens eveneens gebruiken om een verder onderscheid te maken binnen de significante effecten. Een interval volledig boven (onder) de bovengrens (ondergrens) wordt dan een **sterke toename (sterke afname)**. Een interval volledig tussen de referentie en de de bovengrens (ondergrens) wordt dan een **matige toename (matige afname)**. Een interval dat de referentie niet bevat maar wel de

bovengrens (ondergrens) blijft een **toename** (**afname**). Merk op dat de indeling volledig gebaseerd is op de onzekerheid rond het effect en niet op de puntschatting van het effect zelf. We vatten de opdeling met bijhorende afkortingen en regels samen in tabel 4.1. Figuur 4.1 geeft een grafische voorstelling waarbij we de afkortingen in combinatie met aangepaste symbolen gebruiken. De afkortingen zelf zijn te fijn om als symbool te gebruiken.

Tabel 4.1: Overzicht van de benamingen van de tien effectklassen met hun afkorting en de regels. *R*: referentie, *L*: ondergrens, *B*: bovengrens, *l*: ondergrens van het 90% interval, *b*: bovengrens van het 90% interval.  $L < R < B$  en  $l < b$ .

benaming	afkorting	regels
sterke toename	++	$B < l$
toename	+	$R < l < B$ en $B < b$
matige toename	+~	$R < l < B$ en $b < B$
stabiel	~	$L < l < R$ en $R < b < B$
matige afname	--	$L < l < R$ en $b < R$
afname	-	$l < L$ en $L < b < R$
sterke afname	--	$l < L$
mogelijke toename	?+	$L < l < R$ en $B < b$
mogelijke afname	?-	$l < L$ en $R < b < B$
onduidelijk	?	$l < L$ en $B < b$



Figuur 4.1: Voorbeeld van de tien mogelijke interpretaties van een effect door het 90% interval te vergelijken met een referentie, ondergrens en bovengrens.

Uiteraard hangt de opdeling sterk af van de keuze van de boven- en ondergrens. De soortenmeetnetten voor de Natura 2000 monitoring streven er naar om een daling in populatiegrootte met -25% over 25 jaar tijd vast te kunnen stellen. Hierbij wordt een wijziging in de populatiegrootte van -25% als belangrijk aanzien. Daarom hanteren we voor de algemene broedvogelmonitoring ook -25% als ondergrens, zowel bij de paarsgewijze verschillen tussen de jaren als de lineaire wijziging over de looptijd van het meetnet. Een van daling van -25% komt overeen met aantallen die nog 3/4 van de uitgangssituatie bedragen. Een even sterke wijziging in de omgekeerde richting zorgt er voor dat de aantallen toenemen tot 4/3 van de uitgangssituatie, of een toename met +33% wat we als bovengrens gebruiken.

Bij de samengestelde indices hebben we aangepaste grenswaarden nodig. Veronderstel een samengestelde index op basis van  $n$  soorten. We berekenen het rekenkundig gemiddelde in de log-schaal, dan is de variantie van dit gemiddelde een factor  $n$  kleiner dan de som van de varianties. De breedte van een betrouwbaarheidsinterval hangt samen met de standaard afwijking, wat de vierkantswortel van de variantie is. Hierdoor zullen de breedtes van de betrouwbaarheidsintervallen van de samengestelde index een factor  $\sqrt{n}$  kleiner zijn. Vandaar dat we de grenswaarden van de indices evens aanpassen door ze met een factor  $\sqrt{n}$  te verkleinen. Elke samengestelde index heeft zijn eigen soortenlijst met een variabele aantal soorten. Daarom zullen we bij elke samengestelde index zijn aangepaste grenswaarden vermelden.

### 4.3 OVERZICHT VAN DE LINEAIRE TRENDS

Tabellen 13.1 en 13.2 geven een overzicht van de lineaire trends voor elke soort. We hebben de trends gesorteerd volgens opdeling van de klassen en binnen de klasse volgens puntschatting van de trend. Hierdoor start de tabel met de soorten met de sterkste positieve trends. Bij de volgende soorten zal de trend minder sterk worden tot we aan de soorten met een stabiele trend komen. Daarna volgen de soorten met een negatieve trend waarbij de trend steeds sterker negatief wordt. We sluiten de tabel af met de soorten met een mogelijke of onduidelijke trend. De tabel bevat de trend uitgedrukt als een jaarlijkse wijziging en als een wijziging over de volledige looptijd van het meetnet. Verder bevat de tabel de opdeling van de trend in klassen en een indicatie of de trend al dan niet lineair is (zie §3.2.3). De naam van de soort is een snelkoppeling naar de detail van de soort zelf. We raden aan om hiervan gebruikt te maken bij de interpretatie van niet-lineaire trends.

### 4.4 EVOLUTIE VAN GEMIDDELTE AANTALLEN PER SOORT

Deze figuur geeft de evolutie van de gemiddelde aantallen per meetpunt weer volgens het niet-lineair model. Indien het model lineair is, zal het patroon van de niet-lineaire trend dicht bij een lineaire trend liggen. De lijn bevat de puntschatting van het gemiddelde aantal in elk jaar. Rond de lijn tonen we het 30%, 60% en 90% interval (zie §4.1). In de webversie van het rapport is de figuur interactief. Wanneer de gebruiker met de muis over de figuur gaat verschijnt er in de buurt van de lijn een pop-up met de exacte schatting van dat jaar inclusief het 90% betrouwbaarheidsinterval en het jaartal.

### 4.5 PAARSGEWIJZE VERGELIJKING VAN JAREN

Deze informatie hebben we telkens in twee figuren samengevat. De eerste figuur geeft het verschil van elk jaar t.o.v. 2007, het jaar waarin de metingen gestart zijn. Voor 2007 geven we geen cijfer omdat het per definitie 1 is en geen informatie bevat. Het symbool geeft de puntschatting van het relatieve verschil t.o.v. 2007 weer. De vorm van het symbool geeft de opdeling van de sterkte van het effect weer (zie fig. 4.1). Rond elke puntschatting tonen we het 30%, 60% en 90% interval (zie §4.1). De horizontale streepjeslijn geeft de referentie van 0% verschil weer. De horizontale puntlijnen geven de bovengrens (+33%) en ondergrens (-25%) weer. Deze laten toe om de vlot zelf de betrouwbaarheidsintervallen te vergelijken met de referentie, boven- en ondergrens. De figuur heeft twee y-assen. Beide assen geven dezelfde informatie weer, enkel de formatering van de labels is anders. De linkerass toont procentuele verschillen terwijl de rechterass de relatieve verschillen toont. Een procentueel verschil van +50% is equivalent met een relatieve verschil (verhouding) met een factor 1,5.

We stellen vast dat veel gebruikers ook andere jaren met elkaar willen vergelijken. Een correcte vergelijking is enkel mogelijk indien we een van deze jaren als referentie gebruiken. Voor elk jaar een afzonderlijke figuur maken, zou het rapport onoverzichtelijk groot maken. Om de vergelijkingen toch mogelijk te maken hebben we alle paarsgewijze verschillen tussen de jaren in een raster weergegeven. Elke rij in het raster staat voor een ander referentiejaar. De kolommen geven de verschillen van een bepaald jaar weer t.o.v. de verschillende referentie jaren. Op de diagonaal staan geen waarden omdat we daar een jaar met zichzelf vergelijken. De kleur van de symbolen geeft de sterkte van het verschil (gebaseerd op de puntschatting). Zwakke verschillen

zijn grijs, sterke positieve verschillen rood, sterke negatieve verschillen blauw. De vorm van de symbolen geeft zicht op de sterkte en onzekerheid van het effect (zie tab. 4.1). Wanneer een rij volledig rood (blauw) is, zijn alle verschillen met dit referentiejaar positief (negatief) m.a.w. dit is het referentiejaar met de laagste (hoogste) aantallen. Wanneer een kolom volledig rood (blauw) is, zijn alle verschillen van dit jaar t.o.v. alle referentiejaren negatief (positief) m.a.w. dit is het jaar met de hoogste (laagste) aantallen. Clusters van punten met een gelijkaardige kleur geven periodes aan waarin de aantallen geleidelijk wijzigen. In de webversie van dit rapport is deze grafiek interactief. Wanneer de gebruiker met de muis over de figuur gaat verschijnt er in de buurt van de lijn een pop-up met de exacte schatting van dat punt inclusief het 90% betrouwbaarheidsinterval en het jaartal en referentiejaar.

## 5 REPRODUCEERBAARHEID EN TRACEERBAARHEID VAN DE GEGEVENSVERWERKING

### 5.1 VERSIEBEHEER

De waarnemers voeren hun waarnemingen via een webapplicatie toe aan de databank. De analyse start met het importeren van de relevante gegevens uit de databank aan de hand van een R-script. De beko-  
men dataset bewaren we als een collectie van tekstbestanden met behulp van het `git2rdata` package (Onkelinx, 2021). Zowel deze code als de tekstbestanden bewaren we onze versiebeheer met `git`. Git is een gratis en open source gedistribueerd versiebeheersysteem dat is ontworpen om alles van kleine tot zeer grote projecten snel en efficiëntie te beheren. De code zit vervat in het `abvanalysis` package (Onkelinx, 2019a), dat vrij online beschikbaar is. De tekstbestanden met de gegevens zijn momenteel niet publiek toegankelijk. De ruwe gegevens worden op hokniveau en met drie jaar vertraging publiek ontsloten via GBIF (Vermeersch *et al.*, 2018a).

### 5.2 REPRODUCEERBAARHEID

Om de reproduceerbaarheid te garanderen starten we de analyses steeds vanaf de tekstbestanden. Aan de hand van code in het `abvanalysis` package definiëren we hoe we de tekstbestanden omzetten naar de verschillende analyses (§3.2). Dit resulteert in een resem op zichzelf staande analyseobjecten van het `n2kanalysis` package (Onkelinx, 2019b). Dergelijk analyseobject bevat naast de nodige gegevens en de modeldefinitie tevens de nodige metadata zoals alle gebruikte R packages, inclusief hun versie, en een verwijziging naar de voorafgaande analyses waarvan deze analyse afhangt. Zo verwijst de analyse van een samengestelde index (§3.6) naar de trendberekening van de bijhorende soorten (§3.2). De individuele trendberekeningen verwijzen naar de ‘analyse’ die de gegevens importeerde uit de databank. Deze laatste bevat de nodige links naar de tekstbestanden en hun versie.

### 5.3 TRACEERBAARHEID

De `n2kanalysis` objecten hebben elk twee data-hashes. Elk data-hash is een reeks van 40 hexadecimale<sup>1</sup> cijfers die het resultaat zijn van de cryptografische `hashfunctie` `SHA-1`. Deze hashfunctie heeft een aantal belangrijke eigenschappen:

1. Ze zetten elke invoer om naar een uitvoer met vaste lengte (40 hexadecimale cijfers).
2. De uitvoer is stabiel: als je de hash van een bepaalde invoer opnieuw berekent krijg je steeds dezelfde uitvoer.
3. Het is niet mogelijk om de invoer te reconstrueren op basis van de uitvoer.
4. Eenders welke kleine wijziging aan de invoer resulteert in een sterke wijziging van de uitvoer.
5. De kans dat twee verschillende invoeren dezelfde uitvoer opleveren is zeer klein.

<sup>1</sup>Hexadecimaal betekent letterlijk zestientallig. Het is een talstelsel waarbij niet, zoals gebruikelijk, met tien cijfers wordt gewerkt, maar met zestien cijfers. De cijfers 0 t/m 9 worden daarom uitgebreid met ‘a’ (=10) t/m ‘f’ (=15).



De eerste data-hash van het analyseobject is gebaseerd op alle informatie die gekend is op het moment dat we het analyseobject definiëren en die nooit zal wijzigen tijdens de analyse. Denk hierbij aan de definitie van de analyse, de gegevens, de soort, ... Gezien de eigenschappen van de hashfunctie kunnen we deze data-hash gebruiken om ondubbelzinnig te verwijzen naar een specifieke analyse (inclusief de gebruikte gegevens.)

De tweede data-hash van het analyseobject baseren we enerzijds op de eerste data-hash en anderzijds van alle onderdelen van het analyseobject die wijzigen in de loop van de analyse. Dit is o.a. het resultaat van de statistische analyse, de gebruikte software, ... De analyse opnieuw uitrekenen met software van een andere versie zal de tweede data-hash aanpassen.

De combinatie van deze twee data-hashes laat enerzijds toe om naar een specifieke versie van de analyse te verwijzen. Anderzijds bieden ze een garantie over de inhoud van het analyseobject. In het geval van twijfel over een analyse kunnen we teruggrijpen naar de analyseobject in kwestie. De data-hashes bewijzen dan dat we het correcte analyseobject hebben.

## 5.4 DOWNLOADBAAR CIJFERMATERIAAL

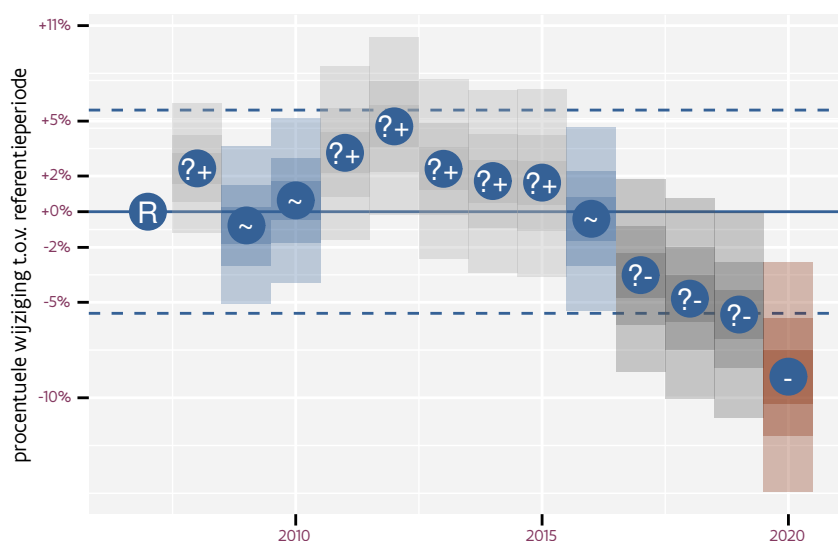
We stellen het cijfermateriaal om de figuren te genereren beschikbaar in de online versie van dit rapport: <https://doi.org/10.21436/inbor.34162521>.

# Deel II

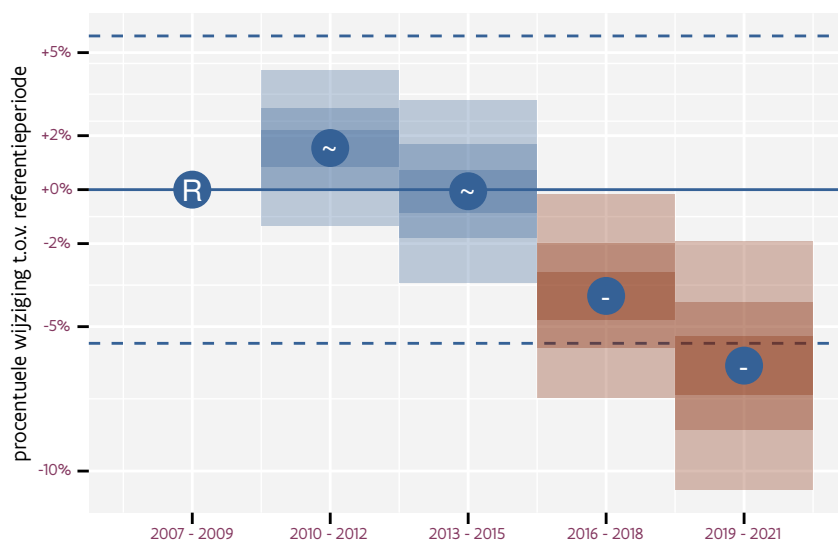
## INDICATOREN

## 6 BOS

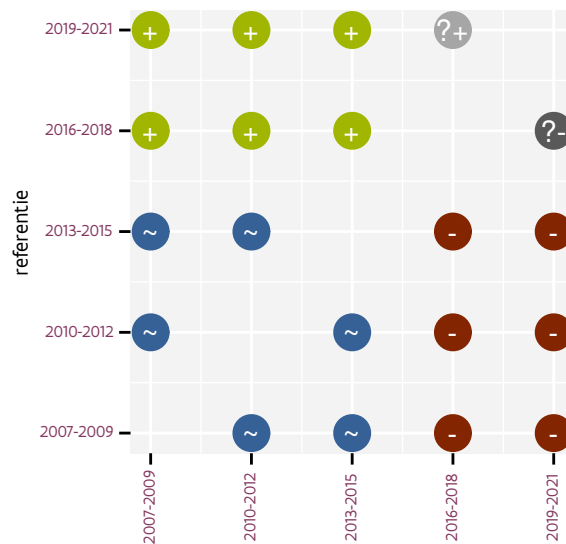
Deze indicator is gebaseerd op volgende soorten: Bonte vliegenvanger, Boomklever, Boomkruiper, Boompieper, Buizerd, Fitis, Gaai, Gekraagde roodstaart, Goudhaan, Groene specht, Groenling, Grote bonte specht, Grote lijster, Holenduif, Koekoek, Kuifmees, Matkop, Nachtegaal, Sperwer, Tjiftjaf, Tuinfluiter, Wielewaal, Zwarte mees, Zwarte specht, Zwartkop. De indicator bestaat uit 25 soorten. De aangepaste grenswaarden zijn -5.6% en +5.9%.



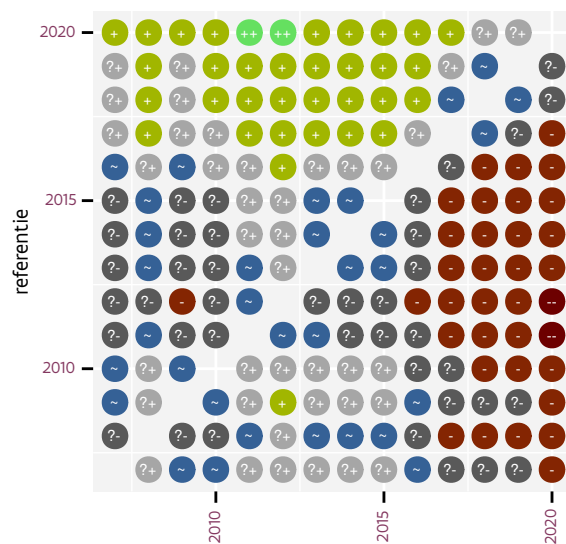
Figuur 6.1: Wijzigingen t.o.v. de start van het meetnet voor Bos. Zie §4.1 voor een verklaring van de intervallen en §4.2 voor uitleg over de symbolen en referentielijnen.



Figuur 6.2: Wijzigingen per driejarige cyclus voor Bos. Zie §4.1 voor een verklaring van de intervallen en §4.2 voor uitleg over de symbolen en referentielijnen.



Figuur 6.3: Paarsgewijze vergelijking tussen driejarige cycli voor Bos.



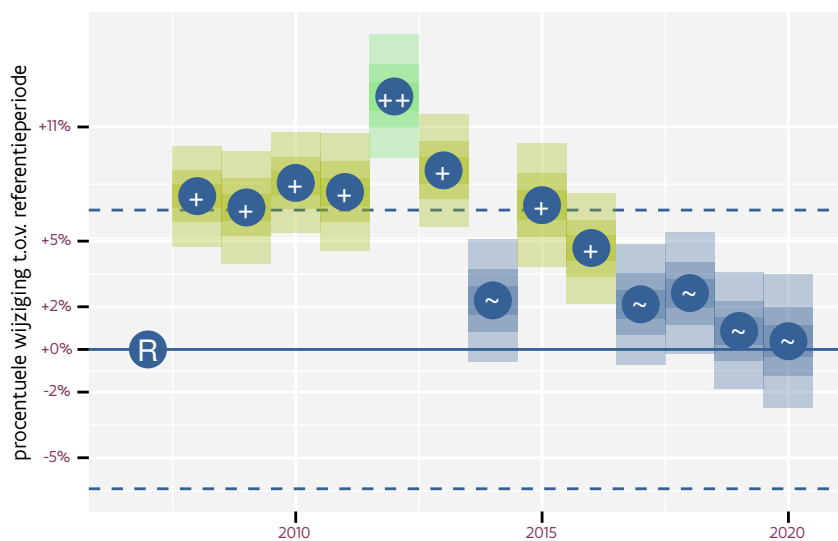
Figuur 6.4: Paarsgewijze vergelijking tussen jaren voor Bos.

Tabel 6.1: Data-hashes van de analyse in het kader van traceerbaarheid (zie §5.3).

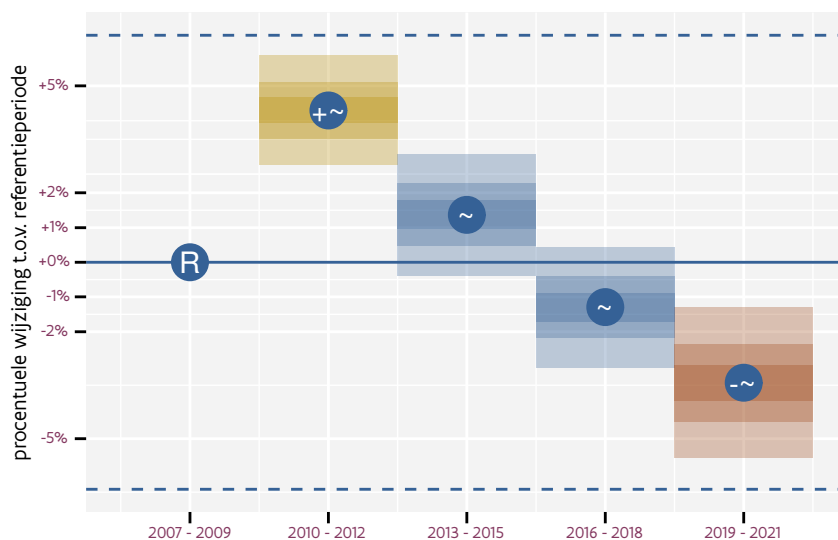
frequentie	analyse	status
jaarlijks	354fd24a4a7c57848443	cb94cdd01bd75165d5f0
	fd034d2e07d8e92d9169	6595389779932b22c252
driejaarlijks	cf6ecf028754d7fcdd2a	d52cff12a4d7d2c9f24f
	84cf7e02adc6fca61a11	cecae0d9dcad6300ffa7

## 7 GENERALIST

Deze indicator is gebaseerd op volgende soorten: Ekster, Fazant, Groenling, Grote bonte specht, Heggenmus, Houtduif, Huismus, Kauw, Koolmees, Merel, Pimpelmees, Roodborst, Spreeuw, Staartmees, Turkse tortel, Vink, Winterkoning, Zanglijster, Zwarte kraai. De indicator bestaat uit 19 soorten. De aangepaste grenswaarden zijn -6.4% en +6.8%.



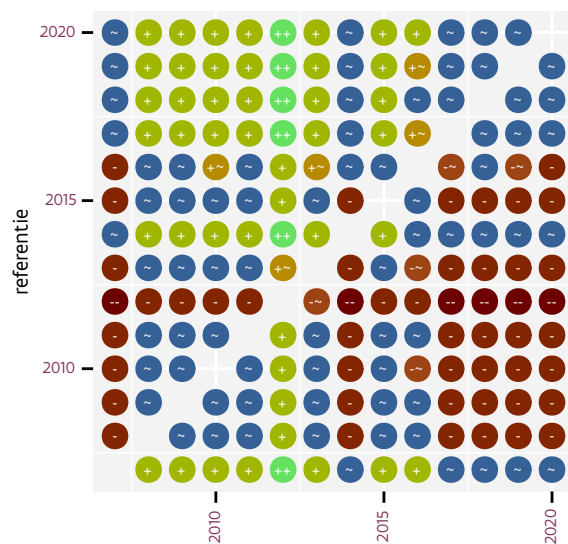
Figuur 7.1: Wijzigingen t.o.v. de start van het meetnet voor Generalist. Zie §4.1 voor een verklaring van de intervallen en §4.2 voor uitleg over de symbolen en referentielijnen.



Figuur 7.2: Wijzigingen per driejarige cyclus voor Generalist. Zie §4.1 voor een verklaring van de intervallen en §4.2 voor uitleg over de symbolen en referentielijnen.



Figuur 7.3: Paarsgewijze vergelijking tussen driejarige cycli voor Generalist.



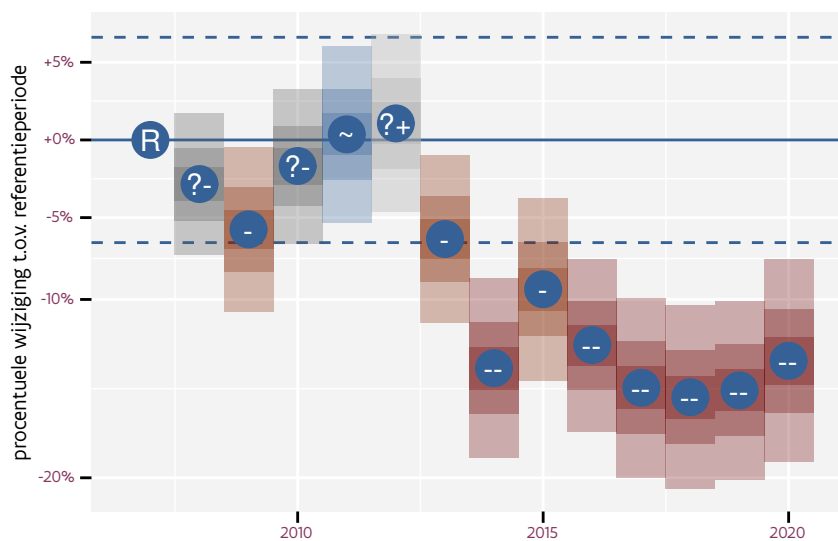
Figuur 7.4: Paarsgewijze vergelijking tussen jaren voor Generalist.

Tabel 7.1: Data-hashes van de analyse in het kader van traceerbaarheid (zie §5.3).

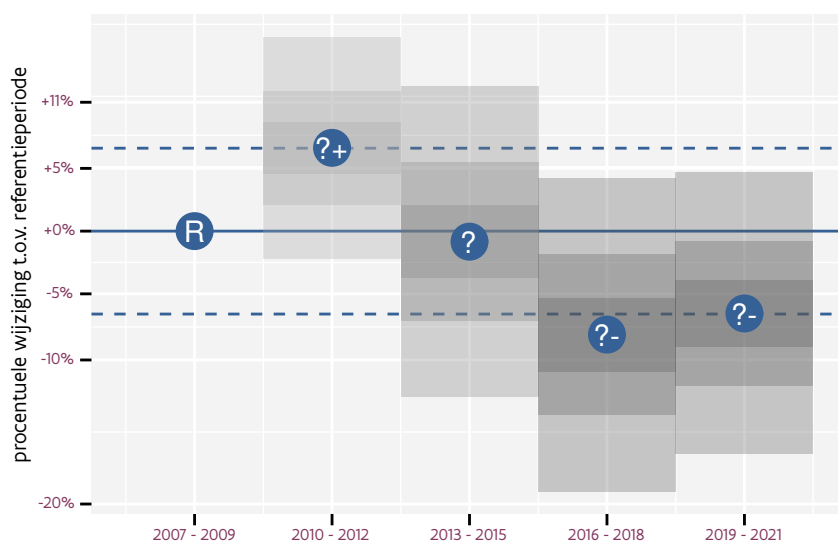
frequentie	analyse	status
jaarlijks	da0d80c21d2df669f530	2a44deb387f7b2c4e6cf
	b70399abc0cb32d2ec55	7b30af1face573bfdd34
driejaarlijks	72a8911afce4f7fa3953	e1ee004c0f8197284452
	e3ddfa78319fe5abf6af	04a7da2fff0e5134ccad

## 8 LANDBOUW

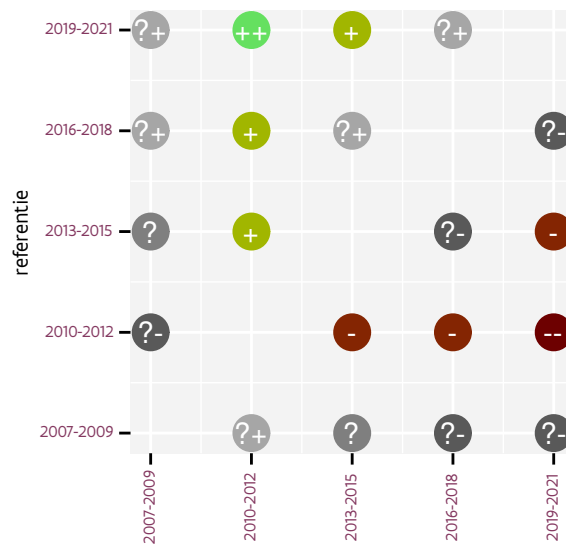
Deze indicator is gebaseerd op volgende soorten: Boerenzwaluw, Geelgors, Gele kwikstaart, Grasmus, Graspieper, Grutto, Kievit, Kneu, Patrijs, Ringmus, Roodborsttapuit, Scholekster, Spotvogel, Torenvalk, Veldleeuwerik, Witte kwikstaart, Wulp, Zwarte roodstaart. De indicator bestaat uit 18 soorten. De aangepaste grenswaarden zijn -6.6% en +7.0%.



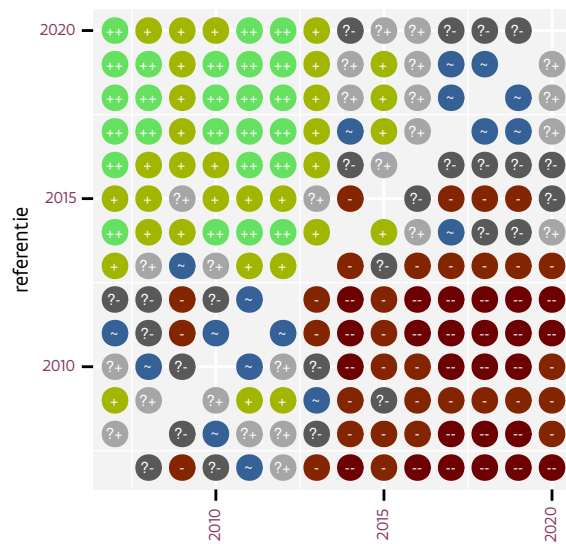
Figuur 8.1: Wijzigingen t.o.v. de start van het meetnet voor Landbouw. Zie §4.1 voor een verklaring van de intervallen en §4.2 voor uitleg over de symbolen en referentielijnen.



Figuur 8.2: Wijzigingen per driejarige cyclus voor Landbouw. Zie §4.1 voor een verklaring van de intervallen en §4.2 voor uitleg over de symbolen en referentielijnen.



Figuur 8.3: Paarsgewijze vergelijking tussen driejarige cycli voor Landbouw.



Figuur 8.4: Paarsgewijze vergelijking tussen jaren voor Landbouw.

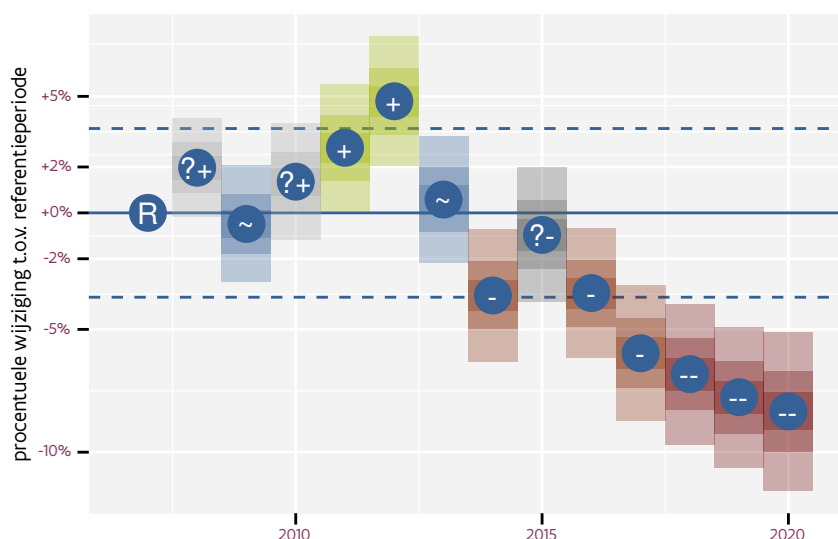
Tabel 8.1: Data-hashes van de analyse in het kader van traceerbaarheid (zie §5.3).

frequentie	analyse	status
jaarlijks	47464ef48ace5742f386 86c867971432859cfd93	32ef5d56d4992931aea5 4f2a80d55bd90f3c2b8d
driejaarlijks	41c31fa1cae8df840a01 3bbd293001e86b043b2a	7b8efd072254537890c1 3d5dacb29c53b36d85e2



## 9 NARA2020

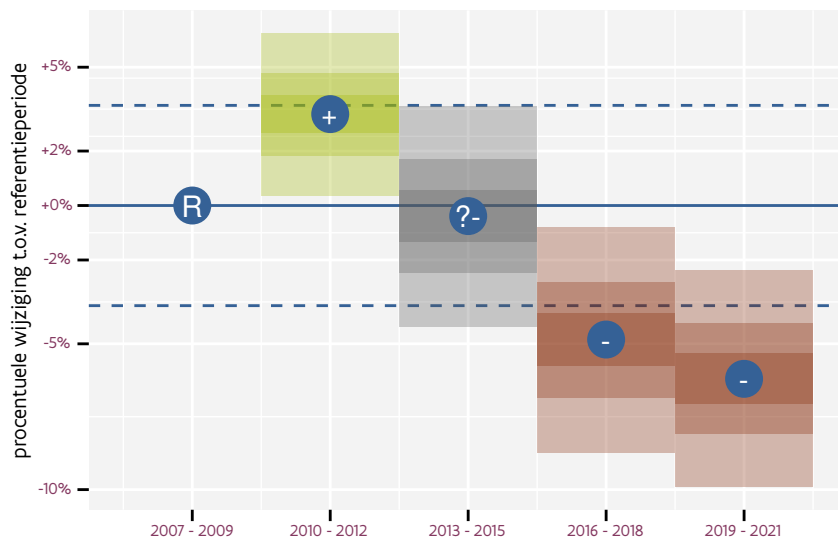
Deze indicator is gebaseerd op volgende soorten: Boerenzwaluw, Bonte vliegenvanger, Boomklever, Boomkruiper, Boompieper, Buizerd, Ekster, Fazant, Fitis, Gaai, Geelgors, Gekraagde roodstaart, Gele kwikstaart, Goudhaan, Grasmus, Graspieper, Groene specht, Groenling, Grote bonte specht, Grote lijster, Grutto, Heggenmus, Holenduif, Houtduif, Huismus, Kauw, Kievit, Kneu, Koekoek, Koolmees, Kuifmees, Matkop, Merel, Nachtegaal, Patrijs, Pimpelmees, Ringmus, Roodborst, Roodborsttapuit, Scholekster, Sperwer, Spotvogel, Spreeuw, Staartmees, Tjiftjaf, Torenavalk, Tuinfluiter, Turkse tortel, Veldleeuwerik, Vink, Wielewaal, Winterkoning, Witte kwikstaart, Wulp, Zanglijster, Zwarte kraai, Zwarte mees, Zwarte roodstaart, Zwarte specht, Zwartkop. De indicator bestaat uit 60 soorten. De aangepaste grenswaarden zijn -3.6% en +3.8%.



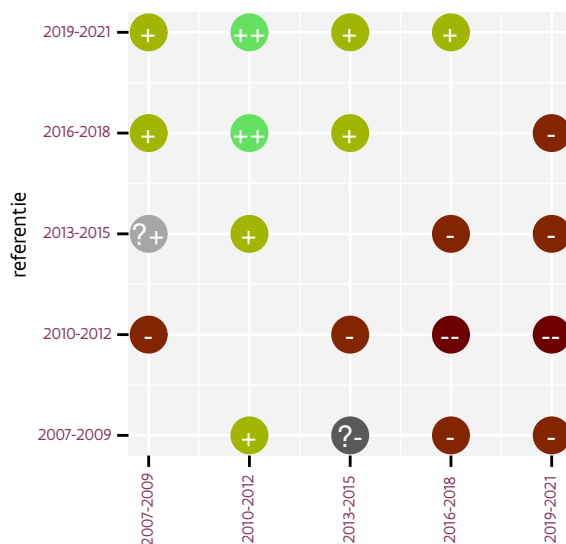
Figuur 9.1: Wijzigingen t.o.v. de start van het meetnet voor NARA2020. Zie §4.1 voor een verklaring van de intervallen en §4.2 voor uitleg over de symbolen en referentielijnen.

Tabel 9.1: Data-hashes van de analyse in het kader van traceerbaarheid (zie §5.3).

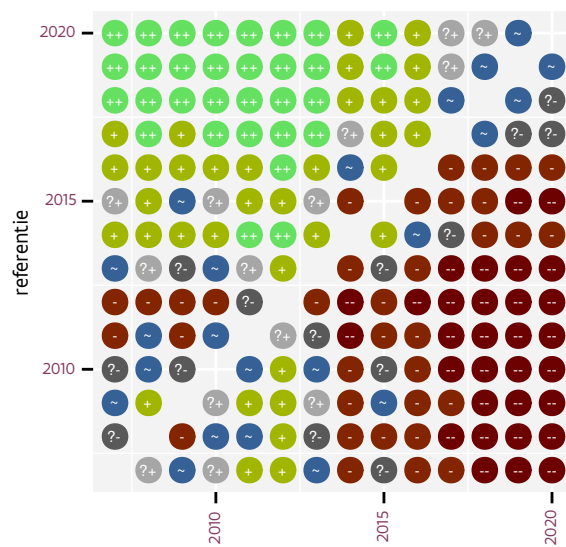
frequentie	analyse	status
jaarlijks	c803427c9e122b1478fb	fa22367d74cf65666842
	0bf13c2a815d0800c727	c7f4e9c7ace75cebfed4
driejaarlijks	2b4a9ff82e333ba21252	482ffda52a85ce52548f
	ba31e973b9a113c2f272	f7360747600c9045e8c3



Figuur 9.2: Wijzigingen per driejarige cyclus voor NARA2020. Zie §4.1 voor een verklaring van de intervallen en §4.2 voor uitleg over de symbolen en referentielijnen.



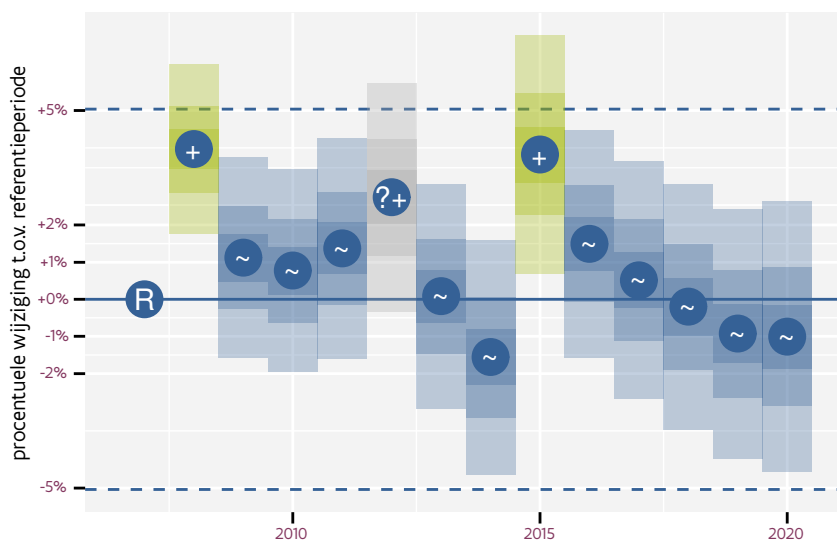
Figuur 9.3: Paarsgewijze vergelijking tussen driejarige cycli voor NARA2020.



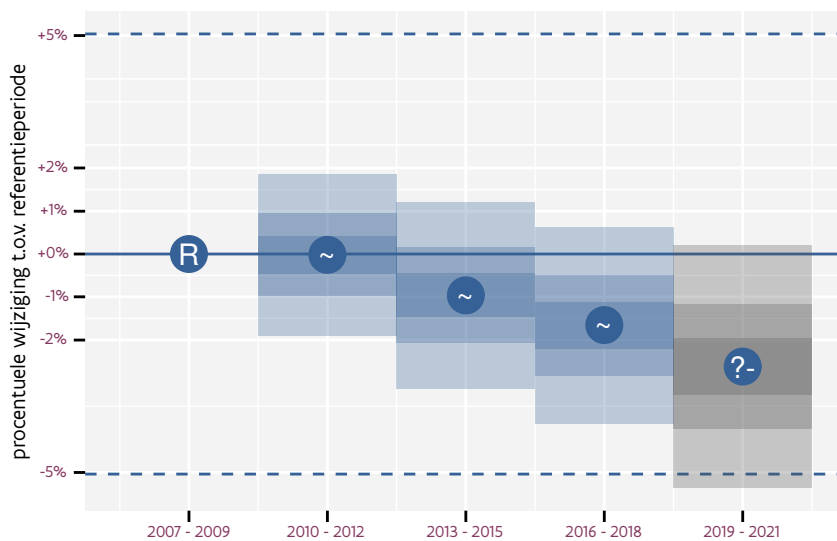
Figuur 9.4: Paarsgewijze vergelijking tussen jaren voor NARA2020.

## 10 STANDVOGEL

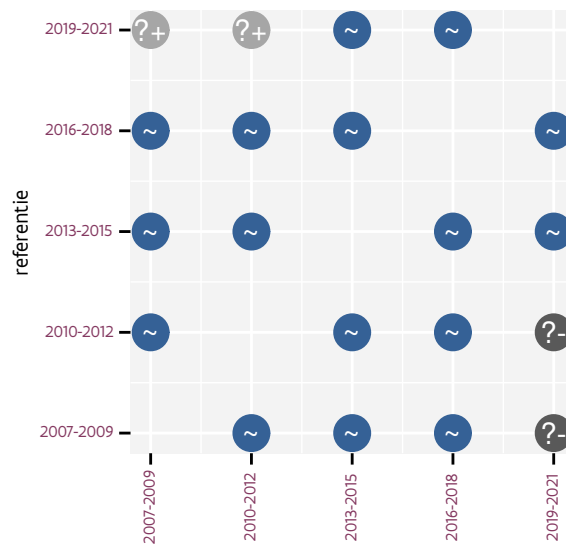
Deze indicator is gebaseerd op volgende soorten: Boomklever, Boomkruiper, Buizerd, Ekster, Fazant, Gaai, Goudhaan, Groene specht, Grote bonte specht, Heggenmus, Holenduif, Houtduif, Huismus, Kauw, Koolmees, Kuifmees, Matkop, Merel, Patrijs, Pimpelmees, Ringmus, Roodborst, Sperwer, Staartmees, Torenvalk, Turkse tortel, Vink, Winterkoning, Zwarte kraai, Zwarte mees, Zwarte specht. De indicator bestaat uit 31 soorten. De aangepaste grenswaarden zijn -5.0% en +5.3%.



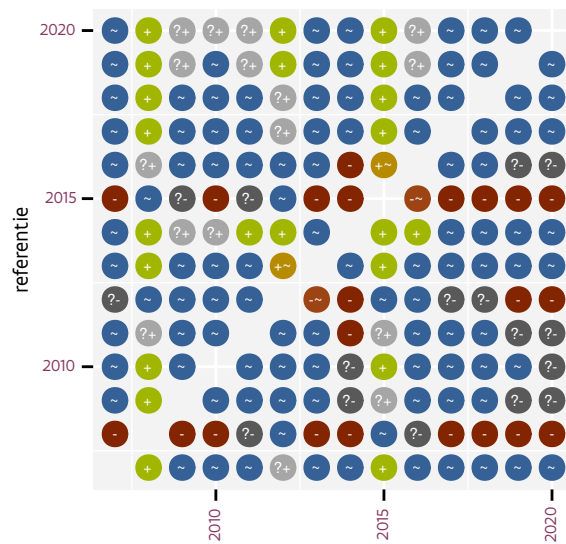
Figuur 10.1: Wijzigingen t.o.v. de start van het meetnet voor Standvogel. Zie §4.1 voor een verklaring van de intervallen en §4.2 voor uitleg over de symbolen en referentielijnen.



Figuur 10.2: Wijzigingen per driejarige cyclus voor Standvogel. Zie §4.1 voor een verklaring van de intervallen en §4.2 voor uitleg over de symbolen en referentielijnen.



Figuur 10.3: Paarsgewijze vergelijking tussen driejarige cycli voor Standvogel.



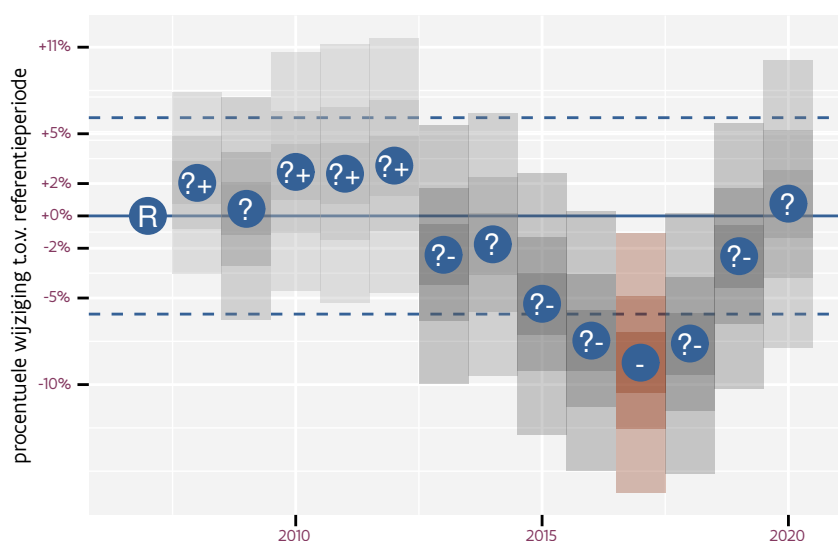
Figuur 10.4: Paarsgewijze vergelijking tussen jaren voor Standvogel.

Tabel 10.1: Data-hashes van de analyse in het kader van traceerbaarheid (zie §5.3).

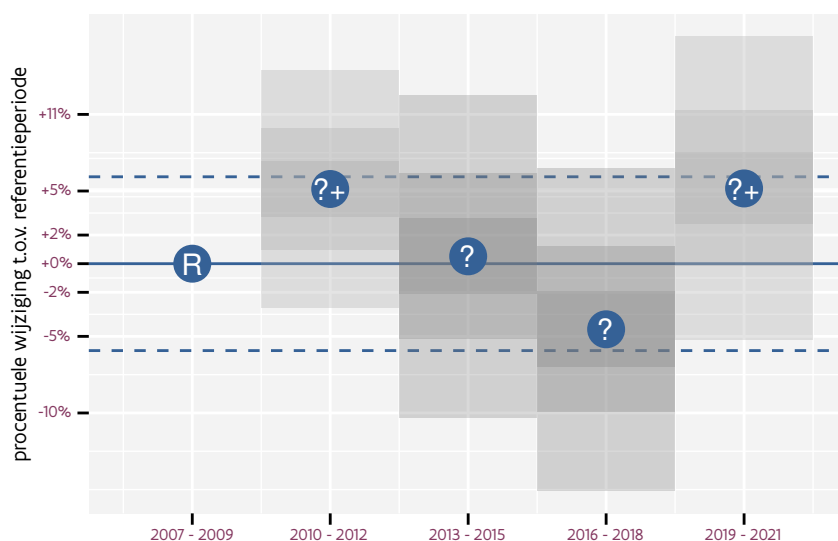
frequentie	analyse	status
jaarlijks	75178ae744ae4df4479b	086eb5beb4f7ba16a8e7
	7ffe63f981f455deb441	0271a700cb73d101a284
driejaarlijks	406ccf338f6dbe034f42	bc4d48fa402d5e04f95d
	6944b0904962c64c112d	c0a9ec3d875d542145a7

# 11 SUBSAHARAMIGRANT

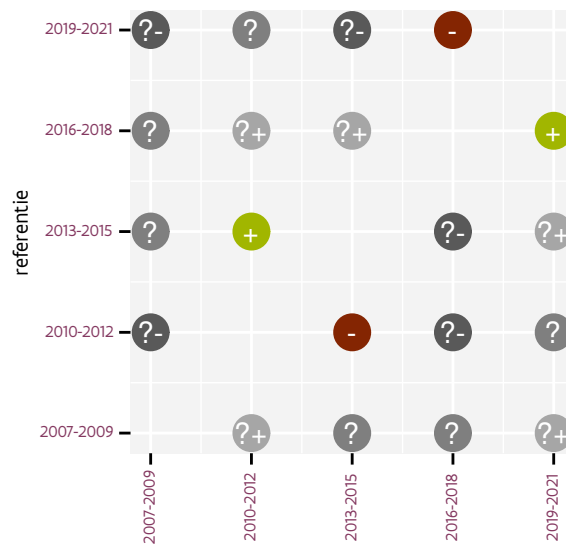
Deze indicator is gebaseerd op volgende soorten: Blauwborst, Boerenwaluw, Bonte vliegenvanger, Boompeeper, Bosrietzanger, Cetti's zanger, Fitis, Gekraagde roodstaart, Gele kwikstaart, Gierzwaluw, Grasmus, Grutto, Huiswaluw, Kleine karekiet, Koekoek, Nachtegaal, Rietzanger, Spotvogel, Sprinkhaanzanger, Tjiftjaf, Tuinfluiter, Wielewaal. De indicator bestaat uit 22 soorten. De aangepaste grenswaarden zijn -5.9% en +6.3%.



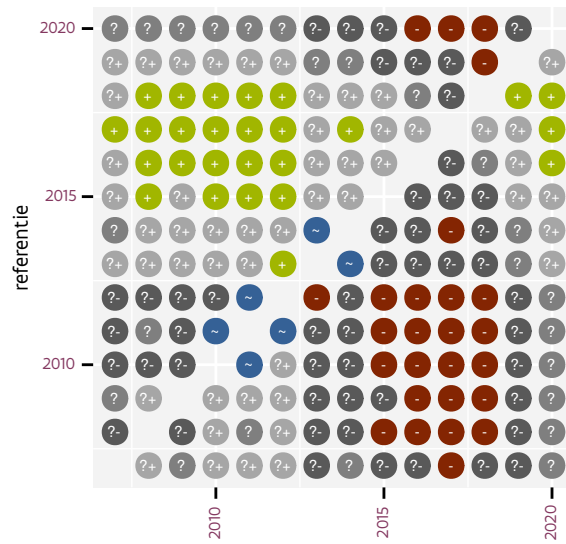
Figuur 11.1: Wijzigingen t.o.v. de start van het meetnet voor SubSaharaMigrant. Zie §4.1 voor een verklaring van de intervallen en §4.2 voor uitleg over de symbolen en referentielijnen.



Figuur 11.2: Wijzigingen per driejarige cyclus voor SubSaharaMigrant. Zie §4.1 voor een verklaring van de intervallen en §4.2 voor uitleg over de symbolen en referentielijnen.



Figuur 11.3: Paarsgewijze vergelijking tussen driejarige cycli voor SubSaharaMigrant.



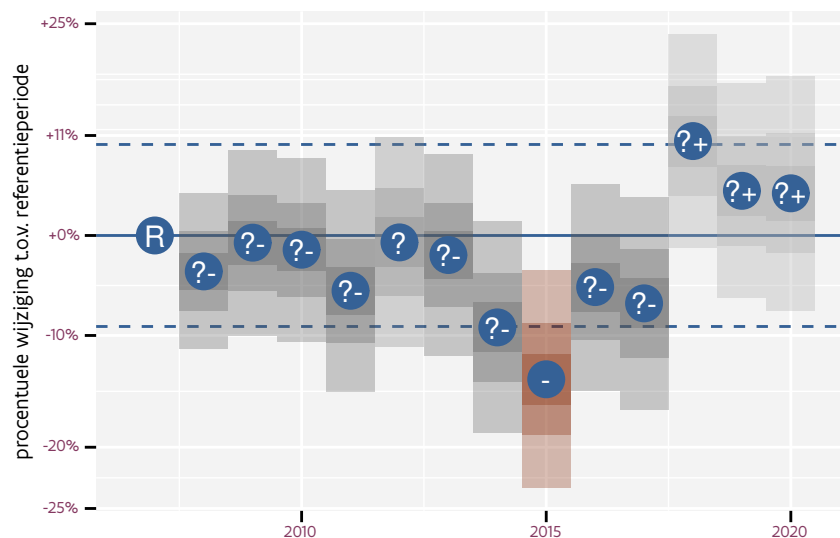
Figuur 11.4: Paarsgewijze vergelijking tussen jaren voor SubSaharaMigrant.

Tabel 11.1: Data-hashes van de analyse in het kader van traceerbaarheid (zie §5.3).

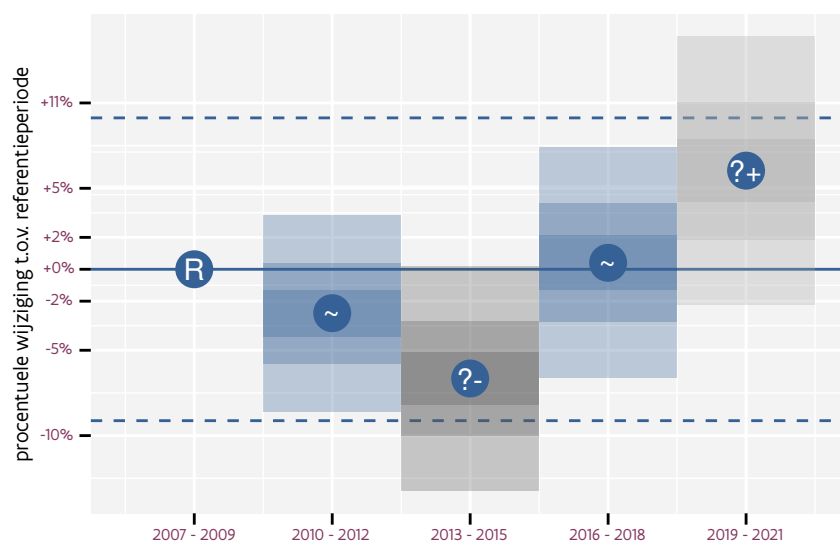
frequentie	analyse	status
jaarlijks	febad39ddfe1d780978e	8645b639d4317c735a48
	81c1449a86bd5851e50f	3824028707579adc9561
driejaarlijks	1a606b8b16485b810cdf	00902fc0456dd9601ba5
	791336c49f802dcd79ad	9c0615993770f654160e

## 12 WATERVOGEL

Deze indicator is gebaseerd op volgende soorten: *Bergeend*, *Canadese gans*, *Dodaars*, *Fuut*, *Grauwe gans*, *Meerkoet*, *Nijlgans*, *Waterhoen*, *Wilde eend*. De indicator bestaat uit 9 soorten. De aangepaste grenswaarden zijn -9.1% en +10.1%.



Figuur 12.1: Wijzigingen t.o.v. de start van het meetnet voor Watervogel. Zie §4.1 voor een verklaring van de intervallen en §4.2 voor uitleg over de symbolen en referentielijnen.



Figuur 12.2: Wijzigingen per driejarige cyclus voor Watervogel. Zie §4.1 voor een verklaring van de intervallen en §4.2 voor uitleg over de symbolen en referentielijnen.





# Deel III

## RESULTATEN PER SOORT

## 13 OVERZICHT VAN DE TRENDS

Tabel 13.2 geeft een overzicht van de lineaire trends voor elke soort. We hebben de trends gesorteerd volgens opdeling van de klassen (zie 4.2 voor de verklaring) en binnen de klasse volgens puntschatting van de trend. Hierdoor start de tabel met de soorten met de sterkste positieve trends. Bij de volgende soorten zal de trend minder sterk worden tot we aan de soorten met een stabiele trend komen. Daarna volgen de soorten met een negatieve trend waarbij de trend steeds sterker negatief wordt. We sluiten de tabel af met de soorten met een mogelijke of onduidelijke trend. De tabel bevat de trend uitgedrukt als een jaarlijkse wijziging en als een wijziging over de volledige looptijd van het meetnet. Verder bevat de tabel de opdeling van de trend in klassen en een indicatie of de trend al dan niet lineair is (zie §3.2.3). De naam van de soort is een snelkoppeling naar de detail van de soort zelf. We raden aan om hiervan gebruikt te maken bij de interpretatie van niet-lineaire trends.

Tabel 13.1: Gemiddelde wijziging in veronderstelling van een lineaire trend gebaseerd op driejaarlijkse gegevens. ++: sterke toename, +: toename, +~: matige toename, ~: stabiel, ~-: matige afname, -: afname, --: sterke afname, ?+: mogelijke toename, ?-: mogelijke afname, ?: onduidelijke trend. Referentie: 0%, ondergrens: -25% over de looptijd, bovengrens: +33% over de looptijd.

soort	klasse	interpretatie	jaarlijkse wijziging	wijziging over de looptijd
<a href="#">Roek</a>	++	mogelijk niet-lineair	+14.55% (+10.65%; +18.59%)	+480% (+270%; +820%)
<a href="#">Kleine mantelmeeuw</a>	++	niet-lineair	+13.3% (+7.5%; +19.4%)	+410% (+150%; +910%)
<a href="#">Cetti's zanger</a>	++	niet-lineair	+11.7% (+5.6%; +18.1%)	+320% (+100%; +770%)
<a href="#">Putter</a>	++	niet-lineair	+11.46% (+7.34%; +15.74%)	+310% (+150%; +570%)
<a href="#">Aalscholver</a>	++	niet-lineair	+8.5% (+3.0%; +14.3%)	+190% (+50%; +470%)
<a href="#">Knobbelzwaan</a>	++	mogelijk niet-lineair	+6.76% (+3.42%; +10.21%)	+130% (+50%; +250%)
<a href="#">Kauw</a>	++	niet-lineair	+5.7% (+5.1%; +6.2%)	+105.0% (+91.5%; +119.4%)
<a href="#">Buizerd</a>	++	niet-lineair	+4.4% (+3.3%; +5.6%)	+75.9% (+52.6%; +102.9%)
<a href="#">Meerkoet</a>	++	lineair	+4.2% (+2.4%; +6.0%)	+70.6% (+36.8%; +112.7%)
<a href="#">Boomklever</a>	++	niet-lineair	+3.8% (+2.3%; +5.3%)	+62% (+35%; +95%)
<a href="#">Zwartkop</a>	++	niet-lineair	+2.86% (+2.38%; +3.34%)	+44% (+36%; +53%)
<a href="#">Krakeend</a>	+	niet-lineair	+6.6% (+1.3%; +12.2%)	+130% (+20%; +350%)
<a href="#">Kokmeeuw</a>	+	niet-lineair	+6.4% (+1.1%; +11.9%)	+120% (+10%; +330%)
<a href="#">Halsbandparkiet</a>	+	niet-lineair	+6.25% (+1.45%; +11.27%)	+120% (+20%; +300%)
<a href="#">Roodborsttapuit</a>	+	niet-lineair	+4.0% (+2.1%; +6.0%)	+66.9% (+31.3%; +112.3%)
<a href="#">Sperwer</a>	+	lineair	+3.6% (+0.4%; +7.0%)	+59% (+5%; +142%)
<a href="#">Nijlgans</a>	+	lineair	+3.5% (+2.0%; +5.1%)	+57% (+29%; +91%)
<a href="#">Grote bonte specht</a>	+	niet-lineair	+2.8% (+1.9%; +3.7%)	+44% (+28%; +61%)
<a href="#">Torenavalk</a>	+	niet-lineair	+2.8% (+1.2%; +4.5%)	+44% (+17%; +77%)
<a href="#">Blauwe reiger</a>	+	lineair	+2.6% (+0.0%; +5.1%)	+39% (+0%; +92%)
<a href="#">Blauwborst</a>	+	niet-lineair	+2.3% (+0.4%; +4.3%)	+35% (+5%; +73%)
<a href="#">Canadese gans</a>	+	lineair	+2.1% (+0.8%; +3.5%)	+32% (+11%; +56%)
<a href="#">Zwarte kraai</a>	+	niet-lineair	+2.08% (+1.71%; +2.45%)	+31% (+25%; +37%)
<a href="#">Roodborst</a>	+	niet-lineair	+1.9% (+1.3%; +2.6%)	+28% (+18%; +39%)
<a href="#">Zwarte roodstaart</a>	+	niet-lineair	+1.8% (+0.7%; +3.0%)	+27% (+10%; +46%)

soort	klasse	interpretatie	jaarlijkse wijziging	wijziging over de looptijd
Bergeend	+	niet-lineair	+1.7% (+0.0%; +3.4%)	+24% (+0%; +54%)
Witte kwikstaart	+	niet-lineair	+1.6% (+0.8%; +2.4%)	+23% (+11%; +36%)
Boerenzwaluw	+	niet-lineair	+1.5% (+0.6%; +2.3%)	+21% (+8%; +35%)
Boomkruiper	+	niet-lineair	+1.3% (+0.1%; +2.5%)	+18% (+2%; +38%)
Pimpelmees	+~	niet-lineair	+1.38% (+0.79%; +1.99%)	+20% (+11%; +29%)
Grasmus	+~	niet-lineair	+1.3% (+0.4%; +2.1%)	+18% (+5%; +31%)
Tijftjaf	+~	niet-lineair	+1.010% (+0.606%; +1.415%)	+14% (+8%; +20%)
Vink	+~	niet-lineair	+0.943% (+0.628%; +1.259%)	+12.98% (+8.48%; +17.67%)
Houtduif	+~	niet-lineair	+0.59% (+0.31%; +0.87%)	+7.92% (+4.09%; +11.89%)
Kleine karekiet	~	niet-lineair	+0.6% (-0.8%; +2.0%)	+8% (-10%; +30%)
Boompieper	~	niet-lineair	+0.2% (-1.7%; +2.0%)	+2% (-20%; +30%)
Ekster	~	niet-lineair	+0.10% (-0.35%; +0.54%)	+1% (-4%; +7%)
Groene specht	~	niet-lineair	-0.1% (-0.8%; +0.6%)	-1% (-10%; +8%)
Scholekster	~	niet-lineair	-0.67% (-1.73%; +0.40%)	-8% (-20%; +5%)
Groenling	~	lineair	-0.76% (-1.62%; +0.11%)	-9.4% (-19.1%; +1.5%)
Fazant	--	niet-lineair	-0.66% (-1.17%; -0.16%)	-8.3% (-14.1%; -2.1%)
Holenduif	--	niet-lineair	-0.79% (-1.45%; -0.13%)	-9.8% (-17.2%; -1.7%)
Koolmees	--	niet-lineair	-0.806% (-1.179%; -0.431%)	-9.98% (-14.29%; -5.46%)
Winterkoning	--	niet-lineair	-0.971% (-1.277%; -0.665%)	-11.92% (-15.38%; -8.31%)
Gaai	--	niet-lineair	-1.1% (-2.1%; -0.1%)	-14% (-24%; -2%)
Turkse tortel	--	lineair	-1.71% (-2.09%; -1.34%)	-20.1% (-24.0%; -16.1%)
Geelgors	-	niet-lineair	-1.6% (-2.9%; -0.3%)	-19% (-32%; -4%)
Koekoek	-	lineair	-2.1% (-3.6%; -0.5%)	-24% (-38%; -6%)
Heggenmus	-	niet-lineair	-2.3% (-2.8%; -1.8%)	-26% (-31%; -21%)
Goudhaan	-	niet-lineair	-2.5% (-4.3%; -0.7%)	-28% (-44%; -8%)
Spreeuw	-	mogelijk niet-lineair	-2.6% (-3.3%; -1.9%)	-29% (-35%; -22%)
Wilde eend	-	lineair	-2.6% (-3.4%; -1.8%)	-29% (-36%; -21%)
Veldleeuwrik	-	lineair	-2.7% (-3.3%; -2.1%)	-30% (-35%; -24%)
Gele kwikstaart	-	niet-lineair	-2.7% (-3.5%; -1.9%)	-30% (-37%; -22%)
Waterhoen	-	niet-lineair	-3.0% (-4.1%; -2.0%)	-33% (-42%; -23%)
Staartmees	-	niet-lineair	-3.1% (-5.6%; -0.6%)	-34% (-53%; -8%)
Graspieper	-	niet-lineair	-3.3% (-4.6%; -2.1%)	-36% (-45%; -24%)
Huismus	--	niet-lineair	-2.96% (-3.38%; -2.53%)	-32.3% (-36.1%; -28.3%)
Merel	--	niet-lineair	-3.45% (-3.70%; -3.19%)	-36.6% (-38.7%; -34.4%)
Zanglijster	--	niet-lineair	-3.6% (-4.2%; -3.1%)	-38.2% (-42.8%; -33.2%)
Ringmus	--	niet-lineair	-3.7% (-5.3%; -2.2%)	-39% (-51%; -25%)
Fitis	--	lineair	-4.0% (-5.8%; -2.2%)	-41% (-54%; -25%)
Patrijs	--	niet-lineair	-4.8% (-6.2%; -3.4%)	-47% (-57%; -36%)
Stadsduif	--	niet-lineair	-5.4% (-8.1%; -2.7%)	-52% (-67%; -30%)
Tuinfluit	--	lineair	-5.9% (-7.7%; -4.1%)	-55% (-65%; -42%)
Havik	--	mogelijk niet-lineair	-6.7% (-9.9%; -3.5%)	-60% (-74%; -37%)
Zwarte mees	--	mogelijk niet-lineair	-7.30% (-10.24%; -4.27%)	-63% (-75%; -43%)
Grote lijster	--	niet-lineair	-7.7% (-9.6%; -5.8%)	-65% (-73%; -54%)
Kievit	--	lineair	-8.5% (-9.1%; -7.8%)	-68.4% (-71.2%; -65.3%)
Sprinkhaanzanger	--	mogelijk niet-lineair	-10.47% (-14.07%; -6.73%)	-76% (-86%; -60%)
Boomleeuwrik	?+	mogelijk niet-lineair	+4.5% (-0.2%; +9.5%)	+80% (-0%; +220%)
Huiszwaluw	?+	niet-lineair	+3.3% (-0.2%; +6.9%)	+53% (-2%; +139%)
Kuifeend	?+	mogelijk niet-lineair	+3% (-2%; +8%)	+48% (-21%; +179%)
Gekraagde roodstaart	?+	niet-lineair	+2.8% (-0.3%; +6.1%)	+44% (-3%; +115%)
Bonte vliegenvanger	?+	lineair	+2.4% (-1.0%; +6.0%)	+37% (-12%; +114%)

soort	klasse	interpretatie	jaarlijkse wijziging	wijziging over de looptijd
Gierzwaluw	?+	niet-lineair	+2.2% (-0.1%; +4.5%)	+32% (-1%; +77%)
Bruine kiekendief	?+	lineair	+2.2% (-1.1%; +5.6%)	+32% (-14%; +102%)
Grauwe gans	?+	niet-lineair	+1.9% (-1.5%; +5.4%)	+30% (-20%; +100%)
Rietzanger	?+	lineair	+1.6% (-0.0%; +3.2%)	+23% (-0%; +51%)
Kneu	?+	mogelijk niet-lineair	+0.8% (-0.7%; +2.3%)	+11% (-8%; +34%)
Rietgors	?-	niet-lineair	-0.7% (-2.7%; +1.4%)	-8% (-30%; +21%)
Fuut	?-	lineair	-1.2% (-4.0%; +1.7%)	-15% (-42%; +24%)
Zwarte specht	?-	niet-lineair	-1.6% (-4.8%; +1.8%)	-18% (-47%; +26%)
Kuifmees	?-	mogelijk niet-lineair	-1.8% (-3.7%; +0.0%)	-21% (-39%; +1%)
Wulp	?-	niet-lineair	-1.9% (-3.9%; +0.1%)	-23% (-40%; +1%)
Nachtegaal	?-	niet-lineair	-2.2% (-4.9%; +0.6%)	-25% (-48%; +9%)
Spotvogel	?-	niet-lineair	-2.7% (-6.5%; +1.4%)	-30% (-59%; +20%)
Wielewaal	?-	niet-lineair	-3.2% (-7.0%; +0.8%)	-34% (-61%; +11%)
Dodaars	?-	niet-lineair	-5.8% (-12.7%; +1.7%)	-50% (-80%; +20%)
Glanskop	?	mogelijk niet-lineair	+0.9% (-3.8%; +5.8%)	+12% (-40%; +108%)
Bosrietzanger	?	lineair	-0.3% (-3.5%; +3.0%)	-3% (-37%; +47%)
Grutto	?	lineair	-1% (-8%; +7%)	-9% (-64%; +130%)
Zilvermeeuw	?	niet-lineair	-1.4% (-5.6%; +3.1%)	-20% (-50%; +50%)
Matkop	?	lineair	-3% (-9%; +4%)	-30% (-70%; +60%)

Tabel 13.2: Gemiddelde wijziging in veronderstelling van een lineaire trend gebaseerd op jaarlijkse gegevens. ++: sterke toename, +: toename, +~: matige toename, ~: stabiel, ~-: matige afname, -: afname, --: sterke afname, ?+: mogelijke toename, ?-: mogelijke afname, ?: onduidelijke trend. Referentie: 0%, ondergrens: -25% over de looptijd, bovengrens: +33% over de looptijd.

soort	klasse	interpretatie	jaarlijkse wijziging	wijziging over de looptijd
Roek	++	niet-lineair	+15.25% (+11.28%; +19.36%)	+530% (+300%; +900%)
Kleine mantelmeeuw	++	niet-lineair	+13.5% (+7.6%; +19.7%)	+420% (+160%; +930%)
Putter	++	niet-lineair	+11.75% (+7.59%; +16.07%)	+320% (+160%; +590%)
Cetti's zanger	++	niet-lineair	+11.7% (+5.5%; +18.2%)	+320% (+100%; +780%)
Aalscholver	++	niet-lineair	+8.5% (+2.8%; +14.4%)	+190% (+40%; +480%)
Knobbelzwaan	++	niet-lineair	+6.89% (+3.50%; +10.39%)	+140% (+60%; +260%)
Kauw	++	niet-lineair	+5.7% (+5.1%; +6.2%)	+104.4% (+90.9%; +118.9%)
Buizerd	++	niet-lineair	+4.7% (+3.5%; +5.9%)	+81.4% (+57.1%; +109.6%)
Meerkoet	++	niet-lineair	+4.1% (+2.4%; +5.9%)	+68.5% (+35.3%; +109.9%)
Boomklever	++	niet-lineair	+3.9% (+2.4%; +5.4%)	+64% (+36%; +97%)
Zwartkop	++	niet-lineair	+2.95% (+2.47%; +3.43%)	+46% (+37%; +55%)
Kokmeeuw	+	niet-lineair	+6.6% (+1.1%; +12.4%)	+130% (+20%; +360%)
Krakeend	+	lineair	+6.0% (+0.9%; +11.4%)	+110% (+10%; +310%)
Halsbandparkiet	+	niet-lineair	+6.00% (+1.49%; +10.70%)	+110% (+20%; +280%)
Roodborsttapuit	+	niet-lineair	+4.1% (+2.2%; +6.1%)	+69.5% (+33.3%; +115.6%)
Sperwer	+	lineair	+3.7% (+0.3%; +7.1%)	+59% (+5%; +143%)
Nijlgans	+	niet-lineair	+3.3% (+1.7%; +4.8%)	+52% (+25%; +84%)
Torenvalk	+	niet-lineair	+3.0% (+1.3%; +4.6%)	+46% (+19%; +80%)
Grote bonte specht	+	niet-lineair	+2.9% (+2.0%; +3.8%)	+46% (+30%; +63%)
Blauwe reiger	+	lineair	+2.5% (+0.0%; +5.1%)	+38% (+0%; +90%)
Canadese gans	+	lineair	+2.4% (+1.1%; +3.8%)	+37% (+15%; +62%)

////////////////////////////////////

soort	klasse	interpretatie	jaarlijkse wijziging	wijziging over de looptijd
Blauwborst	+	niet-lineair	+2.4% (+0.5%; +4.4%)	+37% (+7%; +75%)
Zwarte kraai	+	niet-lineair	+2.07% (+1.69%; +2.44%)	+30% (+24%; +37%)
Roodborst	+	niet-lineair	+2.0% (+1.4%; +2.6%)	+29% (+19%; +40%)
Zwarte roodstaart	+	niet-lineair	+1.8% (+0.7%; +2.9%)	+25% (+9%; +44%)
Witte kwikstaart	+	niet-lineair	+1.6% (+0.8%; +2.4%)	+22% (+10%; +36%)
Boomkruiper	+	niet-lineair	+1.3% (+0.2%; +2.5%)	+19% (+2%; +38%)
Pimpelmees	+~	niet-lineair	+1.5% (+0.9%; +2.1%)	+21% (+12%; +31%)
Boerenzwaluw	+~	niet-lineair	+1.3% (+0.5%; +2.2%)	+19% (+6%; +33%)
Grasmus	+~	niet-lineair	+1.3% (+0.4%; +2.2%)	+18% (+6%; +32%)
Tijftjaf	+~	niet-lineair	+1.083% (+0.679%; +1.489%)	+15% (+9%; +21%)
Vink	+~	niet-lineair	+0.966% (+0.651%; +1.283%)	+13.31% (+8.80%; +18.02%)
Houtduif	+~	niet-lineair	+0.60% (+0.32%; +0.88%)	+8.14% (+4.30%; +12.13%)
Kneu	~	niet-lineair	+0.6% (-0.9%; +2.0%)	+7% (-11%; +30%)
Kleine karekiet	~	niet-lineair	+0.46% (-0.96%; +1.89%)	+6% (-12%; +28%)
Ekster	~	niet-lineair	+0.13% (-0.31%; +0.58%)	+2% (-4%; +8%)
Boompieper	~	niet-lineair	+0.07% (-1.75%; +1.93%)	+1% (-21%; +28%)
Groene specht	~	niet-lineair	+0.0% (-0.7%; +0.7%)	+0% (-9%; +10%)
Scholekster	~	niet-lineair	-0.74% (-1.79%; +0.33%)	-9% (-21%; +4%)
Groenling	~	lineair	-0.75% (-1.61%; +0.13%)	-9.3% (-19.0%; +1.7%)
Gaai	~	niet-lineair	-0.98% (-1.96%; +0.01%)	-12% (-23%; +0%)
Fazant	--	niet-lineair	-0.65% (-1.15%; -0.14%)	-8.1% (-14.0%; -1.8%)
Koolmees	--	niet-lineair	-0.744% (-1.118%; -0.369%)	-9.25% (-13.59%; -4.70%)
Winterkoning	--	niet-lineair	-0.858% (-1.164%; -0.551%)	-10.60% (-14.12%; -6.93%)
Holenduif	--	niet-lineair	-0.86% (-1.52%; -0.21%)	-10.7% (-18.0%; -2.6%)
Turkse tortel	--	niet-lineair	-1.71% (-2.08%; -1.33%)	-20.1% (-23.9%; -16.0%)
Geelgors	-	niet-lineair	-1.5% (-2.8%; -0.2%)	-18% (-31%; -3%)
Koekoek	-	niet-lineair	-2.0% (-3.5%; -0.4%)	-23% (-37%; -6%)
Heggenmus	-	niet-lineair	-2.3% (-2.8%; -1.8%)	-26% (-31%; -21%)
Goudhaan	-	niet-lineair	-2.4% (-4.2%; -0.5%)	-27% (-43%; -7%)
Wilde eend	-	niet-lineair	-2.5% (-3.3%; -1.7%)	-28% (-35%; -20%)
Spreeuw	-	niet-lineair	-2.6% (-3.3%; -2.0%)	-29% (-36%; -23%)
Veldleeuwerik	-	niet-lineair	-2.7% (-3.3%; -2.0%)	-30% (-35%; -24%)
Gele kwikstaart	-	niet-lineair	-2.7% (-3.6%; -1.9%)	-30% (-38%; -22%)
Staatmees	-	niet-lineair	-2.8% (-5.3%; -0.3%)	-31% (-51%; -4%)
Waterhoen	-	niet-lineair	-3.0% (-4.0%; -1.9%)	-33% (-41%; -23%)
Ringmus	-	niet-lineair	-3.7% (-5.2%; -2.2%)	-39% (-50%; -25%)
Huismus	--	niet-lineair	-2.98% (-3.40%; -2.55%)	-32.5% (-36.2%; -28.5%)
Merel	--	niet-lineair	-3.38% (-3.63%; -3.12%)	-36.0% (-38.2%; -33.8%)
Zanglijster	--	niet-lineair	-3.5% (-4.1%; -3.0%)	-37.4% (-42.0%; -32.4%)
Graspieper	--	niet-lineair	-3.8% (-4.9%; -2.5%)	-39% (-48%; -28%)
Fitis	--	niet-lineair	-4.2% (-6.0%; -2.3%)	-43% (-55%; -27%)
Grutto	--	lineair	-4.6% (-6.7%; -2.5%)	-46% (-59%; -28%)
Patrijs	--	niet-lineair	-4.8% (-6.2%; -3.4%)	-47% (-56%; -36%)
Stadsduif	--	niet-lineair	-5.4% (-8.1%; -2.6%)	-51% (-67%; -29%)
Tuinfluitier	--	niet-lineair	-5.9% (-7.7%; -4.0%)	-55% (-65%; -41%)
Havik	--	mogelijk niet-lineair	-6.94% (-10.07%; -3.70%)	-61% (-75%; -39%)
Zwarte mees	--	niet-lineair	-7.0% (-9.9%; -4.0%)	-61% (-74%; -41%)
Grote lijster	--	niet-lineair	-7.8% (-9.7%; -5.9%)	-65% (-73%; -55%)
Kievit	--	niet-lineair	-8.5% (-9.1%; -7.8%)	-68.4% (-71.3%; -65.4%)
Sprinkhaanzanger	--	mogelijk niet-lineair	-9.70% (-13.21%; -6.05%)	-73% (-84%; -56%)

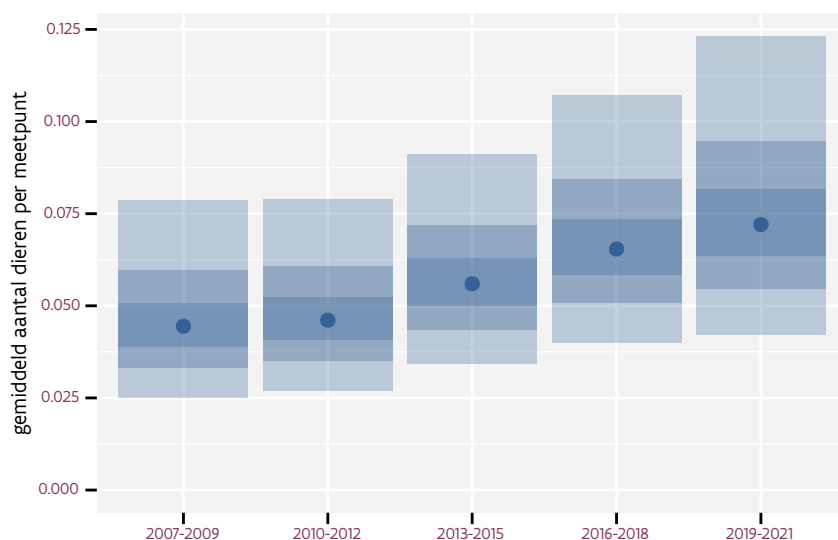
////////////////////////////////////

soort	klasse	interpretatie	jaarlijkse wijziging	wijziging over de looptijd
Boomleeuwerik	?+	niet-lineair	+4.8% (-0.0%; +9.9%)	+80% (-0%; +240%)
Kuifeend	?+	niet-lineair	+3% (-1%; +9%)	+55% (-17%; +191%)
Bonte vliegenvanger	?+	lineair	+3.4% (-0.0%; +6.9%)	+54% (-0%; +137%)
Gekraagde roodstaart	?+	niet-lineair	+3.0% (-0.2%; +6.2%)	+46% (-3%; +119%)
Huiszwaluw	?+	niet-lineair	+2.5% (-0.9%; +6.0%)	+38% (-11%; +115%)
Grauwe gans	?+	niet-lineair	+2.4% (-1.1%; +5.9%)	+36% (-13%; +112%)
Bruine kiekendief	?+	lineair	+2.3% (-1.0%; +5.7%)	+35% (-12%; +106%)
Gierzwaluw	?+	niet-lineair	+2.3% (-0.0%; +4.6%)	+34% (-0%; +80%)
Rietzanger	?+	niet-lineair	+1.5% (-0.1%; +3.1%)	+22% (-1%; +49%)
Bergeend	?+	niet-lineair	+1.3% (-0.4%; +3.0%)	+18% (-5%; +46%)
Rietgors	?-	niet-lineair	-0.8% (-2.8%; +1.3%)	-10% (-31%; +18%)
Fuut	?-	niet-lineair	-1.1% (-3.8%; +1.5%)	-14% (-39%; +22%)
Zwarte specht	?-	niet-lineair	-1.4% (-4.7%; +2.0%)	-17% (-47%; +30%)
Kuifmees	?-	niet-lineair	-1.6% (-3.4%; +0.3%)	-18% (-36%; +5%)
Wulp	?-	niet-lineair	-1.8% (-3.8%; +0.2%)	-21% (-39%; +2%)
Nachtegaal	?-	niet-lineair	-2.0% (-4.7%; +0.9%)	-23% (-47%; +12%)
Spotvogel	?-	niet-lineair	-2.3% (-6.2%; +1.8%)	-26% (-56%; +27%)
Wielewaal	?-	niet-lineair	-3.4% (-7.2%; +0.6%)	-36% (-62%; +8%)
Dodaars	?-	niet-lineair	-5.9% (-12.9%; +1.6%)	-50% (-80%; +20%)
Glanskop	?	mogelijk niet-lineair	+0.9% (-3.8%; +5.9%)	+13% (-39%; +110%)
Bosrietzanger	?	mogelijk niet-lineair	+0.2% (-3.0%; +3.6%)	+3% (-32%; +58%)
Zilvermeeuw	?	niet-lineair	-0.9% (-5.2%; +3.6%)	-10% (-50%; +60%)
Matkop	?	mogelijk niet-lineair	-3% (-9%; +4%)	-30% (-70%; +60%)

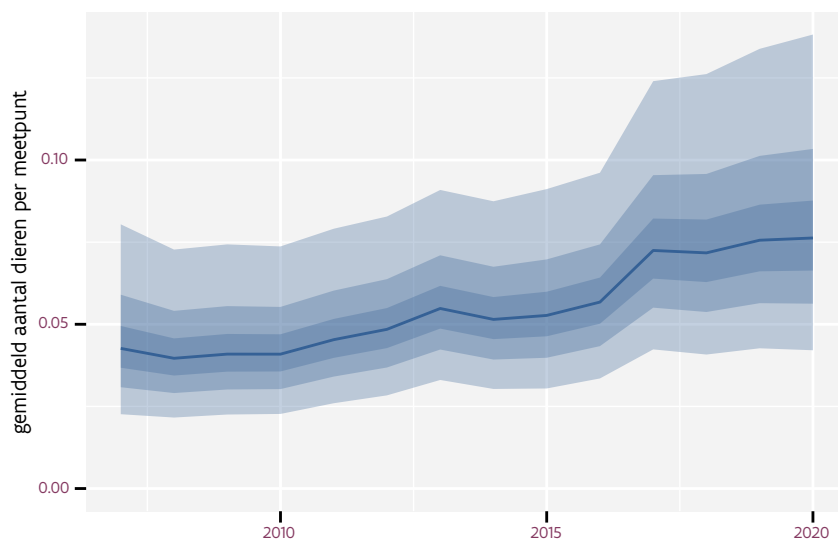
## 14 AALSCHOLVER

Op basis van driejaarlijkse gegevens zien we gemiddeld een sterke toename met +8.5% (+3.0%; +14.3%) per jaar of +190% (+50%; +470%) over de volledige looptijd van het meetnet. Deze trend is niet-lineair.

Op basis van jaarlijkse gegevens zien we gemiddeld een sterke toename met +8.5% (+2.8%; +14.4%) per jaar of +190% (+40%; +480%) over de volledige looptijd van het meetnet. Deze trend is niet-lineair.

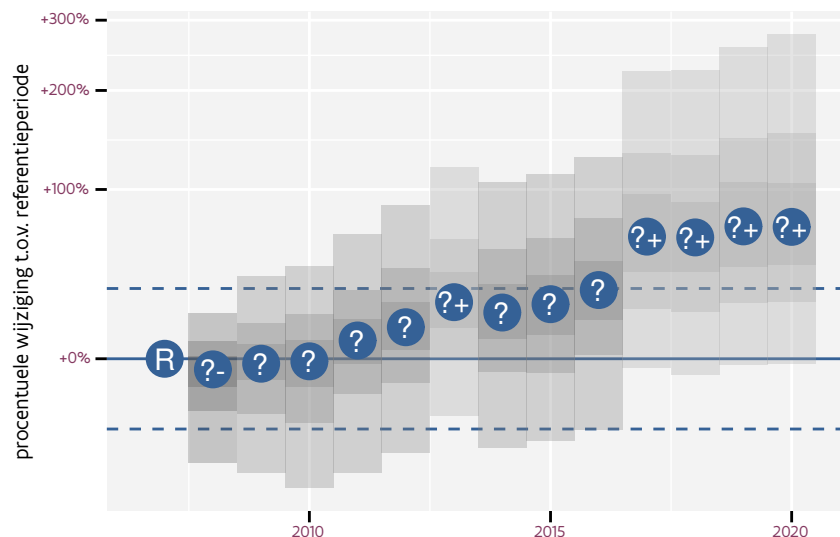


Figuur 14.1: Evolutie van het gemodeleerde gemiddeld aantal waargenomen dieren op een meetpunt voor Aalscholver tijdens de referentieperiode. Zie §4.1 voor een verklaring van de intervallen.

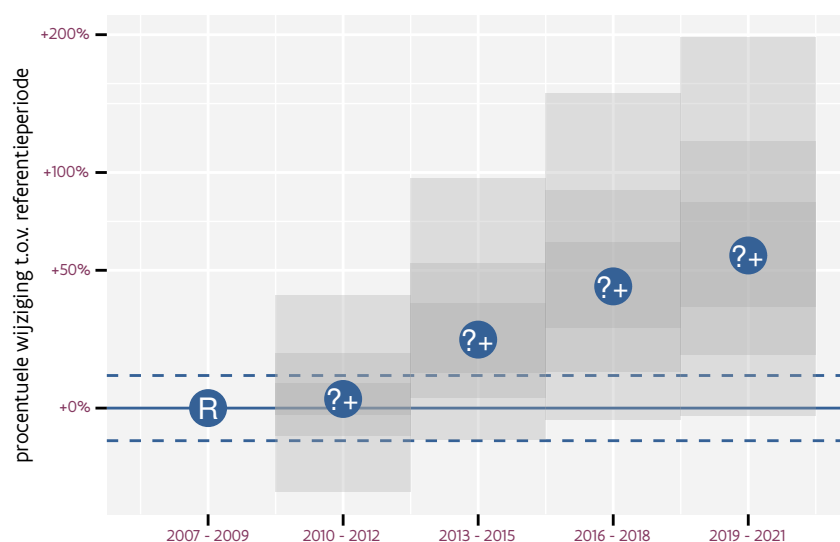


Figuur 14.2: Evolutie van het gemodeleerde gemiddeld aantal waargenomen dieren op een meetpunt voor Aalscholver tijdens de referentieperiode. Zie §4.1 voor een verklaring van de intervallen.





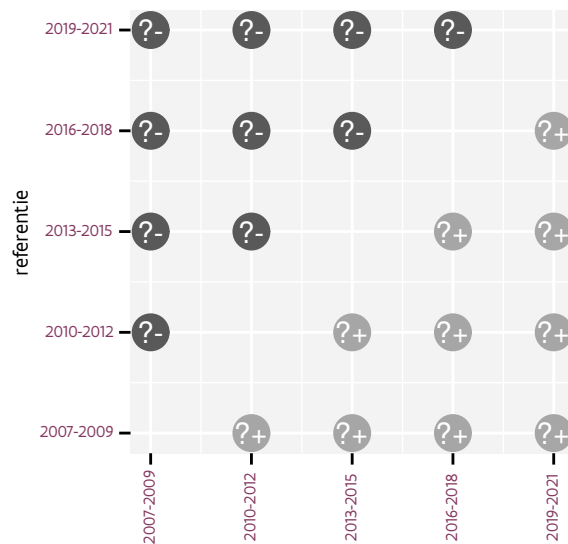
Figuur 14.3: Wijzigingen tussen jaren voor Aalscholver. Zie §4.1 voor een verklaring van de intervallen en §4.2 voor uitleg over de symbolen en referentielijnen.



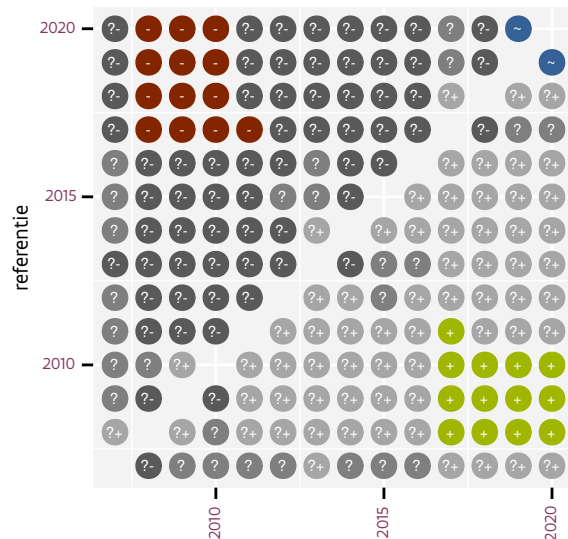
Figuur 14.4: Wijzigingen per driejarige cyclus voor Aalscholver. Zie §4.1 voor een verklaring van de intervallen en §4.2 voor uitleg over de symbolen en referentielijnen.

Tabel 14.1: Stratumgewicht, raming aan het aantal hokken waarin de soort aanwezig is, aantal relevant hokken voor de analyse, aantal onderzochte hokken in het stratum, totaal aantal hokken van het stratum in Vlaanderen en aantal bezoeken aan een meetpunt voor Aalscholver (zie §3.5).

stratum	gewicht	aanwezig	relevant	onderzocht	totaal	bezoeken
Landbouw	79.1%	207.4	14	426	6311	998
Moeras en water	14.7%	41.1	24	80	137	1571
Heide en duin	6.3%	15.3	7	91	199	504



Figuur 14.5: Paarsgewijze vergelijking tussen driejarige cycli voor Aalscholver. Uitleg van de symbolen in tabel 4.1.



Figuur 14.6: Paarsgewijze vergelijking tussen jaren voor Aalscholver. Uitleg van de symbolen in tabel 4.1.

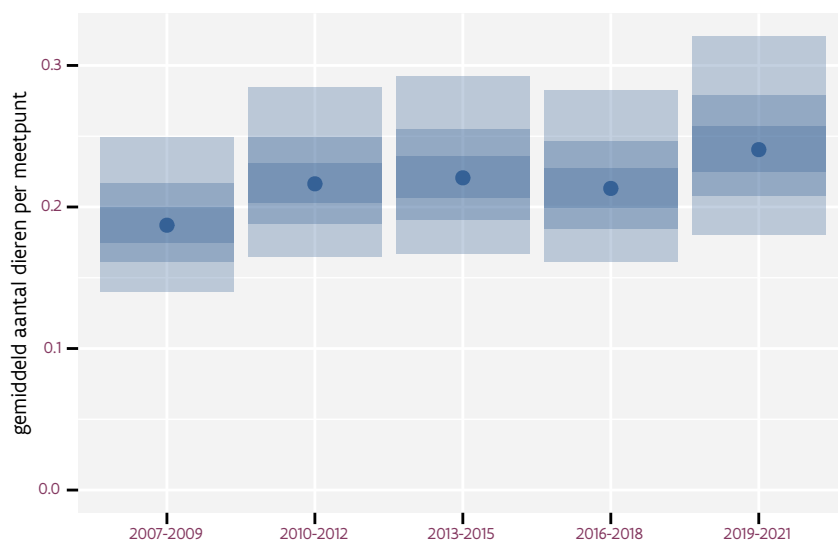
Tabel 14.2: Data-hashes van de analyses in het kader van traceerbaarheid (zie §5.3).

frequentie	model	analyse	status
jaarlijks	lineair	70bccf64f2b119a9e52c 41a5b73cc7fda7b0dcb6	bf581c4e179599d3a83a b2aa0c05037abf377fb3
jaarlijks	niet-lineair	d6c3492e678e8a08410e 6406ea61074ec5becbdd	23e3c4922da8ad126bfa 7b679860c03bdc20ec61
driejaarlijks	lineair	4e190a486d6794183486 f2c552cbd4ca05b2d8be	fa8bd9368de386353b5a 718551783cd1deb78ba3
driejaarlijks	niet-lineair	3b5aa6769b8f90cb70d3 c87fa8140342d27c9446	d7e50817e7836d36acb9 1416a7f07cfa136d43df

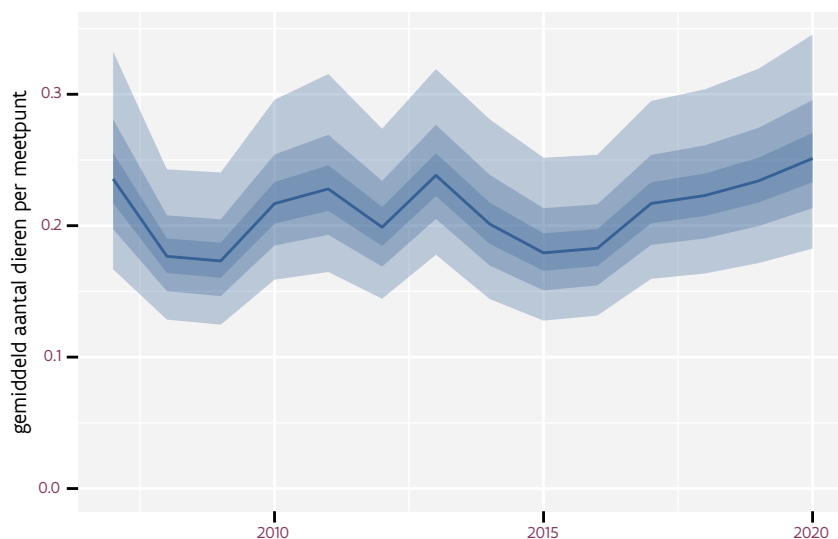
## 15 BERGEEND

Op basis van driejaarlijkse gegevens zien we gemiddeld een toename met +1.7% (+0.0%; +3.4%) per jaar of +24% (+0%; +54%) over de volledige looptijd van het meetnet. Deze trend is niet-lineair.

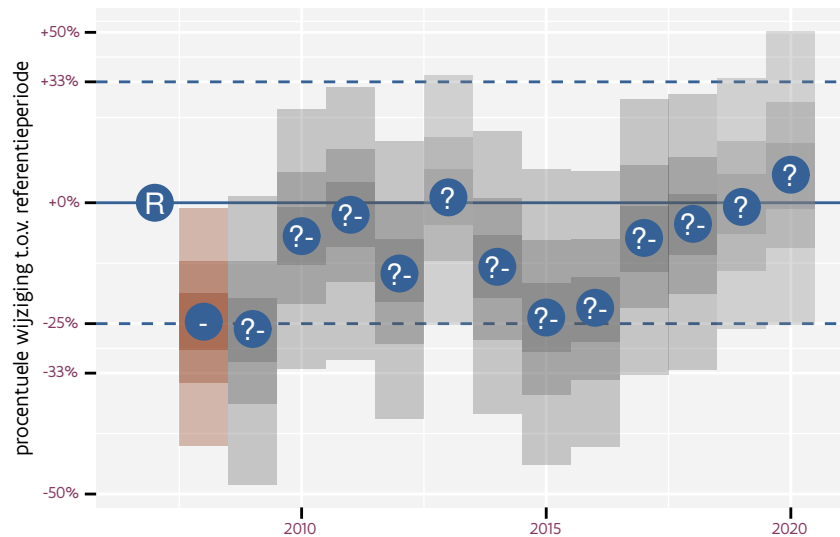
Op basis van jaarlijkse gegevens zien we gemiddeld een mogelijke toename met +1.3% (-0.4%; +3.0%) per jaar of +18% (-5%; +46%) over de volledige looptijd van het meetnet. Deze trend is niet-lineair.



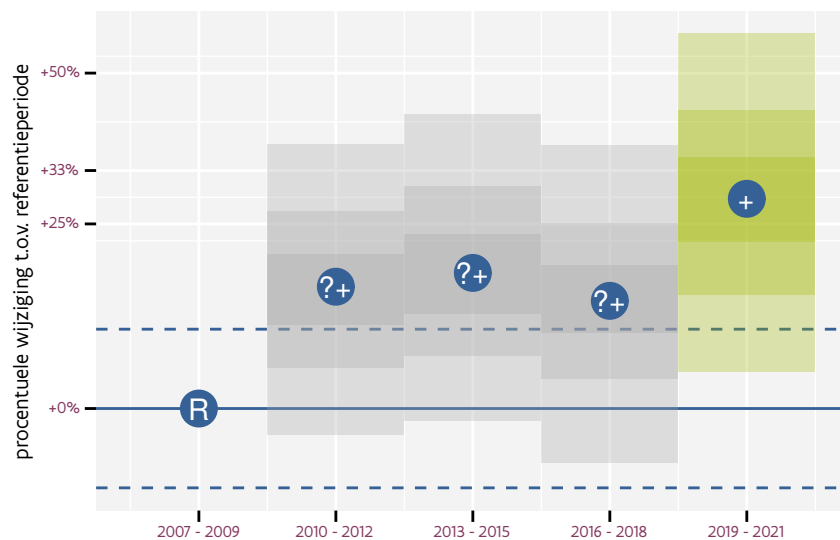
Figuur 15.1: Evolutie van het gemodeleerde gemiddeld aantal waargenomen dieren op een meetpunt voor Bergeend tijdens de referentieperiode. Zie §4.1 voor een verklaring van de intervallen.



Figuur 15.2: Evolutie van het gemodeleerde gemiddeld aantal waargenomen dieren op een meetpunt voor Bergeend tijdens de referentieperiode. Zie §4.1 voor een verklaring van de intervallen.



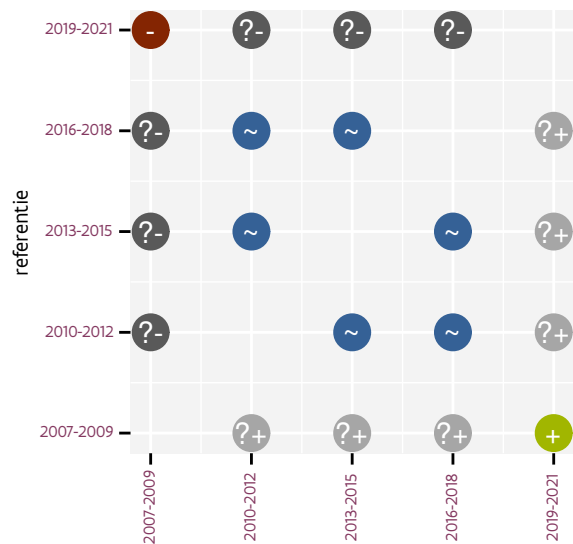
Figuur 15.3: Wijzigingen tussen jaren voor Bergeend. Zie §4.1 voor een verklaring van de intervallen en §4.2 voor uitleg over de symbolen en referentielijnen.



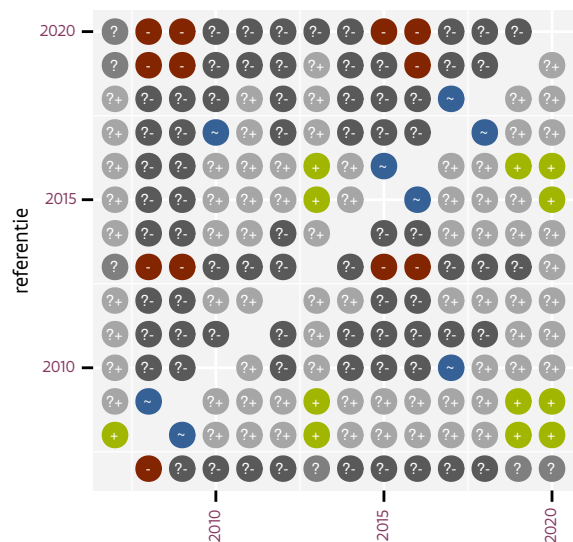
Figuur 15.4: Wijzigingen per driejarige cyclus voor Bergeend. Zie §4.1 voor een verklaring van de intervallen en §4.2 voor uitleg over de symbolen en referentielijnen.

Tabel 15.1: Stratungewicht, raming aan het aantal hokken waarin de soort aanwezig is, aantal relevant hokken voor de analyse, aantal onderzochte hokken in het stratum, totaal aantal hokken van het stratum in Vlaanderen en aantal bezoeken aan een meetpunt voor Bergeend (zie §3.5).

stratum	gewicht	aanwezig	relevant	onderzocht	totaal	bezoeken
Landbouw	88.8%	755.5	51	426	6311	3399
Moeras en water	5.1%	41.1	24	80	137	1489
Suburbaan	2.8%	20.7	7	68	201	399
Heide en duin	2.6%	19.7	9	91	199	630
Bos	0.8%	5.0	3	190	319	231



Figuur 15.5: Paarsgewijze vergelijking tussen driejarige cycli voor Bergeend. Uitleg van de symbolen in tabel 4.1.



Figuur 15.6: Paarsgewijze vergelijking tussen jaren voor Bergeend. Uitleg van de symbolen in tabel 4.1.

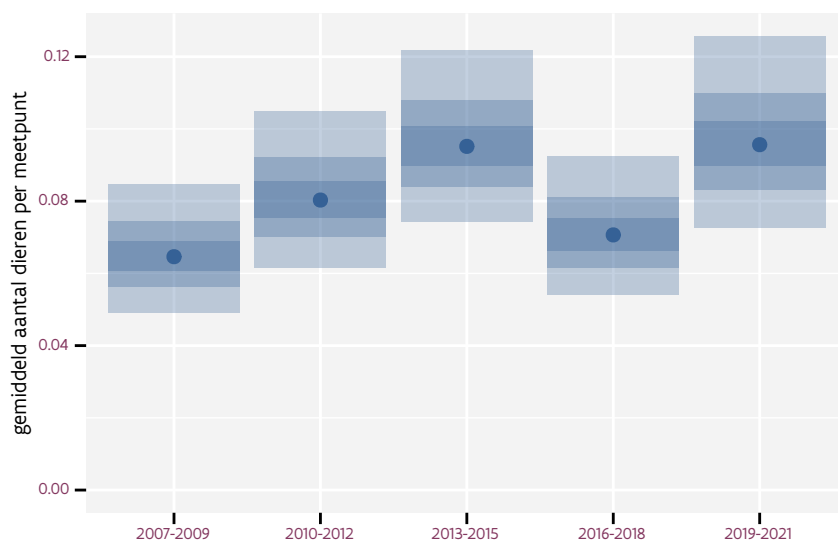
Tabel 15.2: Data-hashes van de analyses in het kader van traceerbaarheid (zie §5.3).

frequentie	model	analyse	status
jaarlijks	lineair	d61238bdadccedb49ca3 addfb08b84b89be82184	f7f5e7a62a00aa073fc5 4a72d6b9ed7c9f3eec07
jaarlijks	niet-lineair	1ed9ae16489b7e6be38b 262518e9747418cc6802	04f09a370127573eb0e4 e32921c6aed93edbf460
driejaarlijks	lineair	adab77e5dafbdd81ab42 864ad5f87c9b9bfa7fcd	4733fb703ba92015cb5e 63551894a5246ada8baf
driejaarlijks	niet-lineair	3dbccf11d615dfda64d6 373c96f3eea84ee4f4c2	5f78cb89b191693b8f75 616f232767258b5441fd

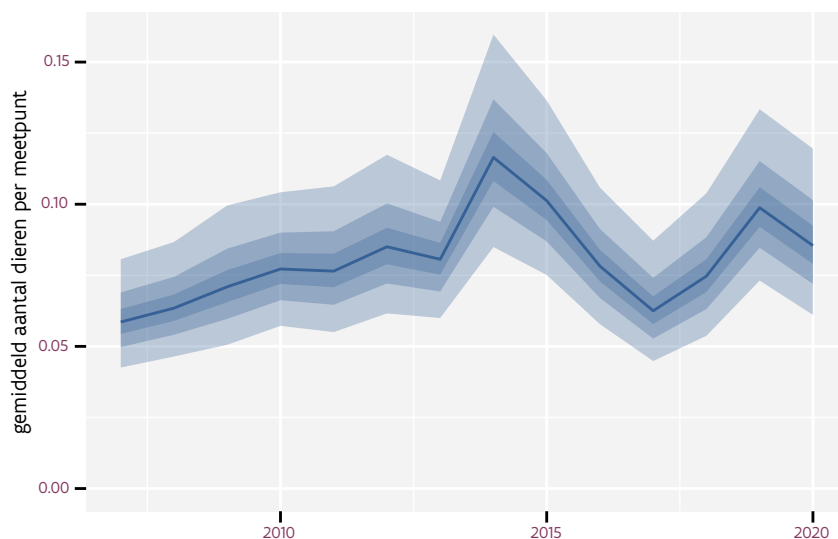
## 16 BLAUWBORST

Op basis van driejaarlijkse gegevens zien we gemiddeld een toename met +2.3% (+0.4%; +4.3%) per jaar of +35% (+5%; +73%) over de volledige looptijd van het meetnet. Deze trend is niet-lineair.

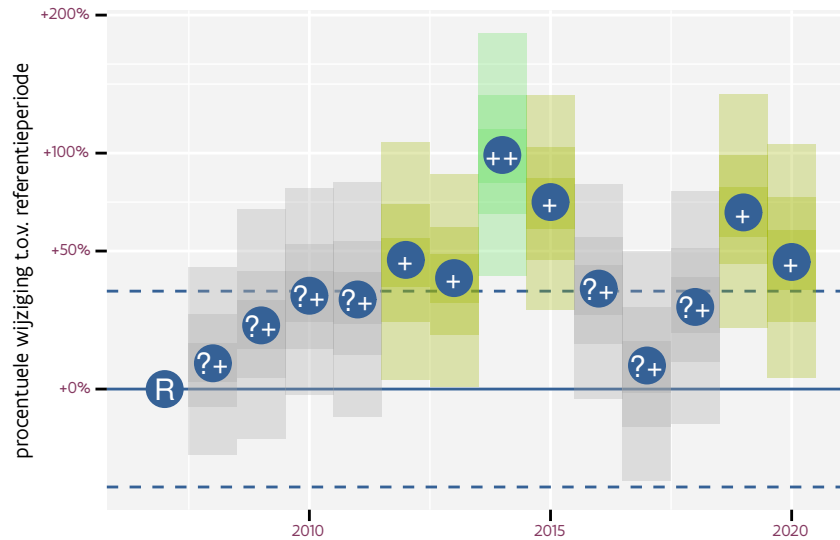
Op basis van jaarlijkse gegevens zien we gemiddeld een toename met +2.4% (+0.5%; +4.4%) per jaar of +37% (+7%; +75%) over de volledige looptijd van het meetnet. Deze trend is niet-lineair.



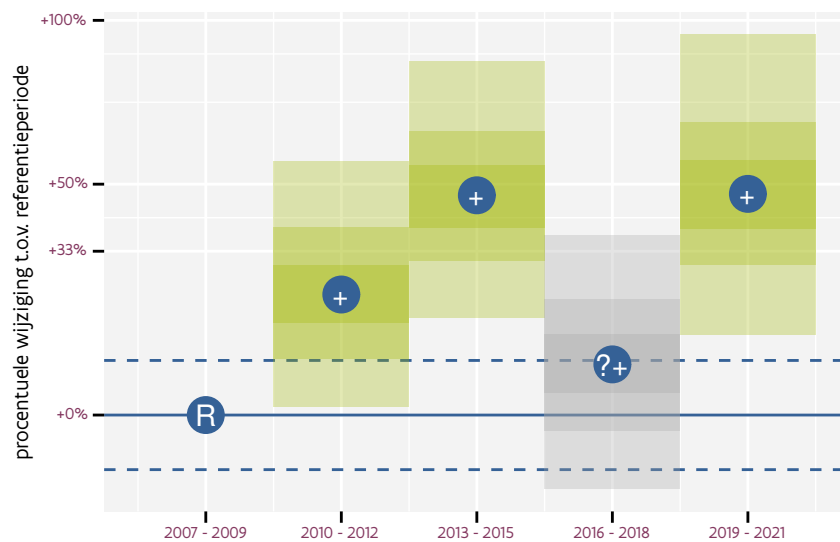
Figuur 16.1: Evolutie van het gemodeleerde gemiddeld aantal waargenomen dieren op een meetpunt voor Blauwborst tijdens de referentieperiode. Zie §4.1 voor een verklaring van de intervallen.



Figuur 16.2: Evolutie van het gemodeleerde gemiddeld aantal waargenomen dieren op een meetpunt voor Blauwborst tijdens de referentieperiode. Zie §4.1 voor een verklaring van de intervallen.



Figuur 16.3: Wijzigingen tussen jaren voor Blauwborst. Zie §4.1 voor een verklaring van de intervallen en §4.2 voor uitleg over de symbolen en referentielijnen.



Figuur 16.4: Wijzigingen per driejarige cyclus voor Blauwborst. Zie §4.1 voor een verklaring van de intervallen en §4.2 voor uitleg over de symbolen en referentielijnen.

Tabel 16.1: Stratumgewicht, raming aan het aantal hokken waarin de soort aanwezig is, aantal relevant hokken voor de analyse, aantal onderzochte hokken in het stratum, totaal aantal hokken van het stratum in Vlaanderen en aantal bezoeken aan een meetpunt voor Blauwborst (zie §3.5).

stratum	gewicht	aanwezig	relevant	onderzocht	totaal	bezoeken
Landbouw	92.8%	740.7	50	426	6311	3508
Moeras en water	3.4%	25.7	15	80	137	991
Heide en duin	1.9%	13.1	6	91	199	416
Suburbaan	1.9%	11.8	4	68	201	180

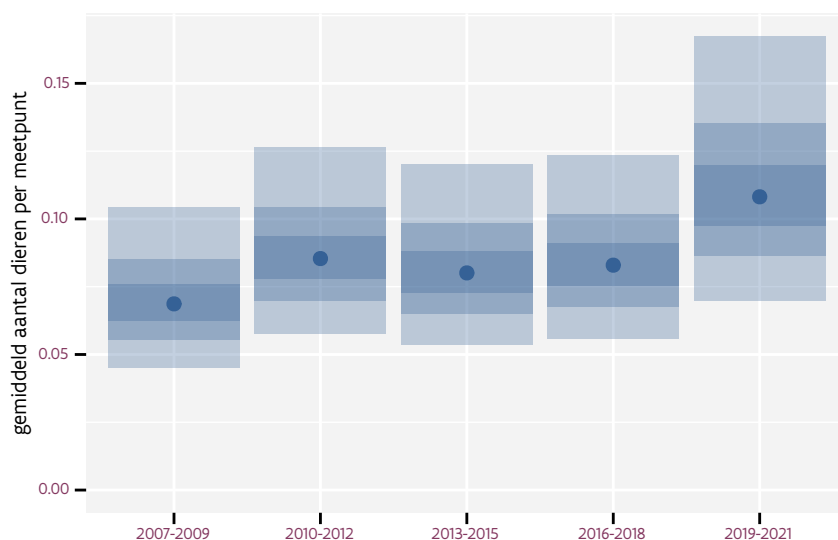




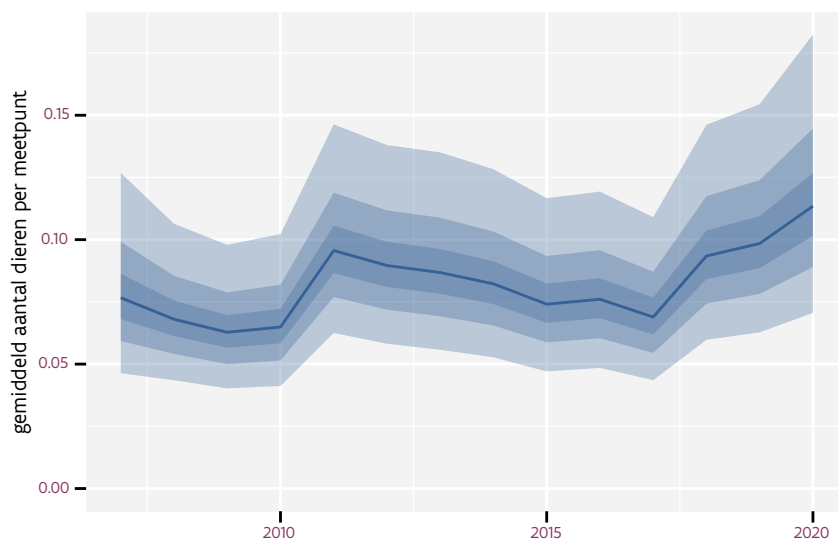
## 17 BLAUWE REIGER

Op basis van driejaarlijkse gegevens zien we gemiddeld een toename met +2.6% (+0.0%; +5.1%) per jaar of +39% (+0%; +92%) over de volledige looptijd van het meetnet. Deze trend is lineair.

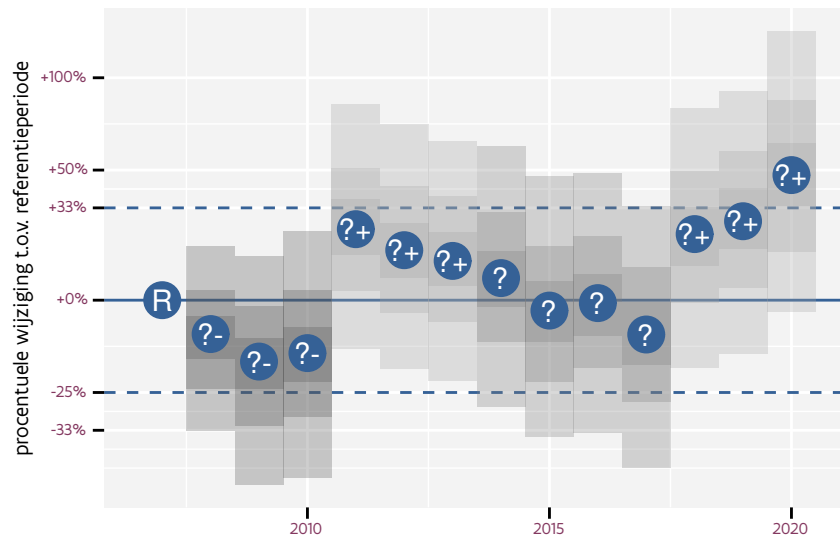
Op basis van jaarlijkse gegevens zien we gemiddeld een toename met +2.5% (+0.0%; +5.1%) per jaar of +38% (+0%; +90%) over de volledige looptijd van het meetnet. Deze trend is lineair.



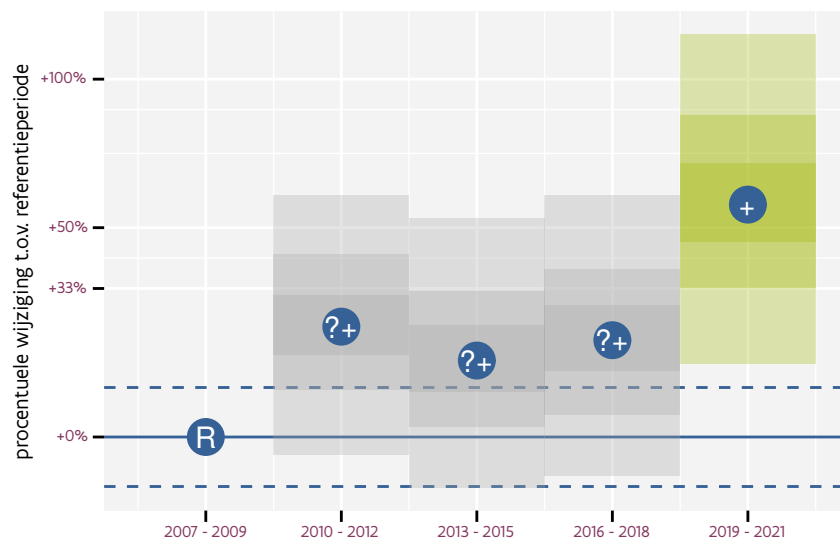
Figuur 17.1: Evolutie van het gemodeleerde gemiddeld aantal waargenomen dieren op een meetpunt voor Blauwe reiger tijdens de referentieperiode. Zie §4.1 voor een verklaring van de intervallen.



Figuur 17.2: Evolutie van het gemodeleerde gemiddeld aantal waargenomen dieren op een meetpunt voor Blauwe reiger tijdens de referentieperiode. Zie §4.1 voor een verklaring van de intervallen.



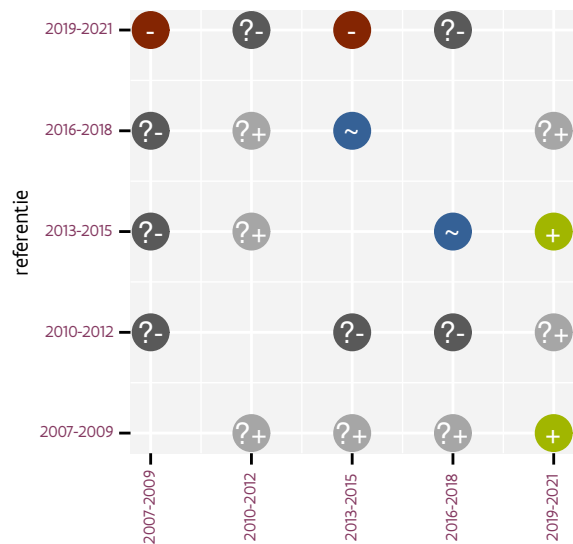
Figuur 17.3: Wijzigingen tussen jaren voor Blauwe reiger. Zie §4.1 voor een verklaring van de intervallen en §4.2 voor uitleg over de symbolen en referentielijnen.



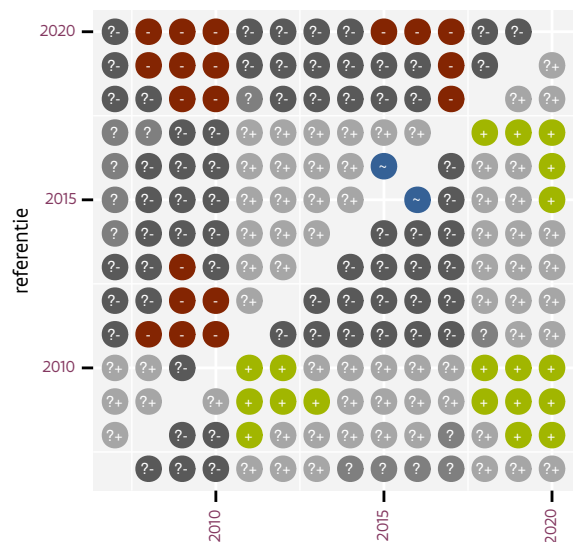
Figuur 17.4: Wijzigingen per driejarige cyclus voor Blauwe reiger. Zie §4.1 voor een verklaring van de intervallen en §4.2 voor uitleg over de symbolen en referentielijnen.

Tabel 17.1: Stratumgewicht, raming aan het aantal hokken waarin de soort aanwezig is, aantal relevant hokken voor de analyse, aantal onderzochte hokken in het stratum, totaal aantal hokken van het stratum in Vlaanderen en aantal bezoeken aan een meetpunt voor Blauwe reiger (zie §3.5).

stratum	gewicht	aanwezig	relevant	onderzocht	totaal	bezoeken
Landbouw	89.0%	888.9	60	426	6311	4133
Moeras en water	4.5%	42.8	25	80	137	1670
Heide en duin	3.1%	28.4	13	91	199	867
Bos	2.2%	20.1	12	190	319	927
Suburbaan	1.2%	8.9	3	68	201	360



Figuur 17.5: Paarsgewijze vergelijking tussen driejarige cycli voor Blauwe reiger. Uitleg van de symbolen in tabel 4.1.



Figuur 17.6: Paarsgewijze vergelijking tussen jaren voor Blauwe reiger. Uitleg van de symbolen in tabel 4.1.

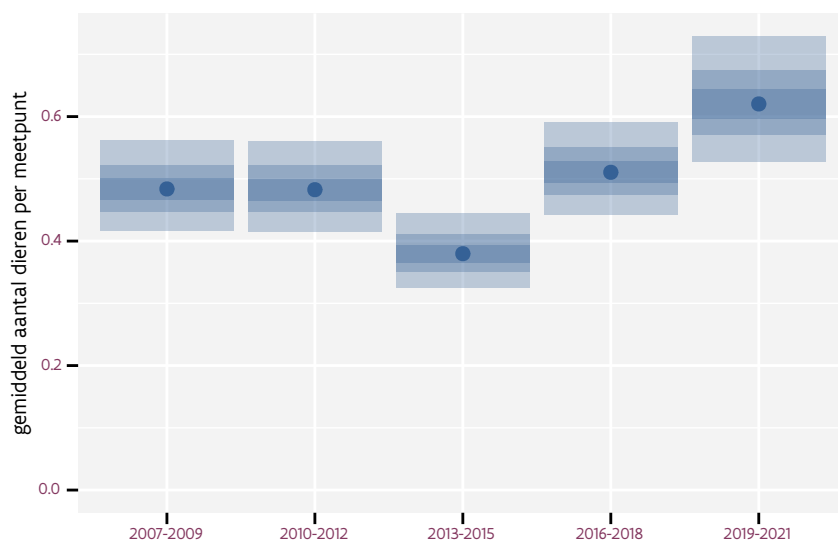
Tabel 17.2: Data-hashes van de analyses in het kader van traceerbaarheid (zie §5.3).

frequentie	model	analyse	status
jaarlijks	lineair	ee3661c9e856bcfc774e 57964f495e842573f4d7	3e260a189cb33ba1eab4 335f83a9e7b654af00da
jaarlijks	niet-lineair	dbecb1120550f5f6efc7 7cffd9b2e74f7d749af5	2079c200f1784dc66b4e 104ff25e1af57d8533d2
driejaarlijks	lineair	0c1f2eed78418d0aa901 a5328046c4417c31f2ed	e741f55d588e70623027 823643b103ed4faaf258
driejaarlijks	niet-lineair	4c48d63efbb6abdc6155 3548fe159a8d84cbb888	8c71bed2c1f1eebb5500 98e940699666420dc50a

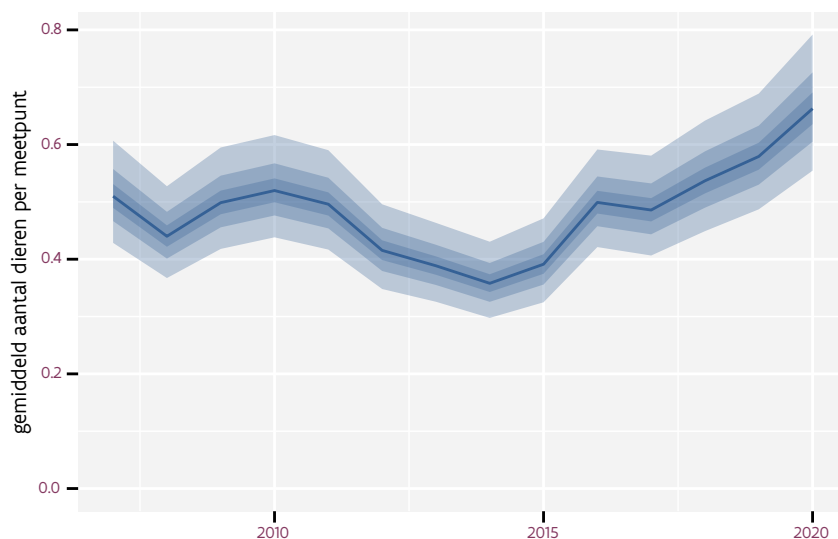
## 18 BOERENZWALUW

Op basis van driejaarlijkse gegevens zien we gemiddeld een toename met +1.5% (+0.6%; +2.3%) per jaar of +21% (+8%; +35%) over de volledige looptijd van het meetnet. Deze trend is niet-lineair.

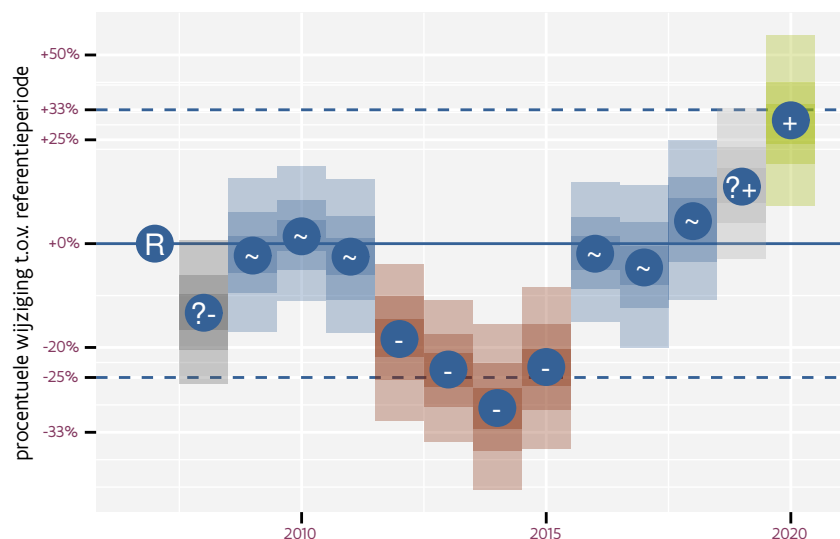
Op basis van jaarlijkse gegevens zien we gemiddeld een matige toename met +1.3% (+0.5%; +2.2%) per jaar of +19% (+6%; +33%) over de volledige looptijd van het meetnet. Deze trend is niet-lineair.



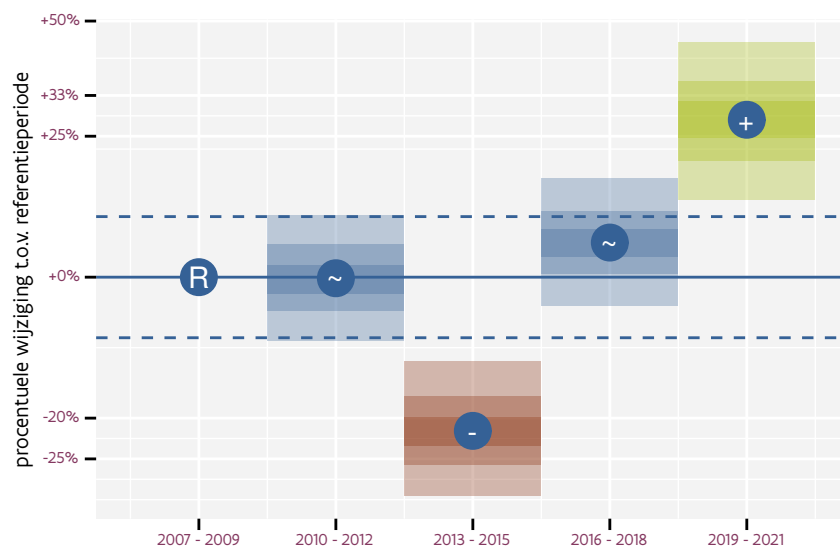
Figuur 18.1: Evolutie van het gemodeleerde gemiddeld aantal waargenomen dieren op een meetpunt voor Boerenzwaluw tijdens de referentieperiode. Zie §4.1 voor een verklaring van de intervallen.



Figuur 18.2: Evolutie van het gemodeleerde gemiddeld aantal waargenomen dieren op een meetpunt voor Boerenzwaluw tijdens de referentieperiode. Zie §4.1 voor een verklaring van de intervallen.



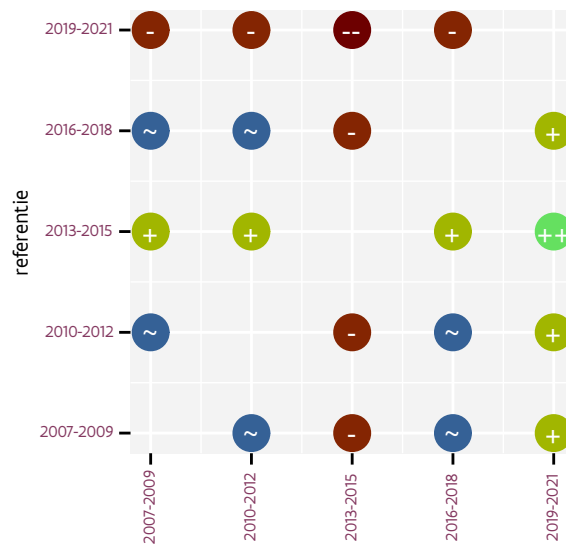
Figuur 18.3: Wijzigingen tussen jaren voor Boerenzwaluw. Zie §4.1 voor een verklaring van de intervallen en §4.2 voor uitleg over de symbolen en referentielijnen.



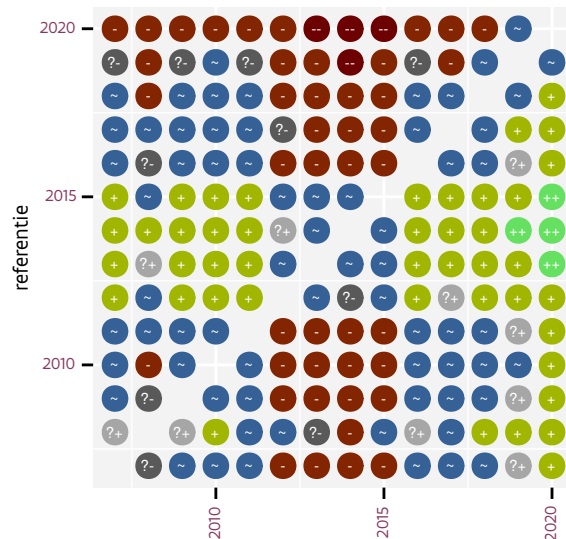
Figuur 18.4: Wijzigingen per driejarige cyclus voor Boerenzwaluw. Zie §4.1 voor een verklaring van de intervallen en §4.2 voor uitleg over de symbolen en referentielijnen.

Tabel 18.1: Stratumgewicht, raming aan het aantal hokken waarin de soort aanwezig is, aantal relevant hokken voor de analyse, aantal onderzochte hokken in het stratum, totaal aantal hokken van het stratum in Vlaanderen en aantal bezoeken aan een meetpunt voor Boerenzwaluw (zie §3.5).

stratum	gewicht	aanwezig	relevant	onderzocht	totaal	bezoeken
Landbouw	94.7%	3881.4	262	426	6311	11292
Urbaan	1.5%	57.4	12	87	416	618
Heide en duin	1.2%	48.1	22	91	199	979
Moeras en water	1.1%	44.5	26	80	137	1126
Suburbaan	0.9%	35.5	12	68	201	450
Bos	0.5%	18.5	11	190	319	519



Figuur 18.5: Paarsgewijze vergelijking tussen driejarige cycli voor Boerenzwaluw. Uitleg van de symbolen in tabel 4.1.



Figuur 18.6: Paarsgewijze vergelijking tussen jaren voor Boerenzwaluw. Uitleg van de symbolen in tabel 4.1.

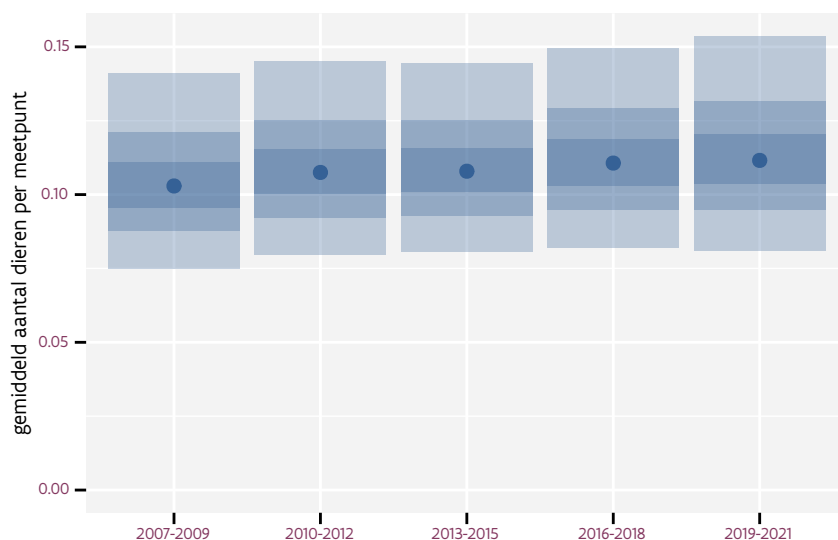
Tabel 18.2: Data-hashes van de analyses in het kader van traceerbaarheid (zie §5.3).

frequentie	model	analyse	status
jaarlijks	lineair	62bd350e1888b4494976 18bc071fb72151c981c	e2a387d6fe43d6eb9a4c 47042edd427a47e2a281
jaarlijks	niet-lineair	402257d56cf5ec1b8de7 4d211b684c92a763aade	e9d139f64bb497afc48c 07f3471cd270e2912023
driejaarlijks	lineair	18ae44479f3ea217a9df 86e7cf85f5f666942116	511cc49783df15ace95e 886e44dac518f3abbaa4
driejaarlijks	niet-lineair	e8821d0f19e9781221d7 22e389ab98418e8eaed5	0004fc3f85e501b24a8e 030a22854cc860113d17

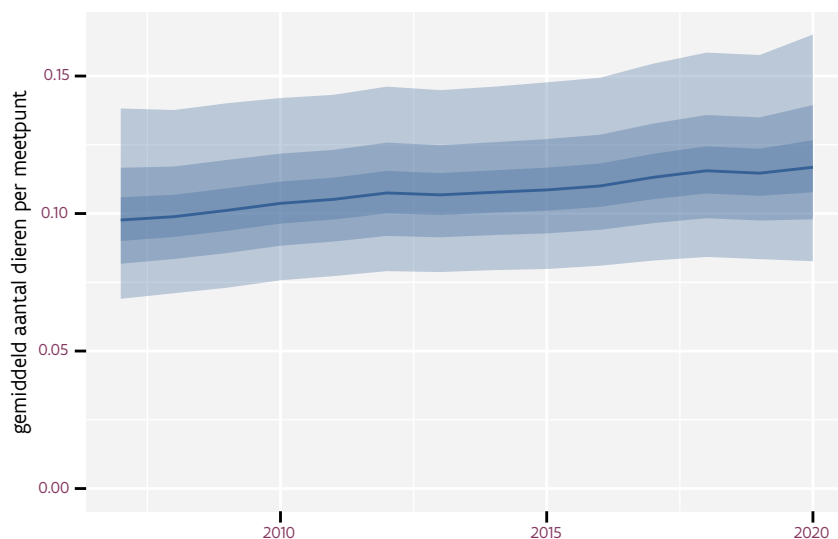
## 19 BONTE VLEGENVANGER

Op basis van driejaarlijkse gegevens zien we gemiddeld een mogelijke toename met +2.4% (-1.0%; +6.0%) per jaar of +37% (-12%; +114%) over de volledige looptijd van het meetnet. Deze trend is lineair.

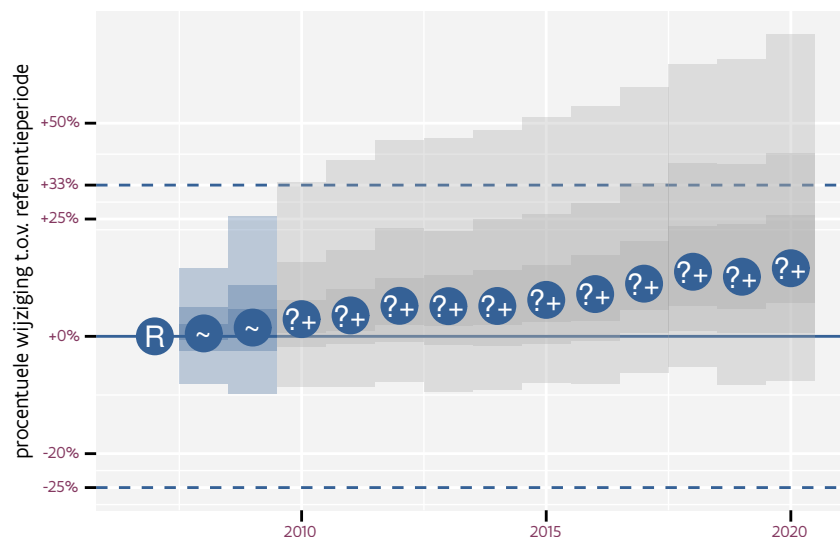
Op basis van jaarlijkse gegevens zien we gemiddeld een mogelijke toename met +3.4% (-0.0%; +6.9%) per jaar of +54% (-0%; +137%) over de volledige looptijd van het meetnet. Deze trend is lineair.



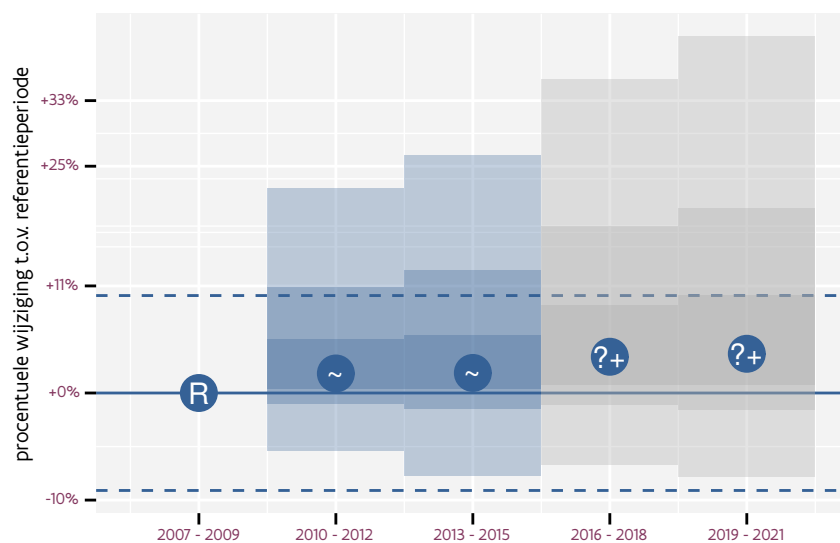
Figuur 19.1: Evolutie van het gemodeleerde gemiddeld aantal waargenomen dieren op een meetpunt voor Bonte vliegenvanger tijdens de referentieperiode. Zie §4.1 voor een verklaring van de intervallen.



Figuur 19.2: Evolutie van het gemodeleerde gemiddeld aantal waargenomen dieren op een meetpunt voor Bonte vliegenvanger tijdens de referentieperiode. Zie §4.1 voor een verklaring van de intervallen.



Figuur 19.3: Wijzigingen tussen jaren voor Bonte vliegenvanger. Zie §4.1 voor een verklaring van de intervallen en §4.2 voor uitleg over de symbolen en referentielijnen.



Figuur 19.4: Wijzigingen per driejarige cyclus voor Bonte vliegenvanger. Zie §4.1 voor een verklaring van de intervallen en §4.2 voor uitleg over de symbolen en referentielijnen.

Tabel 19.1: Stratumgewicht, raming aan het aantal hokken waarin de soort aanwezig is, aantal relevant hokken voor de analyse, aantal onderzochte hokken in het stratum, totaal aantal hokken van het stratum in Vlaanderen en aantal bezoeken aan een meetpunt voor Bonte vliegenvanger (zie §3.5).

stratum	gewicht	aanwezig	relevant	onderzocht	totaal	bezoeken
Bos	59.2%	26.9	16	190	319	766
Heide en duin	40.8%	19.7	9	91	199	678





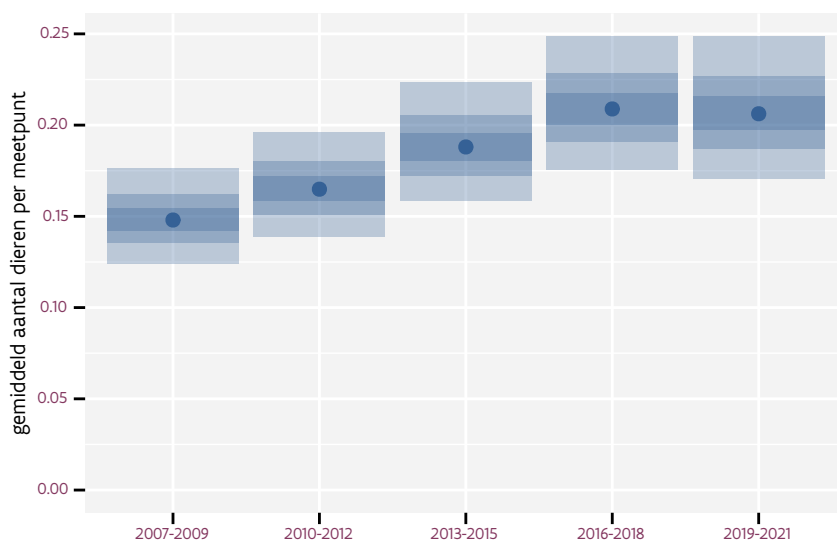
Tabel 19.2: Data-hashes van de analyses in het kader van traceerbaarheid (zie §5.3).

frequentie	model	analyse	status
jaarlijks	lineair	fa0e2b7cbca8b6eda2d6 3c37da007b8d3a884594	77c351450f31250d2f7c 90705494b9faf852b8fc
jaarlijks	niet-lineair	6e86044c190b9b1499ee d8d717b984a23ca04758	e52191c718e714e8ee40 3de617bc544c5b7d9600
driejaarlijks	lineair	0a2084b7f3c272a79261 47ceb9e20e298e6ffe89	a3a01d368e96565128a2 bf132538d258bd6787e1
driejaarlijks	niet-lineair	0b26647607a47c8f986b f8dd7821b9a0e62b78cf	5b956f104917fa2bbdb2 7aa7bbce46d1411479d3

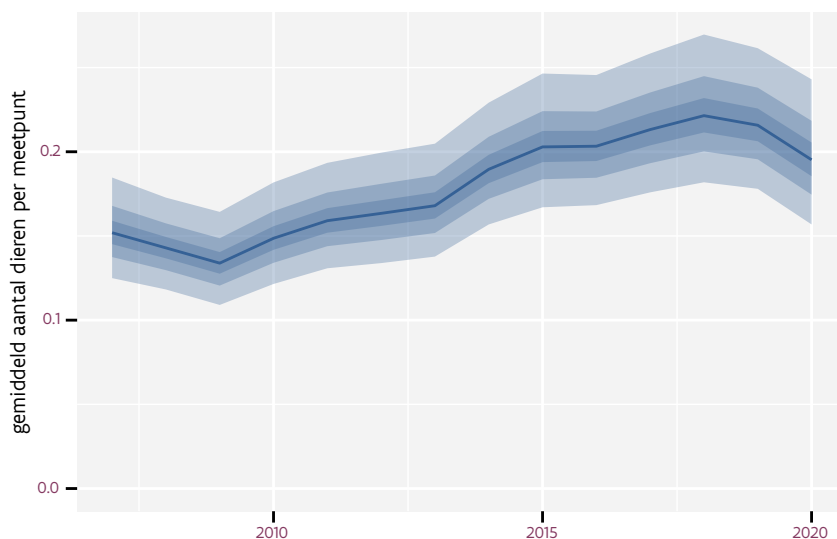
## 20 BOOMKLEVER

Op basis van driejaarlijkse gegevens zien we gemiddeld een sterke toename met +3.8% (+2.3%; +5.3%) per jaar of +62% (+35%; +95%) over de volledige looptijd van het meetnet. Deze trend is niet-lineair.

Op basis van jaarlijkse gegevens zien we gemiddeld een sterke toename met +3.9% (+2.4%; +5.4%) per jaar of +64% (+36%; +97%) over de volledige looptijd van het meetnet. Deze trend is niet-lineair.

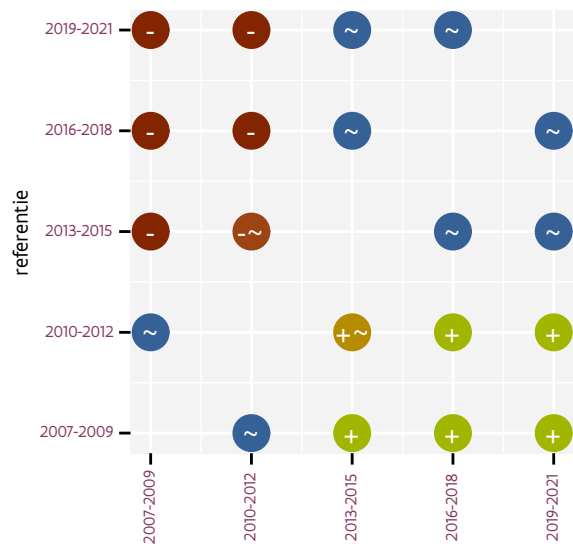


Figuur 20.1: Evolutie van het gemodeleerde gemiddeld aantal waargenomen dieren op een meetpunt voor Boomklever tijdens de referentieperiode. Zie §4.1 voor een verklaring van de intervallen.

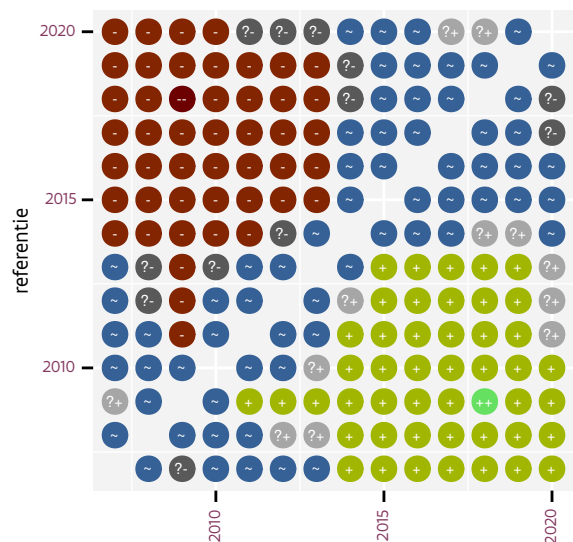


Figuur 20.2: Evolutie van het gemodeleerde gemiddeld aantal waargenomen dieren op een meetpunt voor Boomklever tijdens de referentieperiode. Zie §4.1 voor een verklaring van de intervallen.





Figuur 20.5: Paarsgewijze vergelijking tussen driejarige cycli voor Boomklever. Uitleg van de symbolen in tabel 4.1.



Figuur 20.6: Paarsgewijze vergelijking tussen jaren voor Boomklever. Uitleg van de symbolen in tabel 4.1.

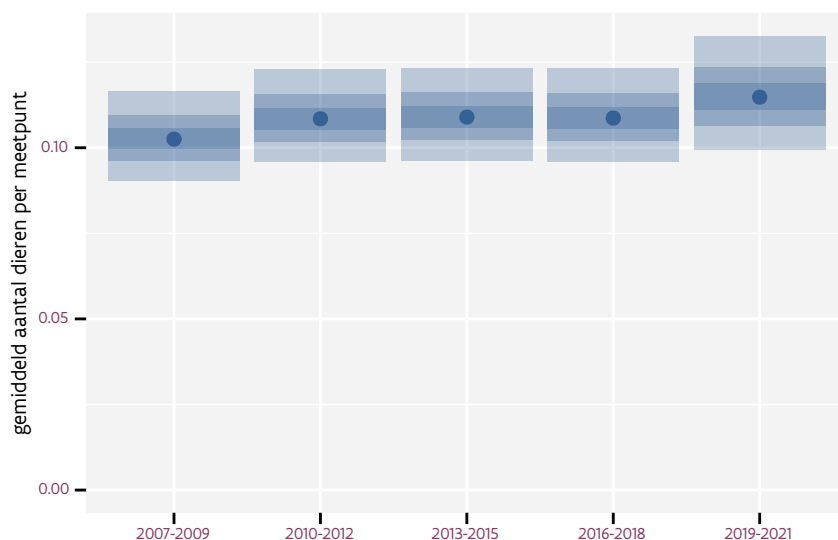
Tabel 20.2: Data-hashes van de analyses in het kader van traceerbaarheid (zie §5.3).

frequentie	model	analyse	status
jaarlijks	lineair	948272faac75eb26d6a2 7192ebe692be53e62ddd	7d75bdebd672e4bcf7e1 3b29f183c4c6e5ff2423
jaarlijks	niet-lineair	426244b37ec6c0b94b93 b9f44ae99c58750c21df	47d3af3cb69b5352f04f 82b18aea3e506e29146e
driejaarlijks	lineair	dce329ef28ddb9e51dcd 36449a5b65c658701914	a5972150e950139dfac5 eb5469e4b0547048ab60
driejaarlijks	niet-lineair	1b135074451052b3e8e3 5e874fd290192bb2a13f	215d08d91798f87c81e0 094775b01c79cece9639

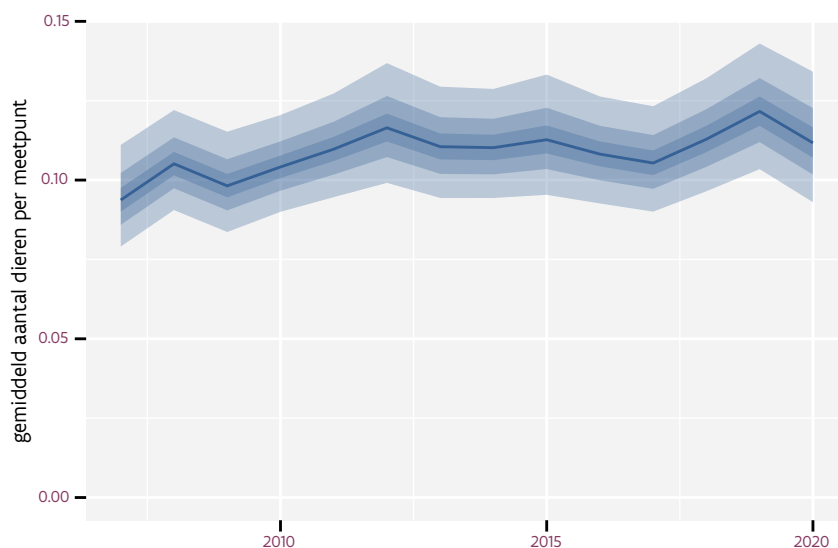
## 21 BOOMKRUIPER

Op basis van driejaarlijkse gegevens zien we gemiddeld een toename met +1.3% (+0.1%; +2.5%) per jaar of +18% (+2%; +38%) over de volledige looptijd van het meetnet. Deze trend is niet-lineair.

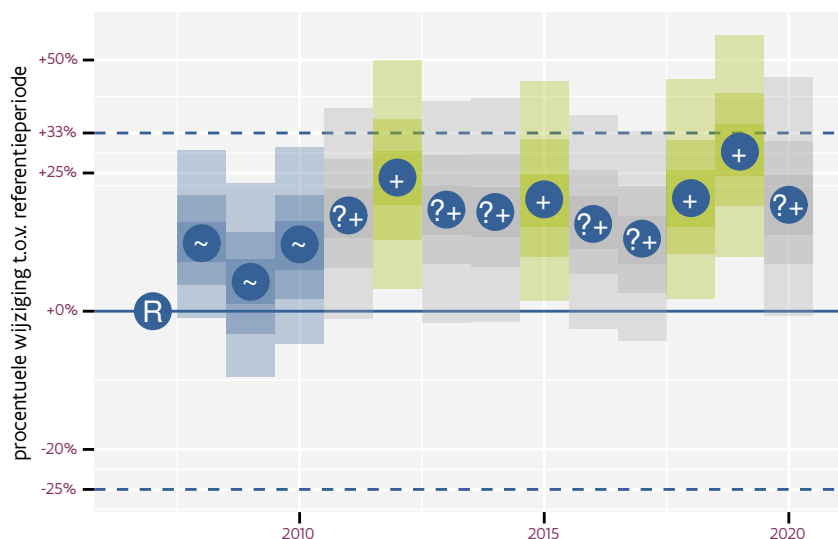
Op basis van jaarlijkse gegevens zien we gemiddeld een toename met +1.3% (+0.2%; +2.5%) per jaar of +19% (+2%; +38%) over de volledige looptijd van het meetnet. Deze trend is niet-lineair.



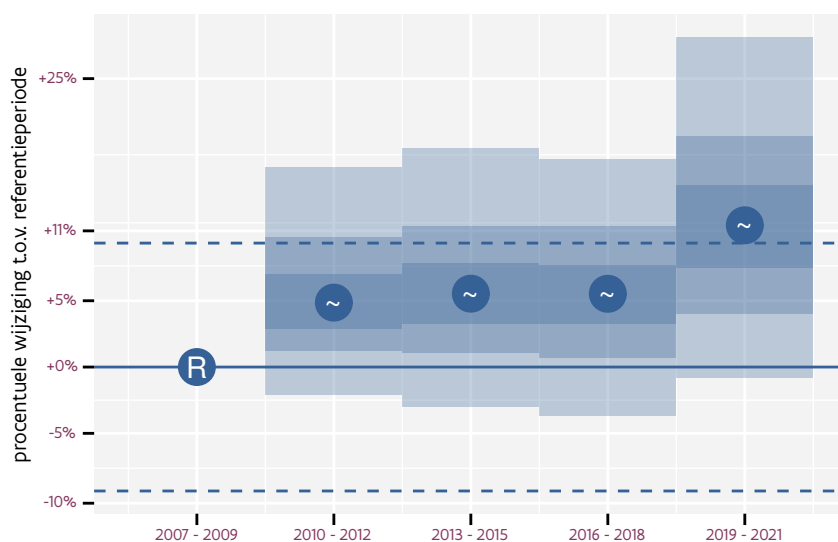
Figuur 21.1: Evolutie van het gemodeleerde gemiddeld aantal waargenomen dieren op een meetpunt voor Boomkruiper tijdens de referentieperiode. Zie §4.1 voor een verklaring van de intervallen.



Figuur 21.2: Evolutie van het gemodeleerde gemiddeld aantal waargenomen dieren op een meetpunt voor Boomkruiper tijdens de referentieperiode. Zie §4.1 voor een verklaring van de intervallen.



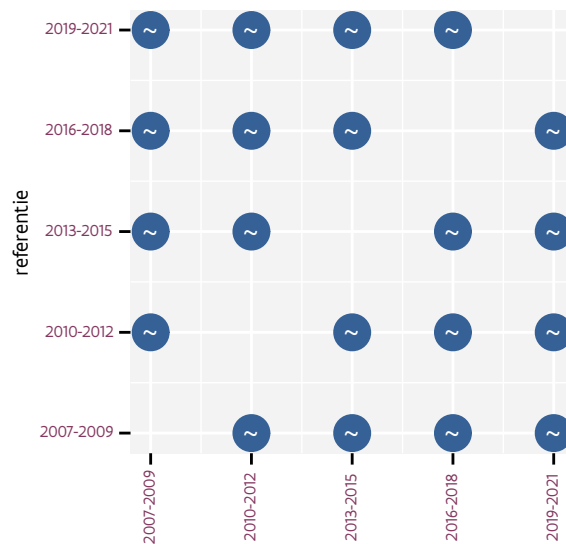
Figuur 21.3: Wijzigingen tussen jaren voor Boomkruiper. Zie §4.1 voor een verklaring van de intervallen en §4.2 voor uitleg over de symbolen en referentielijnen.



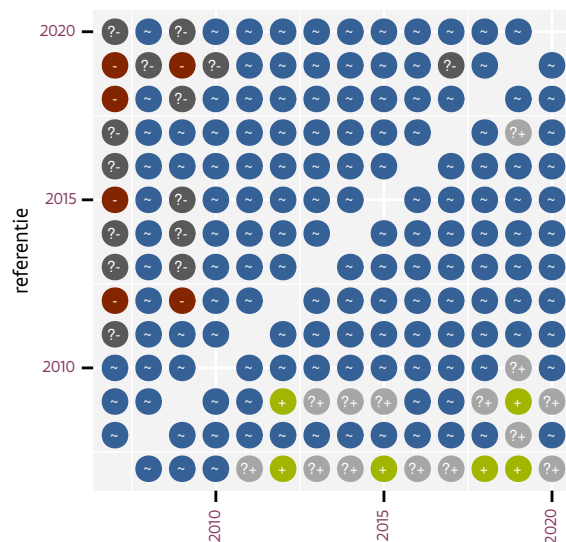
Figuur 21.4: Wijzigingen per driejarige cyclus voor Boomkruiper. Zie §4.1 voor een verklaring van de intervallen en §4.2 voor uitleg over de symbolen en referentielijnen.

Tabel 21.1: Stratumgewicht, raming aan het aantal hokken waarin de soort aanwezig is, aantal relevant hokken voor de analyse, aantal onderzochte hokken in het stratum, totaal aantal hokken van het stratum in Vlaanderen en aantal bezoeken aan een meetpunt voor Boomkruiper (zie §3.5).

stratum	gewicht	aanwezig	relevant	onderzocht	totaal	bezoeken
Landbouw	69.4%	1170.3	79	426	6311	5467
Bos	11.4%	193.1	115	190	319	7639
Urbaan	6.5%	105.2	22	87	416	1481
Heide en duin	6.4%	107.2	49	91	199	3317
Suburbaan	3.7%	59.1	20	68	201	1313
Moeras en water	2.7%	44.5	26	80	137	1817



Figuur 21.5: Paarsgewijze vergelijking tussen driejarige cycli voor Boomkruiper. Uitleg van de symbolen in tabel 4.1.



Figuur 21.6: Paarsgewijze vergelijking tussen jaren voor Boomkruiper. Uitleg van de symbolen in tabel 4.1.

Tabel 21.2: Data-hashes van de analyses in het kader van traceerbaarheid (zie §5.3).

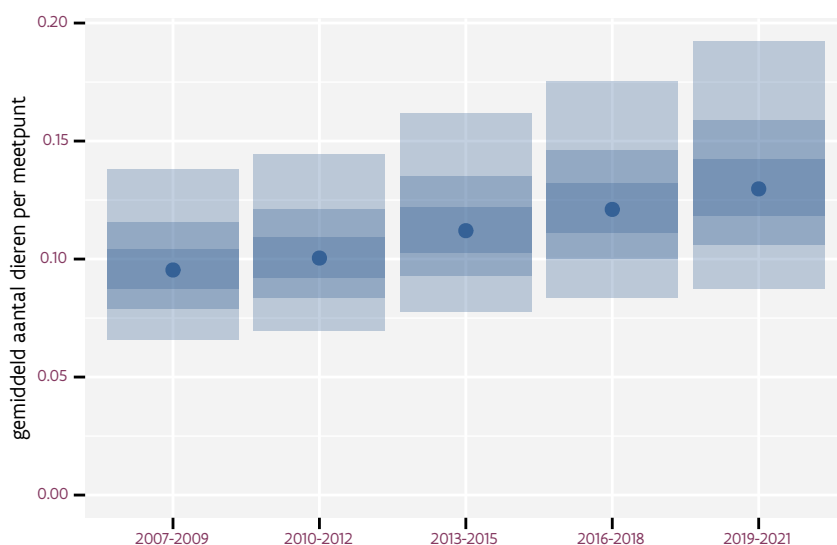
frequentie	model	analyse	status
jaarlijks	lineair	346688ee8212c1b61095 c5ce503b6912189ff563	aef80f9c0458bec70b55 ddf157b2aff1c5d79131
jaarlijks	niet-lineair	58b4253c3dd76632d176 361c598971eccbb8614a	7aa1265ebe8d56d442a1 62082a63caed3de1db38
driejaarlijks	lineair	d1d380f254c1ea27c59d 74158f5512103d151aca	ed23239c0a40ef82ca3c aae6ed2675e6beca3c76
driejaarlijks	niet-lineair	429fa0da7e5c07f70275 fea803500bc419712d26	1b485849f91cc9fef9bb a4f005b9cf72fa967a69



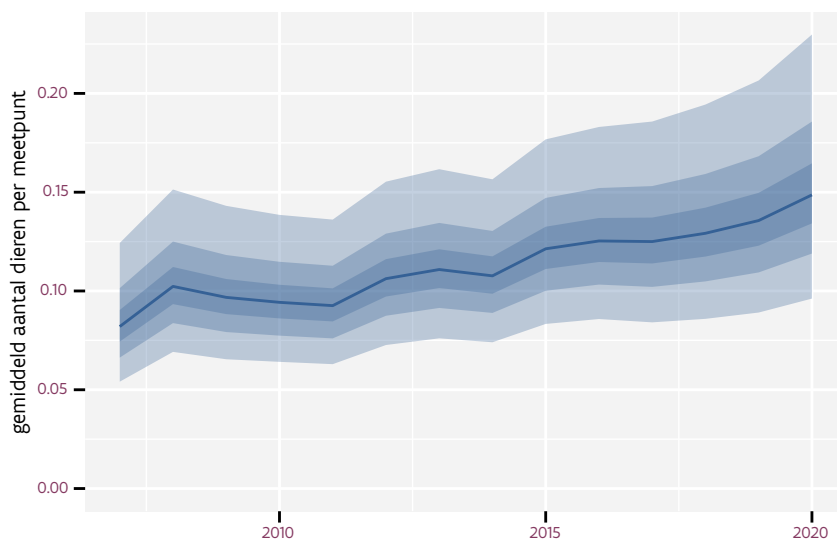
## 22 BOOMLEEUWERIK

Op basis van driejaarlijkse gegevens zien we gemiddeld een mogelijke toename met +4.5% (-0.2%; +9.5%) per jaar of +80% (-0%; +220%) over de volledige looptijd van het meetnet. Deze trend is mogelijk niet-lineair.

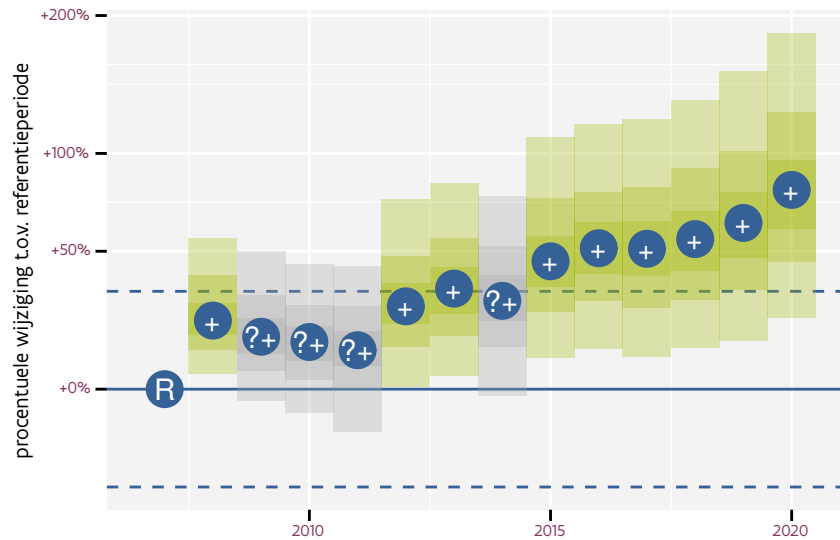
Op basis van jaarlijkse gegevens zien we gemiddeld een mogelijke toename met +4.8% (-0.0%; +9.9%) per jaar of +80% (-0%; +240%) over de volledige looptijd van het meetnet. Deze trend is niet-lineair.



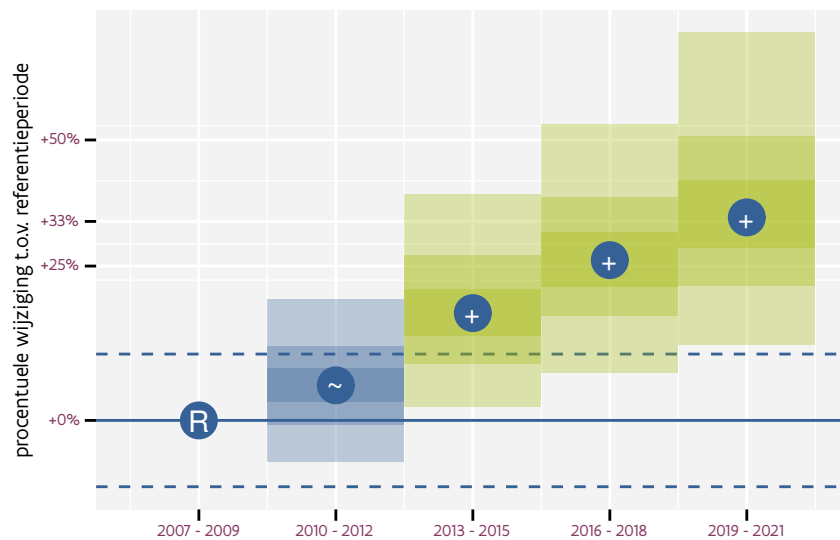
Figuur 22.1: Evolutie van het gemodeleerde gemiddeld aantal waargenomen dieren op een meetpunt voor Boomleeuwerik tijdens de referentieperiode. Zie §4.1 voor een verklaring van de intervallen.



Figuur 22.2: Evolutie van het gemodeleerde gemiddeld aantal waargenomen dieren op een meetpunt voor Boomleeuwerik tijdens de referentieperiode. Zie §4.1 voor een verklaring van de intervallen.



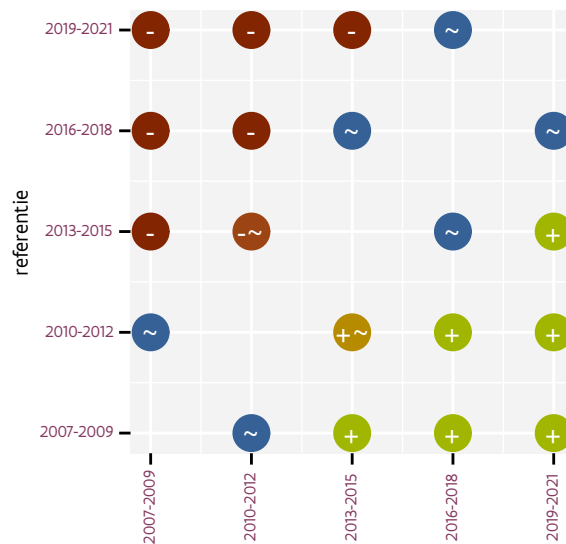
Figuur 22.3: Wijzigingen tussen jaren voor Boomleeuwerik. Zie §4.1 voor een verklaring van de intervallen en §4.2 voor uitleg over de symbolen en referentielijnen.



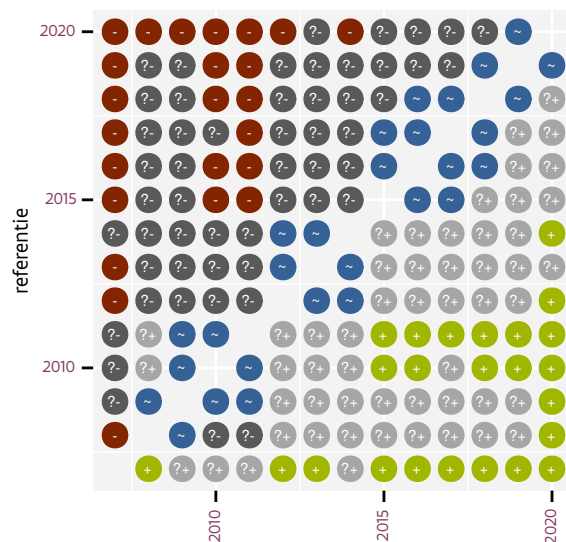
Figuur 22.4: Wijzigingen per driejarige cyclus voor Boomleeuwerik. Zie §4.1 voor een verklaring van de intervallen en §4.2 voor uitleg over de symbolen en referentielijnen.

Tabel 22.1: Stratumgewicht, raming aan het aantal hokken waarin de soort aanwezig is, aantal relevant hokken voor de analyse, aantal onderzochte hokken in het stratum, totaal aantal hokken van het stratum in Vlaanderen en aantal bezoeken aan een meetpunt voor Boomleeuwerik (zie §3.5).

stratum	gewicht	aanwezig	relevant	onderzocht	totaal	bezoeken
Heide en duin	48.2%	94.0	43	91	199	3047
Landbouw	30.2%	44.4	3	426	6311	175
Bos	17.2%	31.9	19	190	319	1742
Moeras en water	4.4%	6.8	4	80	137	287



Figuur 22.5: Paarsgewijze vergelijking tussen driejarige cycli voor Boomleeuwerik. Uitleg van de symbolen in tabel 4.1.



Figuur 22.6: Paarsgewijze vergelijking tussen jaren voor Boomleeuwerik. Uitleg van de symbolen in tabel 4.1.

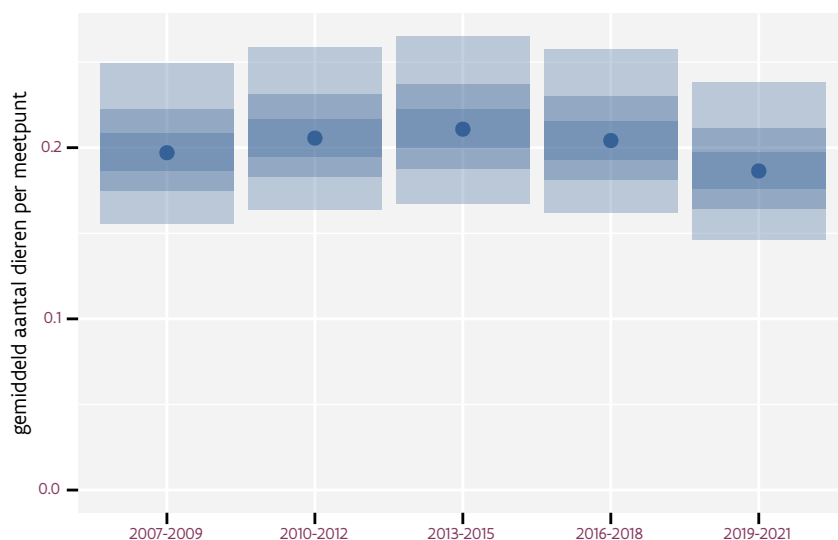
Tabel 22.2: Data-hashes van de analyses in het kader van traceerbaarheid (zie §5.3).

frequentie	model	analyse	status
jaarlijks	lineair	45082c9e4459881ed37d 707b5c0828cbaf4e9ffa	8c987e4e06c046dc7c9d 987c40971d2f4a188207
jaarlijks	niet-lineair	b32eae5ad8c349b9d320 f003fda41bdcb5b22760	37487d122d14c84fced6 6580eba93bfe5840ad5e
driejaarlijks	lineair	2648b3b1de24161024e6 7292f77ea35e53b21d1e	1070aa7983edf177656e 5b3ae1d7a594171f1cef
driejaarlijks	niet-lineair	bf8e634164a54add8ba3 6d35454d9964bdc7d921	5d8d9b438e922bfe7d1a 8a35eff3a134343921f1

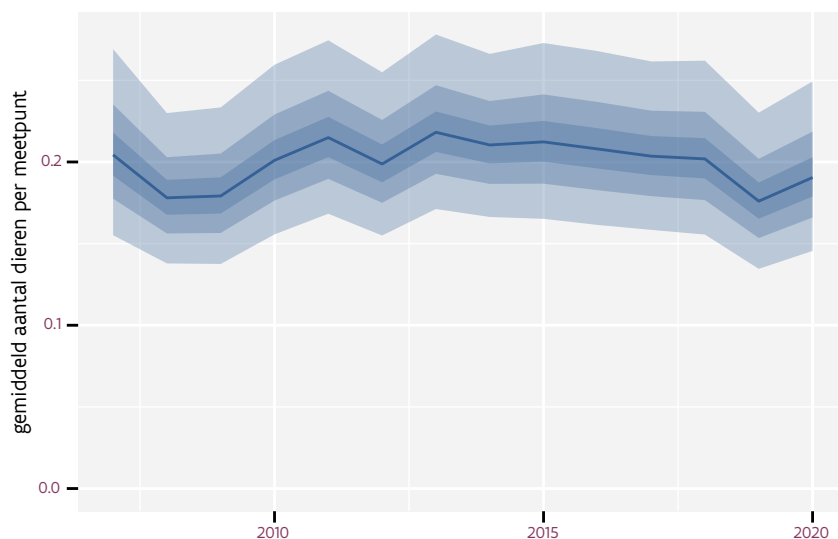
## 23 BOOMPIEPER

Op basis van driejaarlijkse gegevens zien we gemiddeld een stabiele trend van +0.2% (-1.7%; +2.0%) per jaar of +2% (-20%; +30%) over de volledige looptijd van het meetnet. Deze trend is niet-lineair.

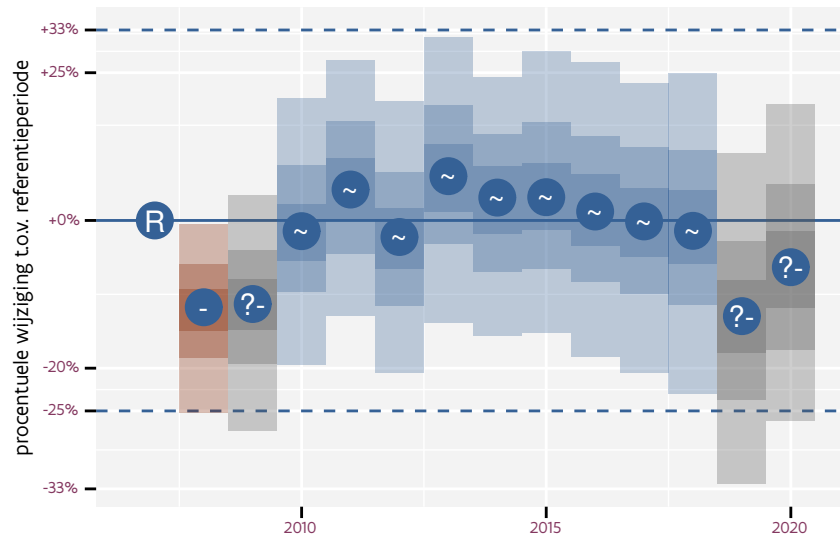
Op basis van jaarlijkse gegevens zien we gemiddeld een stabiele trend van +0.07% (-1.75%; +1.93%) per jaar of +1% (-21%; +28%) over de volledige looptijd van het meetnet. Deze trend is niet-lineair.



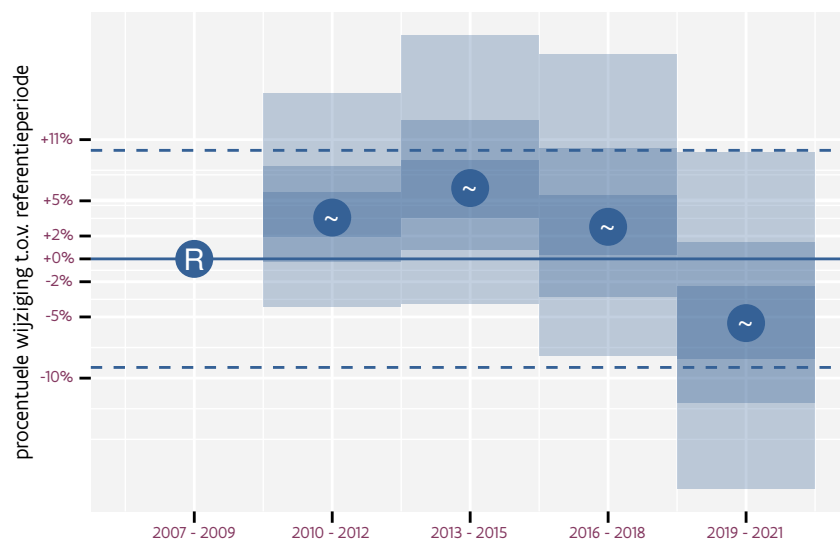
Figuur 23.1: Evolutie van het gemodeleerde gemiddeld aantal waargenomen dieren op een meetpunt voor Boompieper tijdens de referentieperiode. Zie §4.1 voor een verklaring van de intervallen.



Figuur 23.2: Evolutie van het gemodeleerde gemiddeld aantal waargenomen dieren op een meetpunt voor Boompieper tijdens de referentieperiode. Zie §4.1 voor een verklaring van de intervallen.



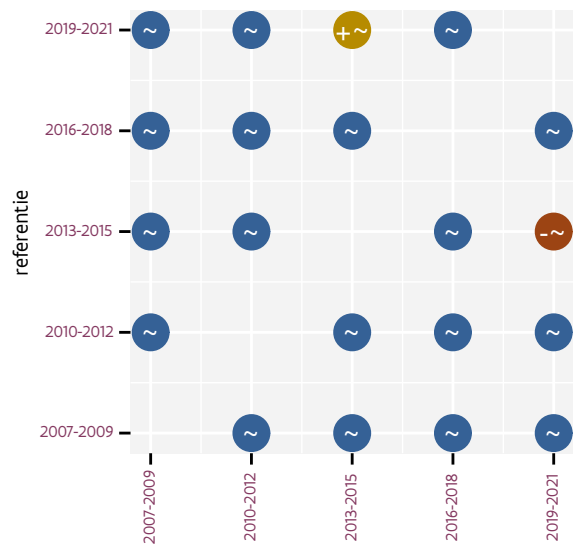
Figuur 23.3: Wijzigingen tussen jaren voor Boompieper. Zie §4.1 voor een verklaring van de intervallen en §4.2 voor uitleg over de symbolen en referentielijnen.



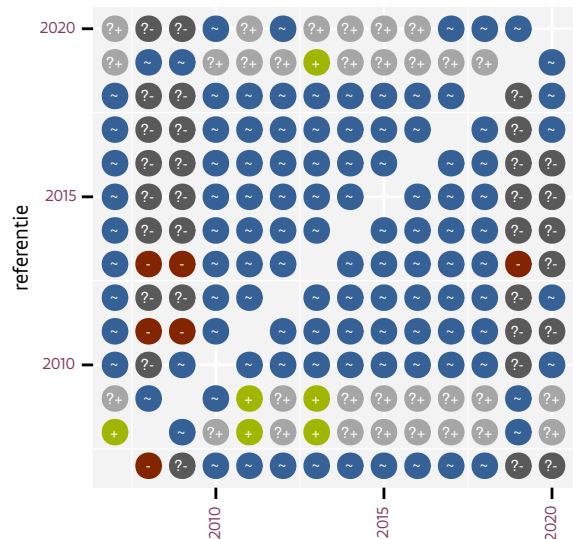
Figuur 23.4: Wijzigingen per driejarige cyclus voor Boompieper. Zie §4.1 voor een verklaring van de intervallen en §4.2 voor uitleg over de symbolen en referentielijnen.

Tabel 23.1: Stratumgewicht, raming aan het aantal hokken waarin de soort aanwezig is, aantal relevant hokken voor de analyse, aantal onderzochte hokken in het stratum, totaal aantal hokken van het stratum in Vlaanderen en aantal bezoeken aan een meetpunt voor Boompieper (zie §3.5).

stratum	gewicht	aanwezig	relevant	onderzocht	totaal	bezoeken
Landbouw	39.6%	133.3	9	426	6311	787
Heide en duin	32.3%	118.1	54	91	199	3545
Bos	24.4%	90.7	54	190	319	3969
Moeras en water	3.7%	12.0	7	80	137	503



Figuur 23.5: Paarsgewijze vergelijking tussen driejarige cycli voor Boompieper. Uitleg van de symbolen in tabel 4.1.



Figuur 23.6: Paarsgewijze vergelijking tussen jaren voor Boompieper. Uitleg van de symbolen in tabel 4.1.

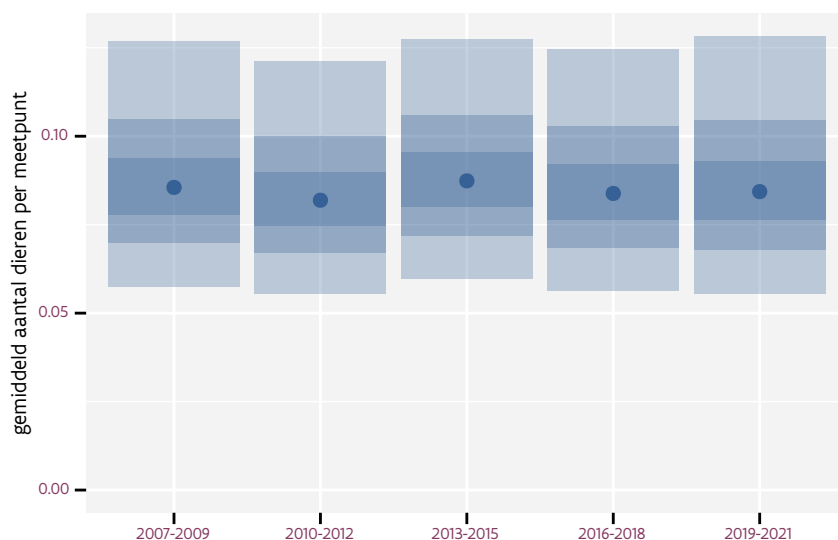
Tabel 23.2: Data-hashes van de analyses in het kader van traceerbaarheid (zie §5.3).

frequentie	model	analyse	status
jaarlijks	lineair	bf179183e75088a698fd e7de4d7fb3cb387b4439	1c7b99389a1566d5eed 967b370a0a756d43c682
jaarlijks	niet-lineair	aeff31b175ba7da6d346 e96be79530d4f8cee81d	ce7f9774673a457e8134 e63048e7bc2814c45c1e
driejaarlijks	lineair	cb90fcca28632dd63d9c f2b4b74fc2ce74a8bbb5	6095ef51b88903052832 9c8c88f0b1bd24ab27ba
driejaarlijks	niet-lineair	7dff8f2b6c42c25672d8 1f045954fae0b29f519f	5d87bdb0bbc536eb2edd 9bd435e9dfaacb261712

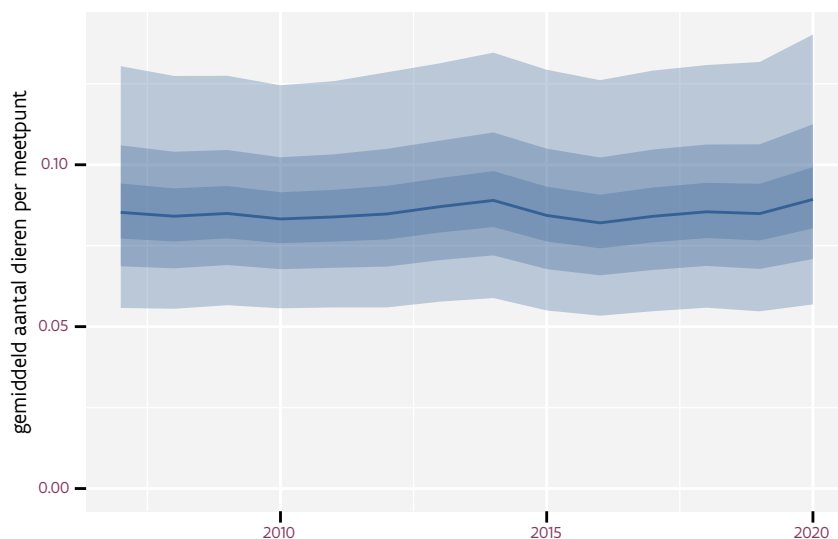
## 24 BOSRIETZANGER

Op basis van driejaarlijkse gegevens zien we gemiddeld een onduidelijke trend van -0.3% (-3.5%; +3.0%) per jaar of -3% (-37%; +47%) over de volledige looptijd van het meetnet. Deze trend is lineair.

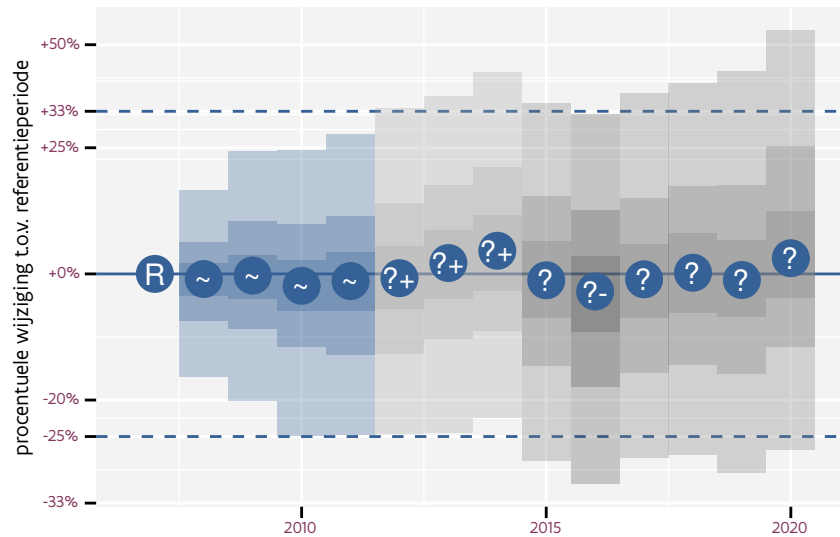
Op basis van jaarlijkse gegevens zien we gemiddeld een onduidelijke trend van +0.2% (-3.0%; +3.6%) per jaar of +3% (-32%; +58%) over de volledige looptijd van het meetnet. Deze trend is mogelijk niet-lineair.



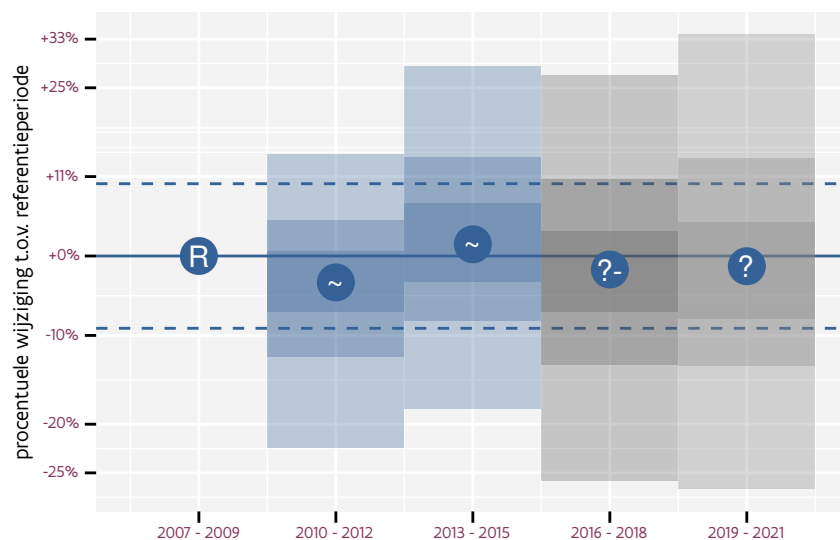
Figuur 24.1: Evolutie van het gemodeleerde gemiddeld aantal waargenomen dieren op een meetpunt voor Bosrietzanger tijdens de referentieperiode. Zie §4.1 voor een verklaring van de intervallen.



Figuur 24.2: Evolutie van het gemodeleerde gemiddeld aantal waargenomen dieren op een meetpunt voor Bosrietzanger tijdens de referentieperiode. Zie §4.1 voor een verklaring van de intervallen.



Figuur 24.3: Wijzigingen tussen jaren voor Bosrietzanger. Zie §4.1 voor een verklaring van de intervallen en §4.2 voor uitleg over de symbolen en referentielijnen.

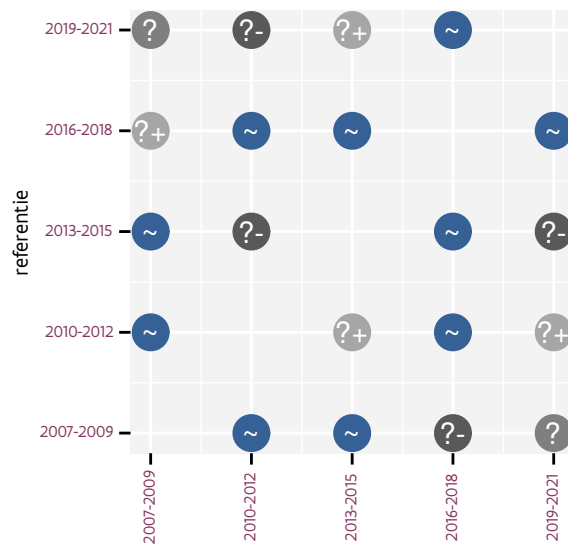


Figuur 24.4: Wijzigingen per driejarige cyclus voor Bosrietzanger. Zie §4.1 voor een verklaring van de intervallen en §4.2 voor uitleg over de symbolen en referentielijnen.

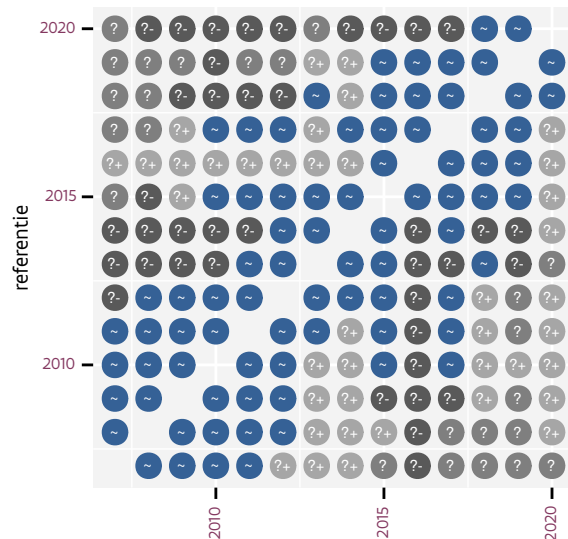
Tabel 24.1: Stratumgewicht, raming aan het aantal hokken waarin de soort aanwezig is, aantal relevant hokken voor de analyse, aantal onderzochte hokken in het stratum, totaal aantal hokken van het stratum in Vlaanderen en aantal bezoeken aan een meetpunt voor Bosrietzanger (zie §3.5).

stratum	gewicht	aanwezig	relevant	onderzocht	totaal	bezoeken
Landbouw	85.0%	400.0	27	426	6311	1290
Moeras en water	8.0%	36.0	21	80	137	947
Suburbaan	5.1%	20.7	7	68	201	375
Heide en duin	1.9%	6.6	3	91	199	128





Figuur 24.5: Paarsgewijze vergelijking tussen driejarige cycli voor Bosrietzanger. Uitleg van de symbolen in tabel 4.1.



Figuur 24.6: Paarsgewijze vergelijking tussen jaren voor Bosrietzanger. Uitleg van de symbolen in tabel 4.1.

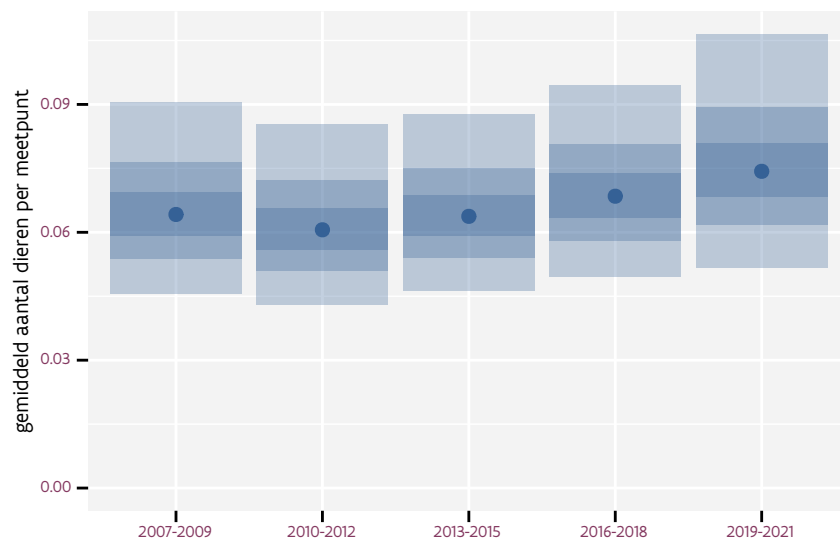
Tabel 24.2: Data-hashes van de analyses in het kader van traceerbaarheid (zie §5.3).

frequentie	model	analyse	status
jaarlijks	lineair	d8e78a467132fe3c6fdc 40ce1535f3c948c3e26f	6be7f005e1c98a2e58c8 3537c0886ea50b99cbf8
jaarlijks	niet-lineair	28ddb25dc745f867de9 ecb3c9e81730ba4adc0b	34e13b3edc9220874553 3f36fbdd85a7cce08b2d
driejaarlijks	lineair	713f0bd55061aa90f3fb 41f6bbb85e6f60fd715e	130481f5226f3c259f96 f3b06ea13962dcb95d73
driejaarlijks	niet-lineair	4e74d03cf35cbab018ab dc035a9a328ea3efe685	8c47aa9da215f9c38343 f47289e9728fe6eba9ab

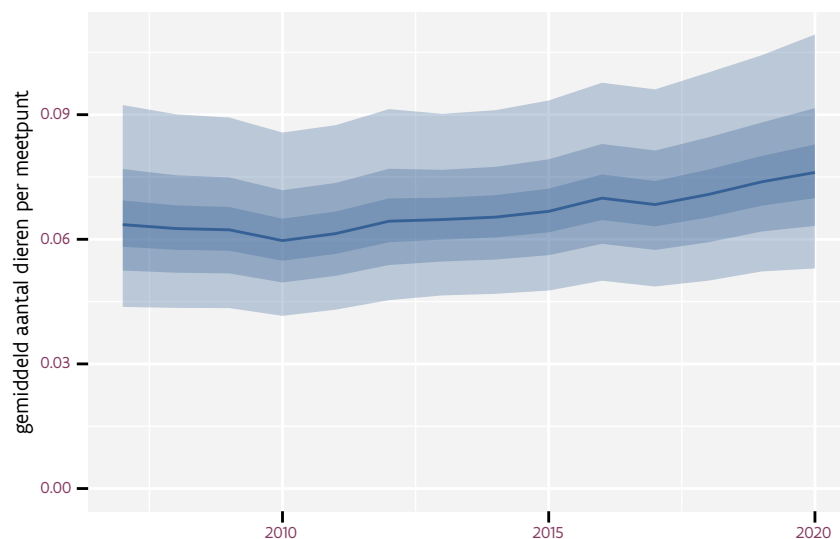
## 25 BRUINE KIEKENDIEF

Op basis van driejaarlijkse gegevens zien we gemiddeld een mogelijke toename met +2.2% (-1.1%; +5.6%) per jaar of +32% (-14%; +102%) over de volledige looptijd van het meetnet. Deze trend is lineair.

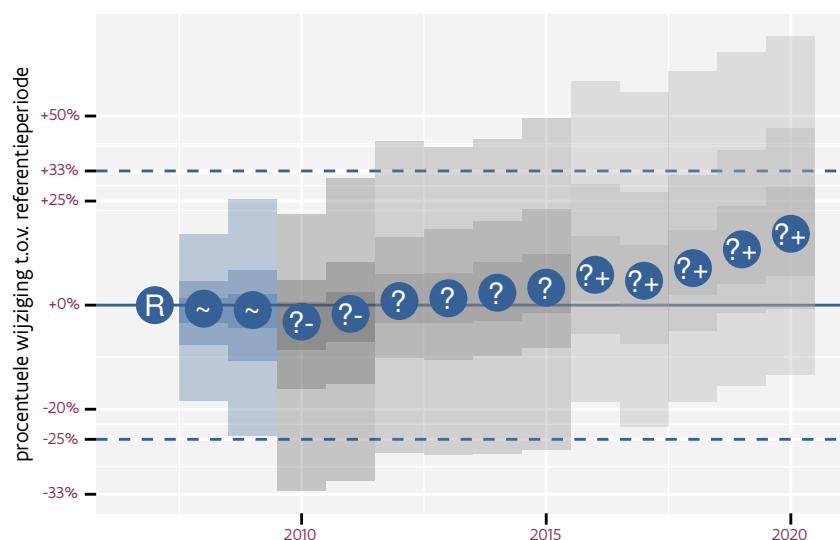
Op basis van jaarlijkse gegevens zien we gemiddeld een mogelijke toename met +2.3% (-1.0%; +5.7%) per jaar of +35% (-12%; +106%) over de volledige looptijd van het meetnet. Deze trend is lineair.



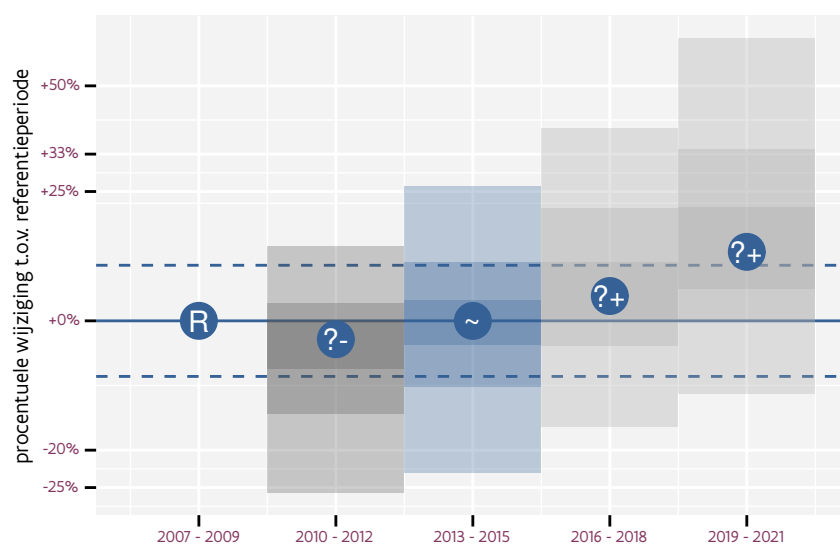
Figuur 25.1: Evolutie van het gemodeleerde gemiddeld aantal waargenomen dieren op een meetpunt voor Bruine kiekendief tijdens de referentieperiode. Zie §4.1 voor een verklaring van de intervallen.



Figuur 25.2: Evolutie van het gemodeleerde gemiddeld aantal waargenomen dieren op een meetpunt voor Bruine kiekendief tijdens de referentieperiode. Zie §4.1 voor een verklaring van de intervallen.



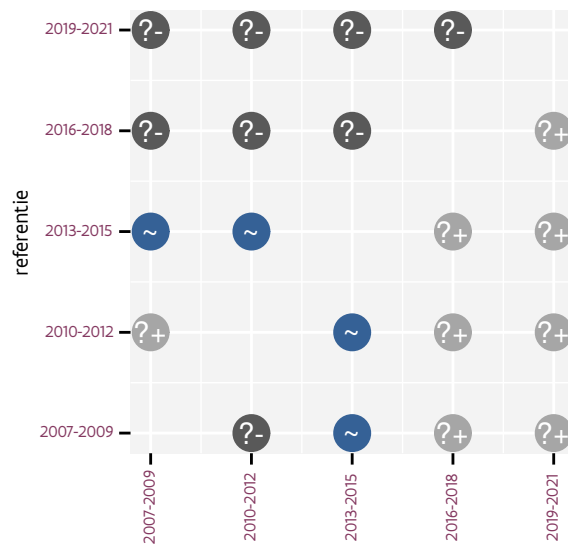
Figuur 25.3: Wijzigingen tussen jaren voor Bruine kiekendief. Zie §4.1 voor een verklaring van de intervallen en §4.2 voor uitleg over de symbolen en referentielijnen.



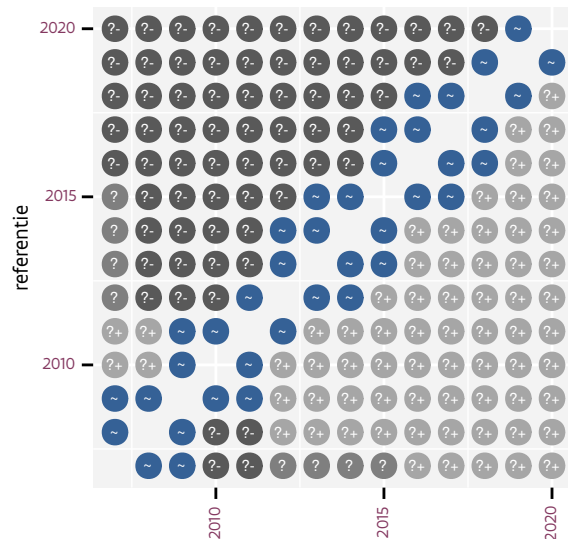
Figuur 25.4: Wijzigingen per driejarige cyclus voor Bruine kiekendief. Zie §4.1 voor een verklaring van de intervallen en §4.2 voor uitleg over de symbolen en referentielijnen.

Tabel 25.1: Stratumgewicht, raming aan het aantal hokken waarin de soort aanwezig is, aantal relevant hokken voor de analyse, aantal onderzochte hokken in het stratum, totaal aantal hokken van het stratum in Vlaanderen en aantal bezoeken aan een meetpunt voor Bruine kiekendief (zie §3.5).

stratum	gewicht	aanwezig	relevant	onderzocht	totaal	bezoeken
Landbouw	96.6%	340.7	23	426	6311	1742
Moeras en water	3.4%	10.3	6	80	137	359



Figuur 25.5: Paarsgewijze vergelijking tussen driejarige cycli voor Bruine kiekendief. Uitleg van de symbolen in tabel 4.1.



Figuur 25.6: Paarsgewijze vergelijking tussen jaren voor Bruine kiekendief. Uitleg van de symbolen in tabel 4.1.

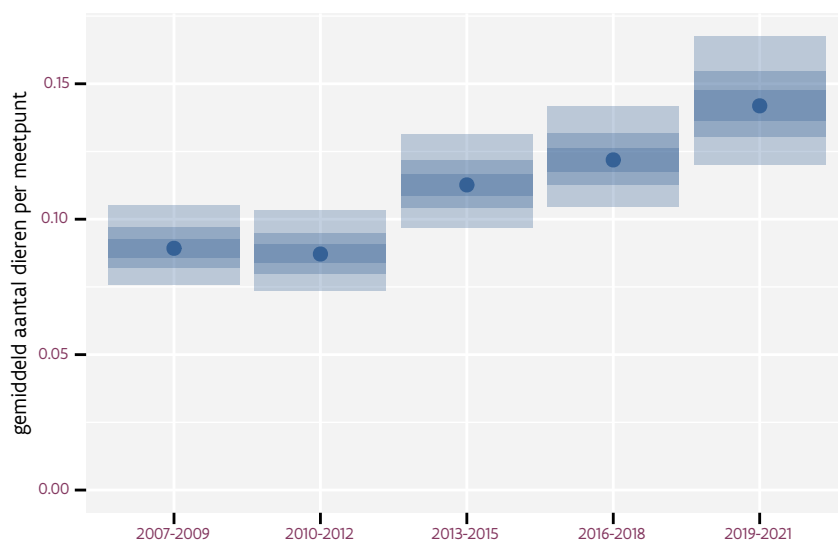
Tabel 25.2: Data-hashes van de analyses in het kader van traceerbaarheid (zie §5.3).

frequentie	model	analyse	status
jaarlijks	lineair	0e63e1cb6e490d19db2b 074fda555f14e375eeca	bc99eceafc29a521162b 8aa13393a545e51adada
jaarlijks	niet-lineair	fed7e64f8e17566c9e1 cbc91b704ab586fae508	fe125f51e91243a19cf3 6d4cf5912fbb12489c93
driejaarlijks	lineair	45d89eb8f3c2e1934768 1d3cac75b901dbfe6f8a	c0b43a318897df8351ce 1ca979fe18572952b819
driejaarlijks	niet-lineair	6cd4a33af06690115e60 9cec23dfe4daa4479fbd	b2d82fa376b3864e8523 878601cddaad37f3e7b3

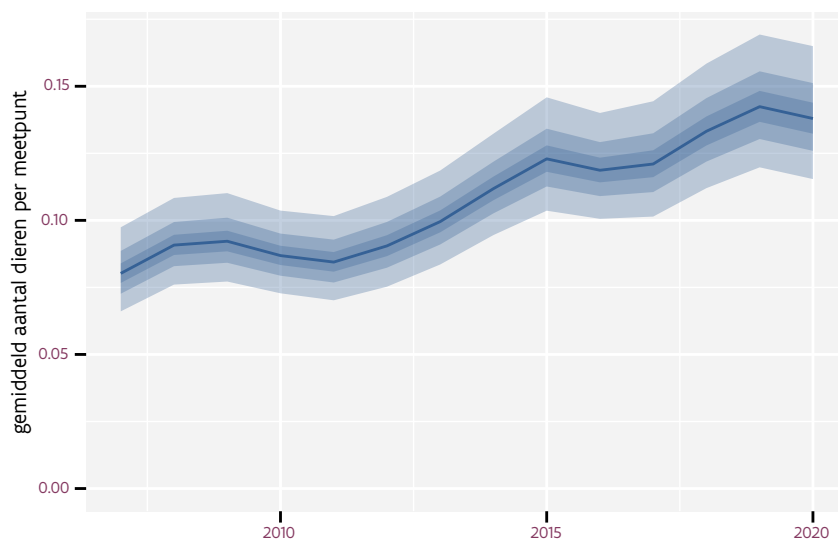
## 26 BUIZERD

Op basis van driejaarlijkse gegevens zien we gemiddeld een sterke toename met +4.4% (+3.3%; +5.6%) per jaar of +75.9% (+52.6%; +102.9%) over de volledige looptijd van het meetnet. Deze trend is niet-lineair.

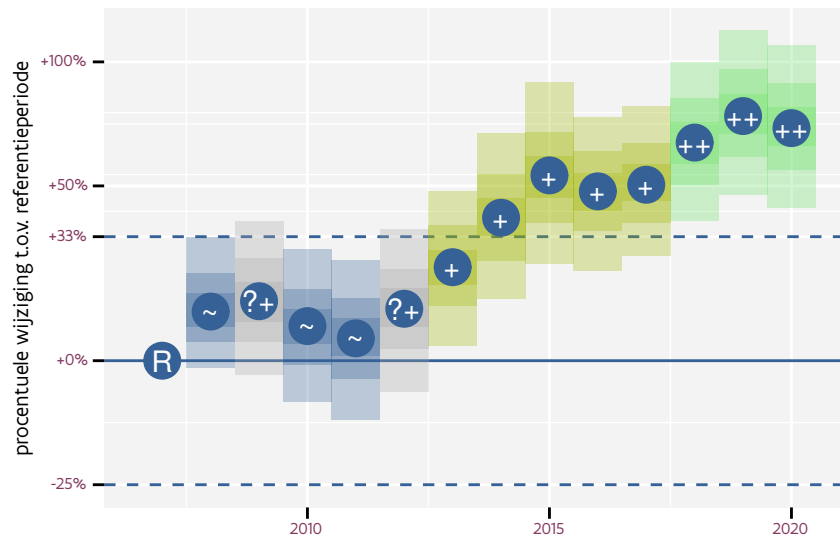
Op basis van jaarlijkse gegevens zien we gemiddeld een sterke toename met +4.7% (+3.5%; +5.9%) per jaar of +81.4% (+57.1%; +109.6%) over de volledige looptijd van het meetnet. Deze trend is niet-lineair.



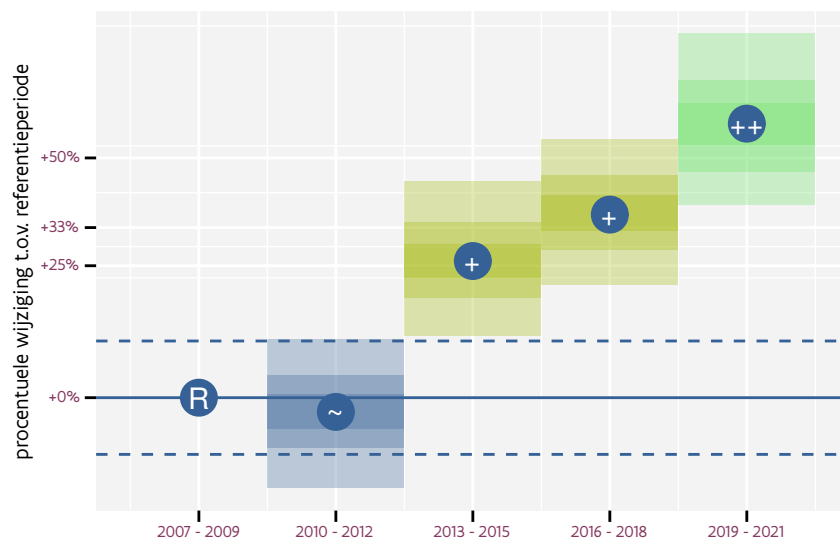
Figuur 26.1: Evolutie van het gemodeleerde gemiddeld aantal waargenomen dieren op een meetpunt voor Buizerd tijdens de referentieperiode. Zie §4.1 voor een verklaring van de intervallen.



Figuur 26.2: Evolutie van het gemodeleerde gemiddeld aantal waargenomen dieren op een meetpunt voor Buizerd tijdens de referentieperiode. Zie §4.1 voor een verklaring van de intervallen.



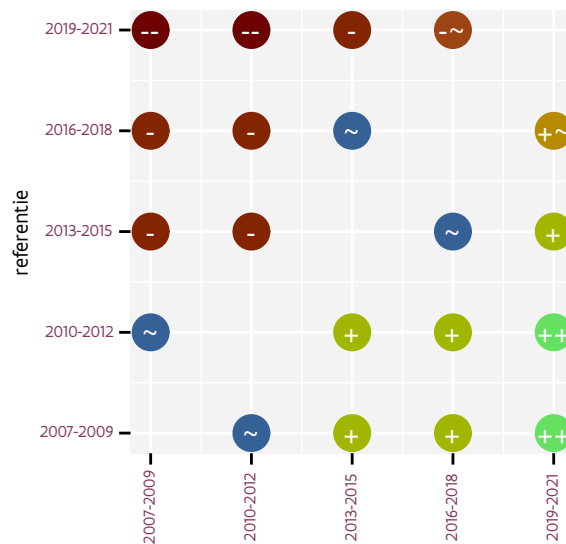
Figuur 26.3: Wijzigingen tussen jaren voor Buizerd. Zie §4.1 voor een verklaring van de intervallen en §4.2 voor uitleg over de symbolen en referentielijnen.



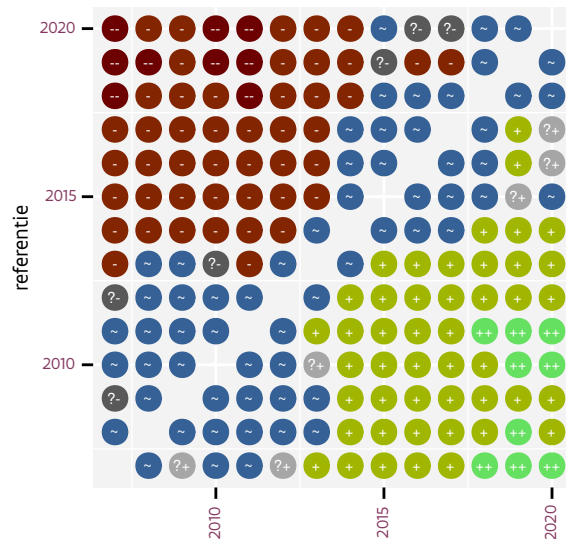
Figuur 26.4: Wijzigingen per driejarige cyclus voor Buizerd. Zie §4.1 voor een verklaring van de intervallen en §4.2 voor uitleg over de symbolen en referentielijnen.

Tabel 26.1: Stratumgewicht, raming aan het aantal hokken waarin de soort aanwezig is, aantal relevant hokken voor de analyse, aantal onderzochte hokken in het stratum, totaal aantal hokken van het stratum in Vlaanderen en aantal bezoeken aan een meetpunt voor Buizerd (zie §3.5).

stratum	gewicht	aanwezig	relevant	onderzocht	totaal	bezoeken
Landbouw	87.7%	2474.0	167	426	6311	11485
Bos	6.4%	181.3	108	190	319	7251
Heide en duin	3.2%	87.5	40	91	199	2871
Moeras en water	1.8%	49.7	29	80	137	1867
Suburbaan	0.9%	23.6	8	68	201	528



Figuur 26.5: Paarsgewijze vergelijking tussen driejarige cycli voor Buizerd. Uitleg van de symbolen in tabel 4.1.



Figuur 26.6: Paarsgewijze vergelijking tussen jaren voor Buizerd. Uitleg van de symbolen in tabel 4.1.

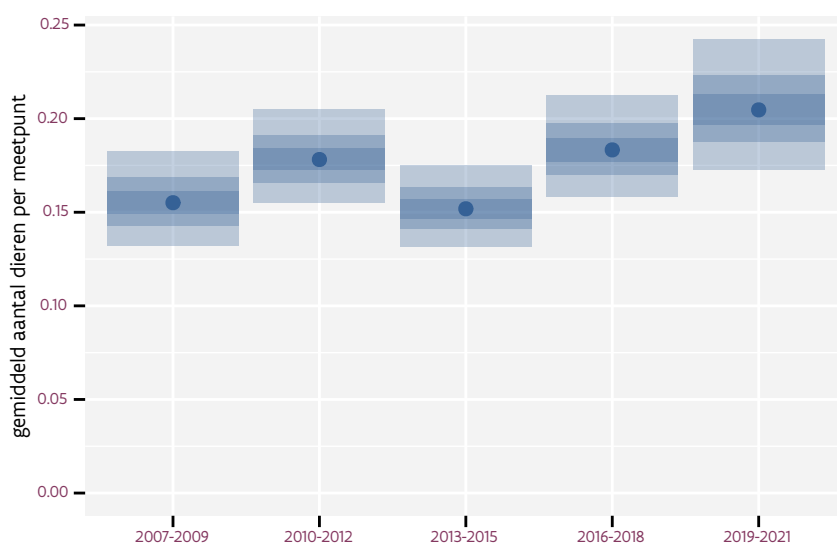
Tabel 26.2: Data-hashes van de analyses in het kader van traceerbaarheid (zie §5.3).

frequentie	model	analyse	status
jaarlijks	lineair	0def0d44bdc8acdb607c f0d5478c1866132c9862	74034bcefc23ef7cdafd 1f7b97a64a2f80f792db
jaarlijks	niet-lineair	b7c6af7b6e264c2689c1 d7a6f13bd0d3c9b7ce98	9c94883472eb90266ce0 2f5327763372c1392572
driejaarlijks	lineair	b4773ef913351266f198 1d8239bb00f8c0d6b3e2	e31e20a6c2870095d0ea b926907dd32ea8167af8
driejaarlijks	niet-lineair	5e8d3853f466b97a880d 306faafe527856b73c98	a996f73af11f3b7634f3 76afe245d9c49a020539

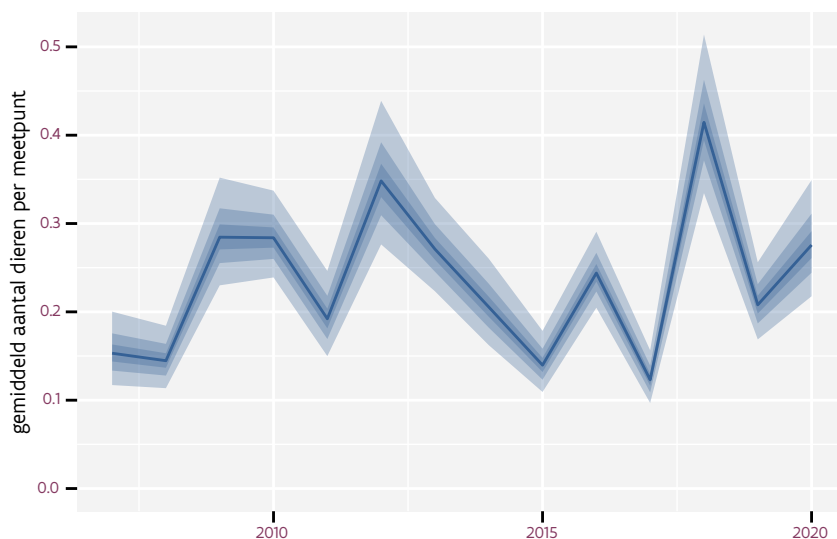
## 27 CANADESE GANS

Op basis van driejaarlijkse gegevens zien we gemiddeld een toename met +2.1% (+0.8%; +3.5%) per jaar of +32% (+11%; +56%) over de volledige looptijd van het meetnet. Deze trend is lineair.

Op basis van jaarlijkse gegevens zien we gemiddeld een toename met +2.4% (+1.1%; +3.8%) per jaar of +37% (+15%; +62%) over de volledige looptijd van het meetnet. Deze trend is lineair.

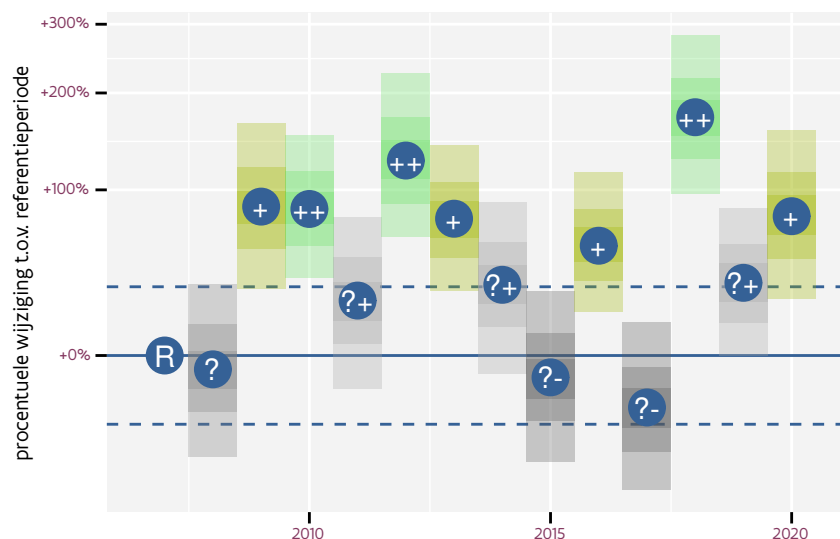


Figuur 27.1: Evolutie van het gemodeleerde gemiddeld aantal waargenomen dieren op een meetpunt voor Canadese gans tijdens de referentieperiode. Zie §4.1 voor een verklaring van de intervallen.

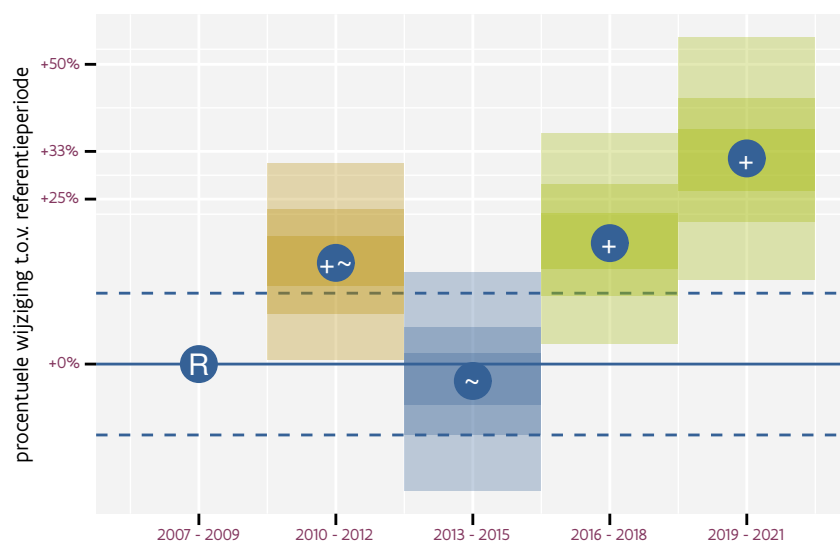


Figuur 27.2: Evolutie van het gemodeleerde gemiddeld aantal waargenomen dieren op een meetpunt voor Canadese gans tijdens de referentieperiode. Zie §4.1 voor een verklaring van de intervallen.





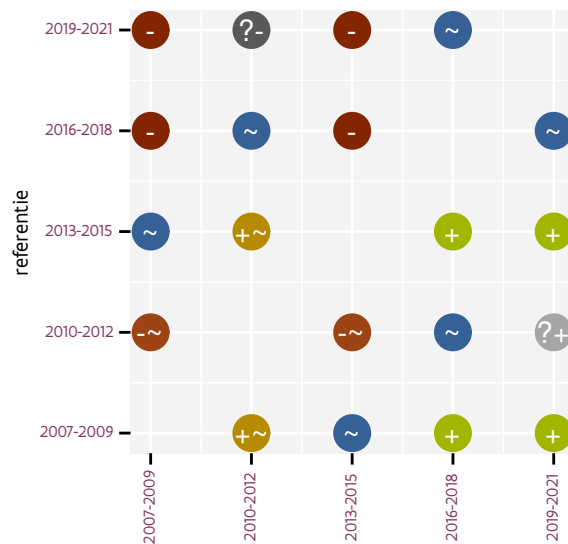
Figuur 27.3: Wijzigingen tussen jaren voor Canadese gans. Zie §4.1 voor een verklaring van de intervallen en §4.2 voor uitleg over de symbolen en referentielijnen.



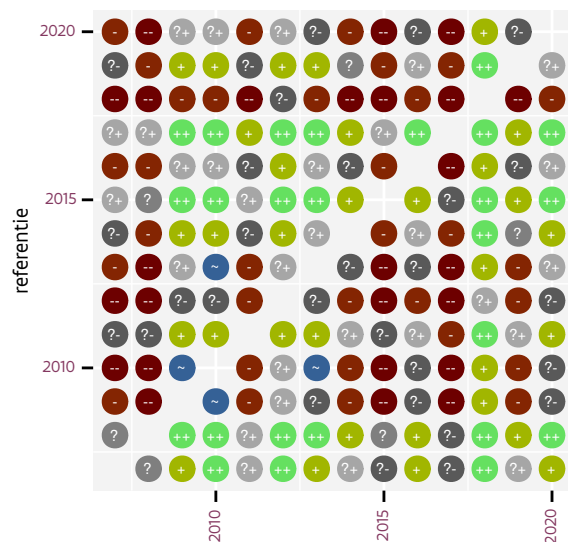
Figuur 27.4: Wijzigingen per driejarige cyclus voor Canadese gans. Zie §4.1 voor een verklaring van de intervallen en §4.2 voor uitleg over de symbolen en referentielijnen.

Tabel 27.1: Stratumgewicht, raming aan het aantal hokken waarin de soort aanwezig is, aantal relevant hokken voor de analyse, aantal onderzochte hokken in het stratum, totaal aantal hokken van het stratum in Vlaanderen en aantal bezoeken aan een meetpunt voor Canadese gans (zie §3.5).

stratum	gewicht	aanwezig	relevant	onderzocht	totaal	bezoeken
Landbouw	86.3%	1392.6	94	426	6311	6351
Moeras en water	4.2%	65.1	38	80	137	2444
Heide en duin	4.1%	63.4	29	91	199	2006
Urbaan	2.1%	28.7	6	87	416	389
Suburbaan	2.0%	29.6	10	68	201	773
Bos	1.4%	20.1	12	190	319	906



Figuur 27.5: Paarsgewijze vergelijking tussen driejarige cycli voor Canadese gans. Uitleg van de symbolen in tabel 4.1.



Figuur 27.6: Paarsgewijze vergelijking tussen jaren voor Canadese gans. Uitleg van de symbolen in tabel 4.1.

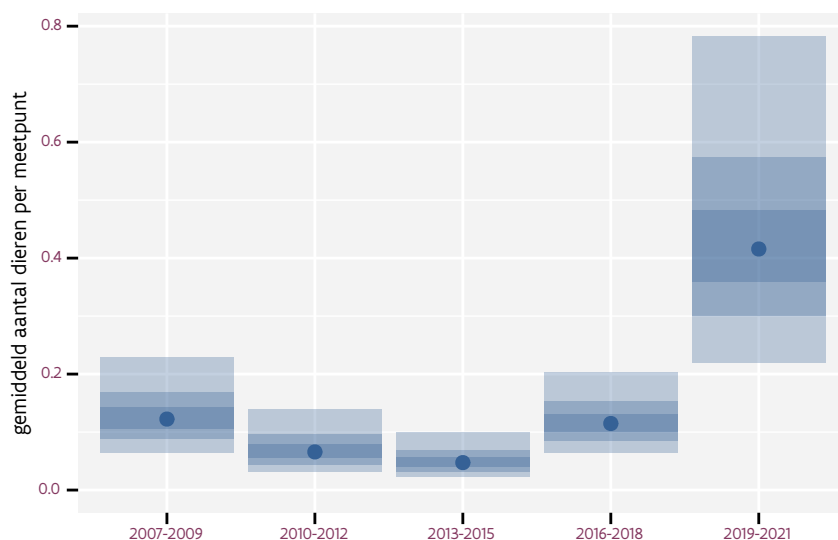
Tabel 27.2: Data-hashes van de analyses in het kader van traceerbaarheid (zie §5.3).

frequentie	model	analyse	status
jaarlijks	lineair	188230733f3267f337c7 e44f36eca007064da09d	d39c67ce660f5d5d21e5 10ab29005975b4d682ca
jaarlijks	niet-lineair	cc059bf4362d4eef0322 3d22f47a709096e6d5bf	8333c65ee273c7c1b70b f77431dda76fd50ba1dc
driejaarlijks	lineair	803d38fdf3c7beead5e0 7ad0480adb855f4c4e8a	27cdafe09fab4a421e4c 28fba6d0580df1193e97
driejaarlijks	niet-lineair	2446602d5603ae03a289 d4bedb378e53819aa830	2be3e3339819701e6adc 31a9bcbe7fac486ac0e9

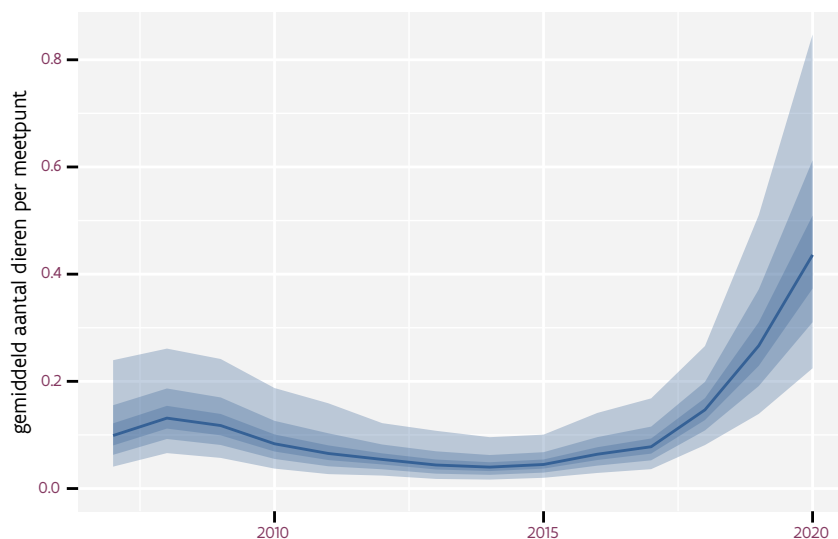
## 28 CETTI'S ZANGER

Op basis van driejaarlijkse gegevens zien we gemiddeld een sterke toename met +11.7% (+5.6%; +18.1%) per jaar of +320% (+100%; +770%) over de volledige looptijd van het meetnet. Deze trend is niet-lineair.

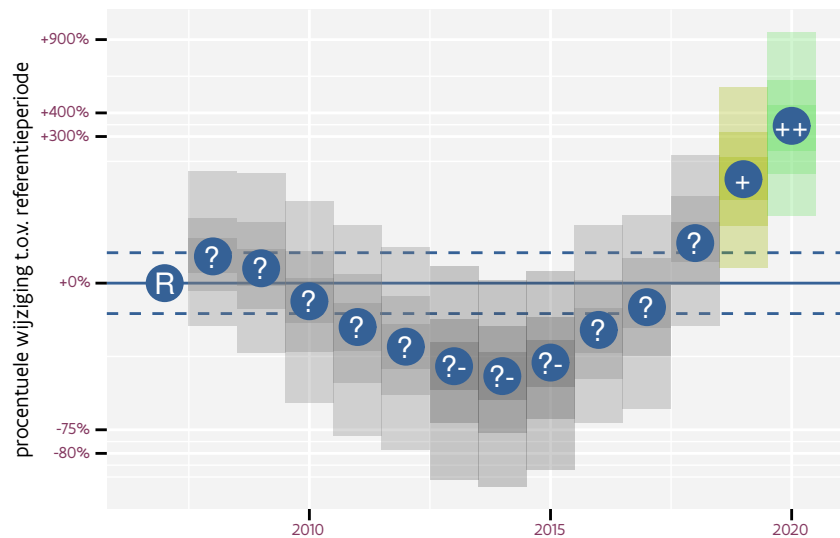
Op basis van jaarlijkse gegevens zien we gemiddeld een sterke toename met +11.7% (+5.5%; +18.2%) per jaar of +320% (+100%; +780%) over de volledige looptijd van het meetnet. Deze trend is niet-lineair.



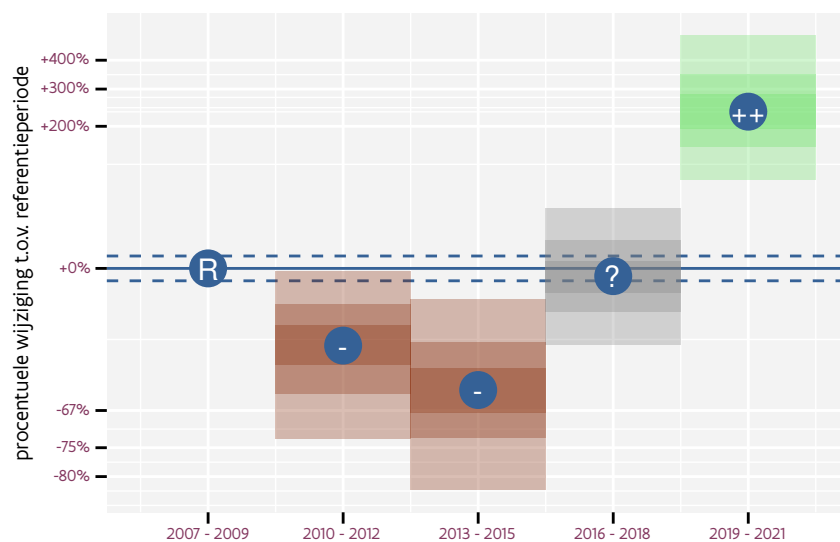
Figuur 28.1: Evolutie van het gemodeleerde gemiddeld aantal waargenomen dieren op een meetpunt voor Cetti's zanger tijdens de referentieperiode. Zie §4.1 voor een verklaring van de intervallen.



Figuur 28.2: Evolutie van het gemodeleerde gemiddeld aantal waargenomen dieren op een meetpunt voor Cetti's zanger tijdens de referentieperiode. Zie §4.1 voor een verklaring van de intervallen.



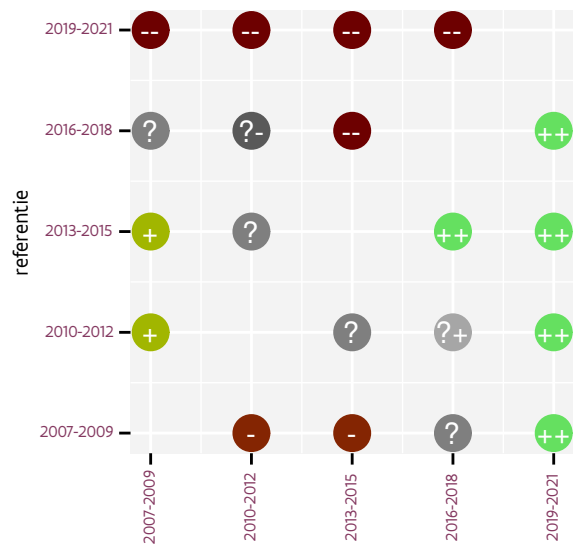
Figuur 28.3: Wijzigingen tussen jaren voor Cetti's zanger. Zie §4.1 voor een verklaring van de intervallen en §4.2 voor uitleg over de symbolen en referentielijnen.



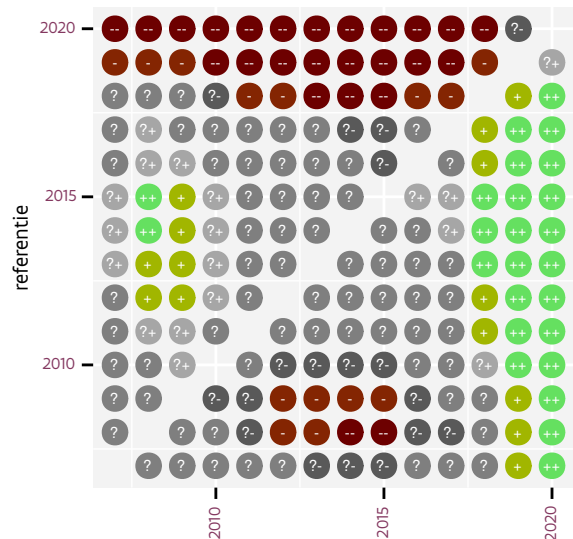
Figuur 28.4: Wijzigingen per driejarige cyclus voor Cetti's zanger. Zie §4.1 voor een verklaring van de intervallen en §4.2 voor uitleg over de symbolen en referentielijnen.

Tabel 28.1: Stratumgewicht, raming aan het aantal hokken waarin de soort aanwezig is, aantal relevant hokken voor de analyse, aantal onderzochte hokken in het stratum, totaal aantal hokken van het stratum in Vlaanderen en aantal bezoeken aan een meetpunt voor Cetti's zanger (zie §3.5).

stratum	gewicht	aanwezig	relevant	onderzocht	totaal	bezoeken
Landbouw	75.6%	74.1	5	426	6311	322
Moeras en water	13.2%	15.4	9	80	137	521
Heide en duin	11.2%	10.9	5	91	199	155



Figuur 28.5: Paarsgewijze vergelijking tussen driejarige cycli voor Cetti's zanger. Uitleg van de symbolen in tabel 4.1.



Figuur 28.6: Paarsgewijze vergelijking tussen jaren voor Cetti's zanger. Uitleg van de symbolen in tabel 4.1.

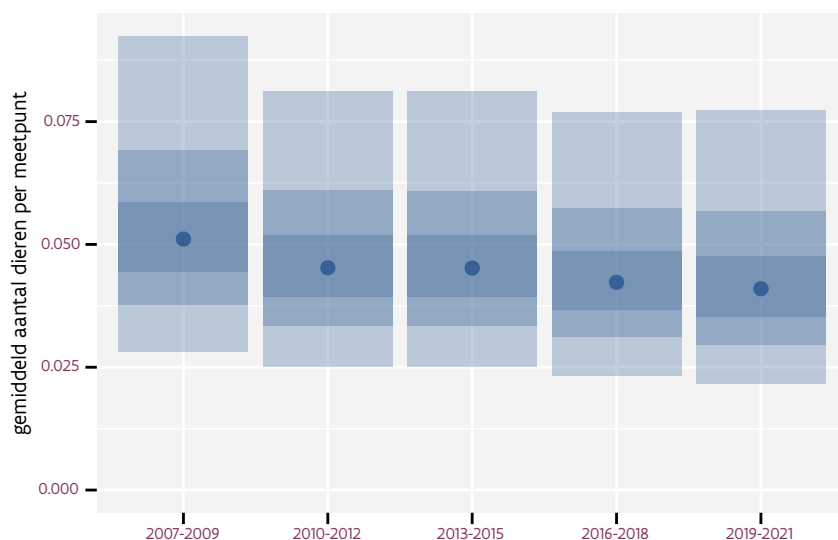
Tabel 28.2: Data-hashes van de analyses in het kader van traceerbaarheid (zie §5.3).

frequentie	model	analyse	status
jaarlijks	lineair	0f62d0fb3b439ca8a0db 4db347279523b301b034	8c1053344267d8c4475b 0945150f94f922ba413a
jaarlijks	niet-lineair	19ec1f3a100a8ccfb5bc 3d15f8c556a4a4132f73	7fdc7cca22e6ee7bdbf1 42f2bcb6302a34dc06e6
driejaarlijks	lineair	98835a3215dc3934bef1 a963f2c7cf8c6839f1d9	44d0a0e3a36467822e4e 43440edc5d48f7edd02e
driejaarlijks	niet-lineair	724f45f47fe0529692fa fc959a7c4bccd4332c69	4d129211d6d6d023072e 0b24e4be73f23db6d2f6

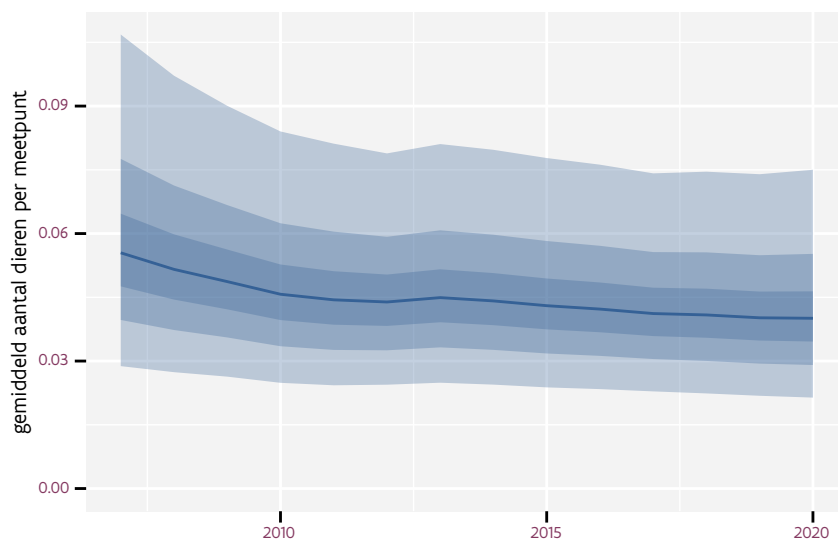
## 29 DODAARS

Op basis van driejaarlijkse gegevens zien we gemiddeld een mogelijk afname met -5.8% (-12.7%; +1.7%) per jaar of -50% (-80%; +20%) over de volledige looptijd van het meetnet. Deze trend is niet-lineair.

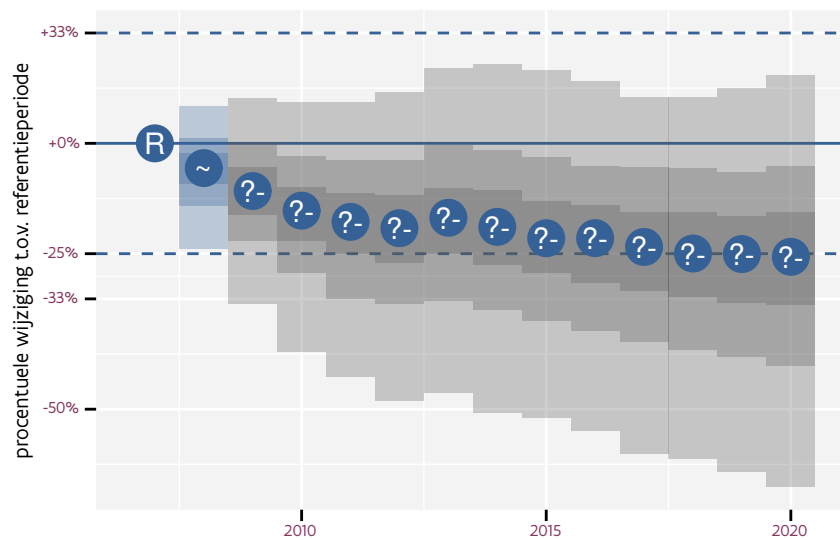
Op basis van jaarlijkse gegevens zien we gemiddeld een mogelijk afname met -5.9% (-12.9%; +1.6%) per jaar of -50% (-80%; +20%) over de volledige looptijd van het meetnet. Deze trend is niet-lineair.



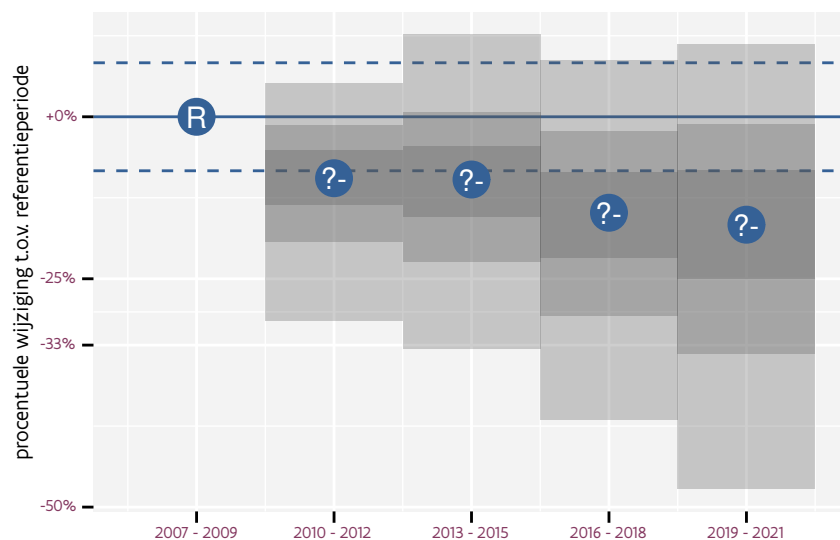
Figuur 29.1: Evolutie van het gemodeleerde gemiddeld aantal waargenomen dieren op een meetpunt voor Dodaars tijdens de referentieperiode. Zie §4.1 voor een verklaring van de intervallen.



Figuur 29.2: Evolutie van het gemodeleerde gemiddeld aantal waargenomen dieren op een meetpunt voor Dodaars tijdens de referentieperiode. Zie §4.1 voor een verklaring van de intervallen.



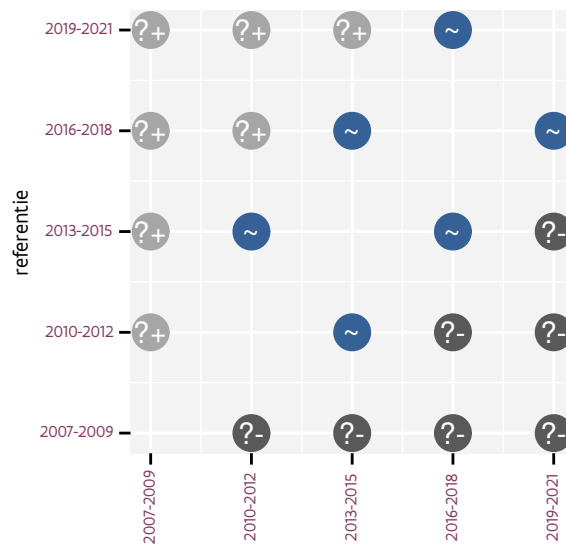
Figuur 29.3: Wijzigingen tussen jaren voor Dodaars. Zie §4.1 voor een verklaring van de intervallen en §4.2 voor uitleg over de symbolen en referentielijnen.



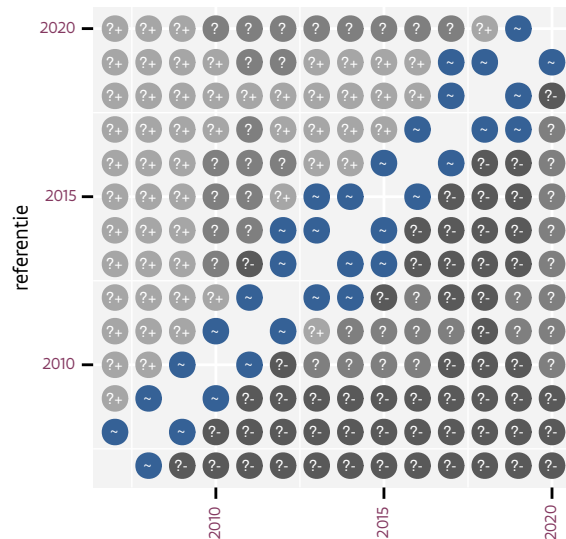
Figuur 29.4: Wijzigingen per driejarige cyclus voor Dodaars. Zie §4.1 voor een verklaring van de intervallen en §4.2 voor uitleg over de symbolen en referentielijnen.

Tabel 29.1: Stratumgewicht, raming aan het aantal hokken waarin de soort aanwezig is, aantal relevant hokken voor de analyse, aantal onderzochte hokken in het stratum, totaal aantal hokken van het stratum in Vlaanderen en aantal bezoeken aan een meetpunt voor Dodaars (zie §3.5).

stratum	gewicht	aanwezig	relevant	onderzocht	totaal	bezoeken
Landbouw	45.2%	44.4	3	426	6311	172
Heide en duin	23.5%	28.4	13	91	199	866
Moeras en water	22.3%	29.1	17	80	137	1233
Bos	9.0%	10.1	6	190	319	594



Figuur 29.5: Paarsgewijze vergelijking tussen driejarige cycli voor Dodaars. Uitleg van de symbolen in tabel 4.1.



Figuur 29.6: Paarsgewijze vergelijking tussen jaren voor Dodaars. Uitleg van de symbolen in tabel 4.1.

Tabel 29.2: Data-hashes van de analyses in het kader van traceerbaarheid (zie §5.3).

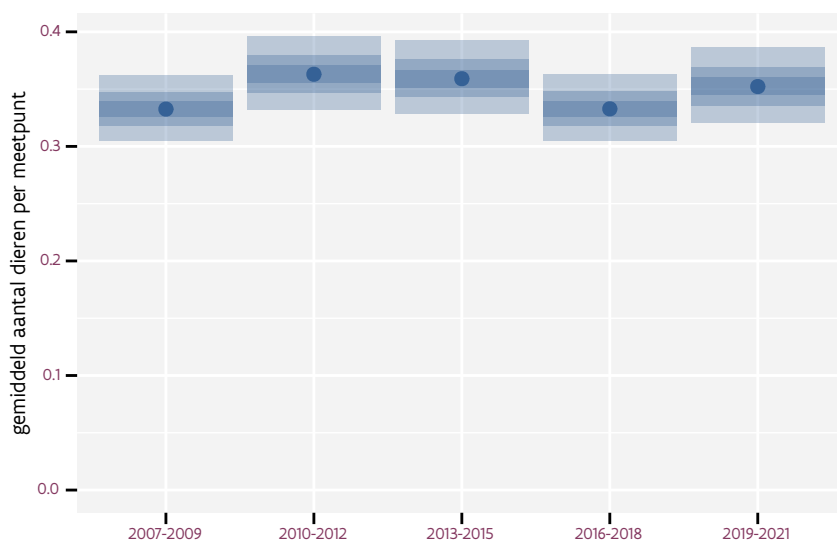
frequentie	model	analyse	status
jaarlijks	lineair	a0c0800f84f3eaa9bc11 d632732e633789fc5b21	581f940f416410b1aa87 08ccd8444db0720935ea
jaarlijks	niet-lineair	c36037c86215bc196bd3 c038ef125dfec03e46f	c3056000f1e670f2d64c 954b140e917ee59bcf5a
driejaarlijks	lineair	2f743dd15471aee47791 b2ed8893d2a3072a01c9	8a26324136ab4aeb745e 9ebf041b36a466f9a7a8
driejaarlijks	niet-lineair	85f969f6fc6f26bfc9d0 c5e2e55890705f88f821	49555bbe5d3bf8aa2328 3a6d9eab3fe2708c0167



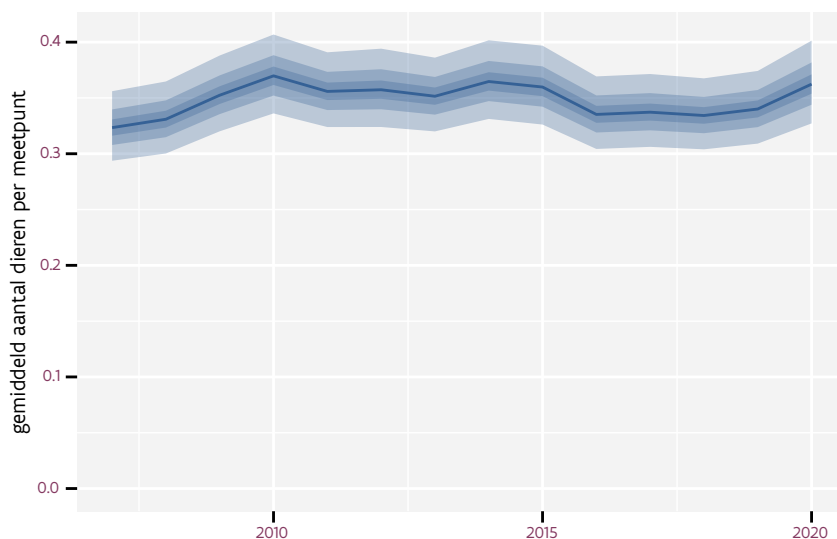
## 30 EKSTER

Op basis van driejaarlijkse gegevens zien we gemiddeld een stabiele trend van +0.10% (-0.35%; +0.54%) per jaar of +1% (-4%; +7%) over de volledige looptijd van het meetnet. Deze trend is niet-lineair.

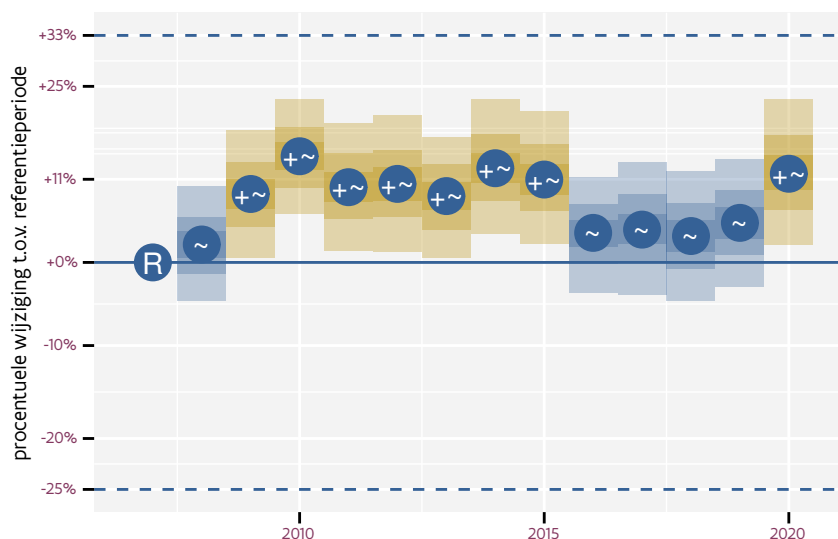
Op basis van jaarlijkse gegevens zien we gemiddeld een stabiele trend van +0.13% (-0.31%; +0.58%) per jaar of +2% (-4%; +8%) over de volledige looptijd van het meetnet. Deze trend is niet-lineair.



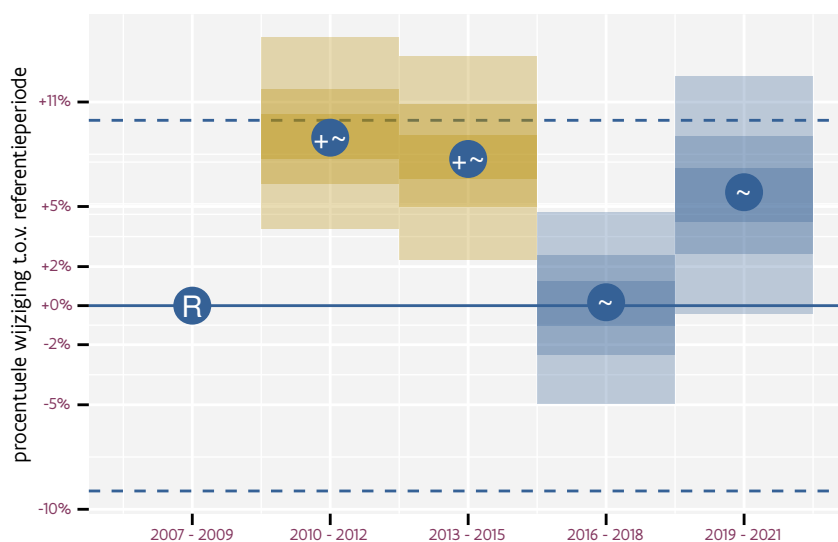
Figuur 30.1: Evolutie van het gemodeleerde gemiddeld aantal waargenomen dieren op een meetpunt voor Ekster tijdens de referentieperiode. Zie §4.1 voor een verklaring van de intervallen.



Figuur 30.2: Evolutie van het gemodeleerde gemiddeld aantal waargenomen dieren op een meetpunt voor Ekster tijdens de referentieperiode. Zie §4.1 voor een verklaring van de intervallen.



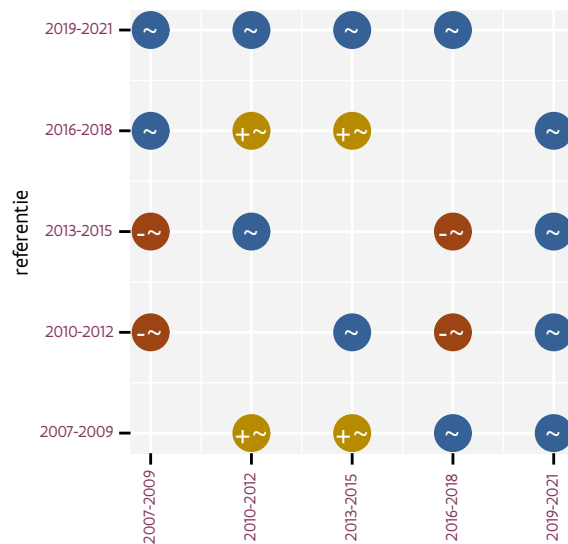
Figuur 30.3: Wijzigingen tussen jaren voor Ekster. Zie §4.1 voor een verklaring van de intervallen en §4.2 voor uitleg over de symbolen en referentielijnen.



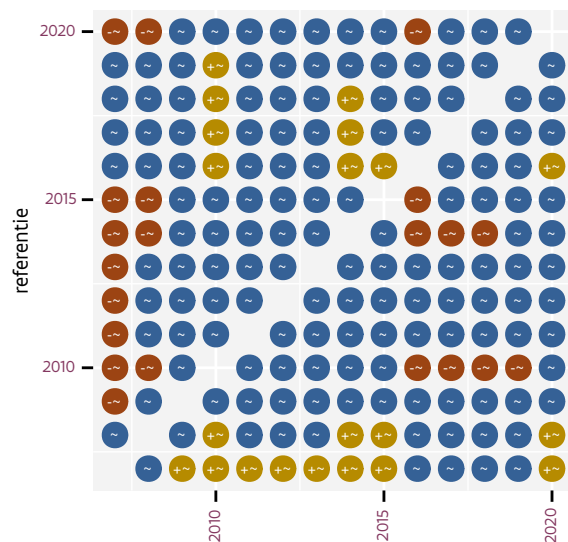
Figuur 30.4: Wijzigingen per driejarige cyclus voor Ekster. Zie §4.1 voor een verklaring van de intervallen en §4.2 voor uitleg over de symbolen en referentielijnen.

Tabel 30.1: Stratumgewicht, raming aan het aantal hokken waarin de soort aanwezig is, aantal relevant hokken voor de analyse, aantal onderzochte hokken in het stratum, totaal aantal hokken van het stratum in Vlaanderen en aantal bezoeken aan een meetpunt voor Ekster (zie §3.5).

stratum	gewicht	aanwezig	relevant	onderzocht	totaal	bezoeken
Landbouw	85.3%	4370.3	295	426	6311	18373
Urbaan	6.8%	344.3	72	87	416	4338
Suburbaan	3.2%	162.6	55	68	201	3213
Moeras en water	1.8%	90.8	53	80	137	3240
Heide en duin	1.5%	76.5	35	91	199	1973
Bos	1.3%	63.8	38	190	319	2966



Figuur 30.5: Paarsgewijze vergelijking tussen driejarige cycli voor Ekster. Uitleg van de symbolen in tabel 4.1.



Figuur 30.6: Paarsgewijze vergelijking tussen jaren voor Ekster. Uitleg van de symbolen in tabel 4.1.

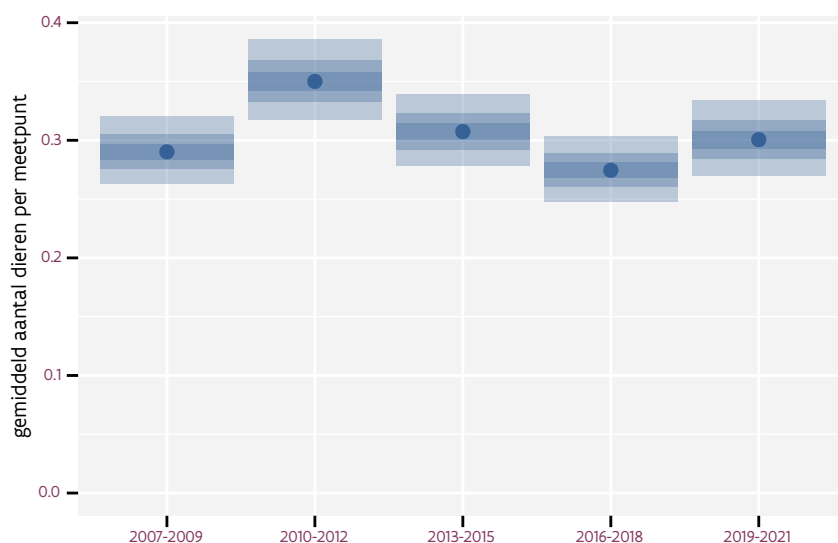
Tabel 30.2: Data-hashes van de analyses in het kader van traceerbaarheid (zie §5.3).

frequentie	model	analyse	status
jaarlijks	lineair	6497c4825416492427e7 4cd6d6beffc666c0749f	0a507d744e820781b2fc 08cb3dc73b3961d7fb41
jaarlijks	niet-lineair	e0b3d0035897f92a6af6 0fe2b1e7aa881c31839a	3f694c6b5944ed37d871 faccf03eca22d477d76b
driejaarlijks	lineair	3d55bd5d414e2dc64db8 9998a9970b316c2daef5	86109e120f6b0434744f f8ff30fba3a54b41c66f
driejaarlijks	niet-lineair	6baeafc3e52920822415 a656949217da05fa086c	77d86c7542defe88c3e0 56ebfb56ff3f8c575edb

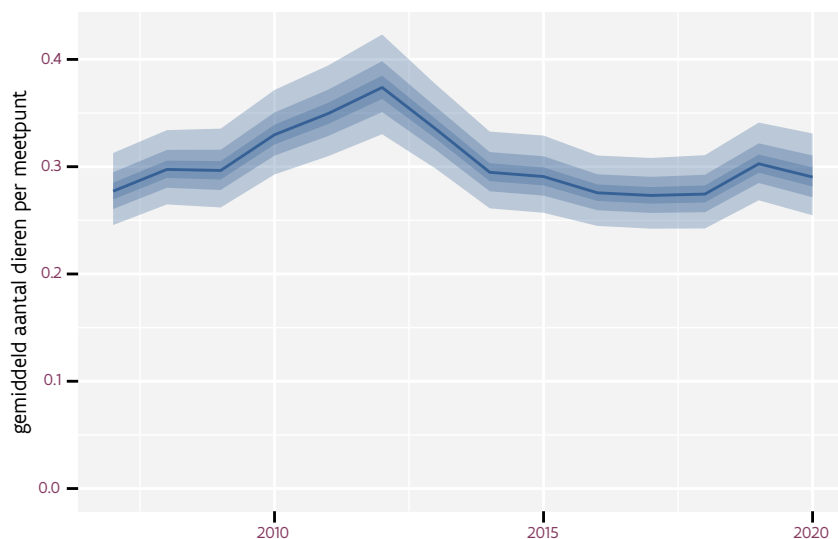
## 31 FAZANT

Op basis van driejaarlijkse gegevens zien we gemiddeld een matige afname met  $-0.66\%$  ( $-1.17\%$ ;  $-0.16\%$ ) per jaar of  $-8.3\%$  ( $-14.1\%$ ;  $-2.1\%$ ) over de volledige looptijd van het meetnet. Deze trend is niet-lineair.

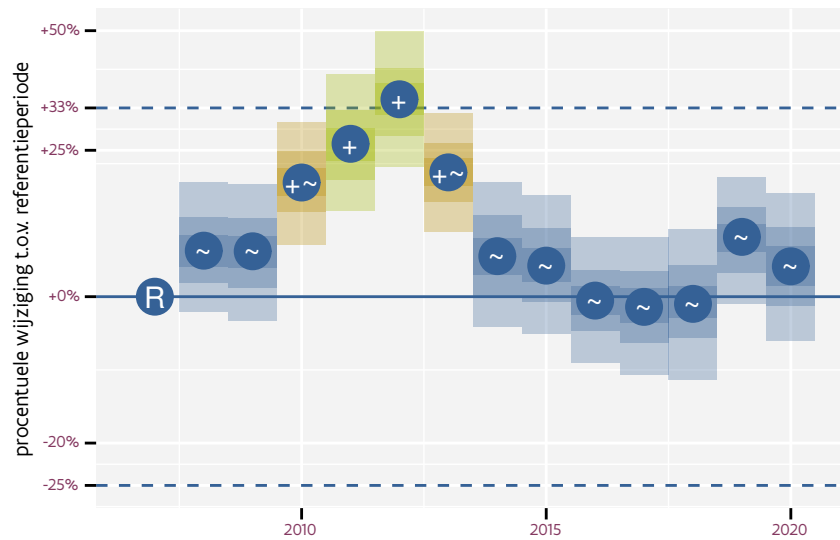
Op basis van jaarlijkse gegevens zien we gemiddeld een matige afname met  $-0.65\%$  ( $-1.15\%$ ;  $-0.14\%$ ) per jaar of  $-8.1\%$  ( $-14.0\%$ ;  $-1.8\%$ ) over de volledige looptijd van het meetnet. Deze trend is niet-lineair.



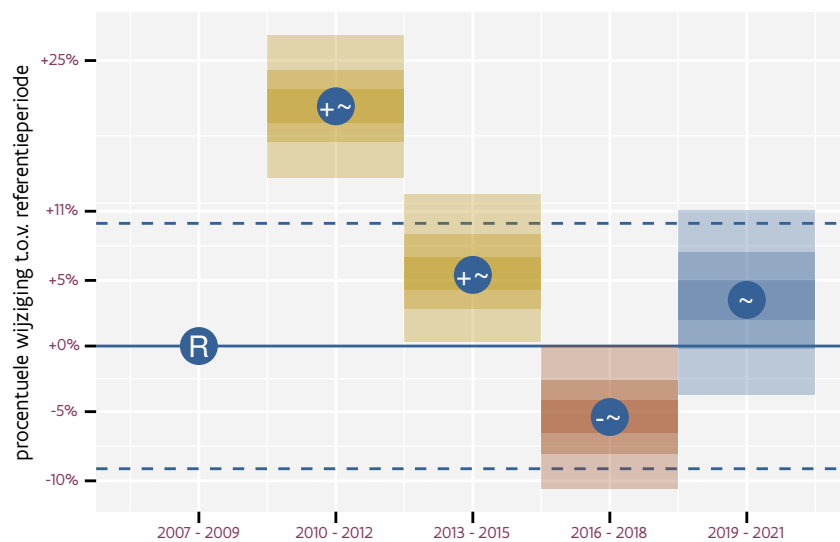
Figuur 31.1: Evolutie van het gemodeleerde gemiddeld aantal waargenomen dieren op een meetpunt voor Fazant tijdens de referentieperiode. Zie §4.1 voor een verklaring van de intervallen.



Figuur 31.2: Evolutie van het gemodeleerde gemiddeld aantal waargenomen dieren op een meetpunt voor Fazant tijdens de referentieperiode. Zie §4.1 voor een verklaring van de intervallen.



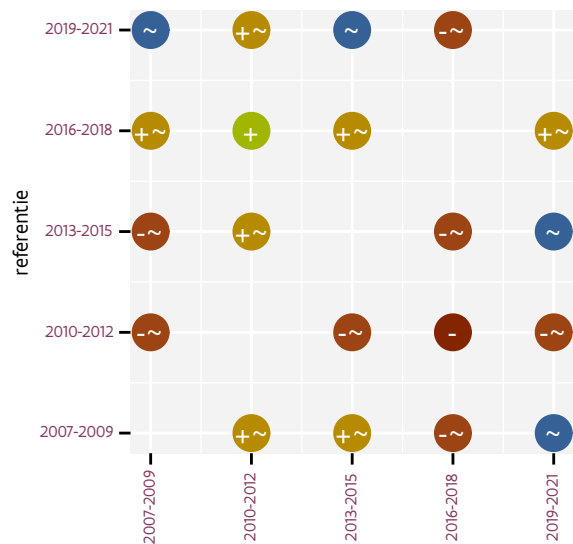
Figuur 31.3: Wijzigingen tussen jaren voor Fazant. Zie §4.1 voor een verklaring van de intervallen en §4.2 voor uitleg over de symbolen en referentielijnen.



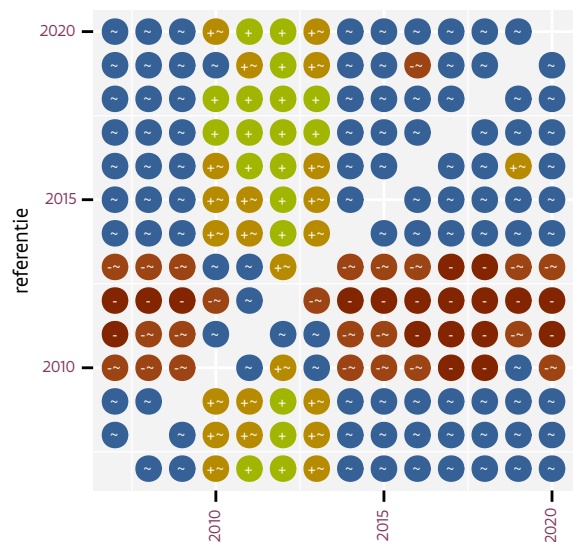
Figuur 31.4: Wijzigingen per driejarige cyclus voor Fazant. Zie §4.1 voor een verklaring van de intervallen en §4.2 voor uitleg over de symbolen en referentielijnen.

Tabel 31.1: Stratumgewicht, raming aan het aantal hokken waarin de soort aanwezig is, aantal relevant hokken voor de analyse, aantal onderzochte hokken in het stratum, totaal aantal hokken van het stratum in Vlaanderen en aantal bezoeken aan een meetpunt voor Fazant (zie §3.5).

stratum	gewicht	aanwezig	relevant	onderzocht	totaal	bezoeken
Landbouw	92.8%	4014.7	271	426	6311	17325
Heide en duin	1.8%	76.5	35	91	199	2407
Moeras en water	1.6%	66.8	39	80	137	2505
Bos	1.5%	63.8	38	190	319	2712
Suburbaan	1.2%	47.3	16	68	201	1015
Urbaan	1.1%	43.0	9	87	416	701



Figuur 31.5: Paarsgewijze vergelijking tussen driejarige cycli voor Fazant. Uitleg van de symbolen in tabel 4.1.



Figuur 31.6: Paarsgewijze vergelijking tussen jaren voor Fazant. Uitleg van de symbolen in tabel 4.1.

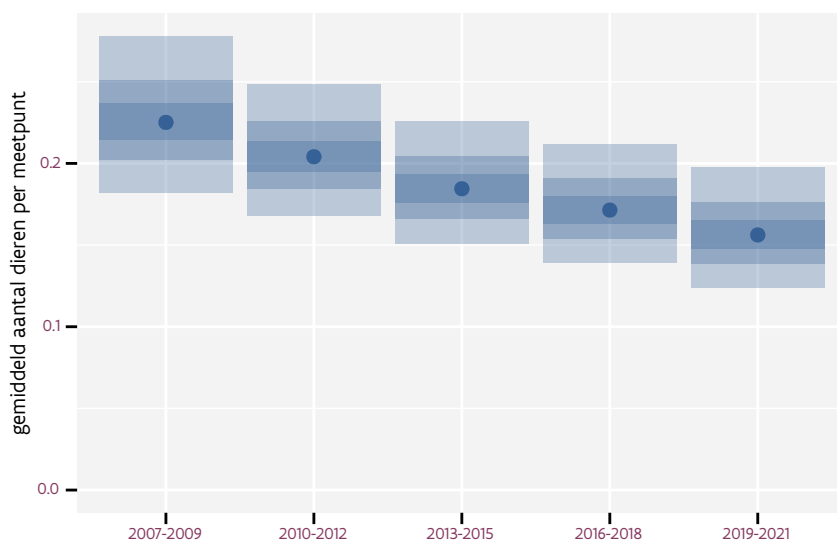
Tabel 31.2: Data-hashes van de analyses in het kader van traceerbaarheid (zie §5.3).

frequentie	model	analyse	status
jaarlijks	lineair	e319ffbade3c805f3d7 52207b4c89a3ebf73763	5c968d58173f9f0a5d56 72c160a2e2c41e26f071
jaarlijks	niet-lineair	93cc044184502be38e9f ca80f2d2b6b7a98948ea	b32ee36482f30166d02a 8a5761e25d2a89de5364
driejaarlijks	lineair	2dbc7bbf2bb3d80494a6 7717ecc030fd32ae1b9d	c3a333a75ab6367599d0 a6b1d27e0ef49e673f47
driejaarlijks	niet-lineair	8e7e39132653d2534ac3 d0e7c8b4f2eff3e736e	d616983490feb8565a23 c5ddb27a3d20978f07e4

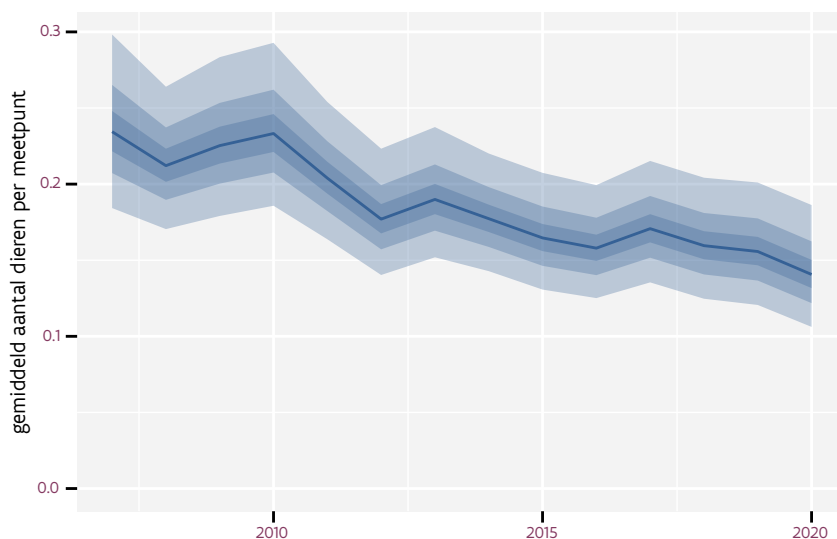
## 32 FITIS

Op basis van driejaarlijkse gegevens zien we gemiddeld een sterke afname met -4.0% (-5.8%; -2.2%) per jaar of -41% (-54%; -25%) over de volledige looptijd van het meetnet. Deze trend is lineair.

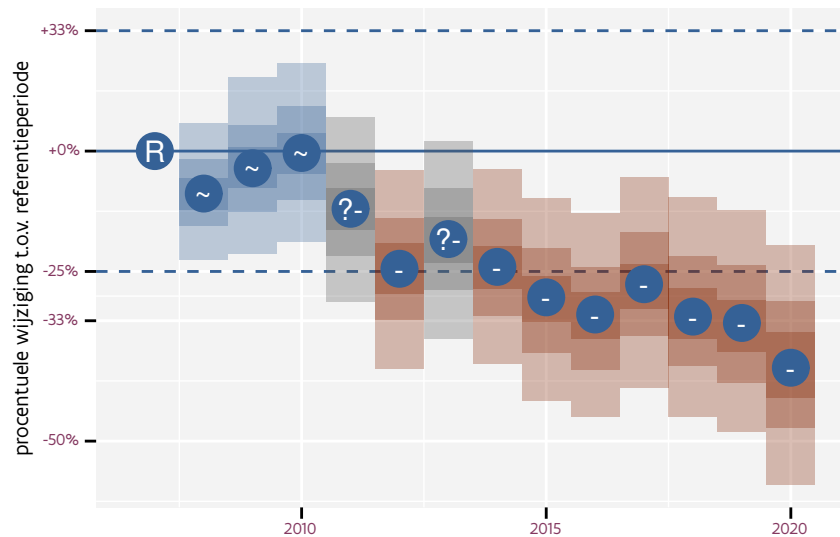
Op basis van jaarlijkse gegevens zien we gemiddeld een sterke afname met -4.2% (-6.0%; -2.3%) per jaar of -43% (-55%; -27%) over de volledige looptijd van het meetnet. Deze trend is niet-lineair.



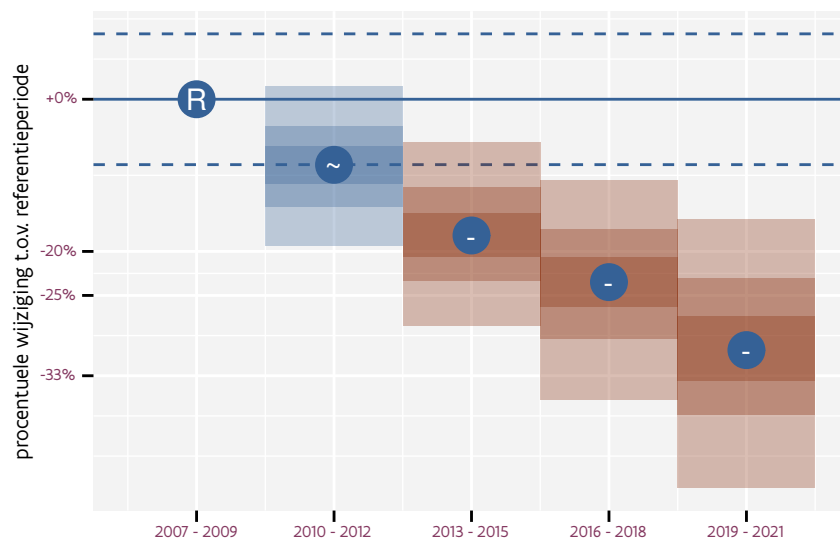
Figuur 32.1: Evolutie van het gemodeleerde gemiddeld aantal waargenomen dieren op een meetpunt voor Fitis tijdens de referentieperiode. Zie §4.1 voor een verklaring van de intervallen.



Figuur 32.2: Evolutie van het gemodeleerde gemiddeld aantal waargenomen dieren op een meetpunt voor Fitis tijdens de referentieperiode. Zie §4.1 voor een verklaring van de intervallen.



Figuur 32.3: Wijzigingen tussen jaren voor Fitis. Zie §4.1 voor een verklaring van de intervallen en §4.2 voor uitleg over de symbolen en referentielijnen.

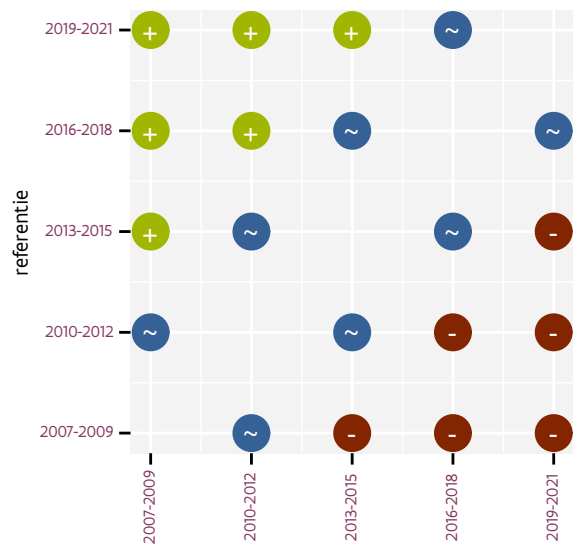


Figuur 32.4: Wijzigingen per driejarige cyclus voor Fitis. Zie §4.1 voor een verklaring van de intervallen en §4.2 voor uitleg over de symbolen en referentielijnen.

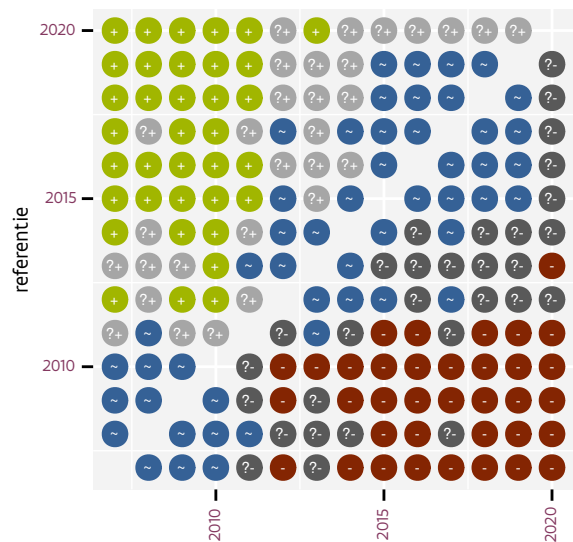
Tabel 32.1: Stratumgewicht, raming aan het aantal hokken waarin de soort aanwezig is, aantal relevant hokken voor de analyse, aantal onderzochte hokken in het stratum, totaal aantal hokken van het stratum in Vlaanderen en aantal bezoeken aan een meetpunt voor Fitis (zie §3.5).

stratum	gewicht	aanwezig	relevant	onderzocht	totaal	bezoeken
Landbouw	49.7%	325.9	22	426	6311	1590
Heide en duin	23.7%	161.8	74	91	199	4516
Bos	13.8%	92.3	55	190	319	4039
Moeras en water	6.8%	44.5	26	80	137	1800
Suburbaan	6.1%	38.4	13	68	201	581





Figuur 32.5: Paarsgewijze vergelijking tussen driejarige cycli voor Fitis. Uitleg van de symbolen in tabel 4.1.



Figuur 32.6: Paarsgewijze vergelijking tussen jaren voor Fitis. Uitleg van de symbolen in tabel 4.1.

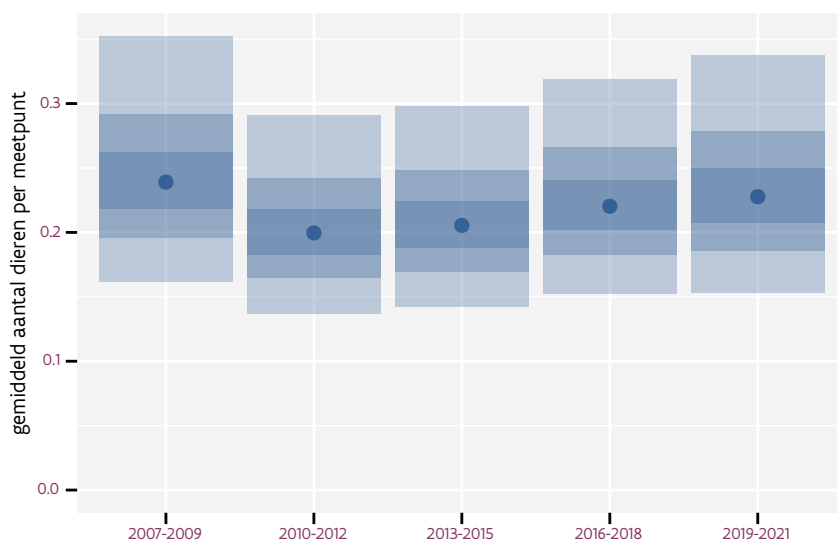
Tabel 32.2: Data-hashes van de analyses in het kader van traceerbaarheid (zie §5.3).

frequentie	model	analyse	status
jaarlijks	lineair	195028a34b19c993ac5d d1621ced36c15aa708a0	12feba89110ab7dbb644 fabb563c4ef5fe5cd659
jaarlijks	niet-lineair	4365d6623c40bf24dc10 f1657f24ec6e658d595b	ae76a938d83deb72ebf1 352e6f970b53db35de14
driejaarlijks	lineair	694dc41c0e7bcec7ceec 6564df3506f98dae29a6	d62f924415fb6d89502f 07a4baeac60e19cb078e
driejaarlijks	niet-lineair	5f356c95fb2e3e650369 fde9586cd58d8b82b7fc	af83dd9d752758de23fc 667782ebda5e53f58f96

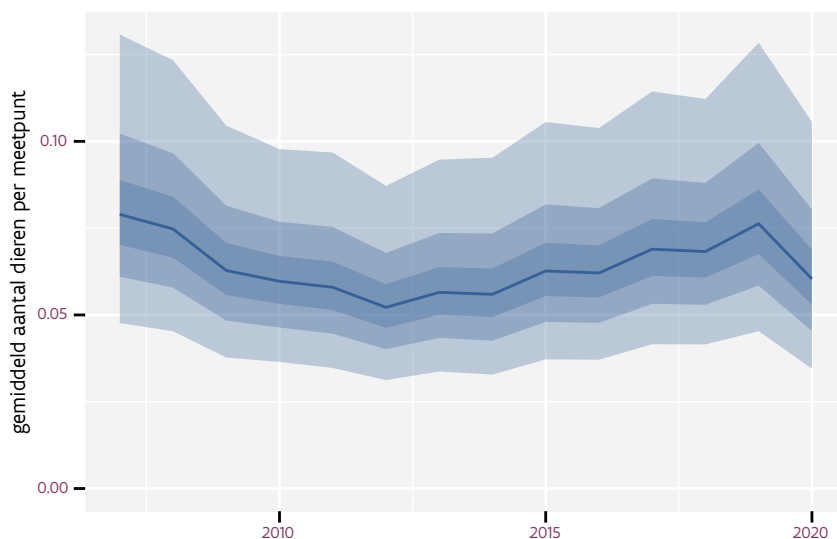
### 33 FUUT

Op basis van driejaarlijkse gegevens zien we gemiddeld een mogelijk afname met -1.2% (-4.0%; +1.7%) per jaar of -15% (-42%; +24%) over de volledige looptijd van het meetnet. Deze trend is lineair.

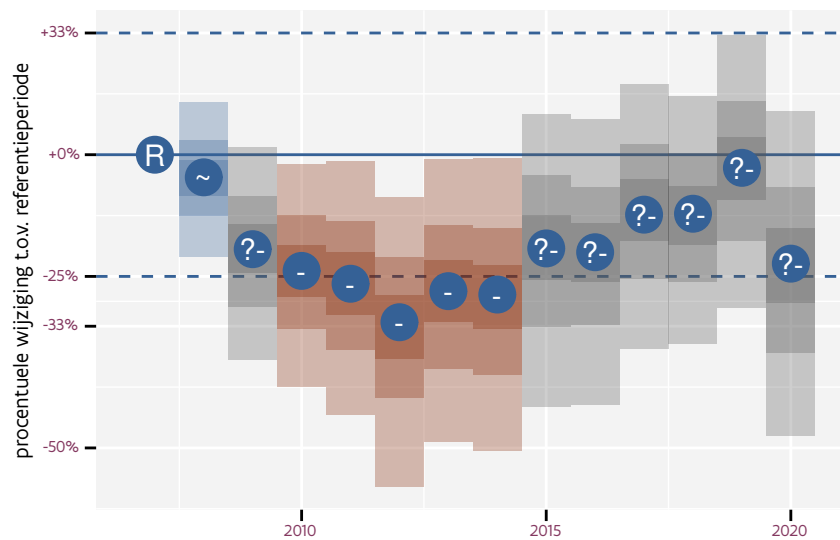
Op basis van jaarlijkse gegevens zien we gemiddeld een mogelijk afname met -1.1% (-3.8%; +1.5%) per jaar of -14% (-39%; +22%) over de volledige looptijd van het meetnet. Deze trend is niet-lineair.



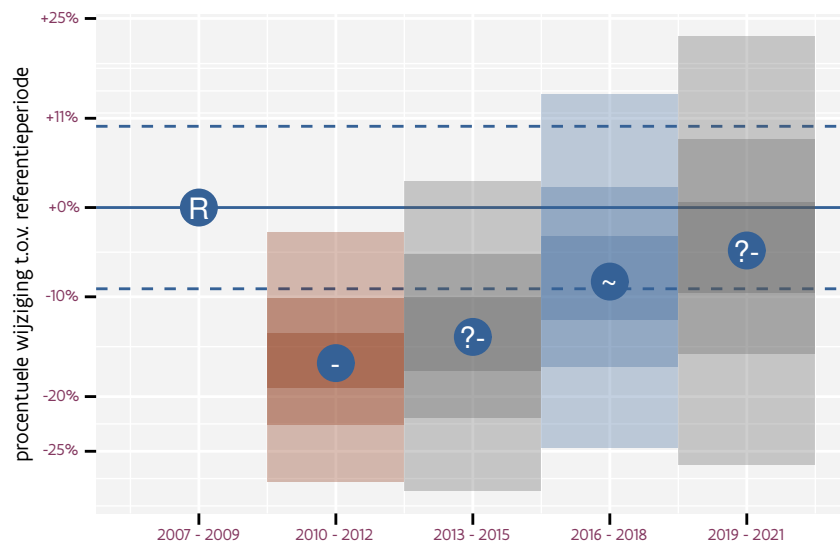
Figuur 33.1: Evolutie van het gemodeleerde gemiddeld aantal waargenomen dieren op een meetpunt voor Fuut tijdens de referentieperiode. Zie §4.1 voor een verklaring van de intervallen.



Figuur 33.2: Evolutie van het gemodeleerde gemiddeld aantal waargenomen dieren op een meetpunt voor Fuut tijdens de referentieperiode. Zie §4.1 voor een verklaring van de intervallen.



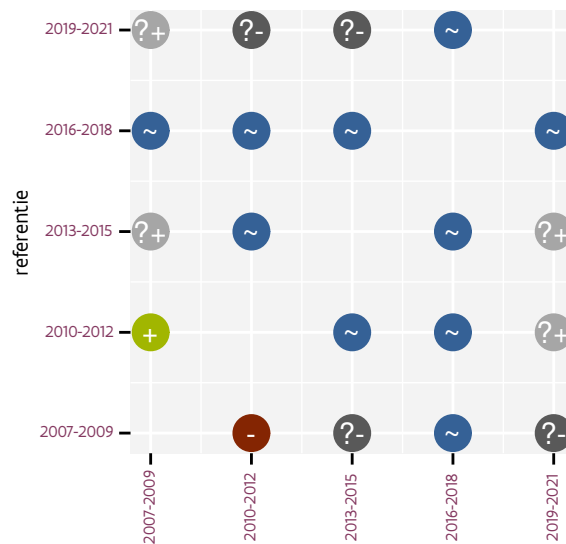
Figuur 33.3: Wijzigingen tussen jaren voor Fuut. Zie §4.1 voor een verklaring van de intervallen en §4.2 voor uitleg over de symbolen en referentielijnen.



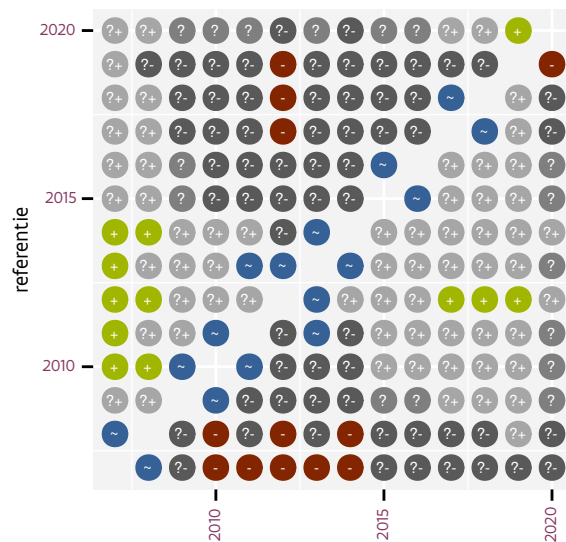
Figuur 33.4: Wijzigingen per driejarige cyclus voor Fuut. Zie §4.1 voor een verklaring van de intervallen en §4.2 voor uitleg over de symbolen en referentielijnen.

Tabel 33.1: Stratumgewicht, raming aan het aantal hokken waarin de soort aanwezig is, aantal relevant hokken voor de analyse, aantal onderzochte hokken in het stratum, totaal aantal hokken van het stratum in Vlaanderen en aantal bezoeken aan een meetpunt voor Fuut (zie §3.5).

stratum	gewicht	aanwezig	relevant	onderzocht	totaal	bezoeken
Landbouw	46.4%	74.1	5	426	6311	342
Moeras en water	35.9%	68.5	40	80	137	2500
Heide en duin	11.5%	19.7	9	91	199	546
Bos	6.2%	10.1	6	190	319	552



Figuur 33.5: Paarsgewijze vergelijking tussen driejarige cycli voor Fuut. Uitleg van de symbolen in tabel 4.1.



Figuur 33.6: Paarsgewijze vergelijking tussen jaren voor Fuut. Uitleg van de symbolen in tabel 4.1.

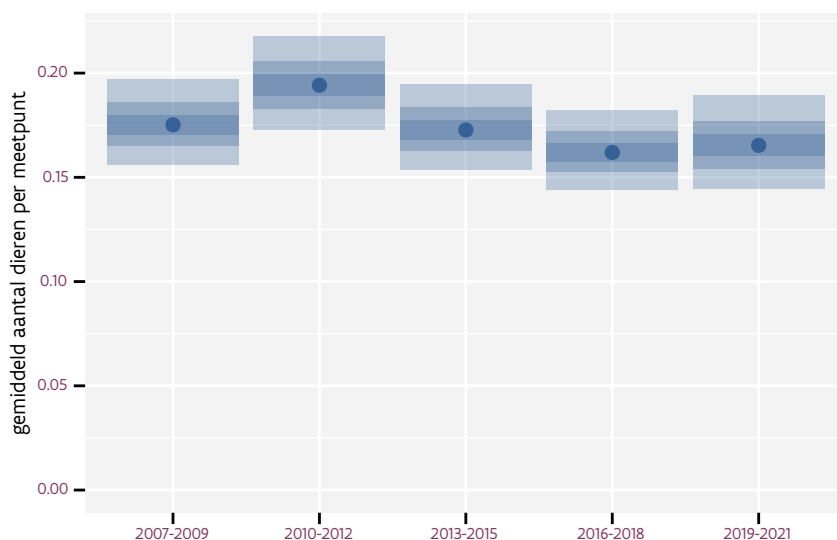
Tabel 33.2: Data-hashes van de analyses in het kader van traceerbaarheid (zie §5.3).

frequentie	model	analyse	status
jaarlijks	lineair	5087a2eb716e97b47a23 2eaf70be8a6b52e1a618	5a7f9bc89da212c2daf 41a2e20a58973bbefb6f
jaarlijks	niet-lineair	bb3f069965614ada6c21 26558dbc5ec565503f66	1592a54659e13c27e449 c166f40315ebe252fb4d
driejaarlijks	lineair	cf1ab2f86150a53155b9 b1f7d90300bee448c418	2f9e69a48df927f95e2f 9fc38b2bc7fa813c51be
driejaarlijks	niet-lineair	3f3586e1fcccb4fd3c7 446de8a963992cf3117a	21e9f4cbb77edcb6a4cb 1546b6e7ea674bf4d45b

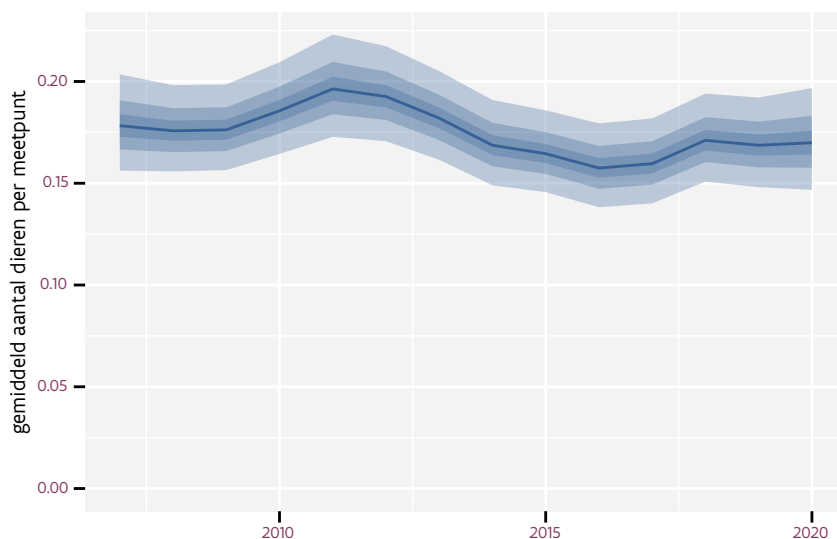
## 34 GAAI

Op basis van driejaarlijkse gegevens zien we gemiddeld een matige afname met -1.1% (-2.1%; -0.1%) per jaar of -14% (-24%; -2%) over de volledige looptijd van het meetnet. Deze trend is niet-lineair.

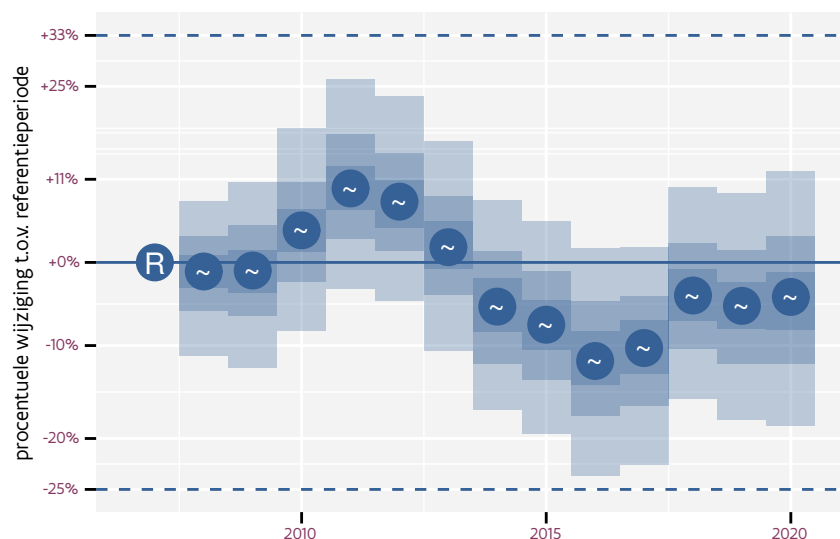
Op basis van jaarlijkse gegevens zien we gemiddeld een stabiele trend van -0.98% (-1.96%; +0.01%) per jaar of -12% (-23%; +0%) over de volledige looptijd van het meetnet. Deze trend is niet-lineair.



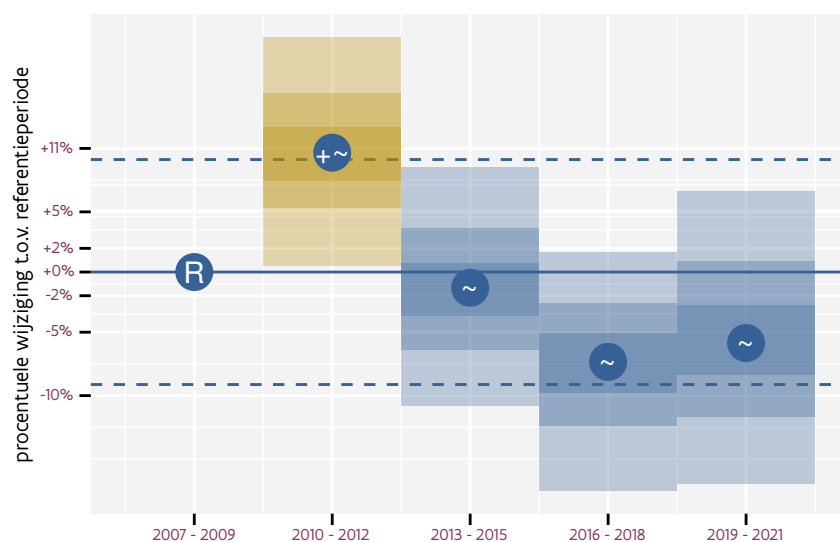
Figuur 34.1: Evolutie van het gemodeleerde gemiddeld aantal waargenomen dieren op een meetpunt voor Gaai tijdens de referentieperiode. Zie §4.1 voor een verklaring van de intervallen.



Figuur 34.2: Evolutie van het gemodeleerde gemiddeld aantal waargenomen dieren op een meetpunt voor Gaai tijdens de referentieperiode. Zie §4.1 voor een verklaring van de intervallen.



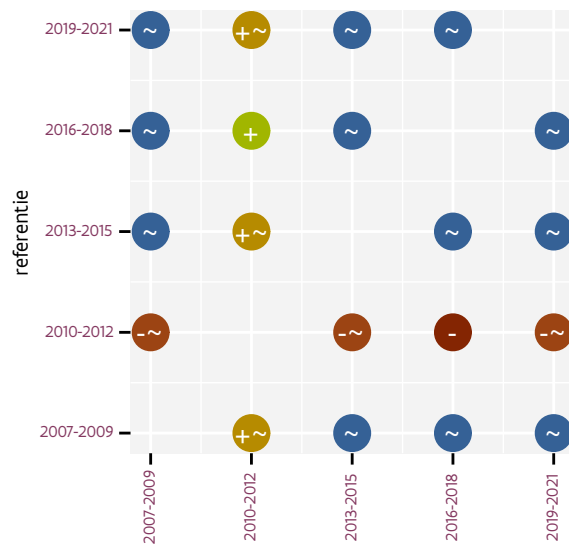
Figuur 34.3: Wijzigingen tussen jaren voor Gaai. Zie §4.1 voor een verklaring van de intervallen en §4.2 voor uitleg over de symbolen en referentielijnen.



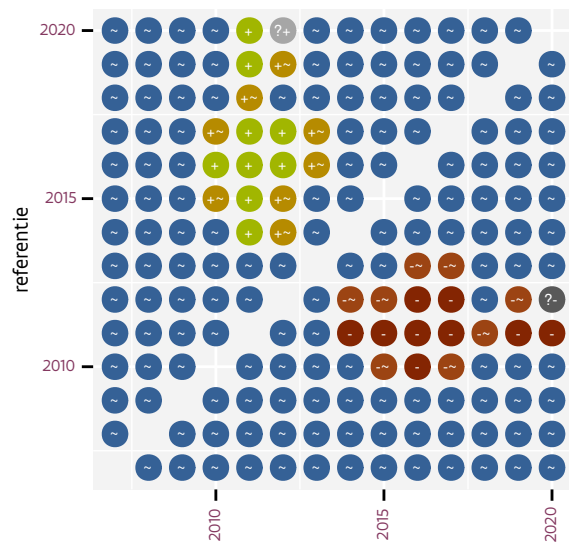
Figuur 34.4: Wijzigingen per driejarige cyclus voor Gaai. Zie §4.1 voor een verklaring van de intervallen en §4.2 voor uitleg over de symbolen en referentielijnen.

Tabel 34.1: Stratumgewicht, raming aan het aantal hokken waarin de soort aanwezig is, aantal relevant hokken voor de analyse, aantal onderzochte hokken in het stratum, totaal aantal hokken van het stratum in Vlaanderen en aantal bezoeken aan een meetpunt voor Gaai (zie §3.5).

stratum	gewicht	aanwezig	relevant	onderzocht	totaal	bezoeken
Landbouw	78.8%	2577.7	174	426	6311	11687
Bos	6.5%	213.2	127	190	319	8286
Urbaan	5.7%	181.7	38	87	416	2585
Heide en duin	3.9%	126.8	58	91	199	3743
Suburbaan	2.6%	82.8	28	68	201	1635
Moeras en water	2.4%	77.1	45	80	137	2857



Figuur 34.5: Paarsgewijze vergelijking tussen driejarige cycli voor Gaai. Uitleg van de symbolen in tabel 4.1.



Figuur 34.6: Paarsgewijze vergelijking tussen jaren voor Gaai. Uitleg van de symbolen in tabel 4.1.

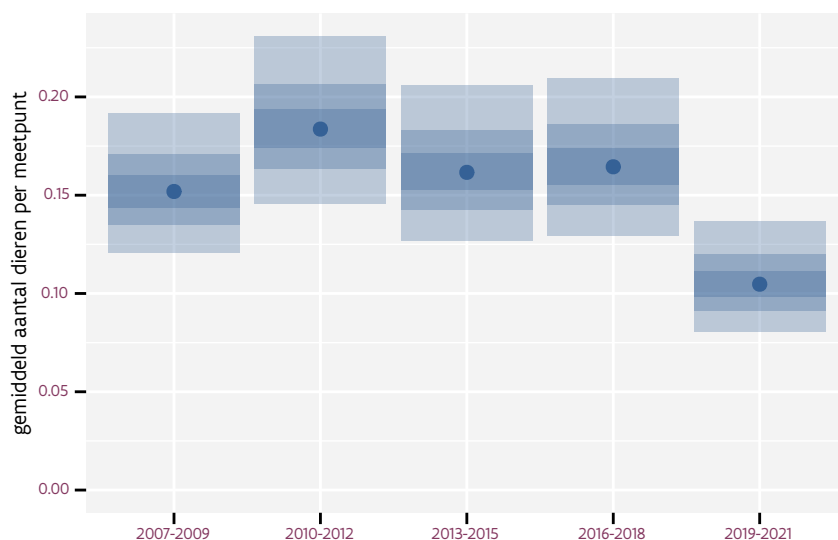
Tabel 34.2: Data-hashes van de analyses in het kader van traceerbaarheid (zie §5.3).

frequentie	model	analyse	status
jaarlijks	lineair	cf714894cb1f56228fda 0a9005714e1b7b6872ae	5e9608a63a1bf13e1134 0677ac641e2ded2644ef
jaarlijks	niet-lineair	d651b122f0da4fc1ba20 d5f63dbdb82a9395c24b	d651e2734e1607e4e9ee 9733ce070a9ed42cecbf
driejaarlijks	lineair	aa6f148f712d8bd1bb5d 7203a538c4f41f14416f	99e8b6f6f09c0de8275a 10edccd59e4496911da6
driejaarlijks	niet-lineair	1fd812923f07e4f70622 e28836b04398d704b40b	1b5cb619616478be61a2 5c71b76bee9ecf498a16

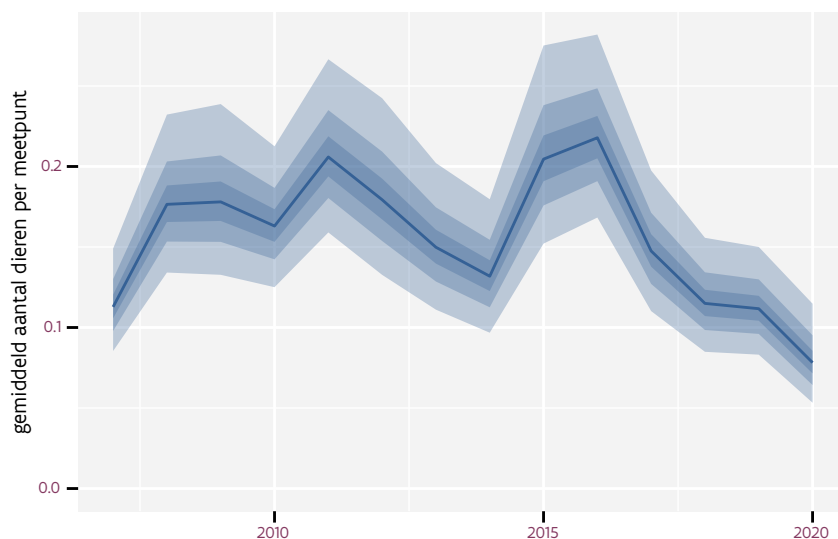
## 35 GEELGORS

Op basis van driejaarlijkse gegevens zien we gemiddeld een afname met -1.6% (-2.9%; -0.3%) per jaar of -19% (-32%; -4%) over de volledige looptijd van het meetnet. Deze trend is niet-lineair.

Op basis van jaarlijkse gegevens zien we gemiddeld een afname met -1.5% (-2.8%; -0.2%) per jaar of -18% (-31%; -3%) over de volledige looptijd van het meetnet. Deze trend is niet-lineair.

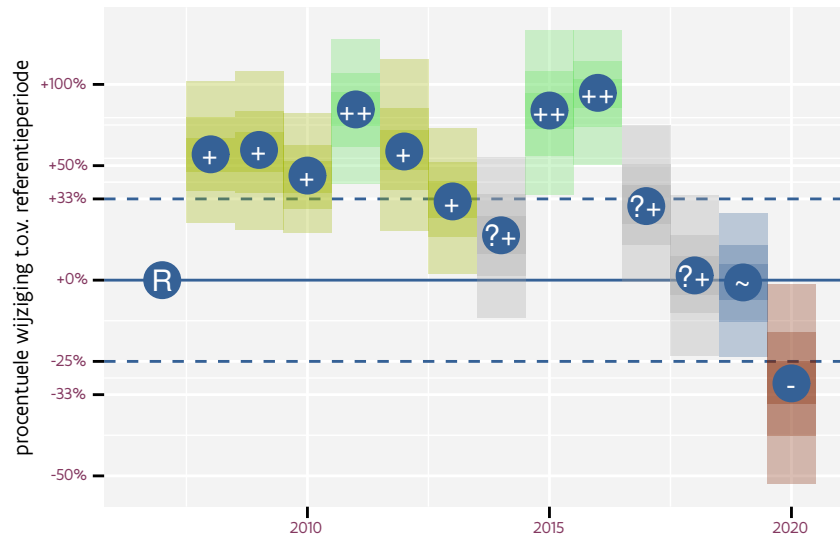


Figuur 35.1: Evolutie van het gemodeleerde gemiddeld aantal waargenomen dieren op een meetpunt voor Geelgors tijdens de referentieperiode. Zie §4.1 voor een verklaring van de intervallen.

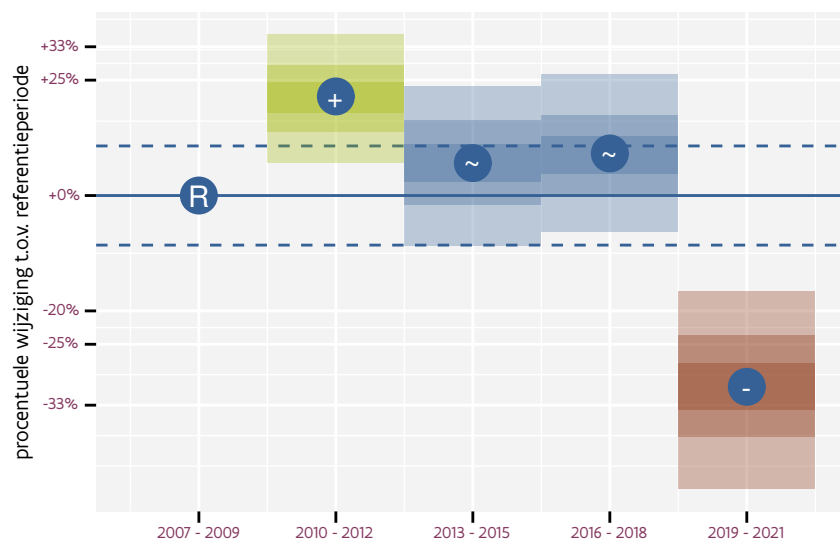


Figuur 35.2: Evolutie van het gemodeleerde gemiddeld aantal waargenomen dieren op een meetpunt voor Geelgors tijdens de referentieperiode. Zie §4.1 voor een verklaring van de intervallen.





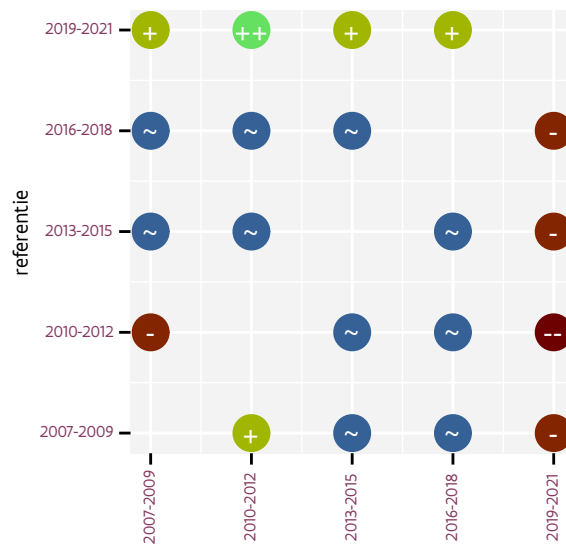
Figuur 35.3: Wijzigingen tussen jaren voor Geelgors. Zie §4.1 voor een verklaring van de intervallen en §4.2 voor uitleg over de symbolen en referentielijnen.



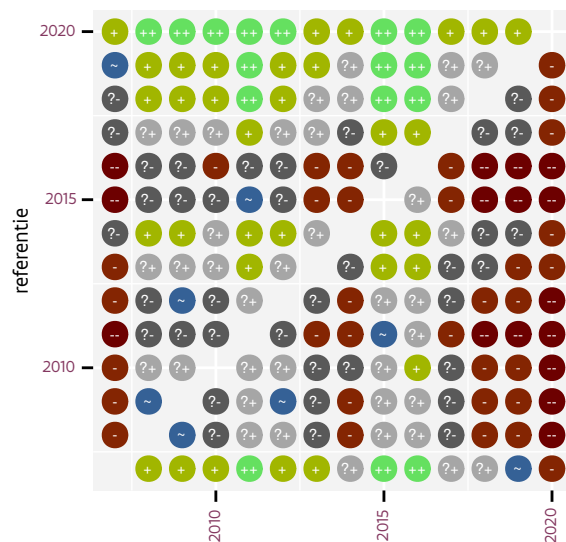
Figuur 35.4: Wijzigingen per driejarige cyclus voor Geelgors. Zie §4.1 voor een verklaring van de intervallen en §4.2 voor uitleg over de symbolen en referentielijnen.

Tabel 35.1: Stratumgewicht, raming aan het aantal hokken waarin de soort aanwezig is, aantal relevant hokken voor de analyse, aantal onderzochte hokken in het stratum, totaal aantal hokken van het stratum in Vlaanderen en aantal bezoeken aan een meetpunt voor Geelgors (zie §3.5).

stratum	gewicht	aanwezig	relevant	onderzocht	totaal	bezoeken
Landbouw	95.9%	859.2	58	426	6311	3701
Heide en duin	2.2%	17.5	8	91	199	522
Moeras en water	1.0%	6.8	4	80	137	245
Bos	0.9%	6.7	4	190	319	330



Figuur 35.5: Paarsgewijze vergelijking tussen driejarige cycli voor Geelgors. Uitleg van de symbolen in tabel 4.1.



Figuur 35.6: Paarsgewijze vergelijking tussen jaren voor Geelgors. Uitleg van de symbolen in tabel 4.1.

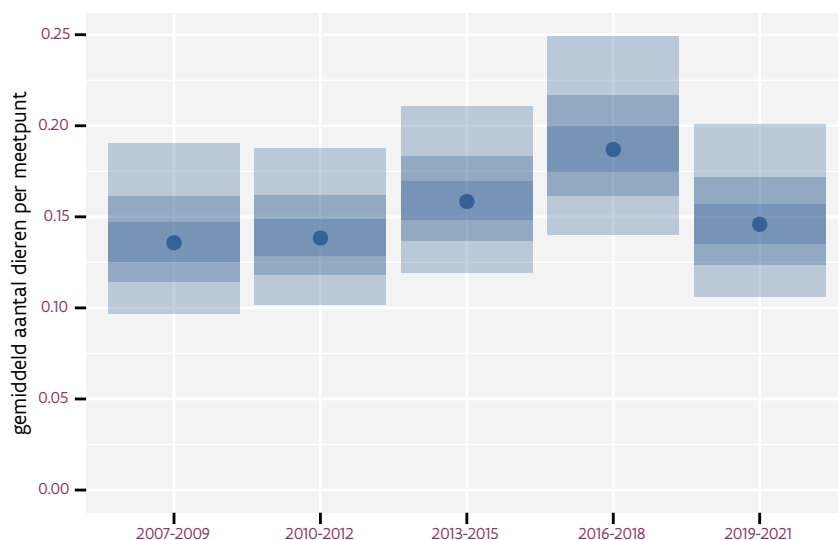
Tabel 35.2: Data-hashes van de analyses in het kader van traceerbaarheid (zie §5.3).

frequentie	model	analyse	status
jaarlijks	lineair	b33c36e2dd1e8b83f9d0 1ecb7a95a909498f216c	4e437418c3220a0ff99f ac6b8a82c49d1bee6867
jaarlijks	niet-lineair	34cead2440bd452c2f72 287e10f0f355610b6dd4	48e3ca75041389f2e691 7ae5c9010bf4e295f3b6
driejaarlijks	lineair	0187374674f0a0a1d685 583e97dd8d8c17ca44f7	e4dcba03b87c51873d13 f44775c2f7e40a13d71d
driejaarlijks	niet-lineair	6d9cbcc4adf9a67a414b e351575c7fe480d353e3	0c6f3fa141472b232d4c c4cae84e82fd5e3c45aa

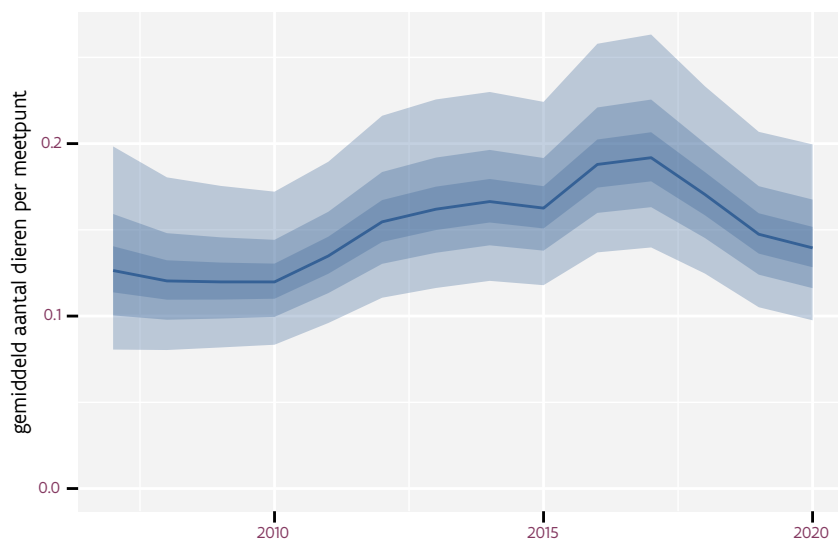
## 36 GEKRAAGDE ROODSTAART

Op basis van driejaarlijkse gegevens zien we gemiddeld een mogelijke toename met +2.8% (-0.3%; +6.1%) per jaar of +44% (-3%; +115%) over de volledige looptijd van het meetnet. Deze trend is niet-lineair.

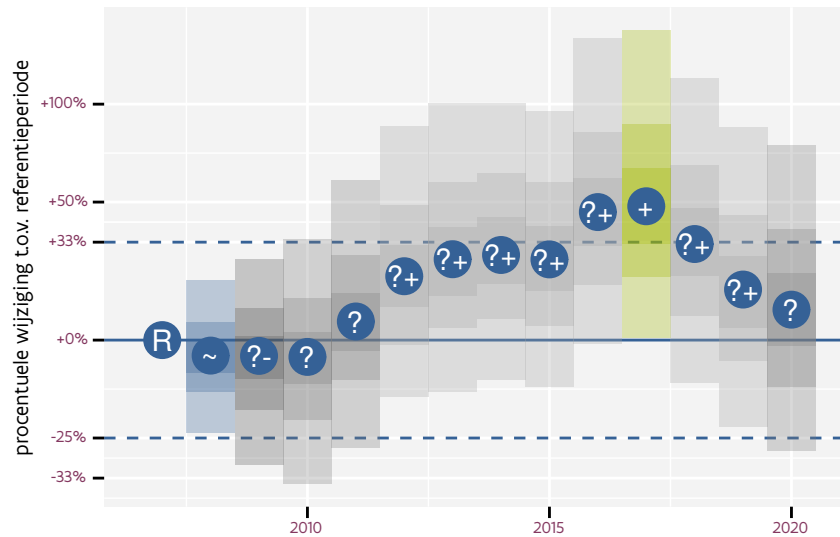
Op basis van jaarlijkse gegevens zien we gemiddeld een mogelijke toename met +3.0% (-0.2%; +6.2%) per jaar of +46% (-3%; +119%) over de volledige looptijd van het meetnet. Deze trend is niet-lineair.



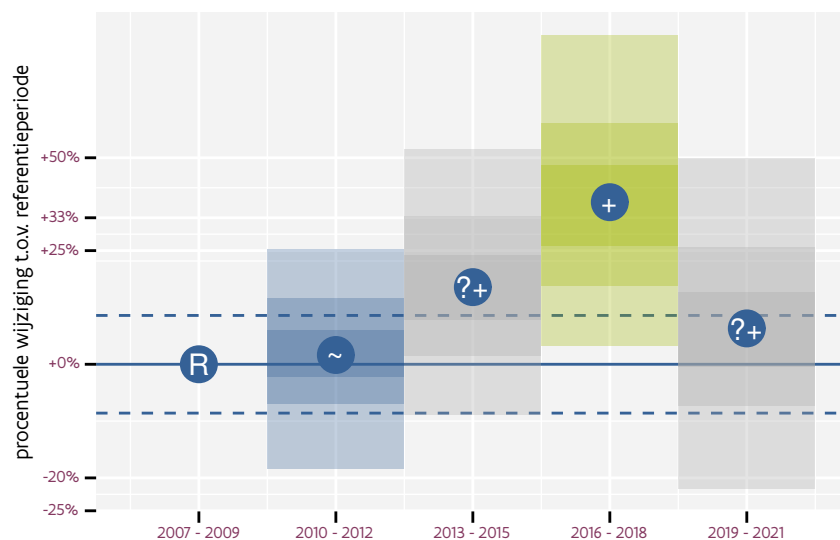
Figuur 36.1: Evolutie van het gemodeleerde gemiddeld aantal waargenomen dieren op een meetpunt voor Gekraagde roodstaart tijdens de referentieperiode. Zie §4.1 voor een verklaring van de intervallen.



Figuur 36.2: Evolutie van het gemodeleerde gemiddeld aantal waargenomen dieren op een meetpunt voor Gekraagde roodstaart tijdens de referentieperiode. Zie §4.1 voor een verklaring van de intervallen.



Figuur 36.3: Wijzigingen tussen jaren voor Gekraagde roodstaart. Zie §4.1 voor een verklaring van de intervallen en §4.2 voor uitleg over de symbolen en referentielijnen.



Figuur 36.4: Wijzigingen per driejarige cyclus voor Gekraagde roodstaart. Zie §4.1 voor een verklaring van de intervallen en §4.2 voor uitleg over de symbolen en referentielijnen.

Tabel 36.1: Stratungewicht, raming aan het aantal hokken waarin de soort aanwezig is, aantal relevant hokken voor de analyse, aantal onderzochte hokken in het stratum, totaal aantal hokken van het stratum in Vlaanderen en aantal bezoeken aan een meetpunt voor Gekraagde roodstaart (zie §3.5).

stratum	gewicht	aanwezig	relevant	onderzocht	totaal	bezoeken
Landbouw	54.9%	133.3	9	426	6311	418
Heide en duin	26.9%	70.0	32	91	199	1569
Bos	15.6%	42.0	25	190	319	1364
Moeras en water	2.6%	5.1	3	80	137	174



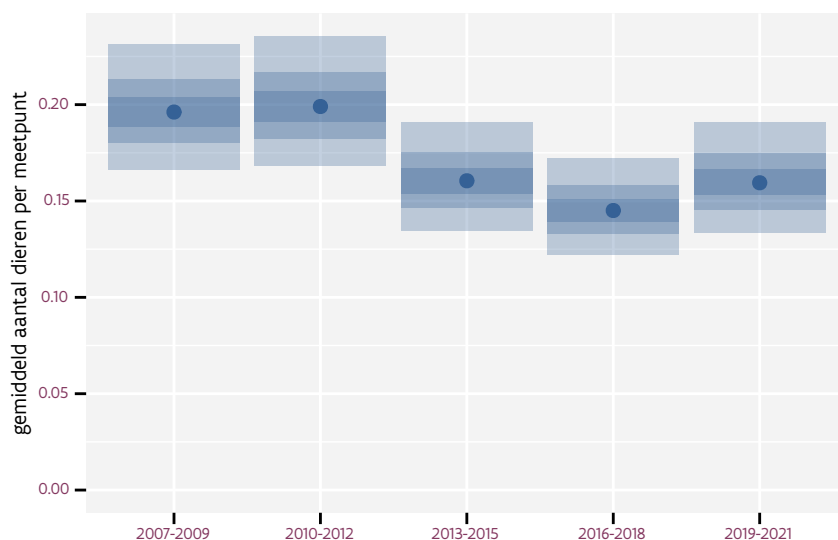
Tabel 36.2: Data-hashes van de analyses in het kader van traceerbaarheid (zie §5.3).

frequentie	model	analyse	status
jaarlijks	lineair	9ab8978d5aa0ea1a3aea ca5e7f21877eda5ddd42	bb88127e4f19fa62bb0e a79b8d5eaae01463c4f3
jaarlijks	niet-lineair	0391d4afcc386bae5235 00f6c9551f44e8ff4faf	ac4b5bd868624ee4261f 11e8028e449153ea6297
driejaarlijks	lineair	28d6d96f2db458a134c8 e2653f4d59c20d1a8843	3bbdbd7f62bc43d0fa26 f20c58f26a3a3f23e002
driejaarlijks	niet-lineair	1eb34d6f6a46066aaf51 a2cd9949b573cb92aadd	0e4b46e07e9ce57ecc18 859036e6c3799d63c4e0

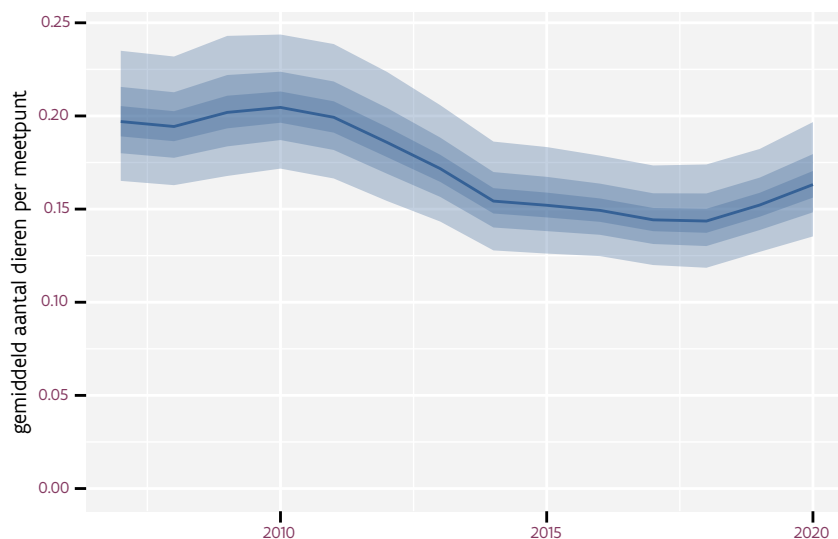
## 37 GELE KWIKSTAART

Op basis van driejaarlijkse gegevens zien we gemiddeld een afname met -2.7% (-3.5%; -1.9%) per jaar of -30% (-37%; -22%) over de volledige looptijd van het meetnet. Deze trend is niet-lineair.

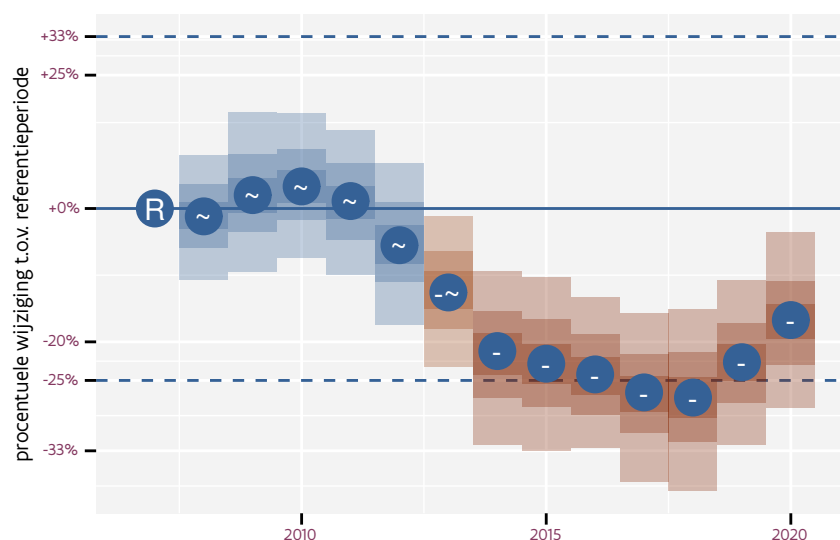
Op basis van jaarlijkse gegevens zien we gemiddeld een afname met -2.7% (-3.6%; -1.9%) per jaar of -30% (-38%; -22%) over de volledige looptijd van het meetnet. Deze trend is niet-lineair.



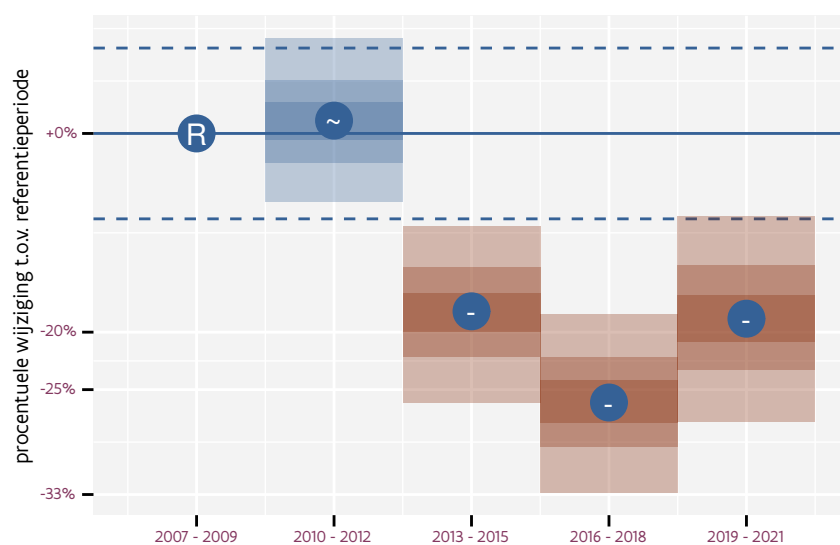
Figuur 37.1: Evolutie van het gemodeleerde gemiddeld aantal waargenomen dieren op een meetpunt voor Gele kwikstaart tijdens de referentieperiode. Zie §4.1 voor een verklaring van de intervallen.



Figuur 37.2: Evolutie van het gemodeleerde gemiddeld aantal waargenomen dieren op een meetpunt voor Gele kwikstaart tijdens de referentieperiode. Zie §4.1 voor een verklaring van de intervallen.



Figuur 37.3: Wijzigingen tussen jaren voor Gele kwikstaart. Zie §4.1 voor een verklaring van de intervallen en §4.2 voor uitleg over de symbolen en referentielijnen.

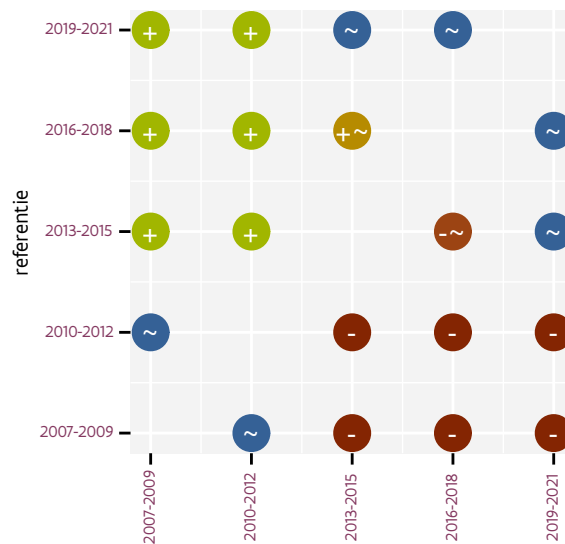


Figuur 37.4: Wijzigingen per driejarige cyclus voor Gele kwikstaart. Zie §4.1 voor een verklaring van de intervallen en §4.2 voor uitleg over de symbolen en referentielijnen.

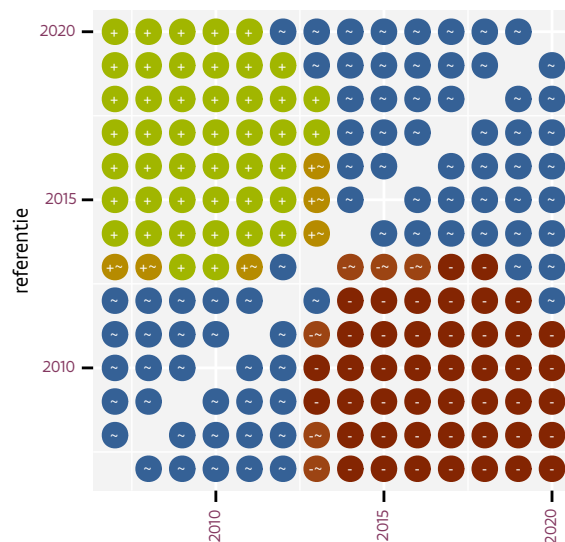
Tabel 37.1: Stratumgewicht, raming aan het aantal hokken waarin de soort aanwezig is, aantal relevant hokken voor de analyse, aantal onderzochte hokken in het stratum, totaal aantal hokken van het stratum in Vlaanderen en aantal bezoeken aan een meetpunt voor Gele kwikstaart (zie §3.5).

stratum	gewicht	aanwezig	relevant	onderzocht	totaal	bezoeken
Landbouw	99.4%	2429.6	164	426	6311	10831
Moeras en water	0.6%	12.0	7	80	137	453





Figuur 37.5: Paarsgewijze vergelijking tussen driejarige cycli voor Gele kwikstaart. Uitleg van de symbolen in tabel 4.1.



Figuur 37.6: Paarsgewijze vergelijking tussen jaren voor Gele kwikstaart. Uitleg van de symbolen in tabel 4.1.

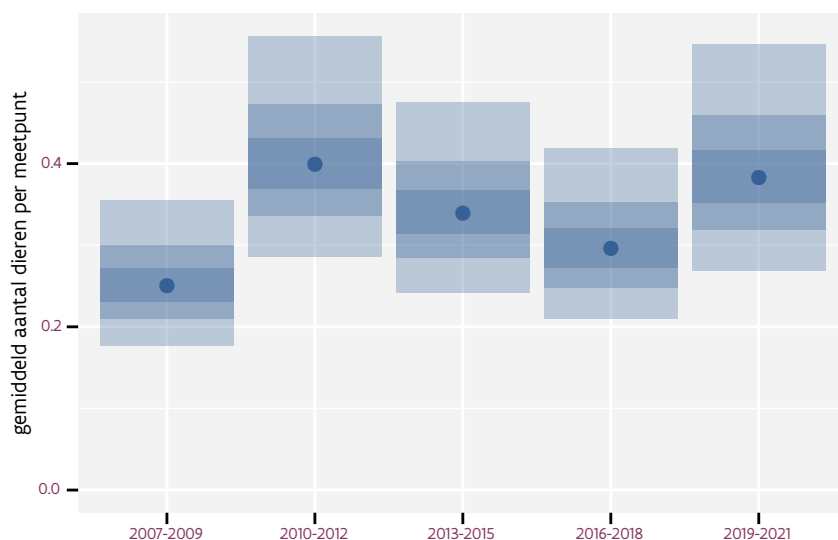
Tabel 37.2: Data-hashes van de analyses in het kader van traceerbaarheid (zie §5.3).

frequentie	model	analyse	status
jaarlijks	lineair	f9a9c9fc05b1c6a13d5d 844aa7b662deece9e684	4936c17fba89c4eb1a65 bd840da4c0b20da2f2a3
jaarlijks	niet-lineair	2c2aee8cec02412f19f6 7f00b48057b94b557ba0	1d1dce7d317a1565fc5c 4fef255469c99fec3292
driejaarlijks	lineair	740e06d5ac541031ea8c efbbf07a148e25283ace	e92c7dc9fda1baac9801 9dca7666495a4c2f7f72
driejaarlijks	niet-lineair	ff19f49e55b8764e2fb0 941ebafa3de30bc97252	1fb8f5e10520b2cce7a25 5f7e229811e01601f7c7

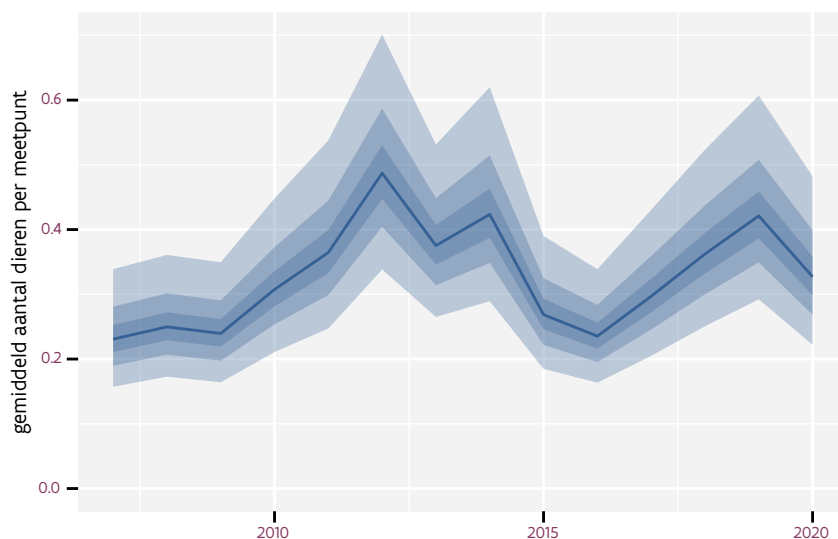
## 38 GIERZWALUW

Op basis van driejaarlijkse gegevens zien we gemiddeld een mogelijke toename met +2.2% (-0.1%; +4.5%) per jaar of +32% (-1%; +77%) over de volledige looptijd van het meetnet. Deze trend is niet-lineair.

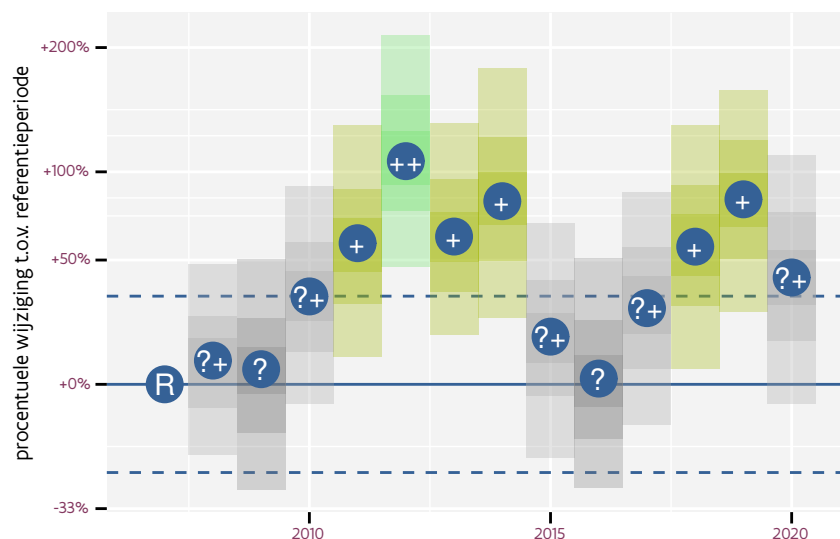
Op basis van jaarlijkse gegevens zien we gemiddeld een mogelijke toename met +2.3% (-0.0%; +4.6%) per jaar of +34% (-0%; +80%) over de volledige looptijd van het meetnet. Deze trend is niet-lineair.



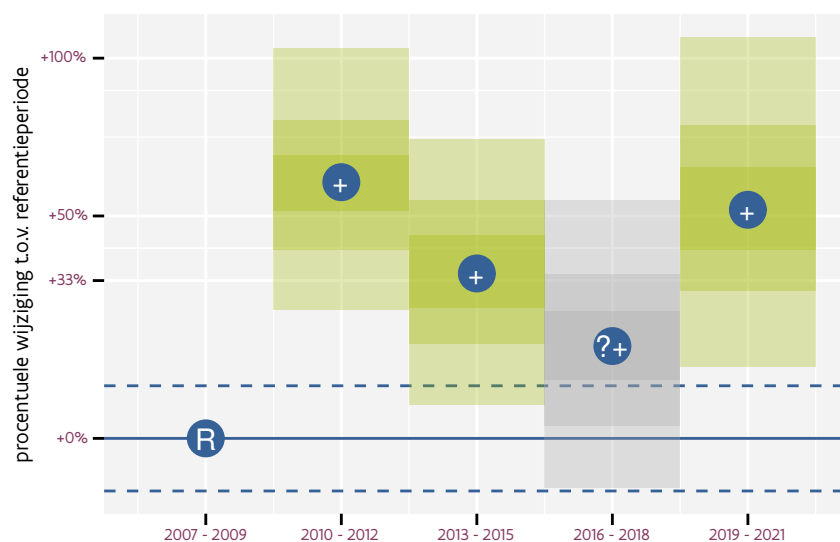
Figuur 38.1: Evolutie van het gemodeleerde gemiddeld aantal waargenomen dieren op een meetpunt voor Gierzwaluw tijdens de referentieperiode. Zie §4.1 voor een verklaring van de intervallen.



Figuur 38.2: Evolutie van het gemodeleerde gemiddeld aantal waargenomen dieren op een meetpunt voor Gierzwaluw tijdens de referentieperiode. Zie §4.1 voor een verklaring van de intervallen.



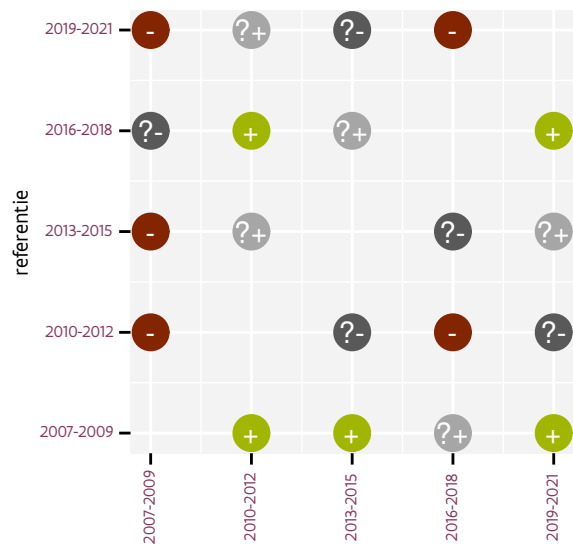
Figuur 38.3: Wijzigingen tussen jaren voor Gierzwaluw. Zie §4.1 voor een verklaring van de intervallen en §4.2 voor uitleg over de symbolen en referentielijnen.



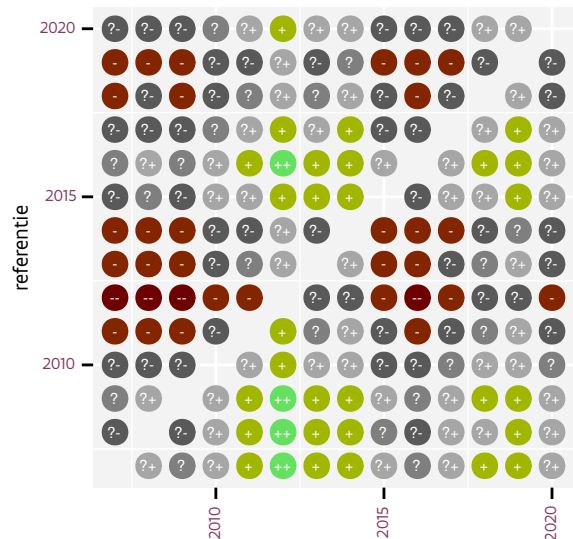
Figuur 38.4: Wijzigingen per driejarige cyclus voor Gierzwaluw. Zie §4.1 voor een verklaring van de intervallen en §4.2 voor uitleg over de symbolen en referentielijnen.

Tabel 38.1: Stratumgewicht, raming aan het aantal hokken waarin de soort aanwezig is, aantal relevant hokken voor de analyse, aantal onderzochte hokken in het stratum, totaal aantal hokken van het stratum in Vlaanderen en aantal bezoeken aan een meetpunt voor Gierzwaluw (zie §3.5).

stratum	gewicht	aanwezig	relevant	onderzocht	totaal	bezoeken
Landbouw	56.6%	503.7	34	426	6311	1617
Urbaan	28.8%	263.0	55	87	416	2211
Suburbaan	6.8%	59.1	20	68	201	887
Moeras en water	3.8%	32.5	19	80	137	905
Heide en duin	2.9%	24.1	11	91	199	471
Bos	1.1%	8.4	5	190	319	241



Figuur 38.5: Paarsgewijze vergelijking tussen driejarige cycli voor Gierzwaluw. Uitleg van de symbolen in tabel 4.1.



Figuur 38.6: Paarsgewijze vergelijking tussen jaren voor Gierzwaluw. Uitleg van de symbolen in tabel 4.1.

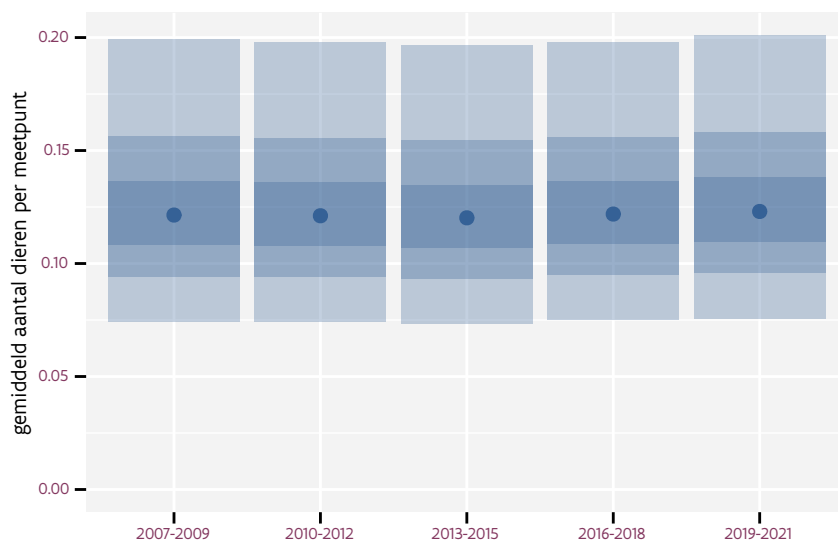
Tabel 38.2: Data-hashes van de analyses in het kader van traceerbaarheid (zie §5.3).

frequentie	model	analyse	status
jaarlijks	lineair	5aad4cbcea2c53795cdd 0ce11655c2b4c326f617	828aef96a1fbb1046562 034d40b53a3ae01ca66b
jaarlijks	niet-lineair	a2ccf0197f963eafcd1d b3dcd71376d157afbd93	9795d4bd12b6f5acd138 742fb706aa7580289089
driejaarlijks	lineair	d9c294799c62e0a5d457 71b6f0fef4f26606d996	a0c33c033ac5929088c6 c9f2d242348747888acd
driejaarlijks	niet-lineair	8aa52006b875e9c4a29a 7c4c4191f6a87c463594	0e7a4ff6122dda6043d8 dfd1ca46655ffb4bf2ec

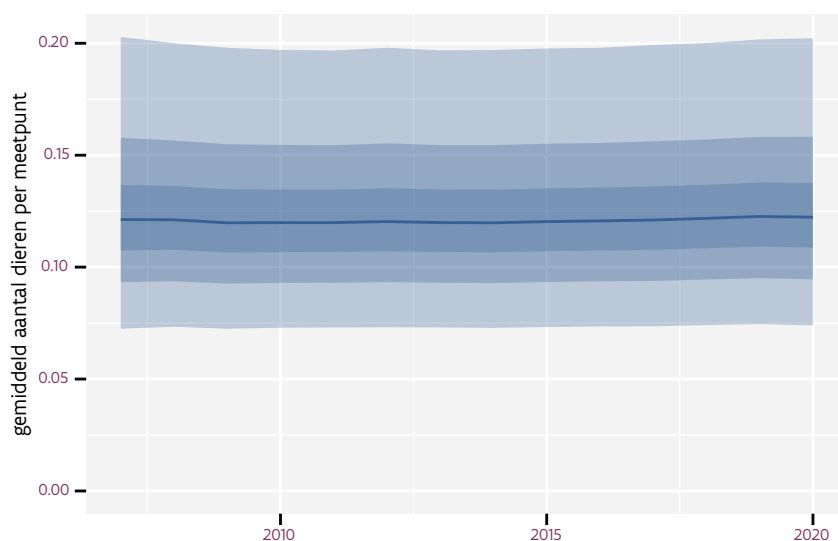
## 39 GLANSKOP

Op basis van driejaarlijkse gegevens zien we gemiddeld een onduidelijke trend van +0.9% (-3.8%; +5.8%) per jaar of +12% (-40%; +108%) over de volledige looptijd van het meetnet. Deze trend is mogelijk niet-lineair.

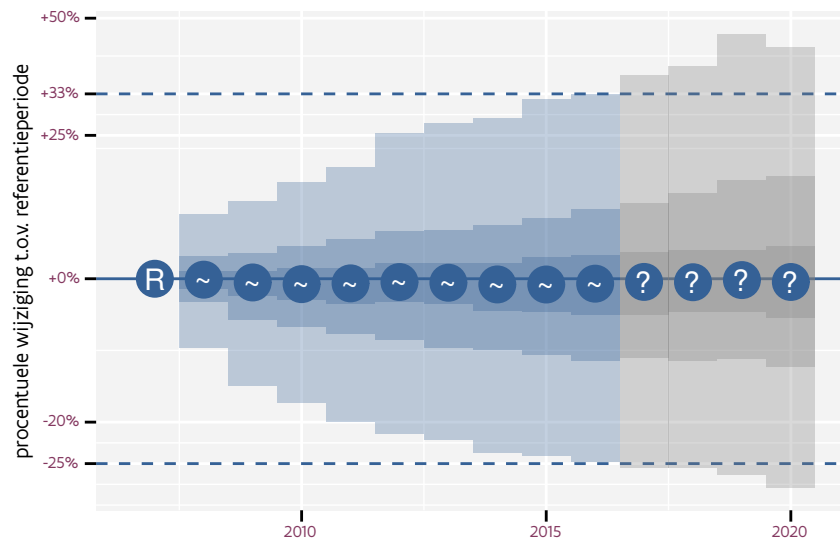
Op basis van jaarlijkse gegevens zien we gemiddeld een onduidelijke trend van +0.9% (-3.8%; +5.9%) per jaar of +13% (-39%; +110%) over de volledige looptijd van het meetnet. Deze trend is mogelijk niet-lineair.



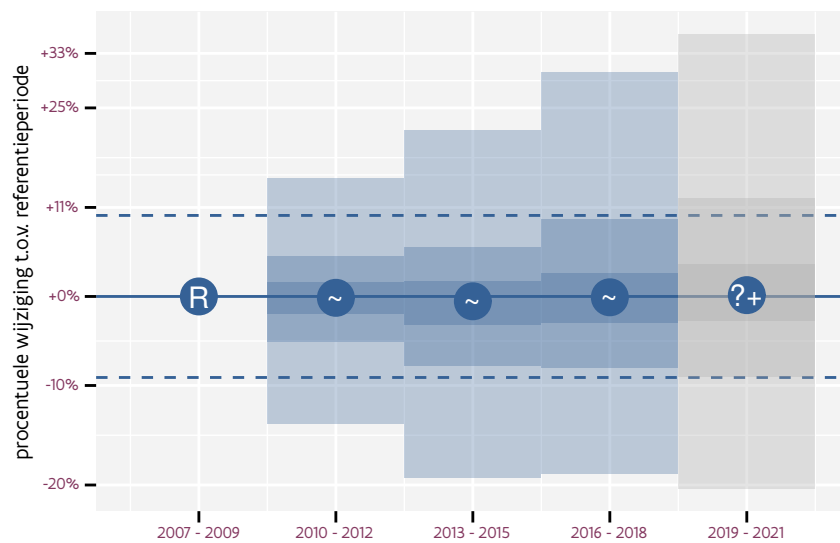
Figuur 39.1: Evolutie van het gemodeleerde gemiddeld aantal waargenomen dieren op een meetpunt voor Glanskop tijdens de referentieperiode. Zie §4.1 voor een verklaring van de intervallen.



Figuur 39.2: Evolutie van het gemodeleerde gemiddeld aantal waargenomen dieren op een meetpunt voor Glanskop tijdens de referentieperiode. Zie §4.1 voor een verklaring van de intervallen.



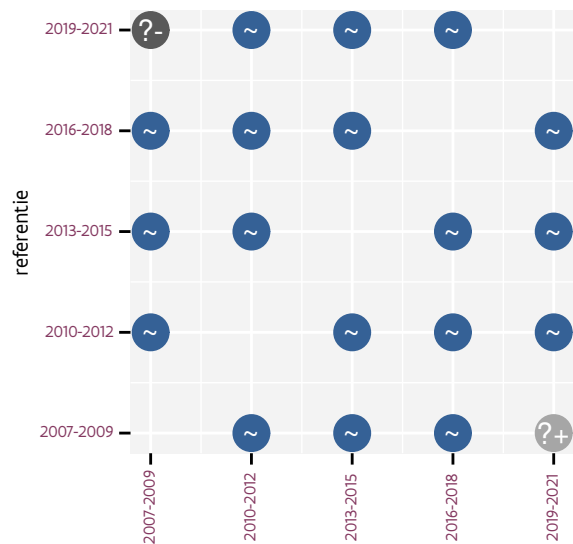
Figuur 39.3: Wijzigingen tussen jaren voor Glanskop. Zie §4.1 voor een verklaring van de intervallen en §4.2 voor uitleg over de symbolen en referentielijnen.



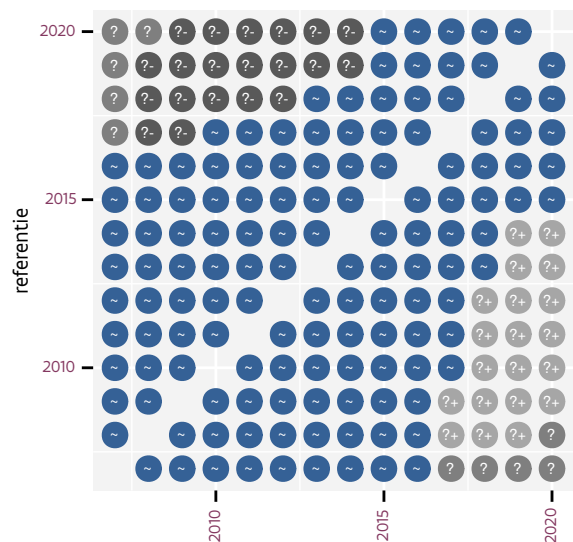
Figuur 39.4: Wijzigingen per driejarige cyclus voor Glanskop. Zie §4.1 voor een verklaring van de intervallen en §4.2 voor uitleg over de symbolen en referentielijnen.

Tabel 39.1: Stratumgewicht, raming aan het aantal hokken waarin de soort aanwezig is, aantal relevant hokken voor de analyse, aantal onderzochte hokken in het stratum, totaal aantal hokken van het stratum in Vlaanderen en aantal bezoeken aan een meetpunt voor Glanskop (zie §3.5).

stratum	gewicht	aanwezig	relevant	onderzocht	totaal	bezoeken
Landbouw	67.8%	74.1	5	426	6311	370
Bos	32.2%	42.0	25	190	319	1606



Figuur 39.5: Paarsgewijze vergelijking tussen driejarige cycli voor Glanskop. Uitleg van de symbolen in tabel 4.1.



Figuur 39.6: Paarsgewijze vergelijking tussen jaren voor Glanskop. Uitleg van de symbolen in tabel 4.1.

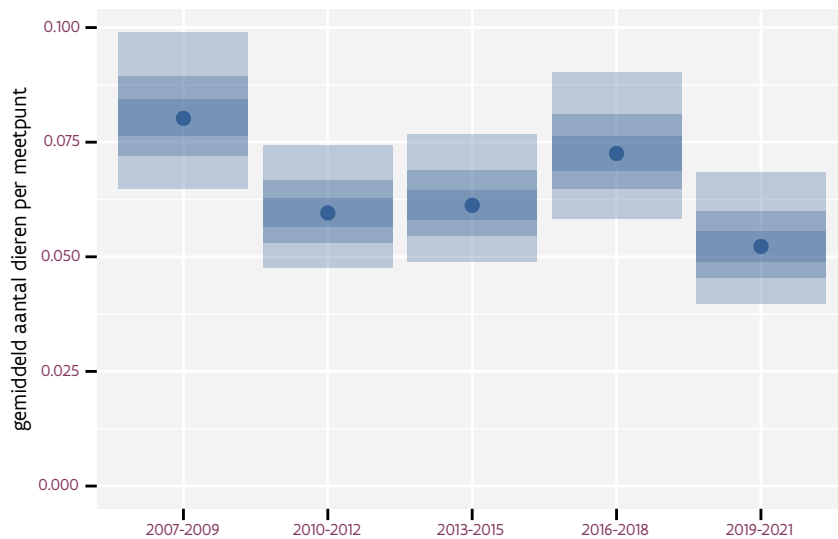
Tabel 39.2: Data-hashes van de analyses in het kader van traceerbaarheid (zie §5.3).

frequentie	model	analyse	status
jaarlijks	lineair	d82aa50edda467193160 1049e22167b9d125390b	7c97c6b8092c4fbbac94 015a672881649682f872
jaarlijks	niet-lineair	f8eb0efd1bbbb3a022cd 3ff29539606a386def24	0afc7c4e40121b7807cd d0cefa83f45fd00f648c
driejaarlijks	lineair	5316765f4bcf1f809a0a 9ecc7ba13bd1b199fb8f	1fbd0fd907885feb350e ffaa2c7e65bca1334efe
driejaarlijks	niet-lineair	260fe28c745d4709acd0 304b782dbcac0db25c19	3f721b19fe73c38b486b bcd61ef88f4e54a21c50

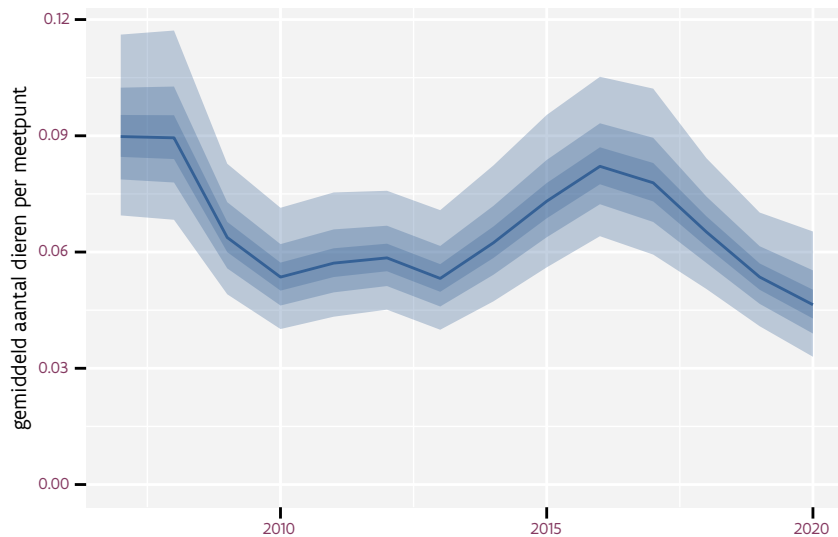
## 40 GOUDHAAN

Op basis van driejaarlijkse gegevens zien we gemiddeld een afname met -2.5% (-4.3%; -0.7%) per jaar of -28% (-44%; -8%) over de volledige looptijd van het meetnet. Deze trend is niet-lineair.

Op basis van jaarlijkse gegevens zien we gemiddeld een afname met -2.4% (-4.2%; -0.5%) per jaar of -27% (-43%; -7%) over de volledige looptijd van het meetnet. Deze trend is niet-lineair.

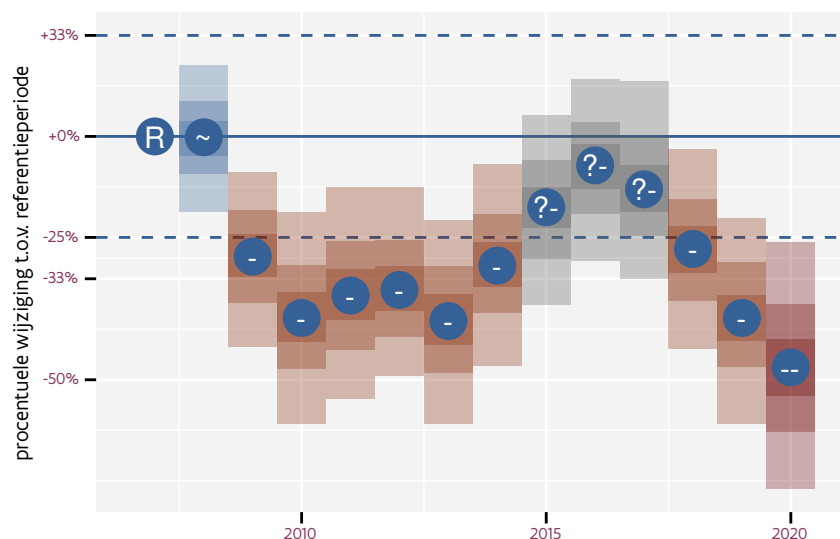


Figuur 40.1: Evolutie van het gemodeleerde gemiddeld aantal waargenomen dieren op een meetpunt voor Goudhaan tijdens de referentieperiode. Zie §4.1 voor een verklaring van de intervallen.

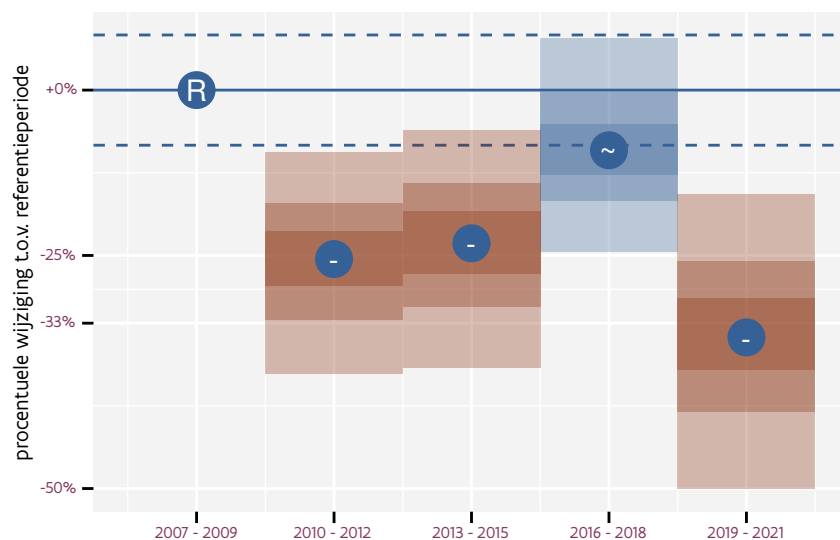


Figuur 40.2: Evolutie van het gemodeleerde gemiddeld aantal waargenomen dieren op een meetpunt voor Goudhaan tijdens de referentieperiode. Zie §4.1 voor een verklaring van de intervallen.





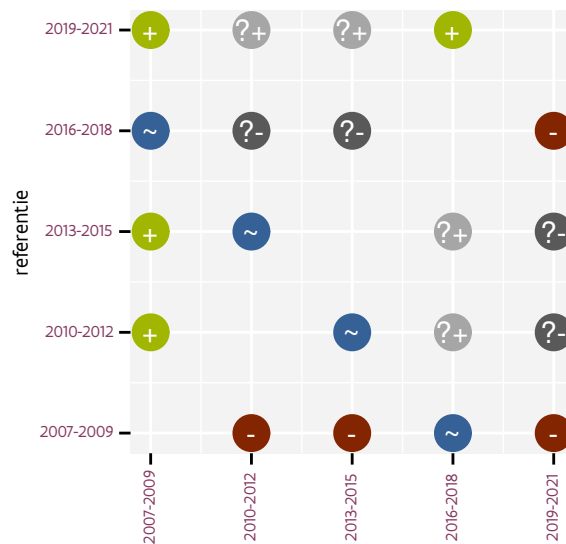
Figuur 40.3: Wijzigingen tussen jaren voor Goudhaan. Zie §4.1 voor een verklaring van de intervallen en §4.2 voor uitleg over de symbolen en referentielijnen.



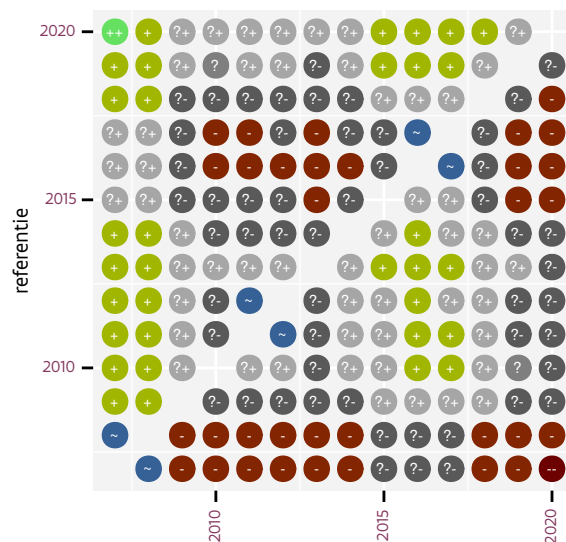
Figuur 40.4: Wijzigingen per driejarige cyclus voor Goudhaan. Zie §4.1 voor een verklaring van de intervallen en §4.2 voor uitleg over de symbolen en referentielijnen.

Tabel 40.1: Stratumgewicht, raming aan het aantal hokken waarin de soort aanwezig is, aantal relevant hokken voor de analyse, aantal onderzochte hokken in het stratum, totaal aantal hokken van het stratum in Vlaanderen en aantal bezoeken aan een meetpunt voor Goudhaan (zie §3.5).

stratum	gewicht	aanwezig	relevant	onderzocht	totaal	bezoeken
Landbouw	56.1%	459.3	31	426	6311	2258
Bos	17.8%	149.4	89	190	319	6135
Urbaan	10.8%	86.1	18	87	416	1480
Heide en duin	7.3%	59.0	27	91	199	1964
Suburbaan	5.3%	41.4	14	68	201	947
Moeras en water	2.8%	22.3	13	80	137	792



Figuur 40.5: Paarsgewijze vergelijking tussen driejarige cycli voor Goudhaan. Uitleg van de symbolen in tabel 4.1.



Figuur 40.6: Paarsgewijze vergelijking tussen jaren voor Goudhaan. Uitleg van de symbolen in tabel 4.1.

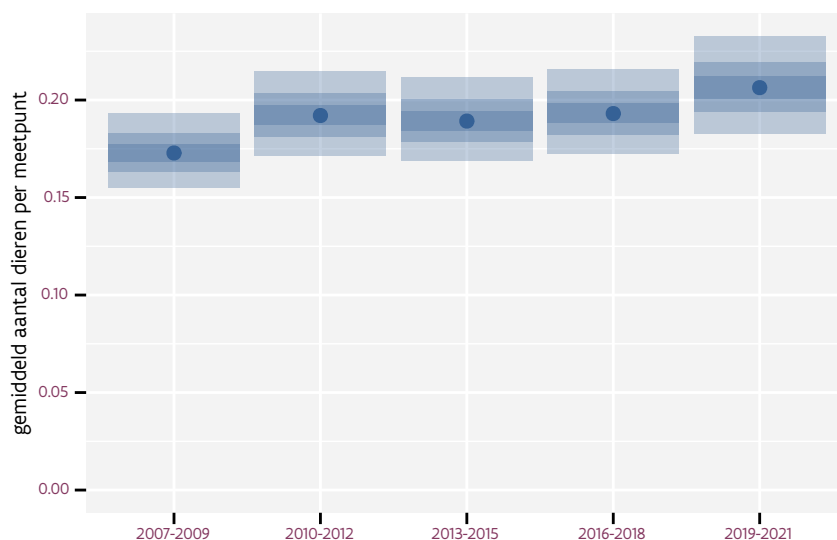
Tabel 40.2: Data-hashes van de analyses in het kader van traceerbaarheid (zie §5.3).

frequentie	model	analyse	status
jaarlijks	lineair	4515222e3478349fe2a6 9bbf213873a0bc273d84	b68986de837f4e0f42c7 ec63ff09f19d1907ac1b
jaarlijks	niet-lineair	49307d6e9791aaa99749 df58d56cd58f97f617f8	c4ad7437b09f961ac064 08cae4c19a148f8bc8c5
driejaarlijks	lineair	4e9b93057201d54edaf3 e98c6f12a583c703a250	33513311bb7a750cac27 89000a905b7077dd18d8
driejaarlijks	niet-lineair	e6912b0f346cf7cc82eb 1de5e6a8a0c4ff75fd48	168fe9be884ab3dd7607 37b71c5667e4fc4b6d00

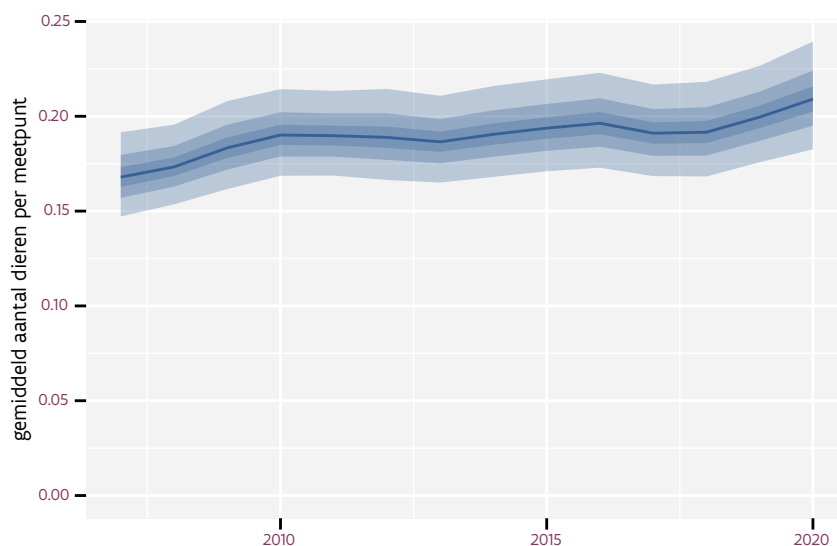
## 41 GRASMUS

Op basis van driejaarlijkse gegevens zien we gemiddeld een matige toename met +1.3% (+0.4%; +2.1%) per jaar of +18% (+5%; +31%) over de volledige looptijd van het meetnet. Deze trend is niet-lineair.

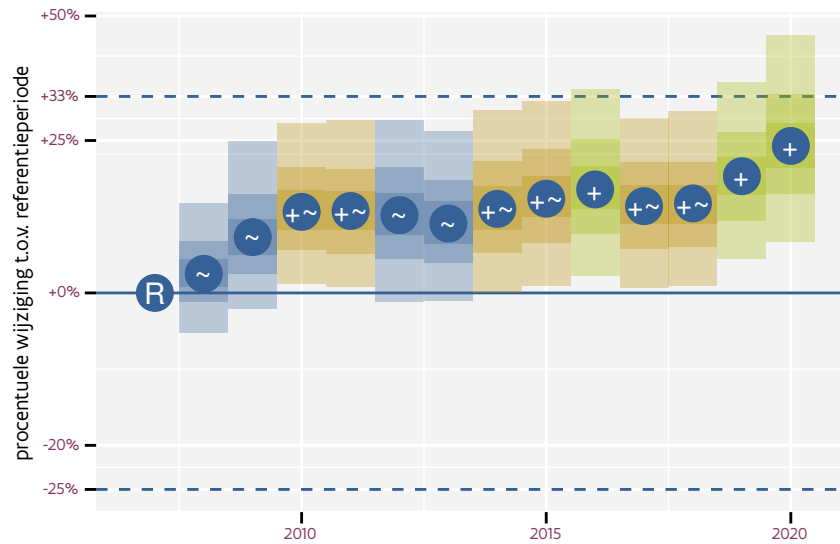
Op basis van jaarlijkse gegevens zien we gemiddeld een matige toename met +1.3% (+0.4%; +2.2%) per jaar of +18% (+6%; +32%) over de volledige looptijd van het meetnet. Deze trend is niet-lineair.



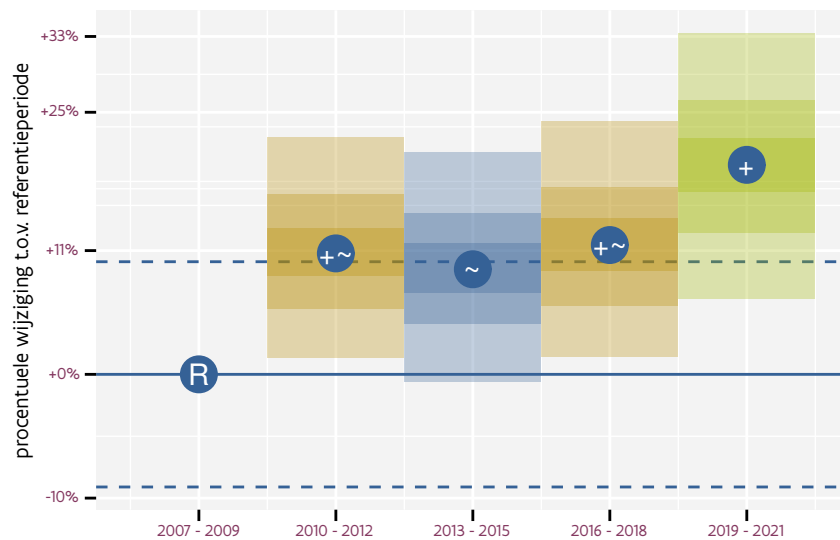
Figuur 41.1: Evolutie van het gemodeleerde gemiddeld aantal waargenomen dieren op een meetpunt voor Grasmus tijdens de referentieperiode. Zie §4.1 voor een verklaring van de intervallen.



Figuur 41.2: Evolutie van het gemodeleerde gemiddeld aantal waargenomen dieren op een meetpunt voor Grasmus tijdens de referentieperiode. Zie §4.1 voor een verklaring van de intervallen.



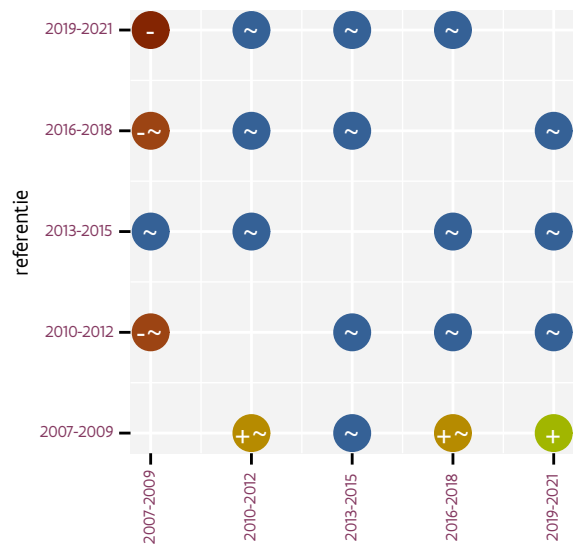
Figuur 41.3: Wijzigingen tussen jaren voor Grasmus. Zie §4.1 voor een verklaring van de intervallen en §4.2 voor uitleg over de symbolen en referentielijnen.



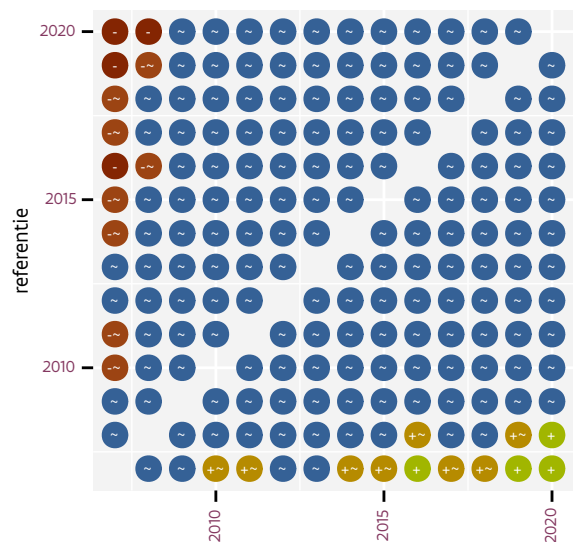
Figuur 41.4: Wijzigingen per driejarige cyclus voor Grasmus. Zie §4.1 voor een verklaring van de intervallen en §4.2 voor uitleg over de symbolen en referentielijnen.

Tabel 41.1: Stratumgewicht, raming aan het aantal hokken waarin de soort aanwezig is, aantal relevant hokken voor de analyse, aantal onderzochte hokken in het stratum, totaal aantal hokken van het stratum in Vlaanderen en aantal bezoeken aan een meetpunt voor Grasmus (zie §3.5).

stratum	gewicht	aanwezig	relevant	onderzocht	totaal	bezoeken
Landbouw	92.0%	2800.0	189	426	6311	8566
Heide en duin	2.5%	74.4	34	91	199	1256
Moeras en water	2.0%	59.9	35	80	137	1469
Suburbaan	1.5%	41.4	14	68	201	699
Urbaan	1.1%	28.7	6	87	416	287
Bos	0.9%	25.2	15	190	319	671



Figuur 41.5: Paarsgewijze vergelijking tussen driejarige cycli voor Grasmus. Uitleg van de symbolen in tabel 4.1.



Figuur 41.6: Paarsgewijze vergelijking tussen jaren voor Grasmus. Uitleg van de symbolen in tabel 4.1.

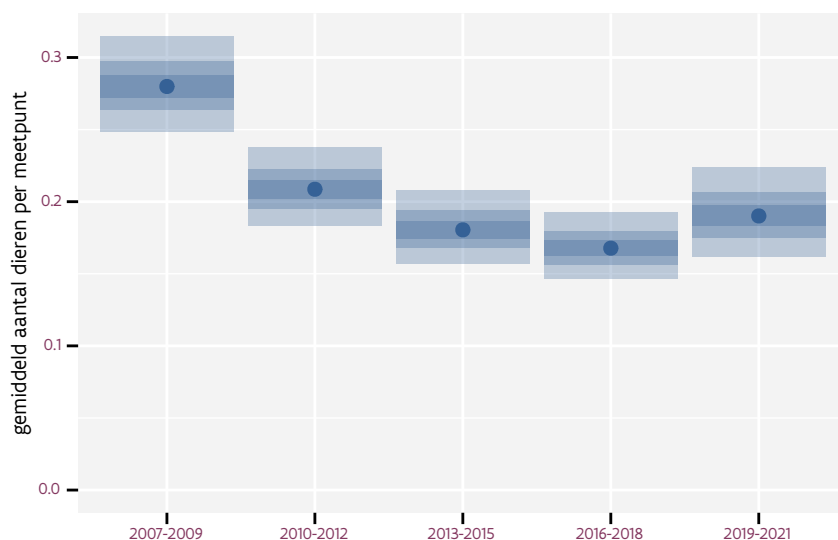
Tabel 41.2: Data-hashes van de analyses in het kader van traceerbaarheid (zie §5.3).

frequentie	model	analyse	status
jaarlijks	lineair	7c9c353d6b3d3489ef80 9b4d28feafe94d2ee5b0	f66be95511f8f69315f8 23c9fbc7b58dd002ba9b
jaarlijks	niet-lineair	59c9818f911ca312f953 9b074c9f5a22d756dcf6	f1bb255ce2de06965386 9d4b5b19302ad27af9b3
driejaarlijks	lineair	4025545a88fd71d1be27 2f9262b3ef89a0b11e81	8a59129ac23771d82b8d 283607b4272faed134ca
driejaarlijks	niet-lineair	d42001c627d119a1d857 f258982311aa0522bd13	49bbb8af18a8c065dea 9c33034f548612210342

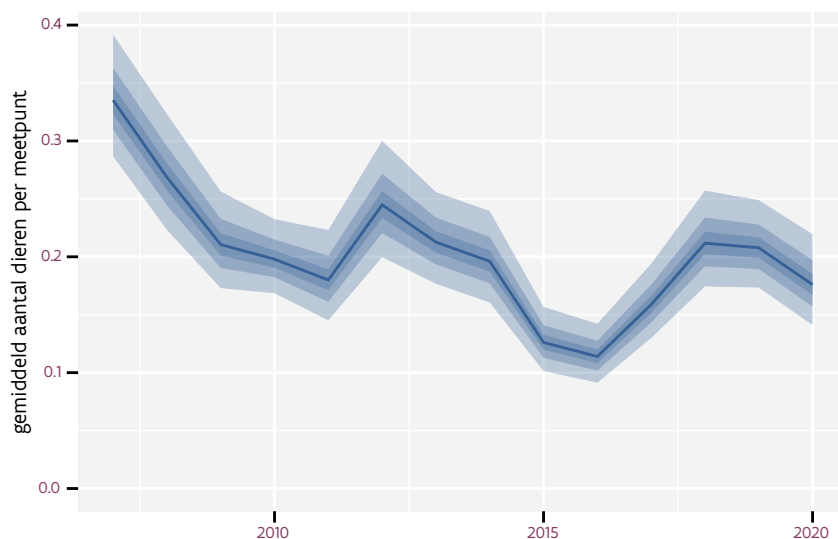
## 42 GRASPIEPER

Op basis van driejaarlijkse gegevens zien we gemiddeld een afname met -3.3% (-4.6%; -2.1%) per jaar of -36% (-45%; -24%) over de volledige looptijd van het meetnet. Deze trend is niet-lineair.

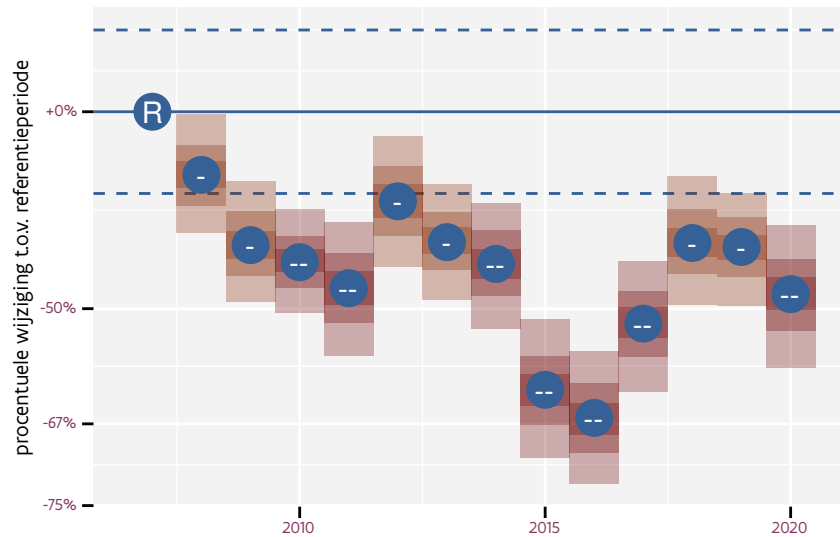
Op basis van jaarlijkse gegevens zien we gemiddeld een sterke afname met -3.8% (-4.9%; -2.5%) per jaar of -39% (-48%; -28%) over de volledige looptijd van het meetnet. Deze trend is niet-lineair.



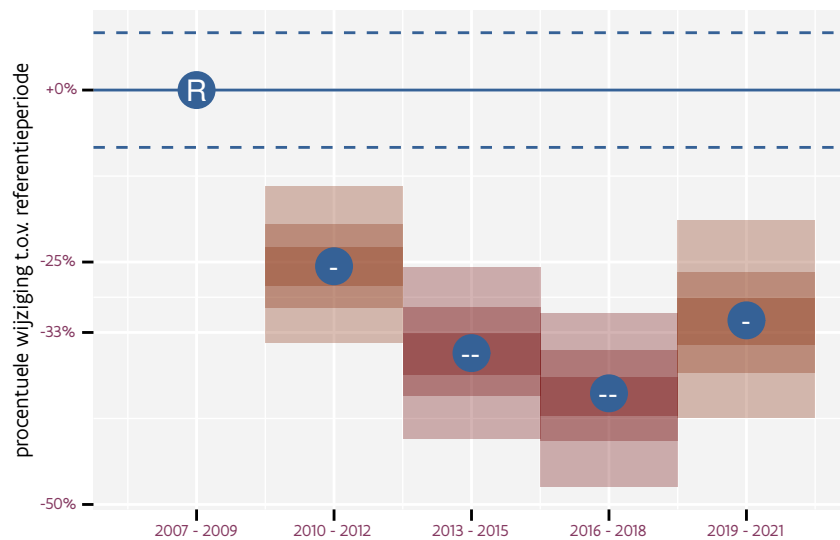
Figuur 42.1: Evolutie van het gemodeleerde gemiddeld aantal waargenomen dieren op een meetpunt voor Graspieper tijdens de referentieperiode. Zie §4.1 voor een verklaring van de intervallen.



Figuur 42.2: Evolutie van het gemodeleerde gemiddeld aantal waargenomen dieren op een meetpunt voor Graspieper tijdens de referentieperiode. Zie §4.1 voor een verklaring van de intervallen.



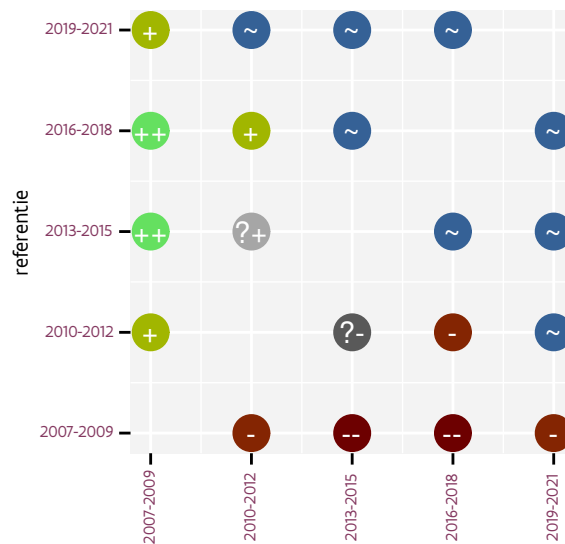
Figuur 42.3: Wijzigingen tussen jaren voor Graspieper. Zie §4.1 voor een verklaring van de intervallen en §4.2 voor uitleg over de symbolen en referentielijnen.



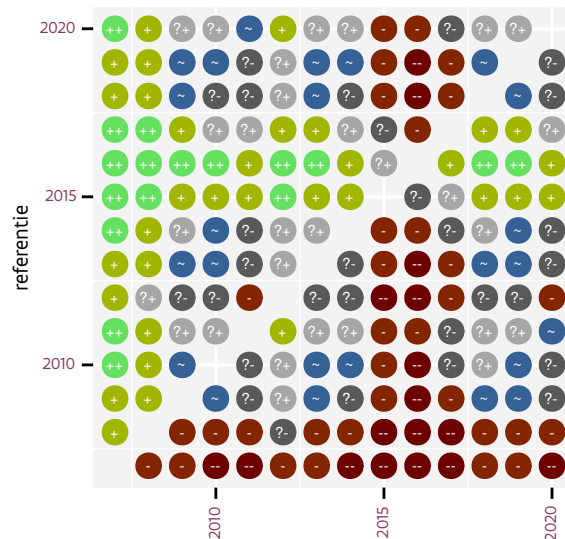
Figuur 42.4: Wijzigingen per driejarige cyclus voor Graspieper. Zie §4.1 voor een verklaring van de intervallen en §4.2 voor uitleg over de symbolen en referentielijnen.

Tabel 42.1: Stratumgewicht, raming aan het aantal hokken waarin de soort aanwezig is, aantal relevant hokken voor de analyse, aantal onderzochte hokken in het stratum, totaal aantal hokken van het stratum in Vlaanderen en aantal bezoeken aan een meetpunt voor Graspieper (zie §3.5).

stratum	gewicht	aanwezig	relevant	onderzocht	totaal	bezoeken
Landbouw	93.0%	1540.7	104	426	6311	6945
Heide en duin	5.0%	83.1	38	91	199	2371
Suburbaan	1.1%	14.8	5	68	201	142
Moeras en water	0.9%	13.7	8	80	137	530



Figuur 42.5: Paarsgewijze vergelijking tussen driejarige cycli voor Graspieper. Uitleg van de symbolen in tabel 4.1.



Figuur 42.6: Paarsgewijze vergelijking tussen jaren voor Graspieper. Uitleg van de symbolen in tabel 4.1.

Tabel 42.2: Data-hashes van de analyses in het kader van traceerbaarheid (zie §5.3).

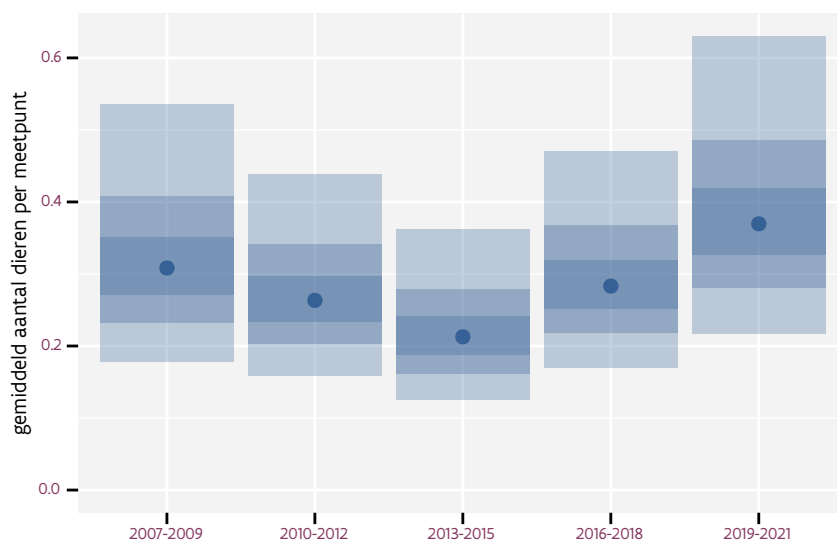
frequentie	model	analyse	status
jaarlijks	lineair	7f62db996a1fc81a89a7 0ab747d0b4e00cc12692	c4ef35fa48f955aa6e1e 3a46b8cce97a139574cf
jaarlijks	niet-lineair	85ad222cb014f850c731 6210edb27a332d611313	a3642baeff90bceeb7d2 6a120bb71cdf6d507cee
driejaarlijks	lineair	5a424aaab6e193b74df5 aa7e0624706cf3d4051b	94c5e5f0f133aa8929d1 8a0112bc4a0c2c951400
driejaarlijks	niet-lineair	9a29bd3a3fb07388c485 eaa5ef5776ed1680652b	d2b26e52032df9d39e46 ce8537de02b810b79dec



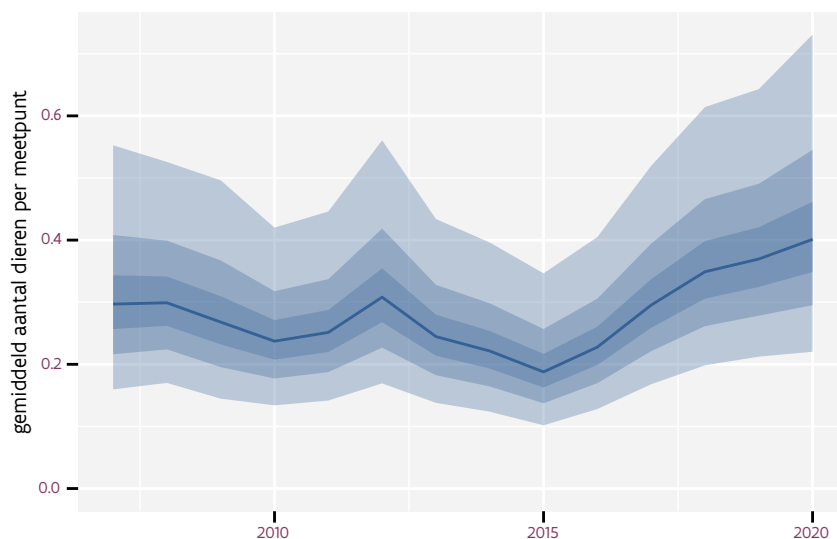
## 43 GRAUWE GANS

Op basis van driejaarlijkse gegevens zien we gemiddeld een mogelijke toename met +1.9% (-1.5%; +5.4%) per jaar of +30% (-20%; +100%) over de volledige looptijd van het meetnet. Deze trend is niet-lineair.

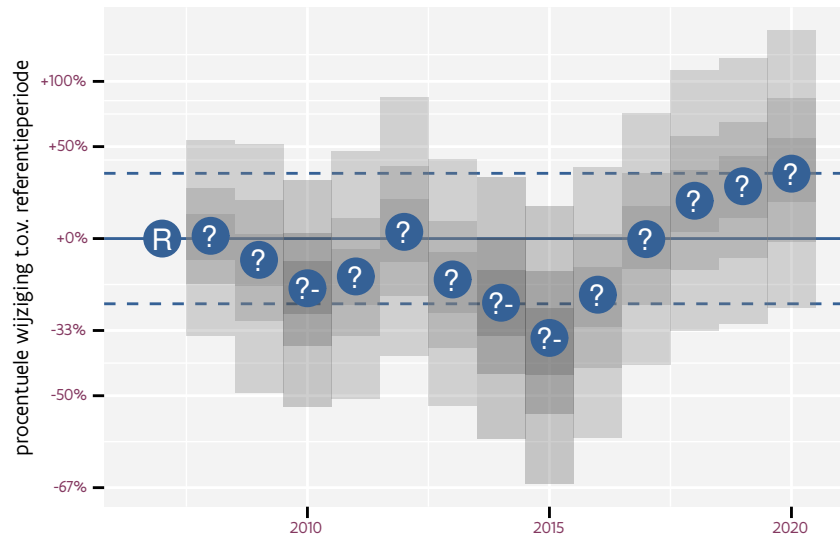
Op basis van jaarlijkse gegevens zien we gemiddeld een mogelijke toename met +2.4% (-1.1%; +5.9%) per jaar of +36% (-13%; +112%) over de volledige looptijd van het meetnet. Deze trend is niet-lineair.



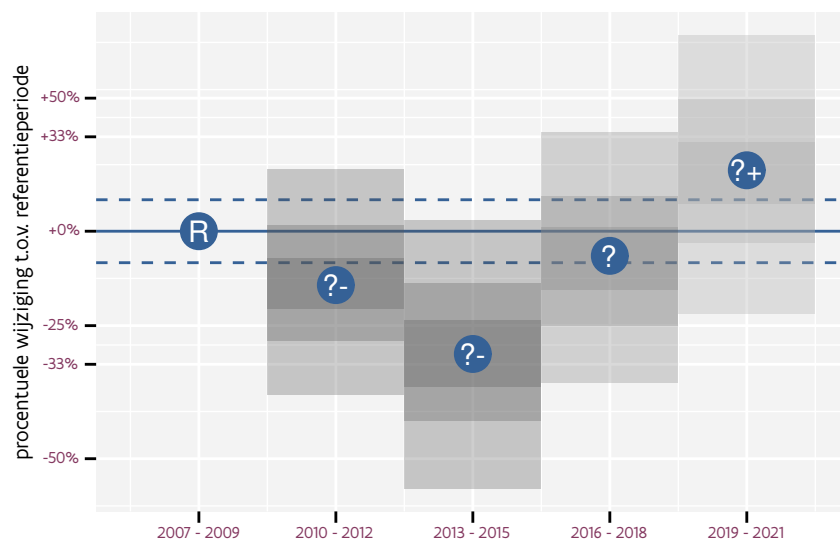
Figuur 43.1: Evolutie van het gemodeleerde gemiddeld aantal waargenomen dieren op een meetpunt voor Grauwe gans tijdens de referentieperiode. Zie §4.1 voor een verklaring van de intervallen.



Figuur 43.2: Evolutie van het gemodeleerde gemiddeld aantal waargenomen dieren op een meetpunt voor Grauwe gans tijdens de referentieperiode. Zie §4.1 voor een verklaring van de intervallen.



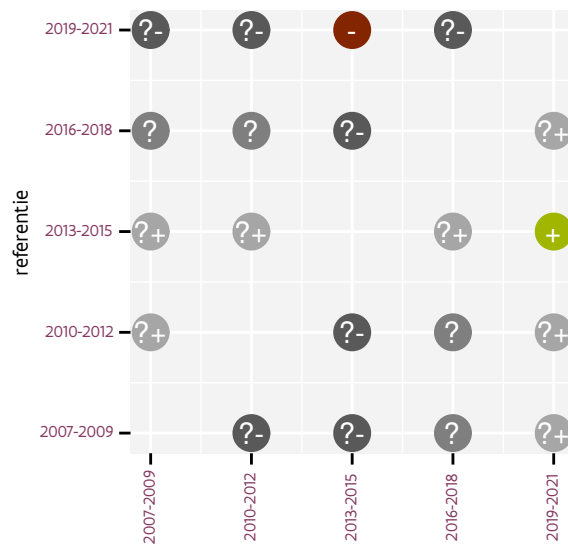
Figuur 43.3: Wijzigingen tussen jaren voor Grauwe gans. Zie §4.1 voor een verklaring van de intervallen en §4.2 voor uitleg over de symbolen en referentielijnen.



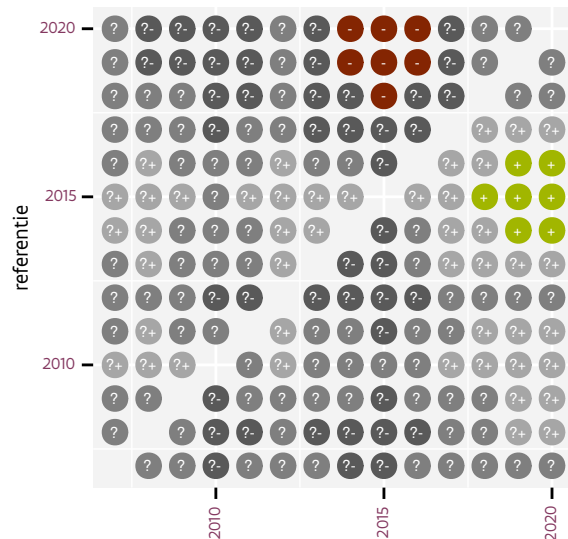
Figuur 43.4: Wijzigingen per driejarige cyclus voor Grauwe gans. Zie §4.1 voor een verklaring van de intervallen en §4.2 voor uitleg over de symbolen en referentielijnen.

Tabel 43.1: Stratumgewicht, raming aan het aantal hokken waarin de soort aanwezig is, aantal relevant hokken voor de analyse, aantal onderzochte hokken in het stratum, totaal aantal hokken van het stratum in Vlaanderen en aantal bezoeken aan een meetpunt voor Grauwe gans (zie §3.5).

stratum	gewicht	aanwezig	relevant	onderzocht	totaal	bezoeken
Landbouw	85.1%	429.6	29	426	6311	2109
Moeras en water	8.2%	39.4	23	80	137	1413
Heide en duin	4.4%	19.7	9	91	199	570
Bos	2.3%	10.1	6	190	319	377



Figuur 43.5: Paarsgewijze vergelijking tussen driejarige cycli voor Grauwe gans. Uitleg van de symbolen in tabel 4.1.



Figuur 43.6: Paarsgewijze vergelijking tussen jaren voor Grauwe gans. Uitleg van de symbolen in tabel 4.1.

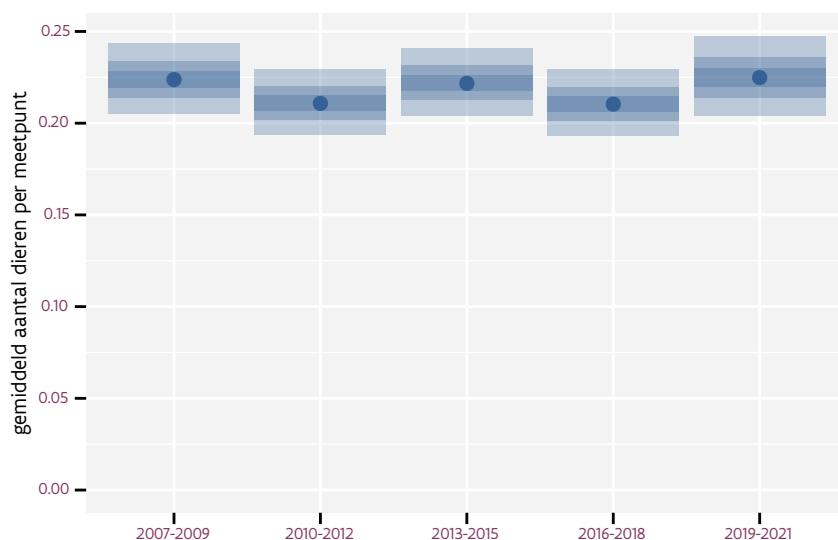
Tabel 43.2: Data-hashes van de analyses in het kader van traceerbaarheid (zie §5.3).

frequentie	model	analyse	status
jaarlijks	lineair	cd11c364c5b1b1345ed6 9641bbac9710de637b11	48c046bf8f506633a52d 2526c0c7ac3e1e3d0aa9
jaarlijks	niet-lineair	6d11ec341f1131ec99d8 7fd0a74a61f60da76584	f6bfc8d8dfcb08701ff5 c6047f0aebf55a082c69
driejaarlijks	lineair	0bd669eae3ac1182d694 4f7f3784718523e0b3e8	913baf85c0f72984f375 7ed0abb058ceaaf0adec
driejaarlijks	niet-lineair	419ad3618f21ba5c862a bc489dbcbfa687614706	d302ccf700f4d534f5c5 5a8fd080598ced9a6184

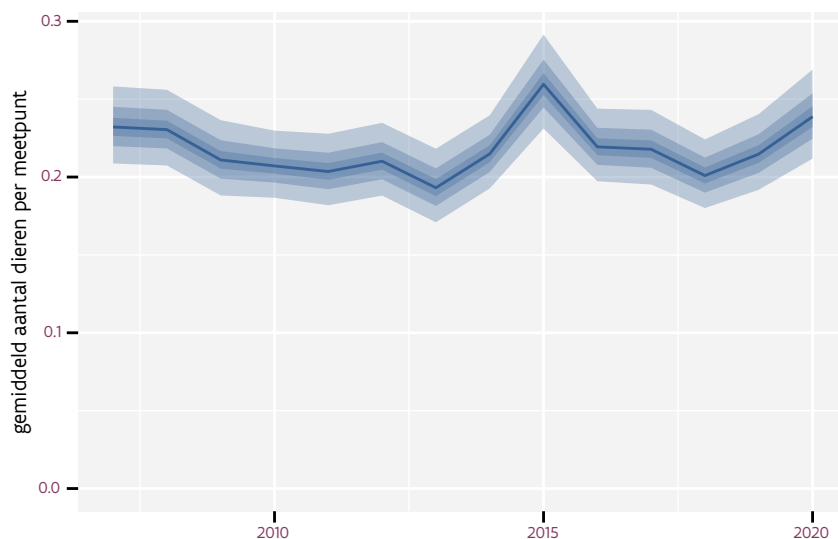
## 44 GROENE SPECHT

Op basis van driejaarlijkse gegevens zien we gemiddeld een stabiele trend van  $-0.1\%$  ( $-0.8\%$ ;  $+0.6\%$ ) per jaar of  $-1\%$  ( $-10\%$ ;  $+8\%$ ) over de volledige looptijd van het meetnet. Deze trend is niet-lineair.

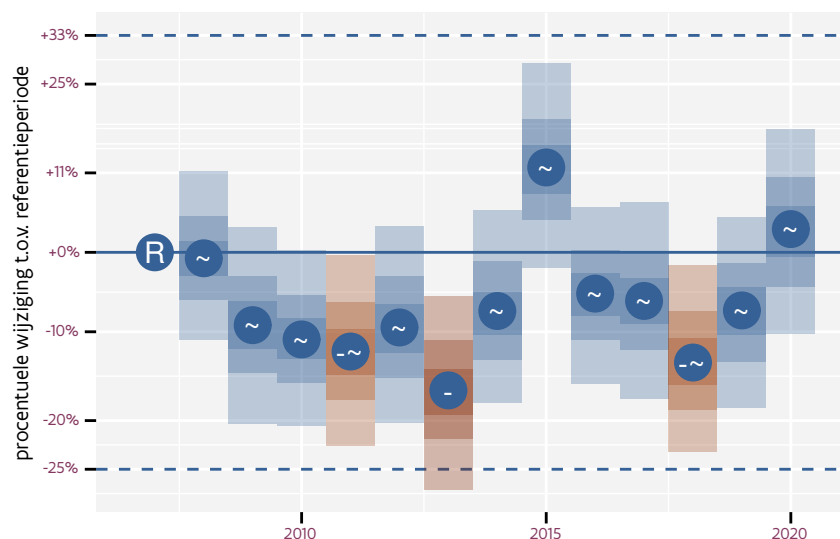
Op basis van jaarlijkse gegevens zien we gemiddeld een stabiele trend van  $+0.0\%$  ( $-0.7\%$ ;  $+0.7\%$ ) per jaar of  $+0\%$  ( $-9\%$ ;  $+10\%$ ) over de volledige looptijd van het meetnet. Deze trend is niet-lineair.



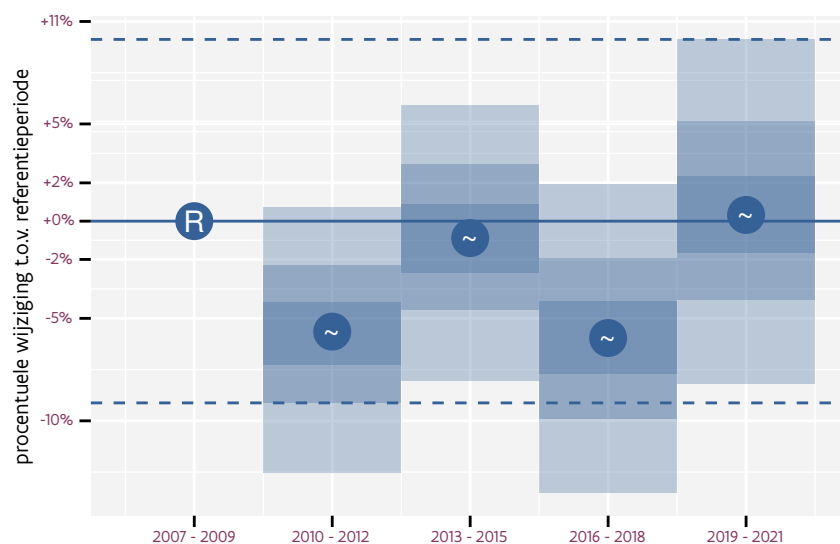
Figuur 44.1: Evolutie van het gemodeleerde gemiddeld aantal waargenomen dieren op een meetpunt voor Groene specht tijdens de referentieperiode. Zie §4.1 voor een verklaring van de intervallen.



Figuur 44.2: Evolutie van het gemodeleerde gemiddeld aantal waargenomen dieren op een meetpunt voor Groene specht tijdens de referentieperiode. Zie §4.1 voor een verklaring van de intervallen.



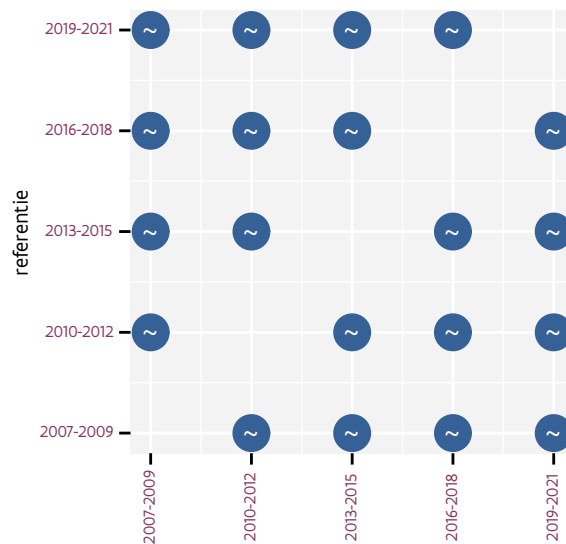
Figuur 44.3: Wijzigingen tussen jaren voor Groene specht. Zie §4.1 voor een verklaring van de intervallen en §4.2 voor uitleg over de symbolen en referentielijnen.



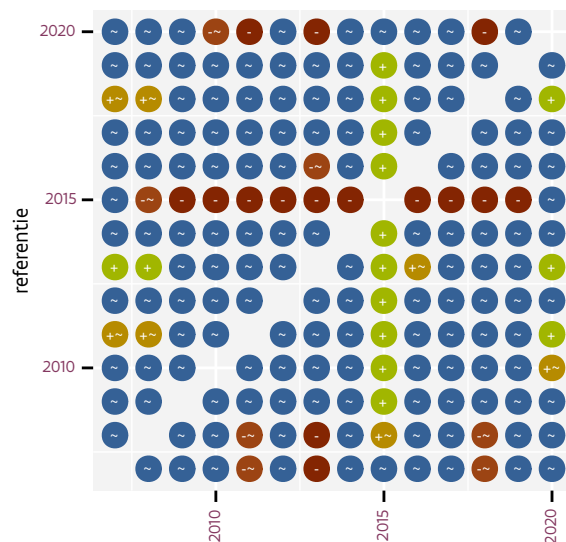
Figuur 44.4: Wijzigingen per driejarige cyclus voor Groene specht. Zie §4.1 voor een verklaring van de intervallen en §4.2 voor uitleg over de symbolen en referentielijnen.

Tabel 44.1: Stratumgewicht, raming aan het aantal hokken waarin de soort aanwezig is, aantal relevant hokken voor de analyse, aantal onderzochte hokken in het stratum, totaal aantal hokken van het stratum in Vlaanderen en aantal bezoeken aan een meetpunt voor Groene specht (zie §3.5).

stratum	gewicht	aanwezig	relevant	onderzocht	totaal	bezoeken
Landbouw	86.4%	3377.7	228	426	6311	14708
Urbaan	3.8%	143.4	30	87	416	2036
Bos	3.0%	115.8	69	190	319	5072
Suburbaan	2.5%	94.6	32	68	201	1981
Heide en duin	2.4%	91.8	42	91	199	2930
Moeras en water	1.8%	68.5	40	80	137	2634



Figuur 44.5: Paarsgewijze vergelijking tussen driejarige cycli voor Groene specht. Uitleg van de symbolen in tabel 4.1.



Figuur 44.6: Paarsgewijze vergelijking tussen jaren voor Groene specht. Uitleg van de symbolen in tabel 4.1.

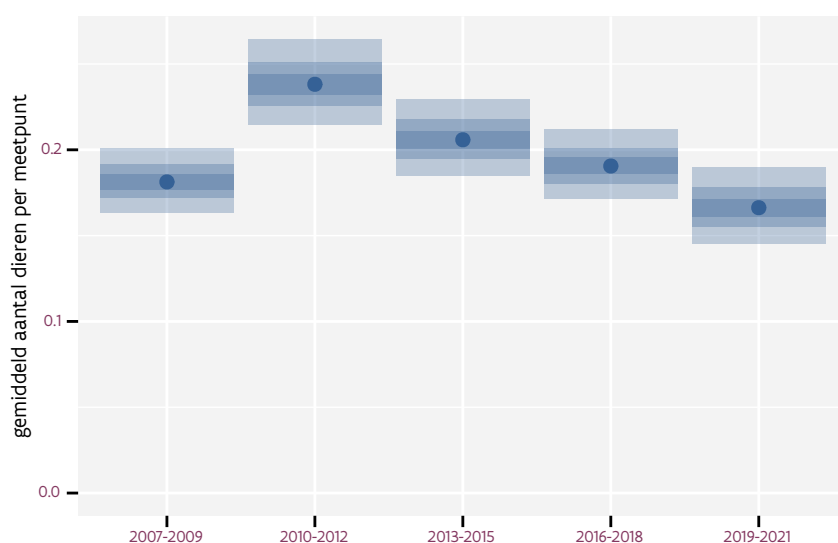
Tabel 44.2: Data-hashes van de analyses in het kader van traceerbaarheid (zie §5.3).

frequentie	model	analyse	status
jaarlijks	lineair	4eb52b497ea97b837145 5f45800e71d11253abdd	7dcff4e490197fe68783 c96b14275c5e32745c23
jaarlijks	niet-lineair	8e61e458ad49dc5cd23f 0ef33f4aaa25ea813cad	0142be99dcb96c297576 261d75abe5ec4ba2fe5a
driejaarlijks	lineair	3a7858c9e3b1be6f4b61 02f03f5ad871051628f8	601944b81ae68d473e1f 6417ae60adee7514959a
driejaarlijks	niet-lineair	9f534e370db9b2d12752 cb435f9b509b6aa8442a	8207083826ca8f6e1ba2 f617a1cec5cf983d2a69

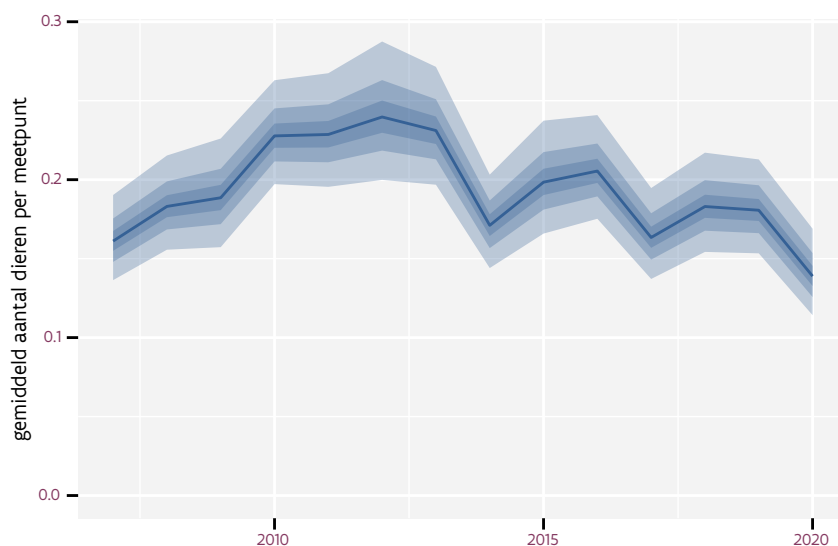
## 45 GROENLING

Op basis van driejaarlijkse gegevens zien we gemiddeld een stabiele trend van  $-0.76\%$  ( $-1.62\%$ ;  $+0.11\%$ ) per jaar of  $-9.4\%$  ( $-19.1\%$ ;  $+1.5\%$ ) over de volledige looptijd van het meetnet. Deze trend is lineair.

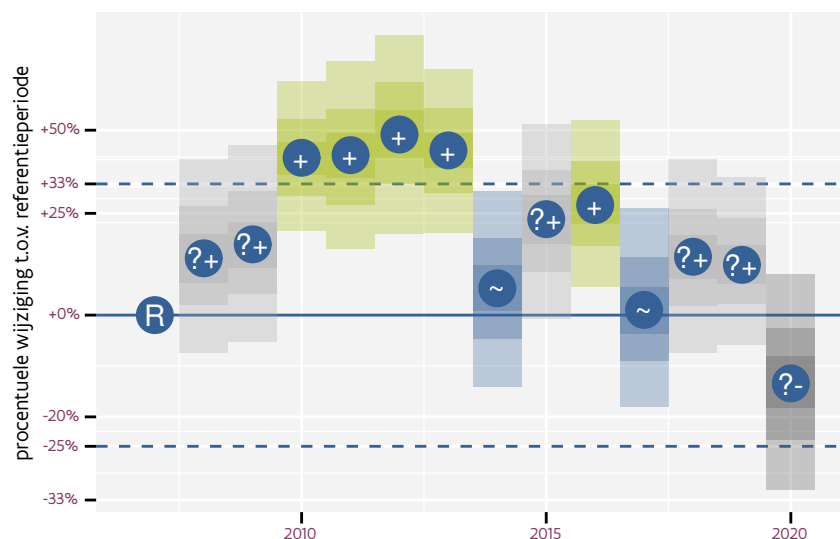
Op basis van jaarlijkse gegevens zien we gemiddeld een stabiele trend van  $-0.75\%$  ( $-1.61\%$ ;  $+0.13\%$ ) per jaar of  $-9.3\%$  ( $-19.0\%$ ;  $+1.7\%$ ) over de volledige looptijd van het meetnet. Deze trend is lineair.



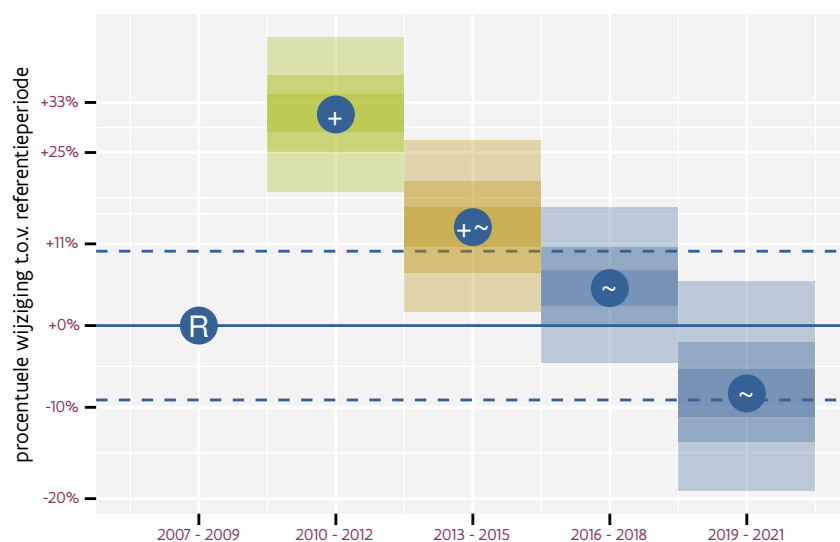
Figuur 45.1: Evolutie van het gemodeleerde gemiddeld aantal waargenomen dieren op een meetpunt voor Groenling tijdens de referentieperiode. Zie §4.1 voor een verklaring van de intervallen.



Figuur 45.2: Evolutie van het gemodeleerde gemiddeld aantal waargenomen dieren op een meetpunt voor Groenling tijdens de referentieperiode. Zie §4.1 voor een verklaring van de intervallen.



Figuur 45.3: Wijzigingen tussen jaren voor Groenling. Zie §4.1 voor een verklaring van de intervallen en §4.2 voor uitleg over de symbolen en referentielijnen.

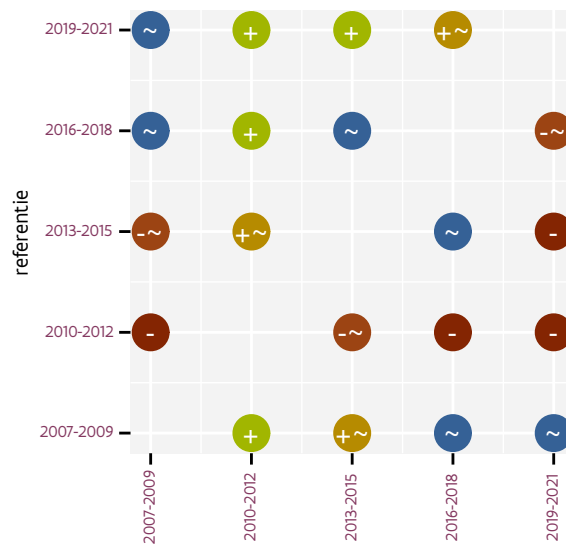


Figuur 45.4: Wijzigingen per driejarige cyclus voor Groenling. Zie §4.1 voor een verklaring van de intervallen en §4.2 voor uitleg over de symbolen en referentielijnen.

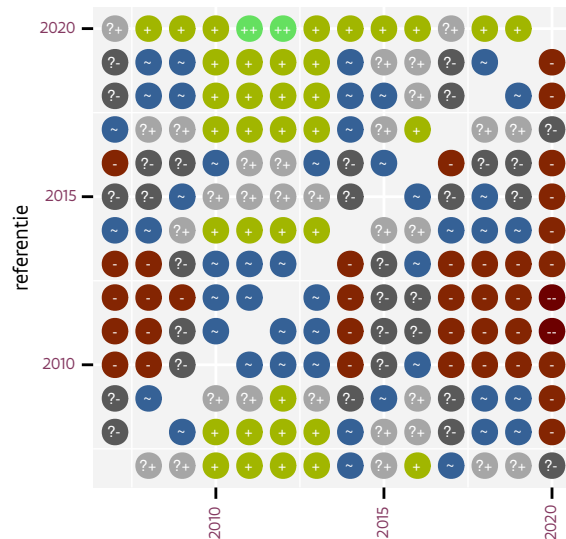
Tabel 45.1: Stratumgewicht, raming aan het aantal hokken waarin de soort aanwezig is, aantal relevant hokken voor de analyse, aantal onderzochte hokken in het stratum, totaal aantal hokken van het stratum in Vlaanderen en aantal bezoeken aan een meetpunt voor Groenling (zie §3.5).

stratum	gewicht	aanwezig	relevant	onderzocht	totaal	bezoeken
Landbouw	85.2%	2918.5	197	426	6311	12773
Urbaan	8.0%	267.8	56	87	416	3487
Suburbaan	2.8%	91.6	31	68	201	2121
Bos	1.6%	53.7	32	190	319	2320
Moeras en water	1.3%	42.8	25	80	137	1629
Heide en duin	1.2%	37.2	17	91	199	1122





Figuur 45.5: Paarsgewijze vergelijking tussen driejarige cycli voor Groenling. Uitleg van de symbolen in tabel 4.1.



Figuur 45.6: Paarsgewijze vergelijking tussen jaren voor Groenling. Uitleg van de symbolen in tabel 4.1.

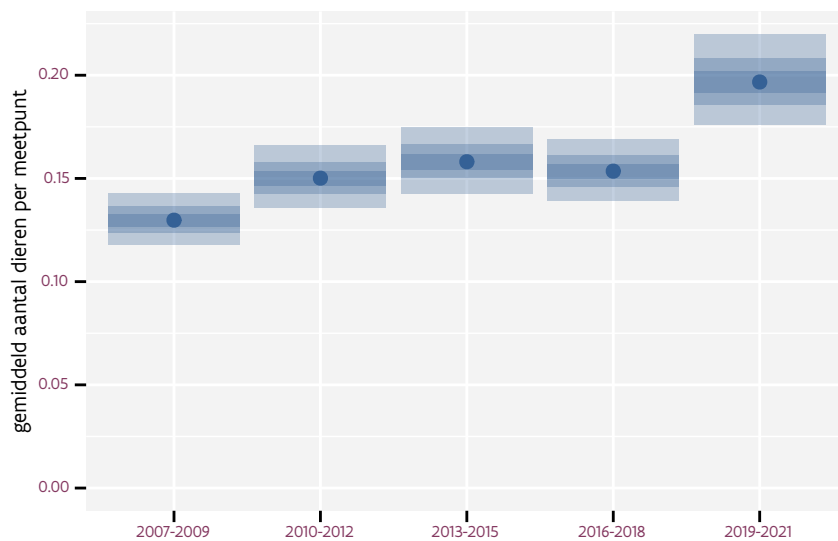
Tabel 45.2: Data-hashes van de analyses in het kader van traceerbaarheid (zie §5.3).

frequentie	model	analyse	status
jaarlijks	lineair	7aa21696e1e80748abd3 4d76e9210be4e520c28a	e57d8487d1204eeb786d 478b08472b7f36f70225
jaarlijks	niet-lineair	154aa340e15dc31db106 53139924c754d3c950ca	8cdcadbbb1111816764f f0738582704620c9246e
driejaarlijks	lineair	9d9a799773139cb5915b 7c8a9772eaa04b0d1c33	61af7bc716265aff9ae7 6edf3fa0541f83a1a9ee
driejaarlijks	niet-lineair	02981f7ce9aca0ce341c 3f47fb82429aedadccaf	a4e4dd2a890e846660ac 0efade6651a3c9c2c980

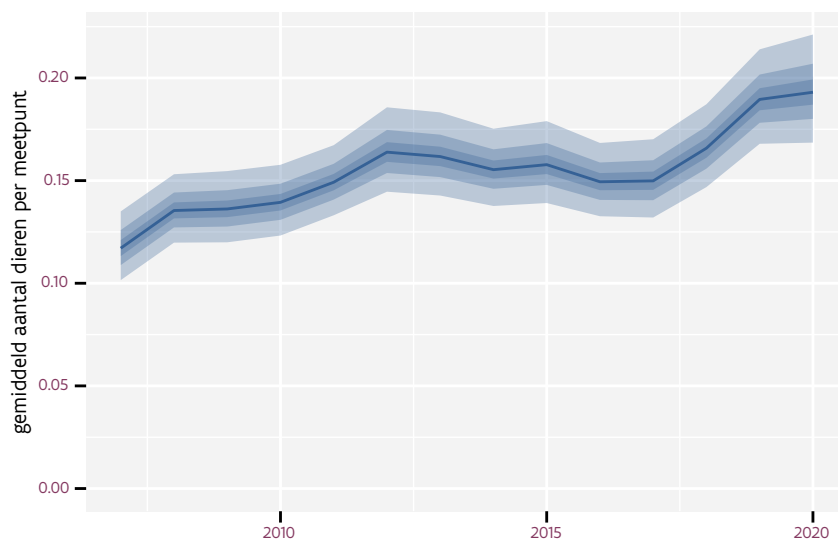
## 46 GROTE BONTE SPECHT

Op basis van driejaarlijkse gegevens zien we gemiddeld een toename met +2.8% (+1.9%; +3.7%) per jaar of +44% (+28%; +61%) over de volledige looptijd van het meetnet. Deze trend is niet-lineair.

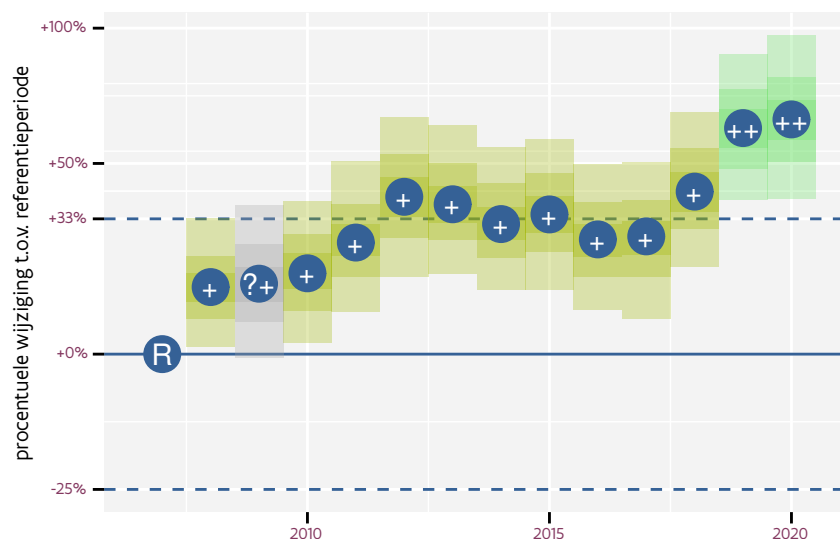
Op basis van jaarlijkse gegevens zien we gemiddeld een toename met +2.9% (+2.0%; +3.8%) per jaar of +46% (+30%; +63%) over de volledige looptijd van het meetnet. Deze trend is niet-lineair.



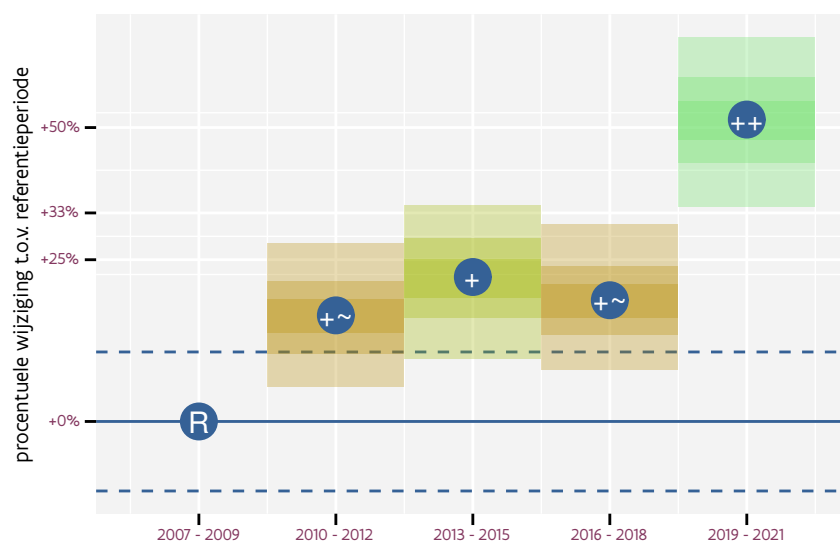
Figuur 46.1: Evolutie van het gemodeleerde gemiddeld aantal waargenomen dieren op een meetpunt voor Grote bonte specht tijdens de referentieperiode. Zie §4.1 voor een verklaring van de intervallen.



Figuur 46.2: Evolutie van het gemodeleerde gemiddeld aantal waargenomen dieren op een meetpunt voor Grote bonte specht tijdens de referentieperiode. Zie §4.1 voor een verklaring van de intervallen.



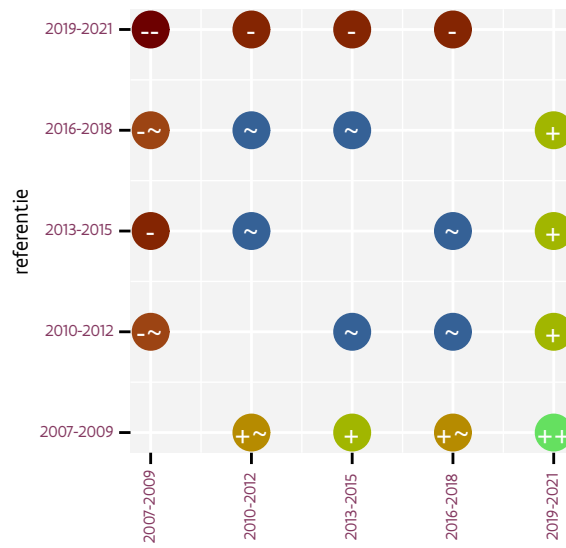
Figuur 46.3: Wijzigingen tussen jaren voor Grote bonte specht. Zie §4.1 voor een verklaring van de intervallen en §4.2 voor uitleg over de symbolen en referentielijnen.



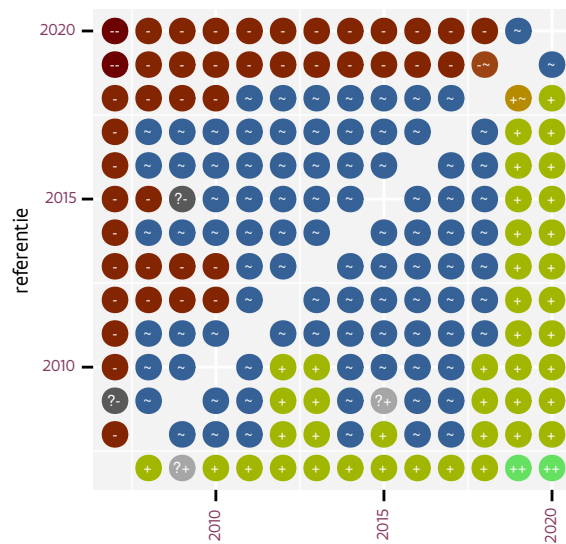
Figuur 46.4: Wijzigingen per driejarige cyclus voor Grote bonte specht. Zie §4.1 voor een verklaring van de intervallen en §4.2 voor uitleg over de symbolen en referentielijnen.

Tabel 46.1: Stratumgewicht, raming aan het aantal hokken waarin de soort aanwezig is, aantal relevant hokken voor de analyse, aantal onderzochte hokken in het stratum, totaal aantal hokken van het stratum in Vlaanderen en aantal bezoeken aan een meetpunt voor Grote bonte specht (zie §3.5).

stratum	gewicht	aanwezig	relevant	onderzocht	totaal	bezoeken
Landbouw	80.2%	2755.5	186	426	6311	12120
Bos	6.6%	225.0	134	190	319	8496
Urbaan	4.8%	157.8	33	87	416	2254
Heide en duin	4.1%	137.8	63	91	199	4127
Moeras en water	2.3%	75.3	44	80	137	2835
Suburbaan	2.1%	68.0	23	68	201	1535



Figuur 46.5: Paarsgewijze vergelijking tussen driejarige cycli voor Grote bonte specht. Uitleg van de symbolen in tabel 4.1.



Figuur 46.6: Paarsgewijze vergelijking tussen jaren voor Grote bonte specht. Uitleg van de symbolen in tabel 4.1.

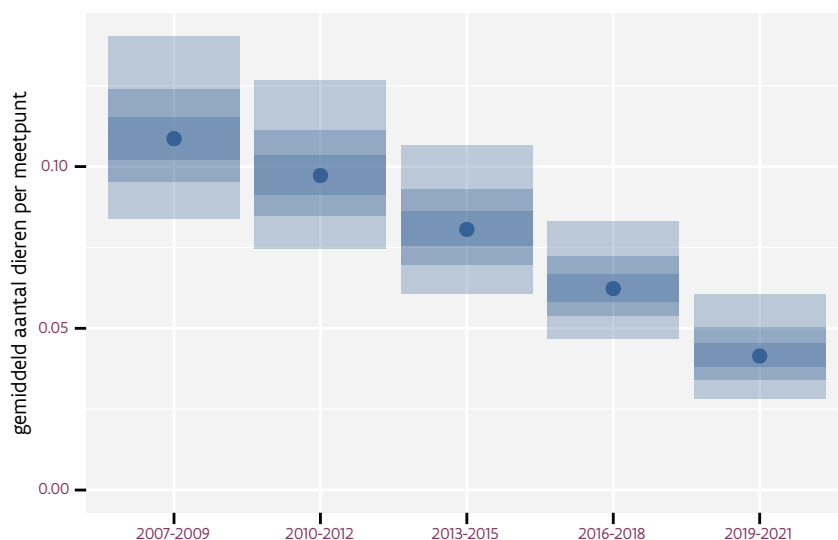
Tabel 46.2: Data-hashes van de analyses in het kader van traceerbaarheid (zie §5.3).

frequentie	model	analyse	status
jaarlijks	lineair	35aa98b4b1bb6de17b83 2b38173f05cf4b6265a1	7c1e5bddd2cbe0027100 56e277d15c0b408cb09a
jaarlijks	niet-lineair	6e90e25a3c776e34dde0 c8622fe3ce6a83be1605	3166cabe1c7bf794f997 c88378dda36edfeda54b
driejaarlijks	lineair	58a7c78255f63860401c adb410d0302c614688f8	27b6f142b9908a91b029 ab56f88cad054ba1d0b7
driejaarlijks	niet-lineair	3a183ad044466a564f16 59731f362900c0befd69	294addffd18a4ad4d73a 9af274b19327aa609995

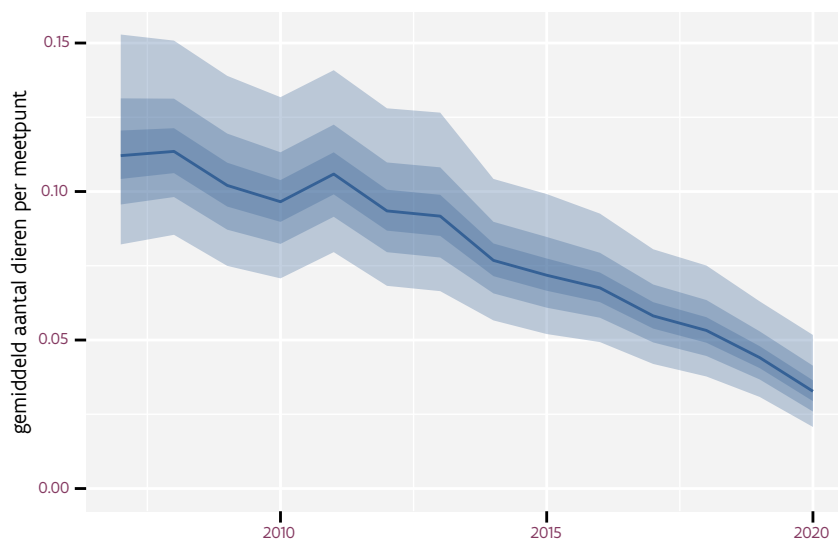
## 47 GROTE LIJSTER

Op basis van driejaarlijkse gegevens zien we gemiddeld een sterke afname met -7.7% (-9.6%; -5.8%) per jaar of -65% (-73%; -54%) over de volledige looptijd van het meetnet. Deze trend is niet-lineair.

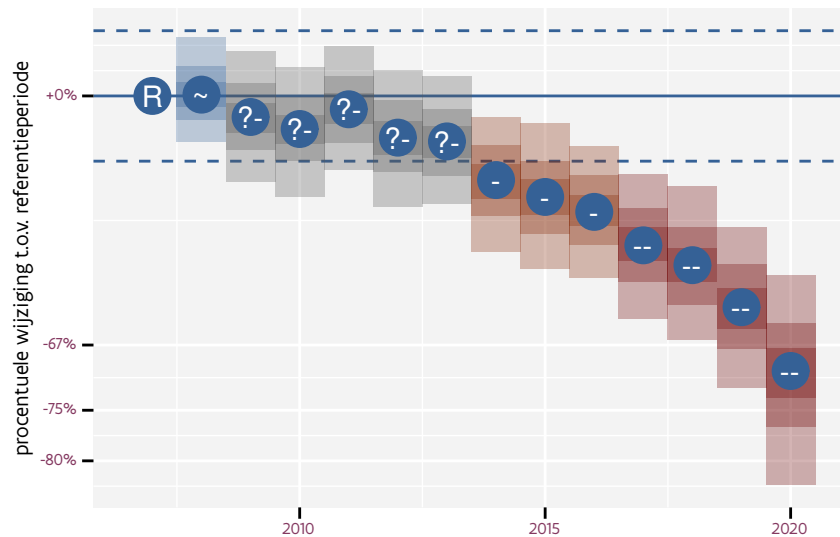
Op basis van jaarlijkse gegevens zien we gemiddeld een sterke afname met -7.8% (-9.7%; -5.9%) per jaar of -65% (-73%; -55%) over de volledige looptijd van het meetnet. Deze trend is niet-lineair.



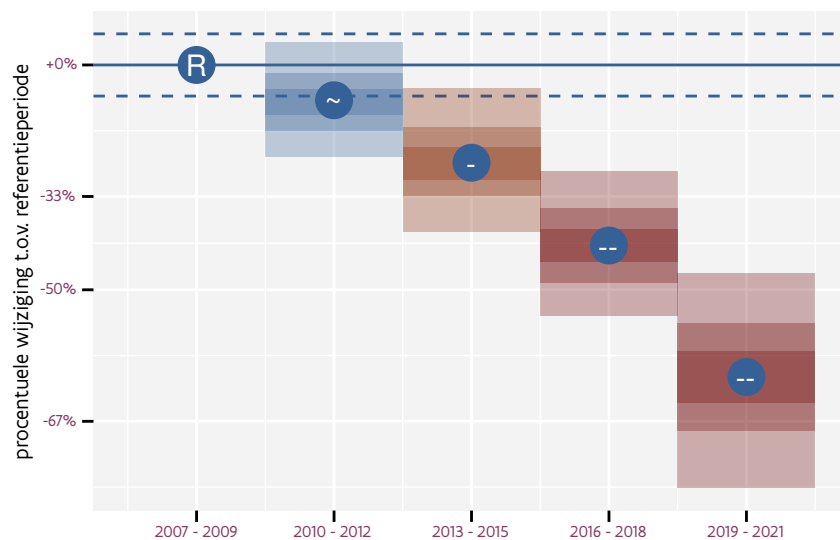
Figuur 47.1: Evolutie van het gemodeleerde gemiddeld aantal waargenomen dieren op een meetpunt voor Grote lijster tijdens de referentieperiode. Zie §4.1 voor een verklaring van de intervallen.



Figuur 47.2: Evolutie van het gemodeleerde gemiddeld aantal waargenomen dieren op een meetpunt voor Grote lijster tijdens de referentieperiode. Zie §4.1 voor een verklaring van de intervallen.



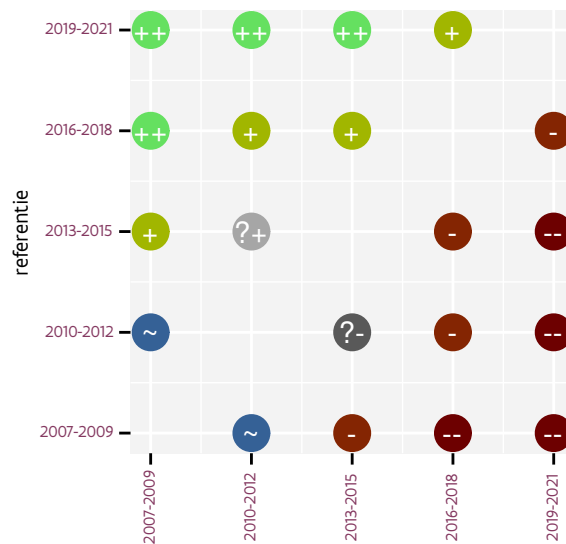
Figuur 47.3: Wijzigingen tussen jaren voor Grote lijst. Zie §4.1 voor een verklaring van de intervallen en §4.2 voor uitleg over de symbolen en referentielijnen.



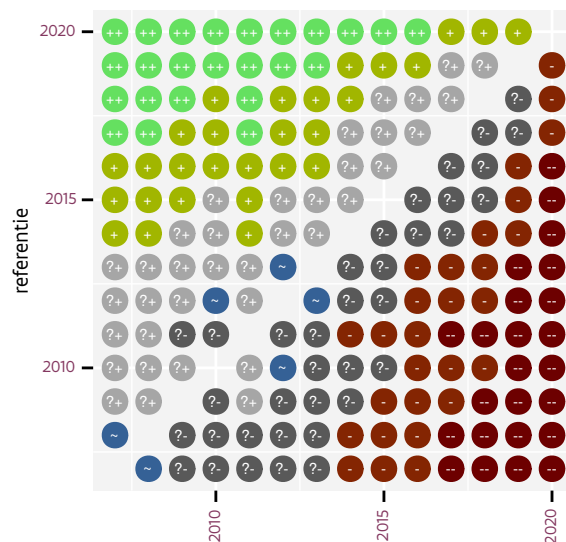
Figuur 47.4: Wijzigingen per driejarige cyclus voor Grote lijst. Zie §4.1 voor een verklaring van de intervallen en §4.2 voor uitleg over de symbolen en referentielijnen.

Tabel 47.1: Stratumgewicht, raming aan het aantal hokken waarin de soort aanwezig is, aantal relevant hokken voor de analyse, aantal onderzochte hokken in het stratum, totaal aantal hokken van het stratum in Vlaanderen en aantal bezoeken aan een meetpunt voor Grote lijst (zie §3.5).

stratum	gewicht	aanwezig	relevant	onderzocht	totaal	bezoeken
Landbouw	87.4%	1170.3	79	426	6311	5616
Bos	5.6%	75.6	45	190	319	3441
Heide en duin	5.2%	67.8	31	91	199	2267
Moeras en water	0.9%	10.3	6	80	137	445
Suburbaan	0.9%	8.9	3	68	201	162



Figuur 47.5: Paarsgewijze vergelijking tussen driejarige cycli voor Grote lijst. Uitleg van de symbolen in tabel 4.1.



Figuur 47.6: Paarsgewijze vergelijking tussen jaren voor Grote lijst. Uitleg van de symbolen in tabel 4.1.

Tabel 47.2: Data-hashes van de analyses in het kader van traceerbaarheid (zie §5.3).

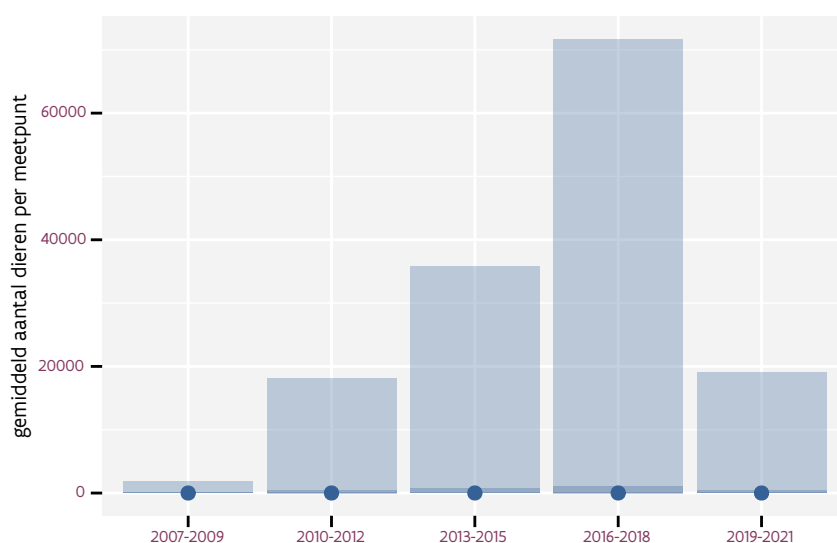
frequentie	model	analyse	status
jaarlijks	lineair	3f541fb634b274613f7c 1b11554f8813e0ff4b5c	a51c6fe7f01feb3d4f37 c1d70dc461ece7375d59
jaarlijks	niet-lineair	f391c1d23574f6b83977 1877841a1bde15e885db	b19ed55dd160827813ef ccf51899a7852b412a60
driejaarlijks	lineair	5d00962346be2aafa927 9c9814a5ff2a75af45f9	45f99514adcc78330dc8 03de6ec3a7ebecf2bcc2
driejaarlijks	niet-lineair	633478f025646819cd28 1be744c40896485eba5f	55d0e028b95285d3e0f5 26c63653bbd88f700db8



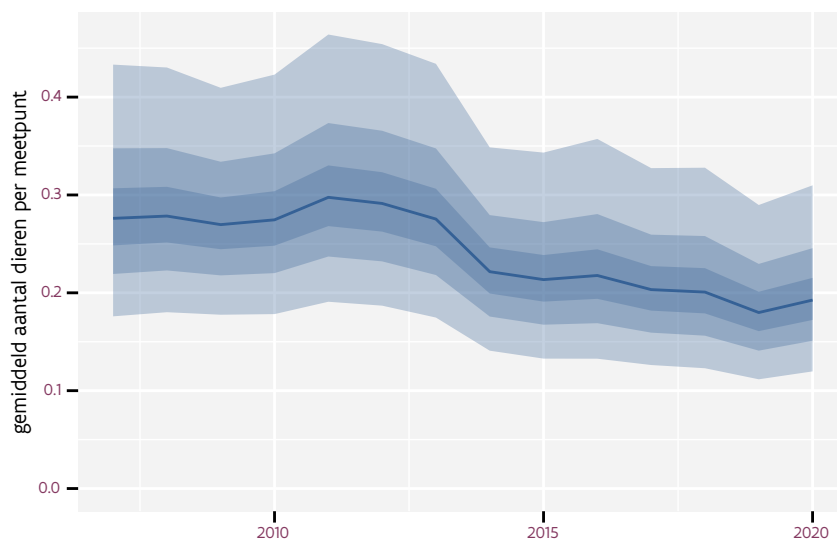
## 48 GRUTTO

Op basis van driejaarlijkse gegevens zien we gemiddeld een onduidelijke trend van -1% (-8%; +7%) per jaar of -9% (-64%; +130%) over de volledige looptijd van het meetnet. Deze trend is lineair.

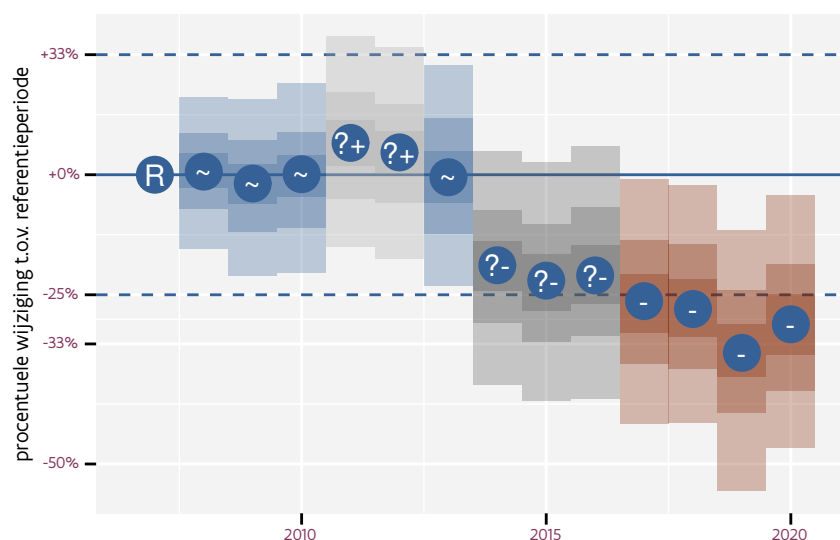
Op basis van jaarlijkse gegevens zien we gemiddeld een sterke afname met -4.6% (-6.7%; -2.5%) per jaar of -46% (-59%; -28%) over de volledige looptijd van het meetnet. Deze trend is lineair.



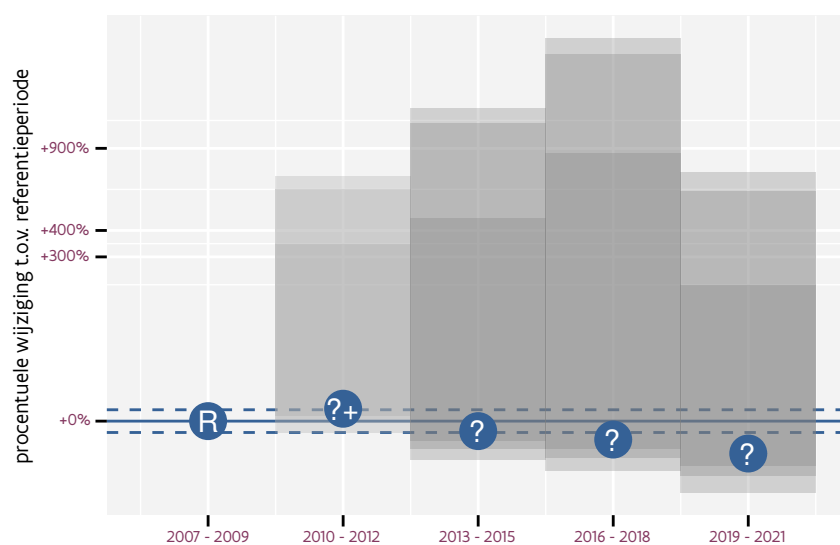
Figuur 48.1: Evolutie van het gemodeleerde gemiddeld aantal waargenomen dieren op een meetpunt voor Grutto tijdens de referentieperiode. Zie §4.1 voor een verklaring van de intervallen.



Figuur 48.2: Evolutie van het gemodeleerde gemiddeld aantal waargenomen dieren op een meetpunt voor Grutto tijdens de referentieperiode. Zie §4.1 voor een verklaring van de intervallen.



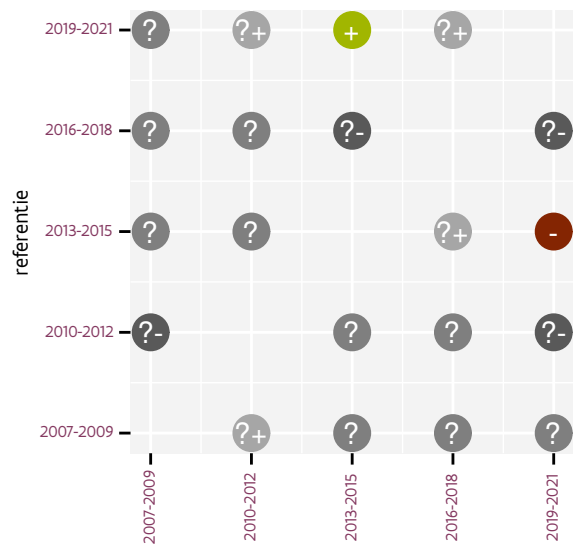
Figuur 48.3: Wijzigingen tussen jaren voor Grutto. Zie §4.1 voor een verklaring van de intervallen en §4.2 voor uitleg over de symbolen en referentielijnen.



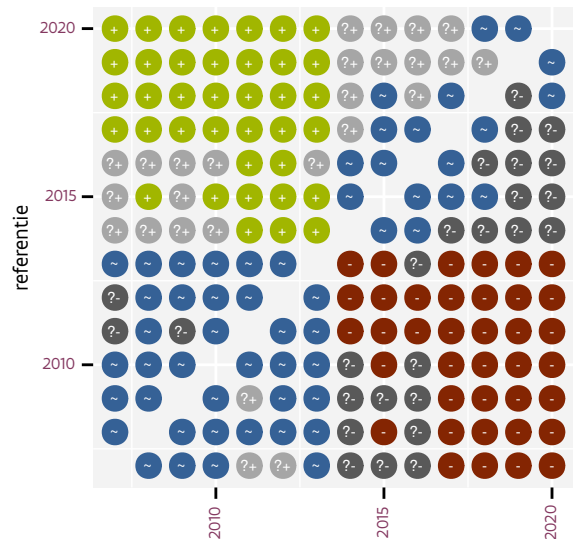
Figuur 48.4: Wijzigingen per driejarige cyclus voor Grutto. Zie §4.1 voor een verklaring van de intervallen en §4.2 voor uitleg over de symbolen en referentielijnen.

Tabel 48.1: Stratumgewicht, raming aan het aantal hokken waarin de soort aanwezig is, aantal relevant hokken voor de analyse, aantal onderzochte hokken in het stratum, totaal aantal hokken van het stratum in Vlaanderen en aantal bezoeken aan een meetpunt voor Grutto (zie §3.5).

stratum	gewicht	aanwezig	relevant	onderzocht	totaal	bezoeken
Landbouw	98.4%	414.8	28	426	6311	1920
Moeras en water	1.6%	5.1	3	80	137	216



Figuur 48.5: Paarsgewijze vergelijking tussen driejarige cycli voor Grutto. Uitleg van de symbolen in tabel 4.1.

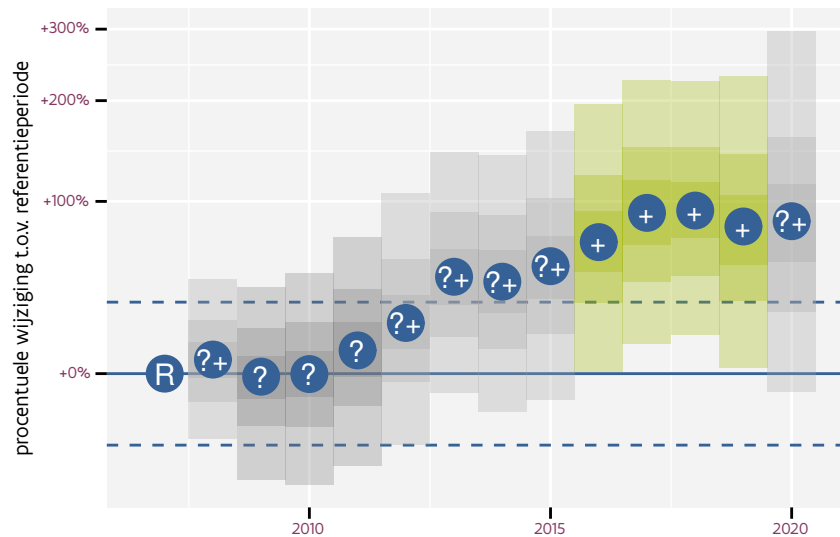


Figuur 48.6: Paarsgewijze vergelijking tussen jaren voor Grutto. Uitleg van de symbolen in tabel 4.1.

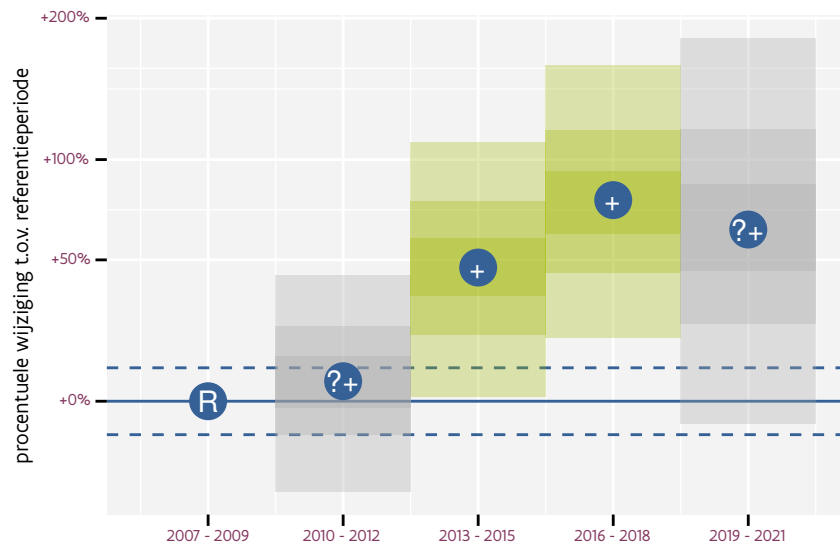
Tabel 48.2: Data-hashes van de analyses in het kader van traceerbaarheid (zie §5.3).

frequentie	model	analyse	status
jaarlijks	lineair	60f88bf3982fb9487527 b9ad4fd58ad96504415d	f470e27b833291d31da3 9792e058c7c4709b1c21
jaarlijks	niet-lineair	7e9ab929802123031d06 af8d25d49ade439ddee2	82461f2ed5b912ec9704 4c1a121054a93b1b4066
driejaarlijks	lineair	d8366b0e265be6a53a2a 7c44edb4ebe7fc6aed51	d55f523105ab861d653c d589675e2a3f272d96a3
driejaarlijks	niet-lineair	123f3ff26e855b61d285 20ed50072dba07e48a9f	dbcaa683d424a4c32179 1e0b045444380ac91784





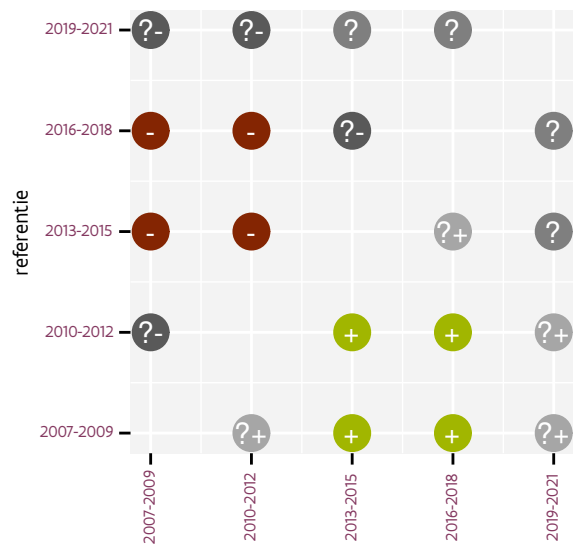
Figuur 49.3: Wijzigingen tussen jaren voor Halsbandparkiet. Zie §4.1 voor een verklaring van de intervallen en §4.2 voor uitleg over de symbolen en referentielijnen.



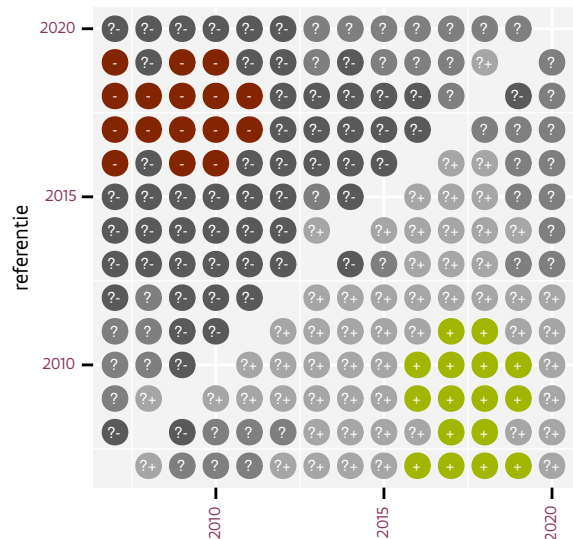
Figuur 49.4: Wijzigingen per driejarige cyclus voor Halsbandparkiet. Zie §4.1 voor een verklaring van de intervallen en §4.2 voor uitleg over de symbolen en referentielijnen.

Tabel 49.1: Stratumgewicht, raming aan het aantal hokken waarin de soort aanwezig is, aantal relevant hokken voor de analyse, aantal onderzochte hokken in het stratum, totaal aantal hokken van het stratum in Vlaanderen en aantal bezoeken aan een meetpunt voor Halsbandparkiet (zie §3.5).

stratum	gewicht	aanwezig	relevant	onderzocht	totaal	bezoeken
Landbouw	59.7%	88.9	6	426	6311	349
Urbaan	13.8%	19.1	4	87	416	319
Suburbaan	13.7%	23.6	8	68	201	610
Moeras en water	6.9%	10.3	6	80	137	393
Bos	5.8%	8.4	5	190	319	300



Figuur 49.5: Paarsgewijze vergelijking tussen driejarige cycli voor Halsbandparkiet. Uitleg van de symbolen in tabel 4.1.



Figuur 49.6: Paarsgewijze vergelijking tussen jaren voor Halsbandparkiet. Uitleg van de symbolen in tabel 4.1.

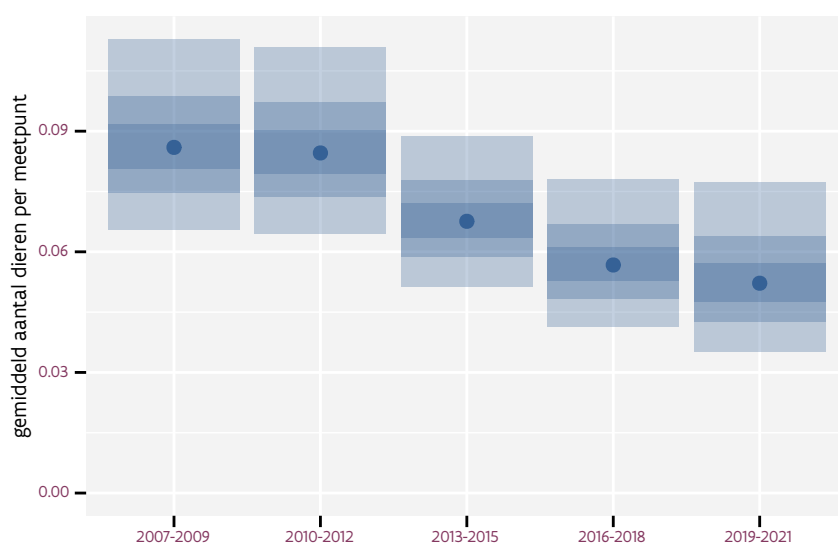
Tabel 49.2: Data-hashes van de analyses in het kader van traceerbaarheid (zie §5.3).

frequentie	model	analyse	status
jaarlijks	lineair	627f6eac1482a6e0aa42 90caa6ad02c933967299	4d328d28f9cb58a4167f b3268fff67fbab8ec4ad
jaarlijks	niet-lineair	72e8d47a6aaf2b168b30 33320b776dfeaea46fdf	5c4ec9195687a4b553e0 7a39e1a1bbfd63b3ce66
driejaarlijks	lineair	e28f6385e573bd78e41b b2c4cc28b5f4407f0126	79e5a4d527b27d32e6b6 22b7cfffcebbdc021cfa
driejaarlijks	niet-lineair	0ba20f4e8fe58c4b3f31 ecff3bc6a512a96d3c61	2bc8cc1313075f3ea92a e353393caaa061b7291b

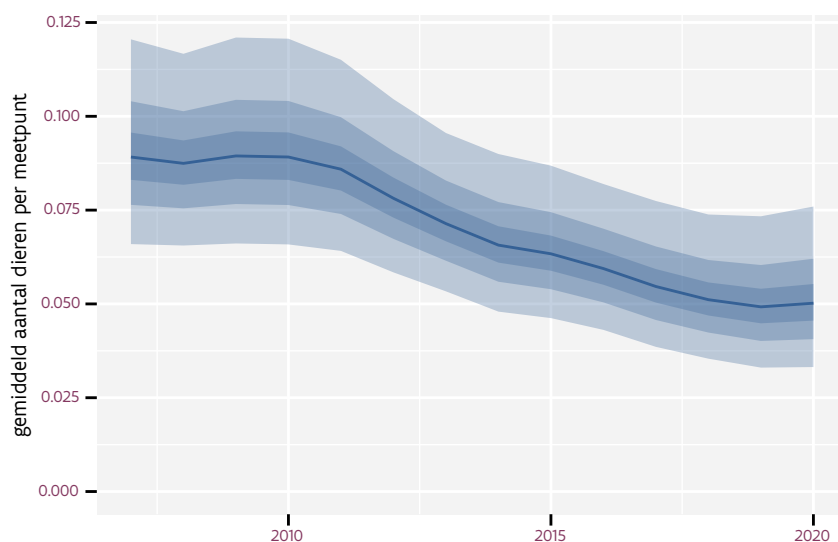
## 50 HAVIK

Op basis van driejaarlijkse gegevens zien we gemiddeld een sterke afname met -6.7% (-9.9%; -3.5%) per jaar of -60% (-74%; -37%) over de volledige looptijd van het meetnet. Deze trend is mogelijk niet-lineair.

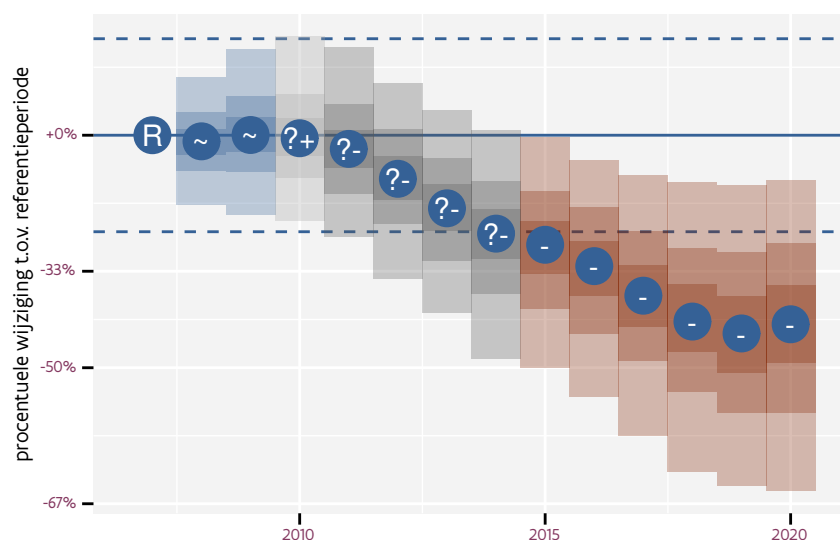
Op basis van jaarlijkse gegevens zien we gemiddeld een sterke afname met -6.94% (-10.07%; -3.70%) per jaar of -61% (-75%; -39%) over de volledige looptijd van het meetnet. Deze trend is mogelijk niet-lineair.



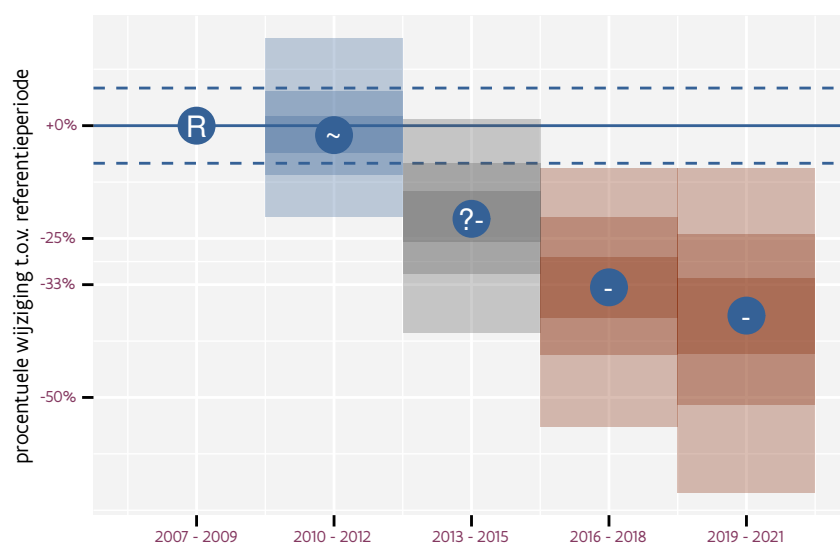
Figuur 50.1: Evolutie van het gemodeleerde gemiddeld aantal waargenomen dieren op een meetpunt voor Havik tijdens de referentieperiode. Zie §4.1 voor een verklaring van de intervallen.



Figuur 50.2: Evolutie van het gemodeleerde gemiddeld aantal waargenomen dieren op een meetpunt voor Havik tijdens de referentieperiode. Zie §4.1 voor een verklaring van de intervallen.



Figuur 50.3: Wijzigingen tussen jaren voor Havik. Zie §4.1 voor een verklaring van de intervallen en §4.2 voor uitleg over de symbolen en referentielijnen.

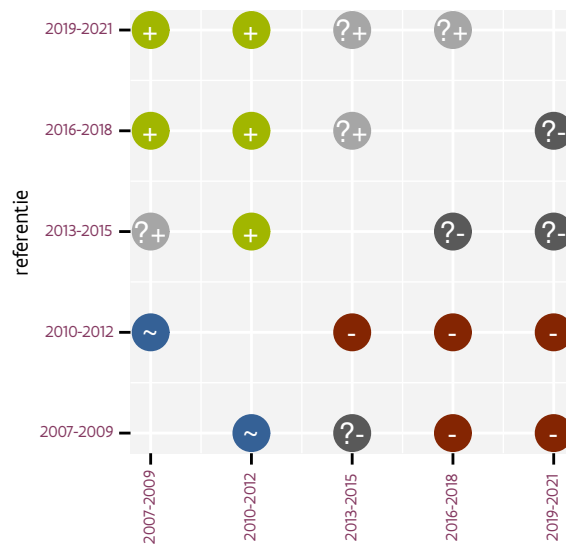


Figuur 50.4: Wijzigingen per driejarige cyclus voor Havik. Zie §4.1 voor een verklaring van de intervallen en §4.2 voor uitleg over de symbolen en referentielijnen.

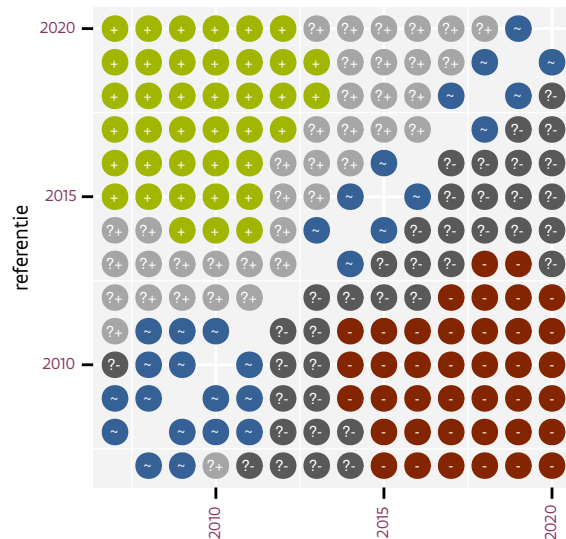
Tabel 50.1: Stratumgewicht, raming aan het aantal hokken waarin de soort aanwezig is, aantal relevant hokken voor de analyse, aantal onderzochte hokken in het stratum, totaal aantal hokken van het stratum in Vlaanderen en aantal bezoeken aan een meetpunt voor Havik (zie §3.5).

stratum	gewicht	aanwezig	relevant	onderzocht	totaal	bezoeken
Bos	61.5%	43.7	26	190	319	2025
Heide en duin	38.5%	28.4	13	91	199	1020





Figuur 50.5: Paarsgewijze vergelijking tussen driejarige cycli voor Havik. Uitleg van de symbolen in tabel 4.1.



Figuur 50.6: Paarsgewijze vergelijking tussen jaren voor Havik. Uitleg van de symbolen in tabel 4.1.

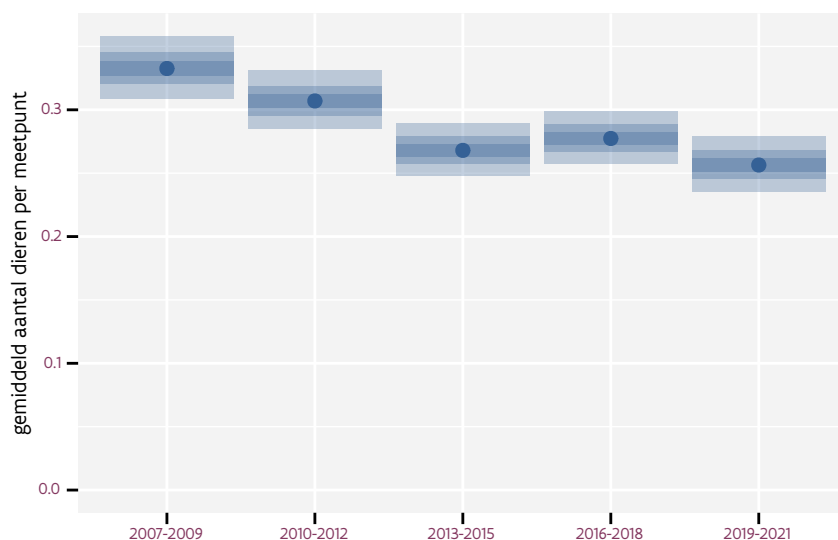
Tabel 50.2: Data-hashes van de analyses in het kader van traceerbaarheid (zie §5.3).

frequentie	model	analyse	status
jaarlijks	lineair	2bc4a612006c97f44195	310a384026383a41c381
		85f39ad4f88cd6fdd075	93738c13ca03e2971f29
jaarlijks	niet-lineair	e412582e310c26b20d87	1c50ea9aeeb2ac66aff7
		c6b917af23582d924626	714528725184aa6971af
driejaarlijks	lineair	2b48365a17521881f283	55e2b0537a90b67aaf06
		abc50f9c593bacb0b2c5	b0bf1d46410b8e88a681
driejaarlijks	niet-lineair	edc77127b0911582c424	16d4872d7c551d6961ab
		648a8b7bccfd6734364	d58e13f20fe18e806e99

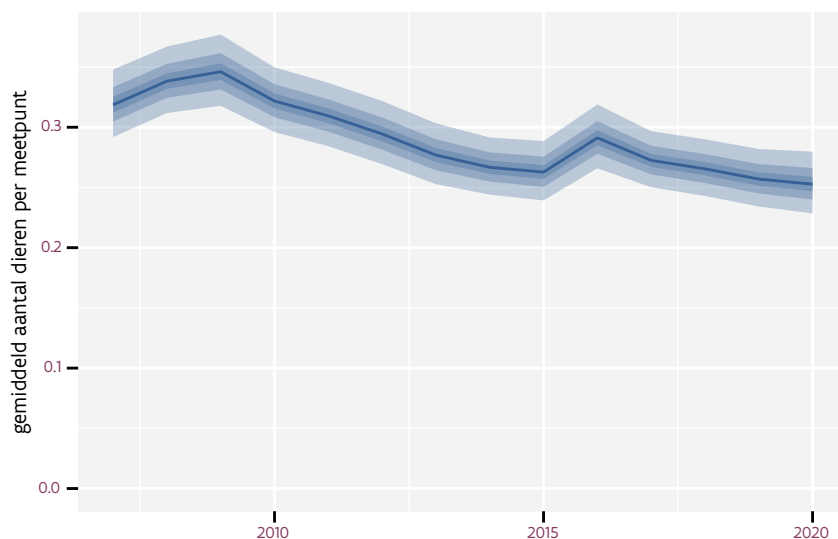
## 51 HEGGENMUS

Op basis van driejaarlijkse gegevens zien we gemiddeld een afname met -2.3% (-2.8%; -1.8%) per jaar of -26% (-31%; -21%) over de volledige looptijd van het meetnet. Deze trend is niet-lineair.

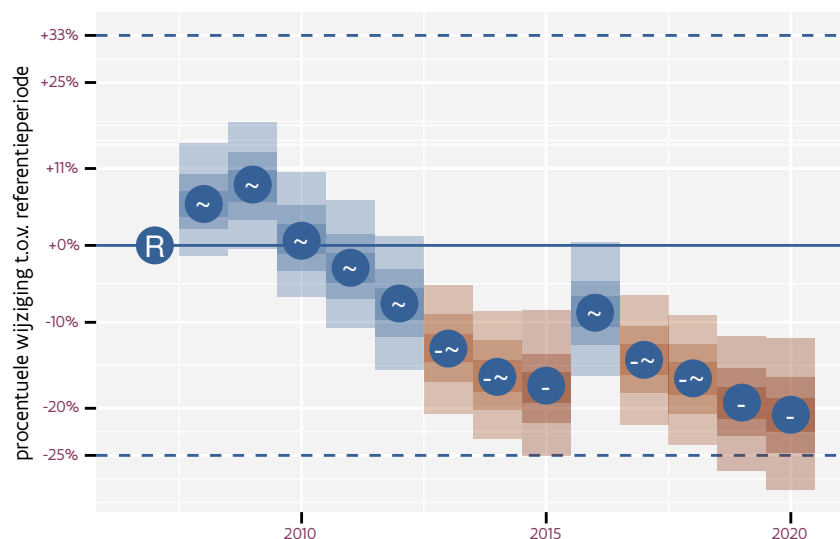
Op basis van jaarlijkse gegevens zien we gemiddeld een afname met -2.3% (-2.8%; -1.8%) per jaar of -26% (-31%; -21%) over de volledige looptijd van het meetnet. Deze trend is niet-lineair.



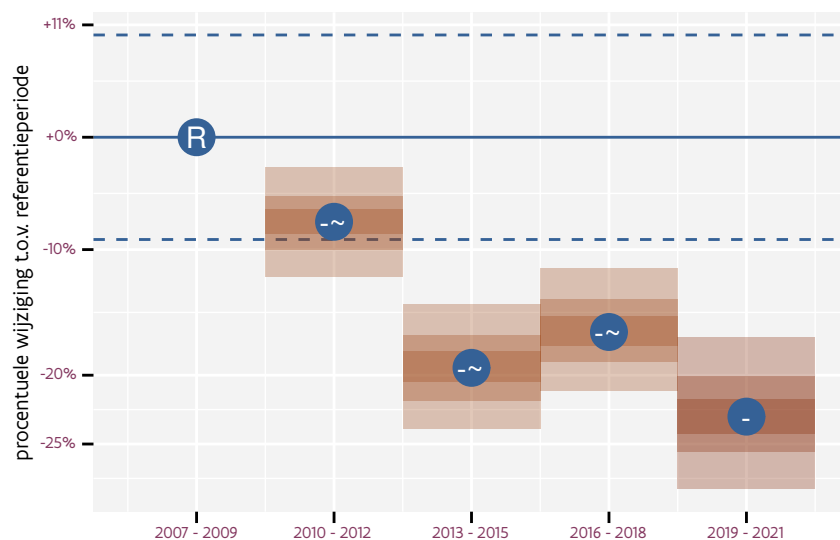
Figuur 51.1: Evolutie van het gemodeleerde gemiddeld aantal waargenomen dieren op een meetpunt voor Heggemus tijdens de referentieperiode. Zie §4.1 voor een verklaring van de intervallen.



Figuur 51.2: Evolutie van het gemodeleerde gemiddeld aantal waargenomen dieren op een meetpunt voor Heggemus tijdens de referentieperiode. Zie §4.1 voor een verklaring van de intervallen.



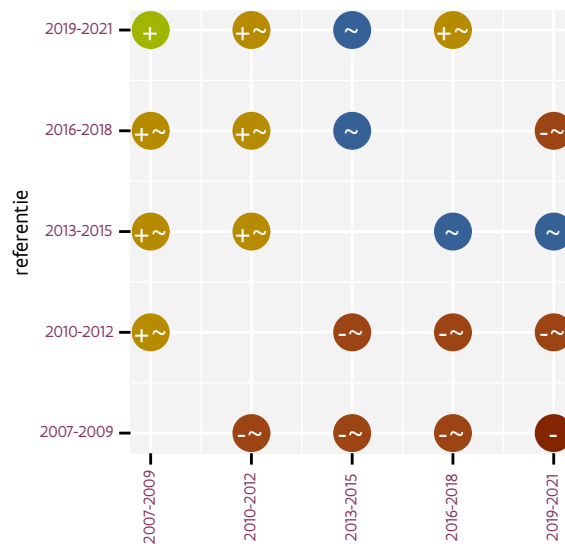
Figuur 51.3: Wijzigingen tussen jaren voor Heggenmus. Zie §4.1 voor een verklaring van de intervallen en §4.2 voor uitleg over de symbolen en referentielijnen.



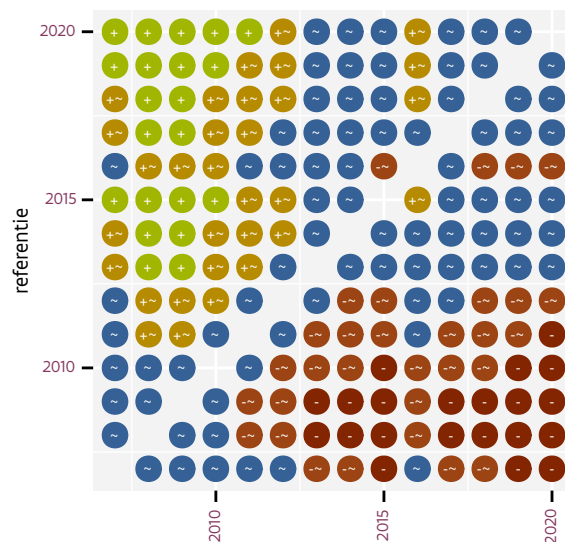
Figuur 51.4: Wijzigingen per driejarige cyclus voor Heggenmus. Zie §4.1 voor een verklaring van de intervallen en §4.2 voor uitleg over de symbolen en referentielijnen.

Tabel 51.1: Stratumgewicht, raming aan het aantal hokken waarin de soort aanwezig is, aantal relevant hokken voor de analyse, aantal onderzochte hokken in het stratum, totaal aantal hokken van het stratum in Vlaanderen en aantal bezoeken aan een meetpunt voor Heggenmus (zie §3.5).

stratum	gewicht	aanwezig	relevant	onderzocht	totaal	bezoeken
Landbouw	85.3%	4340.7	293	426	6311	18151
Urbaan	6.5%	325.1	68	87	416	4154
Suburbaan	3.0%	147.8	50	68	201	3019
Heide en duin	1.8%	89.7	41	91	199	2572
Bos	1.8%	89.0	53	190	319	3917
Moeras en water	1.7%	82.2	48	80	137	3064



Figuur 51.5: Paarsgewijze vergelijking tussen driejarige cycli voor Heggemus. Uitleg van de symbolen in tabel 4.1.



Figuur 51.6: Paarsgewijze vergelijking tussen jaren voor Heggemus. Uitleg van de symbolen in tabel 4.1.

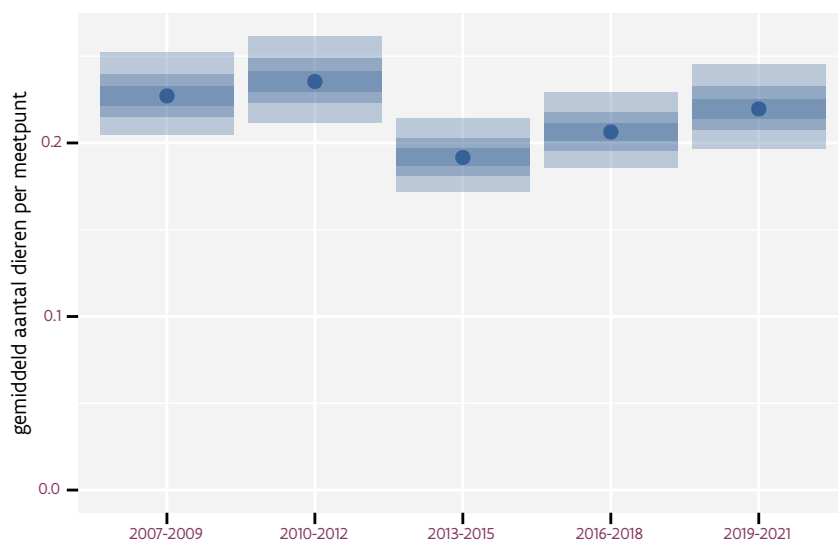
Tabel 51.2: Data-hashes van de analyses in het kader van traceerbaarheid (zie §5.3).

frequentie	model	analyse	status
jaarlijks	lineair	58ec8a1434dd846b6b33 3036785365cd98e72264	5ce5c20cf69736e884fd 1430545aa198d729207c
jaarlijks	niet-lineair	b436c9e7d1da0f6ed586 f8827e7523ce09e6a002	33c3c5a8f16bd39e9a87 a1f2f3e083d05f08cc4f
driejaarlijks	lineair	1d2a2174c0cc94f24361 d80244f4bc62b6bc7631	6380a0abfa472786b385 19af8c20c45e1bd090a5
driejaarlijks	niet-lineair	1ffd291616b2daf12764 b42e9d5966b2dabcc6fe	ebc311ea38deec9088ac 773b6eac077b4043e2e3

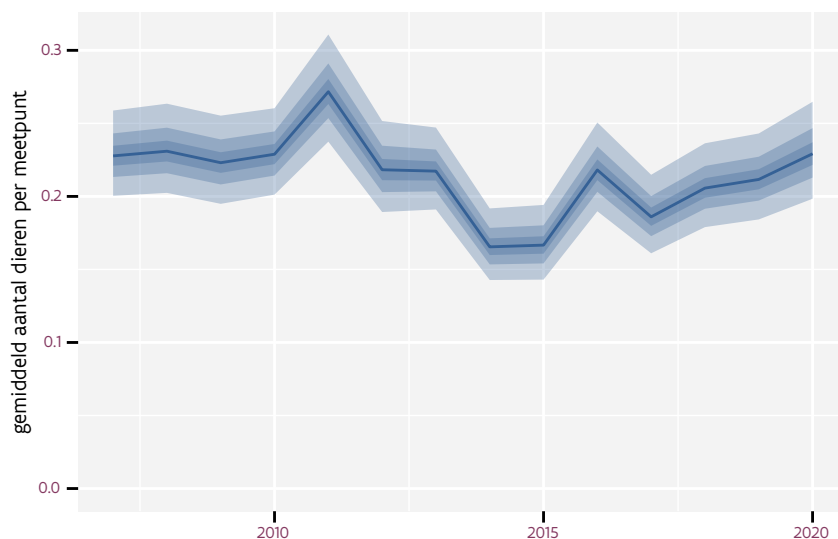
## 52 HOLENDUIF

Op basis van driejaarlijkse gegevens zien we gemiddeld een matige afname met  $-0.79\%$  ( $-1.45\%$ ;  $-0.13\%$ ) per jaar of  $-9.8\%$  ( $-17.2\%$ ;  $-1.7\%$ ) over de volledige looptijd van het meetnet. Deze trend is niet-lineair.

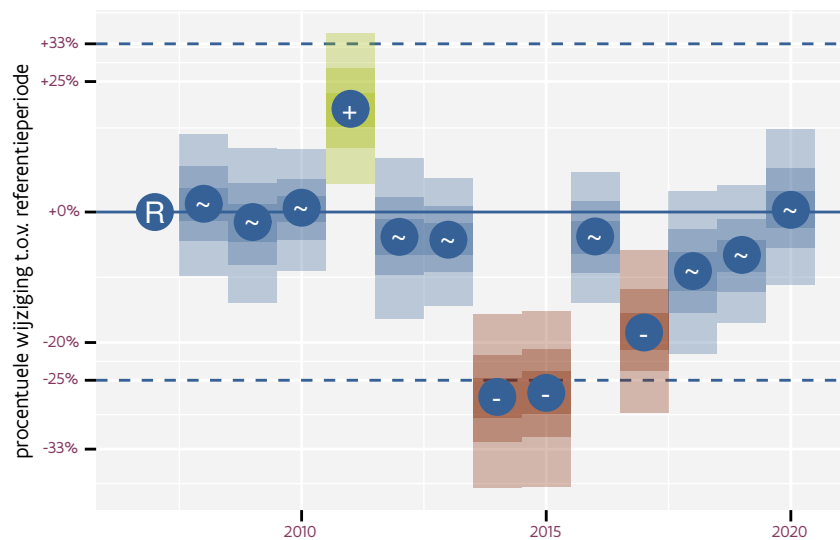
Op basis van jaarlijkse gegevens zien we gemiddeld een matige afname met  $-0.86\%$  ( $-1.52\%$ ;  $-0.21\%$ ) per jaar of  $-10.7\%$  ( $-18.0\%$ ;  $-2.6\%$ ) over de volledige looptijd van het meetnet. Deze trend is niet-lineair.



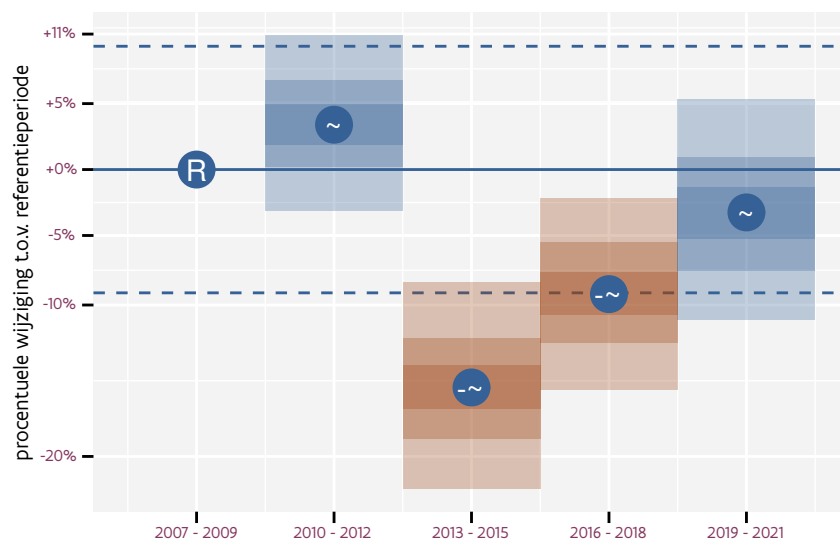
Figuur 52.1: Evolutie van het gemodeleerde gemiddeld aantal waargenomen dieren op een meetpunt voor Holenduif tijdens de referentieperiode. Zie §4.1 voor een verklaring van de intervallen.



Figuur 52.2: Evolutie van het gemodeleerde gemiddeld aantal waargenomen dieren op een meetpunt voor Holenduif tijdens de referentieperiode. Zie §4.1 voor een verklaring van de intervallen.



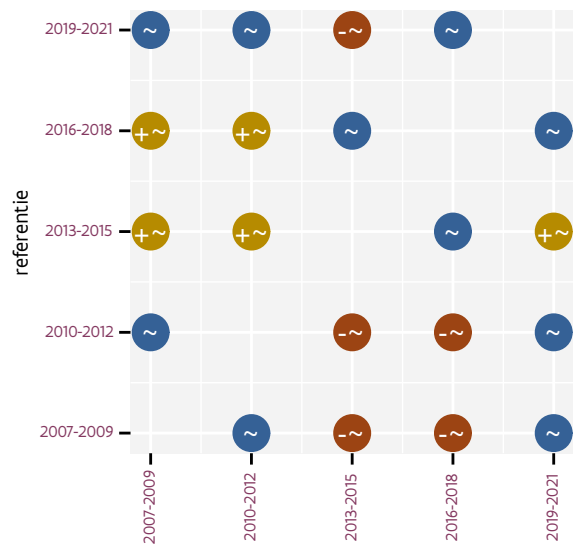
Figuur 52.3: Wijzigingen tussen jaren voor Holenduif. Zie §4.1 voor een verklaring van de intervallen en §4.2 voor uitleg over de symbolen en referentielijnen.



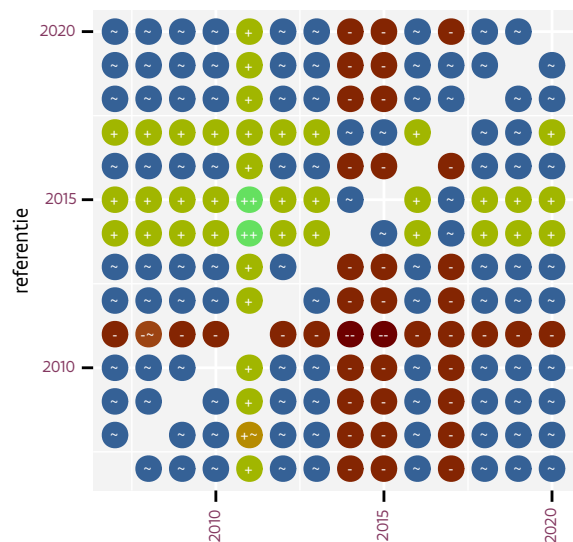
Figuur 52.4: Wijzigingen per driejarige cyclus voor Holenduif. Zie §4.1 voor een verklaring van de intervallen en §4.2 voor uitleg over de symbolen en referentielijnen.

Tabel 52.1: Stratumgewicht, raming aan het aantal hokken waarin de soort aanwezig is, aantal relevant hokken voor de analyse, aantal onderzochte hokken in het stratum, totaal aantal hokken van het stratum in Vlaanderen en aantal bezoeken aan een meetpunt voor Holenduif (zie §3.5).

stratum	gewicht	aanwezig	relevant	onderzocht	totaal	bezoeken
Landbouw	89.1%	3496.2	236	426	6311	15755
Bos	3.2%	124.2	74	190	319	5460
Urbaan	2.6%	95.6	20	87	416	1295
Suburbaan	2.2%	82.8	28	68	201	1649
Moeras en water	1.6%	61.6	36	80	137	2337
Heide en duin	1.2%	45.9	21	91	199	1764



Figuur 52.5: Paarsgewijze vergelijking tussen driejarige cycli voor Holenduif. Uitleg van de symbolen in tabel 4.1.



Figuur 52.6: Paarsgewijze vergelijking tussen jaren voor Holenduif. Uitleg van de symbolen in tabel 4.1.

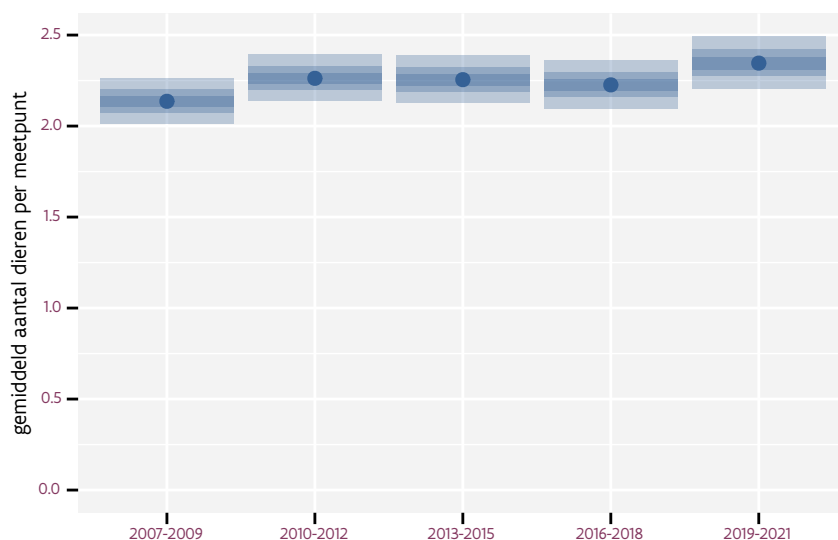
Tabel 52.2: Data-hashes van de analyses in het kader van traceerbaarheid (zie §5.3).

frequentie	model	analyse	status
jaarlijks	lineair	4f931924d19f93aa9094	da62280bdcc37bc048ff
		be906b3d1f53e83c3bf7	da5574ae911591c6ffe8
jaarlijks	niet-lineair	0c52e1f9fb607252b0bd	5d98b4488fb22c5bf325
		c0bdfa9cd2b723621a47	a6a037e66b8fee2b707b
driejaarlijks	lineair	0735c90371335dcba45a	191daddec43b9f8bbc6b
		8516e0f3ea163f01de2e	86b54b44d102fd9061f3
driejaarlijks	niet-lineair	9e3479b4a28b1bdfae1d	7ed6945ca02e1bcef5c9
		8bb4f4c74eabbe84debd	78683d0ffd7a311c5b69

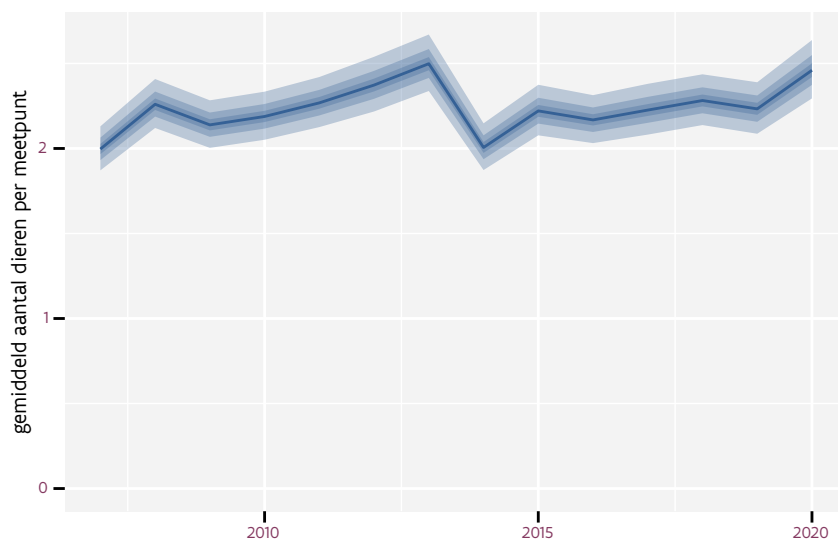
## 53 HOUTDUIF

Op basis van driejaarlijkse gegevens zien we gemiddeld een matige toename met +0.59% (+0.31%; +0.87%) per jaar of +7.92% (+4.09%; +11.89%) over de volledige looptijd van het meetnet. Deze trend is niet-lineair.

Op basis van jaarlijkse gegevens zien we gemiddeld een matige toename met +0.60% (+0.32%; +0.88%) per jaar of +8.14% (+4.30%; +12.13%) over de volledige looptijd van het meetnet. Deze trend is niet-lineair.

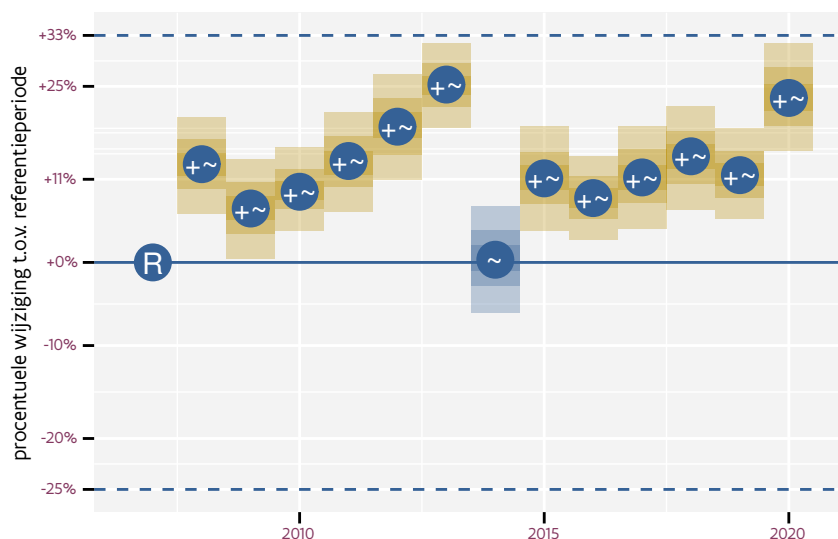


Figuur 53.1: Evolutie van het gemodeleerde gemiddeld aantal waargenomen dieren op een meetpunt voor Houtduif tijdens de referentieperiode. Zie §4.1 voor een verklaring van de intervallen.

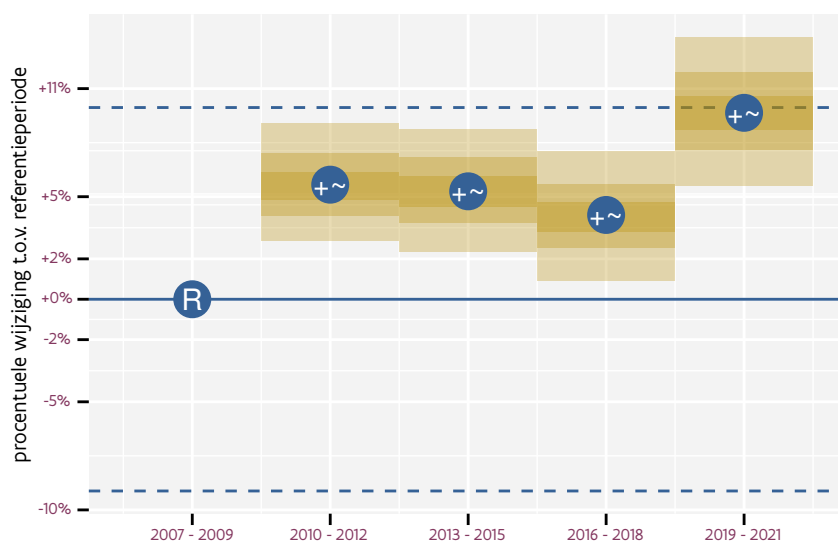


Figuur 53.2: Evolutie van het gemodeleerde gemiddeld aantal waargenomen dieren op een meetpunt voor Houtduif tijdens de referentieperiode. Zie §4.1 voor een verklaring van de intervallen.





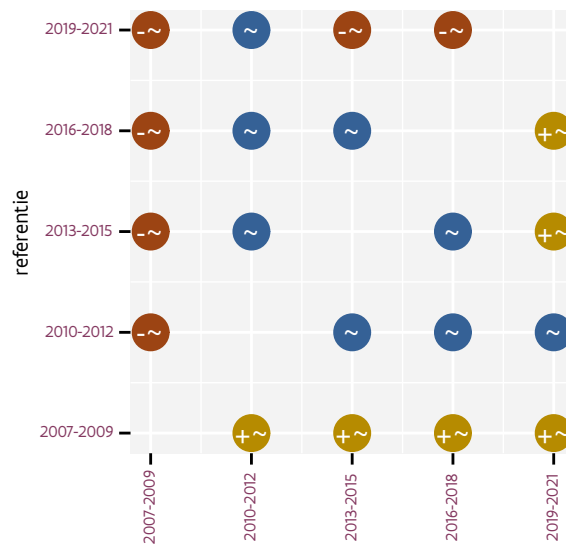
Figuur 53.3: Wijzigingen tussen jaren voor Houtduif. Zie §4.1 voor een verklaring van de intervallen en §4.2 voor uitleg over de symbolen en referentielijnen.



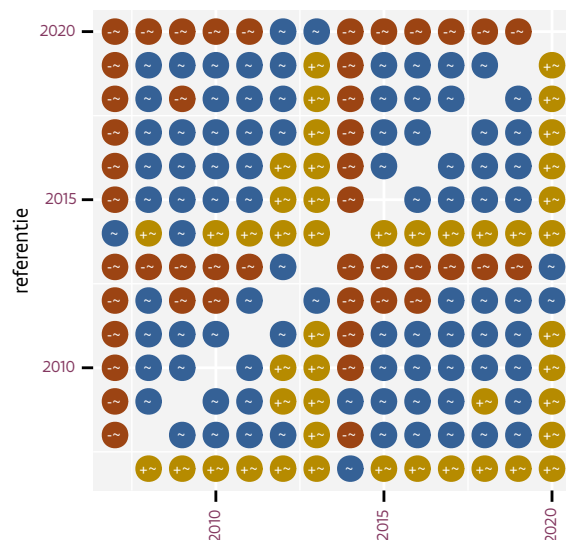
Figuur 53.4: Wijzigingen per driejarige cyclus voor Houtduif. Zie §4.1 voor een verklaring van de intervallen en §4.2 voor uitleg over de symbolen en referentielijnen.

Tabel 53.1: Stratumgewicht, raming aan het aantal hokken waarin de soort aanwezig is, aantal relevant hokken voor de analyse, aantal onderzochte hokken in het stratum, totaal aantal hokken van het stratum in Vlaanderen en aantal bezoeken aan een meetpunt voor Houtduif (zie §3.5).

stratum	gewicht	aanwezig	relevant	onderzocht	totaal	bezoeken
Landbouw	82.7%	4962.9	335	426	6311	20354
Urbaan	5.8%	344.3	72	87	416	4343
Bos	3.9%	233.4	139	190	319	8742
Heide en duin	3.0%	174.9	80	91	199	4776
Suburbaan	2.8%	165.5	56	68	201	3245
Moeras en water	1.8%	104.5	61	80	137	3710



Figuur 53.5: Paarsgewijze vergelijking tussen driejarige cycli voor Houtduif. Uitleg van de symbolen in tabel 4.1.



Figuur 53.6: Paarsgewijze vergelijking tussen jaren voor Houtduif. Uitleg van de symbolen in tabel 4.1.

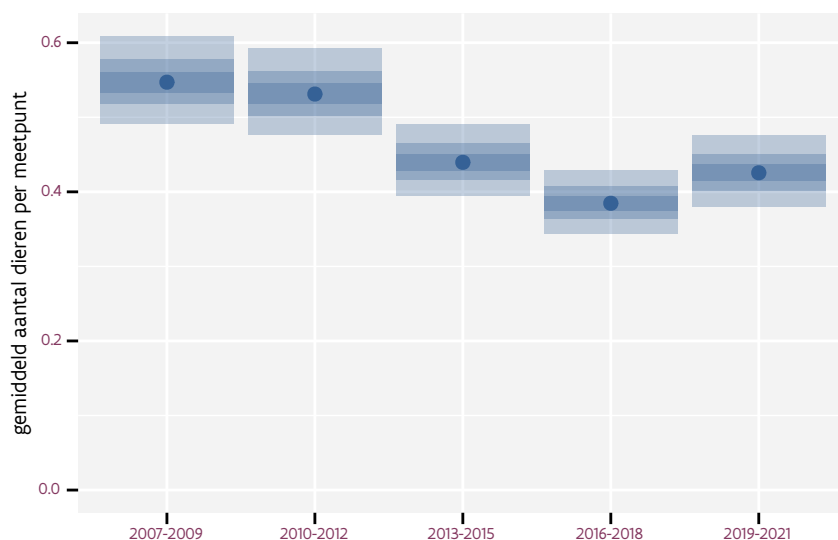
Tabel 53.2: Data-hashes van de analyses in het kader van traceerbaarheid (zie §5.3).

frequentie	model	analyse	status
jaarlijks	lineair	ecc4abca0a8c90c9e41a 9e5c53499fe688581122	3381e5d598f7b6a73f04 d90c3beab75347d6cf7c
jaarlijks	niet-lineair	c4249bc44e1efc6ab520 0998feb2bc88b8509fdd	f152f712a6ff905cdbeb 3b546af857023e196039
driejaarlijks	lineair	28e38d02c3db100a212f a151197edf31aec2e3e7	23fcb625cfc4eda0730f 9ee285a5b4b091ef2cfe
driejaarlijks	niet-lineair	f3c84fcd31d0fa1ebb6a de5985d5821737e03f8a	95877d1069d58c10c08e ebd1b54b16bf8cca5b7c

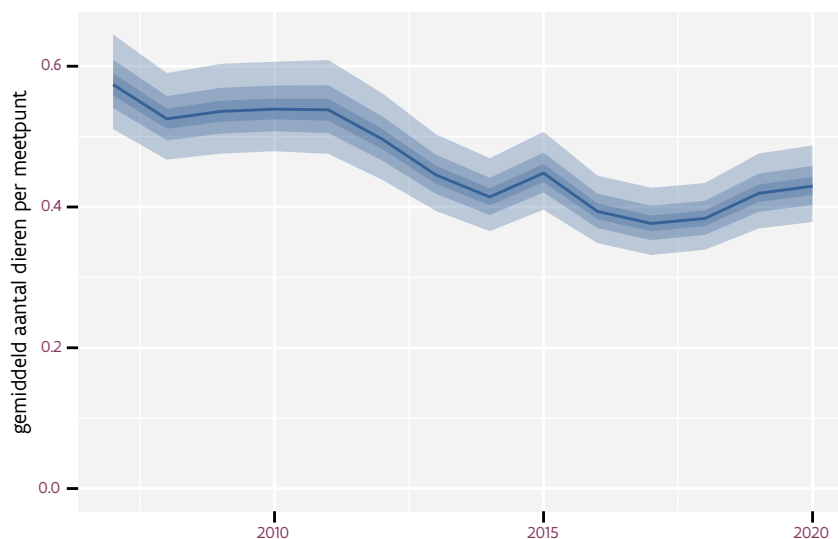
## 54 HUISMUS

Op basis van driejaarlijkse gegevens zien we gemiddeld een sterke afname met -2.96% (-3.38%; -2.53%) per jaar of -32.3% (-36.1%; -28.3%) over de volledige looptijd van het meetnet. Deze trend is niet-lineair.

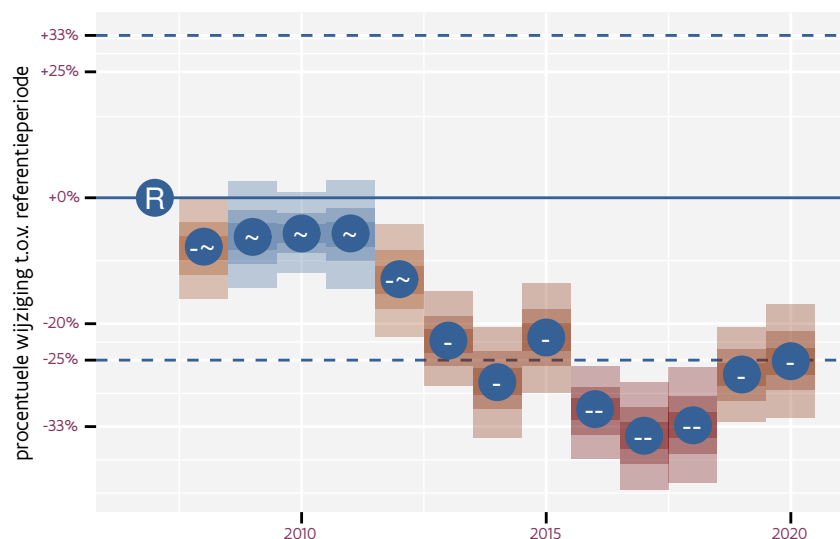
Op basis van jaarlijkse gegevens zien we gemiddeld een sterke afname met -2.98% (-3.40%; -2.55%) per jaar of -32.5% (-36.2%; -28.5%) over de volledige looptijd van het meetnet. Deze trend is niet-lineair.



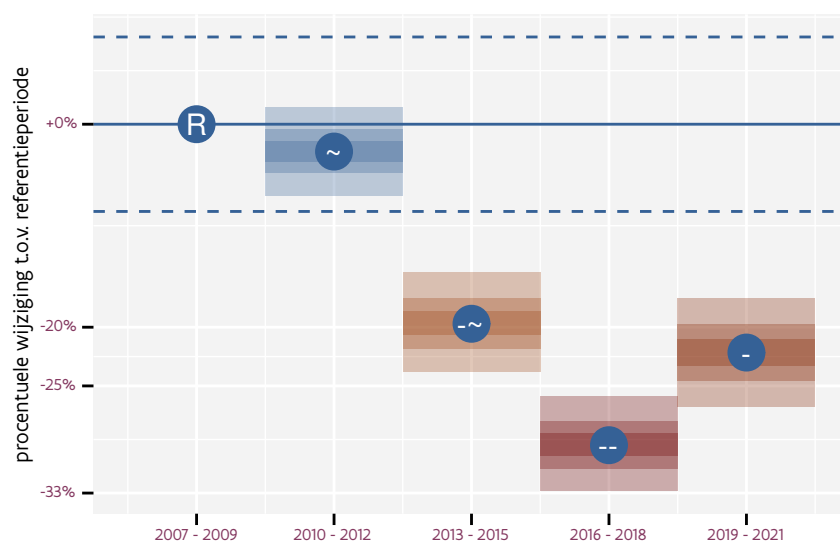
Figuur 54.1: Evolutie van het gemodeleerde gemiddeld aantal waargenomen dieren op een meetpunt voor Huisumus tijdens de referentieperiode. Zie §4.1 voor een verklaring van de intervallen.



Figuur 54.2: Evolutie van het gemodeleerde gemiddeld aantal waargenomen dieren op een meetpunt voor Huisumus tijdens de referentieperiode. Zie §4.1 voor een verklaring van de intervallen.



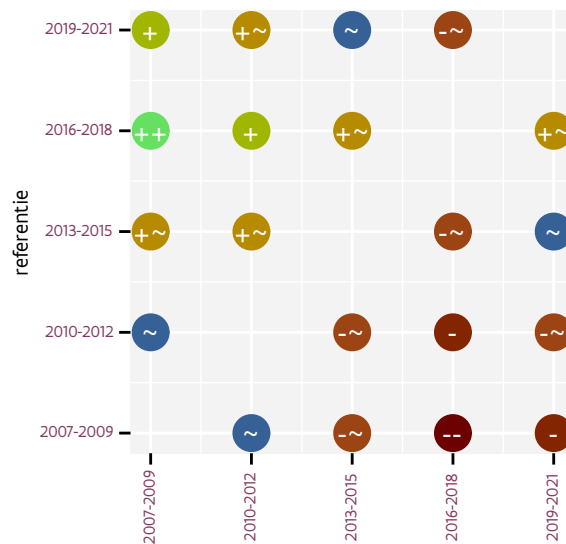
Figuur 54.3: Wijzigingen tussen jaren voor Huismus. Zie §4.1 voor een verklaring van de intervallen en §4.2 voor uitleg over de symbolen en referentielijnen.



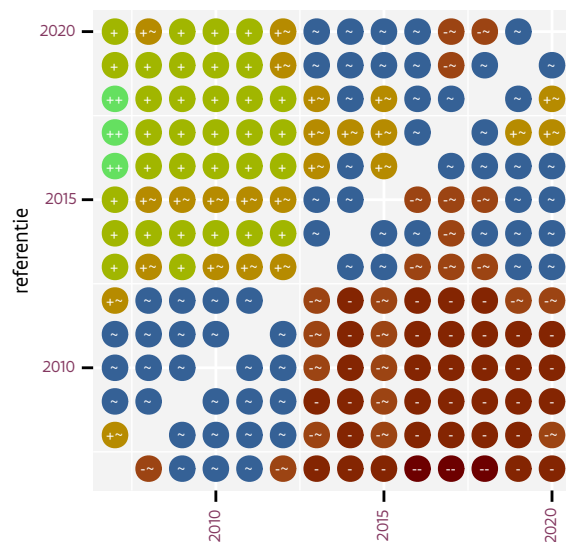
Figuur 54.4: Wijzigingen per driejarige cyclus voor Huismus. Zie §4.1 voor een verklaring van de intervallen en §4.2 voor uitleg over de symbolen en referentielijnen.

Tabel 54.1: Stratungewicht, raming aan het aantal hokken waarin de soort aanwezig is, aantal relevant hokken voor de analyse, aantal onderzochte hokken in het stratum, totaal aantal hokken van het stratum in Vlaanderen en aantal bezoeken aan een meetpunt voor Huismus (zie §3.5).

stratum	gewicht	aanwezig	relevant	onderzocht	totaal	bezoeken
Landbouw	88.2%	4177.7	282	426	6311	17329
Urbaan	7.3%	339.5	71	87	416	4314
Suburbaan	2.3%	103.5	35	68	201	2302
Heide en duin	0.9%	41.5	19	91	199	1037
Moeras en water	0.9%	41.1	24	80	137	1495
Bos	0.4%	16.8	10	190	319	753



Figuur 54.5: Paarsgewijze vergelijking tussen driejarige cycli voor Huismus. Uitleg van de symbolen in tabel 4.1.



Figuur 54.6: Paarsgewijze vergelijking tussen jaren voor Huismus. Uitleg van de symbolen in tabel 4.1.

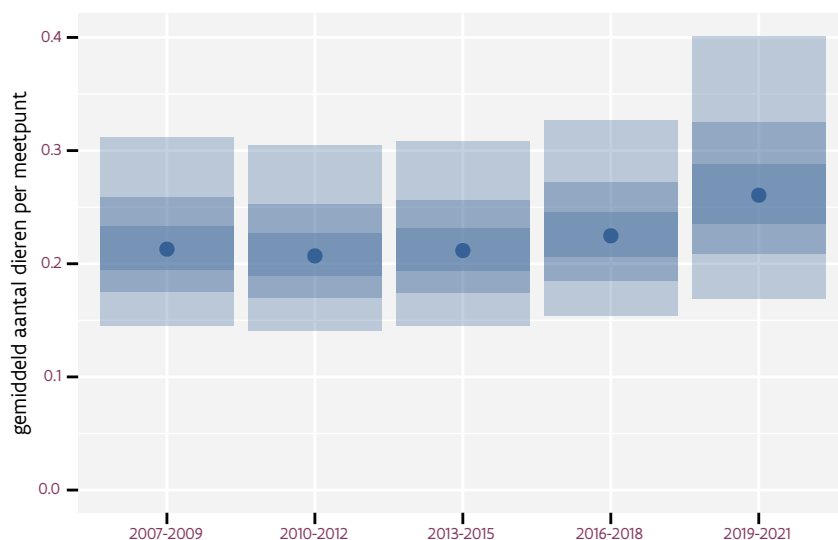
Tabel 54.2: Data-hashes van de analyses in het kader van traceerbaarheid (zie §5.3).

frequentie	model	analyse	status
jaarlijks	lineair	ea66b4e37cfbf47d8d51 7d48f3a2ca3a65fd1ae9	683203f8ca8309daa72b c69b53d6ef208f9422f4
jaarlijks	niet-lineair	e36e511fab3218407d5b be9cdf9daebae373832f	4e8acc41ee04d4fe19d0 5bf001373c148b1d3f00
driejaarlijks	lineair	601b06e471c1db6dc3be a2372fb82210b2efe193	17425a78ed5b14ec8186 c4784b3016bce146f4f1
driejaarlijks	niet-lineair	e2dcf62d31e61e89a6d2 f9ab610f7d53bb2d8ed3	47f7459a36356836cf70 83b2866352fc5b5c91d8

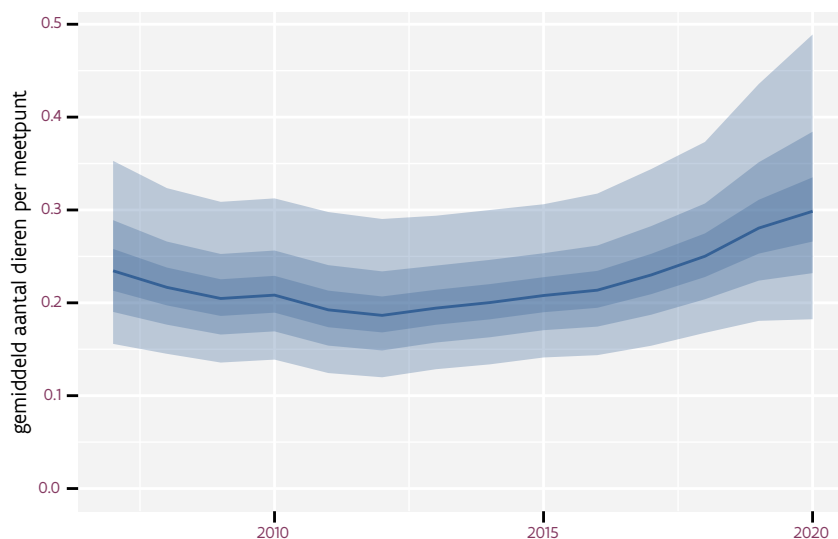
## 55 HUISZWALUW

Op basis van driejaarlijkse gegevens zien we gemiddeld een mogelijke toename met +3.3% (-0.2%; +6.9%) per jaar of +53% (-2%; +139%) over de volledige looptijd van het meetnet. Deze trend is niet-lineair.

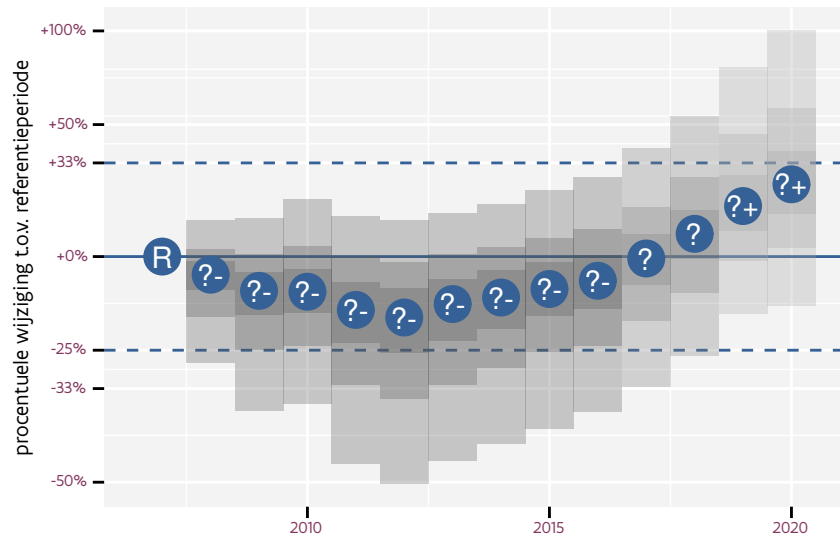
Op basis van jaarlijkse gegevens zien we gemiddeld een mogelijke toename met +2.5% (-0.9%; +6.0%) per jaar of +38% (-11%; +115%) over de volledige looptijd van het meetnet. Deze trend is niet-lineair.



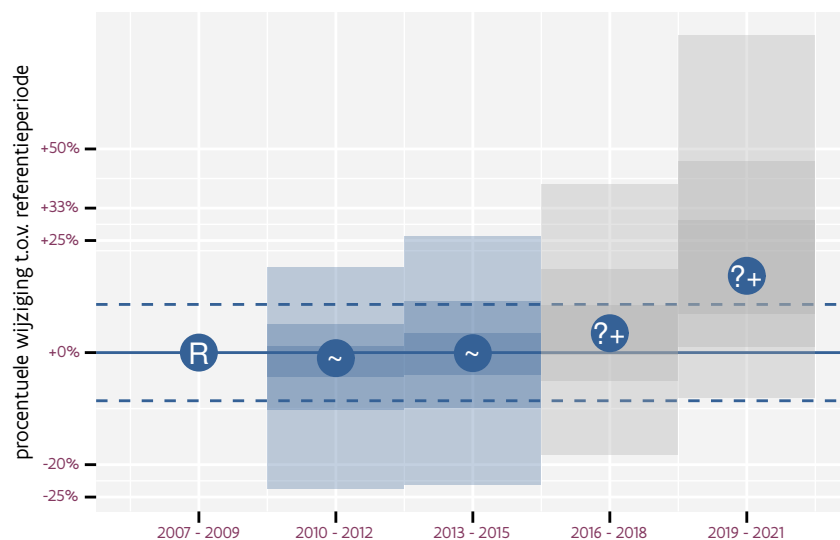
Figuur 55.1: Evolutie van het gemodeleerde gemiddeld aantal waargenomen dieren op een meetpunt voor Huiszwaluw tijdens de referentieperiode. Zie §4.1 voor een verklaring van de intervallen.



Figuur 55.2: Evolutie van het gemodeleerde gemiddeld aantal waargenomen dieren op een meetpunt voor Huiszwaluw tijdens de referentieperiode. Zie §4.1 voor een verklaring van de intervallen.



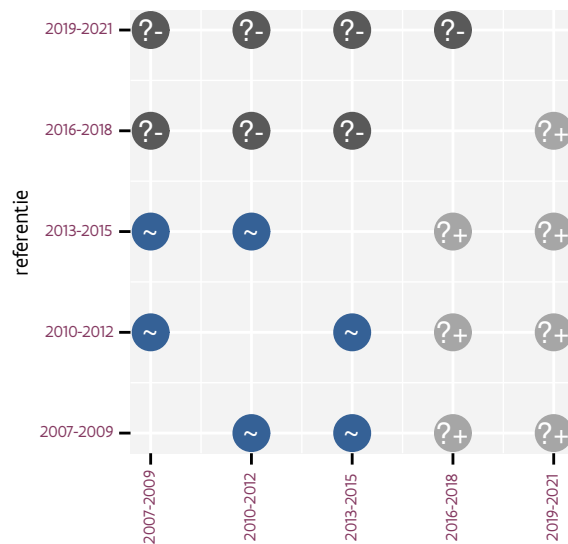
Figuur 55.3: Wijzigingen tussen jaren voor Huiszwaluw. Zie §4.1 voor een verklaring van de intervallen en §4.2 voor uitleg over de symbolen en referentielijnen.



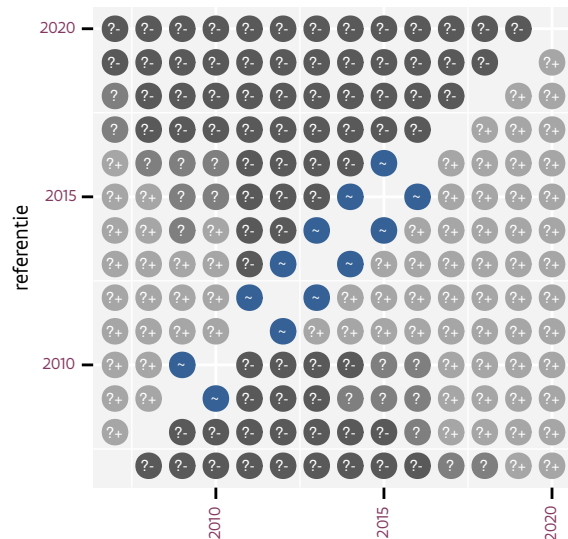
Figuur 55.4: Wijzigingen per driejarige cyclus voor Huiszwaluw. Zie §4.1 voor een verklaring van de intervallen en §4.2 voor uitleg over de symbolen en referentielijnen.

Tabel 55.1: Stratungewicht, raming aan het aantal hokken waarin de soort aanwezig is, aantal relevant hokken voor de analyse, aantal onderzochte hokken in het stratum, totaal aantal hokken van het stratum in Vlaanderen en aantal bezoeken aan een meetpunt voor Huiszwaluw (zie §3.5).

stratum	gewicht	aanwezig	relevant	onderzocht	totaal	bezoeken
Landbouw	93.2%	651.8	44	426	6311	1894
Urbaan	4.1%	23.9	5	87	416	217
Moeras en water	1.7%	10.3	6	80	137	258
Bos	1.0%	5.0	3	190	319	126



Figuur 55.5: Paarsgewijze vergelijking tussen driejarige cycli voor Huiszwaluw. Uitleg van de symbolen in tabel 4.1.



Figuur 55.6: Paarsgewijze vergelijking tussen jaren voor Huiszwaluw. Uitleg van de symbolen in tabel 4.1.

Tabel 55.2: Data-hashes van de analyses in het kader van traceerbaarheid (zie §5.3).

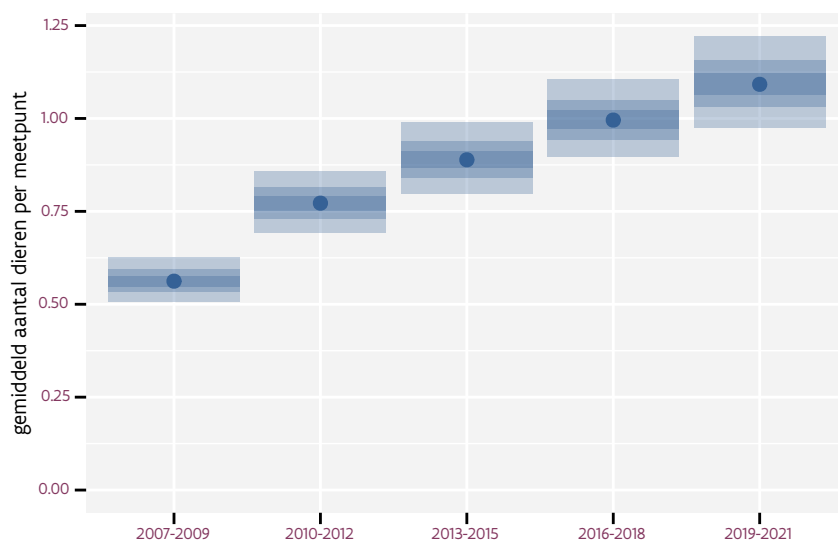
frequentie	model	analyse	status
jaarlijks	lineair	26993e9f0bf4d129844c 4f0420732b7d726a2acb	e2f026b46ff74ae274f8 0e14fc03203ecd21d252
jaarlijks	niet-lineair	c801eef73a2c5760ff25 25e25297b738fa759bac	f87aece6d2764613c5e2 49d4b93daae0f190f7e9
driejaarlijks	lineair	ce8fb76cc677aa59a52b 9823d7d0c7f34bf95936	882252b86529d7507162 d3ab9590b7c7561df246
driejaarlijks	niet-lineair	077997c6daa1ee8971fa 4b57a91976962ebd1729	dfdf170728d9df705aaf 158049a5c7faf46b3e35



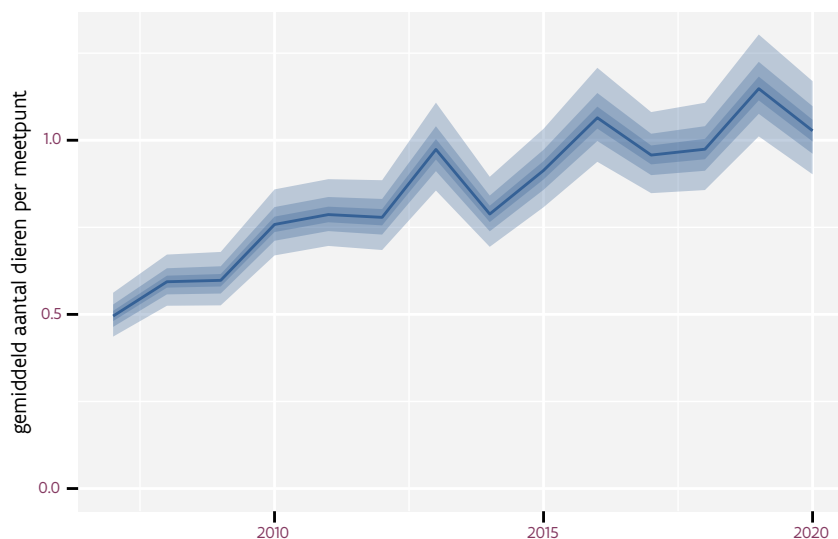
## 56 KAUW

Op basis van driejaarlijkse gegevens zien we gemiddeld een sterke toename met +5.7% (+5.1%; +6.2%) per jaar of +105.0% (+91.5%; +119.4%) over de volledige looptijd van het meetnet. Deze trend is niet-lineair.

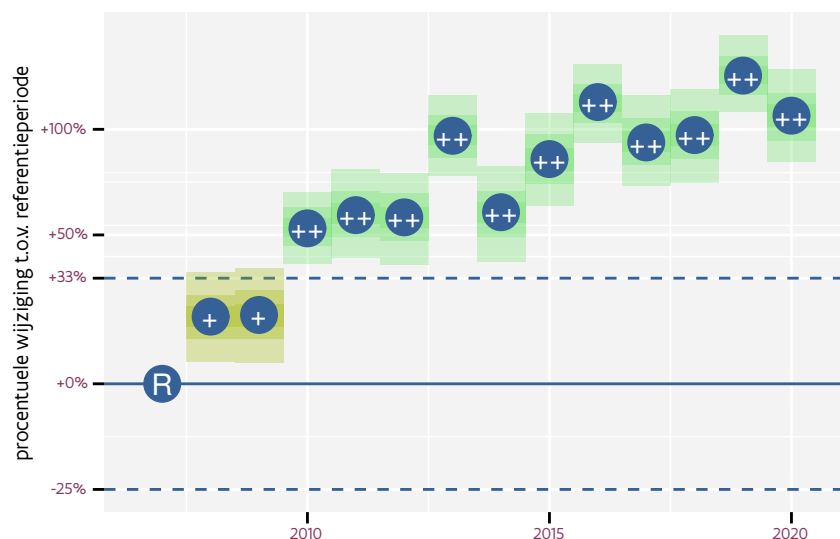
Op basis van jaarlijkse gegevens zien we gemiddeld een sterke toename met +5.7% (+5.1%; +6.2%) per jaar of +104.4% (+90.9%; +118.9%) over de volledige looptijd van het meetnet. Deze trend is niet-lineair.



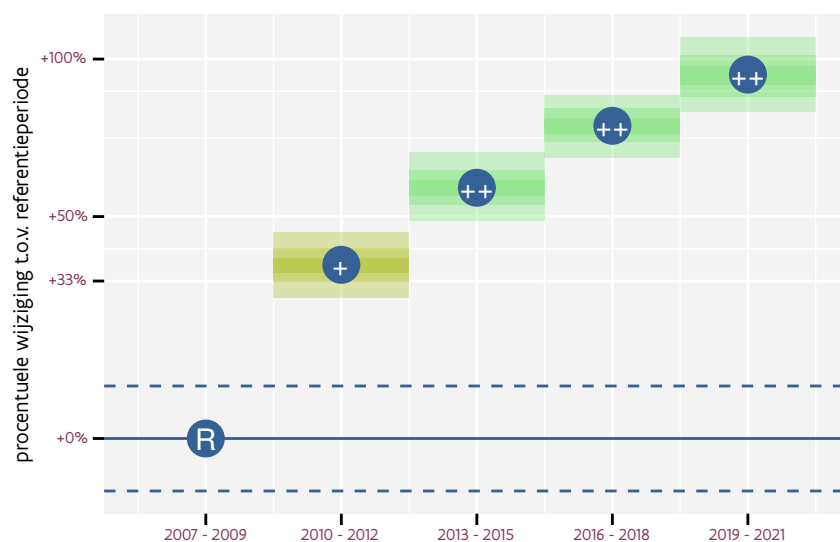
Figuur 56.1: Evolutie van het gemodeleerde gemiddeld aantal waargenomen dieren op een meetpunt voor Kauw tijdens de referentieperiode. Zie §4.1 voor een verklaring van de intervallen.



Figuur 56.2: Evolutie van het gemodeleerde gemiddeld aantal waargenomen dieren op een meetpunt voor Kauw tijdens de referentieperiode. Zie §4.1 voor een verklaring van de intervallen.



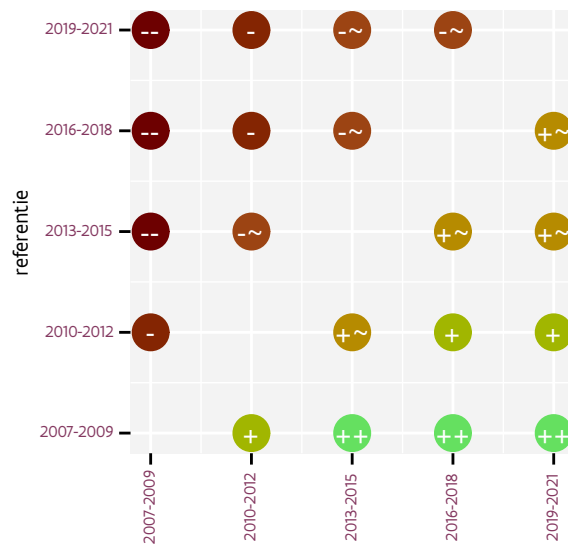
Figuur 56.3: Wijzigingen tussen jaren voor Kaww. Zie §4.1 voor een verklaring van de intervallen en §4.2 voor uitleg over de symbolen en referentielijnen.



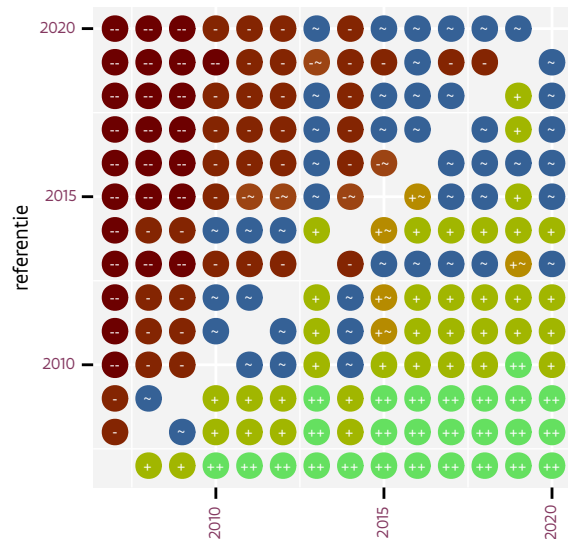
Figuur 56.4: Wijzigingen per driejarige cyclus voor Kaww. Zie §4.1 voor een verklaring van de intervallen en §4.2 voor uitleg over de symbolen en referentielijnen.

Tabel 56.1: Stratumgewicht, raming aan het aantal hokken waarin de soort aanwezig is, aantal relevant hokken voor de analyse, aantal onderzochte hokken in het stratum, totaal aantal hokken van het stratum in Vlaanderen en aantal bezoeken aan een meetpunt voor Kaww (zie §3.5).

stratum	gewicht	aanwezig	relevant	onderzocht	totaal	bezoeken
Landbouw	85.9%	4385.1	296	426	6311	18523
Urbaan	6.5%	325.1	68	87	416	4105
Suburbaan	2.6%	130.1	44	68	201	2782
Bos	1.8%	87.3	52	190	319	3905
Heide en duin	1.7%	85.3	39	91	199	2554
Moeras en water	1.5%	73.6	43	80	137	2666



Figuur 56.5: Paarsgewijze vergelijking tussen driejarige cycli voor Kauw. Uitleg van de symbolen in tabel 4.1.



Figuur 56.6: Paarsgewijze vergelijking tussen jaren voor Kauw. Uitleg van de symbolen in tabel 4.1.

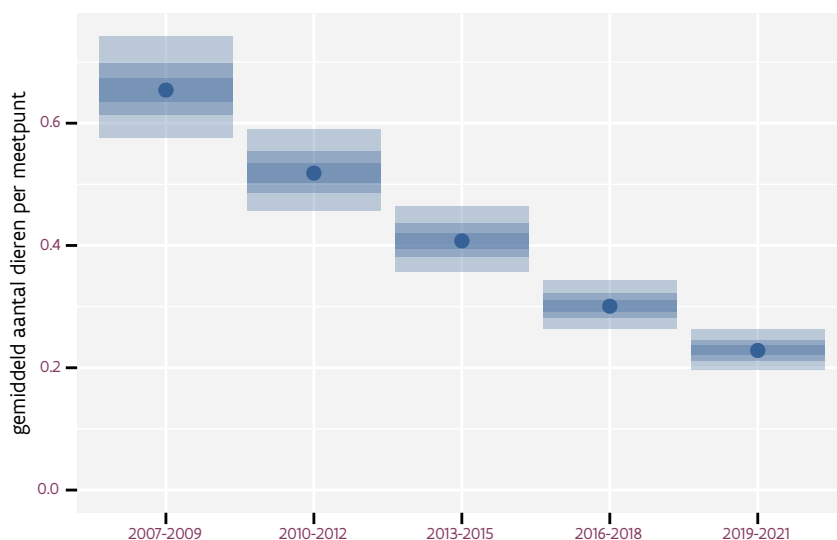
Tabel 56.2: Data-hashes van de analyses in het kader van traceerbaarheid (zie §5.3).

frequentie	model	analyse	status
jaarlijks	lineair	Oba2b3557d27d3578657 b8142d5c4eb4da6ecd48	af328b07d5a3c16d0e79 8003082c54249a0874e1
jaarlijks	niet-lineair	3217550df10069ab3b68 b9355535056c8a1c339d	22481f842e225dcc9dbc b095dd4aa4d11d3bb1e2
driejaarlijks	lineair	23f7f12b1b9498f9c5a1 2ed0ee12afa174bd8cd1	5cfd40931d0538a765d 231043aaa093e66c011a
driejaarlijks	niet-lineair	b12a5d90646b07f9da3b e1513eacad7cd33f74b4	7e5bc5cf9cd4fae74f5a 6e8453551ce9491be601

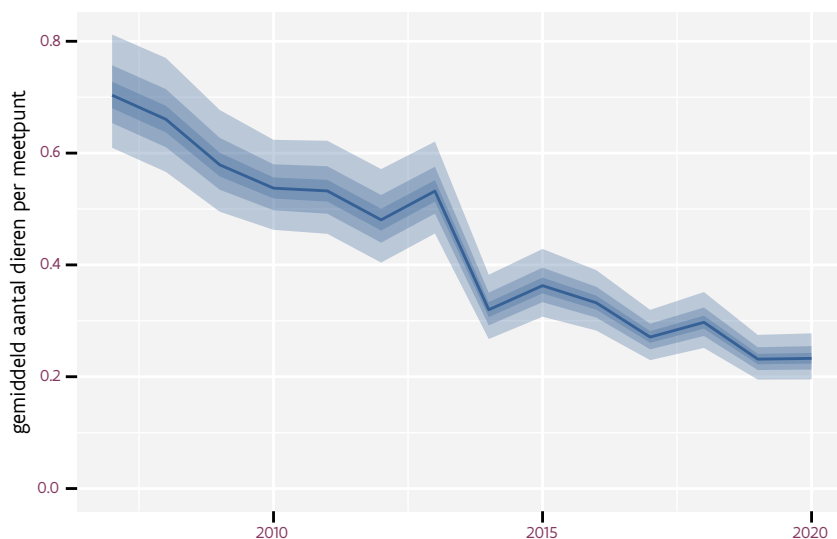
## 57 KIEVIT

Op basis van driejaarlijkse gegevens zien we gemiddeld een sterke afname met -8.5% (-9.1%; -7.8%) per jaar of -68.4% (-71.2%; -65.3%) over de volledige looptijd van het meetnet. Deze trend is lineair.

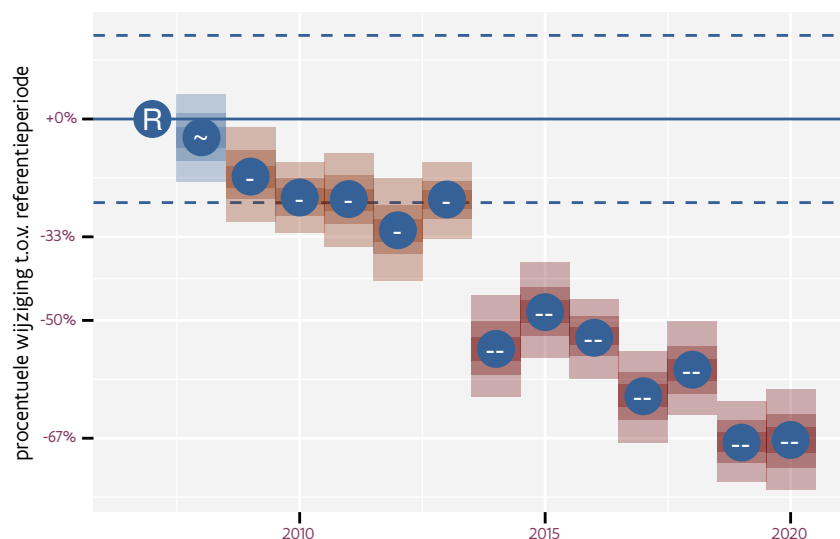
Op basis van jaarlijkse gegevens zien we gemiddeld een sterke afname met -8.5% (-9.1%; -7.8%) per jaar of -68.4% (-71.3%; -65.4%) over de volledige looptijd van het meetnet. Deze trend is niet-lineair.



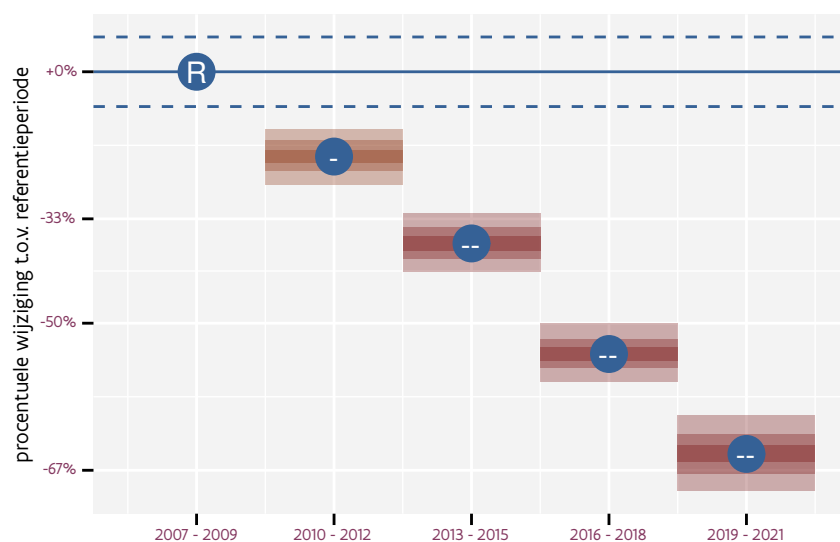
Figuur 57.1: Evolutie van het gemodeleerde gemiddeld aantal waargenomen dieren op een meetpunt voor Kievit tijdens de referentieperiode. Zie §4.1 voor een verklaring van de intervallen.



Figuur 57.2: Evolutie van het gemodeleerde gemiddeld aantal waargenomen dieren op een meetpunt voor Kievit tijdens de referentieperiode. Zie §4.1 voor een verklaring van de intervallen.



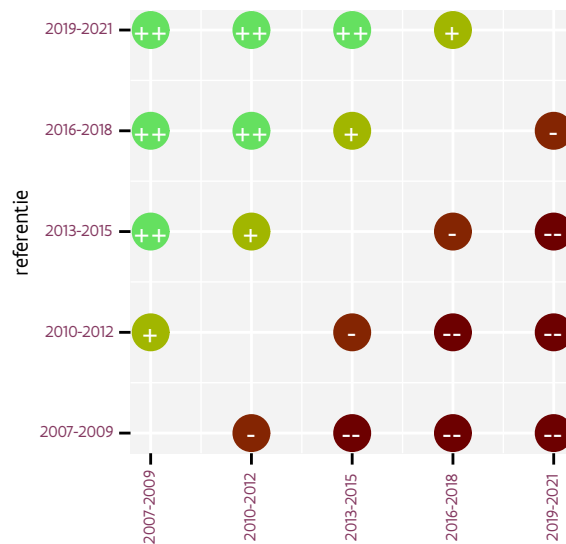
Figuur 57.3: Wijzigingen tussen jaren voor Kievit. Zie §4.1 voor een verklaring van de intervallen en §4.2 voor uitleg over de symbolen en referentielijnen.



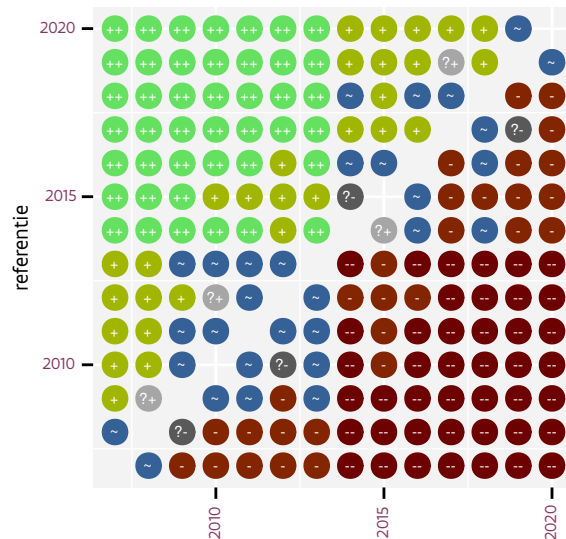
Figuur 57.4: Wijzigingen per driejarige cyclus voor Kievit. Zie §4.1 voor een verklaring van de intervallen en §4.2 voor uitleg over de symbolen en referentielijnen.

Tabel 57.1: Stratumgewicht, raming aan het aantal hokken waarin de soort aanwezig is, aantal relevant hokken voor de analyse, aantal onderzochte hokken in het stratum, totaal aantal hokken van het stratum in Vlaanderen en aantal bezoeken aan een meetpunt voor Kievit (zie §3.5).

stratum	gewicht	aanwezig	relevant	onderzocht	totaal	bezoeken
Landbouw	96.5%	4355.5	294	426	6311	18286
Moeras en water	1.0%	41.1	24	80	137	1573
Urbaan	0.7%	28.7	6	87	416	449
Bos	0.6%	26.9	16	190	319	1137
Heide en duin	0.6%	26.2	12	91	199	936
Suburbaan	0.5%	20.7	7	68	201	395



Figuur 57.5: Paarsgewijze vergelijking tussen driejarige cycli voor Kievit. Uitleg van de symbolen in tabel 4.1.



Figuur 57.6: Paarsgewijze vergelijking tussen jaren voor Kievit. Uitleg van de symbolen in tabel 4.1.

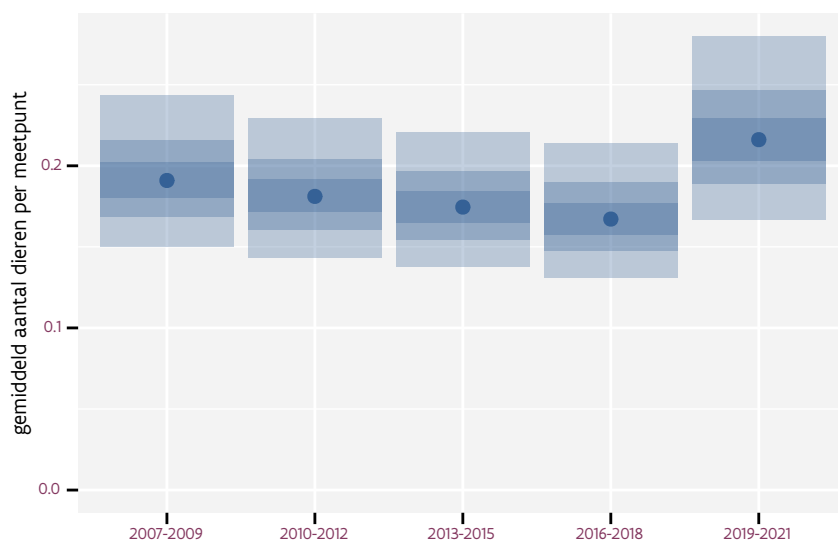
Tabel 57.2: Data-hashes van de analyses in het kader van traceerbaarheid (zie §5.3).

frequentie	model	analyse	status
jaarlijks	lineair	c42db929991210a85dfd 5a20f10bd83ab7743c6d	6ed1ee67659129589dc9 33e630fd28ff26f24f9f
jaarlijks	niet-lineair	31633986e8a5458c1158 50478bfdd8ab024ee102	f8fecb6a6c0f8b85baa1 9dc3f50357ccca31a703
driejaarlijks	lineair	6dc92feaab75f95a7709 ed0f4eb4c2e5fcff371e	ce613702daf57c7927d6 348dd71bd4de88841579
driejaarlijks	niet-lineair	8130d1bb6d6dc9d0820e 1b323c70ea8c042bcff5	ae10a201b2de3542f15b 6046be7dace357edfc47

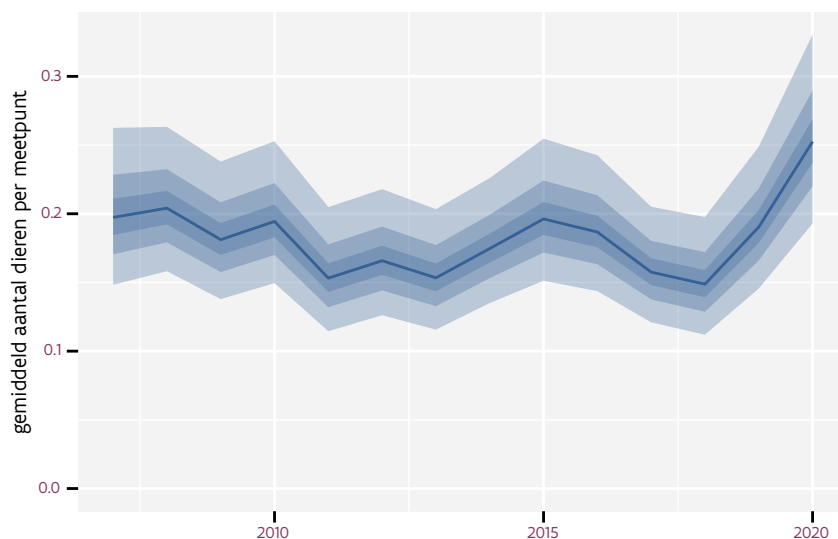
## 58 KLEINE KAREKIET

Op basis van driejaarlijkse gegevens zien we gemiddeld een stabiele trend van +0.6% (-0.8%; +2.0%) per jaar of +8% (-10%; +30%) over de volledige looptijd van het meetnet. Deze trend is niet-lineair.

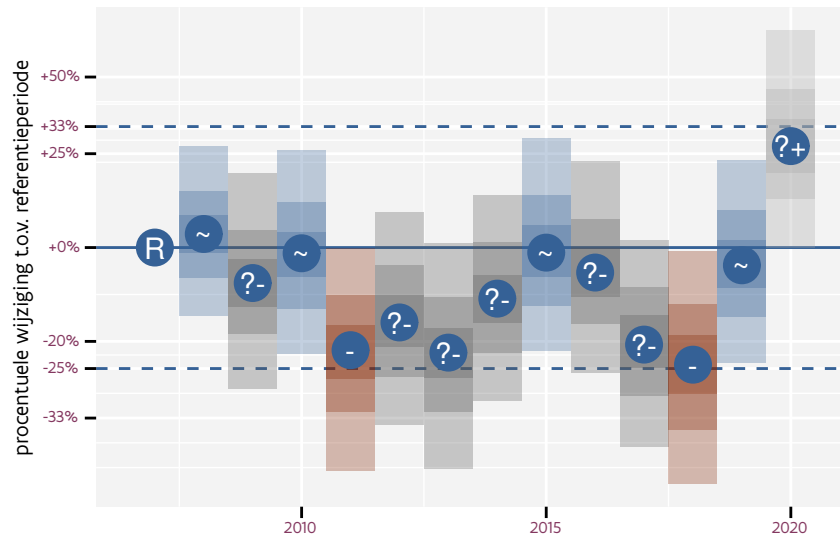
Op basis van jaarlijkse gegevens zien we gemiddeld een stabiele trend van +0.46% (-0.96%; +1.89%) per jaar of +6% (-12%; +28%) over de volledige looptijd van het meetnet. Deze trend is niet-lineair.



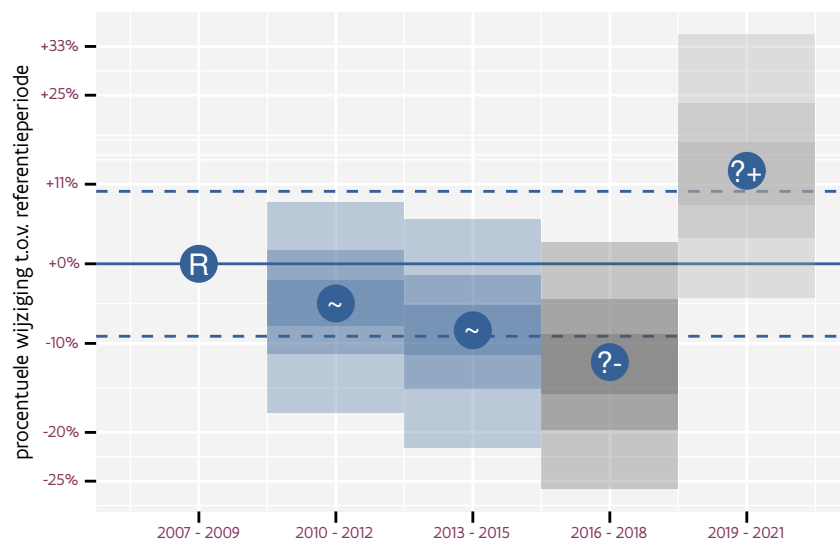
Figuur 58.1: Evolutie van het gemodeleerde gemiddeld aantal waargenomen dieren op een meetpunt voor Kleine karekiet tijdens de referentieperiode. Zie §4.1 voor een verklaring van de intervallen.



Figuur 58.2: Evolutie van het gemodeleerde gemiddeld aantal waargenomen dieren op een meetpunt voor Kleine karekiet tijdens de referentieperiode. Zie §4.1 voor een verklaring van de intervallen.



Figuur 58.3: Wijzigingen tussen jaren voor Kleine karekiet. Zie §4.1 voor een verklaring van de intervallen en §4.2 voor uitleg over de symbolen en referentielijnen.

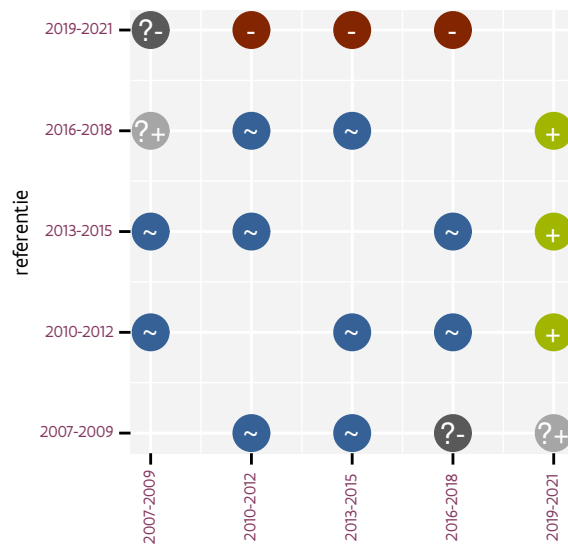


Figuur 58.4: Wijzigingen per driejarige cyclus voor Kleine karekiet. Zie §4.1 voor een verklaring van de intervallen en §4.2 voor uitleg over de symbolen en referentielijnen.

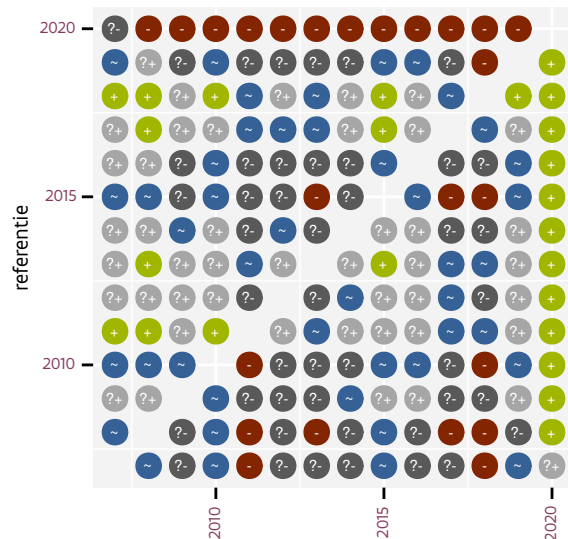
Tabel 58.1: Stratumgewicht, raming aan het aantal hokken waarin de soort aanwezig is, aantal relevant hokken voor de analyse, aantal onderzochte hokken in het stratum, totaal aantal hokken van het stratum in Vlaanderen en aantal bezoeken aan een meetpunt voor Kleine karekiet (zie §3.5).

stratum	gewicht	aanwezig	relevant	onderzocht	totaal	bezoeken
Landbouw	88.3%	770.4	52	426	6311	2358
Moeras en water	7.7%	65.1	38	80	137	1734
Suburbaan	2.0%	14.8	5	68	201	130
Heide en duin	2.0%	15.3	7	91	199	264





Figuur 58.5: Paarsgewijze vergelijking tussen driejarige cycli voor Kleine karekiet. Uitleg van de symbolen in tabel 4.1.



Figuur 58.6: Paarsgewijze vergelijking tussen jaren voor Kleine karekiet. Uitleg van de symbolen in tabel 4.1.

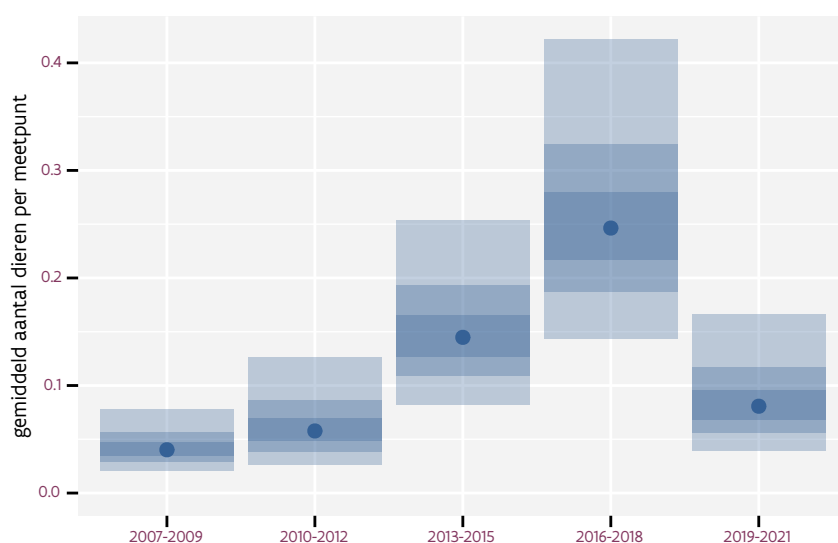
Tabel 58.2: Data-hashes van de analyses in het kader van traceerbaarheid (zie §5.3).

frequentie	model	analyse	status
jaarlijks	lineair	fb773231473b11e4bbcd 59c0035c680407caf020	fe8534d3d557495298bb 5f0f353b0de3a554f3b8
jaarlijks	niet-lineair	8e739e47ecfc0abff72e 5bf5d78e3553c61c4bba	5d0c3fe41acec7aa0d01 bbbcbc50752a6d32d238
driejaarlijks	lineair	559d74c7d5f70e654d32 9e1a9f0fbad07d21afb9	75442c94cef252fd5574 f39b5b354f8525934482
driejaarlijks	niet-lineair	7616fdeb15524ff0af1d 60d9de03e2d88dc35847	9c3eeeb1171cbead063f ababceb25ade7f3cf7b6

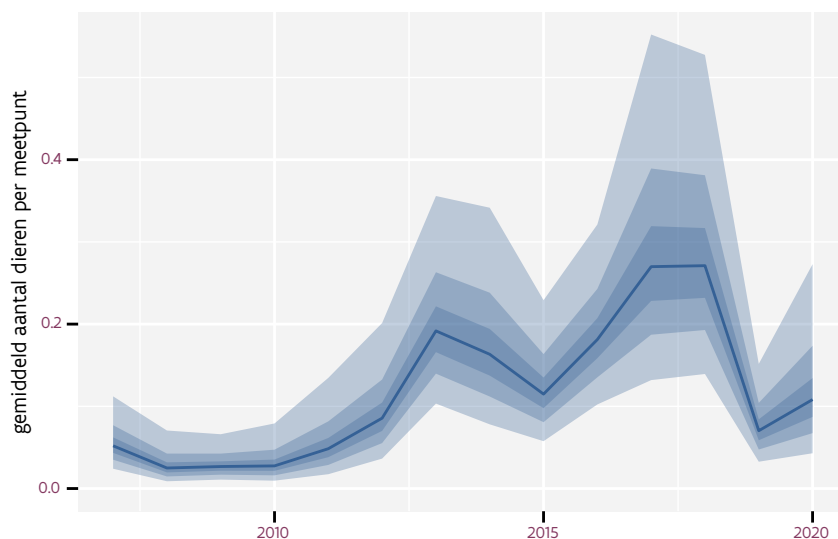
## 59 KLEINE MANTELMEEUW

Op basis van driejaarlijkse gegevens zien we gemiddeld een sterke toename met +13.3% (+7.5%; +19.4%) per jaar of +410% (+150%; +910%) over de volledige looptijd van het meetnet. Deze trend is niet-lineair.

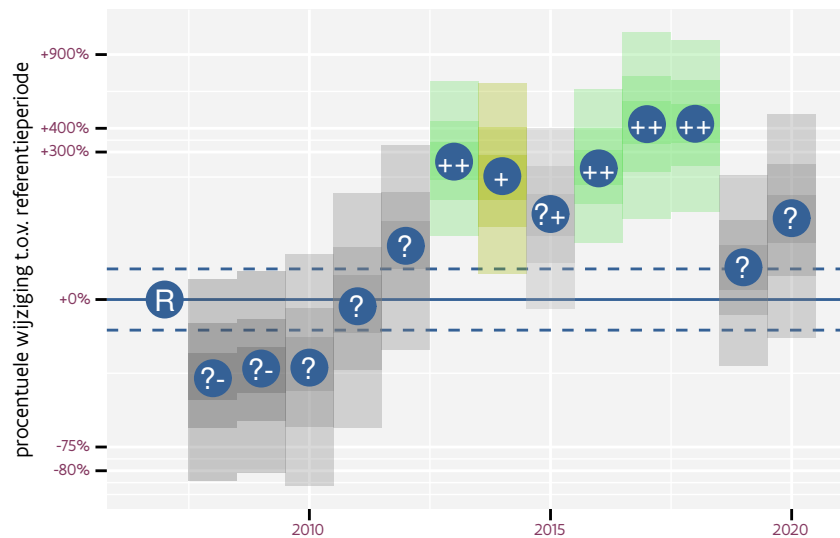
Op basis van jaarlijkse gegevens zien we gemiddeld een sterke toename met +13.5% (+7.6%; +19.7%) per jaar of +420% (+160%; +930%) over de volledige looptijd van het meetnet. Deze trend is niet-lineair.



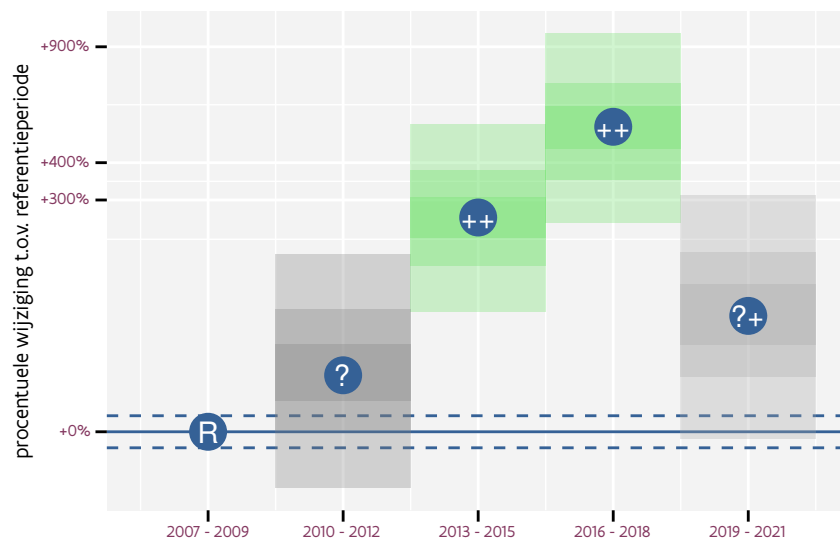
Figuur 59.1: Evolutie van het gemodeleerde gemiddeld aantal waargenomen dieren op een meetpunt voor Kleine mantelmeeuw tijdens de referentieperiode. Zie §4.1 voor een verklaring van de intervallen.



Figuur 59.2: Evolutie van het gemodeleerde gemiddeld aantal waargenomen dieren op een meetpunt voor Kleine mantelmeeuw tijdens de referentieperiode. Zie §4.1 voor een verklaring van de intervallen.



Figuur 59.3: Wijzigingen tussen jaren voor Kleine mantelmeeuw. Zie §4.1 voor een verklaring van de intervallen en §4.2 voor uitleg over de symbolen en referentielijnen.



Figuur 59.4: Wijzigingen per driejarige cyclus voor Kleine mantelmeeuw. Zie §4.1 voor een verklaring van de intervallen en §4.2 voor uitleg over de symbolen en referentielijnen.

Tabel 59.1: Stratumgewicht, raming aan het aantal hokken waarin de soort aanwezig is, aantal relevant hokken voor de analyse, aantal onderzochte hokken in het stratum, totaal aantal hokken van het stratum in Vlaanderen en aantal bezoeken aan een meetpunt voor Kleine mantelmeeuw (zie §3.5).

stratum	gewicht	aanwezig	relevant	onderzocht	totaal	bezoeken
Landbouw	84.0%	177.8	12	426	6311	753
Moeras en water	8.9%	17.1	10	80	137	710
Suburbaan	7.0%	11.8	4	68	201	355



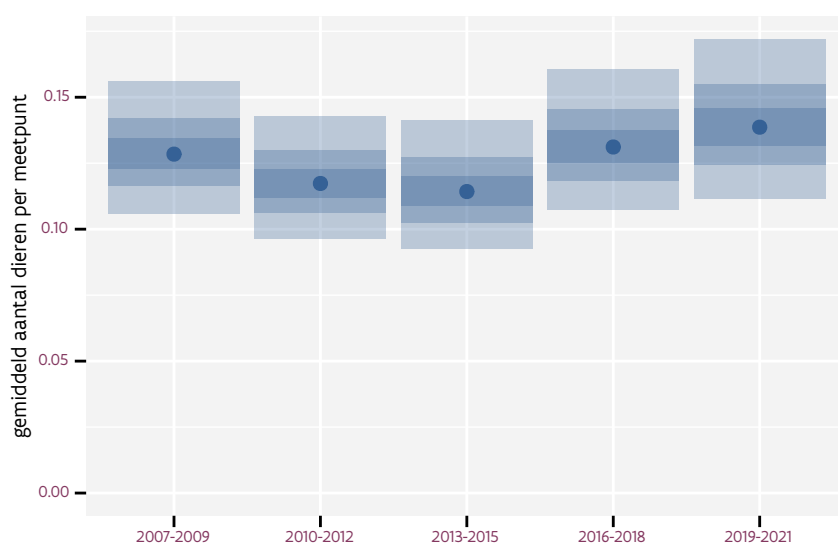
Tabel 59.2: Data-hashes van de analyses in het kader van traceerbaarheid (zie §5.3).

frequentie	model	analyse	status
jaarlijks	lineair	902ae97a8b518701a99e	8a3b1e4d0b8b745b398a
		83ab6f5351eb6a803848	71b70cdddfd15029dcdd
jaarlijks	niet-lineair	48ca53ff755a3f3c1a18	9f8cef71a64e5e00e539
		8d0ea202a4f17ae3eac6	52a73e690047f867f5c2
driejaarlijks	lineair	a992173e8ff05e3f5a6e	edd52397c6f6fd64a8dd
		1f9a355e1cf089cd1f3f	6667b046978a90155b30
driejaarlijks	niet-lineair	e92acec4f26b2e8eb2b6	1f0d3d4c45433daa37d7
		428e52a273340f1393dd	d89ad9f2a5e530743403

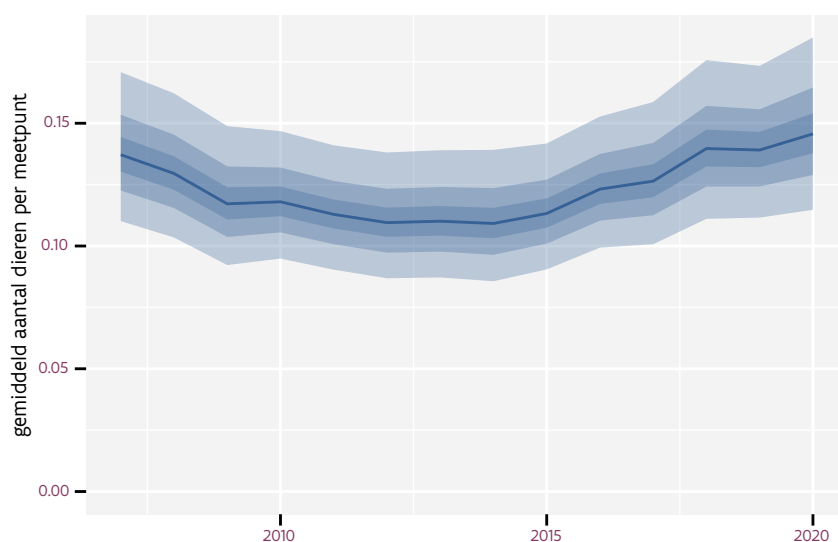
## 60 KNEU

Op basis van driejaarlijkse gegevens zien we gemiddeld een mogelijke toename met +0.8% (-0.7%; +2.3%) per jaar of +11% (-8%; +34%) over de volledige looptijd van het meetnet. Deze trend is mogelijk niet-lineair.

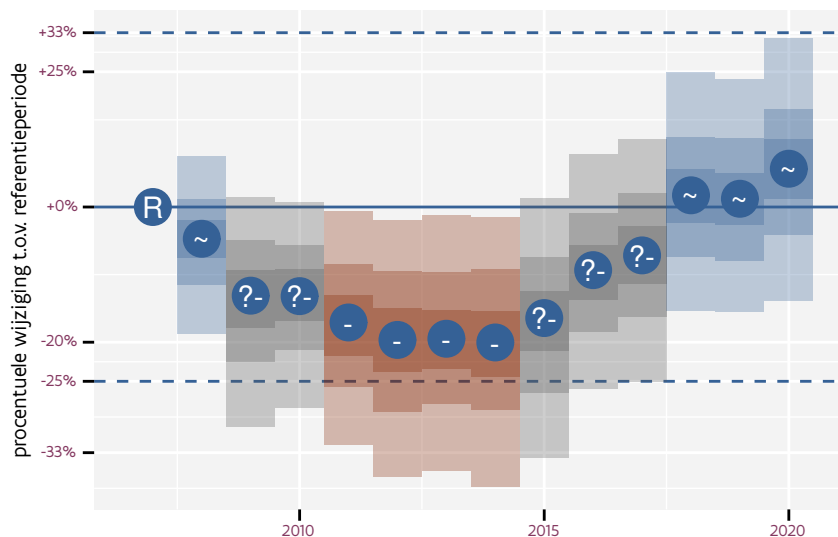
Op basis van jaarlijkse gegevens zien we gemiddeld een stabiele trend van +0.6% (-0.9%; +2.0%) per jaar of +7% (-11%; +30%) over de volledige looptijd van het meetnet. Deze trend is niet-lineair.



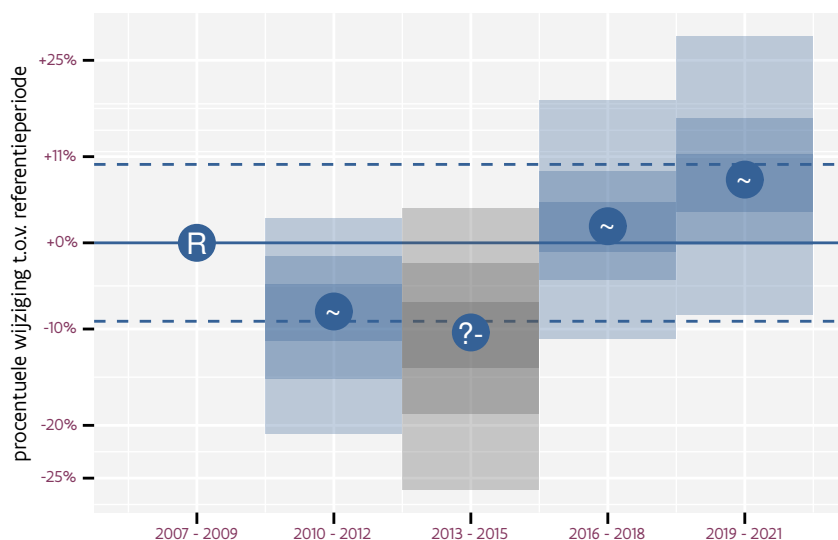
Figuur 60.1: Evolutie van het gemodeleerde gemiddeld aantal waargenomen dieren op een meetpunt voor Kneu tijdens de referentieperiode. Zie §4.1 voor een verklaring van de intervallen.



Figuur 60.2: Evolutie van het gemodeleerde gemiddeld aantal waargenomen dieren op een meetpunt voor Kneu tijdens de referentieperiode. Zie §4.1 voor een verklaring van de intervallen.



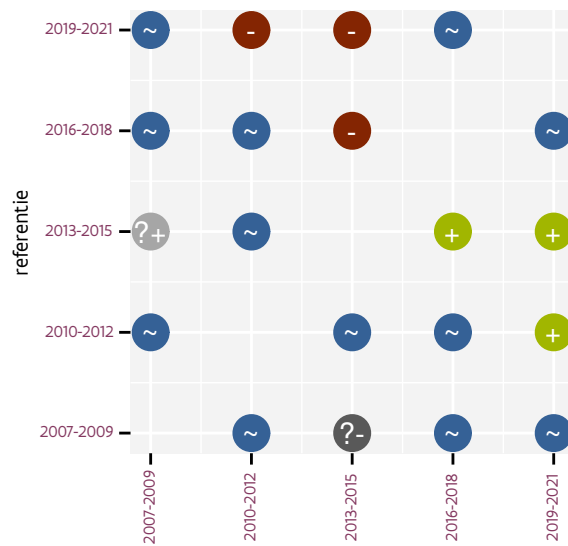
Figuur 60.3: Wijzigingen tussen jaren voor Kneu. Zie §4.1 voor een verklaring van de intervallen en §4.2 voor uitleg over de symbolen en referentielijnen.



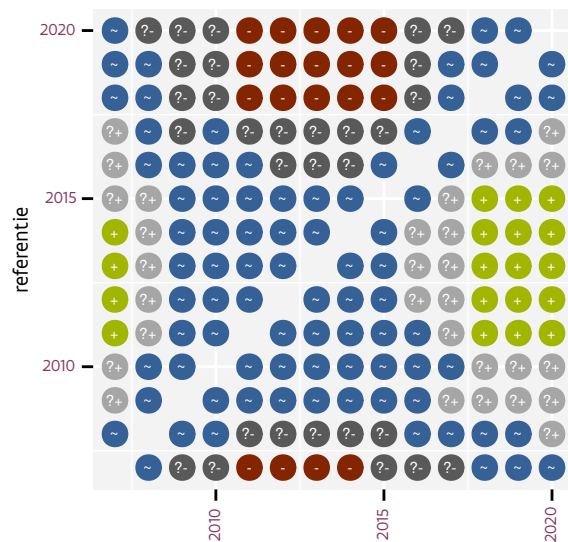
Figuur 60.4: Wijzigingen per driejarige cyclus voor Kneu. Zie §4.1 voor een verklaring van de intervallen en §4.2 voor uitleg over de symbolen en referentielijnen.

Tabel 60.1: Stratumgewicht, raming aan het aantal hokken waarin de soort aanwezig is, aantal relevant hokken voor de analyse, aantal onderzochte hokken in het stratum, totaal aantal hokken van het stratum in Vlaanderen en aantal bezoeken aan een meetpunt voor Kneu (zie §3.5).

stratum	gewicht	aanwezig	relevant	onderzocht	totaal	bezoeken
Landbouw	91.3%	1614.8	109	426	6311	7374
Heide en duin	4.8%	83.1	38	91	199	2229
Suburbaan	1.7%	26.6	9	68	201	542
Moeras en water	1.3%	20.6	12	80	137	698
Bos	1.0%	15.1	9	190	319	857



Figuur 60.5: Paarsgewijze vergelijking tussen driejarige cycli voor Kneu. Uitleg van de symbolen in tabel 4.1.



Figuur 60.6: Paarsgewijze vergelijking tussen jaren voor Kneu. Uitleg van de symbolen in tabel 4.1.

Tabel 60.2: Data-hashes van de analyses in het kader van traceerbaarheid (zie §5.3).

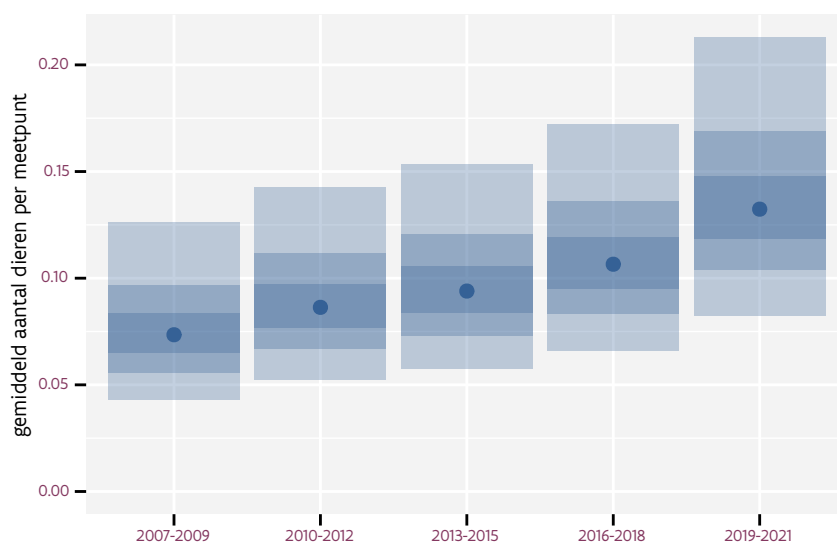
frequentie	model	analyse	status
jaarlijks	lineair	6d1cbbdbc88c7a8c8a0c d7bce721631637a63566	f779dbcf56e5960b58f3 35da7a30729673780dbd
jaarlijks	niet-lineair	0c11324bb86dcef09fb4 eac5e66542253dffcd8	68fcc315a4e370d113a 076d340f01eecd8333b2
driejaarlijks	lineair	9039bdd2d95226245833 1eae7b05de26b30bb2fc	07762bfd422eccc9caf4 7b4e6b77f22b2539630c
driejaarlijks	niet-lineair	f47fe27bb8f72d026e98 72d21dad9f7e76ecd4d1	eae61aa64960e59cf54c 624d79c0537f3ed1f57c



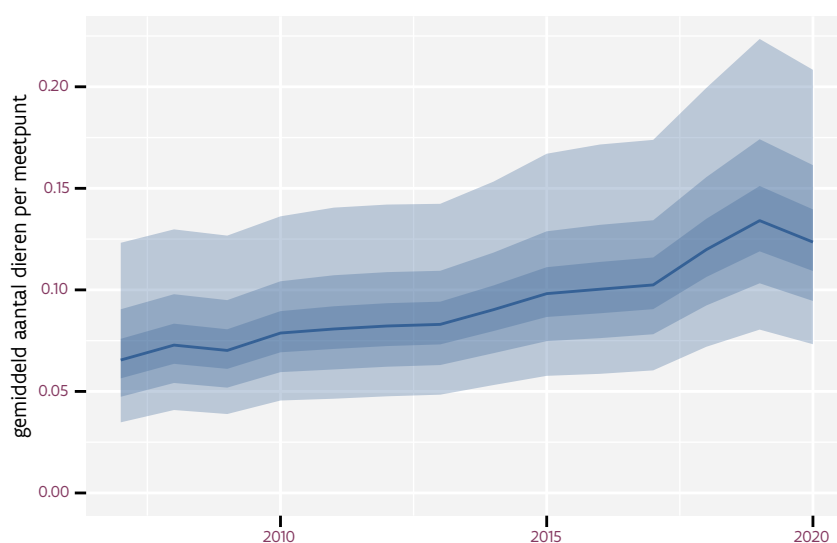
## 61 KNOBBELZWAAN

Op basis van driejaarlijkse gegevens zien we gemiddeld een sterke toename met +6.76% (+3.42%; +10.21%) per jaar of +130% (+50%; +250%) over de volledige looptijd van het meetnet. Deze trend is mogelijk niet-lineair.

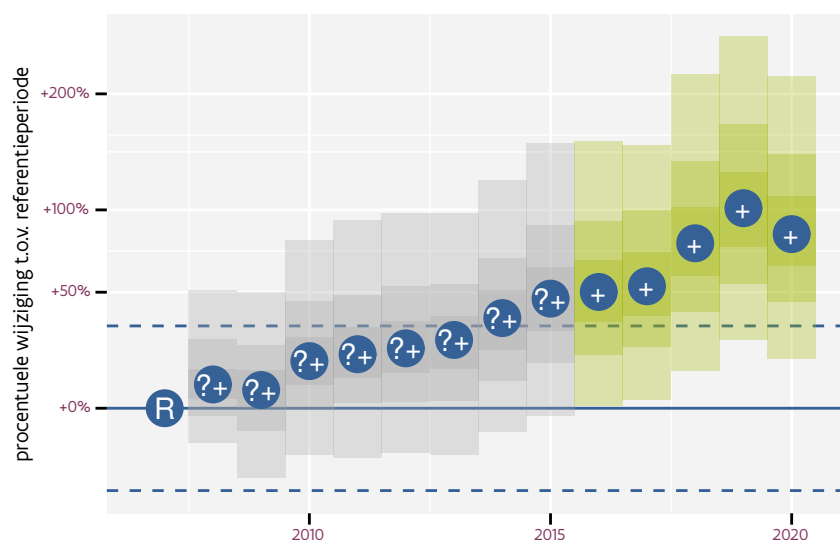
Op basis van jaarlijkse gegevens zien we gemiddeld een sterke toename met +6.89% (+3.50%; +10.39%) per jaar of +140% (+60%; +260%) over de volledige looptijd van het meetnet. Deze trend is niet-lineair.



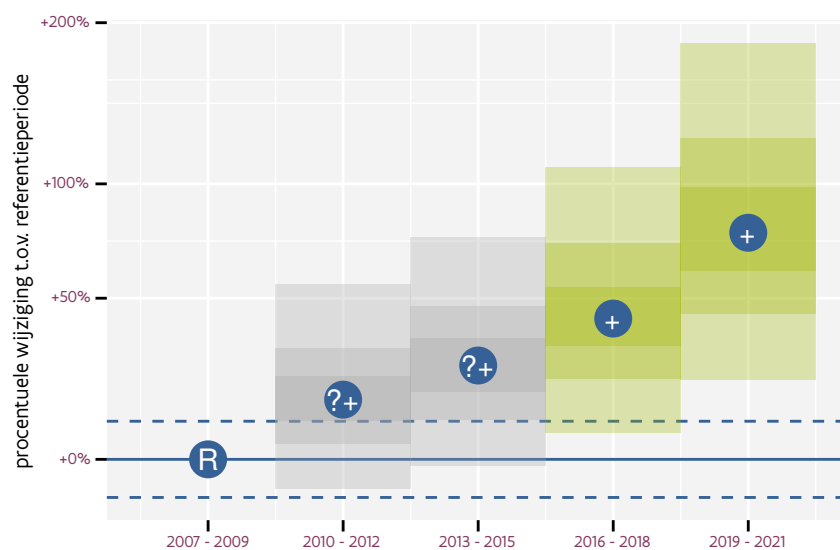
Figuur 61.1: Evolutie van het gemodeleerde gemiddeld aantal waargenomen dieren op een meetpunt voor Knobbelzwaan tijdens de referentieperiode. Zie §4.1 voor een verklaring van de intervallen.



Figuur 61.2: Evolutie van het gemodeleerde gemiddeld aantal waargenomen dieren op een meetpunt voor Knobbelzwaan tijdens de referentieperiode. Zie §4.1 voor een verklaring van de intervallen.



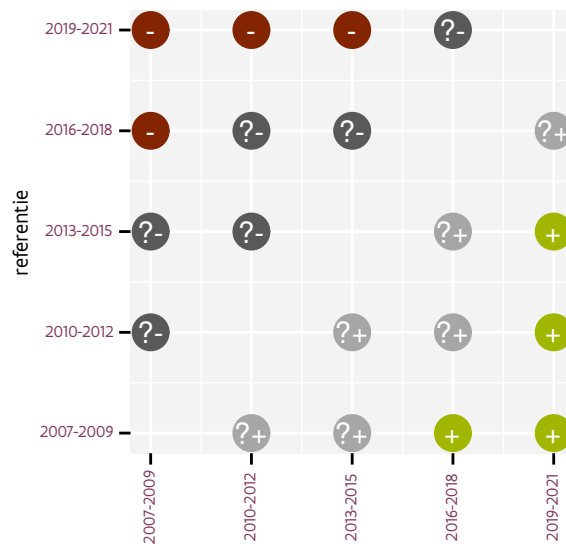
Figuur 61.3: Wijzigingen tussen jaren voor Knobelzwaan. Zie §4.1 voor een verklaring van de intervallen en §4.2 voor uitleg over de symbolen en referentielijnen.



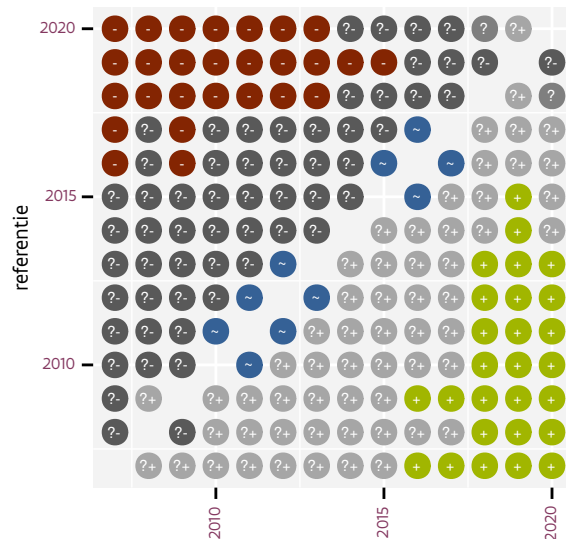
Figuur 61.4: Wijzigingen per driejarige cyclus voor Knobelzwaan. Zie §4.1 voor een verklaring van de intervallen en §4.2 voor uitleg over de symbolen en referentielijnen.

Tabel 61.1: Stratumgewicht, raming aan het aantal hokken waarin de soort aanwezig is, aantal relevant hokken voor de analyse, aantal onderzochte hokken in het stratum, totaal aantal hokken van het stratum in Vlaanderen en aantal bezoeken aan een meetpunt voor Knobelzwaan (zie §3.5).

stratum	gewicht	aanwezig	relevant	onderzocht	totaal	bezoeken
Moeras en water	70.1%	30.8	18	80	137	1283
Heide en duin	29.9%	10.9	5	91	199	330



Figuur 61.5: Paarsgewijze vergelijking tussen driejarige cycli voor Knobbelzwaan. Uitleg van de symbolen in tabel 4.1.

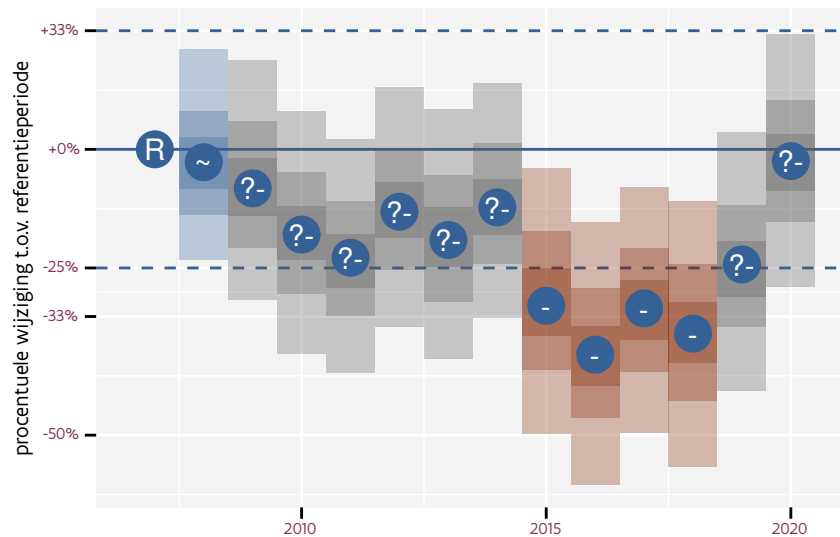


Figuur 61.6: Paarsgewijze vergelijking tussen jaren voor Knobbelzwaan. Uitleg van de symbolen in tabel 4.1.

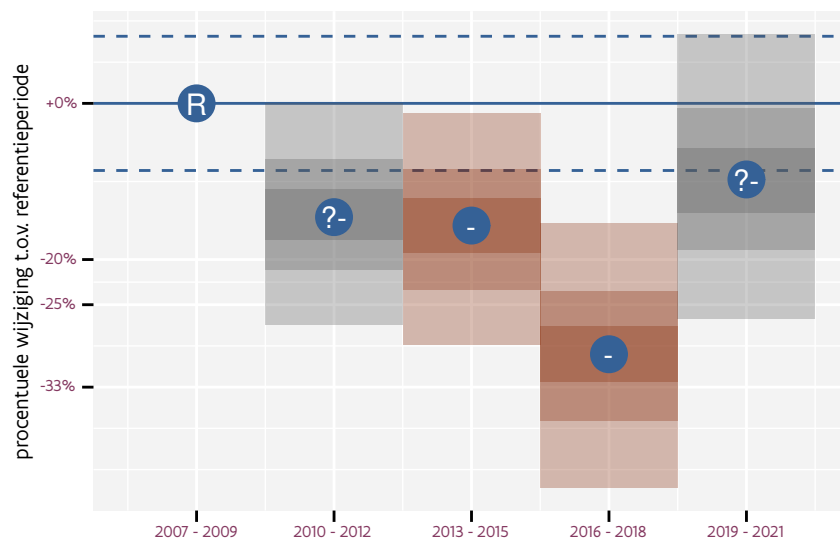
Tabel 61.2: Data-hashes van de analyses in het kader van traceerbaarheid (zie §5.3).

frequentie	model	analyse	status
jaarlijks	lineair	55874c521d05d70d15c7 a7c0efdb1188e8da1318	d05b757be4f1da40c52a 59069f727730805f2db4
jaarlijks	niet-lineair	d37a19155abfbb5824b6 2ce119b7c3241748950b	e89d57ca1abbb383525c 84676d64ccddf64b84ae
driejaarlijks	lineair	6cd6ef28859e237809b1 870ec19d15704fa9e7eb	ba056d5f30f1afca7944 d5839cd14cadf8feba5a
driejaarlijks	niet-lineair	090b8007a572fabeb1f7 1f7fb7a59850be699013	59b451c860817e13b9fd 075345e0bb0bbb0283e7





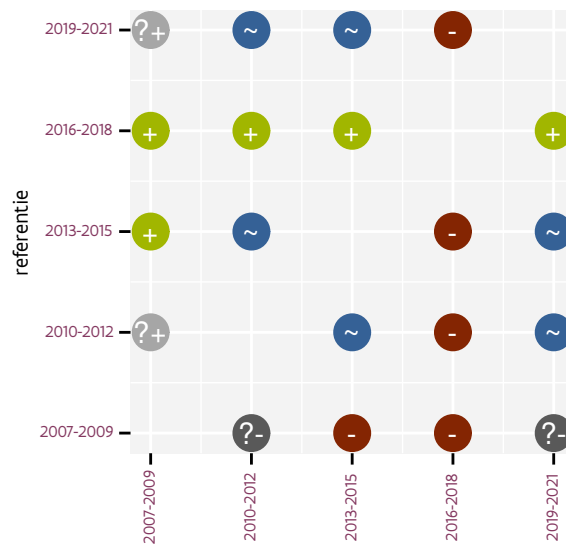
Figuur 62.3: Wijzigingen tussen jaren voor Koekoek. Zie §4.1 voor een verklaring van de intervallen en §4.2 voor uitleg over de symbolen en referentielijnen.



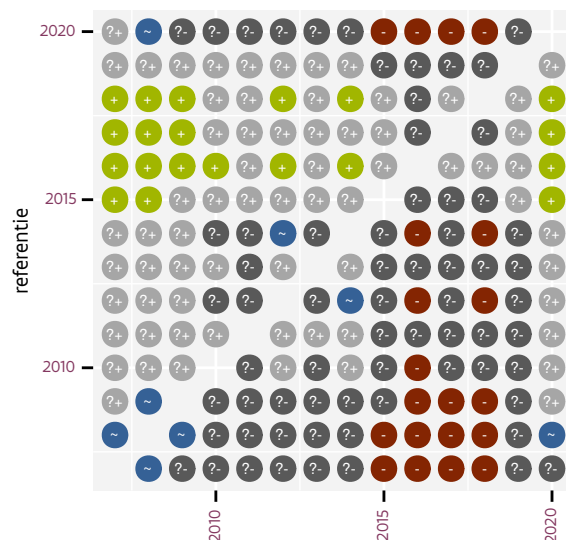
Figuur 62.4: Wijzigingen per driejarige cyclus voor Koekoek. Zie §4.1 voor een verklaring van de intervallen en §4.2 voor uitleg over de symbolen en referentielijnen.

Tabel 62.1: Stratumgewicht, raming aan het aantal hokken waarin de soort aanwezig is, aantal relevant hokken voor de analyse, aantal onderzochte hokken in het stratum, totaal aantal hokken van het stratum in Vlaanderen en aantal bezoeken aan een meetpunt voor Koekoek (zie §3.5).

stratum	gewicht	aanwezig	relevant	onderzocht	totaal	bezoeken
Landbouw	87.7%	1407.4	95	426	6311	4427
Heide en duin	5.0%	80.9	37	91	199	1686
Moeras en water	3.4%	53.1	31	80	137	1363
Bos	3.0%	47.0	28	190	319	1429
Suburbaan	0.9%	11.8	4	68	201	201



Figuur 62.5: Paarsgewijze vergelijking tussen driejarige cycli voor Koekoek. Uitleg van de symbolen in tabel 4.1.



Figuur 62.6: Paarsgewijze vergelijking tussen jaren voor Koekoek. Uitleg van de symbolen in tabel 4.1.

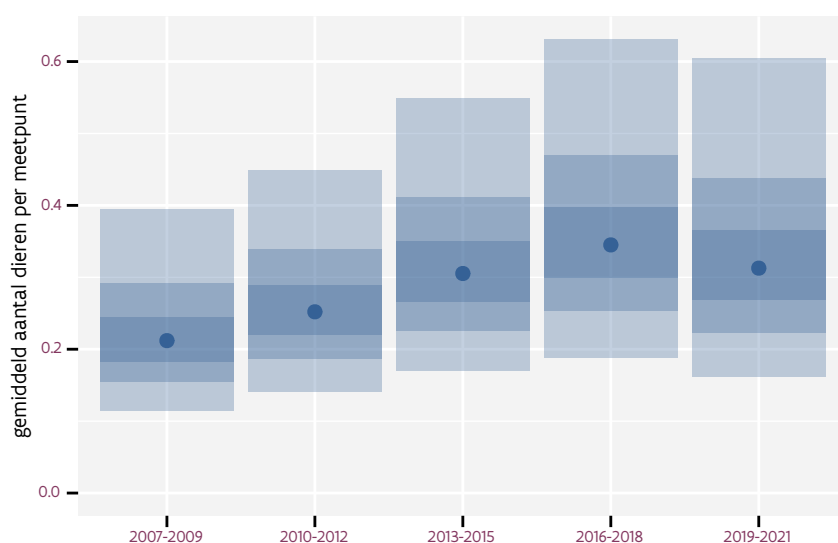
Tabel 62.2: Data-hashes van de analyses in het kader van traceerbaarheid (zie §5.3).

frequentie	model	analyse	status
jaarlijks	lineair	5ad091b1c94f7fc7ecd4 668497b0a432c0e270ab	3e4198d8adb042df7be5 c01cd50b53283cfbf846
jaarlijks	niet-lineair	24aca586e3d854bbc23c cd9676670955964501af	c737ae13cb3cbd090f10 c5a2ad5e1a2b1a180ba7
driejaarlijks	lineair	02c49b42abd309606f54 b074e5f9c5de345d3856	0a143fc18e99f6b5def3 390454a0a681b32bcb39
driejaarlijks	niet-lineair	03e53b32ac2e8f6be8c8 f9d91a93b0776b32b433	4f30ff76a6025bbe4754 3f5c53b0a75cc777bbe4

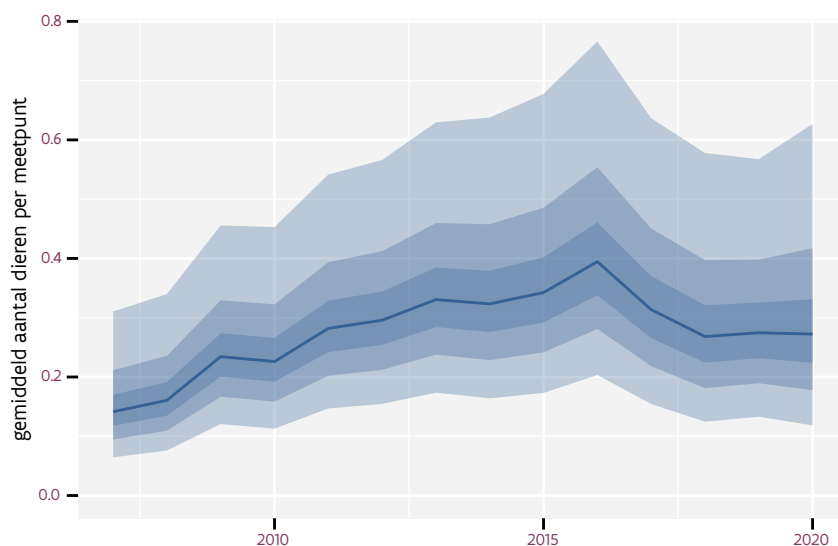
## 63 KOKMEEUW

Op basis van driejaarlijkse gegevens zien we gemiddeld een toename met +6.4% (+1.1%; +11.9%) per jaar of +120% (+10%; +330%) over de volledige looptijd van het meetnet. Deze trend is niet-lineair.

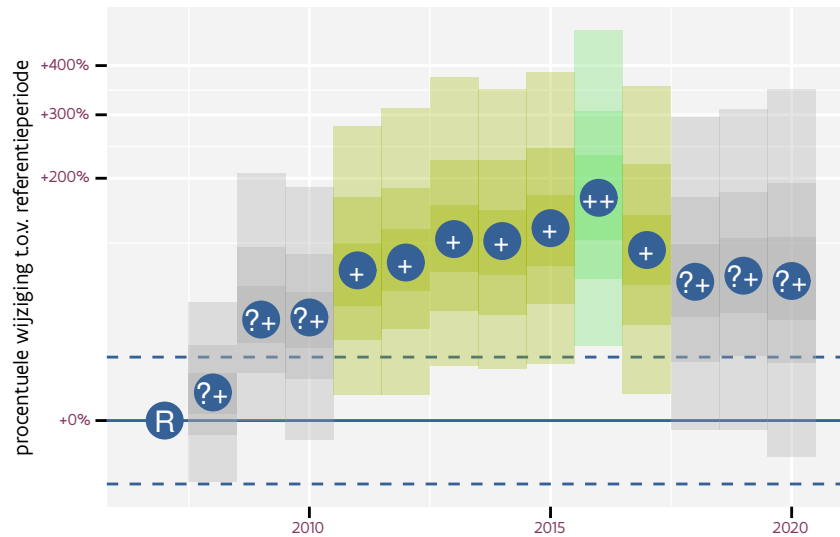
Op basis van jaarlijkse gegevens zien we gemiddeld een toename met +6.6% (+1.1%; +12.4%) per jaar of +130% (+20%; +360%) over de volledige looptijd van het meetnet. Deze trend is niet-lineair.



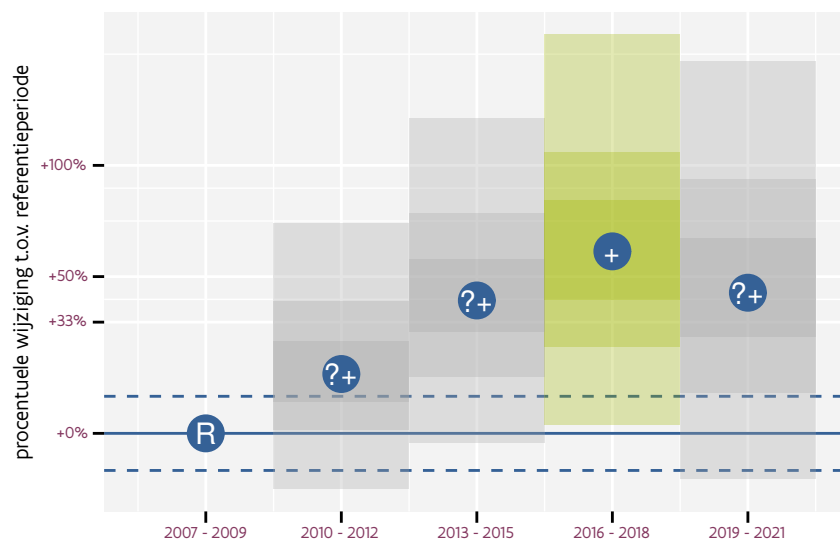
Figuur 63.1: Evolutie van het gemodeleerde gemiddeld aantal waargenomen dieren op een meetpunt voor Kokmeeuw tijdens de referentieperiode. Zie §4.1 voor een verklaring van de intervallen.



Figuur 63.2: Evolutie van het gemodeleerde gemiddeld aantal waargenomen dieren op een meetpunt voor Kokmeeuw tijdens de referentieperiode. Zie §4.1 voor een verklaring van de intervallen.



Figuur 63.3: Wijzigingen tussen jaren voor Kokmeeuw. Zie §4.1 voor een verklaring van de intervallen en §4.2 voor uitleg over de symbolen en referentielijnen.

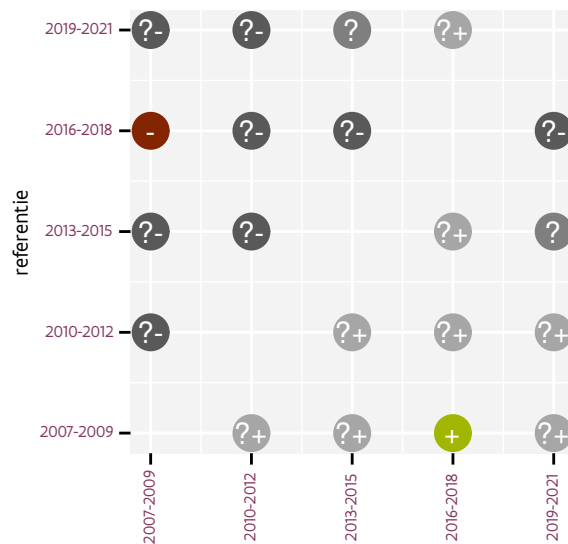


Figuur 63.4: Wijzigingen per driejarige cyclus voor Kokmeeuw. Zie §4.1 voor een verklaring van de intervallen en §4.2 voor uitleg over de symbolen en referentielijnen.

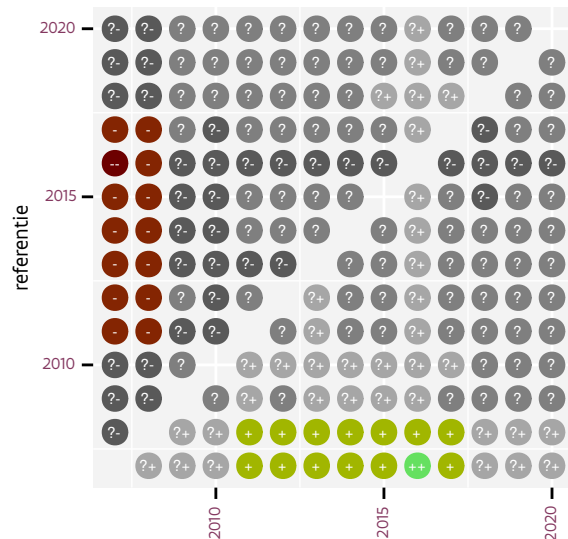
Tabel 63.1: Stratumgewicht, raming aan het aantal hokken waarin de soort aanwezig is, aantal relevant hokken voor de analyse, aantal onderzochte hokken in het stratum, totaal aantal hokken van het stratum in Vlaanderen en aantal bezoeken aan een meetpunt voor Kokmeeuw (zie §3.5).

stratum	gewicht	aanwezig	relevant	onderzocht	totaal	bezoeken
Landbouw	83.5%	325.9	22	426	6311	1287
Moeras en water	6.3%	25.7	15	80	137	977
Suburbaan	5.8%	20.7	7	68	201	585
Heide en duin	4.3%	15.3	7	91	199	450





Figuur 63.5: Paarsgewijze vergelijking tussen driejarige cycli voor Kokmeeuw. Uitleg van de symbolen in tabel 4.1.



Figuur 63.6: Paarsgewijze vergelijking tussen jaren voor Kokmeeuw. Uitleg van de symbolen in tabel 4.1.

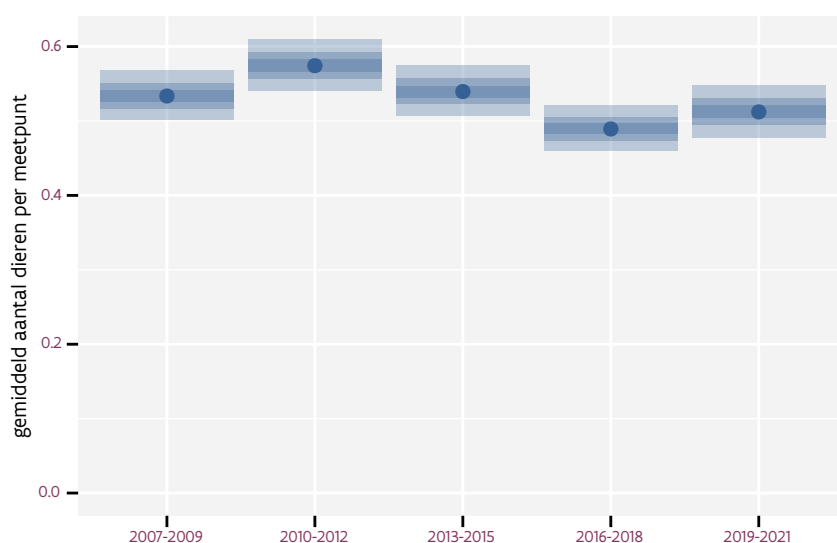
Tabel 63.2: Data-hashes van de analyses in het kader van traceerbaarheid (zie §5.3).

frequentie	model	analyse	status
jaarlijks	lineair	b01a386ff02704c888a6 928831fd2ef4332a851b	256460c3c7e4fae3bf30 4a235b98f149e1b9d90c
jaarlijks	niet-lineair	844cf057aef2420034fb 4181c2ddaf625d77d186	831505318428da3f8e52 dec5c0fa50448a03516e
driejaarlijks	lineair	d488273c2d6444de402c 28ed736dd0ccc8987daa	dc7985529f9dad0e0f35 db03579d8de275876bfb
driejaarlijks	niet-lineair	55ca7926a2fc848f9403 97988d6d561f1038caf1	6899f9294af1c08fae89 ff2e06f832decf6d4437

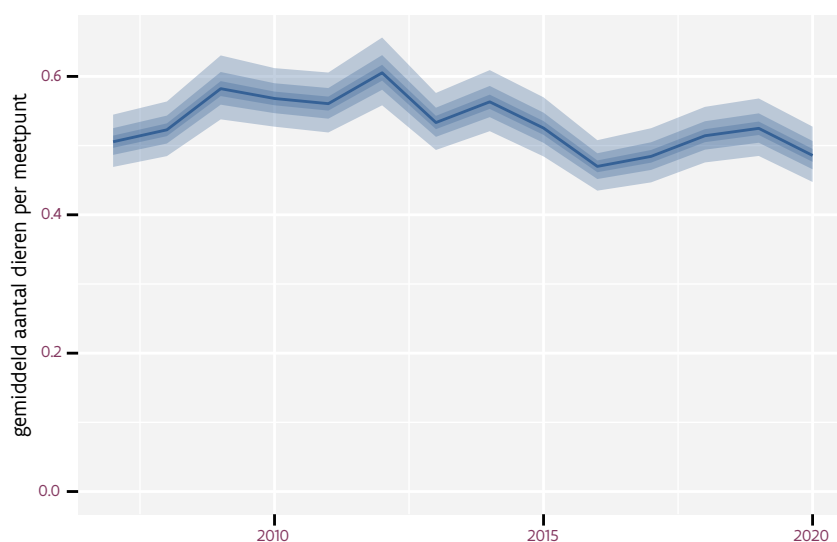
## 64 KOOLMEES

Op basis van driejaarlijkse gegevens zien we gemiddeld een matige afname met  $-0.806\%$  ( $-1.179\%$ ;  $-0.431\%$ ) per jaar of  $-9.98\%$  ( $-14.29\%$ ;  $-5.46\%$ ) over de volledige looptijd van het meetnet. Deze trend is niet-lineair.

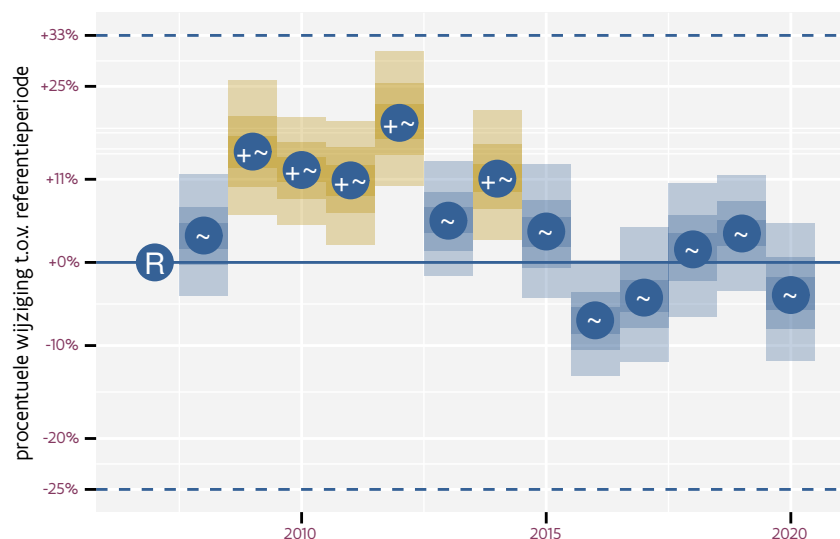
Op basis van jaarlijkse gegevens zien we gemiddeld een matige afname met  $-0.744\%$  ( $-1.118\%$ ;  $-0.369\%$ ) per jaar of  $-9.25\%$  ( $-13.59\%$ ;  $-4.70\%$ ) over de volledige looptijd van het meetnet. Deze trend is niet-lineair.



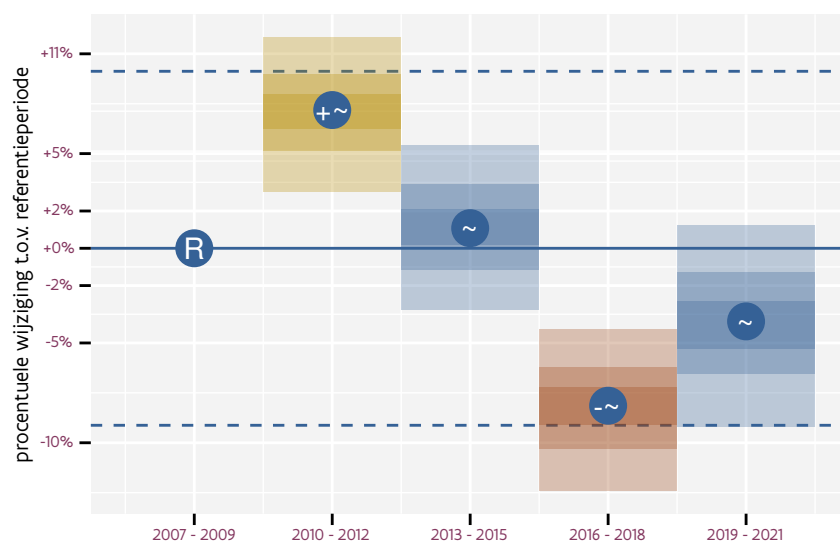
Figuur 64.1: Evolutie van het gemodeleerde gemiddeld aantal waargenomen dieren op een meetpunt voor Koolmees tijdens de referentieperiode. Zie §4.1 voor een verklaring van de intervallen.



Figuur 64.2: Evolutie van het gemodeleerde gemiddeld aantal waargenomen dieren op een meetpunt voor Koolmees tijdens de referentieperiode. Zie §4.1 voor een verklaring van de intervallen.



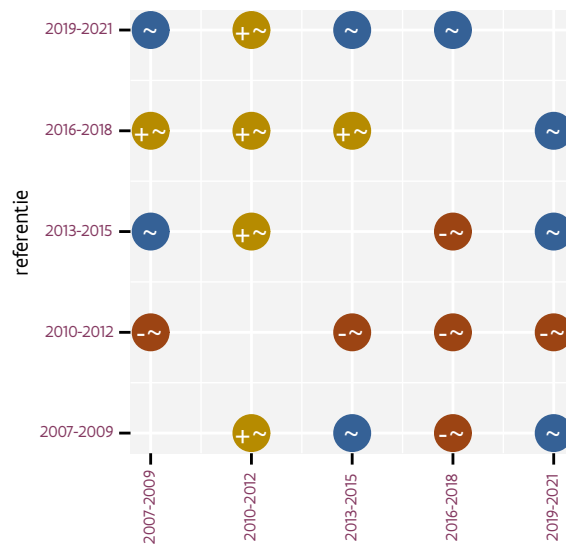
Figuur 64.3: Wijzigingen tussen jaren voor Koolmees. Zie §4.1 voor een verklaring van de intervallen en §4.2 voor uitleg over de symbolen en referentielijnen.



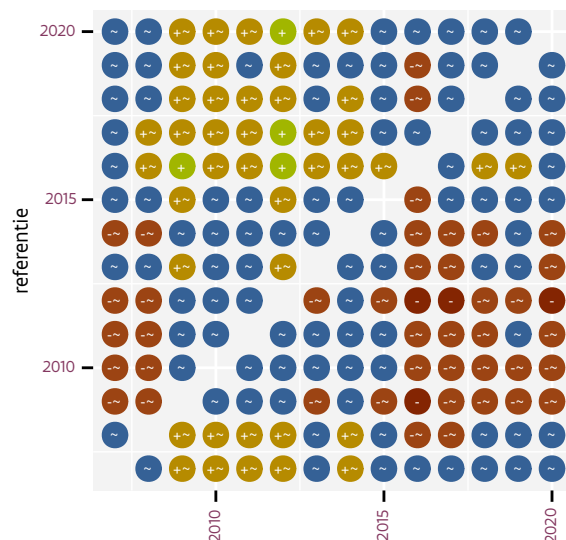
Figuur 64.4: Wijzigingen per driejarige cyclus voor Koolmees. Zie §4.1 voor een verklaring van de intervallen en §4.2 voor uitleg over de symbolen en referentielijnen.

Tabel 64.1: Stratumgewicht, raming aan het aantal hokken waarin de soort aanwezig is, aantal relevant hokken voor de analyse, aantal onderzochte hokken in het stratum, totaal aantal hokken van het stratum in Vlaanderen en aantal bezoeken aan een meetpunt voor Koolmees (zie §3.5).

stratum	gewicht	aanwezig	relevant	onderzocht	totaal	bezoeken
Landbouw	81.4%	4548.1	307	426	6311	19082
Urbaan	6.4%	349.1	73	87	416	4373
Bos	4.3%	236.7	141	190	319	8796
Heide en duin	3.2%	174.9	80	91	199	4771
Suburbaan	2.9%	156.7	53	68	201	3140
Moeras en water	1.8%	101.0	59	80	137	3565



Figuur 64.5: Paarsgewijze vergelijking tussen driejarige cycli voor Koolmees. Uitleg van de symbolen in tabel 4.1.



Figuur 64.6: Paarsgewijze vergelijking tussen jaren voor Koolmees. Uitleg van de symbolen in tabel 4.1.

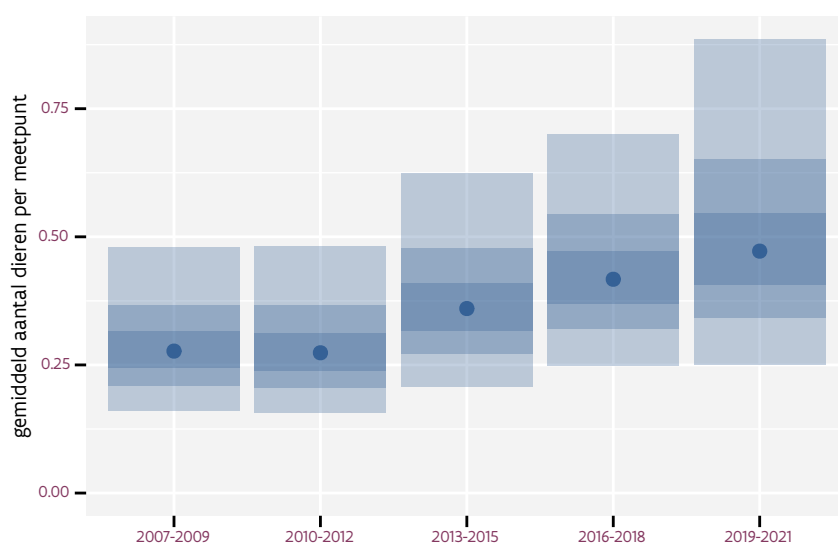
Tabel 64.2: Data-hashes van de analyses in het kader van traceerbaarheid (zie §5.3).

frequentie	model	analyse	status
jaarlijks	lineair	72b1131e15c107036d23 29403e1d0b789914e43e	2092d81b254e5e3c3ac0 e52f7baddb03d2647cd7
jaarlijks	niet-lineair	642bc93ca88dd91e583f 9e829b84fd0f996837d0	5d912aa152217dc9f309 91912e4e36d3d74c5704
driejaarlijks	lineair	9ce58ef804a1eb7be4dc ae3c351d4aee7816aa60	7b62cdf55cbaa891fe86 2d3724b97fe213531f3a
driejaarlijks	niet-lineair	b38b3fa5d6589a45dcb2 7dfffebb300e07364c97	9a093566576079282f34 597a2ddc7c65163eb1cc

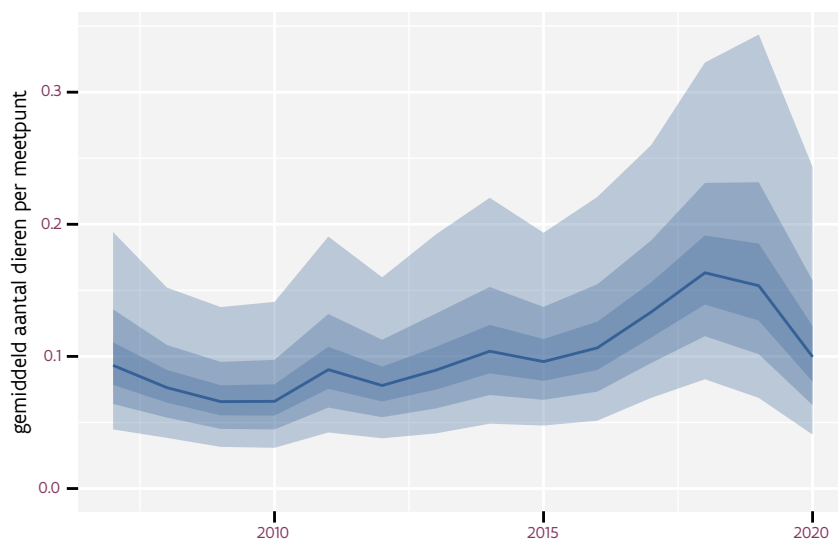
## 65 KRAKEEND

Op basis van driejaarlijkse gegevens zien we gemiddeld een toename met +6.6% (+1.3%; +12.2%) per jaar of +130% (+20%; +350%) over de volledige looptijd van het meetnet. Deze trend is niet-lineair.

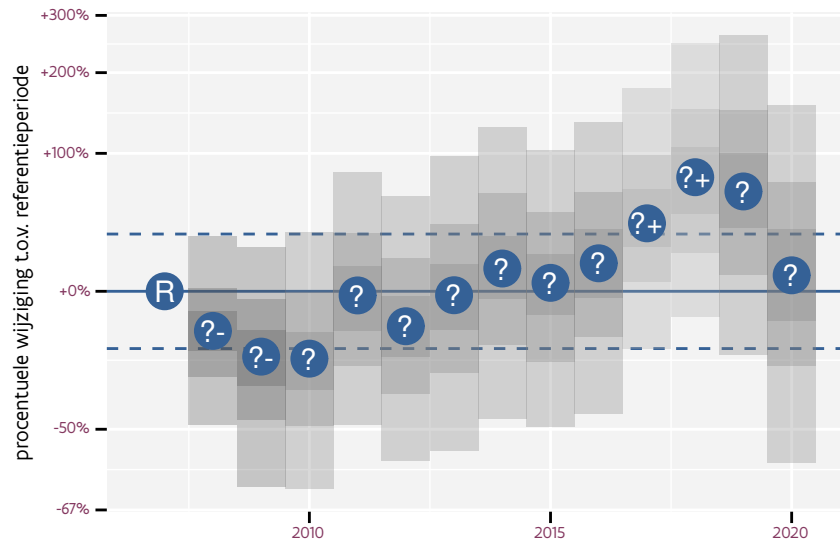
Op basis van jaarlijkse gegevens zien we gemiddeld een toename met +6.0% (+0.9%; +11.4%) per jaar of +110% (+10%; +310%) over de volledige looptijd van het meetnet. Deze trend is lineair.



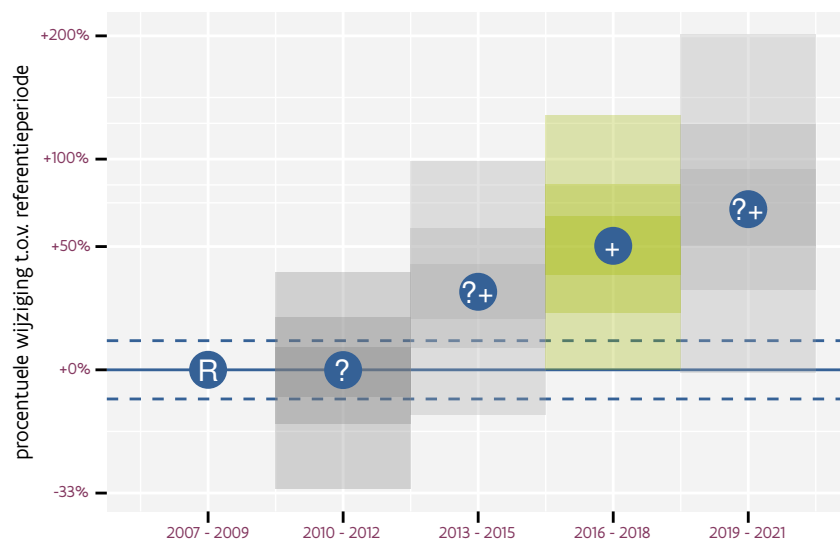
Figuur 65.1: Evolutie van het gemodeleerde gemiddeld aantal waargenomen dieren op een meetpunt voor Krakeend tijdens de referentieperiode. Zie §4.1 voor een verklaring van de intervallen.



Figuur 65.2: Evolutie van het gemodeleerde gemiddeld aantal waargenomen dieren op een meetpunt voor Krakeend tijdens de referentieperiode. Zie §4.1 voor een verklaring van de intervallen.



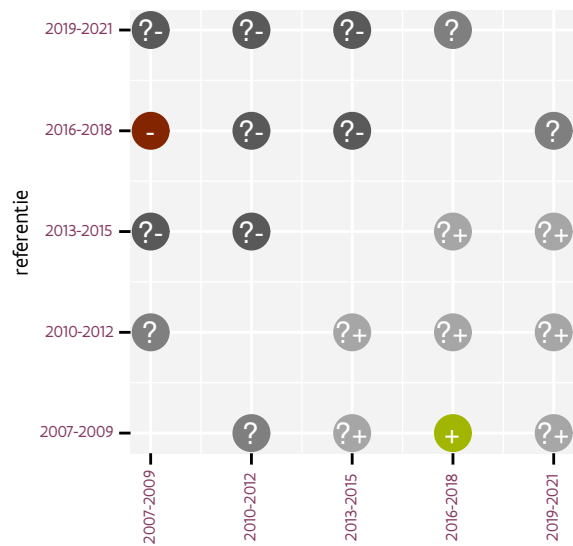
Figuur 65.3: Wijzigingen tussen jaren voor Krakeend. Zie §4.1 voor een verklaring van de intervallen en §4.2 voor uitleg over de symbolen en referentielijnen.



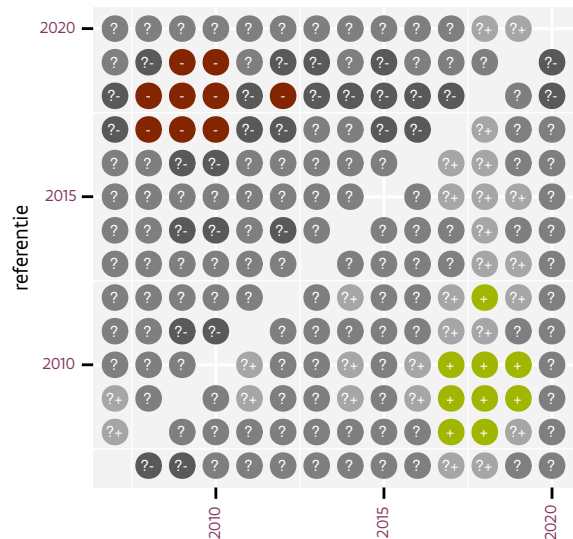
Figuur 65.4: Wijzigingen per driejarige cyclus voor Krakeend. Zie §4.1 voor een verklaring van de intervallen en §4.2 voor uitleg over de symbolen en referentielijnen.

Tabel 65.1: Stratumgewicht, raming aan het aantal hokken waarin de soort aanwezig is, aantal relevant hokken voor de analyse, aantal onderzochte hokken in het stratum, totaal aantal hokken van het stratum in Vlaanderen en aantal bezoeken aan een meetpunt voor Krakeend (zie §3.5).

stratum	gewicht	aanwezig	relevant	onderzocht	totaal	bezoeken
Landbouw	53.4%	74.1	5	426	6311	280
Moeras en water	31.0%	51.4	30	80	137	1920
Suburbaan	8.9%	11.8	4	68	201	297
Heide en duin	6.6%	8.7	4	91	199	258



Figuur 65.5: Paarsgewijze vergelijking tussen driejarige cycli voor Krakeend. Uitleg van de symbolen in tabel 4.1.



Figuur 65.6: Paarsgewijze vergelijking tussen jaren voor Krakeend. Uitleg van de symbolen in tabel 4.1.

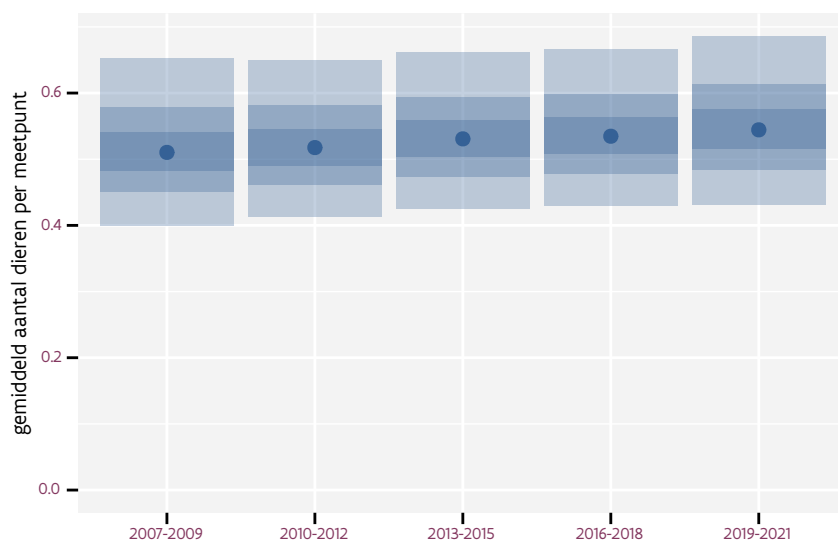
Tabel 65.2: Data-hashes van de analyses in het kader van traceerbaarheid (zie §5.3).

frequentie	model	analyse	status
jaarlijks	lineair	b06f579ebcb2aa45d84b 362d4fdbd89baa71c281	0e82ee5be4a34c79bd0a 5e4265bbb674cbc09ab2
jaarlijks	niet-lineair	473de7cfaee8dcfb3506 2676fb9bfc3ff14e1b53	63090887f16bb4799c37 dce19932e6b7be8f4961
driejaarlijks	lineair	41f9074dd03e9408f821 891fd66f9edf57781cb0	cf1b969afb753d1c6cee eebb685a86c41a2d48a2
driejaarlijks	niet-lineair	6ce421d61a69a6d83052 0671340ec5f7933d0a2c	8d0e1d76f87f82f29762 8dd1655fb3da09bf8162

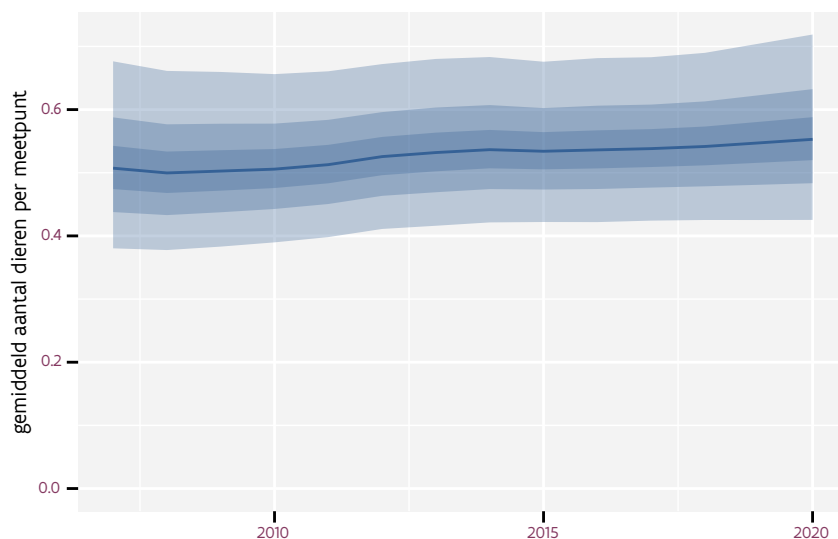
## 66 KUIFEEND

Op basis van driejaarlijkse gegevens zien we gemiddeld een mogelijke toename met +3% (-2%; +8%) per jaar of +48% (-21%; +179%) over de volledige looptijd van het meetnet. Deze trend is mogelijk niet-lineair.

Op basis van jaarlijkse gegevens zien we gemiddeld een mogelijke toename met +3% (-1%; +9%) per jaar of +55% (-17%; +191%) over de volledige looptijd van het meetnet. Deze trend is niet-lineair.

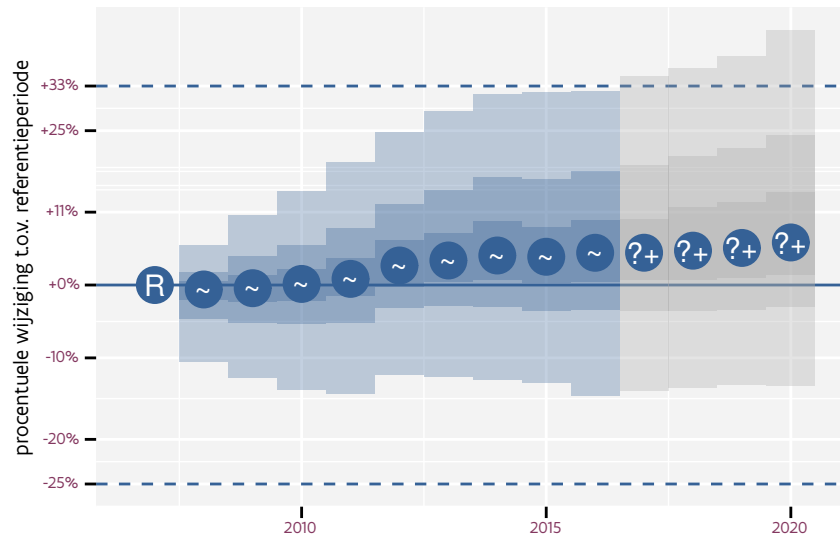


Figuur 66.1: Evolutie van het gemodeleerde gemiddeld aantal waargenomen dieren op een meetpunt voor Kuifeend tijdens de referentieperiode. Zie §4.1 voor een verklaring van de intervallen.

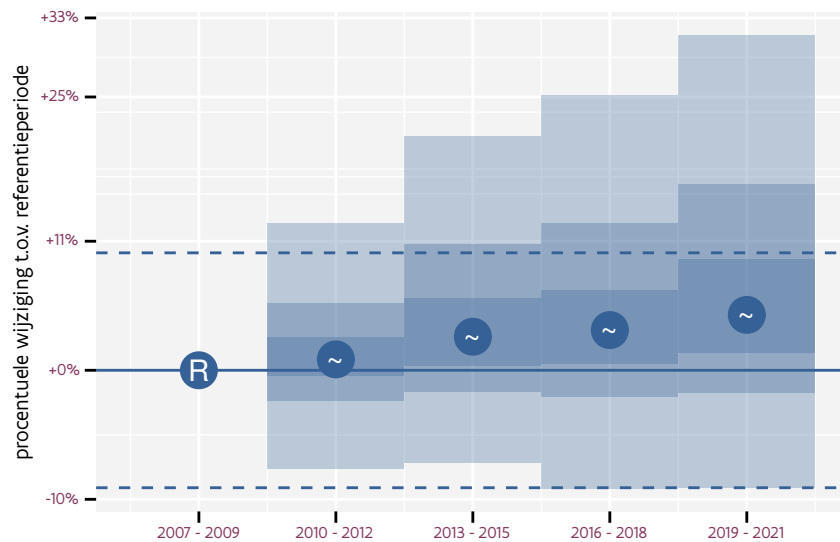


Figuur 66.2: Evolutie van het gemodeleerde gemiddeld aantal waargenomen dieren op een meetpunt voor Kuifeend tijdens de referentieperiode. Zie §4.1 voor een verklaring van de intervallen.





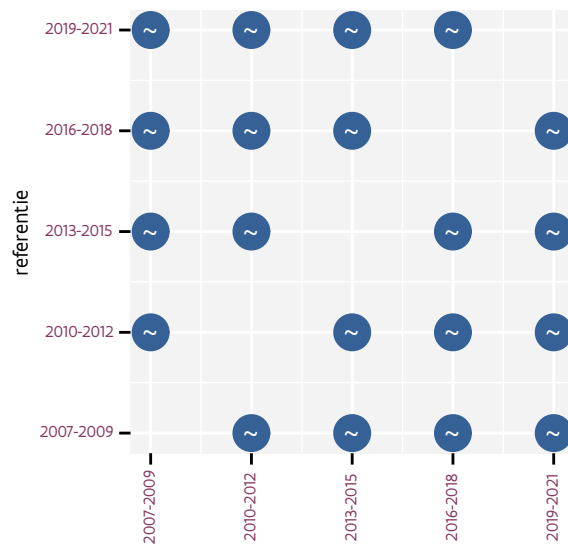
Figuur 66.3: Wijzigingen tussen jaren voor Kuifeend. Zie §4.1 voor een verklaring van de intervallen en §4.2 voor uitleg over de symbolen en referentielijnen.



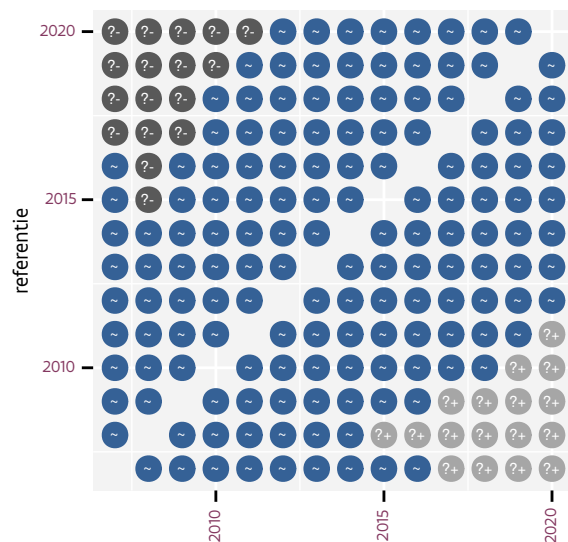
Figuur 66.4: Wijzigingen per driejarige cyclus voor Kuifeend. Zie §4.1 voor een verklaring van de intervallen en §4.2 voor uitleg over de symbolen en referentielijnen.

Tabel 66.1: Stratumgewicht, raming aan het aantal hokken waarin de soort aanwezig is, aantal relevant hokken voor de analyse, aantal onderzochte hokken in het stratum, totaal aantal hokken van het stratum in Vlaanderen en aantal bezoeken aan een meetpunt voor Kuifeend (zie §3.5).

stratum	gewicht	aanwezig	relevant	onderzocht	totaal	bezoeken
Landbouw	63.8%	192.6	13	426	6311	918
Moeras en water	23.4%	68.5	40	80	137	2596
Heide en duin	9.5%	26.2	12	91	199	722
Bos	3.4%	8.4	5	190	319	375



Figuur 66.5: Paarsgewijze vergelijking tussen driejarige cycli voor Kuifeend. Uitleg van de symbolen in tabel 4.1.



Figuur 66.6: Paarsgewijze vergelijking tussen jaren voor Kuifeend. Uitleg van de symbolen in tabel 4.1.

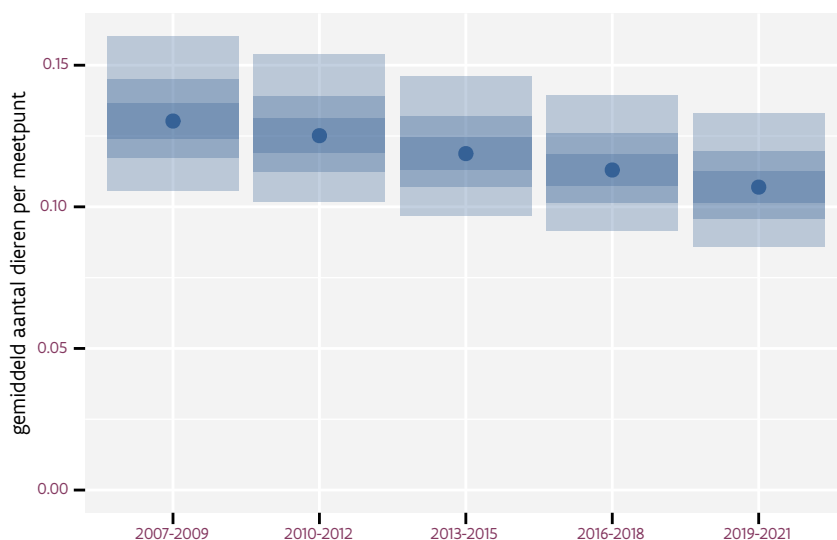
Tabel 66.2: Data-hashes van de analyses in het kader van traceerbaarheid (zie §5.3).

frequentie	model	analyse	status
jaarlijks	lineair	96a8db4c36c55b62fde2 c661beafd9562963d960	0e1c0774f1c2a240c50f 7d38cc74b5fa62ee0d29
jaarlijks	niet-lineair	b83cbd87cbd9312e6bfc 6e30887dad15c78fe471	a5fc55749af42fff6405 5b6bc88b149975faf3db
driejaarlijks	lineair	c946436db66f27af9b9e 6d6d9dc04bb6ef9b2b16	d23619291dbfa90935a4 55f7c994086a4663d1b0
driejaarlijks	niet-lineair	ac91ad553467cba598c3 89f37e8852a54d73998a	878eb88ed9aab04d7bb0 ad11c37a3e34b0c14210

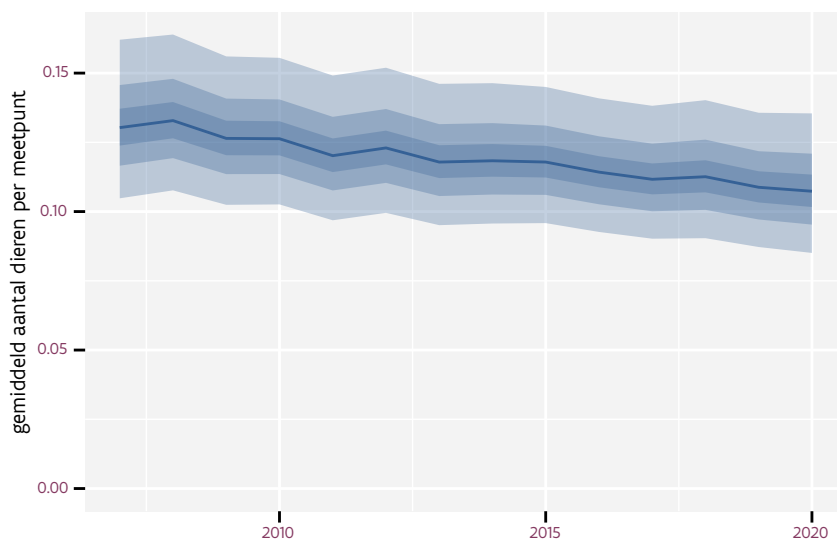
## 67 KUIFMEES

Op basis van driejaarlijkse gegevens zien we gemiddeld een mogelijk afname met -1.8% (-3.7%; +0.0%) per jaar of -21% (-39%; +1%) over de volledige looptijd van het meetnet. Deze trend is mogelijk niet-lineair.

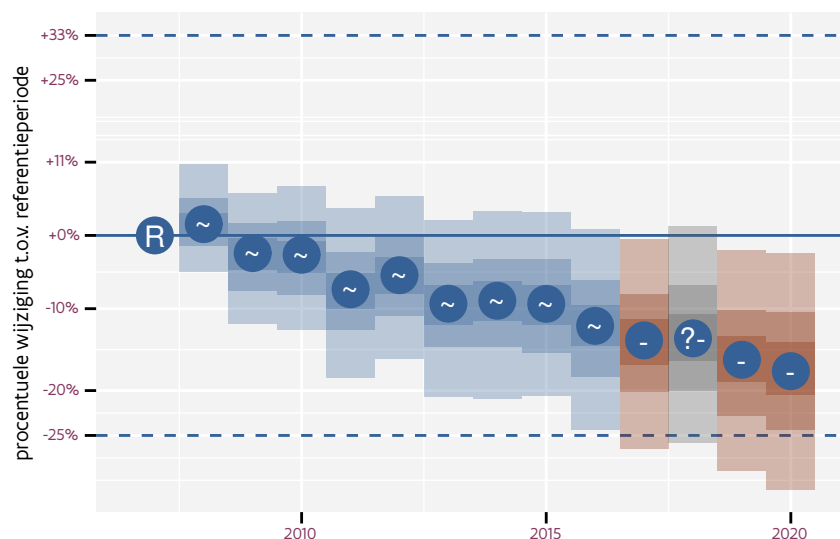
Op basis van jaarlijkse gegevens zien we gemiddeld een mogelijk afname met -1.6% (-3.4%; +0.3%) per jaar of -18% (-36%; +5%) over de volledige looptijd van het meetnet. Deze trend is niet-lineair.



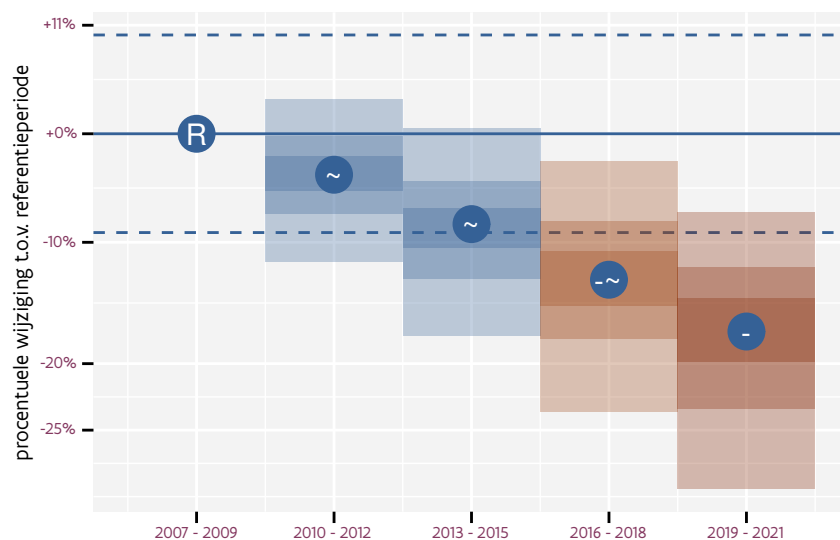
Figuur 67.1: Evolutie van het gemodeleerde gemiddeld aantal waargenomen dieren op een meetpunt voor Kuifmees tijdens de referentieperiode. Zie §4.1 voor een verklaring van de intervallen.



Figuur 67.2: Evolutie van het gemodeleerde gemiddeld aantal waargenomen dieren op een meetpunt voor Kuifmees tijdens de referentieperiode. Zie §4.1 voor een verklaring van de intervallen.



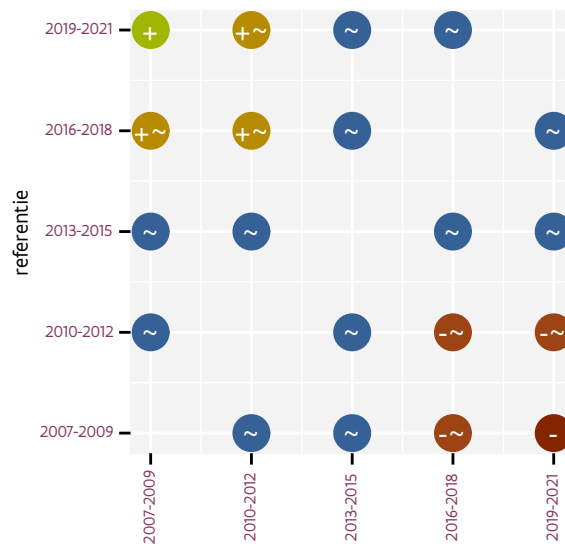
Figuur 67.3: Wijzigingen tussen jaren voor Kuifmees. Zie §4.1 voor een verklaring van de intervallen en §4.2 voor uitleg over de symbolen en referentielijnen.



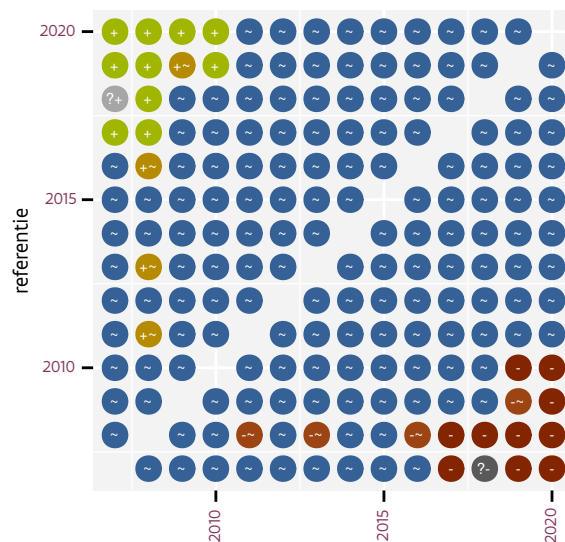
Figuur 67.4: Wijzigingen per driejarige cyclus voor Kuifmees. Zie §4.1 voor een verklaring van de intervallen en §4.2 voor uitleg over de symbolen en referentielijnen.

Tabel 67.1: Stratumgewicht, raming aan het aantal hokken waarin de soort aanwezig is, aantal relevant hokken voor de analyse, aantal onderzochte hokken in het stratum, totaal aantal hokken van het stratum in Vlaanderen en aantal bezoeken aan een meetpunt voor Kuifmees (zie §3.5).

stratum	gewicht	aanwezig	relevant	onderzocht	totaal	bezoeken
Bos	34.4%	131.0	78	190	319	5696
Landbouw	23.2%	74.1	5	426	6311	552
Heide en duin	23.0%	85.3	39	91	199	2759
Suburbaan	7.8%	26.6	9	68	201	552
Urbaan	7.5%	23.9	5	87	416	372
Moeras en water	4.0%	13.7	8	80	137	468



Figuur 67.5: Paarsgewijze vergelijking tussen driejarige cycli voor Kuifmees. Uitleg van de symbolen in tabel 4.1.

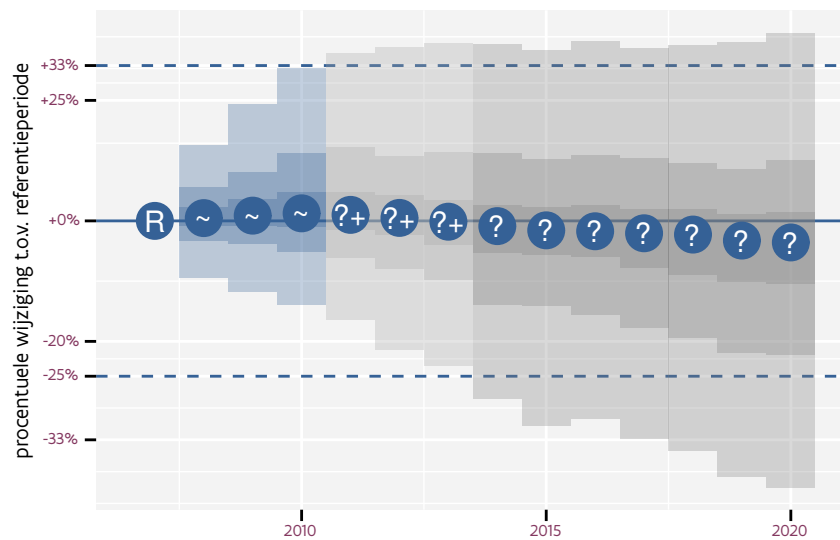


Figuur 67.6: Paarsgewijze vergelijking tussen jaren voor Kuifmees. Uitleg van de symbolen in tabel 4.1.

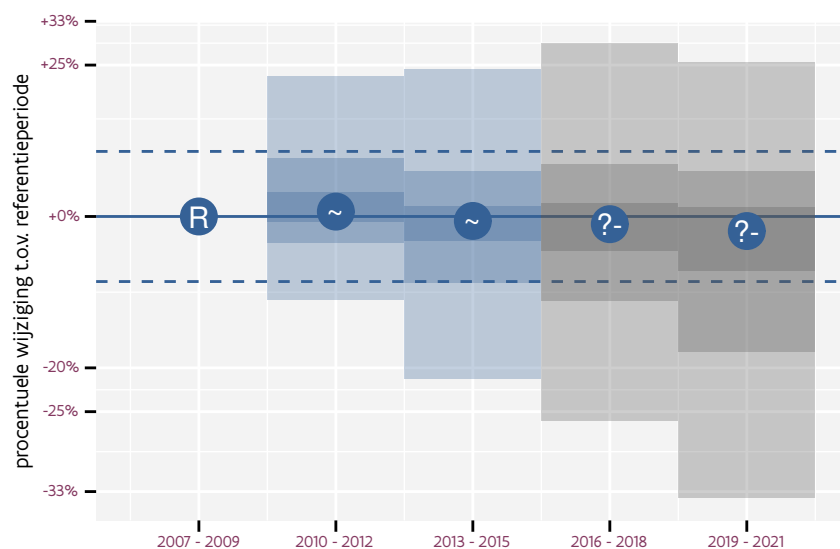
Tabel 67.2: Data-hashes van de analyses in het kader van traceerbaarheid (zie §5.3).

frequentie	model	analyse	status
jaarlijks	lineair	a4d7cf7b1d8b316c2bbb 22d68e70433b063969a7	313ce63259c446972e78 c761aacd39e740dc79be
jaarlijks	niet-lineair	e88d44424de56a79e314 92e86e3821984e6831b6	2f490076dc31c1c01936 8931b96e78dc36755d1a
driejaarlijks	lineair	e2bd2a2655ddb7aa1fae e4b728517034001efa11	f9e583414528d846a46d 48b570e5713f3ea5c00d
driejaarlijks	niet-lineair	cbf8a2a3983b12609c2d 0da6684a3127d6c2249d	4d991803a12054e3f4f9 44106b005c5c4bb72d31





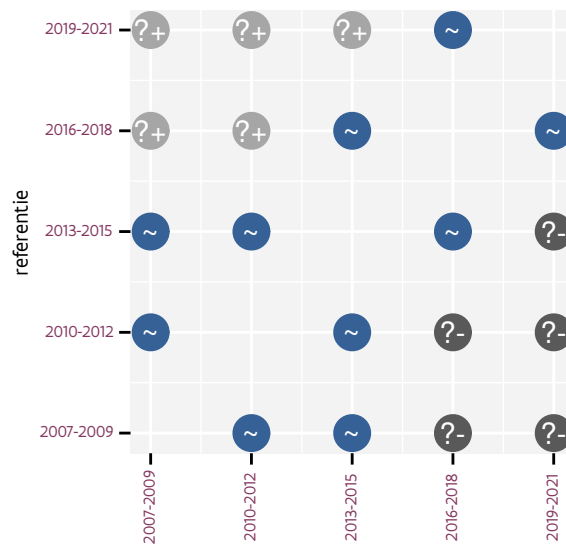
Figuur 68.3: Wijzigingen tussen jaren voor Matkop. Zie §4.1 voor een verklaring van de intervallen en §4.2 voor uitleg over de symbolen en referentielijnen.



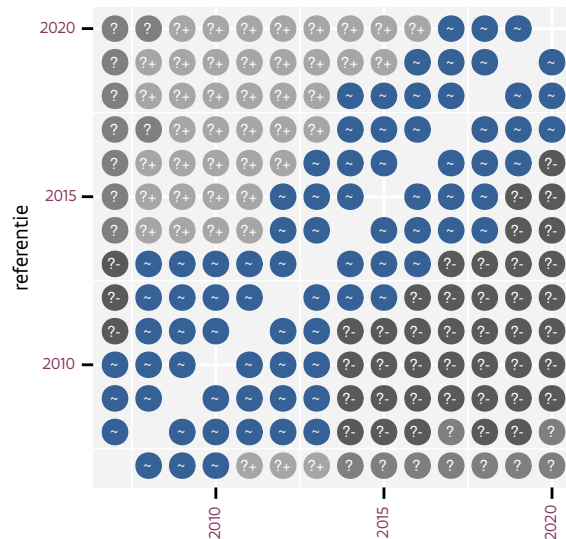
Figuur 68.4: Wijzigingen per driejarige cyclus voor Matkop. Zie §4.1 voor een verklaring van de intervallen en §4.2 voor uitleg over de symbolen en referentielijnen.

Tabel 68.1: Stratumgewicht, raming aan het aantal hokken waarin de soort aanwezig is, aantal relevant hokken voor de analyse, aantal onderzochte hokken in het stratum, totaal aantal hokken van het stratum in Vlaanderen en aantal bezoeken aan een meetpunt voor Matkop (zie §3.5).

stratum	gewicht	aanwezig	relevant	onderzocht	totaal	bezoeken
Landbouw	65.8%	88.9	6	426	6311	376
Bos	16.0%	25.2	15	190	319	1296
Moeras en water	9.8%	13.7	8	80	137	588
Heide en duin	8.4%	10.9	5	91	199	372



Figuur 68.5: Paarsgewijze vergelijking tussen driejarige cycli voor Matkop. Uitleg van de symbolen in tabel 4.1.



Figuur 68.6: Paarsgewijze vergelijking tussen jaren voor Matkop. Uitleg van de symbolen in tabel 4.1.

Tabel 68.2: Data-hashes van de analyses in het kader van traceerbaarheid (zie §5.3).

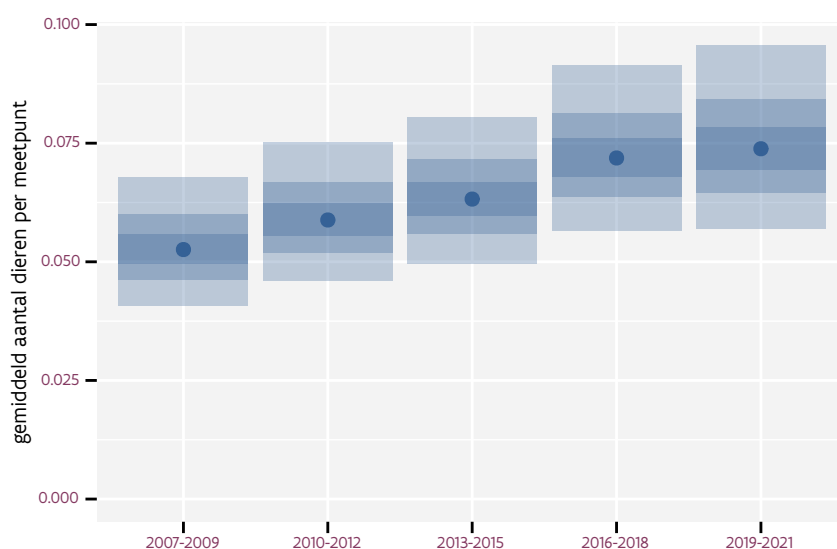
frequentie	model	analyse	status
jaarlijks	lineair	c07388bd023a6628bb43 b7b7e8944d530b618b77	8bdd784e492d9735a6a4 a4db08ed4db6843e25e3
jaarlijks	niet-lineair	9d577f19d97a8418e7d2 0ebf94926ad02a95006e	de4a00b0348f522b203f f25111325046785d6827
driejaarlijks	lineair	cd1d97e5ca28c4e41492 de76c7a23dee952f1c59	4303723ec31925d1db6b 86b7f8f84dd734930942
driejaarlijks	niet-lineair	d1eb40165b77b452e02c 2639db78cb3a06e239f5	f9fd27e9c22226bf57e7 8bba949f930ca6276fe2



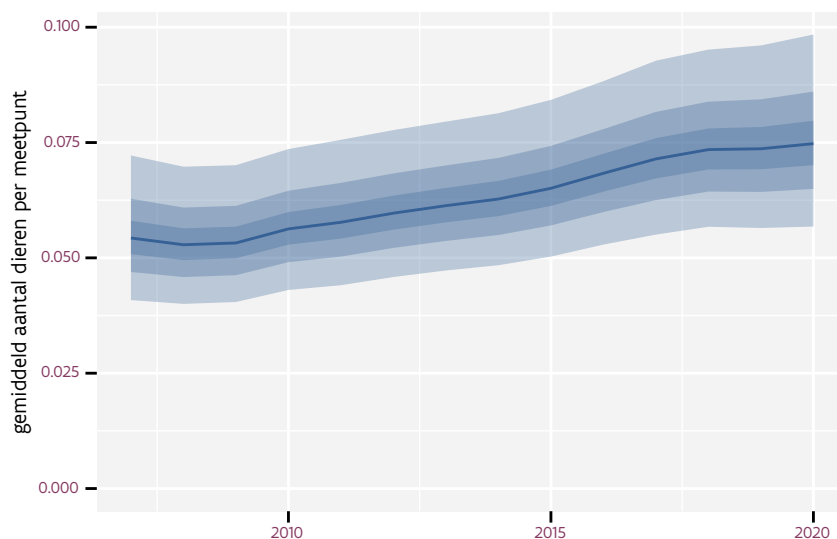
## 69 MEERKOET

Op basis van driejaarlijkse gegevens zien we gemiddeld een sterke toename met +4.2% (+2.4%; +6.0%) per jaar of +70.6% (+36.8%; +112.7%) over de volledige looptijd van het meetnet. Deze trend is lineair.

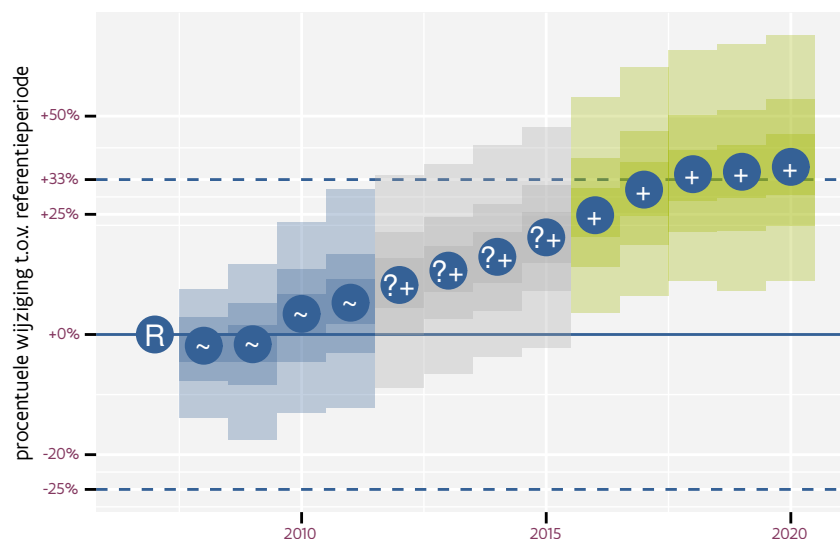
Op basis van jaarlijkse gegevens zien we gemiddeld een sterke toename met +4.1% (+2.4%; +5.9%) per jaar of +68.5% (+35.3%; +109.9%) over de volledige looptijd van het meetnet. Deze trend is niet-lineair.



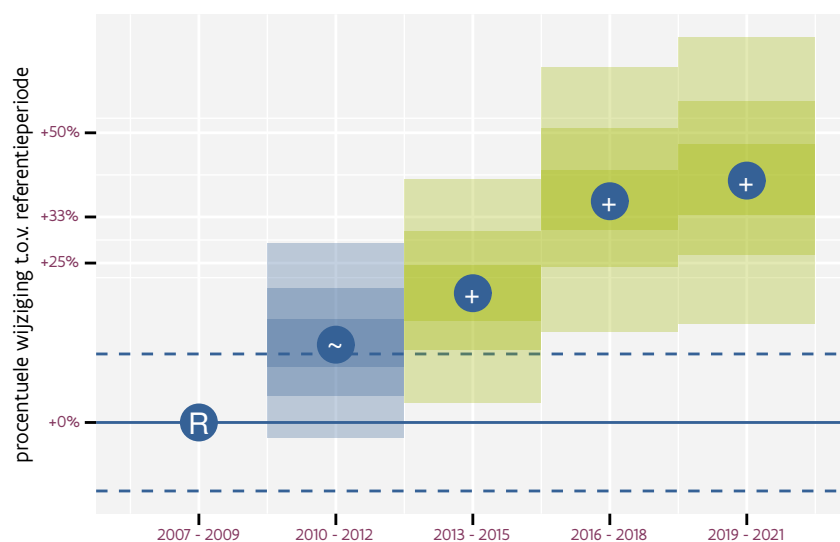
Figuur 69.1: Evolutie van het gemodeleerde gemiddeld aantal waargenomen dieren op een meetpunt voor Meerkoet tijdens de referentieperiode. Zie §4.1 voor een verklaring van de intervallen.



Figuur 69.2: Evolutie van het gemodeleerde gemiddeld aantal waargenomen dieren op een meetpunt voor Meerkoet tijdens de referentieperiode. Zie §4.1 voor een verklaring van de intervallen.



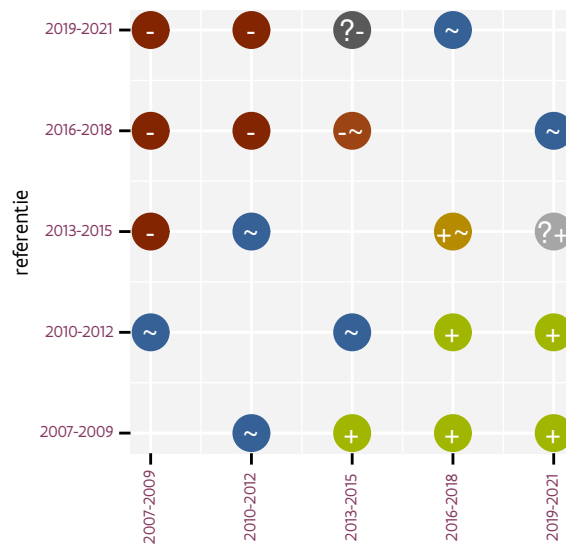
Figuur 69.3: Wijzigingen tussen jaren voor Meerkoet. Zie §4.1 voor een verklaring van de intervallen en §4.2 voor uitleg over de symbolen en referentielijnen.



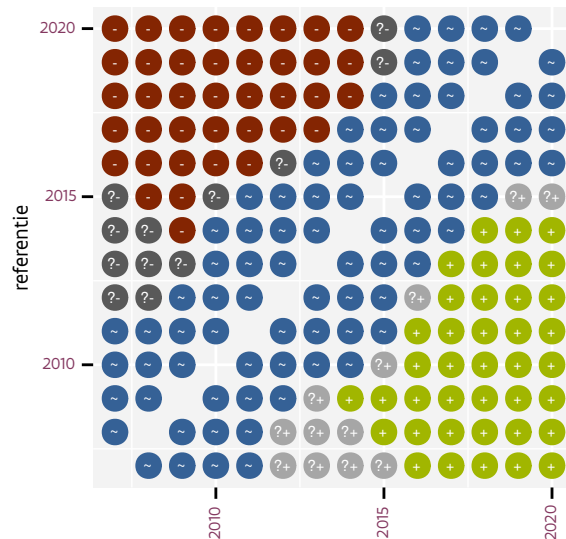
Figuur 69.4: Wijzigingen per driejarige cyclus voor Meerkoet. Zie §4.1 voor een verklaring van de intervallen en §4.2 voor uitleg over de symbolen en referentielijnen.

Tabel 69.1: Stratumgewicht, raming aan het aantal hokken waarin de soort aanwezig is, aantal relevant hokken voor de analyse, aantal onderzochte hokken in het stratum, totaal aantal hokken van het stratum in Vlaanderen en aantal bezoeken aan een meetpunt voor Meerkoet (zie §3.5).

stratum	gewicht	aanwezig	relevant	onderzocht	totaal	bezoeken
Landbouw	79.7%	874.1	59	426	6311	3970
Moeras en water	8.2%	87.3	51	80	137	3168
Heide en duin	4.2%	43.7	20	91	199	1227
Urbaan	3.1%	28.7	6	87	416	372
Bos	2.5%	25.2	15	190	319	1209
Suburbaan	2.4%	23.6	8	68	201	383



Figuur 69.5: Paarsgewijze vergelijking tussen driejarige cycli voor Meerkoet. Uitleg van de symbolen in tabel 4.1.



Figuur 69.6: Paarsgewijze vergelijking tussen jaren voor Meerkoet. Uitleg van de symbolen in tabel 4.1.

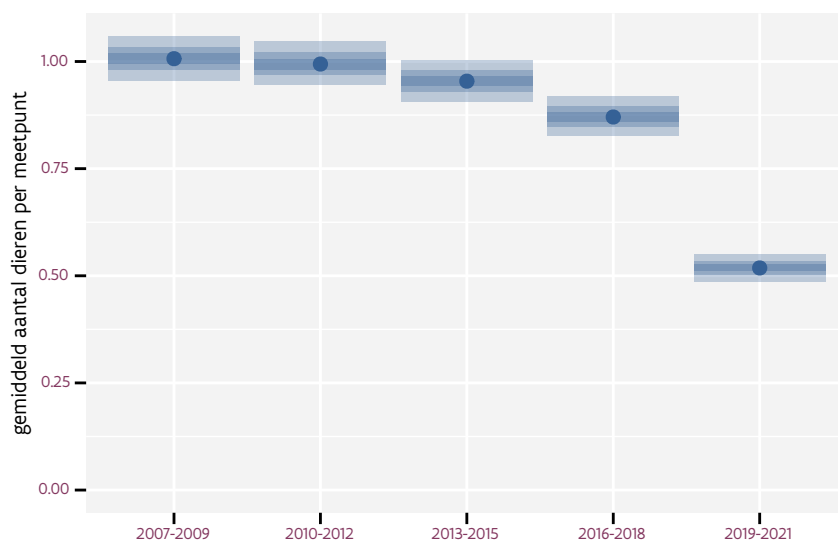
Tabel 69.2: Data-hashes van de analyses in het kader van traceerbaarheid (zie §5.3).

frequentie	model	analyse	status
jaarlijks	lineair	027bb503666c93ef97c9 2d219c01ad3432633f89	e882a343fa4132ba7557 18dea3cd01e2f03e33bd
jaarlijks	niet-lineair	c289d4bdaf0b2c6bb842 555f1e3ef26f71c82cb3	86bcf4bfa93b08f1fd7b 3beff3c9cc84c163f905
driejaarlijks	lineair	82a31fa647cefc8273a9 12cee88998850969d48d	9a5e5ae0fb46d431f19e 3d211eb595bd0c6a374c
driejaarlijks	niet-lineair	c490fd6f2dbfad604f5b c110a70a2b690d326efb	9e42b7f65d3f18024a8a b0e5b99844d3332bd940

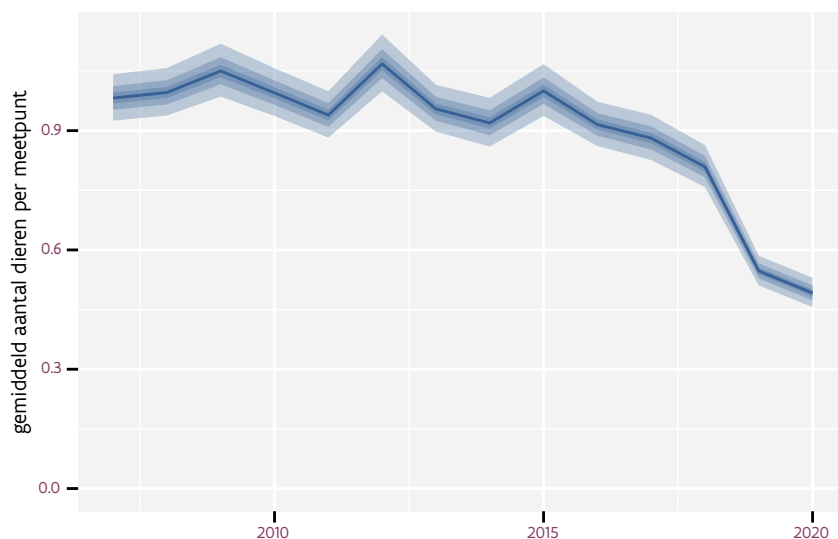
## 70 MEREL

Op basis van driejaarlijkse gegevens zien we gemiddeld een sterke afname met -3.45% (-3.70%; -3.19%) per jaar of -36.6% (-38.7%; -34.4%) over de volledige looptijd van het meetnet. Deze trend is niet-lineair.

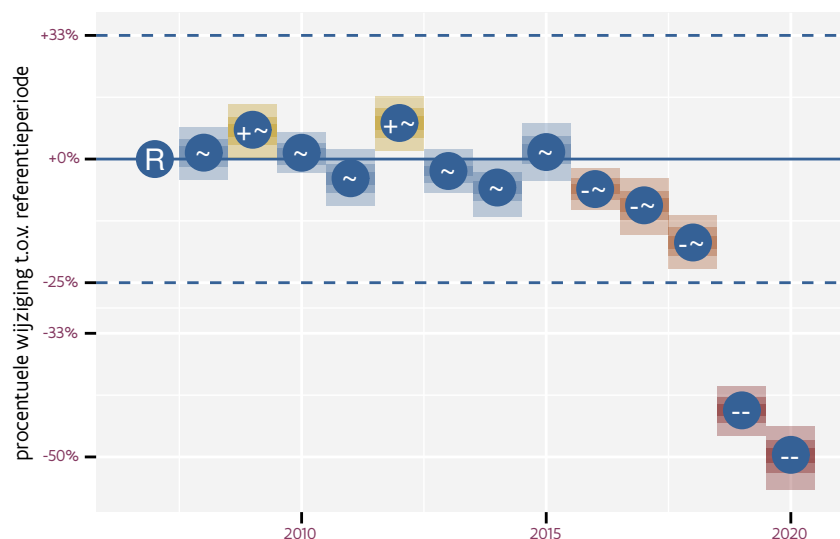
Op basis van jaarlijkse gegevens zien we gemiddeld een sterke afname met -3.38% (-3.63%; -3.12%) per jaar of -36.0% (-38.2%; -33.8%) over de volledige looptijd van het meetnet. Deze trend is niet-lineair.



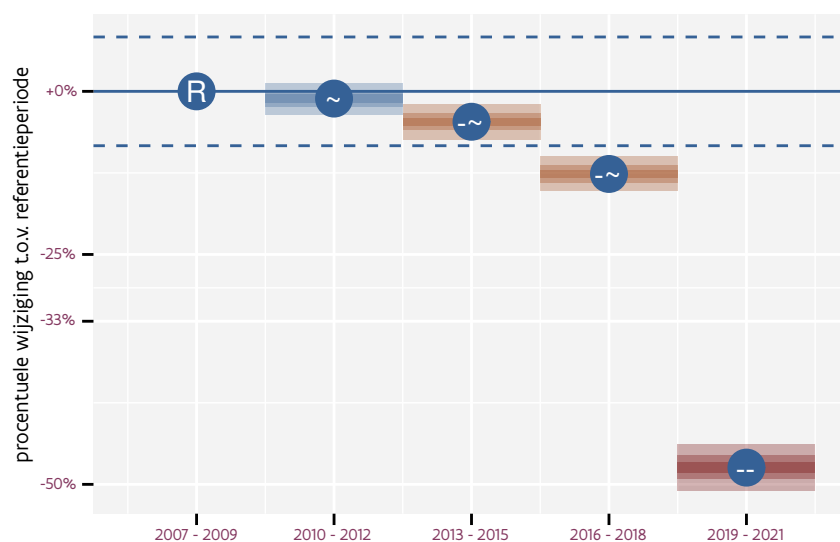
Figuur 70.1: Evolutie van het gemodeleerde gemiddeld aantal waargenomen dieren op een meetpunt voor Merel tijdens de referentieperiode. Zie §4.1 voor een verklaring van de intervallen.



Figuur 70.2: Evolutie van het gemodeleerde gemiddeld aantal waargenomen dieren op een meetpunt voor Merel tijdens de referentieperiode. Zie §4.1 voor een verklaring van de intervallen.



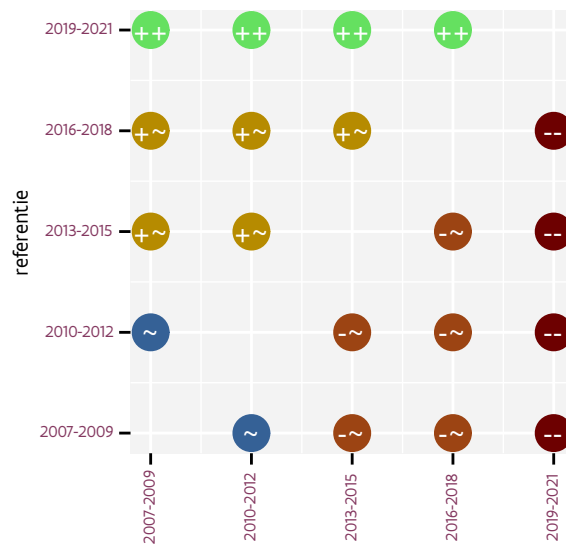
Figuur 70.3: Wijzigingen tussen jaren voor Merel. Zie §4.1 voor een verklaring van de intervallen en §4.2 voor uitleg over de symbolen en referentielijnen.



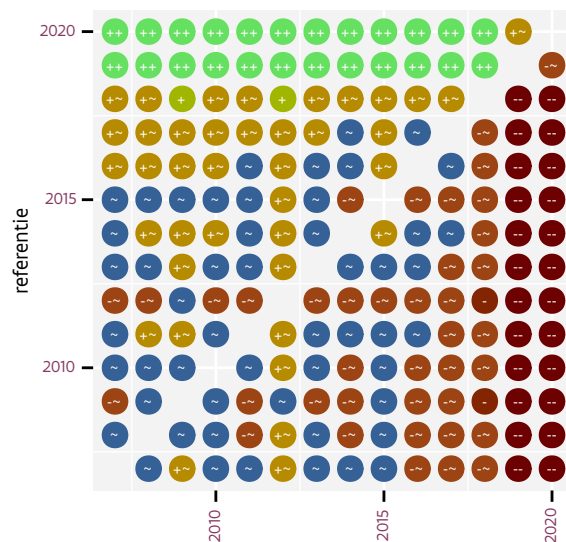
Figuur 70.4: Wijzigingen per driejarige cyclus voor Merel. Zie §4.1 voor een verklaring van de intervallen en §4.2 voor uitleg over de symbolen en referentielijnen.

Tabel 70.1: Stratumgewicht, raming aan het aantal hokken waarin de soort aanwezig is, aantal relevant hokken voor de analyse, aantal onderzochte hokken in het stratum, totaal aantal hokken van het stratum in Vlaanderen en aantal bezoeken aan een meetpunt voor Merel (zie §3.5).

stratum	gewicht	aanwezig	relevant	onderzocht	totaal	bezoeken
Landbouw	82.5%	4918.4	332	426	6311	20210
Urbaan	6.0%	349.1	73	87	416	4372
Bos	4.0%	236.7	141	190	319	8796
Heide en duin	2.9%	168.4	77	91	199	4680
Suburbaan	2.8%	165.5	56	68	201	3233
Moeras en water	1.8%	107.9	63	80	137	3773



Figuur 70.5: Paarsgewijze vergelijking tussen driejarige cycli voor Merel. Uitleg van de symbolen in tabel 4.1.



Figuur 70.6: Paarsgewijze vergelijking tussen jaren voor Merel. Uitleg van de symbolen in tabel 4.1.

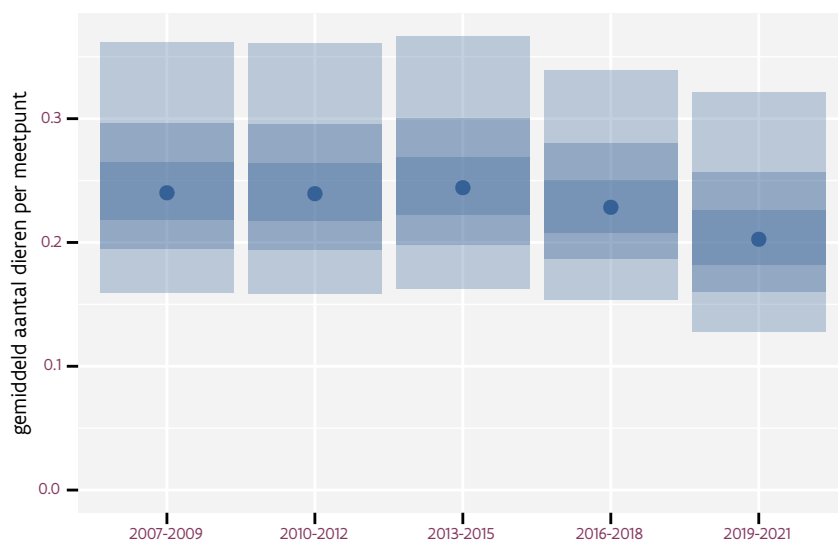
Tabel 70.2: Data-hashes van de analyses in het kader van traceerbaarheid (zie §5.3).

frequentie	model	analyse	status
jaarlijks	lineair	de2e860380c92207dcd2 364d1b109d1cb52e71bf	eb31af462d5171a302ee 30ae7dc995ac9c2bc14a
jaarlijks	niet-lineair	eaec65f3c0e4d2da58fe 8a6ca82f05424643eaaf	d83f23f7ab65a5870ba9 2257d63b605de8890333
driejaarlijks	lineair	3e3b321173e278af667d 95e8c7f21c80411f5d04	fc2604a99b1194e7b70d c94d11f91bec97d59906
driejaarlijks	niet-lineair	354767b34831ec074fa4 6e27b72a2c08539afbc1	c72532eb7b8b127f265d 0a2635164c20ffe4080f

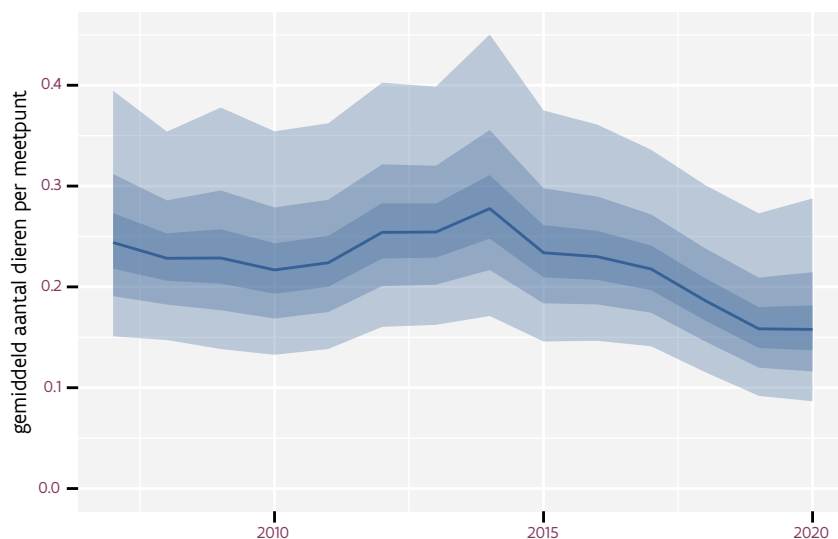
## 71 NACHTEGAAL

Op basis van driejaarlijkse gegevens zien we gemiddeld een mogelijk afname met -2.2% (-4.9%; +0.6%) per jaar of -25% (-48%; +9%) over de volledige looptijd van het meetnet. Deze trend is niet-lineair.

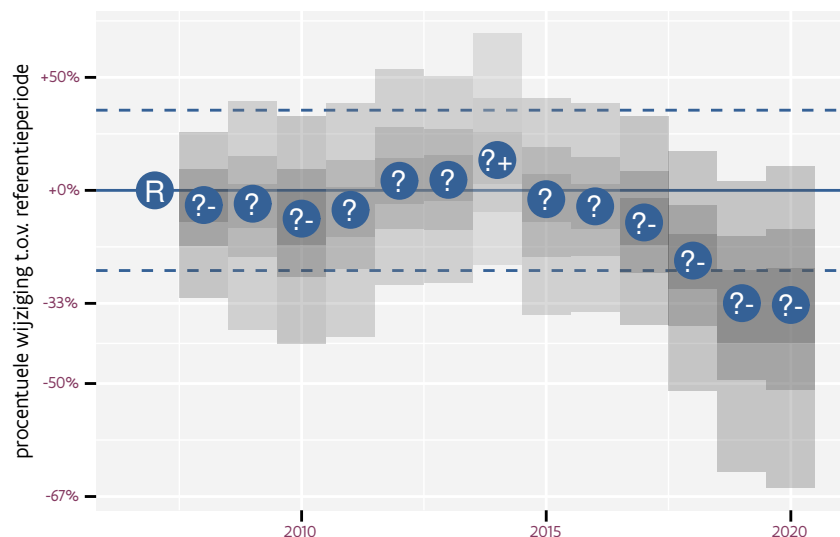
Op basis van jaarlijkse gegevens zien we gemiddeld een mogelijk afname met -2.0% (-4.7%; +0.9%) per jaar of -23% (-47%; +12%) over de volledige looptijd van het meetnet. Deze trend is niet-lineair.



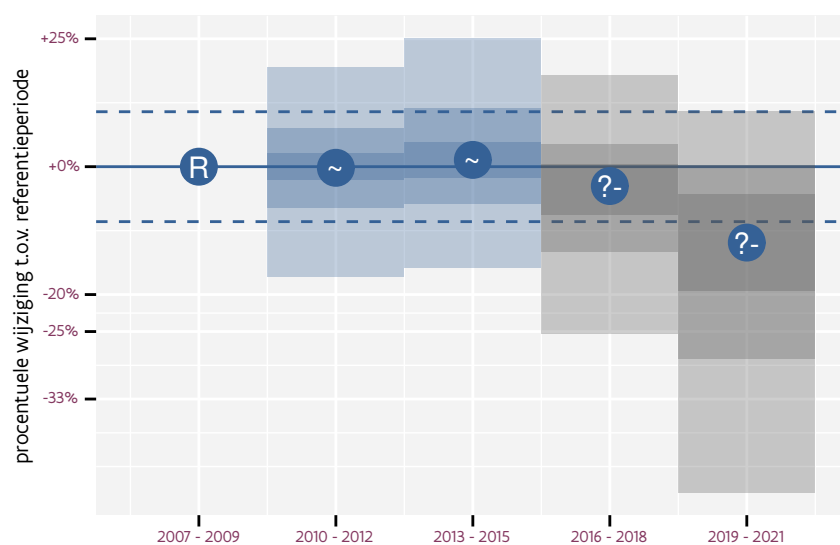
Figuur 71.1: Evolutie van het gemodeleerde gemiddeld aantal waargenomen dieren op een meetpunt voor Nachtegaal tijdens de referentieperiode. Zie §4.1 voor een verklaring van de intervallen.



Figuur 71.2: Evolutie van het gemodeleerde gemiddeld aantal waargenomen dieren op een meetpunt voor Nachtegaal tijdens de referentieperiode. Zie §4.1 voor een verklaring van de intervallen.



Figuur 71.3: Wijzigingen tussen jaren voor Nachtegaal. Zie §4.1 voor een verklaring van de intervallen en §4.2 voor uitleg over de symbolen en referentielijnen.

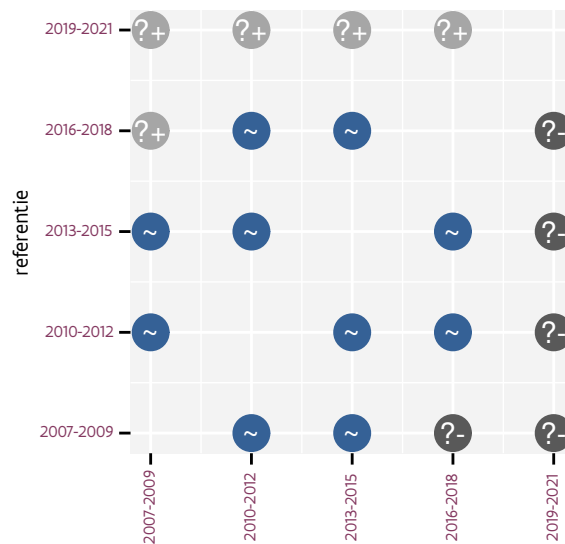


Figuur 71.4: Wijzigingen per driejarige cyclus voor Nachtegaal. Zie §4.1 voor een verklaring van de intervallen en §4.2 voor uitleg over de symbolen en referentielijnen.

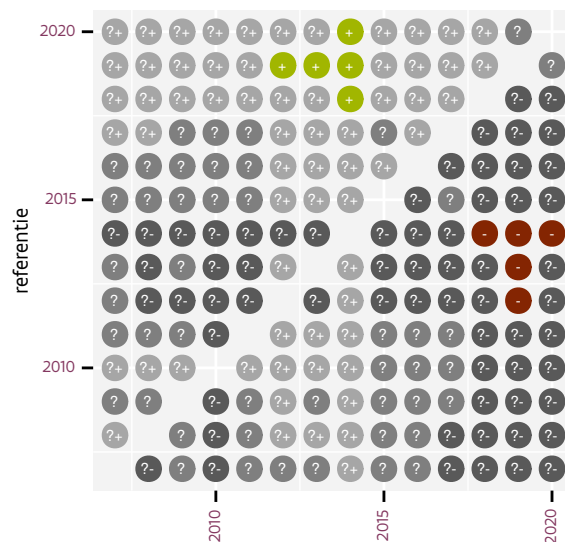
Tabel 71.1: Stratumgewicht, raming aan het aantal hokken waarin de soort aanwezig is, aantal relevant hokken voor de analyse, aantal onderzochte hokken in het stratum, totaal aantal hokken van het stratum in Vlaanderen en aantal bezoeken aan een meetpunt voor Nachtegaal (zie §3.5).

stratum	gewicht	aanwezig	relevant	onderzocht	totaal	bezoeken
Heide en duin	60.9%	24.1	11	91	199	563
Moeras en water	39.1%	13.7	8	80	137	624





Figuur 71.5: Paarsgewijze vergelijking tussen driejarige cycli voor Nachtegaal. Uitleg van de symbolen in tabel 4.1.



Figuur 71.6: Paarsgewijze vergelijking tussen jaren voor Nachtegaal. Uitleg van de symbolen in tabel 4.1.

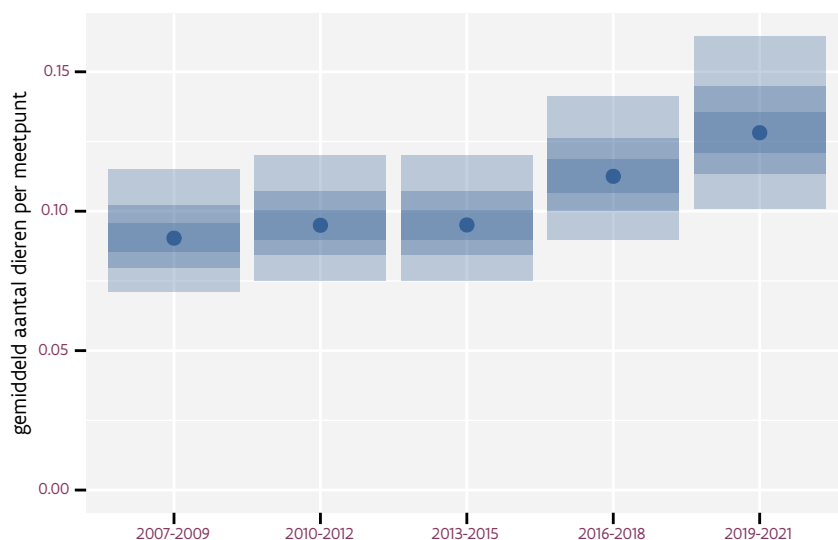
Tabel 71.2: Data-hashes van de analyses in het kader van traceerbaarheid (zie §5.3).

frequentie	model	analyse	status
jaarlijks	lineair	a6462c0fbb894fba7e1f 5bd9695332a463b6ab28	12aa5c9546443f662a47 8df633bd23a19a12a253
jaarlijks	niet-lineair	70fa52cfa37b1b657eaf 6c5dd46aa14074b8fadb	2b40eda0f8def6113b41 3d932d9ced35c6083eb6
driejaarlijks	lineair	7e12d058697c4ff45d52 e4b6a83387f1cbc69284	75d57ee3d83abbc099f4 5eadd8874da3791ed1e2
driejaarlijks	niet-lineair	47a2b64a0396241cb775 0f0487f5c678c06dc5e2	6286beb4f9d004631b4a 74050273af61b6cf5f1c

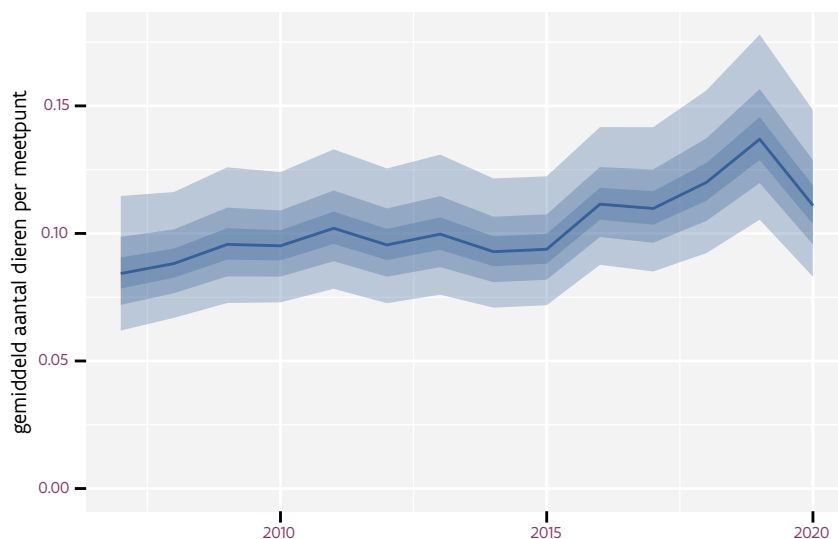
## 72 NIJLGANS

Op basis van driejaarlijkse gegevens zien we gemiddeld een toename met +3.5% (+2.0%; +5.1%) per jaar of +57% (+29%; +91%) over de volledige looptijd van het meetnet. Deze trend is lineair.

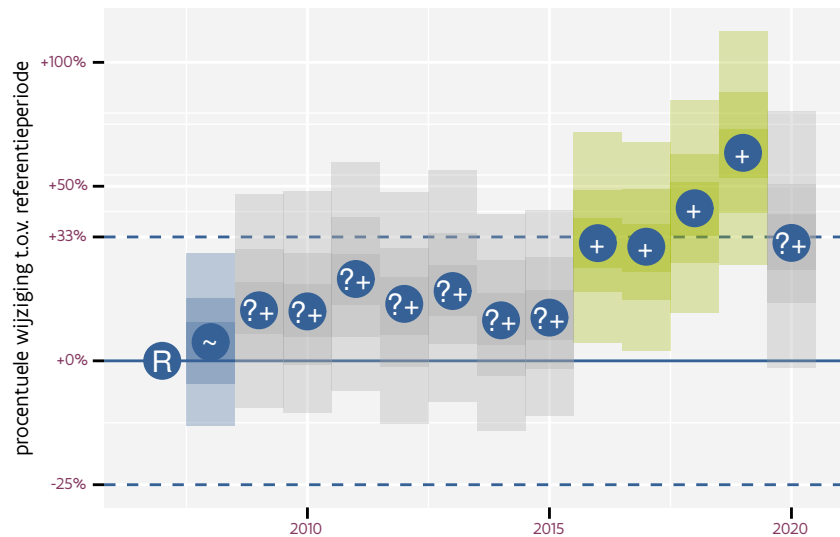
Op basis van jaarlijkse gegevens zien we gemiddeld een toename met +3.3% (+1.7%; +4.8%) per jaar of +52% (+25%; +84%) over de volledige looptijd van het meetnet. Deze trend is niet-lineair.



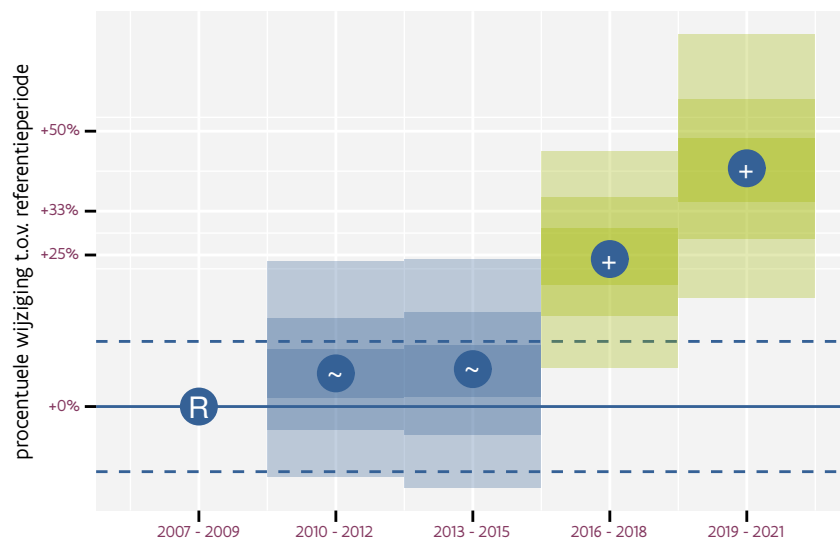
Figuur 72.1: Evolutie van het gemodeleerde gemiddeld aantal waargenomen dieren op een meetpunt voor Nijlgans tijdens de referentieperiode. Zie §4.1 voor een verklaring van de intervallen.



Figuur 72.2: Evolutie van het gemodeleerde gemiddeld aantal waargenomen dieren op een meetpunt voor Nijlgans tijdens de referentieperiode. Zie §4.1 voor een verklaring van de intervallen.



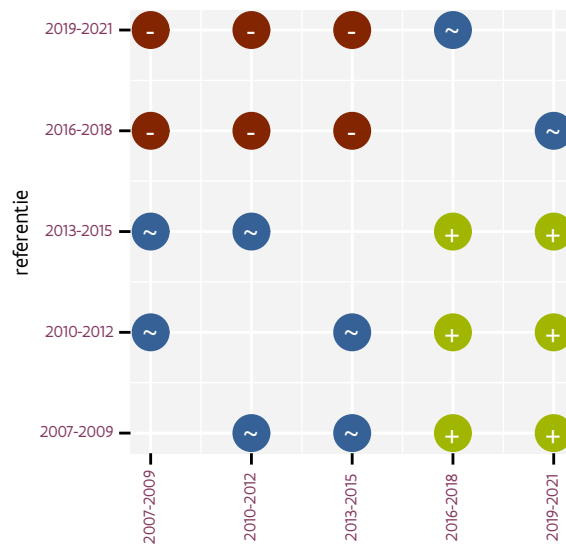
Figuur 72.3: Wijzigingen tussen jaren voor Nijlgans. Zie §4.1 voor een verklaring van de intervallen en §4.2 voor uitleg over de symbolen en referentielijnen.



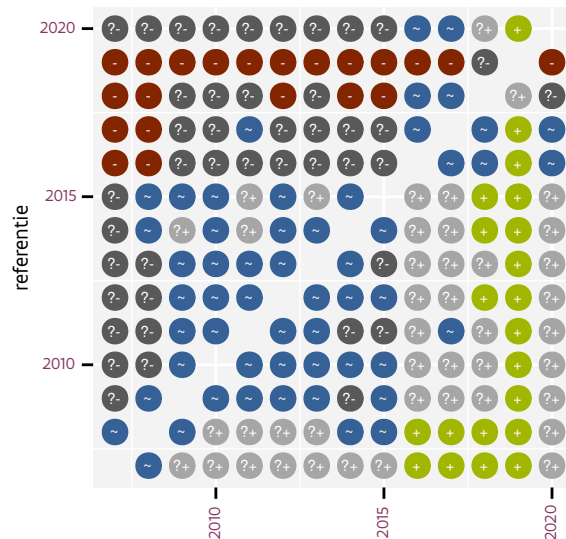
Figuur 72.4: Wijzigingen per driejarige cyclus voor Nijlgans. Zie §4.1 voor een verklaring van de intervallen en §4.2 voor uitleg over de symbolen en referentielijnen.

Tabel 72.1: Stratungewicht, raming aan het aantal hokken waarin de soort aanwezig is, aantal relevant hokken voor de analyse, aantal onderzochte hokken in het stratum, totaal aantal hokken van het stratum in Vlaanderen en aantal bezoeken aan een meetpunt voor Nijlgans (zie §3.5).

stratum	gewicht	aanwezig	relevant	onderzocht	totaal	bezoeken
Landbouw	90.8%	1318.5	89	426	6311	6065
Moeras en water	4.1%	58.2	34	80	137	2266
Heide en duin	2.1%	28.4	13	91	199	822
Bos	1.6%	21.8	13	190	319	1119
Urbaan	1.3%	14.3	3	87	416	179



Figuur 72.5: Paarsgewijze vergelijking tussen driejarige cycli voor Nijlgans. Uitleg van de symbolen in tabel 4.1.



Figuur 72.6: Paarsgewijze vergelijking tussen jaren voor Nijlgans. Uitleg van de symbolen in tabel 4.1.

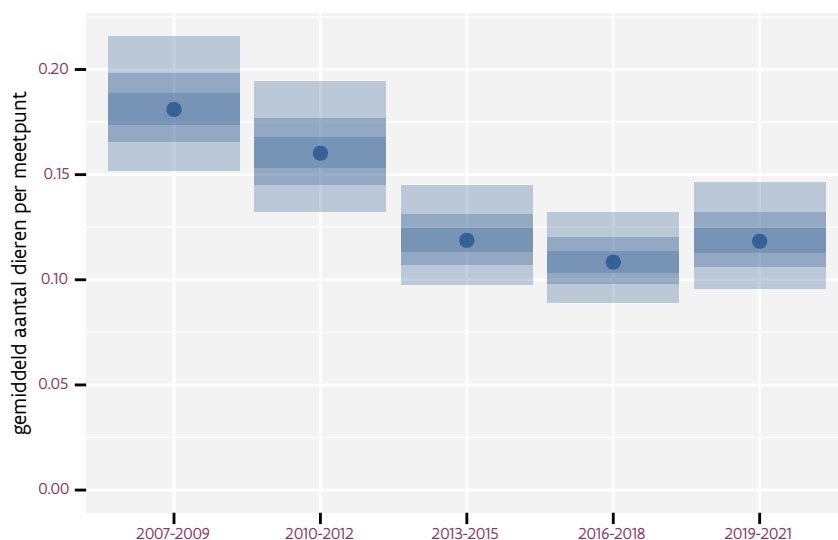
Tabel 72.2: Data-hashes van de analyses in het kader van traceerbaarheid (zie §5.3).

frequentie	model	analyse	status
jaarlijks	lineair	87a8c28b6d7e3bc4aba5 3aea29c5c169083834d7	552f4b683f92f10a12a1 217e57764d38472614ec
jaarlijks	niet-lineair	ded632ab0f889065e668 069e4e6c16aa697dde71	7b68ea2c54a5bfe043c7 1fcc6e35017d75e02905
driejaarlijks	lineair	da153d8a36afe068a4b2 49453632742a0c900fcd	fd55d78fd3a503faee7b 2f9c49f8ea88dbc7dfef
driejaarlijks	niet-lineair	303ba0b5c10988c2a7a4 faff0e888970fbfb3174	f4fa6b630e058fd0934b c2a2b28821f3b7ca2dcc

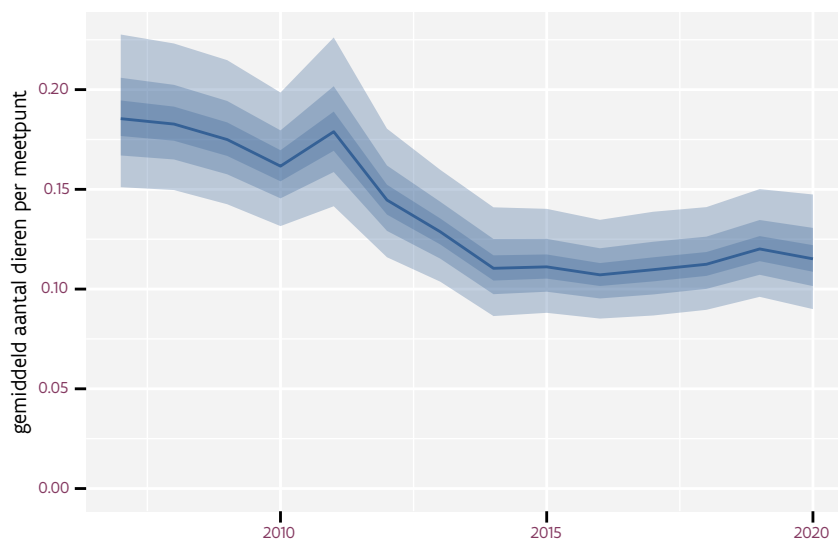
## 73 PATRIJS

Op basis van driejaarlijkse gegevens zien we gemiddeld een sterke afname met -4.8% (-6.2%; -3.4%) per jaar of -47% (-57%; -36%) over de volledige looptijd van het meetnet. Deze trend is niet-lineair.

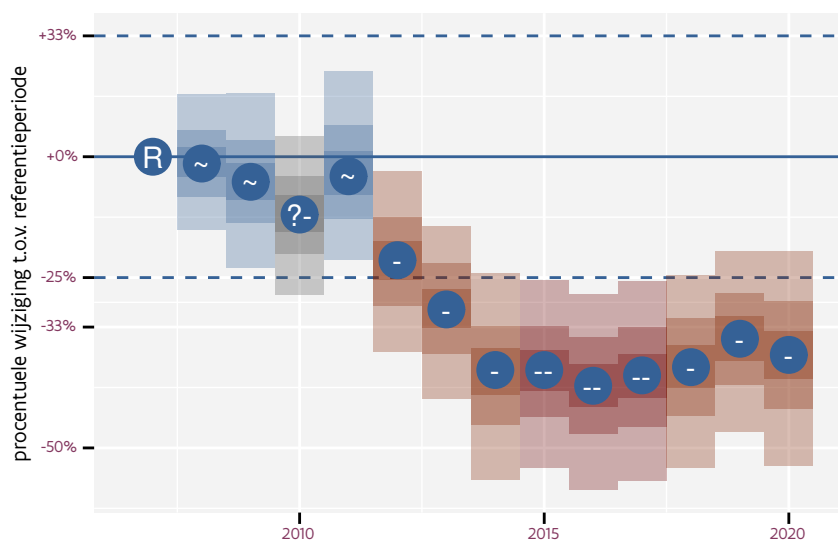
Op basis van jaarlijkse gegevens zien we gemiddeld een sterke afname met -4.8% (-6.2%; -3.4%) per jaar of -47% (-56%; -36%) over de volledige looptijd van het meetnet. Deze trend is niet-lineair.



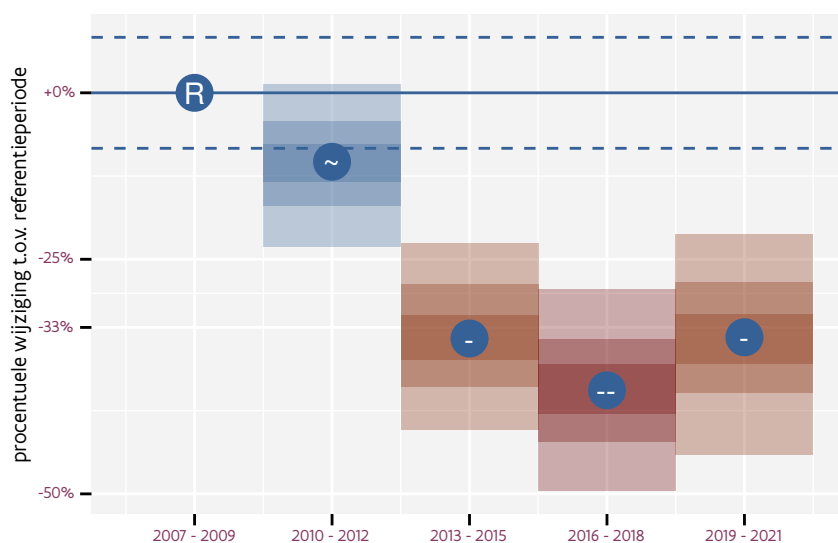
Figuur 73.1: Evolutie van het gemodeleerde gemiddeld aantal waargenomen dieren op een meetpunt voor Patrijs tijdens de referentieperiode. Zie §4.1 voor een verklaring van de intervallen.



Figuur 73.2: Evolutie van het gemodeleerde gemiddeld aantal waargenomen dieren op een meetpunt voor Patrijs tijdens de referentieperiode. Zie §4.1 voor een verklaring van de intervallen.



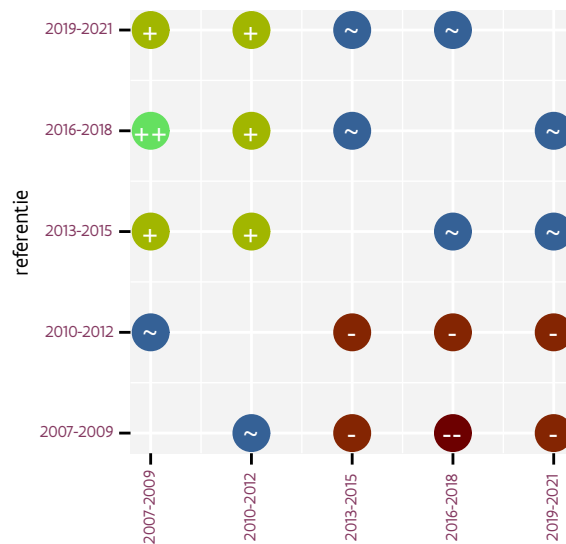
Figuur 73.3: Wijzigingen tussen jaren voor Patrijs. Zie §4.1 voor een verklaring van de intervallen en §4.2 voor uitleg over de symbolen en referentielijnen.



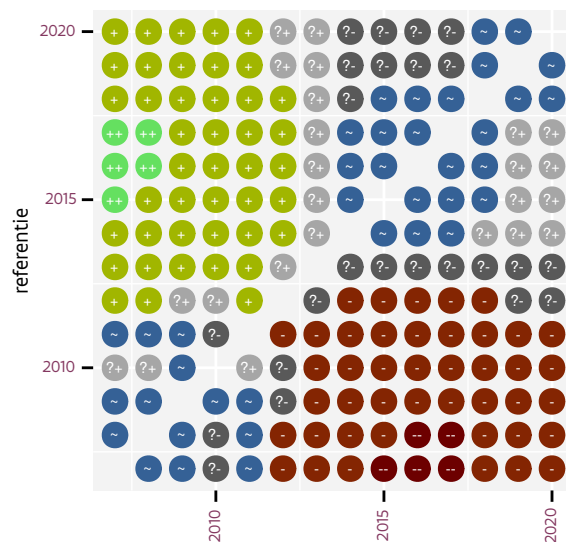
Figuur 73.4: Wijzigingen per driejarige cyclus voor Patrijs. Zie §4.1 voor een verklaring van de intervallen en §4.2 voor uitleg over de symbolen en referentielijnen.

Tabel 73.1: Stratumgewicht, raming aan het aantal hokken waarin de soort aanwezig is, aantal relevant hokken voor de analyse, aantal onderzochte hokken in het stratum, totaal aantal hokken van het stratum in Vlaanderen en aantal bezoeken aan een meetpunt voor Patrijs (zie §3.5).

stratum	gewicht	aanwezig	relevant	onderzocht	totaal	bezoeken
Landbouw	100.0%	2014.8	136	426	6311	9135



Figuur 73.5: Paarsgewijze vergelijking tussen driejarige cycli voor Patrijs. Uitleg van de symbolen in tabel 4.1.



Figuur 73.6: Paarsgewijze vergelijking tussen jaren voor Patrijs. Uitleg van de symbolen in tabel 4.1.

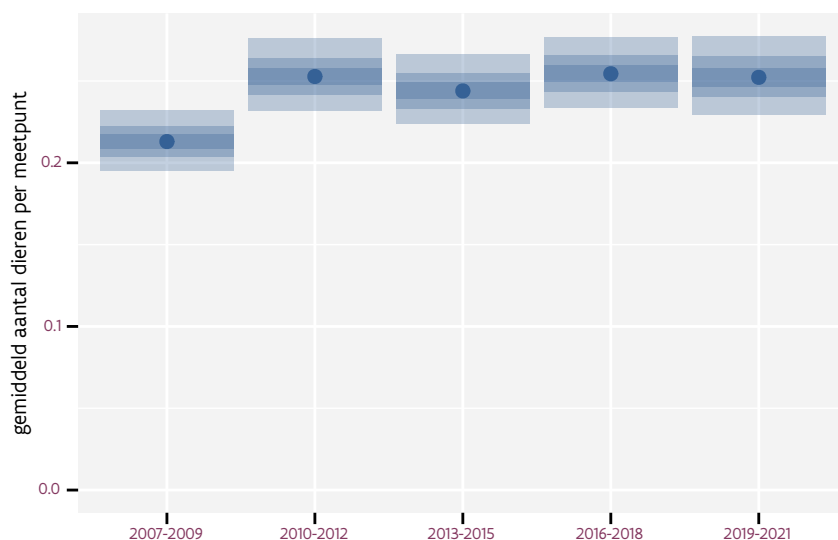
Tabel 73.2: Data-hashes van de analyses in het kader van traceerbaarheid (zie §5.3).

frequentie	model	analyse	status
jaarlijks	lineair	99f0f1b5dde44b1322ec 7004b7fc98de5704f06c	f4d303237d3980a83d82 2b1e30dae9954de5dd3f
jaarlijks	niet-lineair	8e0d9755f880c171ea70 6be9e4e860f835507136	ba7801677766b5966929 a726b7380f87efadc831
driejaarlijks	lineair	34b29c627fb1d6519b9f 088aa5ee0edded69c6de	f1dd669817296c5303a8 df3c2afe9045e76ae962
driejaarlijks	niet-lineair	bad17703ead30bc28c43 87d25b142a78bb634914	c1212ad342a21d2177b9 fc1774f56d507484ce71

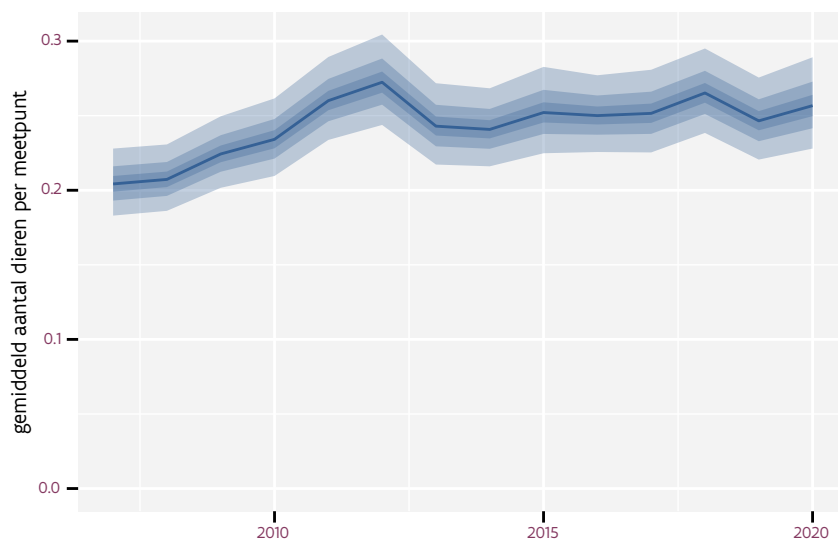
## 74 PIMPELMEES

Op basis van driejaarlijkse gegevens zien we gemiddeld een matige toename met +1.38% (+0.79%; +1.99%) per jaar of +20% (+11%; +29%) over de volledige looptijd van het meetnet. Deze trend is niet-lineair.

Op basis van jaarlijkse gegevens zien we gemiddeld een matige toename met +1.5% (+0.9%; +2.1%) per jaar of +21% (+12%; +31%) over de volledige looptijd van het meetnet. Deze trend is niet-lineair.

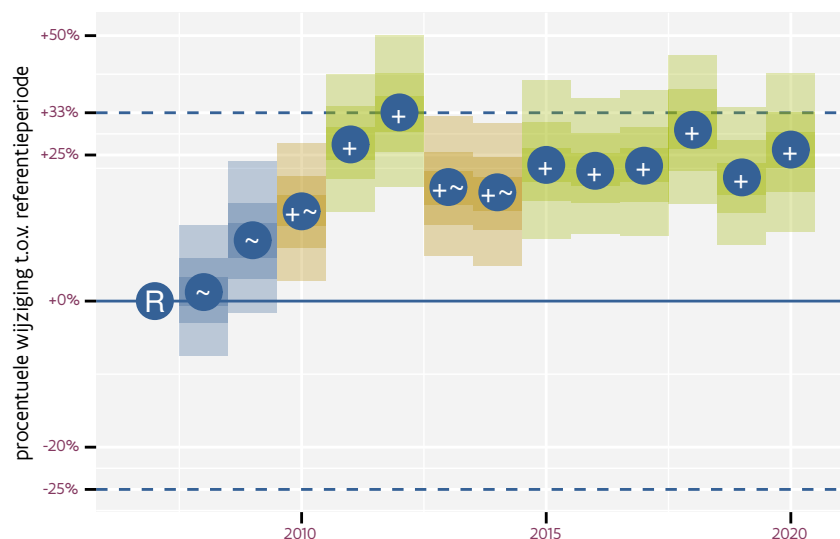


Figuur 74.1: Evolutie van het gemodeleerde gemiddeld aantal waargenomen dieren op een meetpunt voor Pimpelmees tijdens de referentieperiode. Zie §4.1 voor een verklaring van de intervallen.

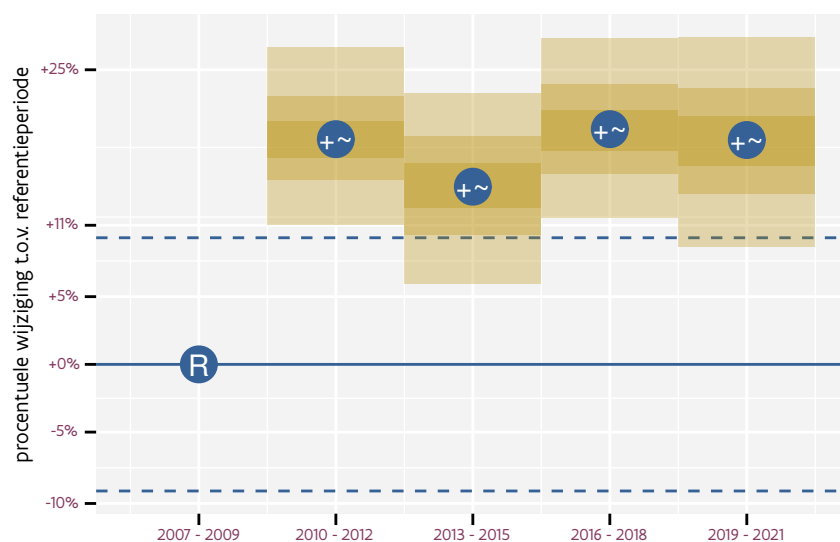


Figuur 74.2: Evolutie van het gemodeleerde gemiddeld aantal waargenomen dieren op een meetpunt voor Pimpelmees tijdens de referentieperiode. Zie §4.1 voor een verklaring van de intervallen.





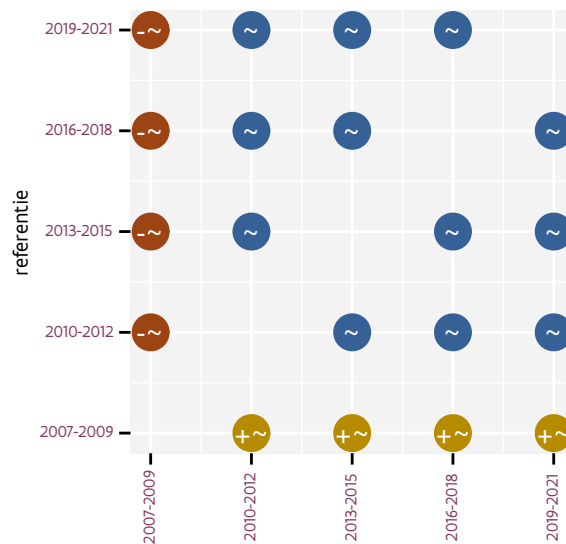
Figuur 74.3: Wijzigingen tussen jaren voor Pimpelmees. Zie §4.1 voor een verklaring van de intervallen en §4.2 voor uitleg over de symbolen en referentielijnen.



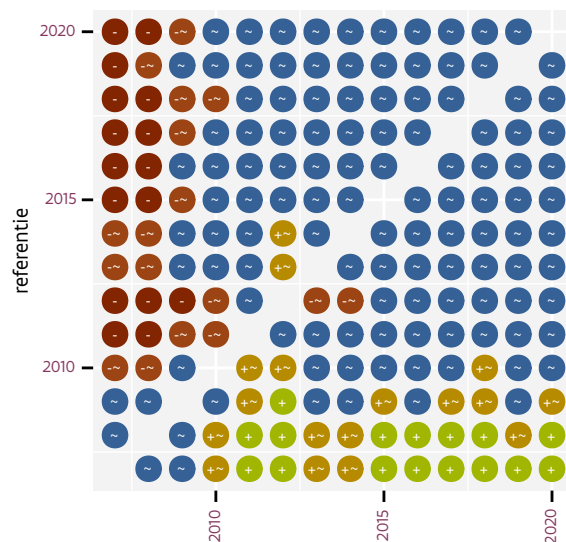
Figuur 74.4: Wijzigingen per driejarige cyclus voor Pimpelmees. Zie §4.1 voor een verklaring van de intervallen en §4.2 voor uitleg over de symbolen en referentielijnen.

Tabel 74.1: Stratumgewicht, raming aan het aantal hokken waarin de soort aanwezig is, aantal relevant hokken voor de analyse, aantal onderzochte hokken in het stratum, totaal aantal hokken van het stratum in Vlaanderen en aantal bezoeken aan een meetpunt voor Pimpelmees (zie §3.5).

stratum	gewicht	aanwezig	relevant	onderzocht	totaal	bezoeken
Landbouw	80.2%	3777.7	255	426	6311	16578
Urbaan	7.0%	325.1	68	87	416	4148
Bos	4.6%	214.9	128	190	319	8280
Heide en duin	3.2%	146.5	67	91	199	4159
Suburbaan	3.0%	138.9	47	68	201	2869
Moeras en water	2.0%	94.2	55	80	137	3385



Figuur 74.5: Paarsgewijze vergelijking tussen driejarige cycli voor Pimpelmees. Uitleg van de symbolen in tabel 4.1.



Figuur 74.6: Paarsgewijze vergelijking tussen jaren voor Pimpelmees. Uitleg van de symbolen in tabel 4.1.

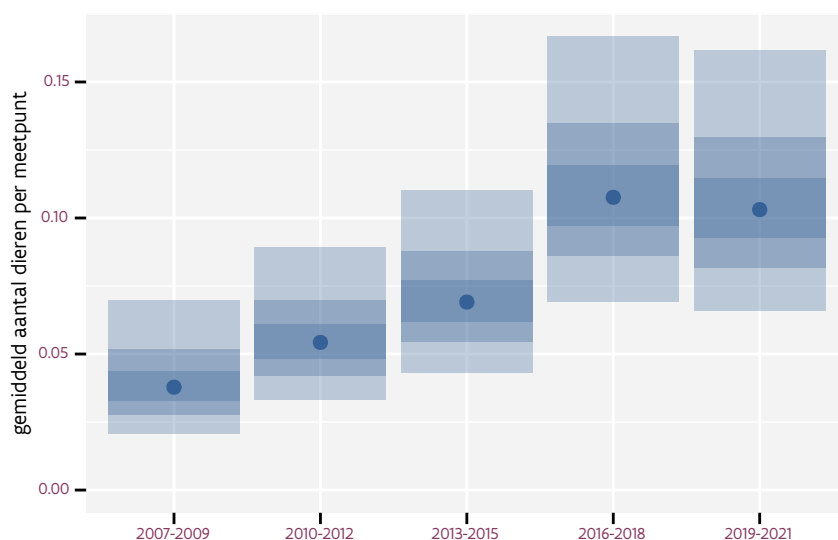
Tabel 74.2: Data-hashes van de analyses in het kader van traceerbaarheid (zie §5.3).

frequentie	model	analyse	status
jaarlijks	lineair	8cdb29f830c9278e82db 809d23c797cc9d9a1692	a060134c7f8ae6beaa8f fcf4d2565f338ac2b885
jaarlijks	niet-lineair	86d36fc0d27731dbe25f 7bdbc5a863604282cc84	7ff1fdf7ddb892c045c9 ee3f5530bcd3db2ecbb7
driejaarlijks	lineair	7f45a1536d86e88fbe17 5027bca5ae37a976e0df	49e76a07e0dbb94f7cc4 f98f8bf66690597bede2
driejaarlijks	niet-lineair	c51822f62d4a6ef9e735 208e75d99391e36b1bda	dfd6bae5d2d86e00929c 4e21b6a7705bb3f93130

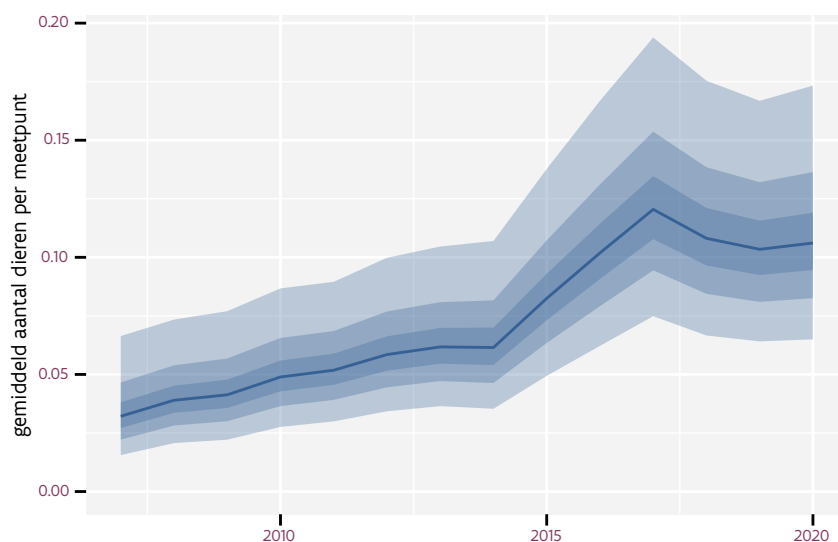
## 75 PUTTER

Op basis van driejaarlijkse gegevens zien we gemiddeld een sterke toename met +11.46% (+7.34%; +15.74%) per jaar of +310% (+150%; +570%) over de volledige looptijd van het meetnet. Deze trend is niet-lineair.

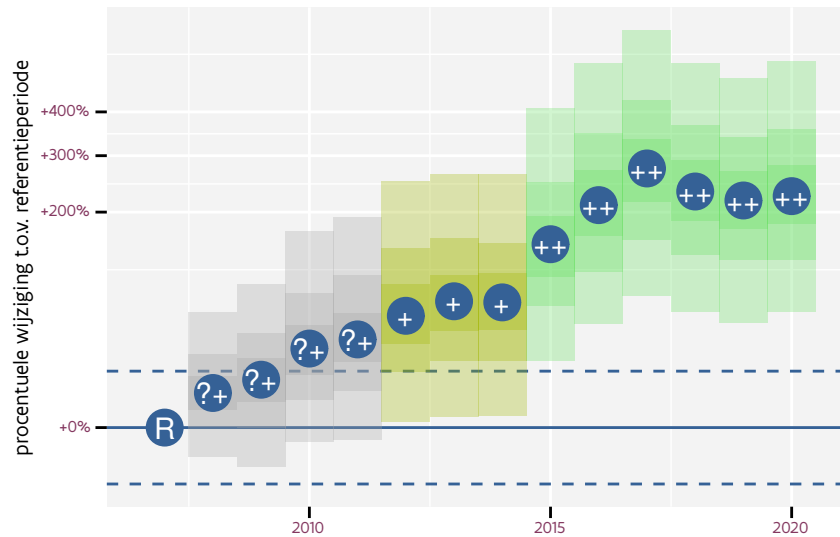
Op basis van jaarlijkse gegevens zien we gemiddeld een sterke toename met +11.75% (+7.59%; +16.07%) per jaar of +320% (+160%; +590%) over de volledige looptijd van het meetnet. Deze trend is niet-lineair.



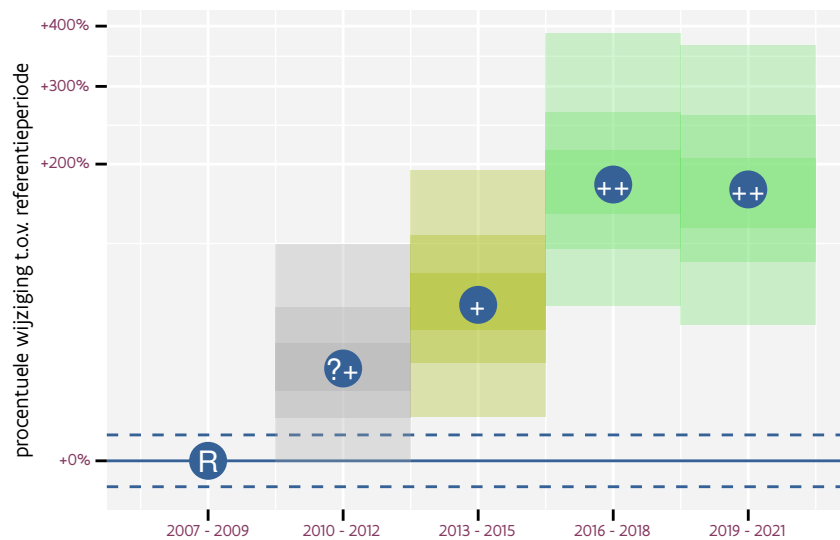
Figuur 75.1: Evolutie van het gemodeleerde gemiddeld aantal waargenomen dieren op een meetpunt voor Putter tijdens de referentieperiode. Zie §4.1 voor een verklaring van de intervallen.



Figuur 75.2: Evolutie van het gemodeleerde gemiddeld aantal waargenomen dieren op een meetpunt voor Putter tijdens de referentieperiode. Zie §4.1 voor een verklaring van de intervallen.



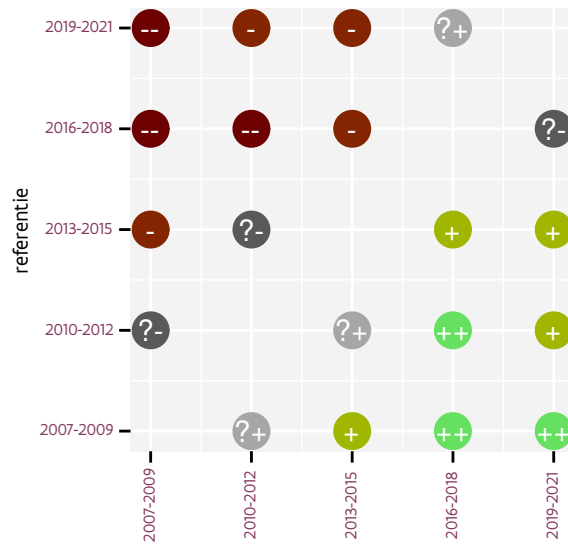
Figuur 75.3: Wijzigingen tussen jaren voor Putter. Zie §4.1 voor een verklaring van de intervallen en §4.2 voor uitleg over de symbolen en referentielijnen.



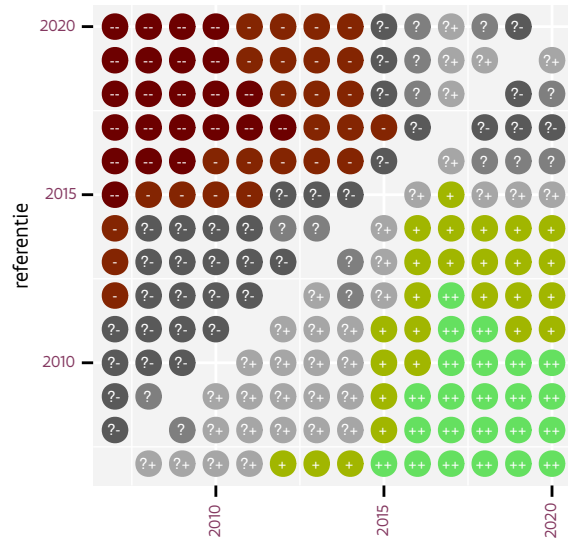
Figuur 75.4: Wijzigingen per driejarige cyclus voor Putter. Zie §4.1 voor een verklaring van de intervallen en §4.2 voor uitleg over de symbolen en referentielijnen.

Tabel 75.1: Stratungewicht, raming aan het aantal hokken waarin de soort aanwezig is, aantal relevant hokken voor de analyse, aantal onderzochte hokken in het stratum, totaal aantal hokken van het stratum in Vlaanderen en aantal bezoeken aan een meetpunt voor Putter (zie §3.5).

stratum	gewicht	aanwezig	relevant	onderzocht	totaal	bezoeken
Landbouw	85.8%	429.6	29	426	6311	2084
Urbaan	5.8%	23.9	5	87	416	390
Suburbaan	5.3%	23.6	8	68	201	493
Moeras en water	3.1%	13.7	8	80	137	555



Figuur 75.5: Paarsgewijze vergelijking tussen driejarige cycli voor Putter. Uitleg van de symbolen in tabel 4.1.



Figuur 75.6: Paarsgewijze vergelijking tussen jaren voor Putter. Uitleg van de symbolen in tabel 4.1.

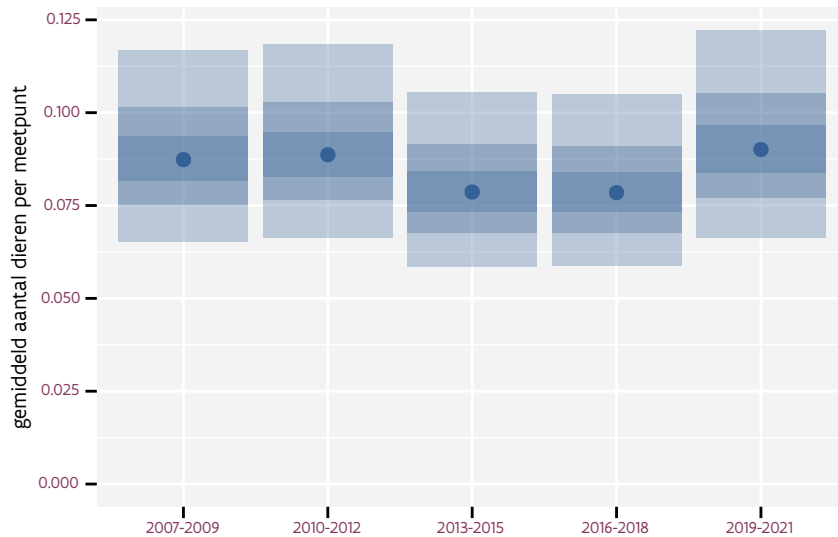
Tabel 75.2: Data-hashes van de analyses in het kader van traceerbaarheid (zie §5.3).

frequentie	model	analyse	status
jaarlijks	lineair	9cb76624f19cbc068208 a3915e50537f605e16f7	ad73677c4d4e91fe4d54 05b436450dabbda5cf0a
jaarlijks	niet-lineair	a5c4186e4e30710cad62 63e32ad6f3a252216b71	4d4da2f4da4ffb2d987f 7fa8ccd1dedc196665ae
driejaarlijks	lineair	e114ae48bfb01bfb66f2 996732a3ca58795b0ef3	0ff659d14cacbd3a941e b2539435027d7c5eb56d
driejaarlijks	niet-lineair	536c99e16d3d194b184a eefcc76c5582089f19d8	4d3208ec1eb8f3e499ca 8db4670208960035aaae

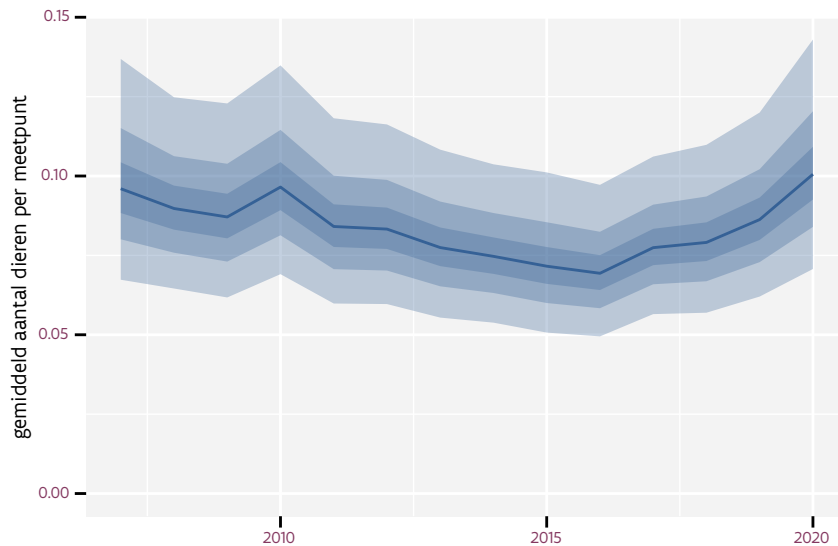
## 76 RIETGORS

Op basis van driejaarlijkse gegevens zien we gemiddeld een mogelijk afname met -0.7% (-2.7%; +1.4%) per jaar of -8% (-30%; +21%) over de volledige looptijd van het meetnet. Deze trend is niet-lineair.

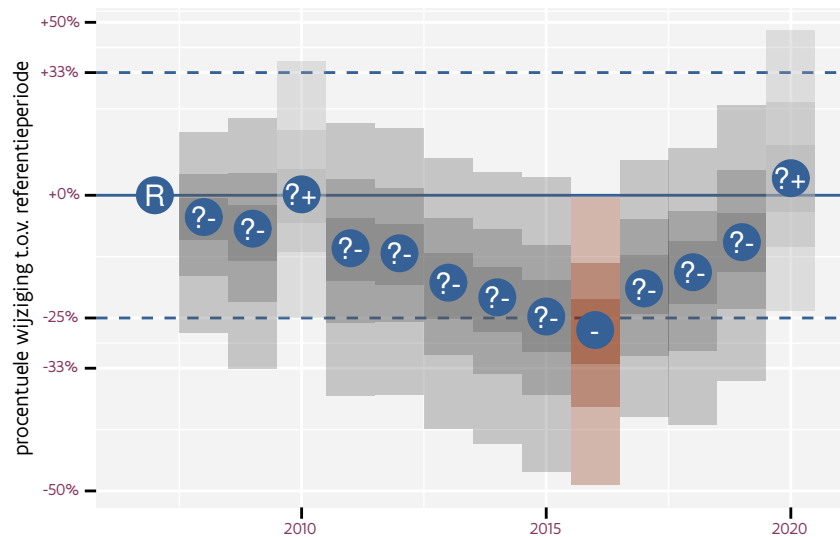
Op basis van jaarlijkse gegevens zien we gemiddeld een mogelijk afname met -0.8% (-2.8%; +1.3%) per jaar of -10% (-31%; +18%) over de volledige looptijd van het meetnet. Deze trend is niet-lineair.



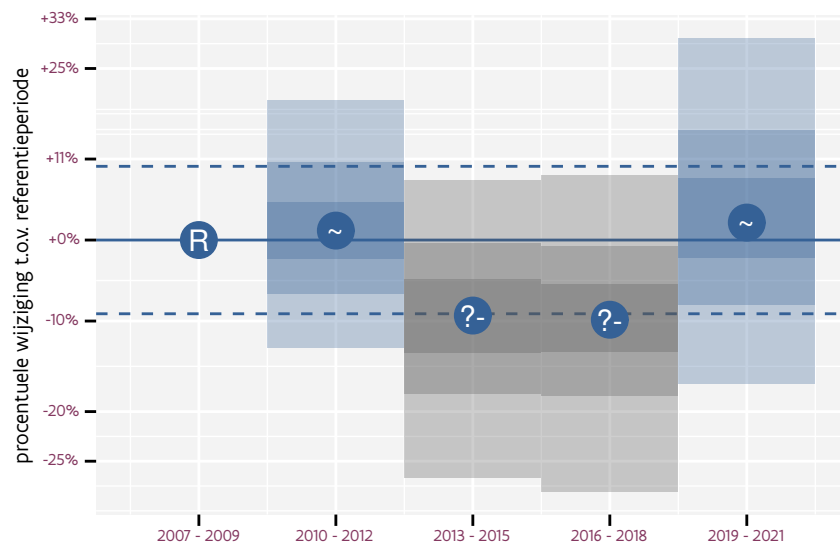
Figuur 76.1: Evolutie van het gemodeleerde gemiddeld aantal waargenomen dieren op een meetpunt voor Rietgors tijdens de referentieperiode. Zie §4.1 voor een verklaring van de intervallen.



Figuur 76.2: Evolutie van het gemodeleerde gemiddeld aantal waargenomen dieren op een meetpunt voor Rietgors tijdens de referentieperiode. Zie §4.1 voor een verklaring van de intervallen.



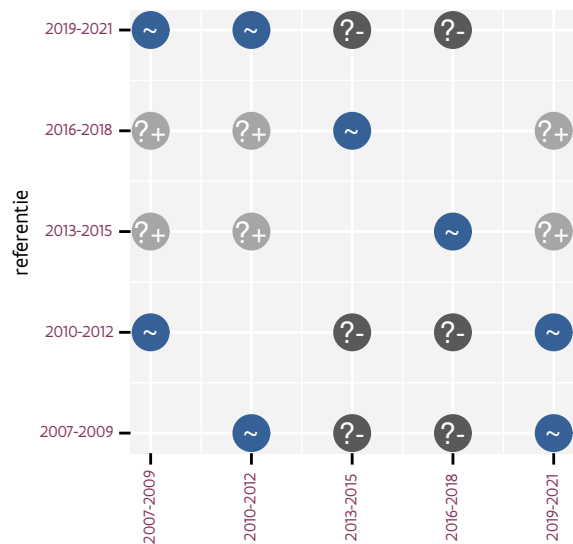
Figuur 76.3: Wijzigingen tussen jaren voor Rietgors. Zie §4.1 voor een verklaring van de intervallen en §4.2 voor uitleg over de symbolen en referentielijnen.



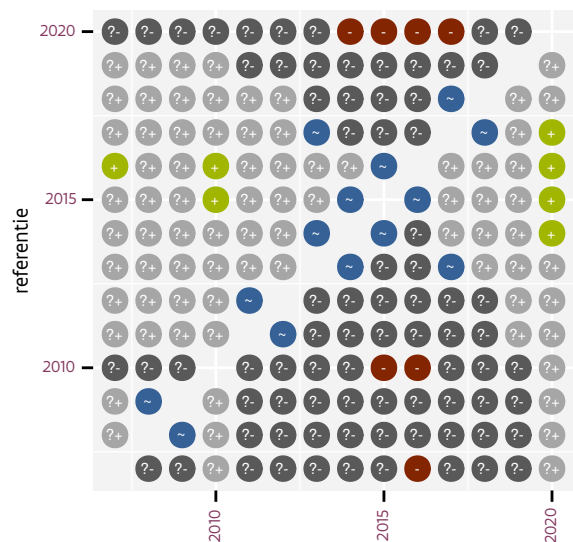
Figuur 76.4: Wijzigingen per driejarige cyclus voor Rietgors. Zie §4.1 voor een verklaring van de intervallen en §4.2 voor uitleg over de symbolen en referentielijnen.

Tabel 76.1: Stratumgewicht, raming aan het aantal hokken waarin de soort aanwezig is, aantal relevant hokken voor de analyse, aantal onderzochte hokken in het stratum, totaal aantal hokken van het stratum in Vlaanderen en aantal bezoeken aan een meetpunt voor Rietgors (zie §3.5).

stratum	gewicht	aanwezig	relevant	onderzocht	totaal	bezoeken
Landbouw	80.0%	400.0	27	426	6311	1976
Moeras en water	7.6%	37.7	22	80	137	1525
Heide en duin	7.6%	39.4	18	91	199	1238
Suburbaan	3.4%	14.8	5	68	201	198
Bos	1.3%	5.0	3	190	319	432



Figuur 76.5: Paarsgewijze vergelijking tussen driejarige cycli voor Rietgors. Uitleg van de symbolen in tabel 4.1.



Figuur 76.6: Paarsgewijze vergelijking tussen jaren voor Rietgors. Uitleg van de symbolen in tabel 4.1.

Tabel 76.2: Data-hashes van de analyses in het kader van traceerbaarheid (zie §5.3).

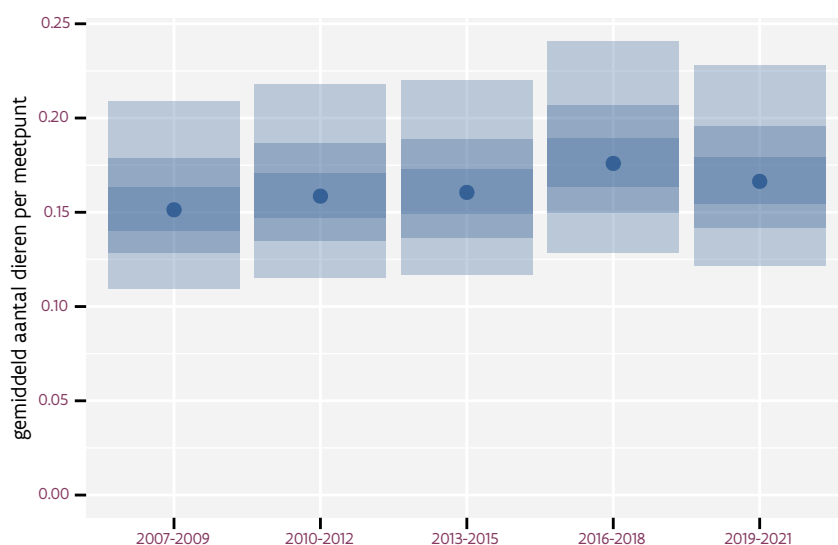
frequentie	model	analyse	status
jaarlijks	lineair	357ea28b251c839c4d2f e60ffe852944ef40d886	156b5029c892a129d337 8e2970126a34a5993b87
jaarlijks	niet-lineair	835d7a68ad85c35dabd8 7af4ffa6c27d97e3b60c	9ce4549dc6dd1a2319f0 e2a5ee015b00947cfd55
driejaarlijks	lineair	8de96c960880793a8313 a1a2ea5a7a69199256f6	b5d40eed64ca2ac47a6e 31a265c85ab0bce3b4b0
driejaarlijks	niet-lineair	3461170ab3eb8e1d9eae 118ab96e2ef220572507	6fd4cceec5070fe7109cb 5577e5e120f356d5516d



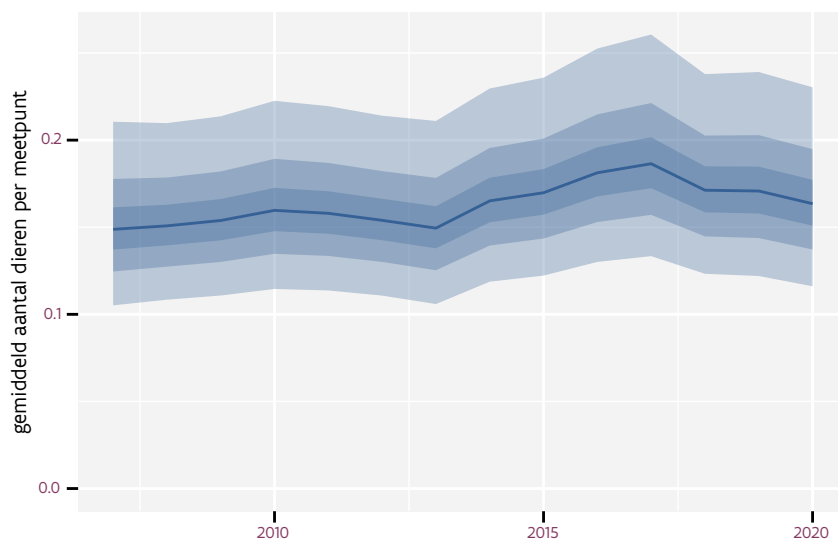
## 77 RIETZANGER

Op basis van driejaarlijkse gegevens zien we gemiddeld een mogelijke toename met +1.6% (-0.0%; +3.2%) per jaar of +23% (-0%; +51%) over de volledige looptijd van het meetnet. Deze trend is lineair.

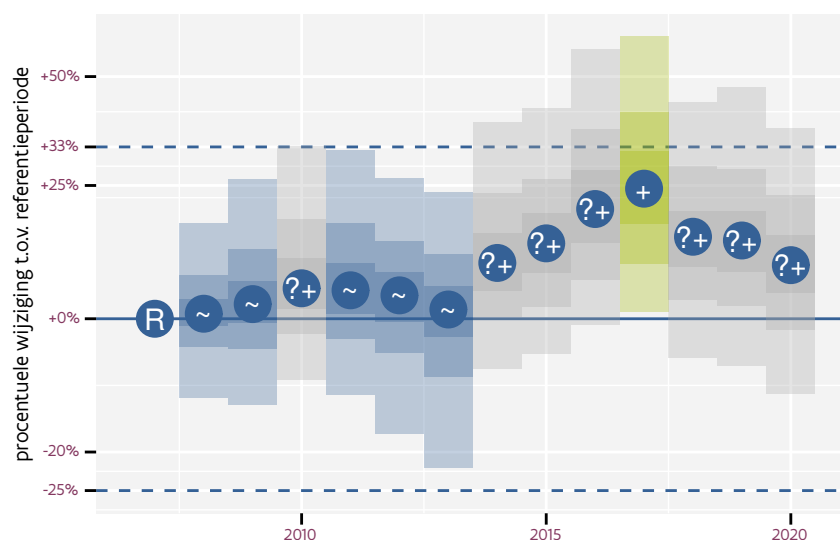
Op basis van jaarlijkse gegevens zien we gemiddeld een mogelijke toename met +1.5% (-0.1%; +3.1%) per jaar of +22% (-1%; +49%) over de volledige looptijd van het meetnet. Deze trend is niet-lineair.



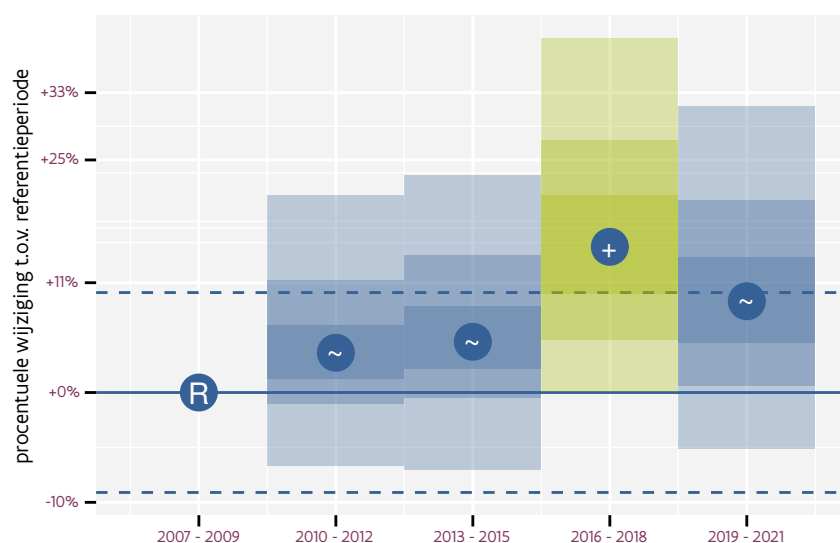
Figuur 77.1: Evolutie van het gemodeleerde gemiddeld aantal waargenomen dieren op een meetpunt voor Rietzanger tijdens de referentieperiode. Zie §4.1 voor een verklaring van de intervallen.



Figuur 77.2: Evolutie van het gemodeleerde gemiddeld aantal waargenomen dieren op een meetpunt voor Rietzanger tijdens de referentieperiode. Zie §4.1 voor een verklaring van de intervallen.



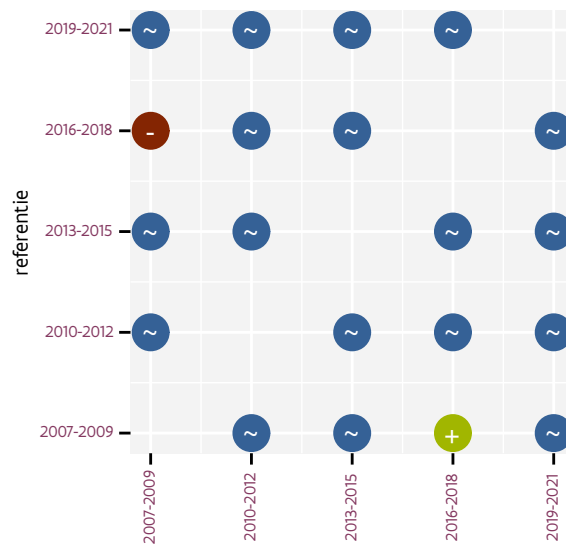
Figuur 77.3: Wijzigingen tussen jaren voor Rietzanger. Zie §4.1 voor een verklaring van de intervallen en §4.2 voor uitleg over de symbolen en referentielijnen.



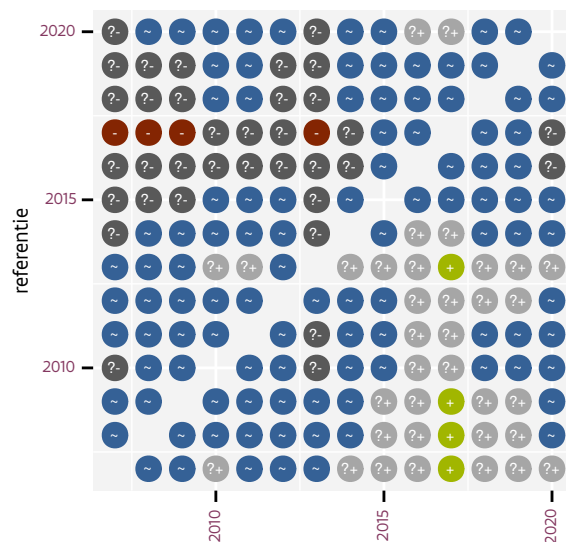
Figuur 77.4: Wijzigingen per driejarige cyclus voor Rietzanger. Zie §4.1 voor een verklaring van de intervallen en §4.2 voor uitleg over de symbolen en referentielijnen.

Tabel 77.1: Stratumgewicht, raming aan het aantal hokken waarin de soort aanwezig is, aantal relevant hokken voor de analyse, aantal onderzochte hokken in het stratum, totaal aantal hokken van het stratum in Vlaanderen en aantal bezoeken aan een meetpunt voor Rietzanger (zie §3.5).

stratum	gewicht	aanwezig	relevant	onderzocht	totaal	bezoeken
Landbouw	96.6%	533.3	36	426	6311	2570
Moeras en water	3.4%	17.1	10	80	137	677



Figuur 77.5: Paarsgewijze vergelijking tussen driejarige cycli voor Rietzanger. Uitleg van de symbolen in tabel 4.1.



Figuur 77.6: Paarsgewijze vergelijking tussen jaren voor Rietzanger. Uitleg van de symbolen in tabel 4.1.

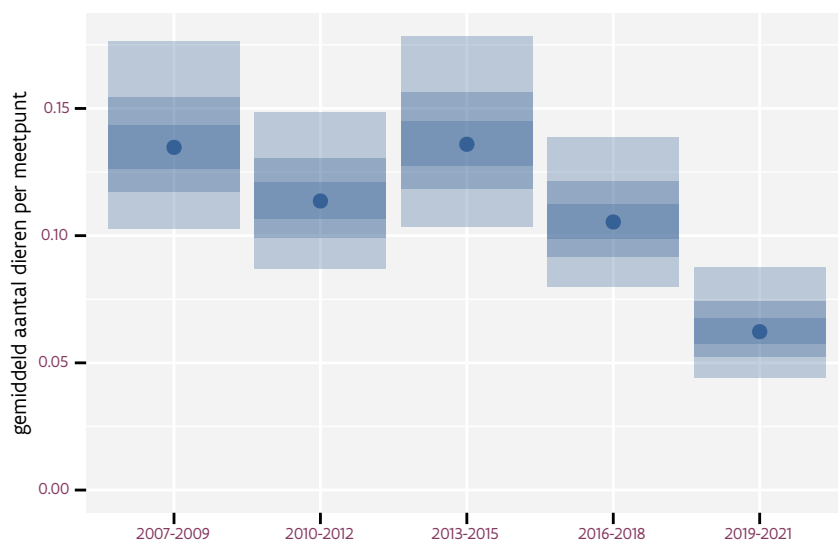
Tabel 77.2: Data-hashes van de analyses in het kader van traceerbaarheid (zie §5.3).

frequentie	model	analyse	status
jaarlijks	lineair	ddff006f76e6fbd79715 d857e8ec431df573a809	d17264e8ea5ca1b0bf4a faa63a9586edb03e8068
jaarlijks	niet-lineair	af977926429f1bfdbd36 37af4b2237e67063f54c	5f2dbe914429d79fecdf 39bf0001fc7b5c15b748
driejaarlijks	lineair	3fca8f2bb642582a8b83 71720e771dac69b34d5e	6832f348d23d8387af7c fb299a835f0a2ee5973a
driejaarlijks	niet-lineair	9c726ebd045179b6e155 e3ffc06270eb2c6ba8da	4ef5c6defa0a3d8e0360 ee834acc47694845d672

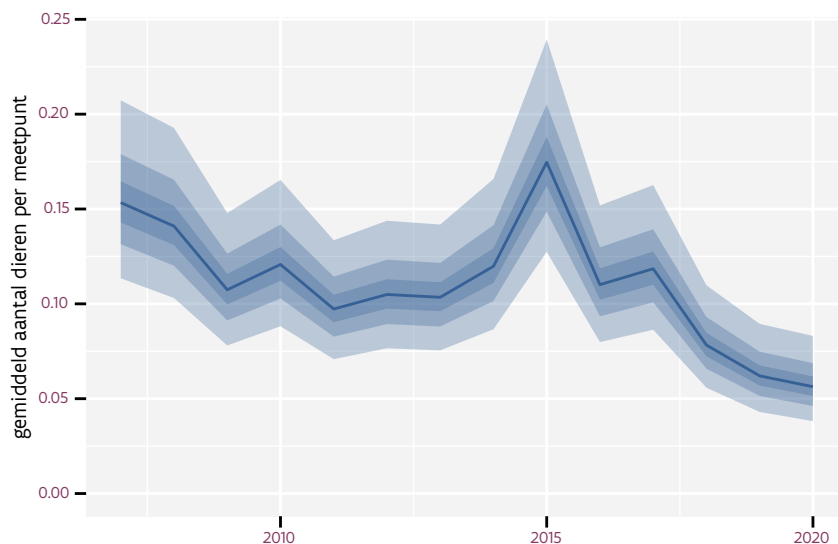
## 78 RINGMUS

Op basis van driejaarlijkse gegevens zien we gemiddeld een sterke afname met -3.7% (-5.3%; -2.2%) per jaar of -39% (-51%; -25%) over de volledige looptijd van het meetnet. Deze trend is niet-lineair.

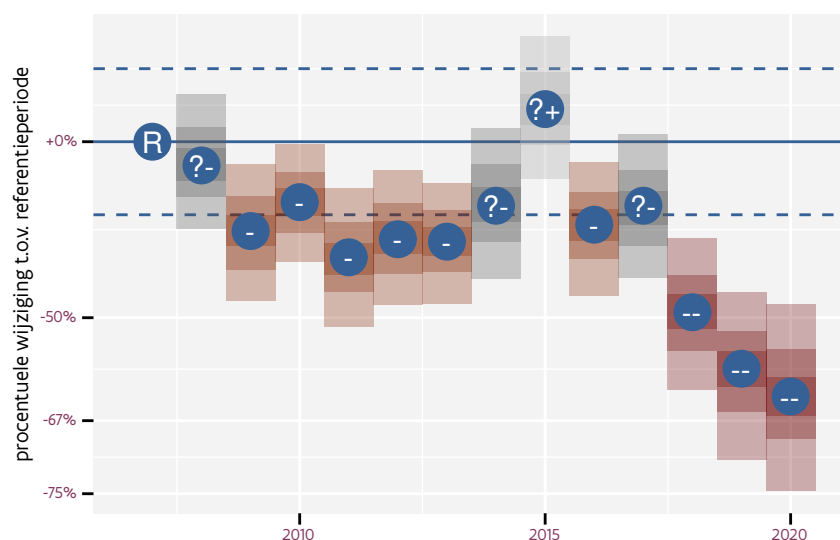
Op basis van jaarlijkse gegevens zien we gemiddeld een afname met -3.7% (-5.2%; -2.2%) per jaar of -39% (-50%; -25%) over de volledige looptijd van het meetnet. Deze trend is niet-lineair.



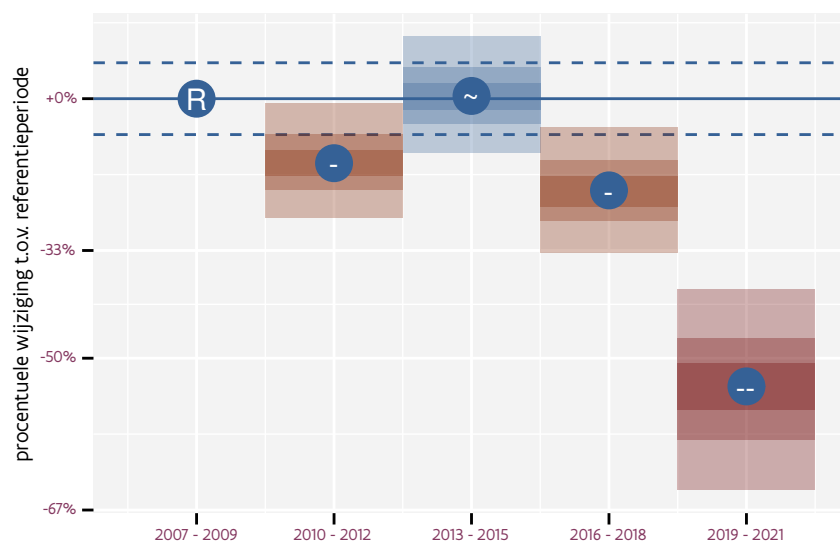
Figuur 78.1: Evolutie van het gemodeleerde gemiddeld aantal waargenomen dieren op een meetpunt voor Ringmus tijdens de referentieperiode. Zie §4.1 voor een verklaring van de intervallen.



Figuur 78.2: Evolutie van het gemodeleerde gemiddeld aantal waargenomen dieren op een meetpunt voor Ringmus tijdens de referentieperiode. Zie §4.1 voor een verklaring van de intervallen.



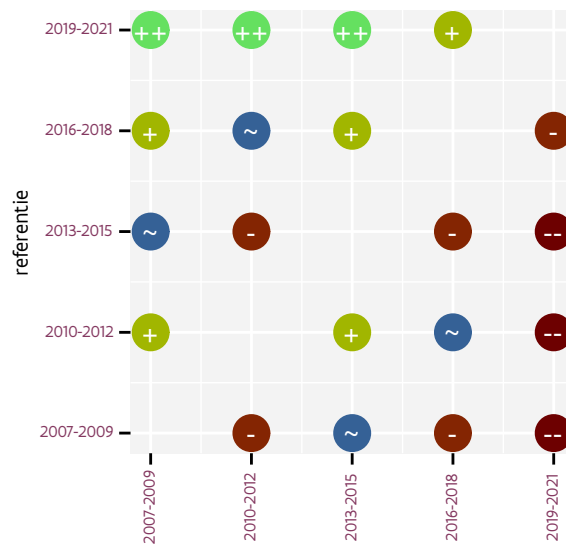
Figuur 78.3: Wijzigingen tussen jaren voor Ringmus. Zie §4.1 voor een verklaring van de intervallen en §4.2 voor uitleg over de symbolen en referentielijnen.



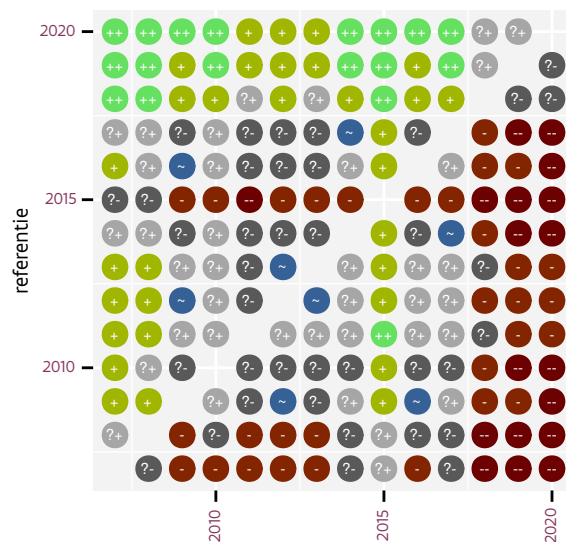
Figuur 78.4: Wijzigingen per driejarige cyclus voor Ringmus. Zie §4.1 voor een verklaring van de intervallen en §4.2 voor uitleg over de symbolen en referentielijnen.

Tabel 78.1: Stratumgewicht, raming aan het aantal hokken waarin de soort aanwezig is, aantal relevant hokken voor de analyse, aantal onderzochte hokken in het stratum, totaal aantal hokken van het stratum in Vlaanderen en aantal bezoeken aan een meetpunt voor Ringmus (zie §3.5).

stratum	gewicht	aanwezig	relevant	onderzocht	totaal	bezoeken
Landbouw	99.5%	1244.4	84	426	6311	5524
Moeras en water	0.5%	5.1	3	80	137	264



Figuur 78.5: Paarsgewijze vergelijking tussen driejarige cycli voor Ringmus. Uitleg van de symbolen in tabel 4.1.



Figuur 78.6: Paarsgewijze vergelijking tussen jaren voor Ringmus. Uitleg van de symbolen in tabel 4.1.

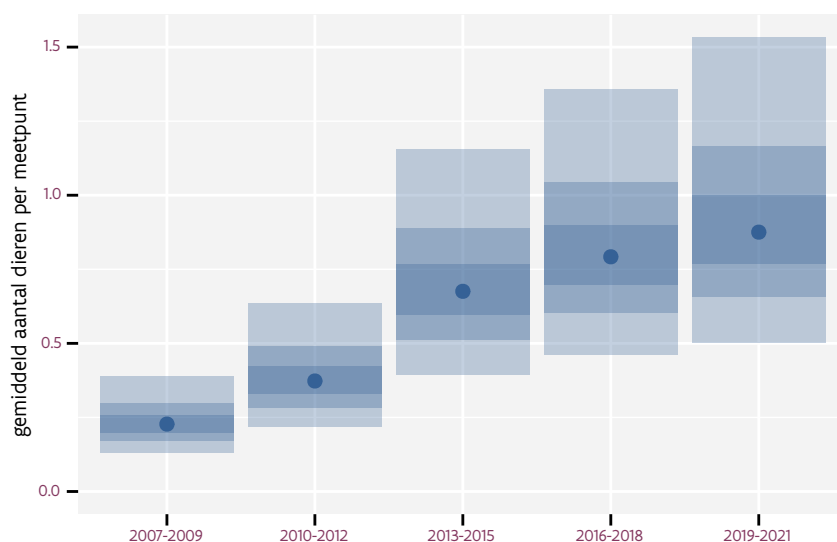
Tabel 78.2: Data-hashes van de analyses in het kader van traceerbaarheid (zie §5.3).

frequentie	model	analyse	status
jaarlijks	lineair	73bf5ae0b91bd429f2b9 8c5ebb36a0c51be2ab53	55bf3d9a3702297bb060 7463e741d03bb374c144
jaarlijks	niet-lineair	24374d043f8357cec816 616e3297d11ccd89ae96	78e4da8b4ecaf3cf1840 0f3d2d6ca5ec6ee7e2ba
driejaarlijks	lineair	a1452749feafbb3fca16 13eb6b97958a9d7ab624	0abacffa8133f6a2e27 fbe9557528ab73ddecc0
driejaarlijks	niet-lineair	b25d62a2f9b14b787bf1 31bd5bb0265d0b55614b	d87a5c8b6e7359c425a7 b54e596ac942b3eedbea

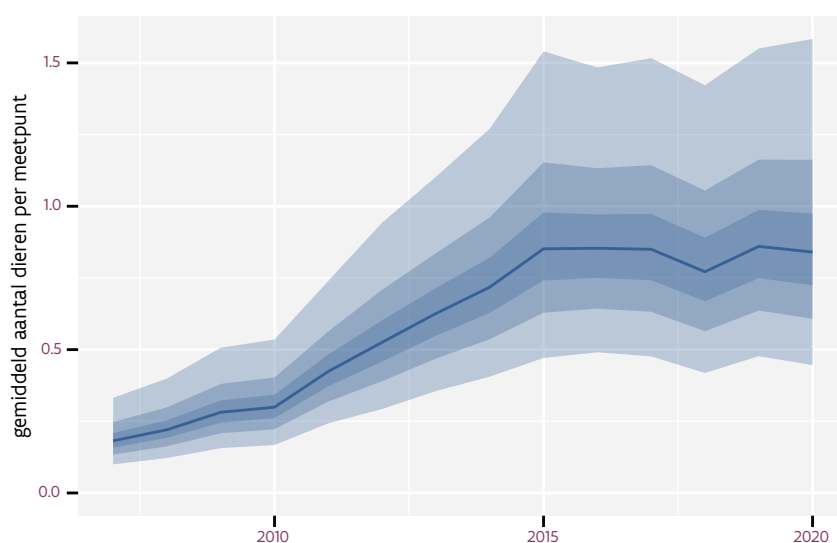
## 79 ROEK

Op basis van driejaarlijkse gegevens zien we gemiddeld een sterke toename met +14.55% (+10.65%; +18.59%) per jaar of +480% (+270%; +820%) over de volledige looptijd van het meetnet. Deze trend is mogelijk niet-lineair.

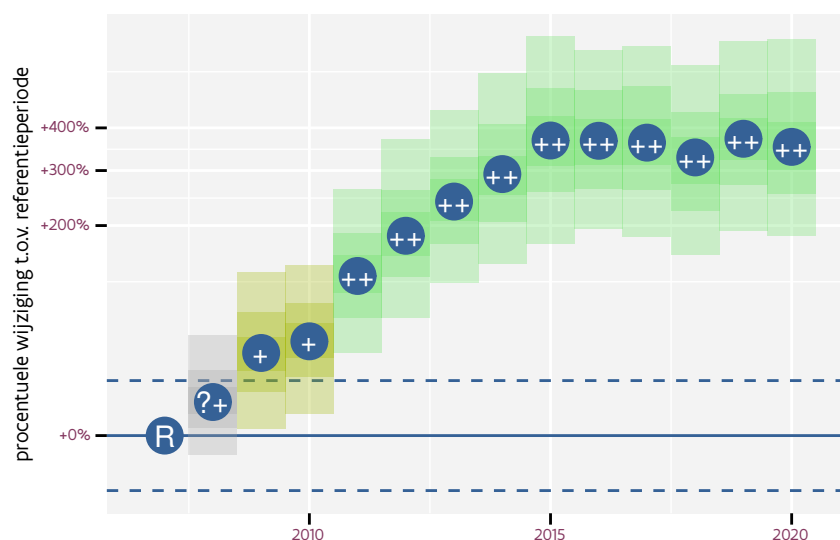
Op basis van jaarlijkse gegevens zien we gemiddeld een sterke toename met +15.25% (+11.28%; +19.36%) per jaar of +530% (+300%; +900%) over de volledige looptijd van het meetnet. Deze trend is niet-lineair.



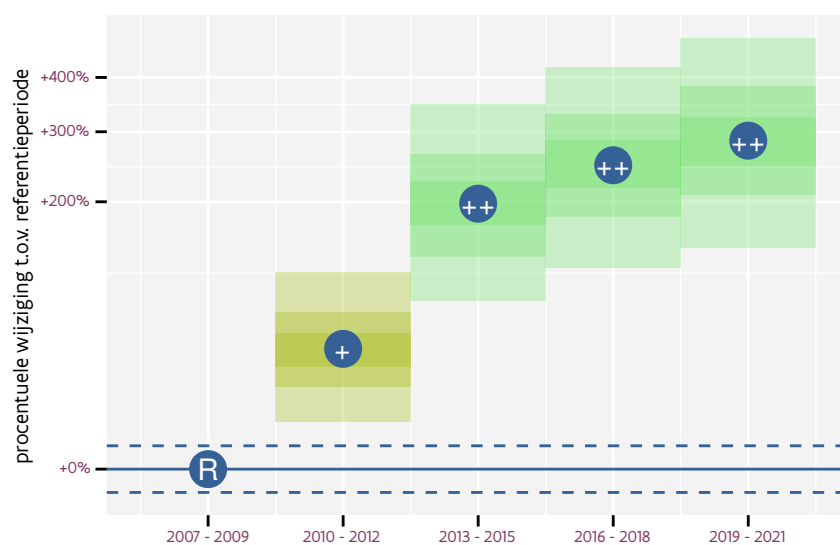
Figuur 79.1: Evolutie van het gemodeleerde gemiddeld aantal waargenomen dieren op een meetpunt voor Roek tijdens de referentieperiode. Zie §4.1 voor een verklaring van de intervallen.



Figuur 79.2: Evolutie van het gemodeleerde gemiddeld aantal waargenomen dieren op een meetpunt voor Roek tijdens de referentieperiode. Zie §4.1 voor een verklaring van de intervallen.



Figuur 79.3: Wijzigingen tussen jaren voor Roek. Zie §4.1 voor een verklaring van de intervallen en §4.2 voor uitleg over de symbolen en referentielijnen.

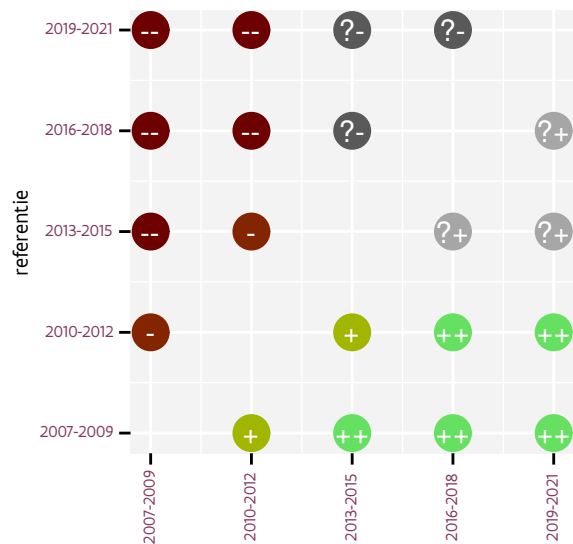


Figuur 79.4: Wijzigingen per driejarige cyclus voor Roek. Zie §4.1 voor een verklaring van de intervallen en §4.2 voor uitleg over de symbolen en referentielijnen.

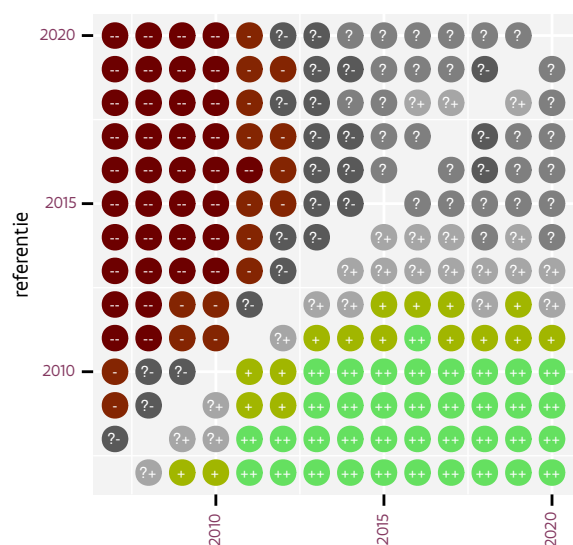
Tabel 79.1: Stratumgewicht, raming aan het aantal hokken waarin de soort aanwezig is, aantal relevant hokken voor de analyse, aantal onderzochte hokken in het stratum, totaal aantal hokken van het stratum in Vlaanderen en aantal bezoeken aan een meetpunt voor Roek (zie §3.5).

stratum	gewicht	aanwezig	relevant	onderzocht	totaal	bezoeken
Landbouw	92.0%	385.2	26	426	6311	1696
Urbaan	8.0%	28.7	6	87	416	408





Figuur 79.5: Paarsgewijze vergelijking tussen driejarige cycli voor Roek. Uitleg van de symbolen in tabel 4.1.



Figuur 79.6: Paarsgewijze vergelijking tussen jaren voor Roek. Uitleg van de symbolen in tabel 4.1.

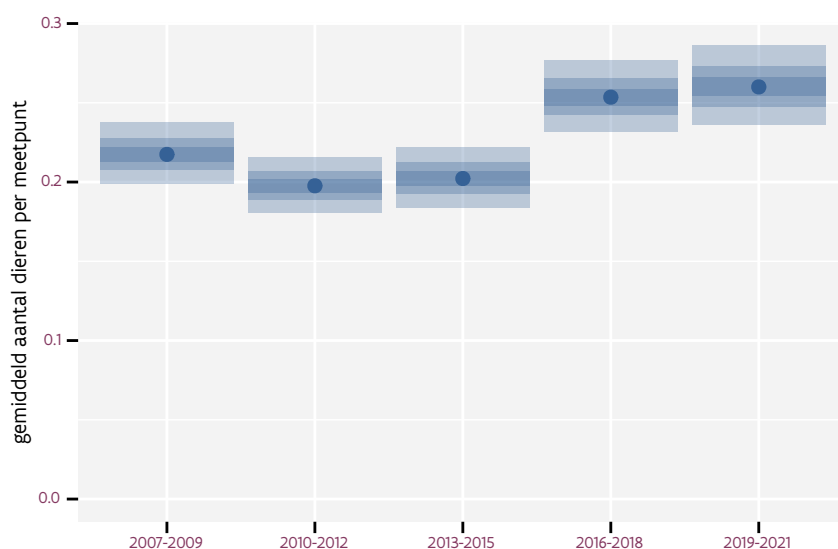
Tabel 79.2: Data-hashes van de analyses in het kader van traceerbaarheid (zie §5.3).

frequentie	model	analyse	status
jaarlijks	lineair	6ba4f10536fc02b2eadd d2d117e526bb9ad277df	8cf08a6977cdb40b177b 9c2b51690f7dbd8fd588
jaarlijks	niet-lineair	f198cb61e9e9e51ea6e9 b348379be4c24e98b614	19ede829fc05d8073492 54c5a3de3cf7eaaab6ef
driejaarlijks	lineair	325637d759775f6e33a9 88d8c47ecf75b3affa5e	c91fac53507c80a63e38 e4b4b200dc56bef05a25
driejaarlijks	niet-lineair	d7deece241e78e377d66 1afcb8cf8a51e41387e7	a200a268b768694b4695 d9574c3ac8c134579619

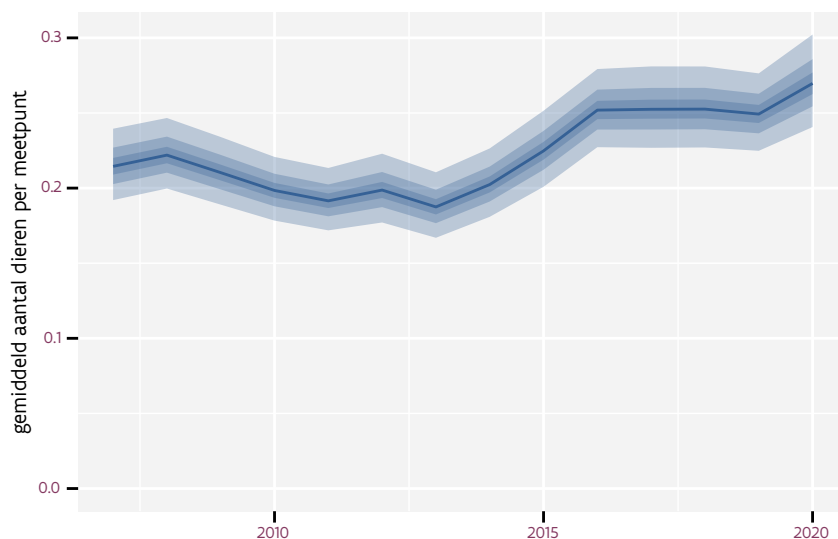
## 80 ROODBORST

Op basis van driejaarlijkse gegevens zien we gemiddeld een toename met +1.9% (+1.3%; +2.6%) per jaar of +28% (+18%; +39%) over de volledige looptijd van het meetnet. Deze trend is niet-lineair.

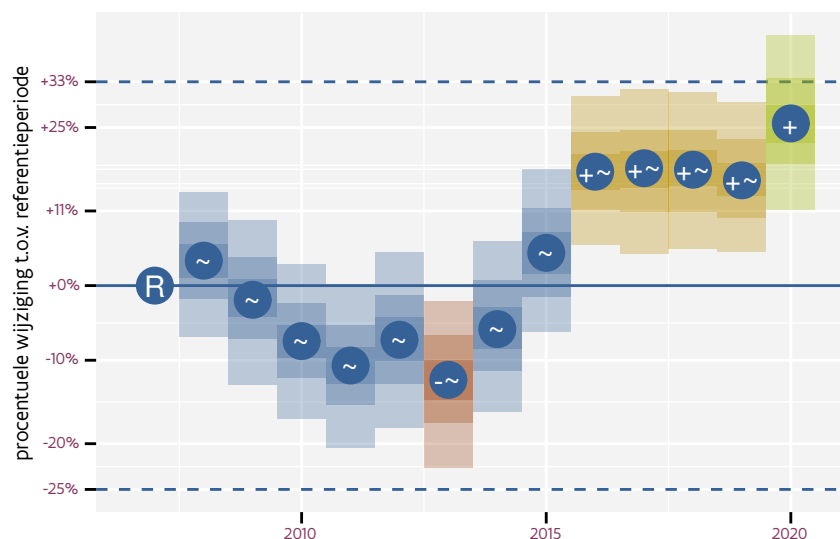
Op basis van jaarlijkse gegevens zien we gemiddeld een toename met +2.0% (+1.4%; +2.6%) per jaar of +29% (+19%; +40%) over de volledige looptijd van het meetnet. Deze trend is niet-lineair.



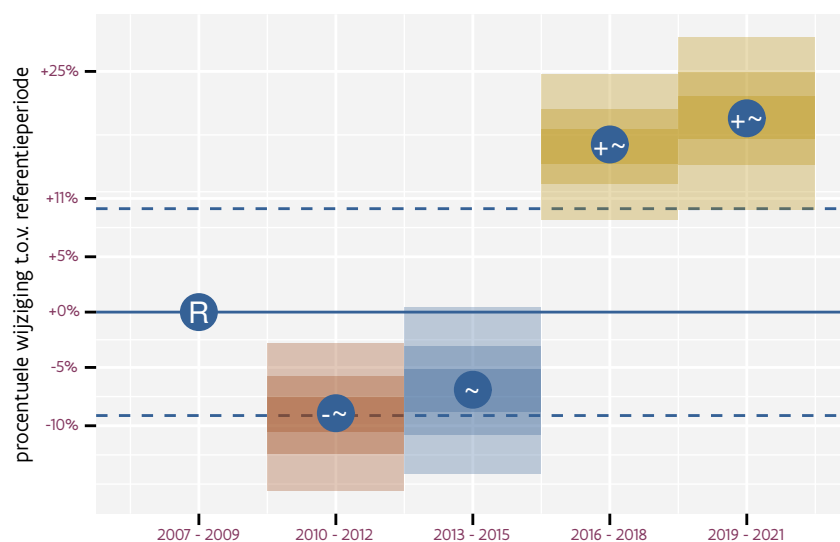
Figuur 80.1: Evolutie van het gemodeleerde gemiddeld aantal waargenomen dieren op een meetpunt voor Roodborst tijdens de referentieperiode. Zie §4.1 voor een verklaring van de intervallen.



Figuur 80.2: Evolutie van het gemodeleerde gemiddeld aantal waargenomen dieren op een meetpunt voor Roodborst tijdens de referentieperiode. Zie §4.1 voor een verklaring van de intervallen.



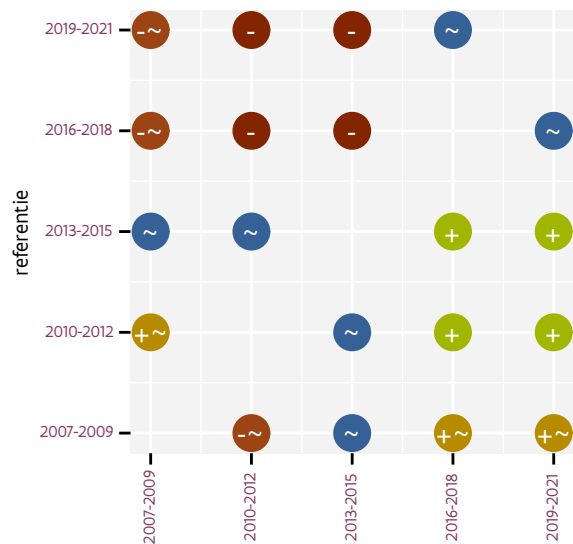
Figuur 80.3: Wijzigingen tussen jaren voor Roodborst. Zie §4.1 voor een verklaring van de intervallen en §4.2 voor uitleg over de symbolen en referentielijnen.



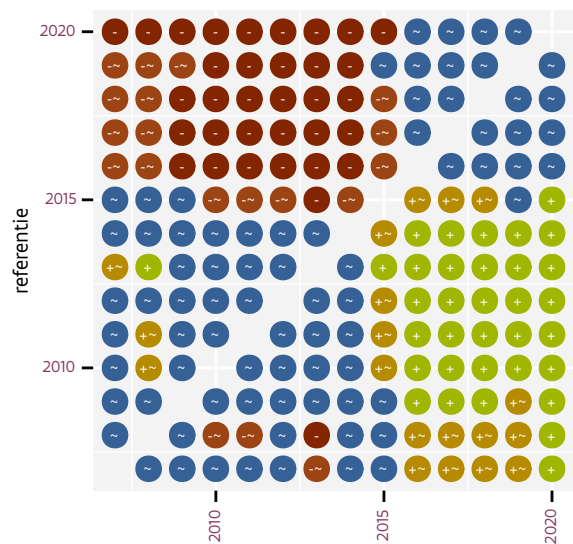
Figuur 80.4: Wijzigingen per driejarige cyclus voor Roodborst. Zie §4.1 voor een verklaring van de intervallen en §4.2 voor uitleg over de symbolen en referentielijnen.

Tabel 80.1: Stratumgewicht, raming aan het aantal hokken waarin de soort aanwezig is, aantal relevant hokken voor de analyse, aantal onderzochte hokken in het stratum, totaal aantal hokken van het stratum in Vlaanderen en aantal bezoeken aan een meetpunt voor Roodborst (zie §3.5).

stratum	gewicht	aanwezig	relevant	onderzocht	totaal	bezoeken
Landbouw	76.1%	2933.3	198	426	6311	12805
Urbaan	8.1%	306.0	64	87	416	3908
Bos	6.1%	235.1	140	190	319	8724
Heide en duin	4.1%	155.3	71	91	199	4418
Suburbaan	3.3%	124.1	42	68	201	2602
Moeras en water	2.4%	90.8	53	80	137	3192



Figuur 80.5: Paarsgewijze vergelijking tussen driejarige cycli voor Roodborst. Uitleg van de symbolen in tabel 4.1.



Figuur 80.6: Paarsgewijze vergelijking tussen jaren voor Roodborst. Uitleg van de symbolen in tabel 4.1.

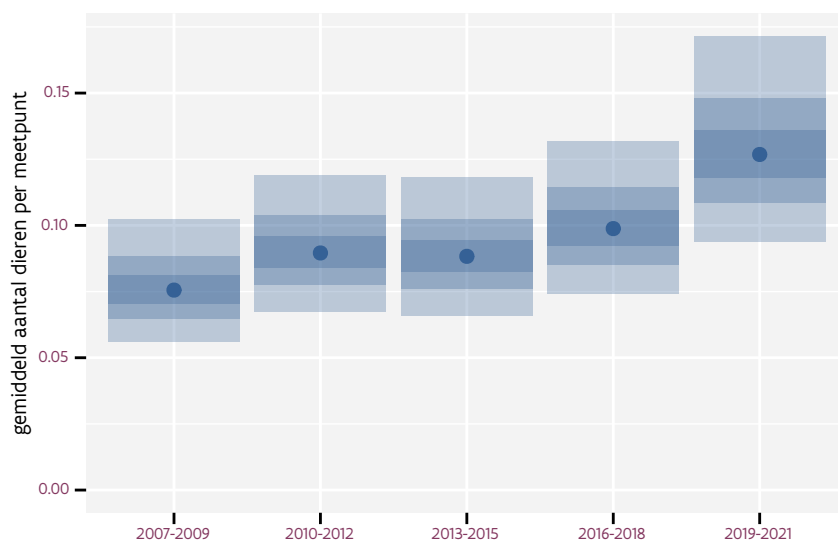
Tabel 80.2: Data-hashes van de analyses in het kader van traceerbaarheid (zie §5.3).

frequentie	model	analyse	status
jaarlijks	lineair	c46c58f0d379e622925c b1e44cbb5c250922dd4a	d32ef228b15ef7aef1f8 e3ee855274503f76526d
jaarlijks	niet-lineair	84990e3d03d1f94267ae 50f80ca8c61f4df2c77e	ff39c783ce957fec41e1 afc02f81797921b40a29
driejaarlijks	lineair	8b7175cc997035ffaa2c 7b221d86acbb02ad20ed	9e6a517c99aabf5954fd 037bda88f3ae5d12e1d8
driejaarlijks	niet-lineair	e31a8df6dff6438cfdc0 e30996151f5c3ce37f63	4ce3fc8f6f912367ce49 ba16af5a7a4bc60bbc62

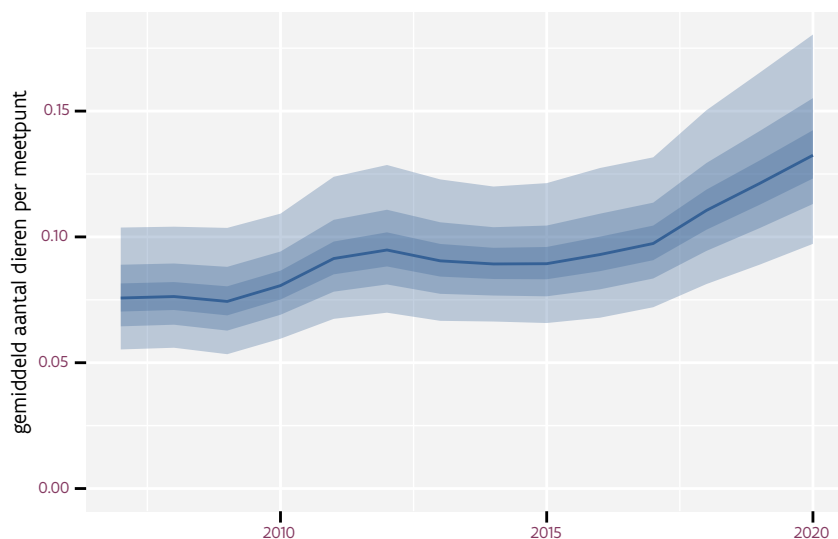
## 81 ROOBBORSTTAPUIT

Op basis van driejaarlijkse gegevens zien we gemiddeld een toename met +4.0% (+2.1%; +6.0%) per jaar of +66.9% (+31.3%; +112.3%) over de volledige looptijd van het meetnet. Deze trend is niet-lineair.

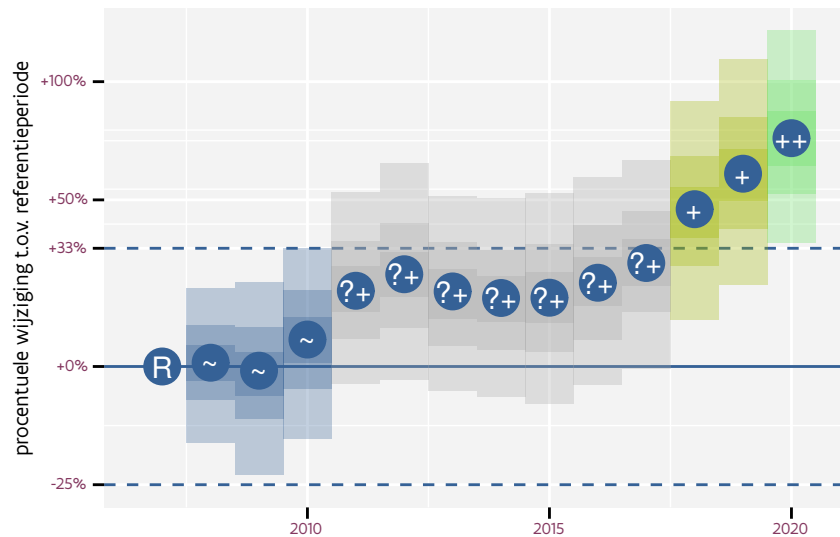
Op basis van jaarlijkse gegevens zien we gemiddeld een toename met +4.1% (+2.2%; +6.1%) per jaar of +69.5% (+33.3%; +115.6%) over de volledige looptijd van het meetnet. Deze trend is niet-lineair.



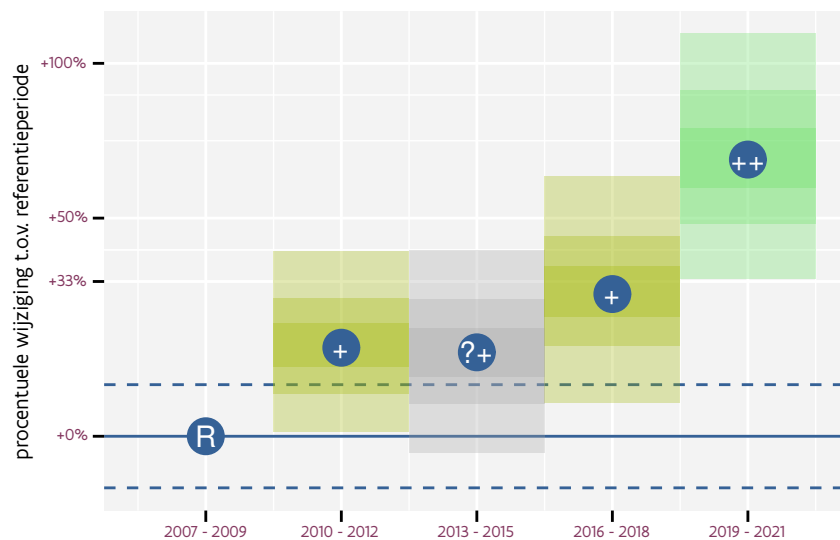
Figuur 81.1: Evolutie van het gemodeleerde gemiddeld aantal waargenomen dieren op een meetpunt voor Roodborsttapuit tijdens de referentieperiode. Zie §4.1 voor een verklaring van de intervallen.



Figuur 81.2: Evolutie van het gemodeleerde gemiddeld aantal waargenomen dieren op een meetpunt voor Roodborsttapuit tijdens de referentieperiode. Zie §4.1 voor een verklaring van de intervallen.



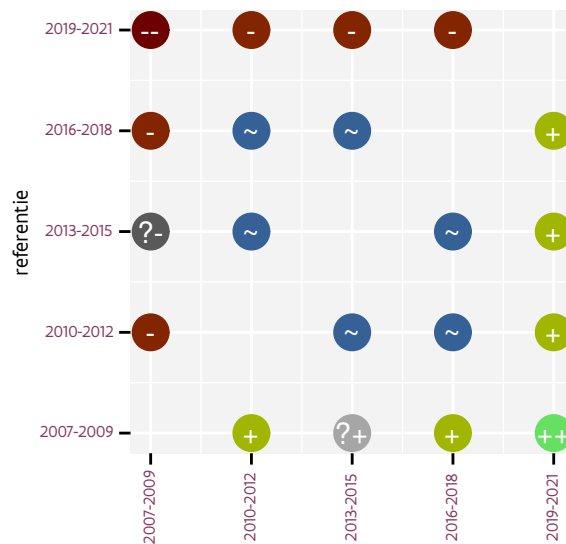
Figuur 81.3: Wijzigingen tussen jaren voor Roodborsttapuit. Zie §4.1 voor een verklaring van de intervallen en §4.2 voor uitleg over de symbolen en referentielijnen.



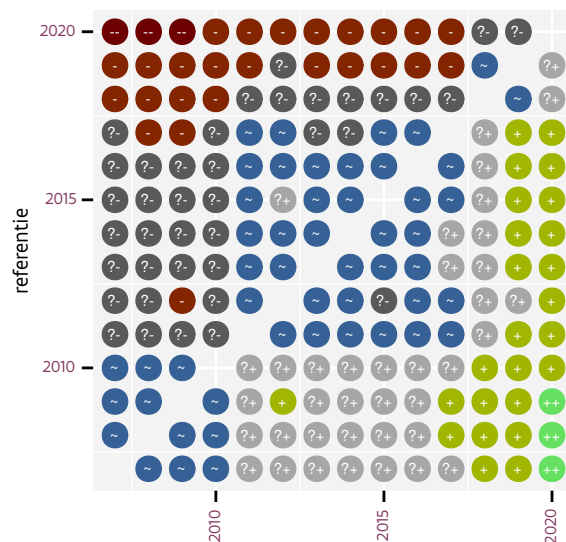
Figuur 81.4: Wijzigingen per driejarige cyclus voor Roodborsttapuit. Zie §4.1 voor een verklaring van de intervallen en §4.2 voor uitleg over de symbolen en referentielijnen.

Tabel 81.1: Stratumgewicht, raming aan het aantal hokken waarin de soort aanwezig is, aantal relevant hokken voor de analyse, aantal onderzochte hokken in het stratum, totaal aantal hokken van het stratum in Vlaanderen en aantal bezoeken aan een meetpunt voor Roodborsttapuit (zie §3.5).

stratum	gewicht	aanwezig	relevant	onderzocht	totaal	bezoeken
Landbouw	79.6%	518.5	35	426	6311	2574
Heide en duin	14.8%	98.4	45	91	199	3058
Bos	2.0%	11.8	7	190	319	606
Moeras en water	1.8%	10.3	6	80	137	419
Suburbaan	1.8%	8.9	3	68	201	148



Figuur 81.5: Paarsgewijze vergelijking tussen driejarige cycli voor Roodborsttapuit. Uitleg van de symbolen in tabel 4.1.



Figuur 81.6: Paarsgewijze vergelijking tussen jaren voor Roodborsttapuit. Uitleg van de symbolen in tabel 4.1.

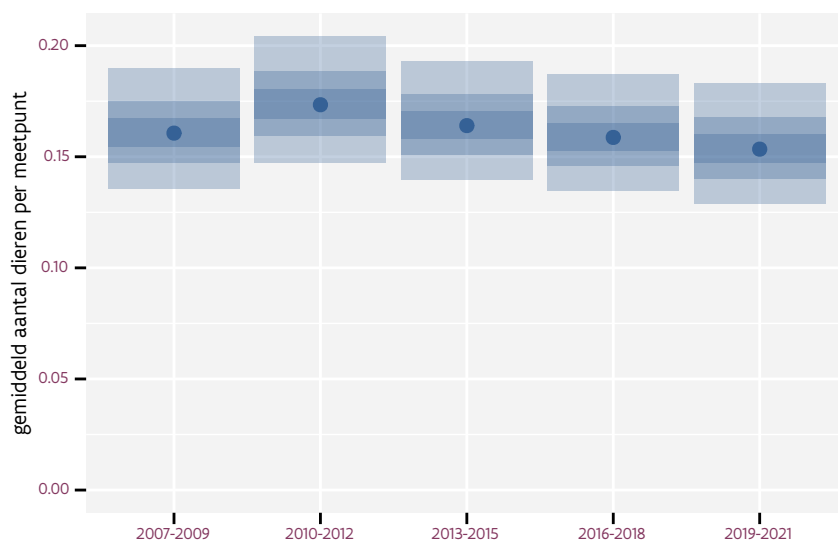
Tabel 81.2: Data-hashes van de analyses in het kader van traceerbaarheid (zie §5.3).

frequentie	model	analyse	status
jaarlijks	lineair	cf56df0a11460d009626 76b6673b44c276b37337	f55f85c8443ea734132a 242c8f925bf2dc96bcd4
jaarlijks	niet-lineair	cdef924e6d764f06c8a1 0fc159450d986ea53a61	1c76e0f100459cbe197d 6fbff0b638fb66853f56
driejaarlijks	lineair	ee9f1df315bb27c581bd f0d471e0fe24102d89a0	bed44a86206a49c45256 98b0485722ced9b4e5db
driejaarlijks	niet-lineair	fed1d3ce687eb39eca15 276ee634de1d49b63f8f	812aae04488be27f0385 699b8f60a66d8468d940

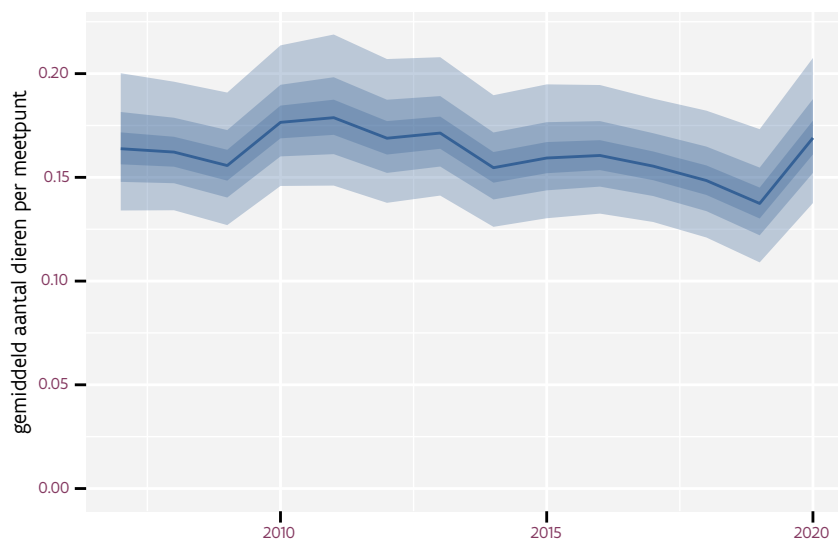
## 82 SCHOLEKSTER

Op basis van driejaarlijkse gegevens zien we gemiddeld een stabiele trend van  $-0.67\%$  ( $-1.73\%$ ;  $+0.40\%$ ) per jaar of  $-8\%$  ( $-20\%$ ;  $+5\%$ ) over de volledige looptijd van het meetnet. Deze trend is niet-lineair.

Op basis van jaarlijkse gegevens zien we gemiddeld een stabiele trend van  $-0.74\%$  ( $-1.79\%$ ;  $+0.33\%$ ) per jaar of  $-9\%$  ( $-21\%$ ;  $+4\%$ ) over de volledige looptijd van het meetnet. Deze trend is niet-lineair.

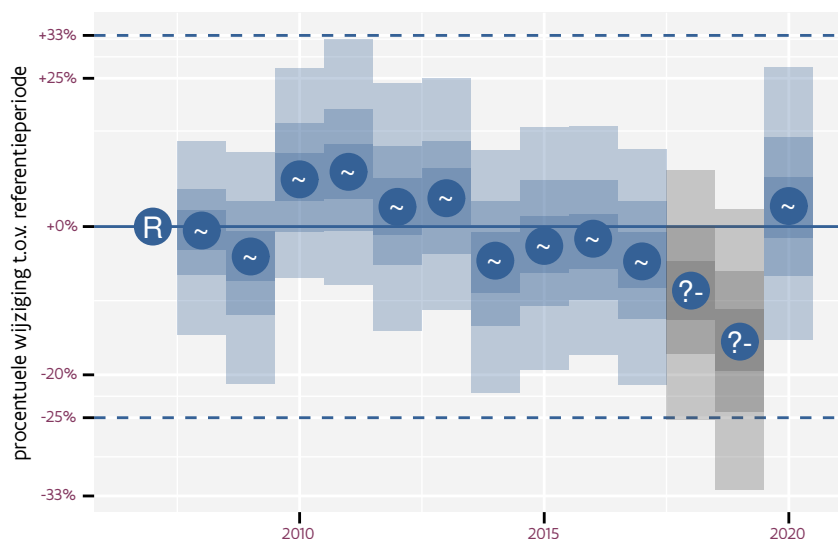


Figuur 82.1: Evolutie van het gemodeleerde gemiddeld aantal waargenomen dieren op een meetpunt voor Scholekster tijdens de referentieperiode. Zie §4.1 voor een verklaring van de intervallen.

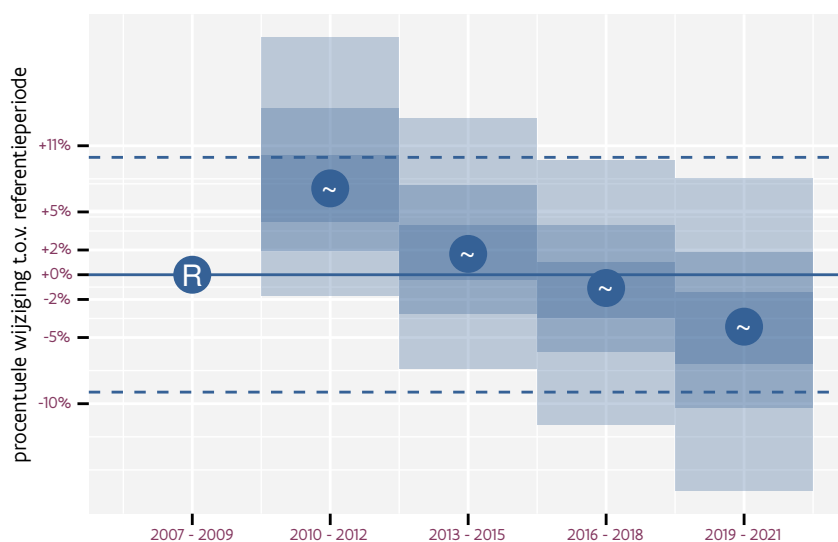


Figuur 82.2: Evolutie van het gemodeleerde gemiddeld aantal waargenomen dieren op een meetpunt voor Scholekster tijdens de referentieperiode. Zie §4.1 voor een verklaring van de intervallen.





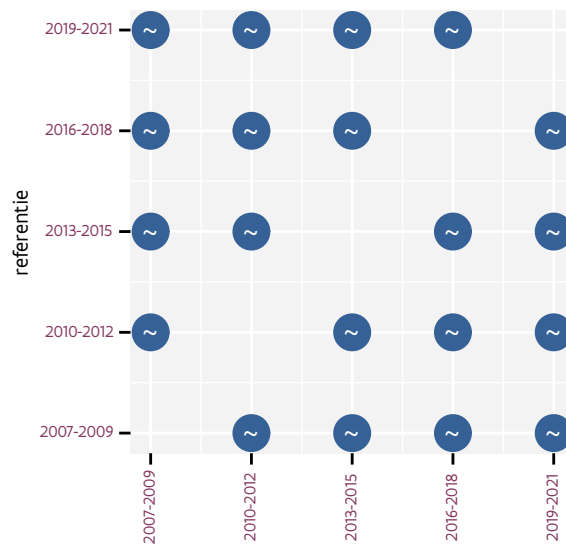
Figuur 82.3: Wijzigingen tussen jaren voor Scholekster. Zie §4.1 voor een verklaring van de intervallen en §4.2 voor uitleg over de symbolen en referentielijnen.



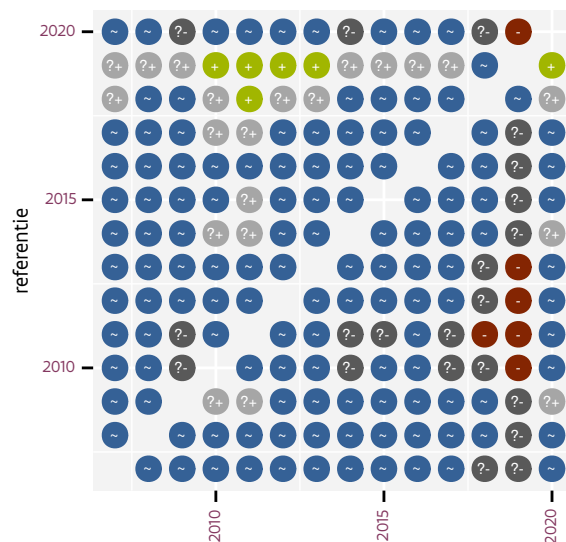
Figuur 82.4: Wijzigingen per driejarige cyclus voor Scholekster. Zie §4.1 voor een verklaring van de intervallen en §4.2 voor uitleg over de symbolen en referentielijnen.

Tabel 82.1: Stratungewicht, raming aan het aantal hokken waarin de soort aanwezig is, aantal relevant hokken voor de analyse, aantal onderzochte hokken in het stratum, totaal aantal hokken van het stratum in Vlaanderen en aantal bezoeken aan een meetpunt voor Scholekster (zie §3.5).

stratum	gewicht	aanwezig	relevant	onderzocht	totaal	bezoeken
Landbouw	94.0%	2014.8	136	426	6311	8930
Suburbaan	2.1%	41.4	14	68	201	841
Moeras en water	1.7%	34.2	20	80	137	1303
Heide en duin	0.9%	17.5	8	91	199	708
Urbaan	0.9%	14.3	3	87	416	282
Bos	0.4%	6.7	4	190	319	309



Figuur 82.5: Paarsgewijze vergelijking tussen driejarige cycli voor Scholekster. Uitleg van de symbolen in tabel 4.1.



Figuur 82.6: Paarsgewijze vergelijking tussen jaren voor Scholekster. Uitleg van de symbolen in tabel 4.1.

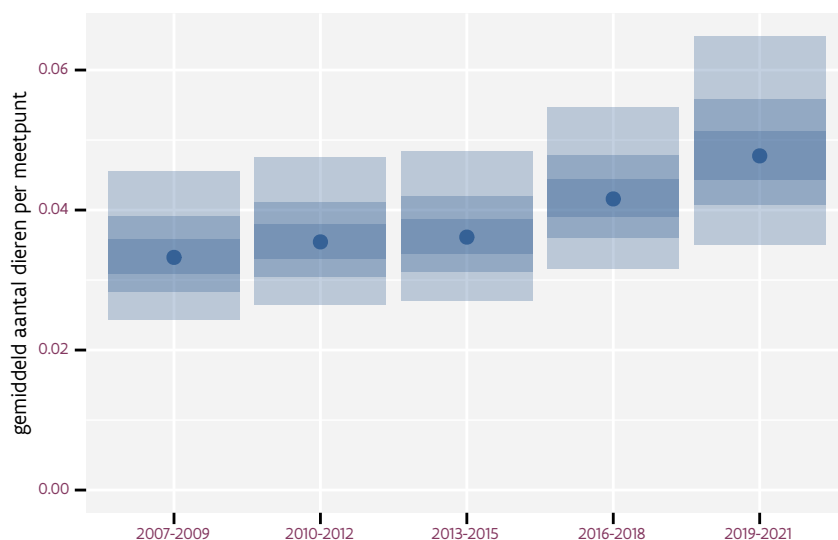
Tabel 82.2: Data-hashes van de analyses in het kader van traceerbaarheid (zie §5.3).

frequentie	model	analyse	status
jaarlijks	lineair	da4a2b3d8c783edfe890 53a9b4076cbef938b1a5	32641b1e09e9773cdcc7 b45c7bf7c63d86dc2850
jaarlijks	niet-lineair	10018741e669f289cc05 4408c5387a844333320c	d50a700b9dd85b154a8e 288164493a8055c14f2c
driejaarlijks	lineair	4d280d731a7da3a7562b 31b64c0e1aa9583c3f5f	536cb8faf7ea21aaf389 ddf8b7df931037376df7
driejaarlijks	niet-lineair	084f78a22cfdb3ae7226 40d153deab1a525bce22	ee7c01e8713786e1bee5 11e76f71d53906321820

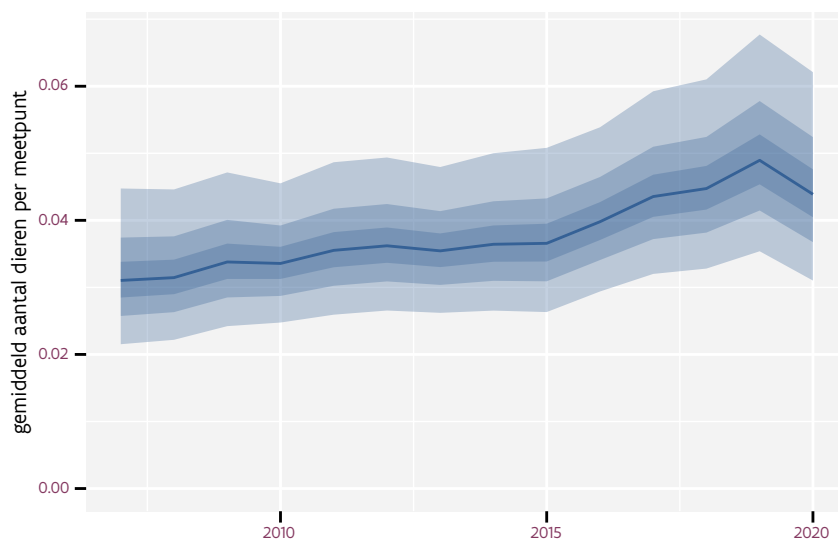
## 83 SPERWER

Op basis van driejaarlijkse gegevens zien we gemiddeld een toename met +3.6% (+0.4%; +7.0%) per jaar of +59% (+5%; +142%) over de volledige looptijd van het meetnet. Deze trend is lineair.

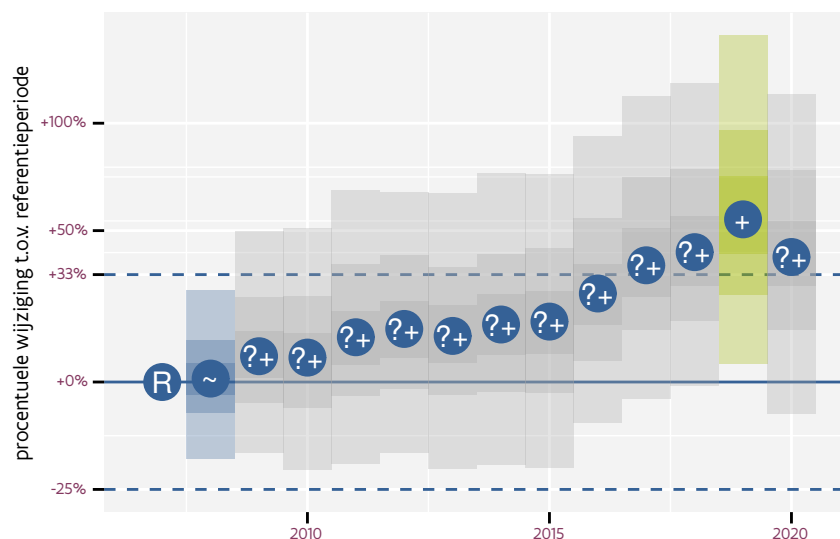
Op basis van jaarlijkse gegevens zien we gemiddeld een toename met +3.7% (+0.3%; +7.1%) per jaar of +59% (+5%; +143%) over de volledige looptijd van het meetnet. Deze trend is lineair.



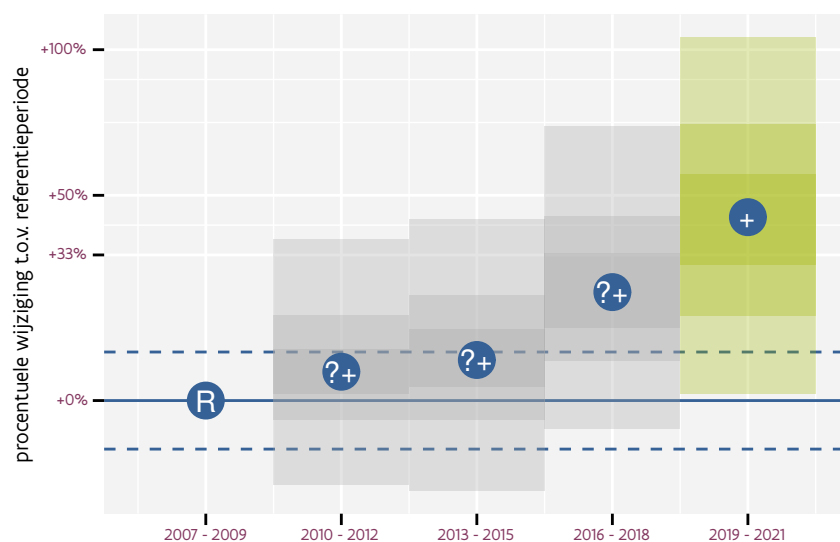
Figuur 83.1: Evolutie van het gemodeleerde gemiddeld aantal waargenomen dieren op een meetpunt voor Sperwer tijdens de referentieperiode. Zie §4.1 voor een verklaring van de intervallen.



Figuur 83.2: Evolutie van het gemodeleerde gemiddeld aantal waargenomen dieren op een meetpunt voor Sperwer tijdens de referentieperiode. Zie §4.1 voor een verklaring van de intervallen.



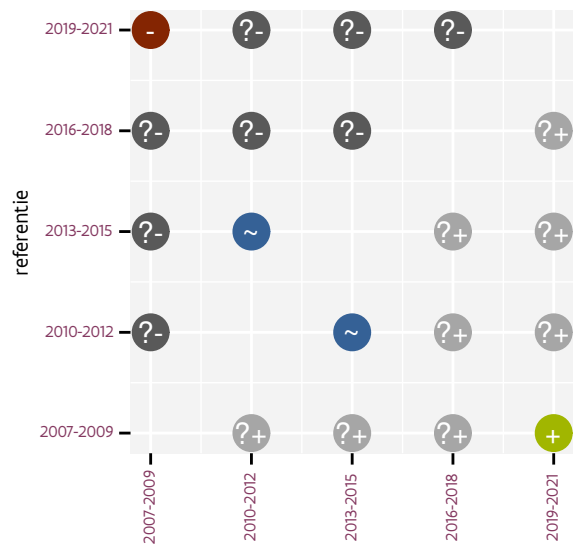
Figuur 83.3: Wijzigingen tussen jaren voor Sperwer. Zie §4.1 voor een verklaring van de intervallen en §4.2 voor uitleg over de symbolen en referentielijnen.



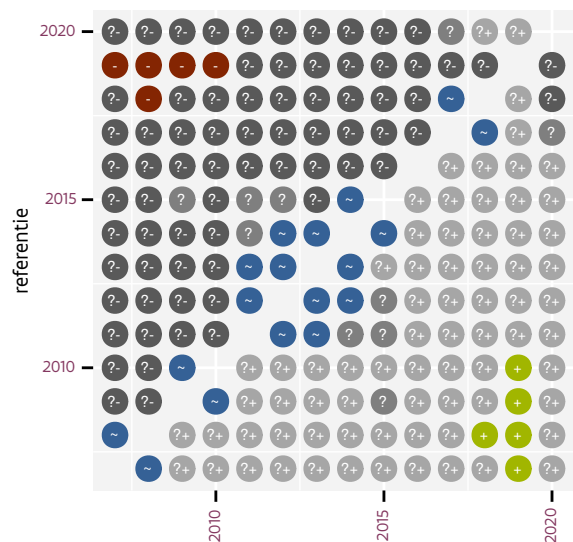
Figuur 83.4: Wijzigingen per driejarige cyclus voor Sperwer. Zie §4.1 voor een verklaring van de intervallen en §4.2 voor uitleg over de symbolen en referentielijnen.

Tabel 83.1: Stratumgewicht, raming aan het aantal hokken waarin de soort aanwezig is, aantal relevant hokken voor de analyse, aantal onderzochte hokken in het stratum, totaal aantal hokken van het stratum in Vlaanderen en aantal bezoeken aan een meetpunt voor Sperwer (zie §3.5).

stratum	gewicht	aanwezig	relevant	onderzocht	totaal	bezoeken
Landbouw	84.5%	503.7	34	426	6311	2568
Urbaan	5.6%	28.7	6	87	416	468
Bos	3.4%	18.5	11	190	319	986
Moeras en water	2.6%	13.7	8	80	137	522
Suburbaan	2.0%	8.9	3	68	201	198
Heide en duin	1.8%	8.7	4	91	199	222



Figuur 83.5: Paarsgewijze vergelijking tussen driejarige cycli voor Sperwer. Uitleg van de symbolen in tabel 4.1.



Figuur 83.6: Paarsgewijze vergelijking tussen jaren voor Sperwer. Uitleg van de symbolen in tabel 4.1.

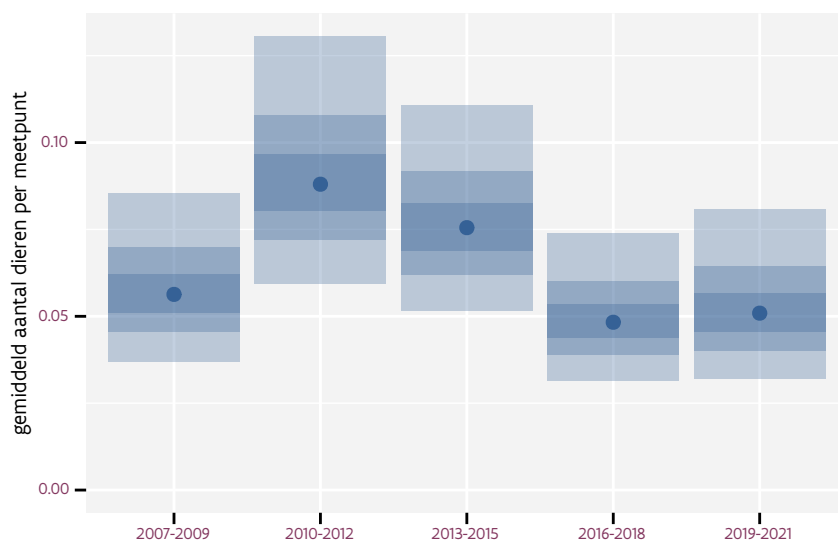
Tabel 83.2: Data-hashes van de analyses in het kader van traceerbaarheid (zie §5.3).

frequentie	model	analyse	status
jaarlijks	lineair	da01a91380d42417287f a1b364c2ddc09daca60f	a693e80d2ef75fc46477 6f0c5d19afb6f920508
jaarlijks	niet-lineair	51ad461e667587352b74 b29efda4da1f079a79f4	351a02994150f01908b7 b224e4fd660c49835471
driejaarlijks	lineair	6b7cffee8f5471a49a0c 57cc4c8be8167248d4e2	c4131180ca0f740dd10a ed2587baf2cf60761aca
driejaarlijks	niet-lineair	bfae57012ff1eb0a145a a2d5b318ad29501d296d	fd1907f7076fd140ed22 3a175c22fade4b389261

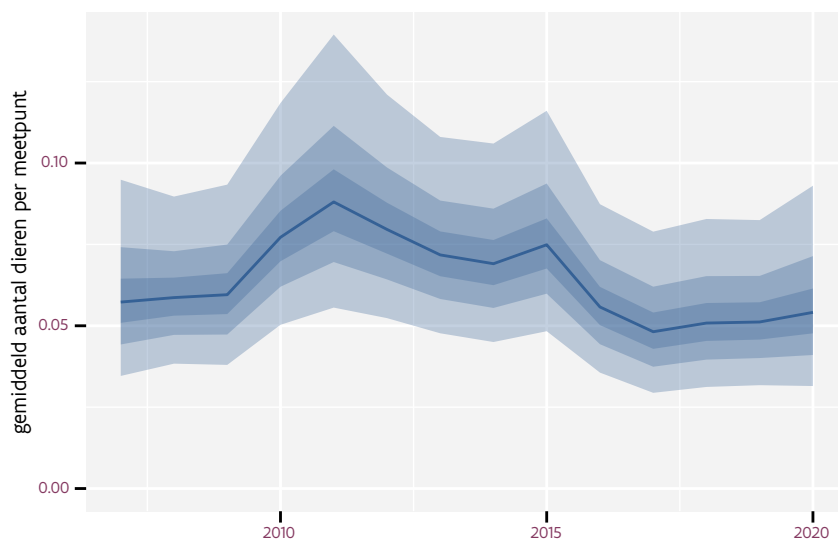
## 84 SPOTVOGEL

Op basis van driejaarlijkse gegevens zien we gemiddeld een mogelijk afname met -2.7% (-6.5%; +1.4%) per jaar of -30% (-59%; +20%) over de volledige looptijd van het meetnet. Deze trend is niet-lineair.

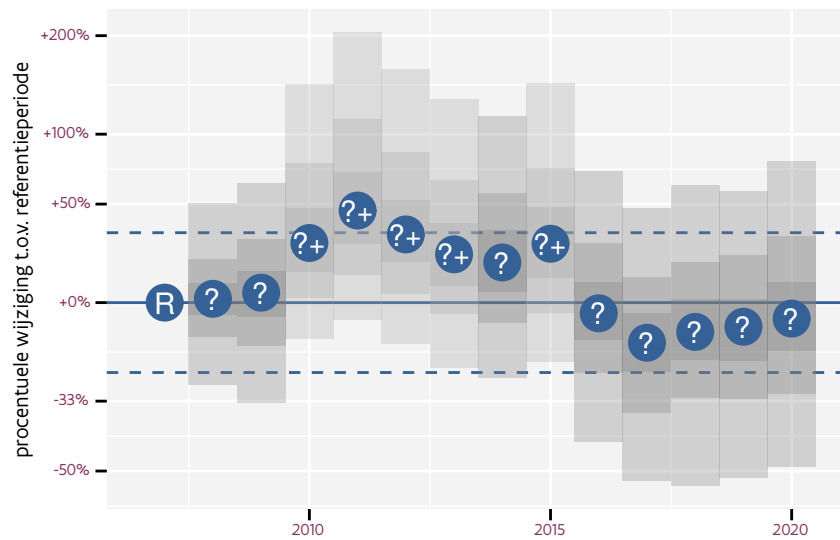
Op basis van jaarlijkse gegevens zien we gemiddeld een mogelijk afname met -2.3% (-6.2%; +1.8%) per jaar of -26% (-56%; +27%) over de volledige looptijd van het meetnet. Deze trend is niet-lineair.



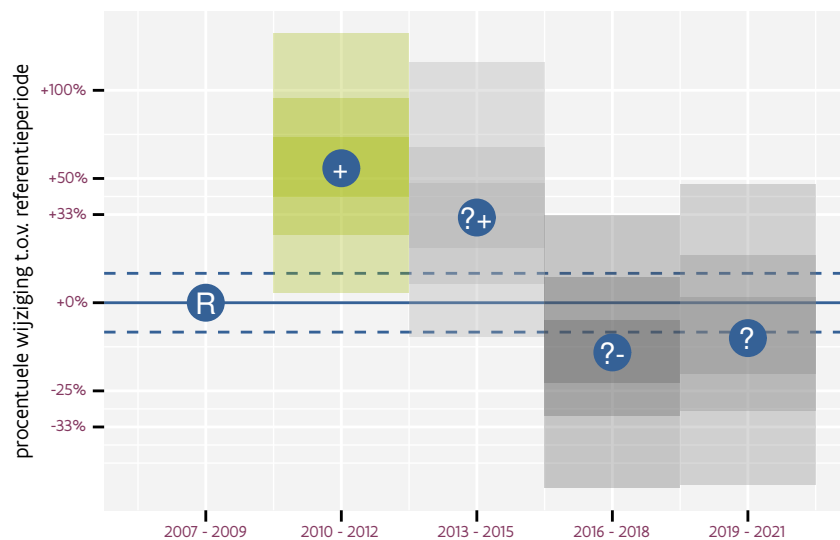
Figuur 84.1: Evolutie van het gemodeleerde gemiddeld aantal waargenomen dieren op een meetpunt voor Spotvogel tijdens de referentieperiode. Zie §4.1 voor een verklaring van de intervallen.



Figuur 84.2: Evolutie van het gemodeleerde gemiddeld aantal waargenomen dieren op een meetpunt voor Spotvogel tijdens de referentieperiode. Zie §4.1 voor een verklaring van de intervallen.



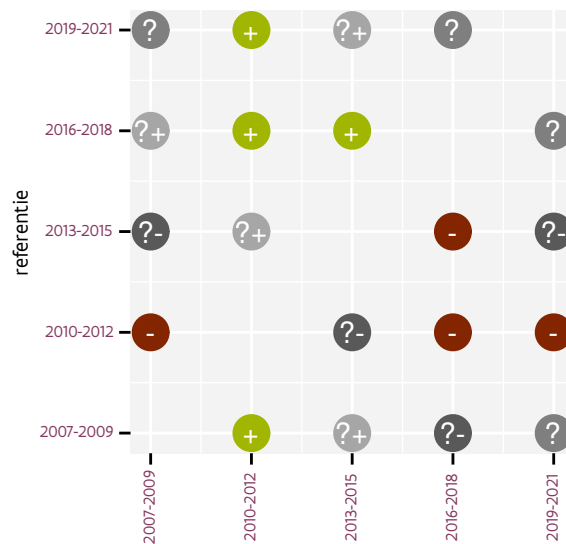
Figuur 84.3: Wijzigingen tussen jaren voor Spotvogel. Zie §4.1 voor een verklaring van de intervallen en §4.2 voor uitleg over de symbolen en referentielijnen.



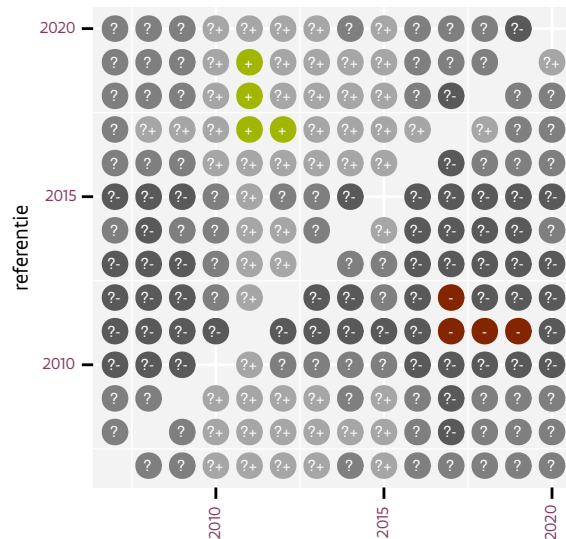
Figuur 84.4: Wijzigingen per driejarige cyclus voor Spotvogel. Zie §4.1 voor een verklaring van de intervallen en §4.2 voor uitleg over de symbolen en referentielijnen.

Tabel 84.1: Stratumgewicht, raming aan het aantal hokken waarin de soort aanwezig is, aantal relevant hokken voor de analyse, aantal onderzochte hokken in het stratum, totaal aantal hokken van het stratum in Vlaanderen en aantal bezoeken aan een meetpunt voor Spotvogel (zie §3.5).

stratum	gewicht	aanwezig	relevant	onderzocht	totaal	bezoeken
Landbouw	94.5%	385.2	26	426	6311	1216
Heide en duin	3.8%	13.1	6	91	199	270
Moeras en water	1.7%	5.1	3	80	137	174



Figuur 84.5: Paarsgewijze vergelijking tussen driejarige cycli voor Spotvogel. Uitleg van de symbolen in tabel 4.1.



Figuur 84.6: Paarsgewijze vergelijking tussen jaren voor Spotvogel. Uitleg van de symbolen in tabel 4.1.

Tabel 84.2: Data-hashes van de analyses in het kader van traceerbaarheid (zie §5.3).

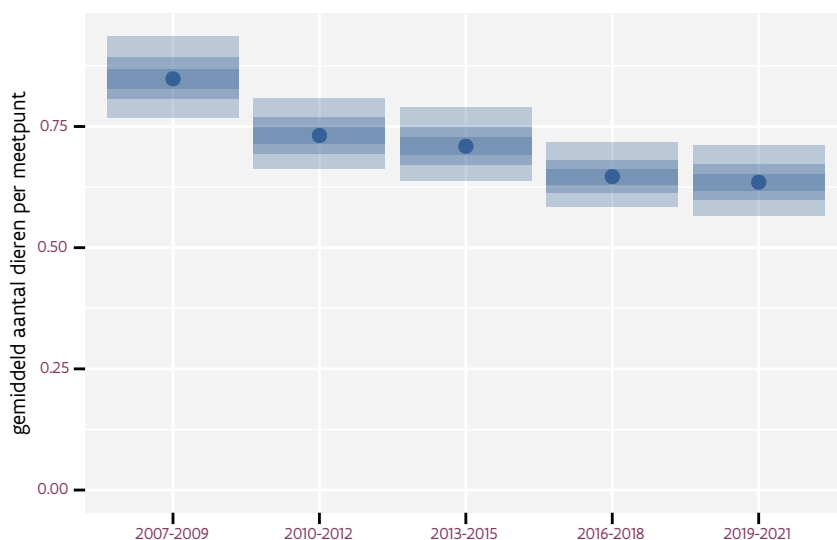
frequentie	model	analyse	status
jaarlijks	lineair	b5787f33325703f152fa 2c4c237412a202cc92e5	5499e9624964c6a3b24c b89237ac3d704c2f58ba
jaarlijks	niet-lineair	caf5fae753e164dcbcdc 3c6ff022c788d4af0b47	d2a67206ebcfc3ecf960 67238050fb81e8932fd9
driejaarlijks	lineair	8c274897e43b5e3336b0 75be1b88806241c2df96	c3ad47596db462de06d9 db65e5d02466a6d794d2
driejaarlijks	niet-lineair	93e6c042a7b78b2cd477 4d1c5e395aa79e67c6d9	a8e8d94a777a02ca0f37 5a8105b5d6add27b0c4d



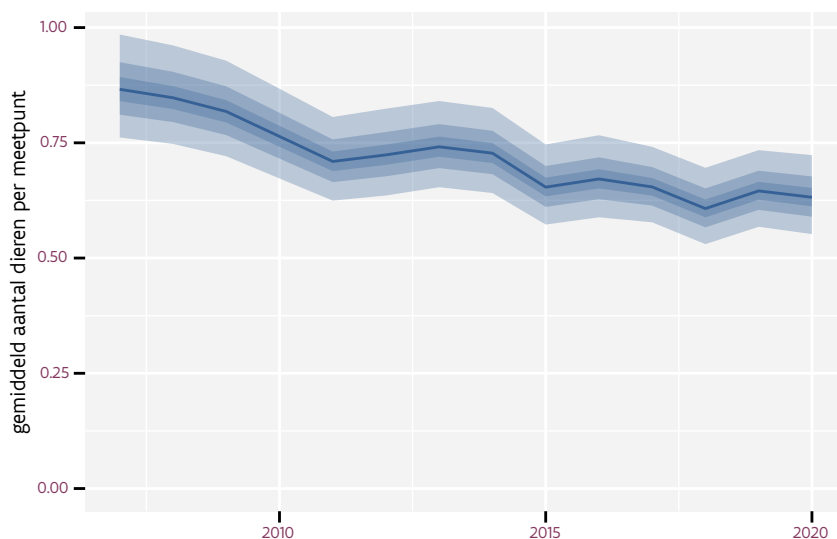
## 85 SPREEUW

Op basis van driejaarlijkse gegevens zien we gemiddeld een afname met -2.6% (-3.3%; -1.9%) per jaar of -29% (-35%; -22%) over de volledige looptijd van het meetnet. Deze trend is mogelijk niet-lineair.

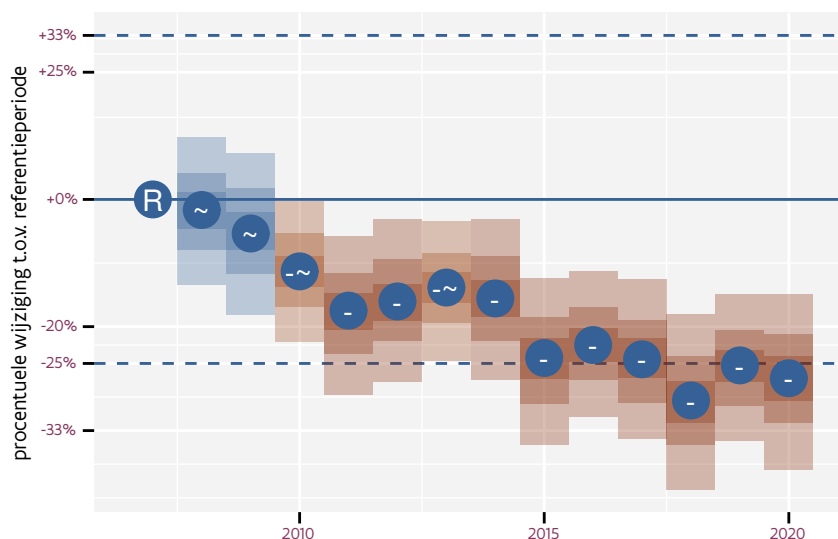
Op basis van jaarlijkse gegevens zien we gemiddeld een afname met -2.6% (-3.3%; -2.0%) per jaar of -29% (-36%; -23%) over de volledige looptijd van het meetnet. Deze trend is niet-lineair.



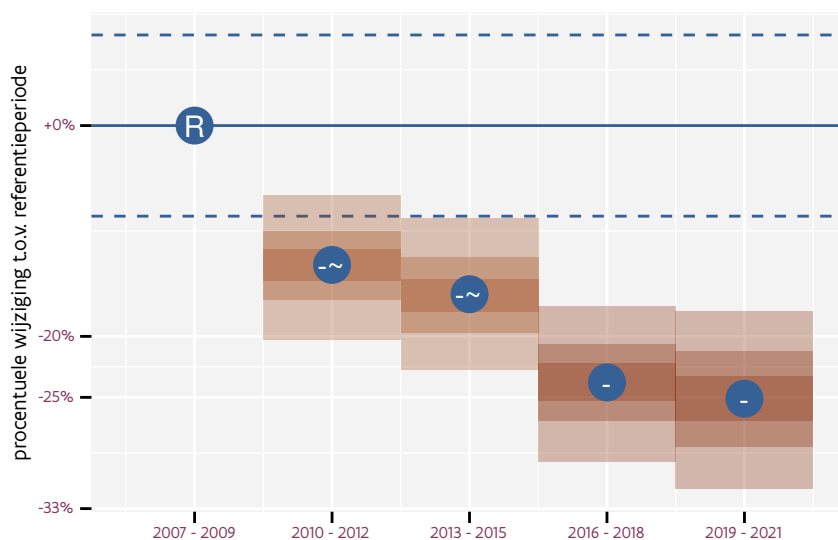
Figuur 85.1: Evolutie van het gemodeleerde gemiddeld aantal waargenomen dieren op een meetpunt voor Spreeuw tijdens de referentieperiode. Zie §4.1 voor een verklaring van de intervallen.



Figuur 85.2: Evolutie van het gemodeleerde gemiddeld aantal waargenomen dieren op een meetpunt voor Spreeuw tijdens de referentieperiode. Zie §4.1 voor een verklaring van de intervallen.



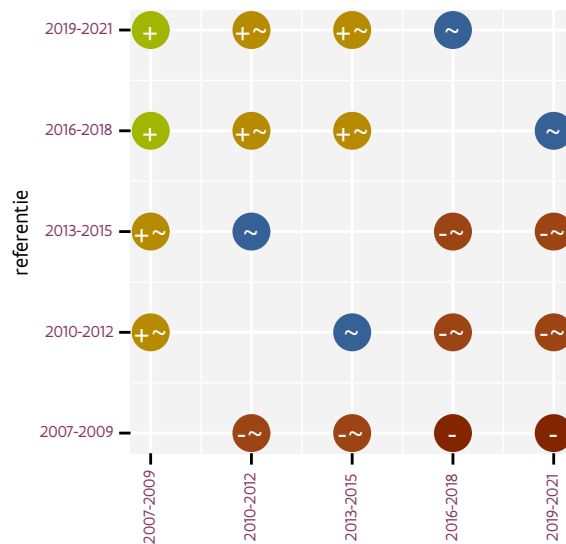
Figuur 85.3: Wijzigingen tussen jaren voor Spreeuw. Zie §4.1 voor een verklaring van de intervallen en §4.2 voor uitleg over de symbolen en referentielijnen.



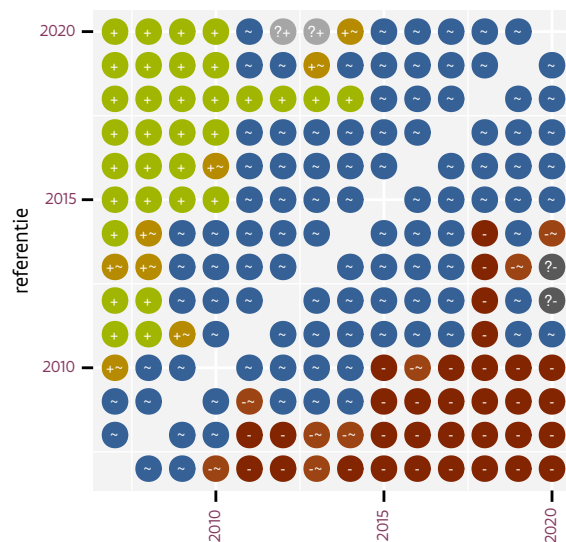
Figuur 85.4: Wijzigingen per driejarige cyclus voor Spreeuw. Zie §4.1 voor een verklaring van de intervallen en §4.2 voor uitleg over de symbolen en referentielijnen.

Tabel 85.1: Stratumgewicht, raming aan het aantal hokken waarin de soort aanwezig is, aantal relevant hokken voor de analyse, aantal onderzochte hokken in het stratum, totaal aantal hokken van het stratum in Vlaanderen en aantal bezoeken aan een meetpunt voor Spreeuw (zie §3.5).

stratum	gewicht	aanwezig	relevant	onderzocht	totaal	bezoeken
Landbouw	87.8%	4577.7	309	426	6311	19156
Urbaan	5.9%	301.2	63	87	416	3879
Suburbaan	2.3%	115.3	39	68	201	2414
Heide en duin	1.6%	78.7	36	91	199	2514
Moeras en water	1.4%	68.5	40	80	137	2592
Bos	1.1%	57.1	34	190	319	2397



Figuur 85.5: Paarsgewijze vergelijking tussen driejarige cycli voor Spreeuw. Uitleg van de symbolen in tabel 4.1.



Figuur 85.6: Paarsgewijze vergelijking tussen jaren voor Spreeuw. Uitleg van de symbolen in tabel 4.1.

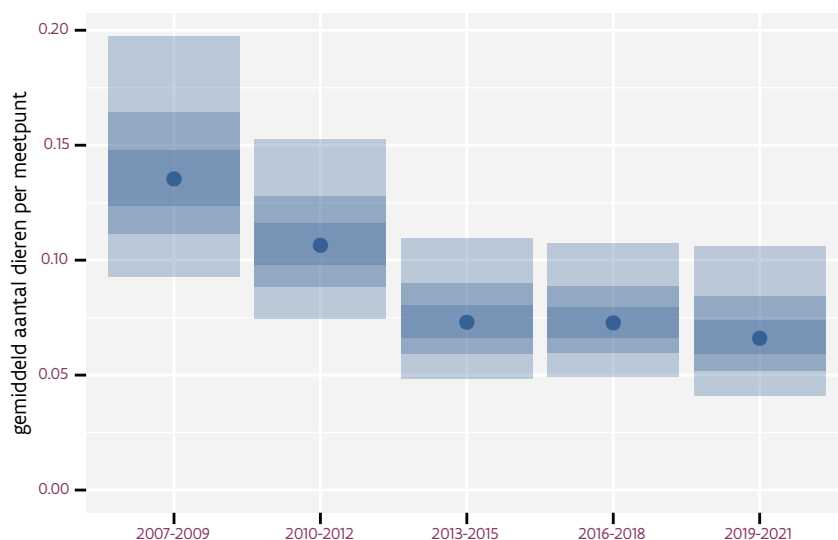
Tabel 85.2: Data-hashes van de analyses in het kader van traceerbaarheid (zie §5.3).

frequentie	model	analyse	status
jaarlijks	lineair	eac2cc3ceba613e9ef65 209e1b573afc37b42fc3	3e4420136e9890a7dd82 ff91a33a3b6b544fe948
jaarlijks	niet-lineair	51c5598ef67fd1f2f41f 1d469a83dac49f92ee07	ffd898514787be7b8ede 087249b84775afa95075
driejaarlijks	lineair	4eda69192d3d82c8358d 2ad405f8081e68d872d9	4f9e7aebdbf47a6acd7a 0b214ee023752dccc472
driejaarlijks	niet-lineair	e5c366d51a6e88d75f8e 715ec14122b5588421ea	38a1ffc175cb2f34a724 8208daad3591faab8cd3

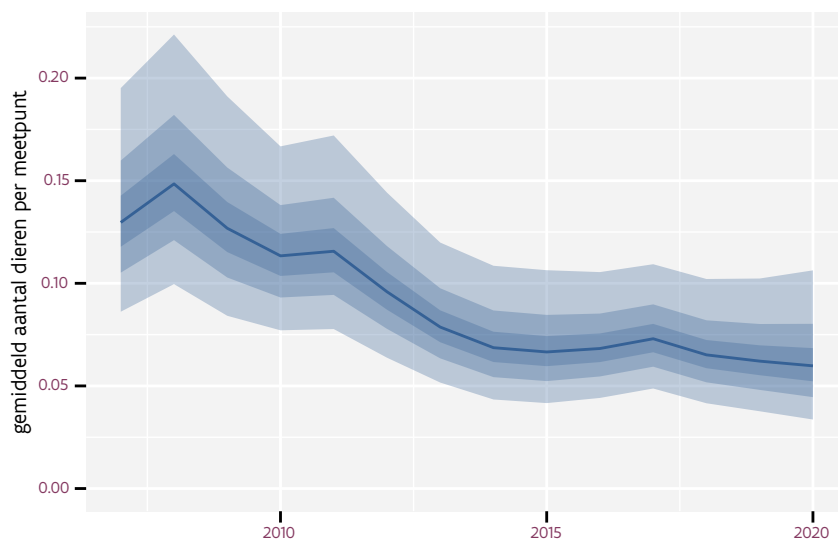
## 86 SPRINKHAANZANGER

Op basis van driejaarlijkse gegevens zien we gemiddeld een sterke afname met -10.47% (-14.07%; -6.73%) per jaar of -76% (-86%; -60%) over de volledige looptijd van het meetnet. Deze trend is mogelijk niet-lineair.

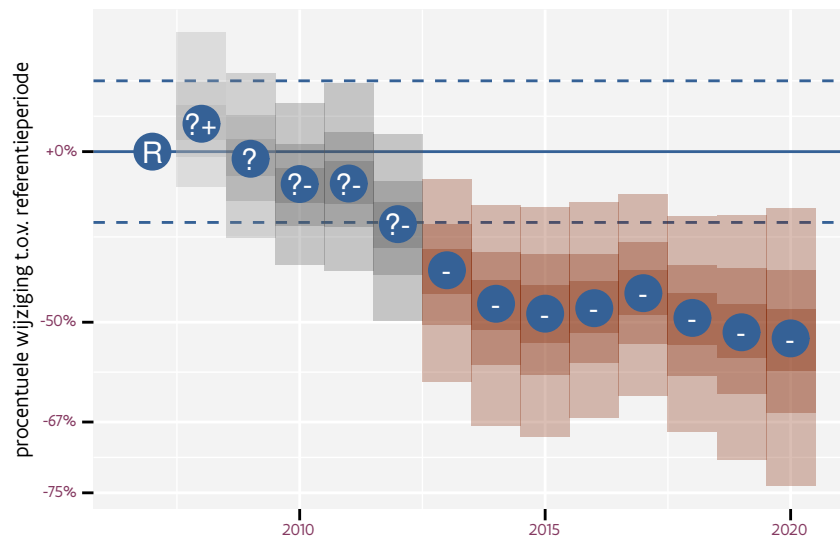
Op basis van jaarlijkse gegevens zien we gemiddeld een sterke afname met -9.70% (-13.21%; -6.05%) per jaar of -73% (-84%; -56%) over de volledige looptijd van het meetnet. Deze trend is mogelijk niet-lineair.



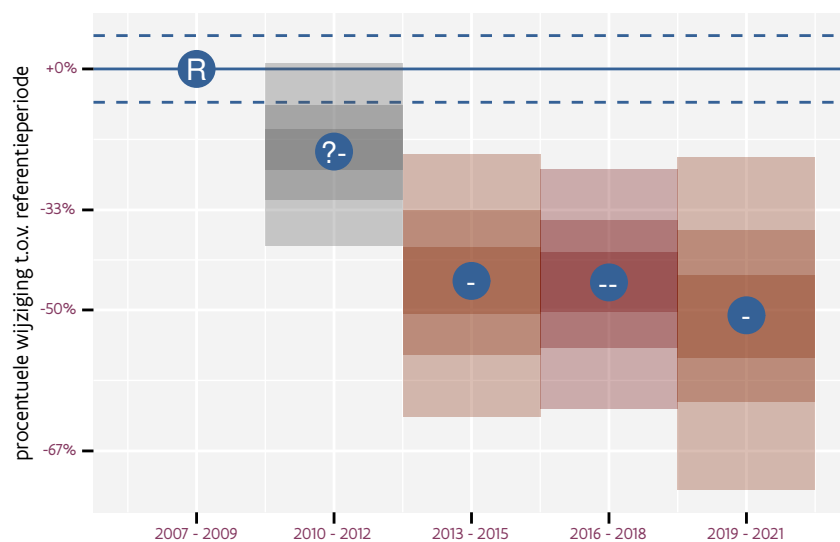
Figuur 86.1: Evolutie van het gemodeleerde gemiddeld aantal waargenomen dieren op een meetpunt voor Sprinkhaanzanger tijdens de referentieperiode. Zie §4.1 voor een verklaring van de intervallen.



Figuur 86.2: Evolutie van het gemodeleerde gemiddeld aantal waargenomen dieren op een meetpunt voor Sprinkhaanzanger tijdens de referentieperiode. Zie §4.1 voor een verklaring van de intervallen.



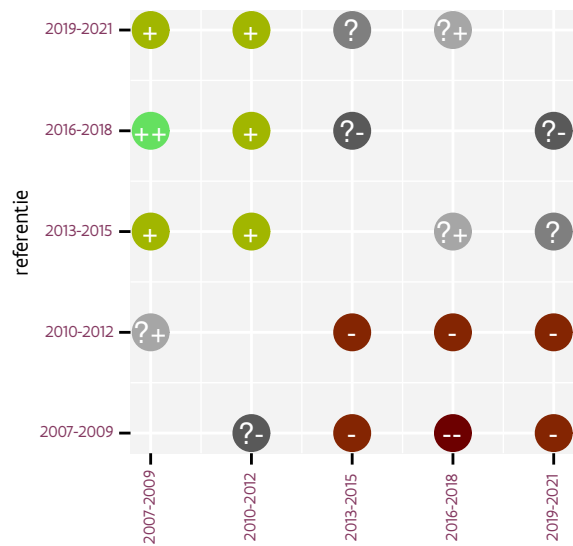
Figuur 86.3: Wijzigingen tussen jaren voor Sprinkhaanzanger. Zie §4.1 voor een verklaring van de intervallen en §4.2 voor uitleg over de symbolen en referentielijnen.



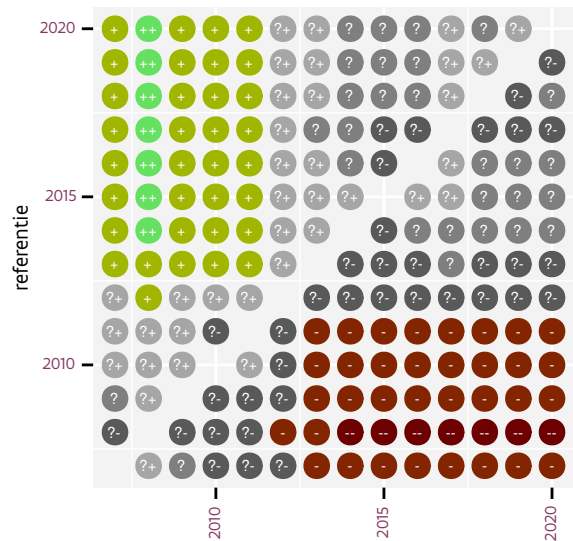
Figuur 86.4: Wijzigingen per driejarige cyclus voor Sprinkhaanzanger. Zie §4.1 voor een verklaring van de intervallen en §4.2 voor uitleg over de symbolen en referentielijnen.

Tabel 86.1: Stratumgewicht, raming aan het aantal hokken waarin de soort aanwezig is, aantal relevant hokken voor de analyse, aantal onderzochte hokken in het stratum, totaal aantal hokken van het stratum in Vlaanderen en aantal bezoeken aan een meetpunt voor Sprinkhaanzanger (zie §3.5).

stratum	gewicht	aanwezig	relevant	onderzocht	totaal	bezoeken
Heide en duin	57.9%	32.8	15	91	199	850
Moeras en water	21.2%	10.3	6	80	137	399
Suburbaan	20.9%	8.9	3	68	201	154



Figuur 86.5: Paarsgewijze vergelijking tussen driejarige cycli voor Sprinkhaanzanger. Uitleg van de symbolen in tabel 4.1.



Figuur 86.6: Paarsgewijze vergelijking tussen jaren voor Sprinkhaanzanger. Uitleg van de symbolen in tabel 4.1.

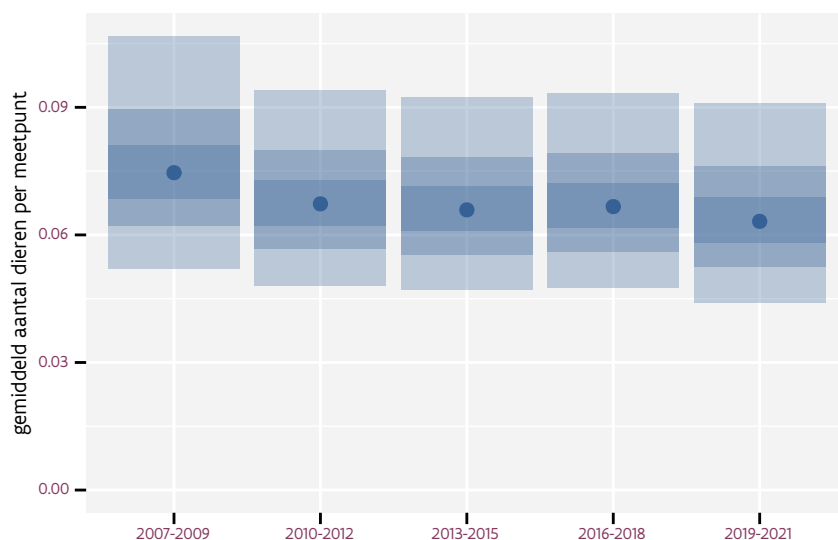
Tabel 86.2: Data-hashes van de analyses in het kader van traceerbaarheid (zie §5.3).

frequentie	model	analyse	status
jaarlijks	lineair	cbd2ce01db3ded7f0221 1b47c948af5ffe87da88	12a191136e91d25c088e 3bb442ff1b72da56e6a0
jaarlijks	niet-lineair	027f2af235b6db17f5c7 0c07ea8a7fd58c39f4c0	a15409d4360ec6239a83 ebdda0c1499e17e3c40d
driejaarlijks	lineair	996399444f5fff379ea9 7480d76a04c0609b04bd	ac0c7cbaae63b90b0886 13cf5ad4c43ae6814b2e
driejaarlijks	niet-lineair	66c9a48e91b6dc4c4882 c79856e55592e943e200	603b1918823073807d27 4f84e81ee4a6e18b4077

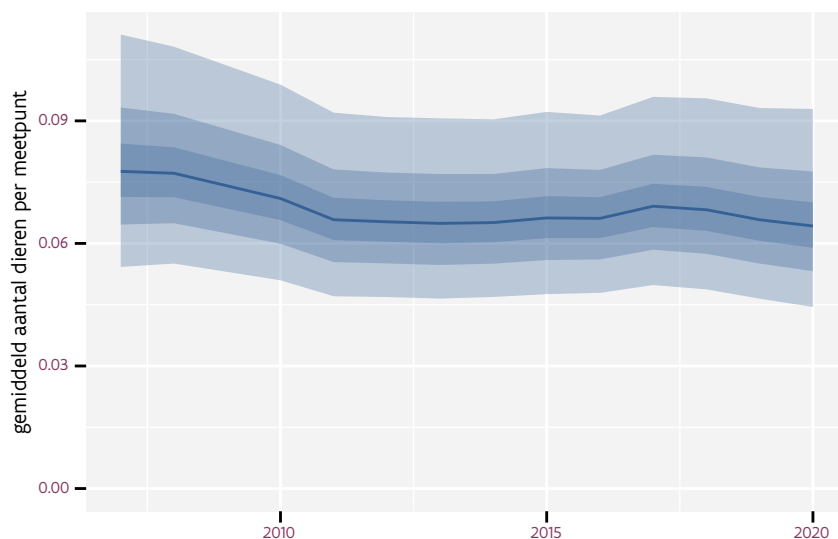
## 87 STAARTMEES

Op basis van driejaarlijkse gegevens zien we gemiddeld een afname met -3.1% (-5.6%; -0.6%) per jaar of -34% (-53%; -8%) over de volledige looptijd van het meetnet. Deze trend is niet-lineair.

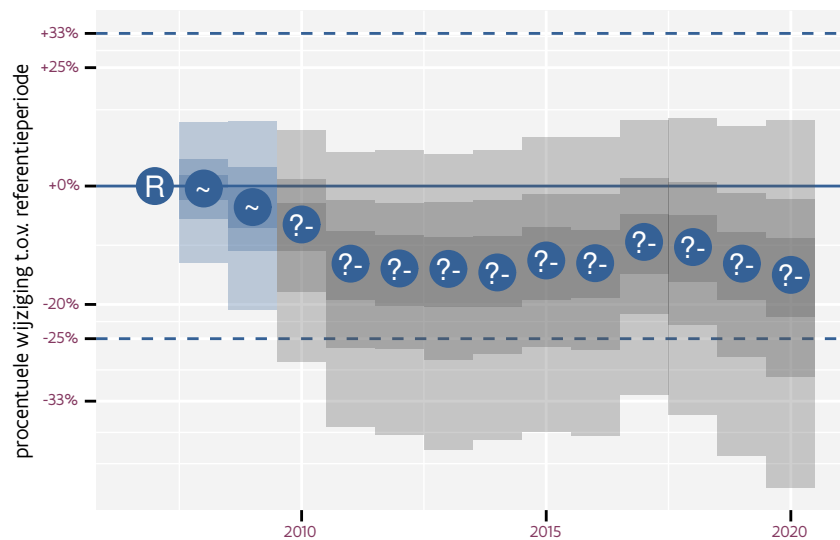
Op basis van jaarlijkse gegevens zien we gemiddeld een afname met -2.8% (-5.3%; -0.3%) per jaar of -31% (-51%; -4%) over de volledige looptijd van het meetnet. Deze trend is niet-lineair.



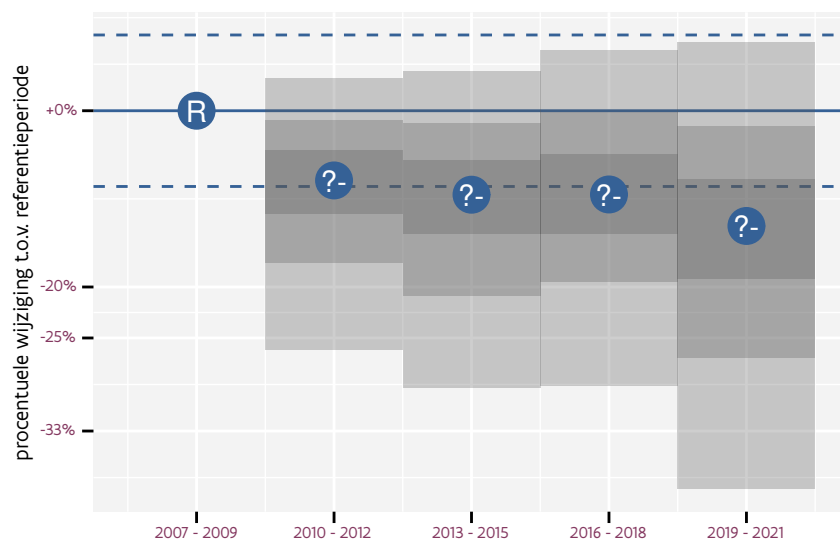
Figuur 87.1: Evolutie van het gemodeleerde gemiddeld aantal waargenomen dieren op een meetpunt voor Staartmees tijdens de referentieperiode. Zie §4.1 voor een verklaring van de intervallen.



Figuur 87.2: Evolutie van het gemodeleerde gemiddeld aantal waargenomen dieren op een meetpunt voor Staartmees tijdens de referentieperiode. Zie §4.1 voor een verklaring van de intervallen.



Figuur 87.3: Wijzigingen tussen jaren voor Staartmees. Zie §4.1 voor een verklaring van de intervallen en §4.2 voor uitleg over de symbolen en referentielijnen.

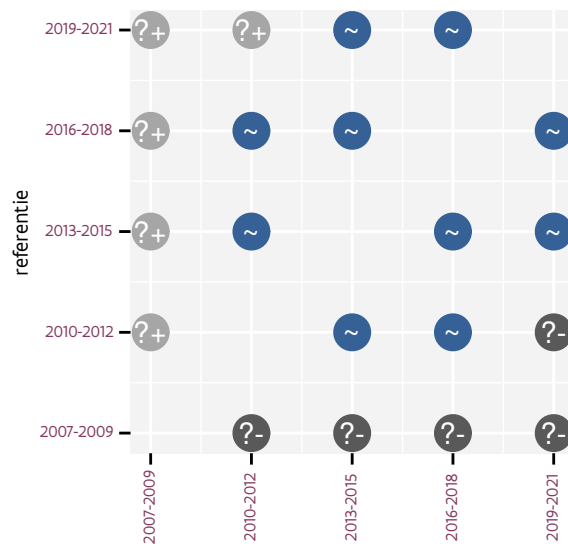


Figuur 87.4: Wijzigingen per driejarige cyclus voor Staartmees. Zie §4.1 voor een verklaring van de intervallen en §4.2 voor uitleg over de symbolen en referentielijnen.

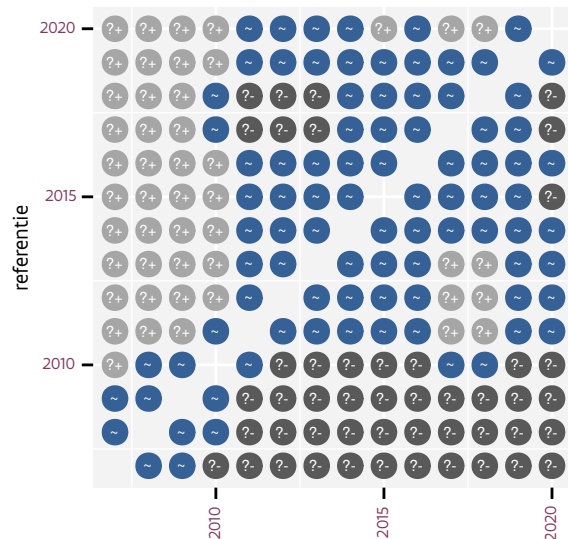
Tabel 87.1: Stratumgewicht, raming aan het aantal hokken waarin de soort aanwezig is, aantal relevant hokken voor de analyse, aantal onderzochte hokken in het stratum, totaal aantal hokken van het stratum in Vlaanderen en aantal bezoeken aan een meetpunt voor Staartmees (zie §3.5).

stratum	gewicht	aanwezig	relevant	onderzocht	totaal	bezoeken
Landbouw	66.0%	577.8	39	426	6311	2976
Bos	9.2%	82.3	49	190	319	3703
Urbaan	7.5%	62.2	13	87	416	1030
Suburbaan	6.6%	56.2	19	68	201	1421
Moeras en water	5.6%	48.0	28	80	137	1900
Heide en duin	5.1%	43.7	20	91	199	1508





Figuur 87.5: Paarsgewijze vergelijking tussen driejarige cycli voor Staartmees. Uitleg van de symbolen in tabel 4.1.



Figuur 87.6: Paarsgewijze vergelijking tussen jaren voor Staartmees. Uitleg van de symbolen in tabel 4.1.

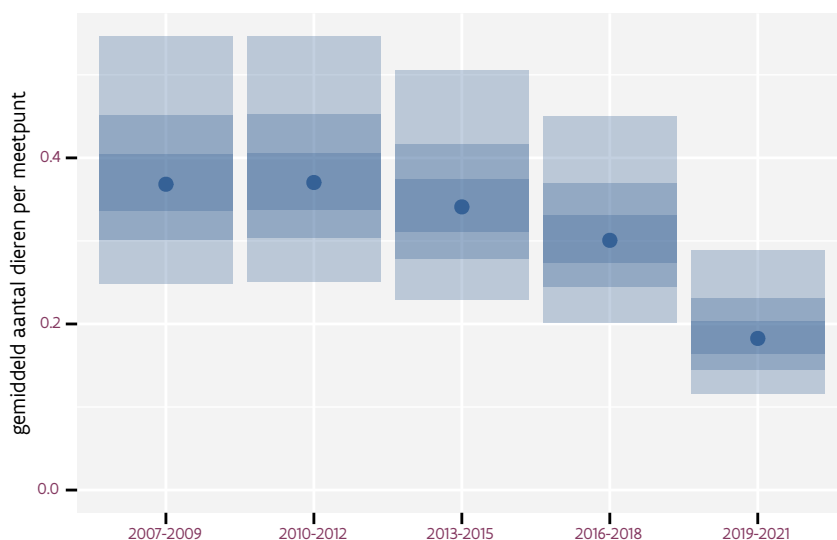
Tabel 87.2: Data-hashes van de analyses in het kader van traceerbaarheid (zie §5.3).

frequentie	model	analyse	status
jaarlijks	lineair	c15e8be40ebd551be64a 01ea45d3c60de35438d4	612a7577fd4e878d74ad 14030d7f3c50ce34c2ba
jaarlijks	niet-lineair	7cc611b06b8894bd8f32 30127520f3f46dd1605d	4cd78fd9b576f5d5d748 995ee4d061d1e3b2554f
driejaarlijks	lineair	dc37dcd76e0dfe4bab70 349fcc4cf63a6b8c2202	4e3f3300147e899c8443 1e9fcaa90d41ce5d7247
driejaarlijks	niet-lineair	b4b0f2a7292a5ef25d6c a077704b44207516602d	bc6ee5b0de94195b8d08 8e6e17a6129f60dfcafd

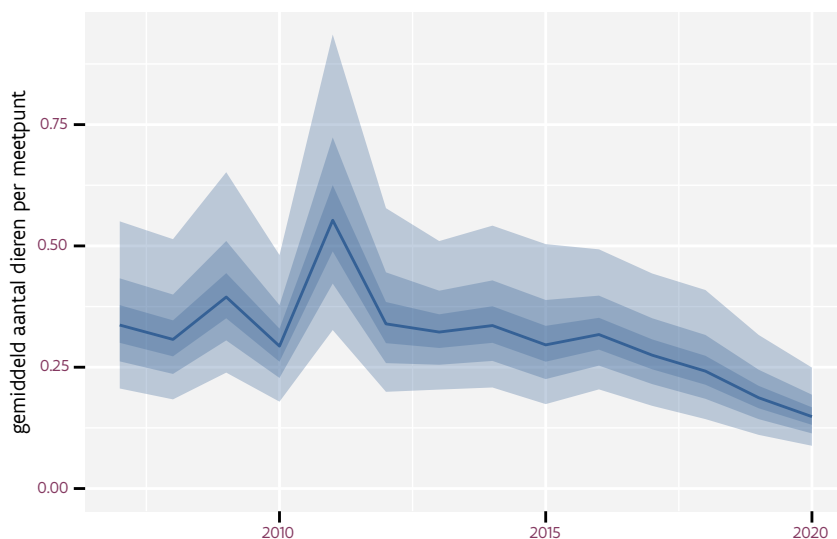
## 88 STADSDUIF

Op basis van driejaarlijkse gegevens zien we gemiddeld een sterke afname met -5.4% (-8.1%; -2.7%) per jaar of -52% (-67%; -30%) over de volledige looptijd van het meetnet. Deze trend is niet-lineair.

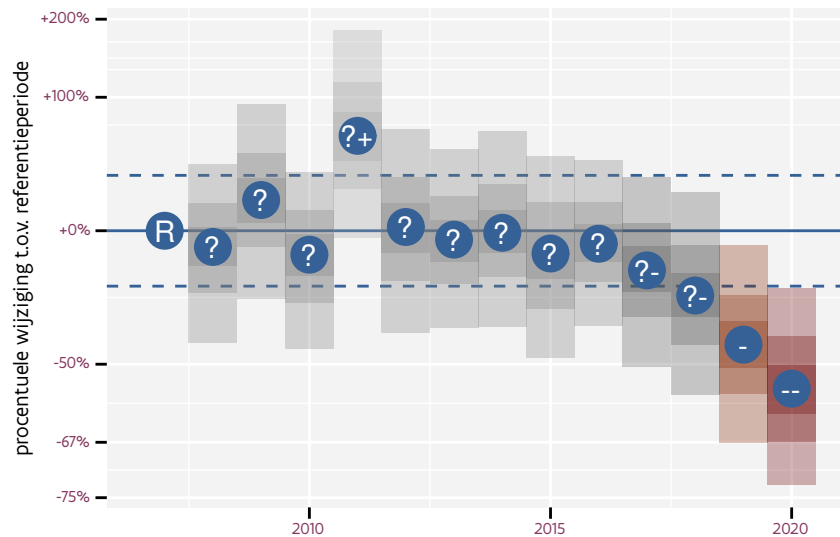
Op basis van jaarlijkse gegevens zien we gemiddeld een sterke afname met -5.4% (-8.1%; -2.6%) per jaar of -51% (-67%; -29%) over de volledige looptijd van het meetnet. Deze trend is niet-lineair.



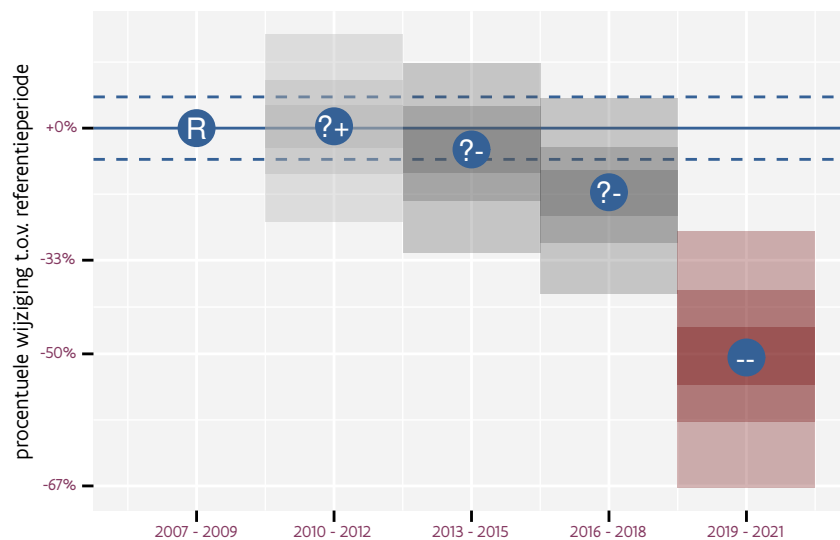
Figuur 88.1: Evolutie van het gemodeleerde gemiddeld aantal waargenomen dieren op een meetpunt voor Stadsduif tijdens de referentieperiode. Zie §4.1 voor een verklaring van de intervallen.



Figuur 88.2: Evolutie van het gemodeleerde gemiddeld aantal waargenomen dieren op een meetpunt voor Stadsduif tijdens de referentieperiode. Zie §4.1 voor een verklaring van de intervallen.



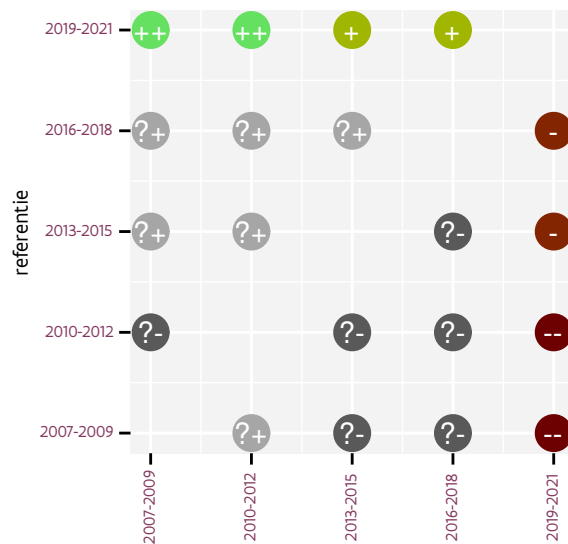
Figuur 88.3: Wijzigingen tussen jaren voor Stadsduif. Zie §4.1 voor een verklaring van de intervallen en §4.2 voor uitleg over de symbolen en referentielijnen.



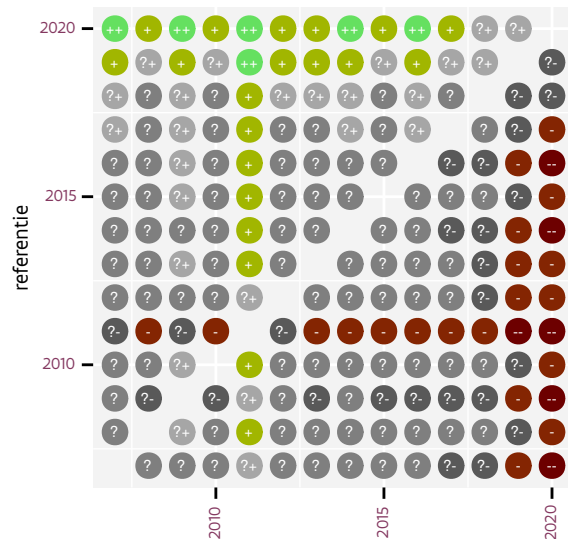
Figuur 88.4: Wijzigingen per driejarige cyclus voor Stadsduif. Zie §4.1 voor een verklaring van de intervallen en §4.2 voor uitleg over de symbolen en referentielijnen.

Tabel 88.1: Stratungewicht, raming aan het aantal hokken waarin de soort aanwezig is, aantal relevant hokken voor de analyse, aantal onderzochte hokken in het stratum, totaal aantal hokken van het stratum in Vlaanderen en aantal bezoeken aan een meetpunt voor Stadsduif (zie §3.5).

stratum	gewicht	aanwezig	relevant	onderzocht	totaal	bezoeken
Landbouw	74.2%	414.8	28	426	6311	1930
Urbaan	15.5%	81.3	17	87	416	1008
Suburbaan	5.8%	29.6	10	68	201	681
Heide en duin	2.4%	10.9	5	91	199	227
Moeras en water	2.2%	10.3	6	80	137	364



Figuur 88.5: Paarsgewijze vergelijking tussen driejarige cycli voor Stadsduif. Uitleg van de symbolen in tabel 4.1.



Figuur 88.6: Paarsgewijze vergelijking tussen jaren voor Stadsduif. Uitleg van de symbolen in tabel 4.1.

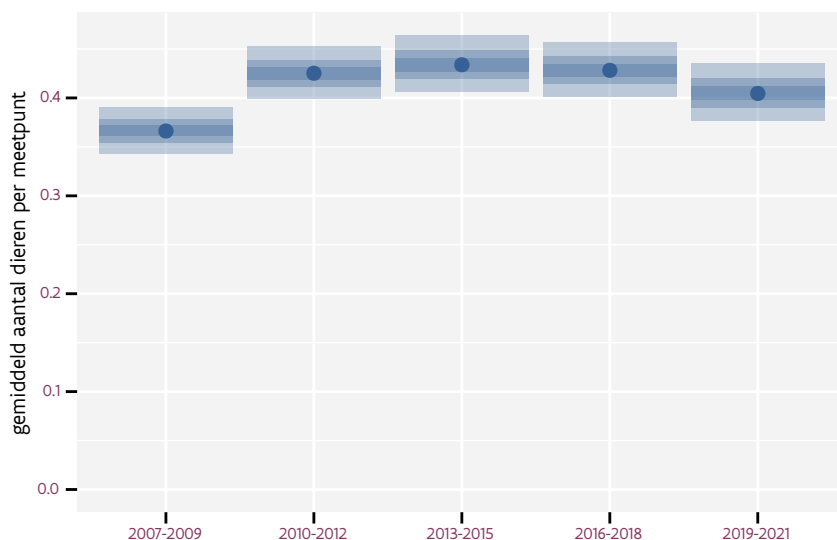
Tabel 88.2: Data-hashes van de analyses in het kader van traceerbaarheid (zie §5.3).

frequentie	model	analyse	status
jaarlijks	lineair	e933b9d68ecef09f95b4 9785bdface5a16a63011	8a0a279951e83f78ad89 90a8ff4e24f785dc055a
jaarlijks	niet-lineair	d128d33043f3de401519 22e12f1ac4712593b114	425f43f3b6dca94dabf8 44b2363b264c87d1596a
driejaarlijks	lineair	89fcdc963a71a285577e fbf2bf3e9df269054807	4e2f0e3b0c9a465bc456 5c1ca6c39f0b390ebd6f
driejaarlijks	niet-lineair	0c598fb8cfe7546890f8 ca96c02696629e1247b1	7f112e26ec761d49bd91 85b9f04a2b10fe701200

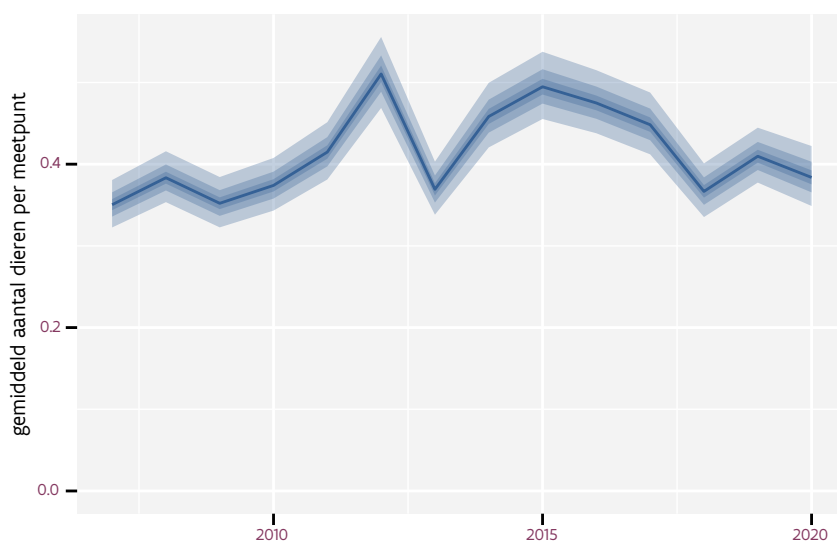
## 89 TJIFTJAF

Op basis van driejaarlijkse gegevens zien we gemiddeld een matige toename met +1.010% (+0.606%; +1.415%) per jaar of +14% (+8%; +20%) over de volledige looptijd van het meetnet. Deze trend is niet-lineair.

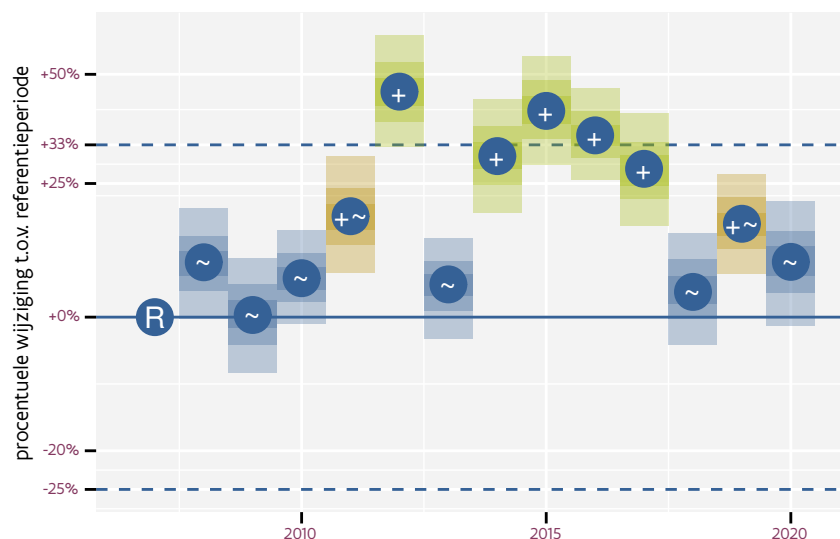
Op basis van jaarlijkse gegevens zien we gemiddeld een matige toename met +1.083% (+0.679%; +1.489%) per jaar of +15% (+9%; +21%) over de volledige looptijd van het meetnet. Deze trend is niet-lineair.



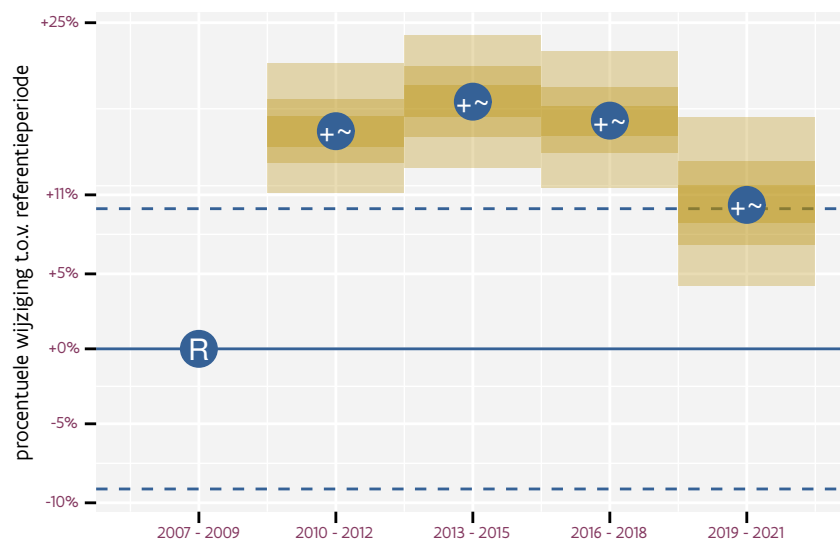
Figuur 89.1: Evolutie van het gemodeleerde gemiddeld aantal waargenomen dieren op een meetpunt voor Tjiftjaf tijdens de referentieperiode. Zie §4.1 voor een verklaring van de intervallen.



Figuur 89.2: Evolutie van het gemodeleerde gemiddeld aantal waargenomen dieren op een meetpunt voor Tjiftjaf tijdens de referentieperiode. Zie §4.1 voor een verklaring van de intervallen.



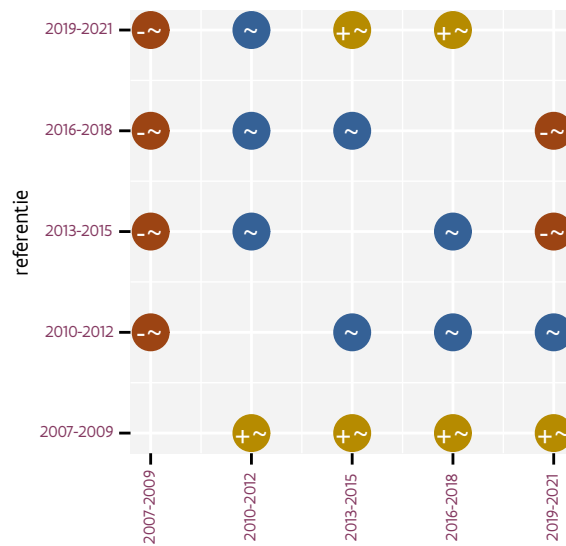
Figuur 89.3: Wijzigingen tussen jaren voor Tjiftjaf. Zie §4.1 voor een verklaring van de intervallen en §4.2 voor uitleg over de symbolen en referentielijnen.



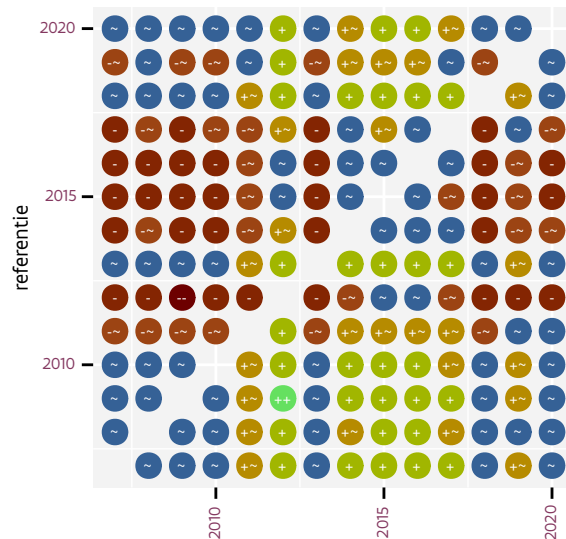
Figuur 89.4: Wijzigingen per driejarige cyclus voor Tjiftjaf. Zie §4.1 voor een verklaring van de intervallen en §4.2 voor uitleg over de symbolen en referentielijnen.

Tabel 89.1: Stratumgewicht, raming aan het aantal hokken waarin de soort aanwezig is, aantal relevant hokken voor de analyse, aantal onderzochte hokken in het stratum, totaal aantal hokken van het stratum in Vlaanderen en aantal bezoeken aan een meetpunt voor Tjiftjaf (zie §3.5).

stratum	gewicht	aanwezig	relevant	onderzocht	totaal	bezoeken
Landbouw	81.3%	4325.8	292	426	6311	18249
Urbaan	6.1%	320.4	67	87	416	4072
Bos	4.4%	233.4	139	190	319	8724
Heide en duin	3.2%	168.4	77	91	199	4653
Suburbaan	2.9%	153.7	52	68	201	3083
Moeras en water	2.0%	104.5	61	80	137	3695



Figuur 89.5: Paarsgewijze vergelijking tussen driejarige cycli voor Tjiftjaf. Uitleg van de symbolen in tabel 4.1.



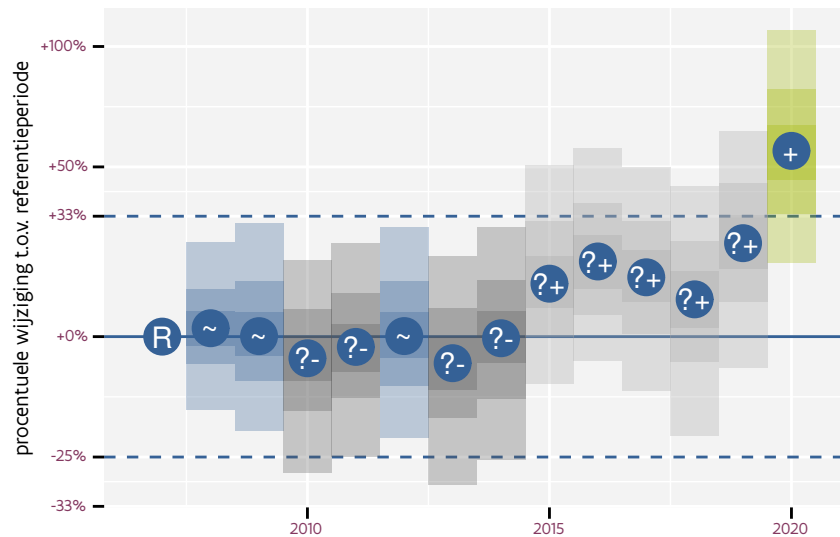
Figuur 89.6: Paarsgewijze vergelijking tussen jaren voor Tjiftjaf. Uitleg van de symbolen in tabel 4.1.

Tabel 89.2: Data-hashes van de analyses in het kader van traceerbaarheid (zie §5.3).

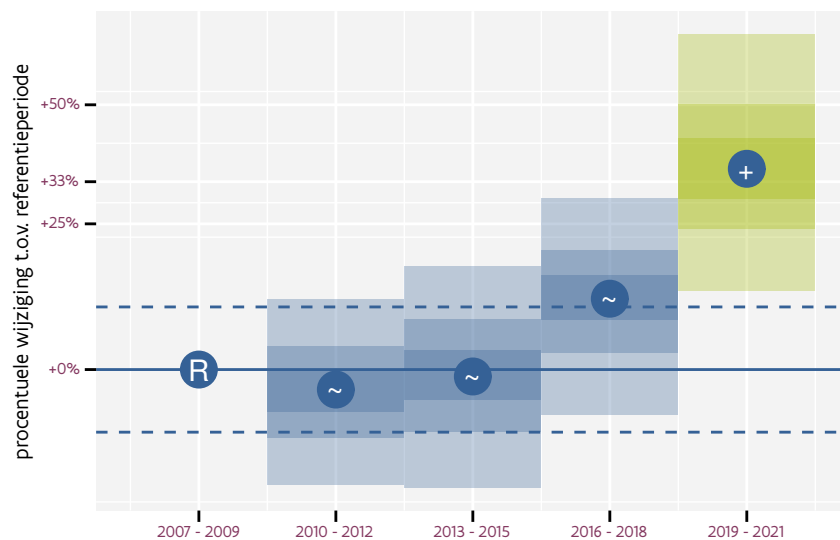
frequentie	model	analyse	status
jaarlijks	lineair	16ec2f241d1da189a846 d3016a94465078e92917	b53faeace1ab4cf73401 96a25bcc58e0417461c0
jaarlijks	niet-lineair	26e8a33ceda8dca33352 b880adaa8a9e56826242	19226d937469d3c1a5bf 993e1538abe3b99d8020
driejaarlijks	lineair	060ff4b0c190bacf9b11 0c2dbe6838eea18a87a9	7e8af0f2db6bc8ead6ff fe3a5dc5b7b098ca274f
driejaarlijks	niet-lineair	96eb72c74e69de70a356 3341d87b5d99e15b9d01	1e45615b910932e0444c 3262c1780fd5ff438bc0







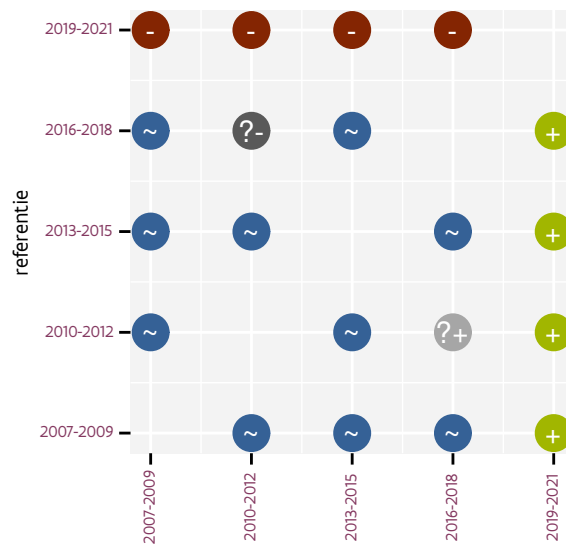
Figuur 90.3: Wijzigingen tussen jaren voor Torenvalk. Zie §4.1 voor een verklaring van de intervallen en §4.2 voor uitleg over de symbolen en referentielijnen.



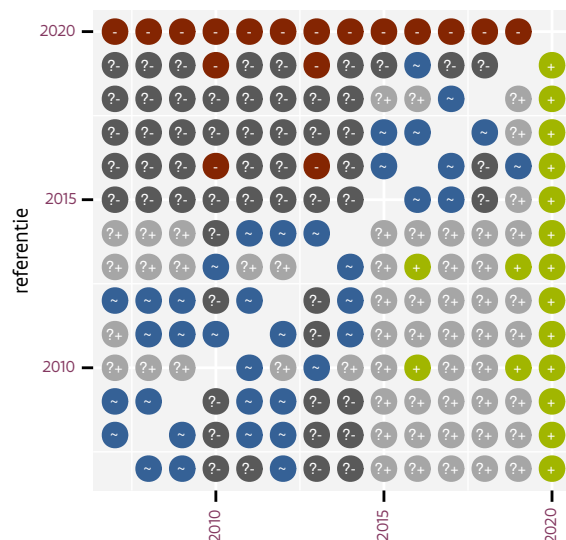
Figuur 90.4: Wijzigingen per driejarige cyclus voor Torenvalk. Zie §4.1 voor een verklaring van de intervallen en §4.2 voor uitleg over de symbolen en referentielijnen.

Tabel 90.1: Stratumgewicht, raming aan het aantal hokken waarin de soort aanwezig is, aantal relevant hokken voor de analyse, aantal onderzochte hokken in het stratum, totaal aantal hokken van het stratum in Vlaanderen en aantal bezoeken aan een meetpunt voor Torenvalk (zie §3.5).

stratum	gewicht	aanwezig	relevant	onderzocht	totaal	bezoeken
Landbouw	96.1%	1837.0	124	426	6311	8428
Heide en duin	1.6%	28.4	13	91	199	917
Suburbaan	1.2%	20.7	7	68	201	542
Moeras en water	0.7%	12.0	7	80	137	533
Bos	0.4%	5.0	3	190	319	258



Figuur 90.5: Paarsgewijze vergelijking tussen driejarige cycli voor Torenvalk. Uitleg van de symbolen in tabel 4.1.



Figuur 90.6: Paarsgewijze vergelijking tussen jaren voor Torenvalk. Uitleg van de symbolen in tabel 4.1.

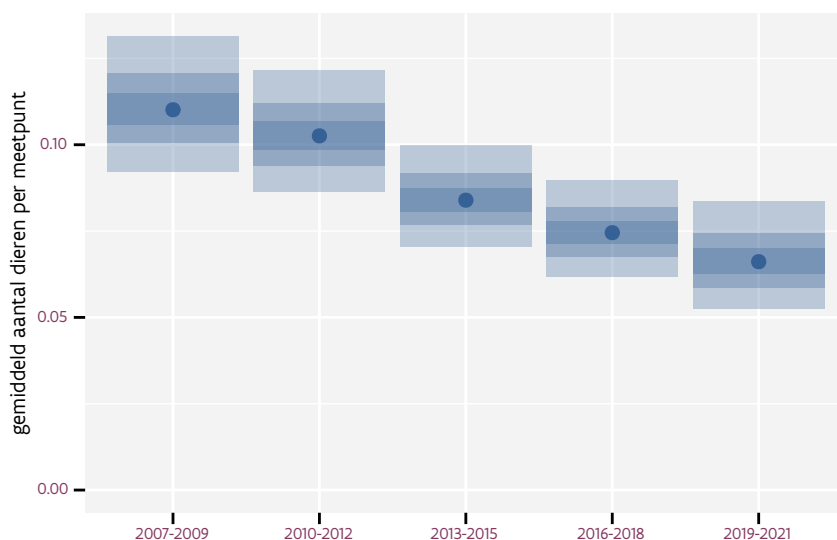
Tabel 90.2: Data-hashes van de analyses in het kader van traceerbaarheid (zie §5.3).

frequentie	model	analyse	status
jaarlijks	lineair	15dd9acaca45a452da69 cae18e0ea2b61db63373	d0f05b64ba209d7bcbb5 04d33f6e60a5ef7657bc
jaarlijks	niet-lineair	803b3e2340d1d4be9224 23ae8ab9db0f44c2b63b	c8abd7845054b3999428 ec83ef6fbd1e43340a33
driejaarlijks	lineair	2bc0cc1f8bc37a30d4f2 3c7d2eecec3e5254765a	2ed2e09cc558bb270bea b9c6c64cb805267156e3
driejaarlijks	niet-lineair	09b0026714eadc8ce760 3daeeffa15fad17d6217e	643769f453456c96f028 18789fdbbd3e4d1ef5ed0

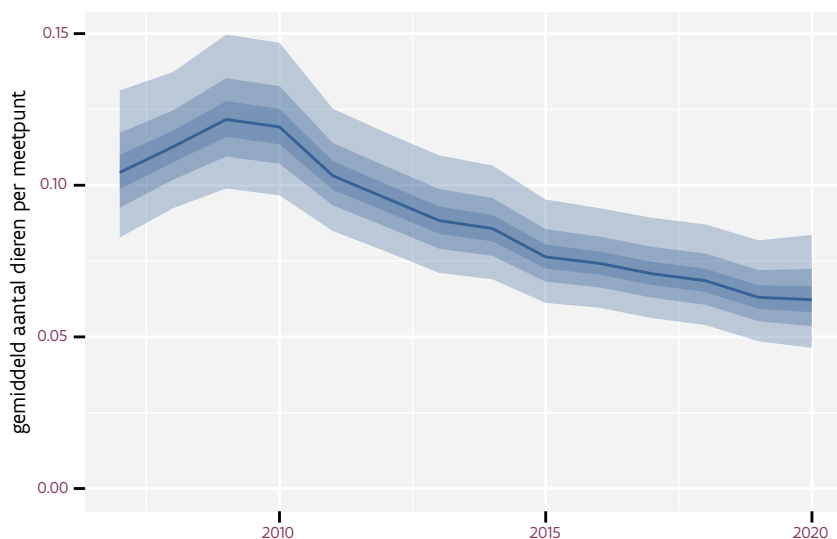
## 91 TUINFLUITER

Op basis van driejaarlijkse gegevens zien we gemiddeld een sterke afname met -5.9% (-7.7%; -4.1%) per jaar of -55% (-65%; -42%) over de volledige looptijd van het meetnet. Deze trend is lineair.

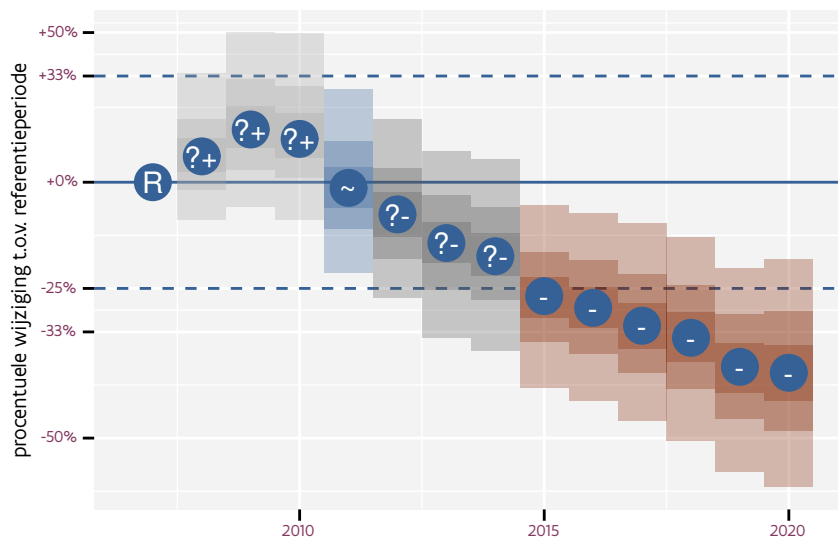
Op basis van jaarlijkse gegevens zien we gemiddeld een sterke afname met -5.9% (-7.7%; -4.0%) per jaar of -55% (-65%; -41%) over de volledige looptijd van het meetnet. Deze trend is niet-lineair.



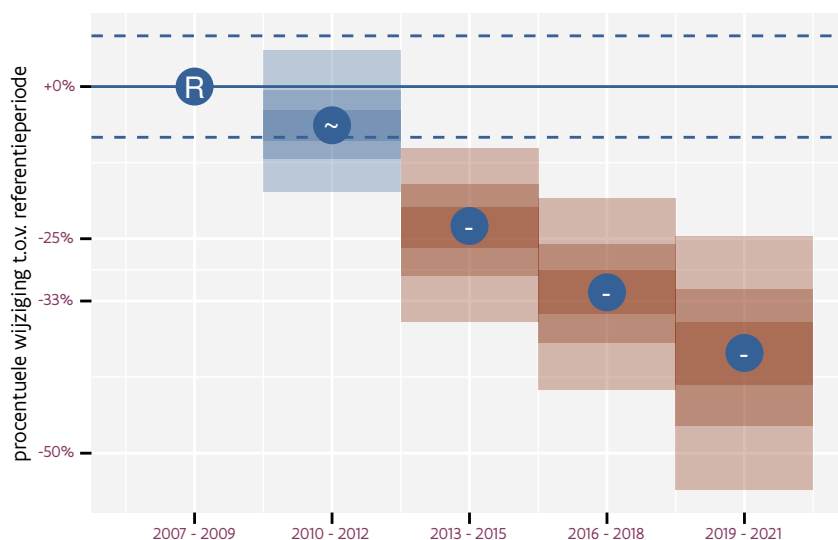
Figuur 91.1: Evolutie van het gemodeleerde gemiddeld aantal waargenomen dieren op een meetpunt voor Tuinfluiter tijdens de referentieperiode. Zie §4.1 voor een verklaring van de intervallen.



Figuur 91.2: Evolutie van het gemodeleerde gemiddeld aantal waargenomen dieren op een meetpunt voor Tuinfluiter tijdens de referentieperiode. Zie §4.1 voor een verklaring van de intervallen.



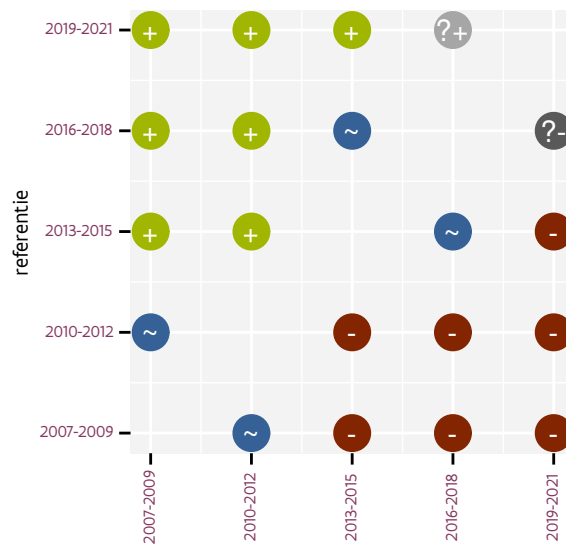
Figuur 91.3: Wijzigingen tussen jaren voor Tuinfluiter. Zie §4.1 voor een verklaring van de intervallen en §4.2 voor uitleg over de symbolen en referentielijnen.



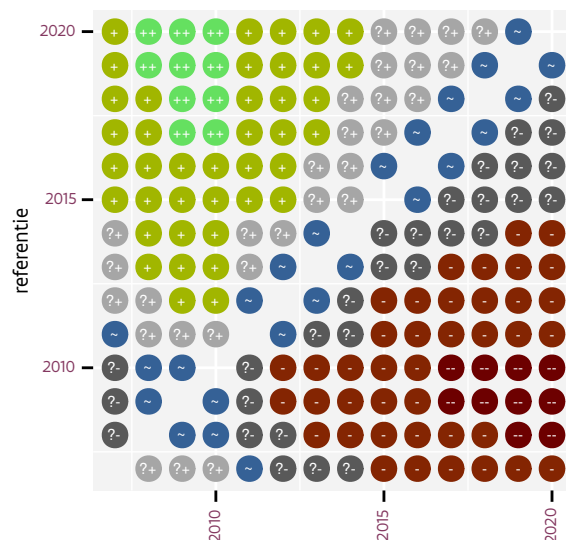
Figuur 91.4: Wijzigingen per driejarige cyclus voor Tuinfluiter. Zie §4.1 voor een verklaring van de intervallen en §4.2 voor uitleg over de symbolen en referentielijnen.

Tabel 91.1: Stratumgewicht, raming aan het aantal hokken waarin de soort aanwezig is, aantal relevant hokken voor de analyse, aantal onderzochte hokken in het stratum, totaal aantal hokken van het stratum in Vlaanderen en aantal bezoeken aan een meetpunt voor Tuinfluiter (zie §3.5).

stratum	gewicht	aanwezig	relevant	onderzocht	totaal	bezoeken
Landbouw	83.0%	1066.6	72	426	6311	3317
Heide en duin	5.6%	70.0	32	91	199	1377
Bos	5.2%	67.2	40	190	319	1770
Moeras en water	4.5%	56.5	33	80	137	1508
Suburbaan	1.8%	20.7	7	68	201	375



Figuur 91.5: Paarsgewijze vergelijking tussen driejarige cycli voor Tuinfluiter. Uitleg van de symbolen in tabel 4.1.



Figuur 91.6: Paarsgewijze vergelijking tussen jaren voor Tuinfluiter. Uitleg van de symbolen in tabel 4.1.

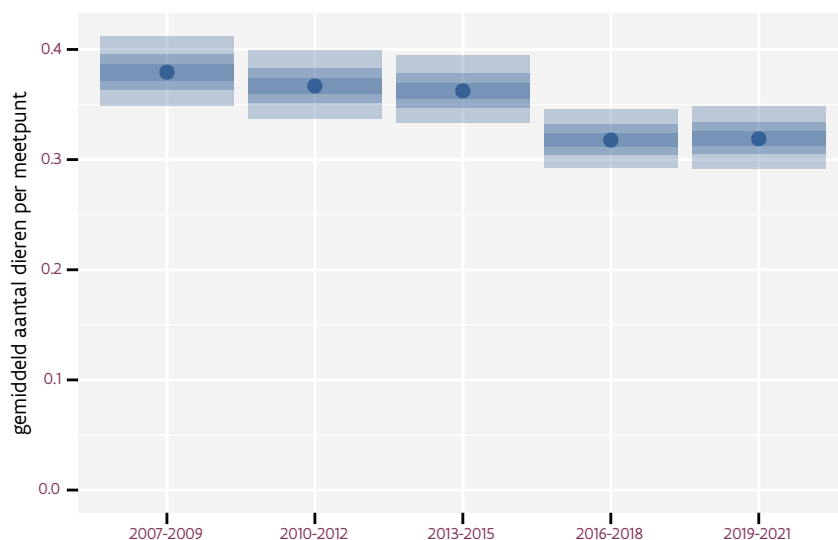
Tabel 91.2: Data-hashes van de analyses in het kader van traceerbaarheid (zie §5.3).

frequentie	model	analyse	status
jaarlijks	lineair	ed83cdc40f4e988c73fe 9a19bc5713a79ac4f110	0d7d05d645ed3e796c07 d9ffddf5b4afe49be7e7
jaarlijks	niet-lineair	f4bfbb738d0bf4bee5b8 f6f942c199cef628435d	fe28bc2e4afcb71e4023 1bf1c820f891014793e7
driejaarlijks	lineair	2b031062fc4dc715ca06 d22d081aaafc7cd4efb9	348a4a602bf107f721ab 5b1a4c349be47a427895
driejaarlijks	niet-lineair	6d710dc8625fe597aa87 d06dce94b77dbffdc302	907653f7dff88cfeae1d fbfc07f41b24c474a8c5

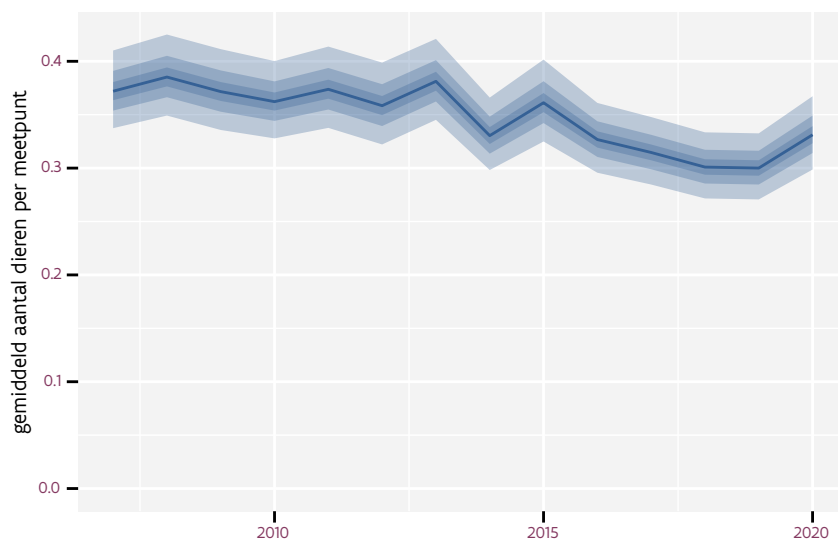
## 92 TURKSE TORTEL

Op basis van driejaarlijkse gegevens zien we gemiddeld een matige afname met -1.71% (-2.09%; -1.34%) per jaar of -20.1% (-24.0%; -16.1%) over de volledige looptijd van het meetnet. Deze trend is lineair.

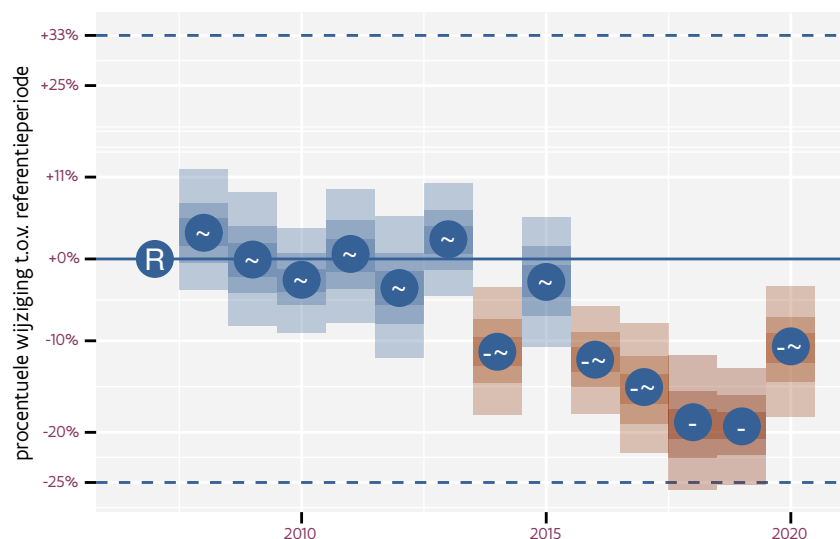
Op basis van jaarlijkse gegevens zien we gemiddeld een matige afname met -1.71% (-2.08%; -1.33%) per jaar of -20.1% (-23.9%; -16.0%) over de volledige looptijd van het meetnet. Deze trend is niet-lineair.



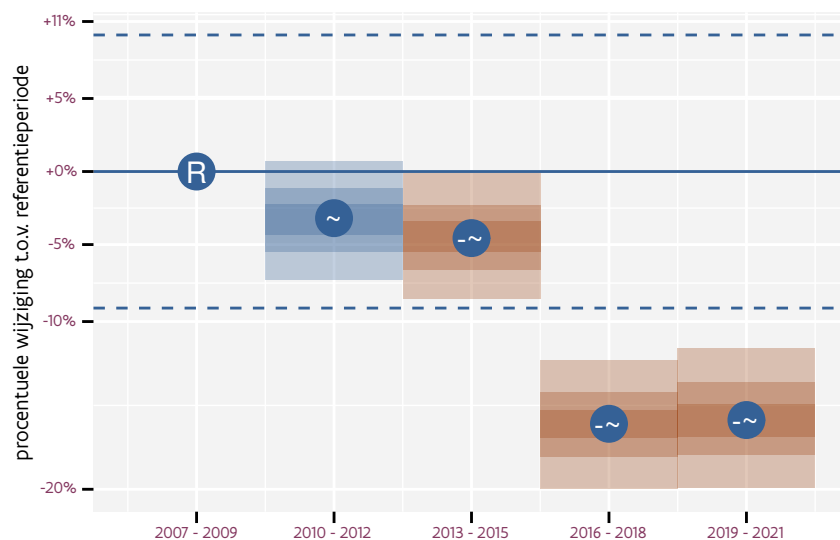
Figuur 92.1: Evolutie van het gemodeleerde gemiddeld aantal waargenomen dieren op een meetpunt voor Turkse tortel tijdens de referentieperiode. Zie §4.1 voor een verklaring van de intervallen.



Figuur 92.2: Evolutie van het gemodeleerde gemiddeld aantal waargenomen dieren op een meetpunt voor Turkse tortel tijdens de referentieperiode. Zie §4.1 voor een verklaring van de intervallen.



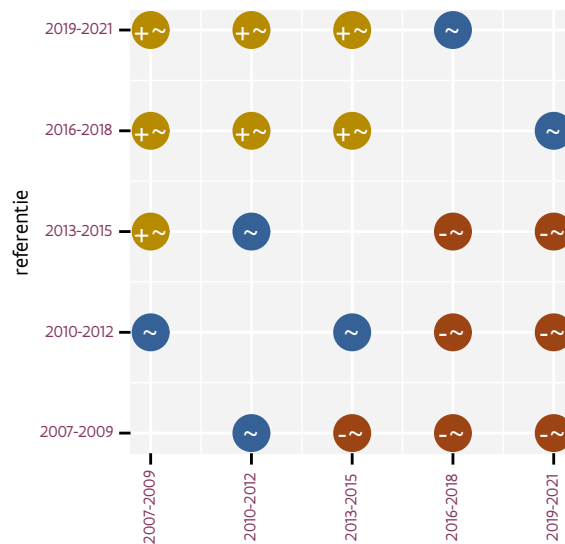
Figuur 92.3: Wijzigingen tussen jaren voor Turkse tortel. Zie §4.1 voor een verklaring van de intervallen en §4.2 voor uitleg over de symbolen en referentielijnen.



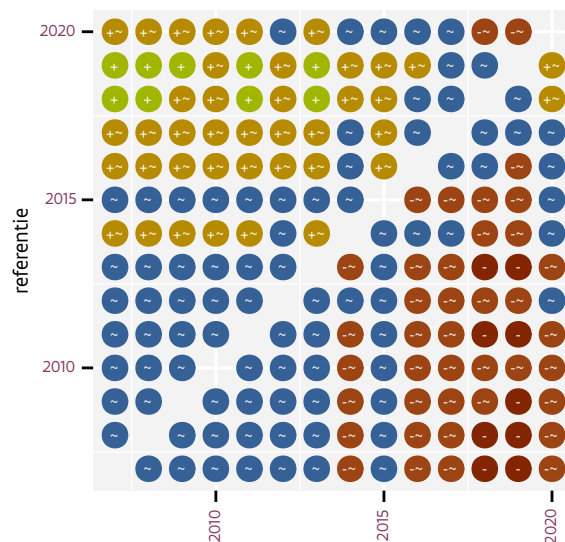
Figuur 92.4: Wijzigingen per driejarige cyclus voor Turkse tortel. Zie §4.1 voor een verklaring van de intervallen en §4.2 voor uitleg over de symbolen en referentielijnen.

Tabel 92.1: Stratumgewicht, raming aan het aantal hokken waarin de soort aanwezig is, aantal relevant hokken voor de analyse, aantal onderzochte hokken in het stratum, totaal aantal hokken van het stratum in Vlaanderen en aantal bezoeken aan een meetpunt voor Turkse tortel (zie §3.5).

stratum	gewicht	aanwezig	relevant	onderzocht	totaal	bezoeken
Landbouw	86.6%	4340.7	293	426	6311	18341
Urbaan	7.1%	349.1	73	87	416	4370
Suburbaan	2.8%	136.0	46	68	201	2897
Heide en duin	1.4%	67.8	31	91	199	1793
Moeras en water	1.2%	56.5	33	80	137	2106
Bos	0.9%	43.7	26	190	319	1790



Figuur 92.5: Paarsgewijze vergelijking tussen driejarige cycli voor Turkse tortel. Uitleg van de symbolen in tabel 4.1.



Figuur 92.6: Paarsgewijze vergelijking tussen jaren voor Turkse tortel. Uitleg van de symbolen in tabel 4.1.

Tabel 92.2: Data-hashes van de analyses in het kader van traceerbaarheid (zie §5.3).

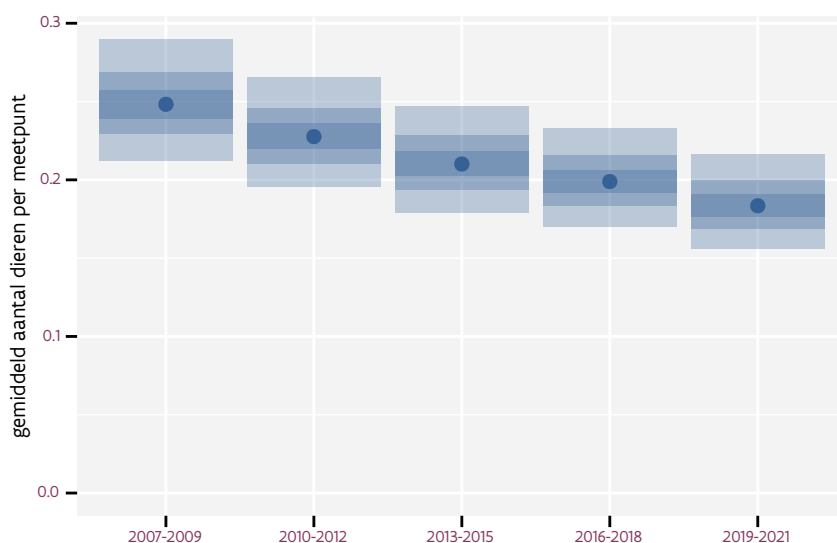
frequentie	model	analyse	status
jaarlijks	lineair	3bd4ae68d966958eaa3c 876461bf4def922e51ca	15c7820181002fd9f9b5 686050da6794051d300f
jaarlijks	niet-lineair	caff95177be5bf245b24 a764513f2d3e885d31c3	eb23c93eeb2ad8e5d760 2060f6cc71f302a50b86
driejaarlijks	lineair	91630c83cbc2009b95df 20b53a25c772e3de126d	e03d569c86be0fb0be17 e2fa46b56995bc6611d0
driejaarlijks	niet-lineair	e9b228d9aa1e4d99a163 8b813ce8a2f260008fa8	dc8d06e057858f1d6665 dda54c842d2719e98a8c



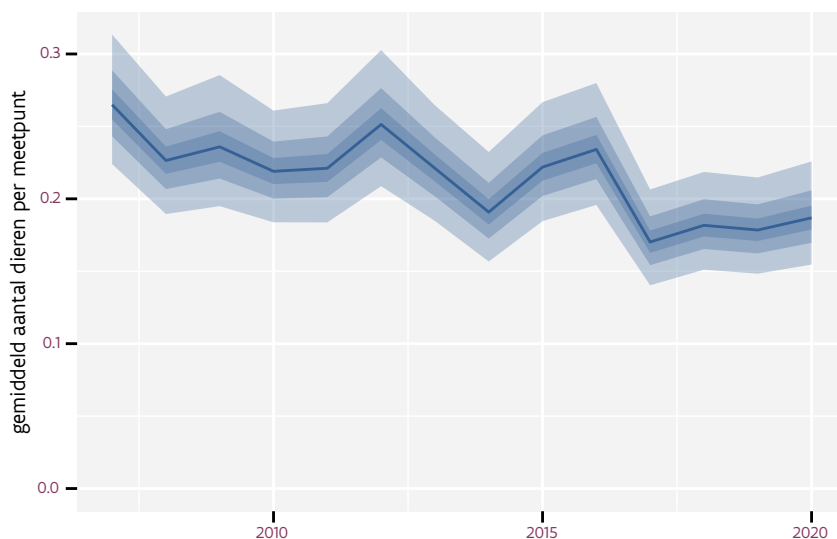
## 93 VELDLEEUWERIK

Op basis van driejaarlijkse gegevens zien we gemiddeld een afname met -2.7% (-3.3%; -2.1%) per jaar of -30% (-35%; -24%) over de volledige looptijd van het meetnet. Deze trend is lineair.

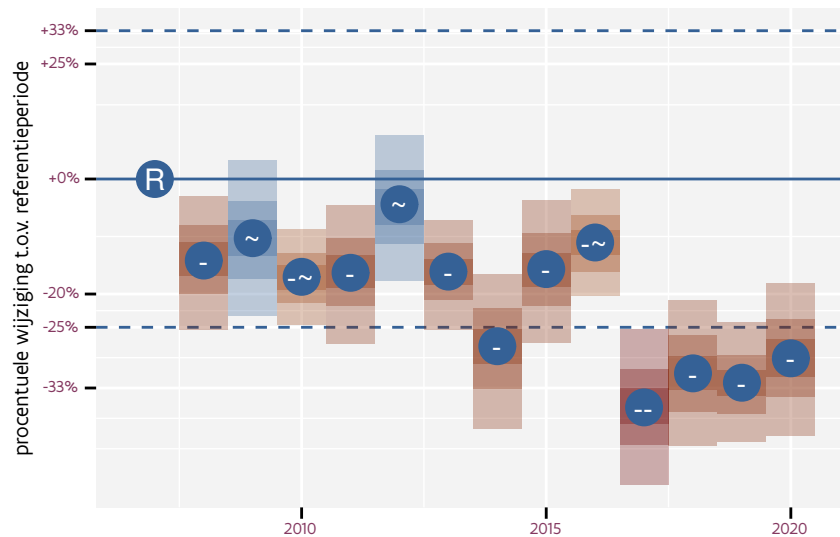
Op basis van jaarlijkse gegevens zien we gemiddeld een afname met -2.7% (-3.3%; -2.0%) per jaar of -30% (-35%; -24%) over de volledige looptijd van het meetnet. Deze trend is niet-lineair.



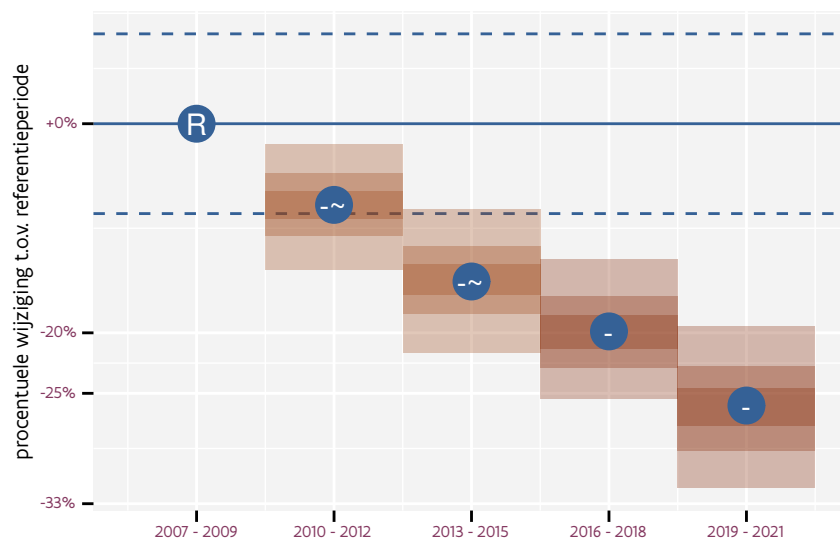
Figuur 93.1: Evolutie van het gemodeleerde gemiddeld aantal waargenomen dieren op een meetpunt voor Veldleeuwerik tijdens de referentieperiode. Zie §4.1 voor een verklaring van de intervallen.



Figuur 93.2: Evolutie van het gemodeleerde gemiddeld aantal waargenomen dieren op een meetpunt voor Veldleeuwerik tijdens de referentieperiode. Zie §4.1 voor een verklaring van de intervallen.



Figuur 93.3: Wijzigingen tussen jaren voor Veldleeuwerik. Zie §4.1 voor een verklaring van de intervallen en §4.2 voor uitleg over de symbolen en referentielijnen.



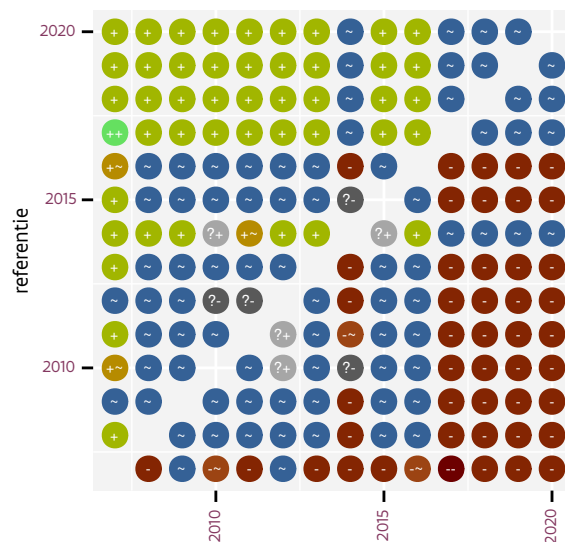
Figuur 93.4: Wijzigingen per driejarige cyclus voor Veldleeuwerik. Zie §4.1 voor een verklaring van de intervallen en §4.2 voor uitleg over de symbolen en referentielijnen.

Tabel 93.1: Stratumgewicht, raming aan het aantal hokken waarin de soort aanwezig is, aantal relevant hokken voor de analyse, aantal onderzochte hokken in het stratum, totaal aantal hokken van het stratum in Vlaanderen en aantal bezoeken aan een meetpunt voor Veldleeuwerik (zie §3.5).

stratum	gewicht	aanwezig	relevant	onderzocht	totaal	bezoeken
Landbouw	95.6%	2296.3	155	426	6311	9914
Heide en duin	2.6%	59.0	27	91	199	1760
Moeras en water	0.7%	15.4	9	80	137	553
Suburbaan	0.6%	11.8	4	68	201	112
Bos	0.5%	10.1	6	190	319	408



Figuur 93.5: Paarsgewijze vergelijking tussen driejarige cycli voor Veldleeuwerik. Uitleg van de symbolen in tabel 4.1.



Figuur 93.6: Paarsgewijze vergelijking tussen jaren voor Veldleeuwerik. Uitleg van de symbolen in tabel 4.1.

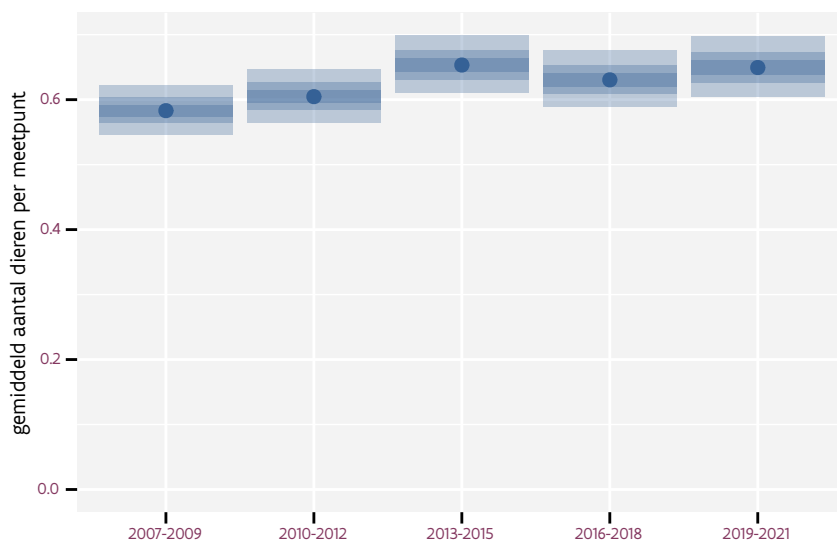
Tabel 93.2: Data-hashes van de analyses in het kader van traceerbaarheid (zie §5.3).

frequentie	model	analyse	status
jaarlijks	lineair	b4071a21a19450096e23 4612587669028ba74c51	c0cc080e5502e85e9103 03defcc9bd6a31189099
jaarlijks	niet-lineair	dad666a8fd28d9826c41 9ce5e4c83f88ca75e0c6	74ebb8e393d87643e802 34c0f1da25327b9ba5af
driejaarlijks	lineair	e9b4e01850cca1dc324f 5a922a02f79c1fe3adc6	1c44b213427acf7635b3 262c94d33c28a537054b
driejaarlijks	niet-lineair	9d0423303a1c4a5ee6d3 851bc16920bb6f7ddfc7	ab92911dc81d2db491e2 ef24f3b2effe9141d810

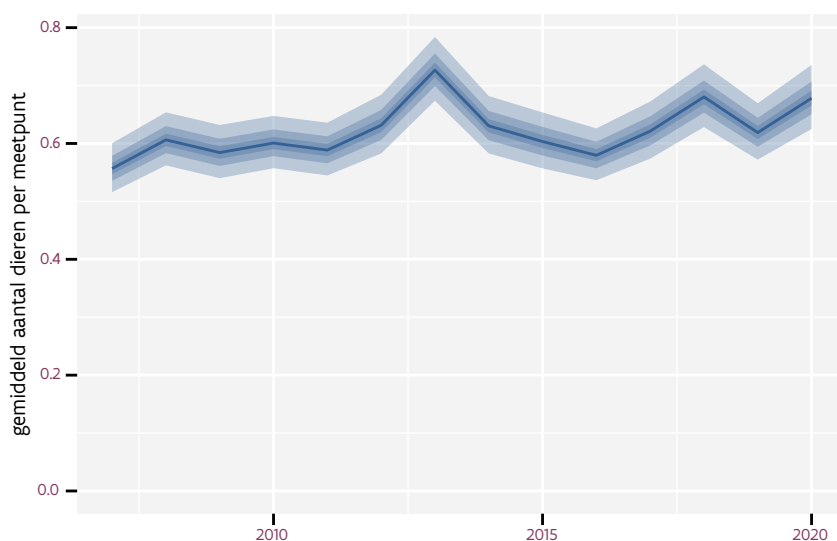
## 94 VINK

Op basis van driejaarlijkse gegevens zien we gemiddeld een matige toename met +0.943% (+0.628%; +1.259%) per jaar of +12.98% (+8.48%; +17.67%) over de volledige looptijd van het meetnet. Deze trend is niet-lineair.

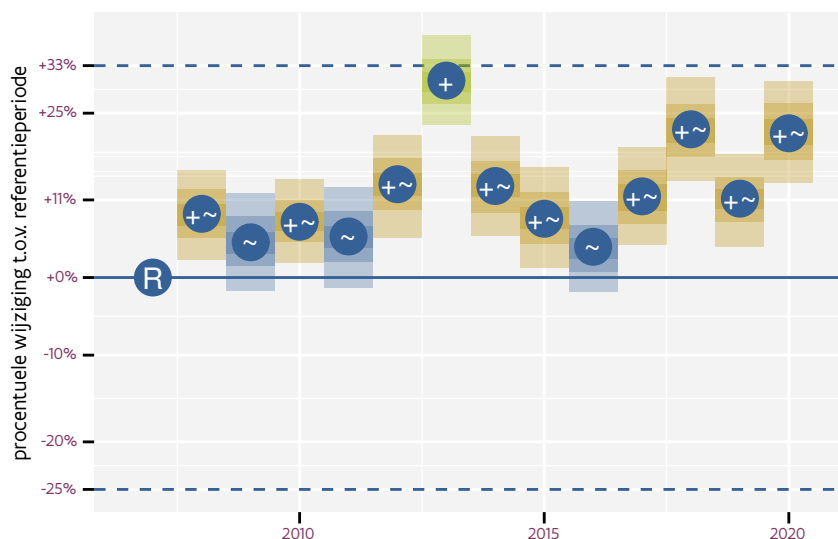
Op basis van jaarlijkse gegevens zien we gemiddeld een matige toename met +0.966% (+0.651%; +1.283%) per jaar of +13.31% (+8.80%; +18.02%) over de volledige looptijd van het meetnet. Deze trend is niet-lineair.



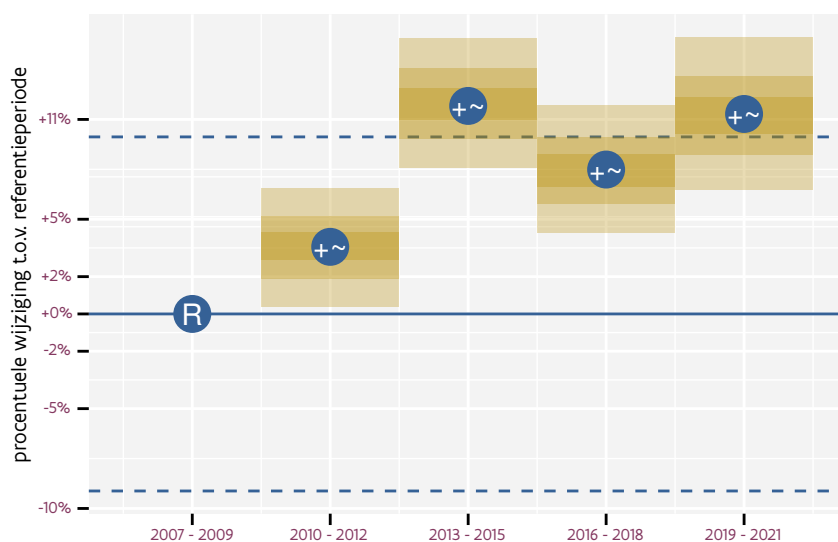
Figuur 94.1: Evolutie van het gemodeleerde gemiddeld aantal waargenomen dieren op een meetpunt voor Vink tijdens de referentieperiode. Zie §4.1 voor een verklaring van de intervallen.



Figuur 94.2: Evolutie van het gemodeleerde gemiddeld aantal waargenomen dieren op een meetpunt voor Vink tijdens de referentieperiode. Zie §4.1 voor een verklaring van de intervallen.



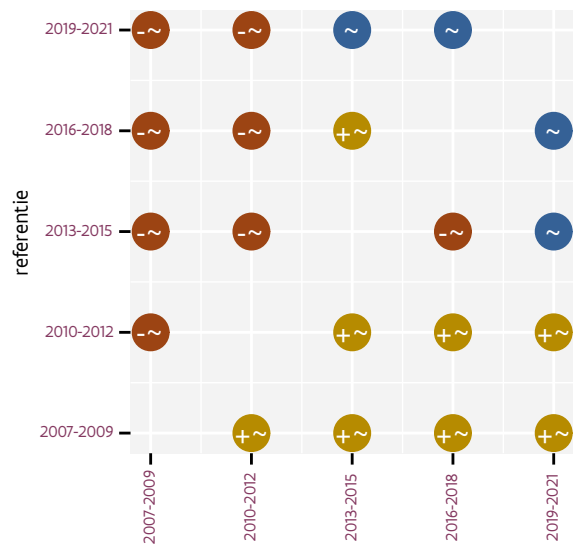
Figuur 94.3: Wijzigingen tussen jaren voor Vink. Zie §4.1 voor een verklaring van de intervallen en §4.2 voor uitleg over de symbolen en referentielijnen.



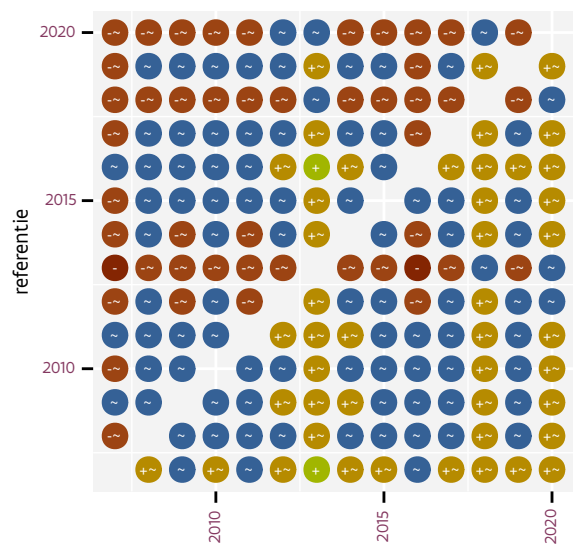
Figuur 94.4: Wijzigingen per driejarige cyclus voor Vink. Zie §4.1 voor een verklaring van de intervallen en §4.2 voor uitleg over de symbolen en referentielijnen.

Tabel 94.1: Stratumgewicht, raming aan het aantal hokken waarin de soort aanwezig is, aantal relevant hokken voor de analyse, aantal onderzochte hokken in het stratum, totaal aantal hokken van het stratum in Vlaanderen en aantal bezoeken aan een meetpunt voor Vink (zie §3.5).

stratum	gewicht	aanwezig	relevant	onderzocht	totaal	bezoeken
Landbouw	82.6%	4488.8	303	426	6311	18724
Urbaan	5.7%	306.0	64	87	416	3928
Bos	4.4%	235.1	140	190	319	8737
Heide en duin	3.0%	157.5	72	91	199	4487
Suburbaan	2.5%	133.0	45	68	201	2595
Moeras en water	1.8%	94.2	55	80	137	3384



Figuur 94.5: Paarsgewijze vergelijking tussen driejarige cycli voor Vink. Uitleg van de symbolen in tabel 4.1.



Figuur 94.6: Paarsgewijze vergelijking tussen jaren voor Vink. Uitleg van de symbolen in tabel 4.1.

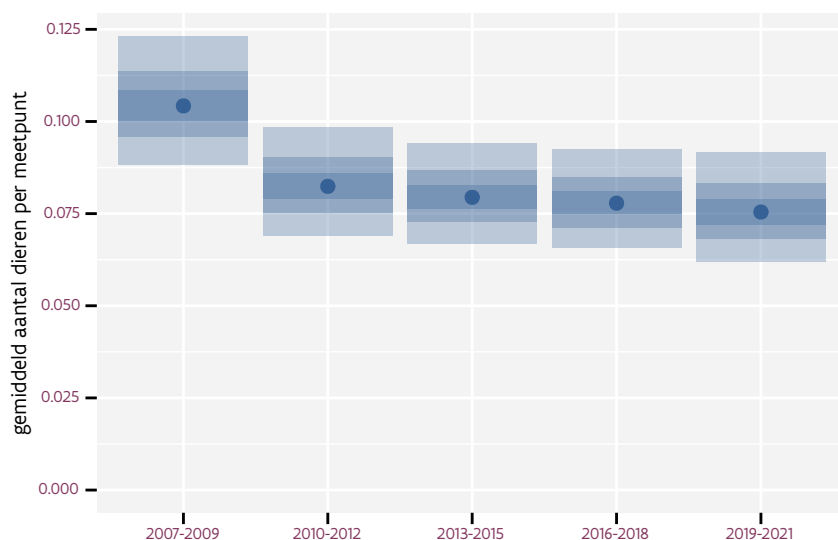
Tabel 94.2: Data-hashes van de analyses in het kader van traceerbaarheid (zie §5.3).

frequentie	model	analyse	status
jaarlijks	lineair	3dd8c5193659359d6860 309946ff891eced13a5b	38dabb09bbe5ec62a155 144b367c134b26b68c03
jaarlijks	niet-lineair	2ae4011a4328365831d6 3245518b12f2ce34c6db	84ea0c799a8b94774365 dbbd8ab9690cdc19257f
driejaarlijks	lineair	06b2cfb39501a9f79f54 500321f6d1429200b61a	9f210878dd764b2da36a 0933089845ff6ff4fa25
driejaarlijks	niet-lineair	f8aaeec4091fb59fd412 c538859f7002d842ce67	11690d9926e11d0a31f8 cc4fefa8083a0e9cc968

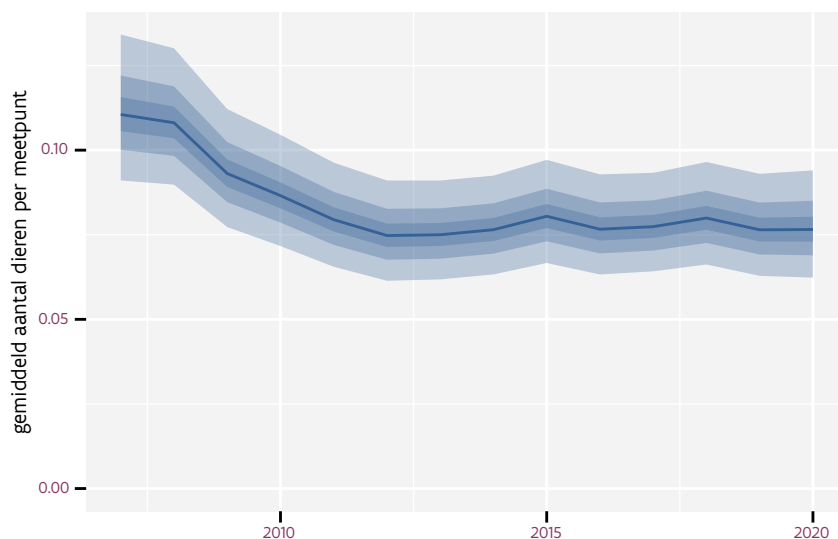
## 95 WATERHOEN

Op basis van driejaarlijkse gegevens zien we gemiddeld een afname met -3.0% (-4.1%; -2.0%) per jaar of -33% (-42%; -23%) over de volledige looptijd van het meetnet. Deze trend is niet-lineair.

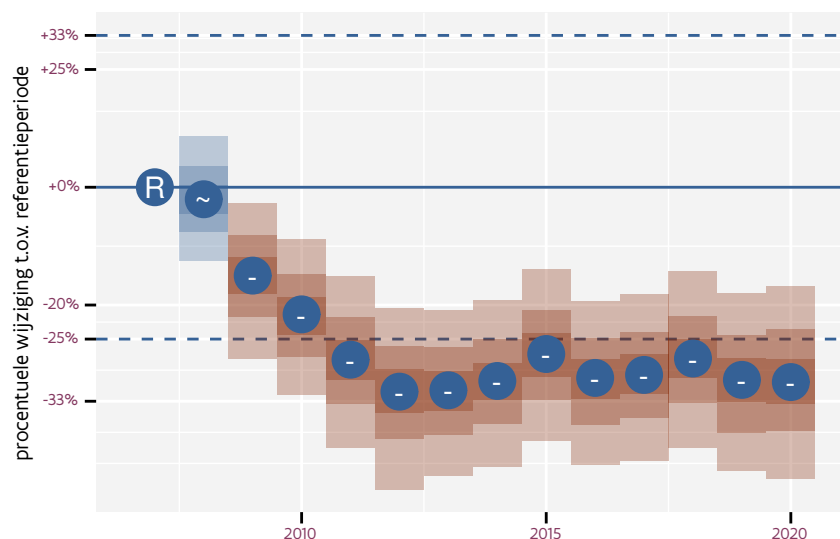
Op basis van jaarlijkse gegevens zien we gemiddeld een afname met -3.0% (-4.0%; -1.9%) per jaar of -33% (-41%; -23%) over de volledige looptijd van het meetnet. Deze trend is niet-lineair.



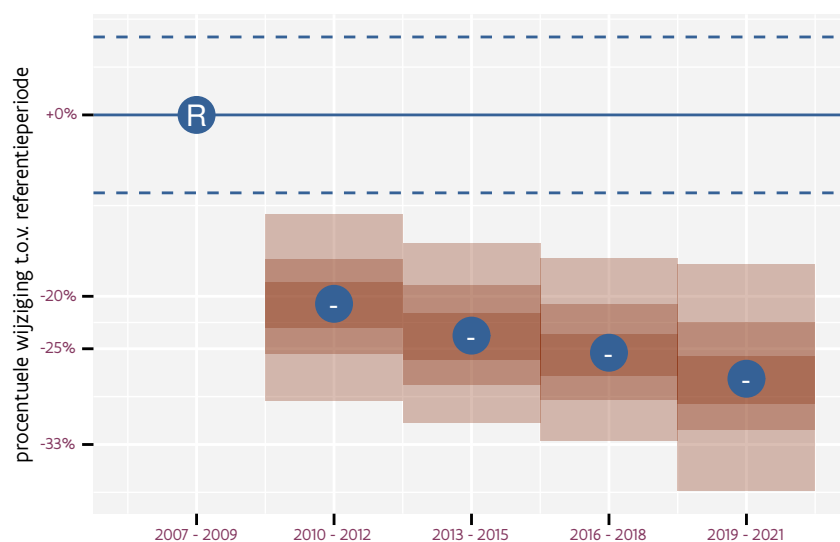
Figuur 95.1: Evolutie van het gemodeleerde gemiddeld aantal waargenomen dieren op een meetpunt voor Waterhoen tijdens de referentieperiode. Zie §4.1 voor een verklaring van de intervallen.



Figuur 95.2: Evolutie van het gemodeleerde gemiddeld aantal waargenomen dieren op een meetpunt voor Waterhoen tijdens de referentieperiode. Zie §4.1 voor een verklaring van de intervallen.



Figuur 95.3: Wijzigingen tussen jaren voor Waterhoen. Zie §4.1 voor een verklaring van de intervallen en §4.2 voor uitleg over de symbolen en referentielijnen.

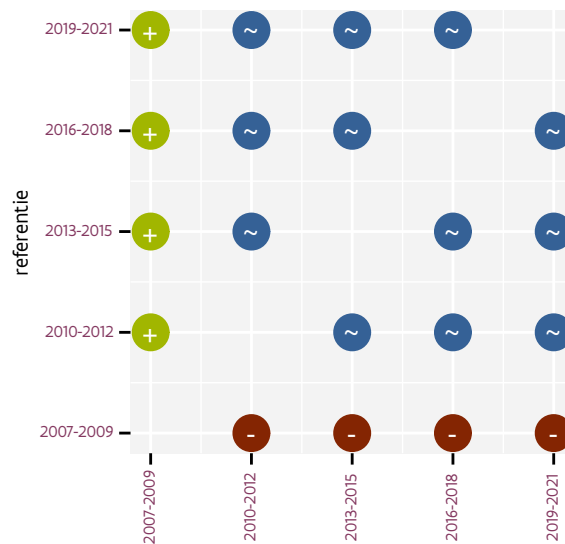


Figuur 95.4: Wijzigingen per driejarige cyclus voor Waterhoen. Zie §4.1 voor een verklaring van de intervallen en §4.2 voor uitleg over de symbolen en referentielijnen.

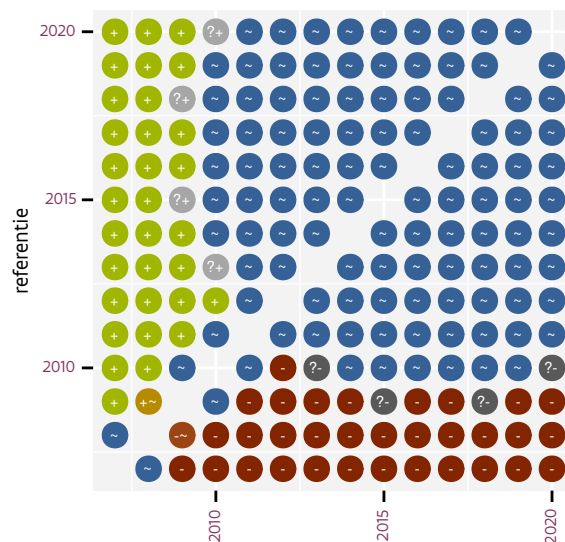
Tabel 95.1: Stratumgewicht, raming aan het aantal hokken waarin de soort aanwezig is, aantal relevant hokken voor de analyse, aantal onderzochte hokken in het stratum, totaal aantal hokken van het stratum in Vlaanderen en aantal bezoeken aan een meetpunt voor Waterhoen (zie §3.5).

stratum	gewicht	aanwezig	relevant	onderzocht	totaal	bezoeken
Landbouw	89.6%	1970.3	133	426	6311	8633
Urbaan	3.7%	76.5	16	87	416	1085
Moeras en water	2.4%	51.4	30	80	137	1991
Suburbaan	1.8%	35.5	12	68	201	823
Heide en duin	1.3%	26.2	12	91	199	762
Bos	1.2%	23.5	14	190	319	1167





Figuur 95.5: Paarsgewijze vergelijking tussen driejarige cycli voor Waterhoen. Uitleg van de symbolen in tabel 4.1.



Figuur 95.6: Paarsgewijze vergelijking tussen jaren voor Waterhoen. Uitleg van de symbolen in tabel 4.1.

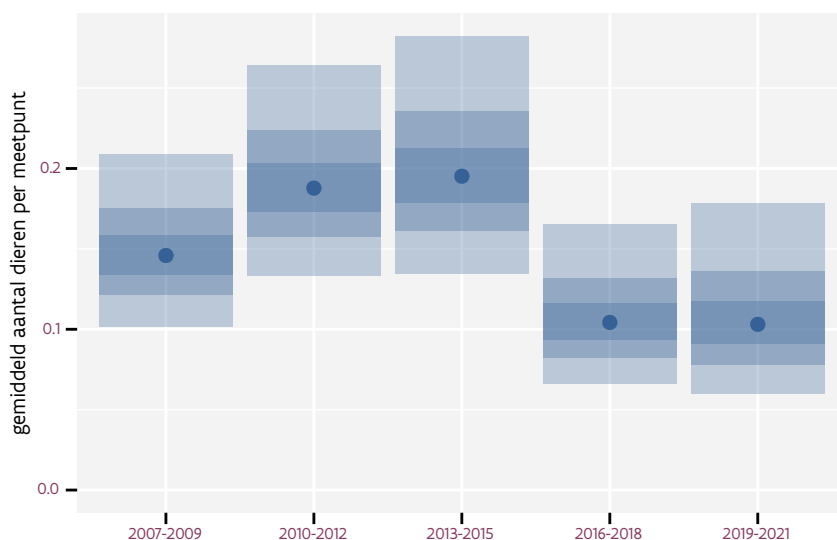
Tabel 95.2: Data-hashes van de analyses in het kader van traceerbaarheid (zie §5.3).

frequentie	model	analyse	status
jaarlijks	lineair	76343954430aa2e38313 476f93028d2a7935d79b	2e8d57b53b2a11e390b5 5f9c9cedf36f2680a78c
jaarlijks	niet-lineair	1fa865b72d64556d36be b87f1d2d69493d28429c	dbb605613d47d6b8e693 f6ae516fa8189d0da58e
driejaarlijks	lineair	a940c51016a1ae1c6ea2 9c75ef53d2b86c996da0	928c6253b429442b8f19 a79c6dffe4b5ae9ddaab
driejaarlijks	niet-lineair	8621ef39dc071795aa55 1feba996526acc54f7ab	2270dcb2f7af8147ae22 9be5cf6308ba8879c24a

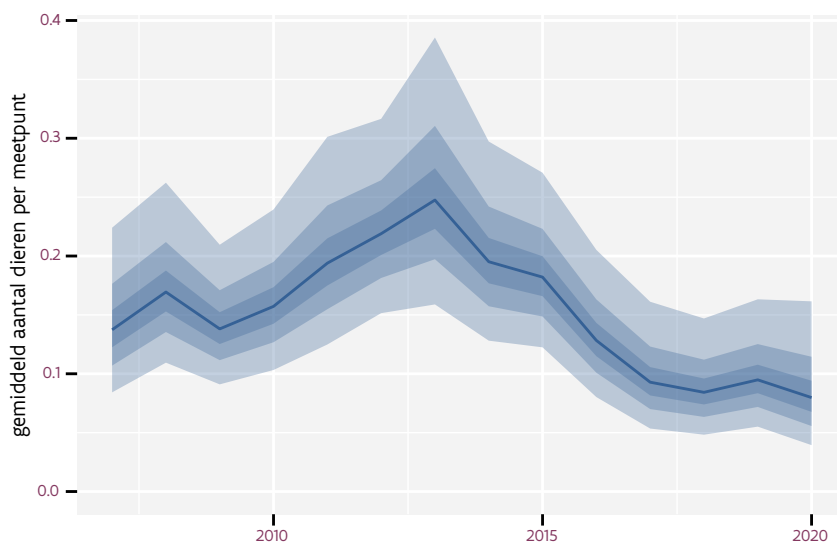
## 96 WIELEWAAL

Op basis van driejaarlijkse gegevens zien we gemiddeld een mogelijk afname met -3.2% (-7.0%; +0.8%) per jaar of -34% (-61%; +11%) over de volledige looptijd van het meetnet. Deze trend is niet-lineair.

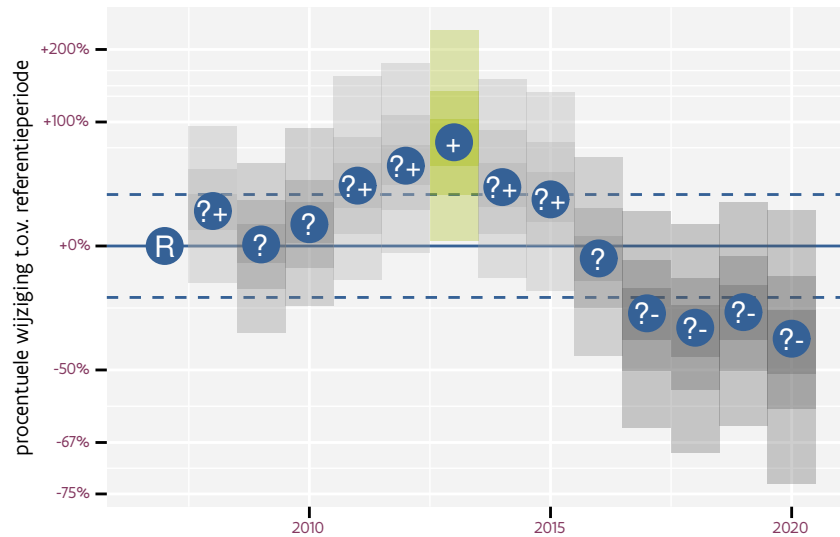
Op basis van jaarlijkse gegevens zien we gemiddeld een mogelijk afname met -3.4% (-7.2%; +0.6%) per jaar of -36% (-62%; +8%) over de volledige looptijd van het meetnet. Deze trend is niet-lineair.



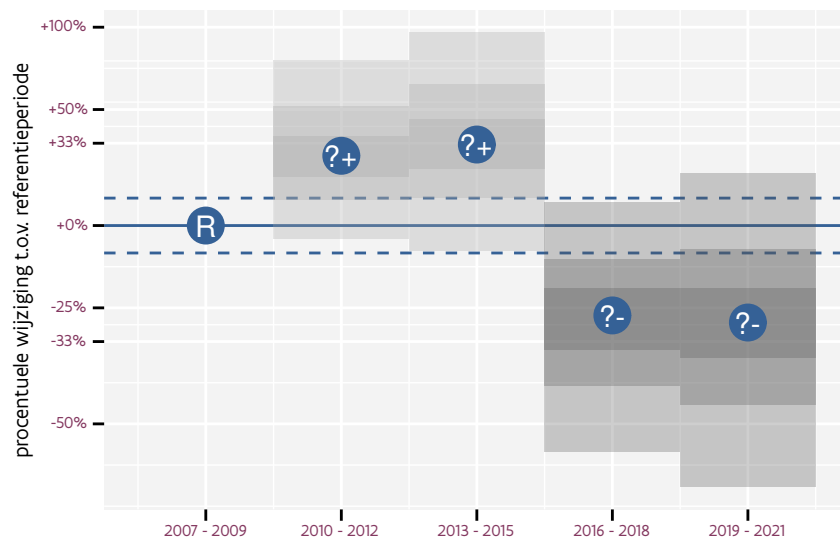
Figuur 96.1: Evolutie van het gemodeleerde gemiddeld aantal waargenomen dieren op een meetpunt voor Wielewaal tijdens de referentieperiode. Zie §4.1 voor een verklaring van de intervallen.



Figuur 96.2: Evolutie van het gemodeleerde gemiddeld aantal waargenomen dieren op een meetpunt voor Wielewaal tijdens de referentieperiode. Zie §4.1 voor een verklaring van de intervallen.



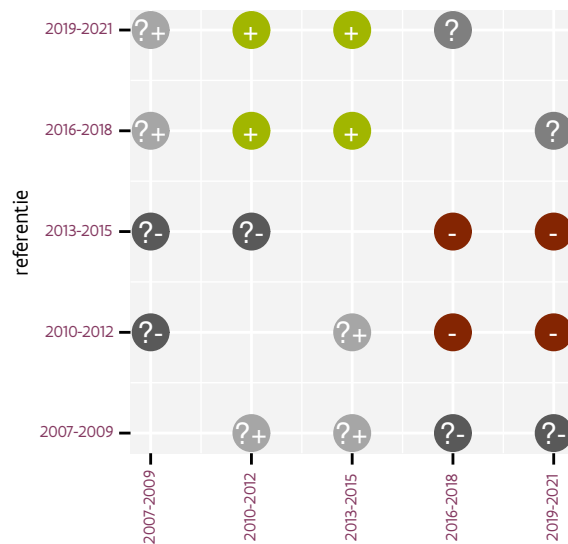
Figuur 96.3: Wijzigingen tussen jaren voor Wielewaal. Zie §4.1 voor een verklaring van de intervallen en §4.2 voor uitleg over de symbolen en referentielijnen.



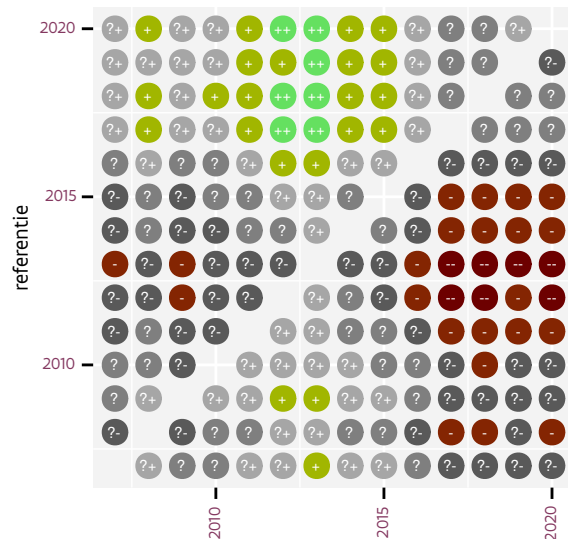
Figuur 96.4: Wijzigingen per driejarige cyclus voor Wielewaal. Zie §4.1 voor een verklaring van de intervallen en §4.2 voor uitleg over de symbolen en referentielijnen.

Tabel 96.1: Stratumgewicht, raming aan het aantal hokken waarin de soort aanwezig is, aantal relevant hokken voor de analyse, aantal onderzochte hokken in het stratum, totaal aantal hokken van het stratum in Vlaanderen en aantal bezoeken aan een meetpunt voor Wielewaal (zie §3.5).

stratum	gewicht	aanwezig	relevant	onderzocht	totaal	bezoeken
Landbouw	84.9%	192.6	13	426	6311	586
Moeras en water	6.1%	12.0	7	80	137	308
Bos	5.2%	10.1	6	190	319	292
Heide en duin	3.9%	6.6	3	91	199	138



Figuur 96.5: Paarsgewijze vergelijking tussen driejarige cycli voor Wielewaal. Uitleg van de symbolen in tabel 4.1.



Figuur 96.6: Paarsgewijze vergelijking tussen jaren voor Wielewaal. Uitleg van de symbolen in tabel 4.1.

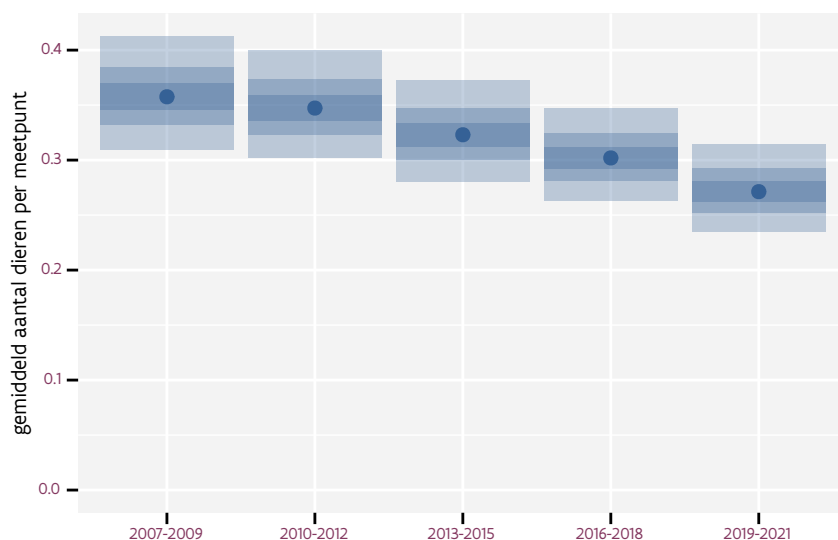
Tabel 96.2: Data-hashes van de analyses in het kader van traceerbaarheid (zie §5.3).

frequentie	model	analyse	status
jaarlijks	lineair	cc441596c9ebcb1f52e8 3eb697d4c42e892e8730	892af8da05dcdaa84e60 e0b6539e79f9a5f8759a
jaarlijks	niet-lineair	f59f3fa9b2b8eff7bc8 6af9fa591ecb1a41ee7e	da1c58ab7c76a6ad5e32 9a862e08328454b65d18
driejaarlijks	lineair	12b36f26994e73953ba2 91fb5c0e6df4a9907c7c	c07934602a84ce3a4d28 b151d05cbc2ae480a563
driejaarlijks	niet-lineair	c8567576f76fc430eaf1 aff231de480b8deb1e8e	8e4ab6b518e672a3ced8 9217394a9f1f53bdf8d7

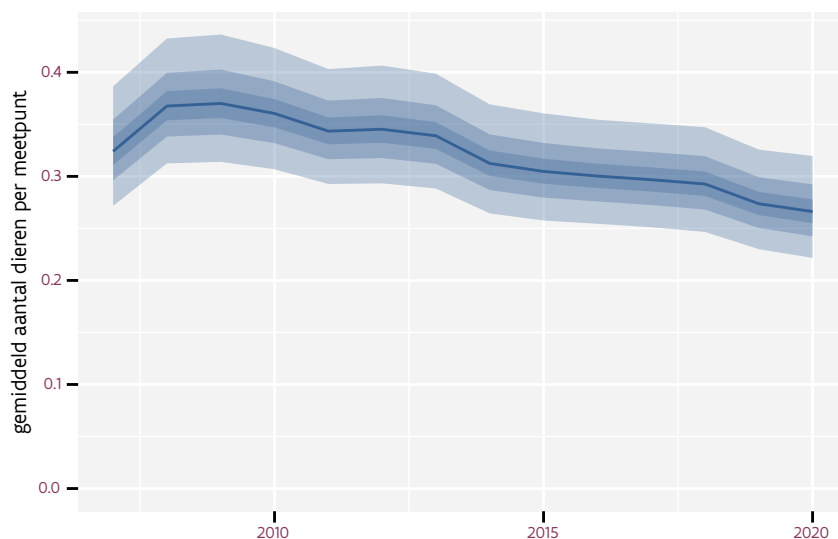
## 97 WILDE EEND

Op basis van driejaarlijkse gegevens zien we gemiddeld een afname met -2.6% (-3.4%; -1.8%) per jaar of -29% (-36%; -21%) over de volledige looptijd van het meetnet. Deze trend is lineair.

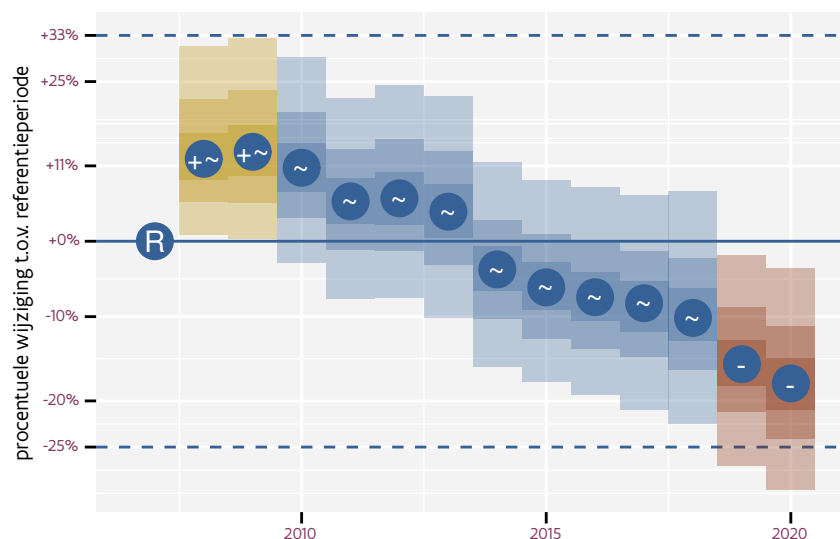
Op basis van jaarlijkse gegevens zien we gemiddeld een afname met -2.5% (-3.3%; -1.7%) per jaar of -28% (-35%; -20%) over de volledige looptijd van het meetnet. Deze trend is niet-lineair.



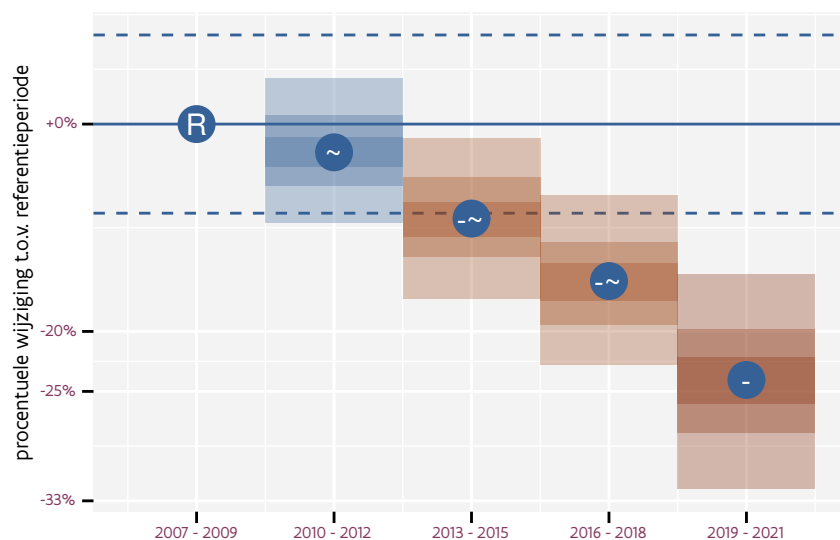
Figuur 97.1: Evolutie van het gemodeleerde gemiddeld aantal waargenomen dieren op een meetpunt voor Wilde eend tijdens de referentieperiode. Zie §4.1 voor een verklaring van de intervallen.



Figuur 97.2: Evolutie van het gemodeleerde gemiddeld aantal waargenomen dieren op een meetpunt voor Wilde eend tijdens de referentieperiode. Zie §4.1 voor een verklaring van de intervallen.



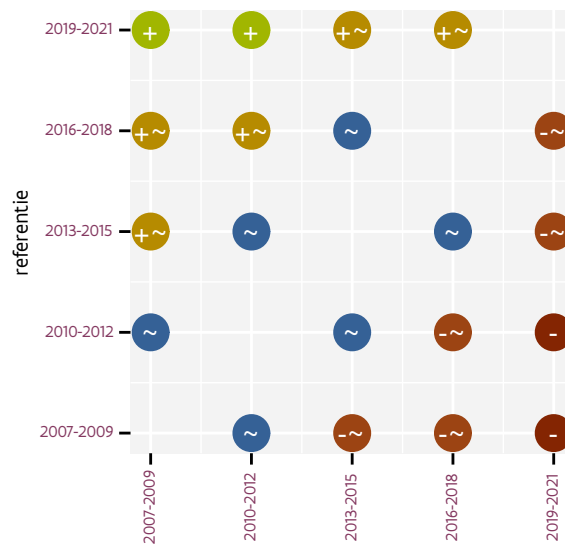
Figuur 97.3: Wijzigingen tussen jaren voor Wilde eend. Zie §4.1 voor een verklaring van de intervallen en §4.2 voor uitleg over de symbolen en referentielijnen.



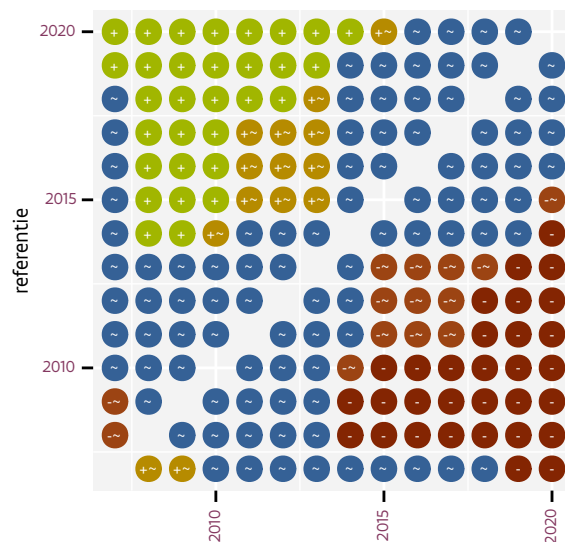
Figuur 97.4: Wijzigingen per driejarige cyclus voor Wilde eend. Zie §4.1 voor een verklaring van de intervallen en §4.2 voor uitleg over de symbolen en referentielijnen.

Tabel 97.1: Stratumgewicht, raming aan het aantal hokken waarin de soort aanwezig is, aantal relevant hokken voor de analyse, aantal onderzochte hokken in het stratum, totaal aantal hokken van het stratum in Vlaanderen en aantal bezoeken aan een meetpunt voor Wilde eend (zie §3.5).

stratum	gewicht	aanwezig	relevant	onderzocht	totaal	bezoeken
Landbouw	89.2%	3866.6	261	426	6311	16675
Urbaan	2.8%	114.8	24	87	416	1612
Heide en duin	2.4%	100.6	46	91	199	3101
Moeras en water	2.3%	95.9	56	80	137	3411
Suburbaan	1.9%	79.8	27	68	201	1664
Bos	1.5%	62.1	37	190	319	2919



Figuur 97.5: Paarsgewijze vergelijking tussen driejarige cycli voor Wilde eend. Uitleg van de symbolen in tabel 4.1.



Figuur 97.6: Paarsgewijze vergelijking tussen jaren voor Wilde eend. Uitleg van de symbolen in tabel 4.1.

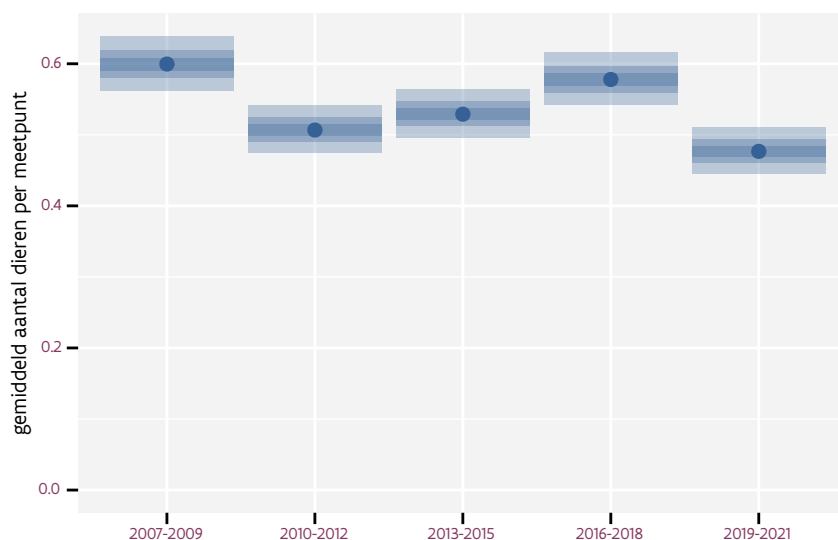
Tabel 97.2: Data-hashes van de analyses in het kader van traceerbaarheid (zie §5.3).

frequentie	model	analyse	status
jaarlijks	lineair	ac300d06bc223ed6c730 e4698a64011b72effd1d	79aa22e23fea4f4829fd d7e80dca24b64a3baf0c
jaarlijks	niet-lineair	9a053cbb128102d5eb88 05e8862145112fee74ad	ad68ed0534ce78c41bb5 8d6eb2b1779047700295
driejaarlijks	lineair	063eae786813d638a527 e8150ac9054945010e30	84e0f299bd04981aafbd fb8b1516a3d026292f7f
driejaarlijks	niet-lineair	d4950854da4fe9c34af1 4f49c51b70748fc07d1f	3364afc39dc2245e7656 3d0de1e5a04fd581f4fd

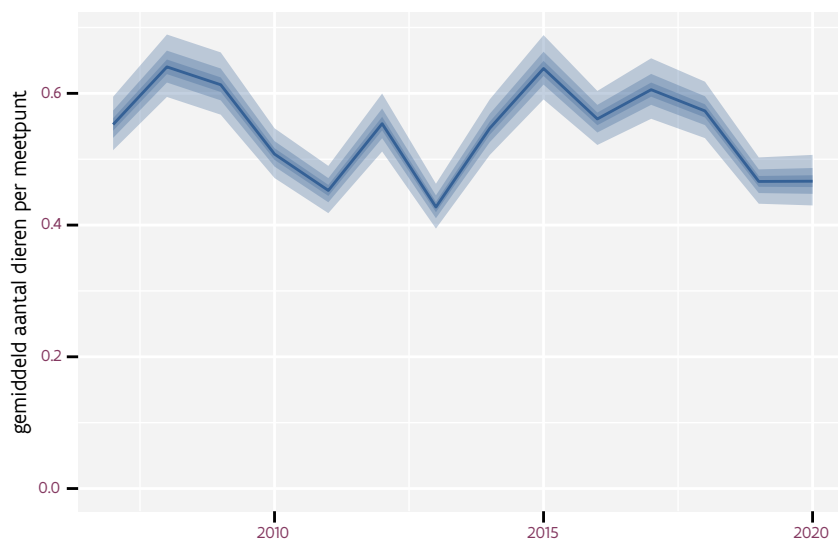
## 98 WINTERKONING

Op basis van driejaarlijkse gegevens zien we gemiddeld een matige afname met  $-0.971\%$  ( $-1.277\%$ ;  $-0.665\%$ ) per jaar of  $-11.92\%$  ( $-15.38\%$ ;  $-8.31\%$ ) over de volledige looptijd van het meetnet. Deze trend is niet-lineair.

Op basis van jaarlijkse gegevens zien we gemiddeld een matige afname met  $-0.858\%$  ( $-1.164\%$ ;  $-0.551\%$ ) per jaar of  $-10.60\%$  ( $-14.12\%$ ;  $-6.93\%$ ) over de volledige looptijd van het meetnet. Deze trend is niet-lineair.

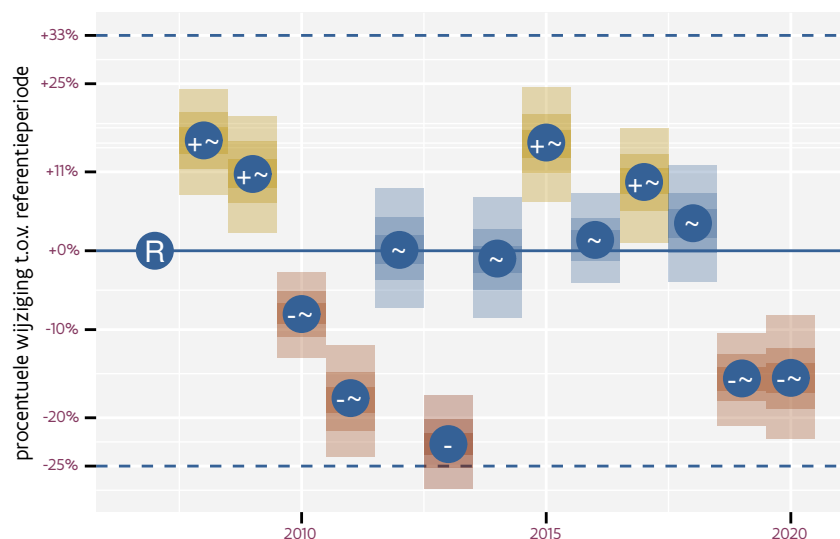


Figuur 98.1: Evolutie van het gemodeleerde gemiddeld aantal waargenomen dieren op een meetpunt voor Winterkoning tijdens de referentieperiode. Zie §4.1 voor een verklaring van de intervallen.

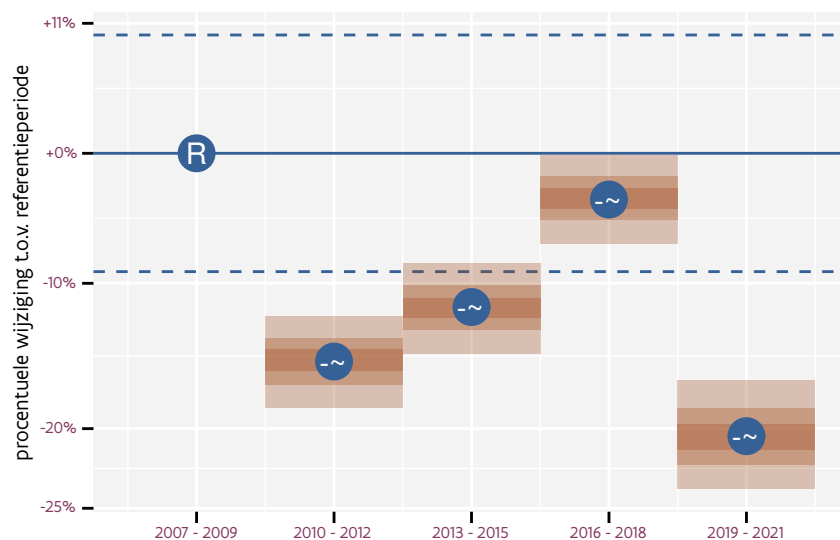


Figuur 98.2: Evolutie van het gemodeleerde gemiddeld aantal waargenomen dieren op een meetpunt voor Winterkoning tijdens de referentieperiode. Zie §4.1 voor een verklaring van de intervallen.





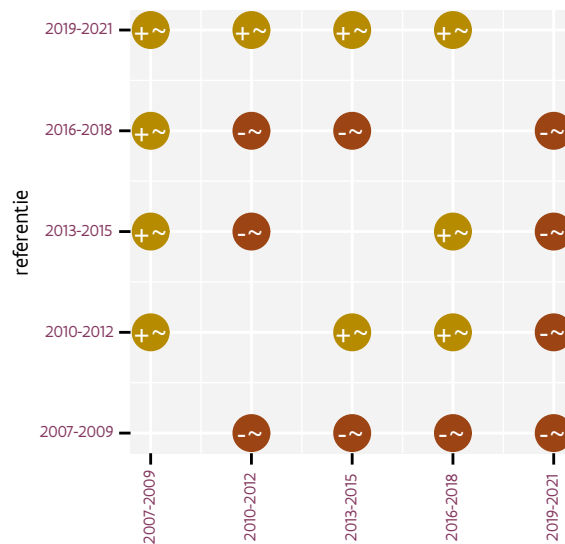
Figuur 98.3: Wijzigingen tussen jaren voor Winterkoning. Zie §4.1 voor een verklaring van de intervallen en §4.2 voor uitleg over de symbolen en referentielijnen.



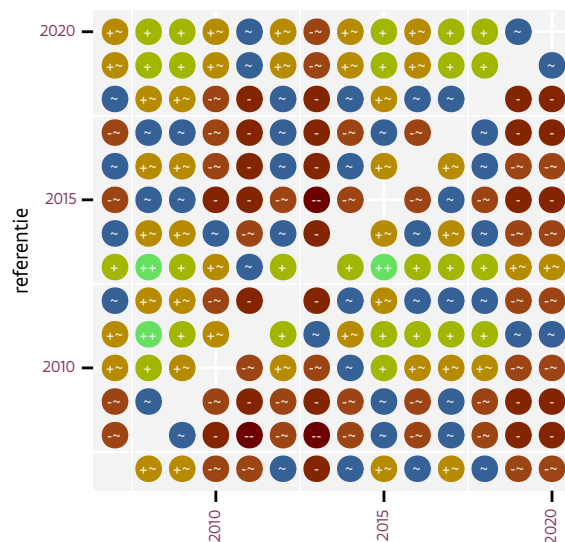
Figuur 98.4: Wijzigingen per driejarige cyclus voor Winterkoning. Zie §4.1 voor een verklaring van de intervallen en §4.2 voor uitleg over de symbolen en referentielijnen.

Tabel 98.1: Stratumgewicht, raming aan het aantal hokken waarin de soort aanwezig is, aantal relevant hokken voor de analyse, aantal onderzochte hokken in het stratum, totaal aantal hokken van het stratum in Vlaanderen en aantal bezoeken aan een meetpunt voor Winterkoning (zie §3.5).

stratum	gewicht	aanwezig	relevant	onderzocht	totaal	bezoeken
Landbouw	82.7%	4622.1	312	426	6311	19460
Urbaan	5.8%	320.4	67	87	416	4017
Bos	4.2%	231.7	138	190	319	8702
Suburbaan	2.8%	153.7	52	68	201	3083
Heide en duin	2.7%	148.7	68	91	199	4276
Moeras en water	1.8%	101.0	59	80	137	3605



Figuur 98.5: Paarsgewijze vergelijking tussen driejarige cycli voor Winterkoning. Uitleg van de symbolen in tabel 4.1.



Figuur 98.6: Paarsgewijze vergelijking tussen jaren voor Winterkoning. Uitleg van de symbolen in tabel 4.1.

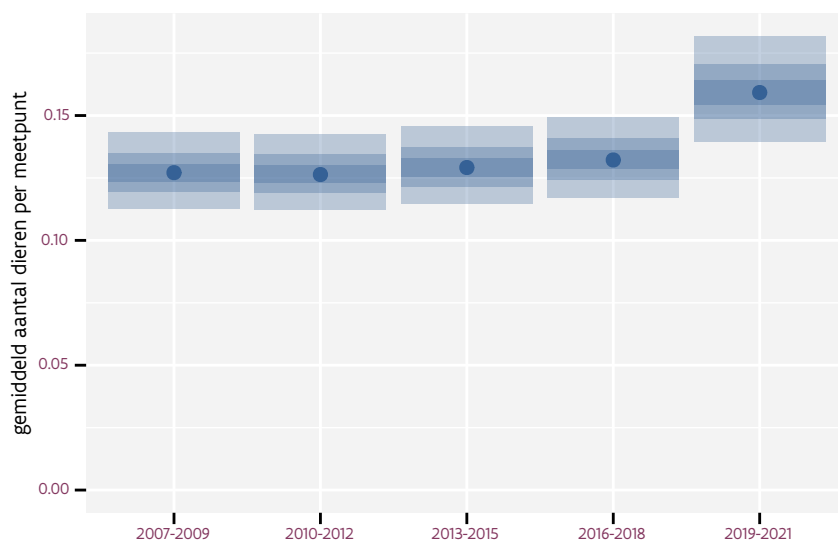
Tabel 98.2: Data-hashes van de analyses in het kader van traceerbaarheid (zie §5.3).

frequentie	model	analyse	status
jaarlijks	lineair	b591b6c4495d54ac657f dd972d40311f18f11f63	22ddd93be859ea79324a 7d6e7239bca396415893
jaarlijks	niet-lineair	b3a0b438b9580a65909e 315881ebe0138391cefd	7a0d05f749da61b8776a e881152e12673c34d525
driejaarlijks	lineair	078d7de8cc7926f305fd 311ab08397492b9b954e	fe9e5aaf99277cb2eb90 b2b155848438df29d629
driejaarlijks	niet-lineair	64bb894983cbd9e89042 7589883e7af86e151547	94db4877fdc596d0c69d f053f357a89b12eec1d6

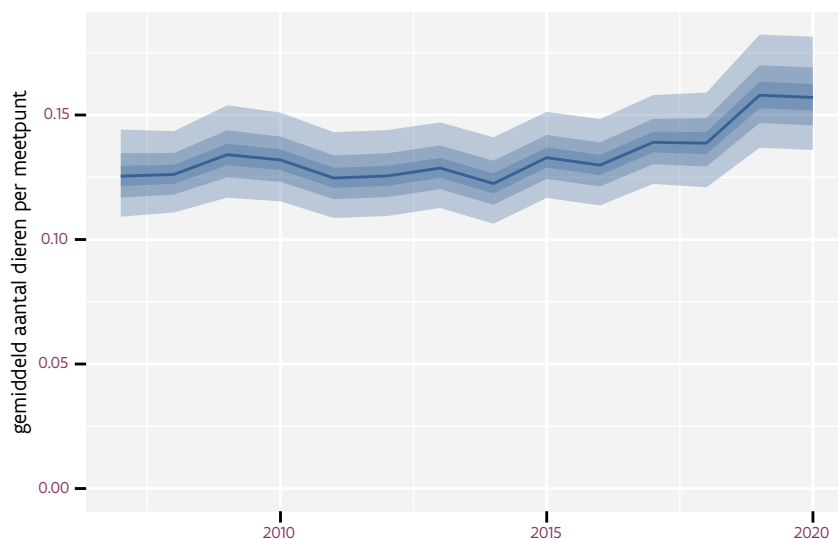
## 99 WITTE KWIKSTAART

Op basis van driejaarlijkse gegevens zien we gemiddeld een toename met +1.6% (+0.8%; +2.4%) per jaar of +23% (+11%; +36%) over de volledige looptijd van het meetnet. Deze trend is niet-lineair.

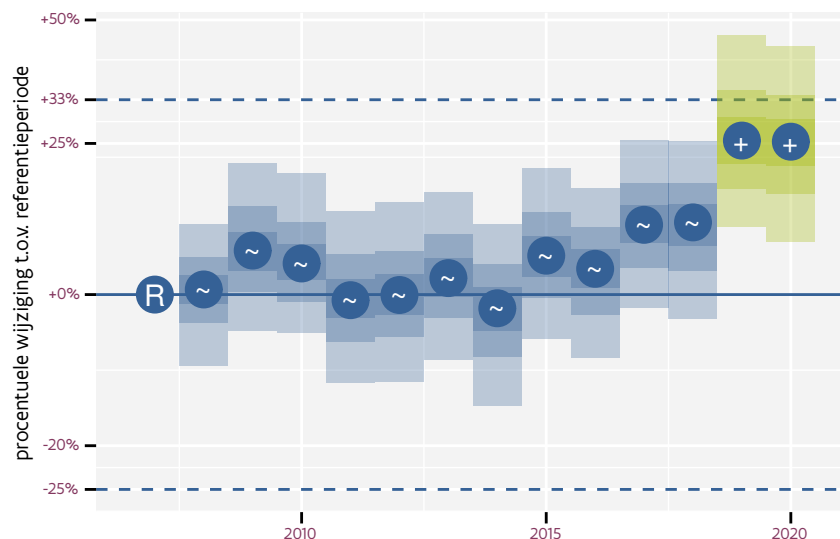
Op basis van jaarlijkse gegevens zien we gemiddeld een toename met +1.6% (+0.8%; +2.4%) per jaar of +22% (+10%; +36%) over de volledige looptijd van het meetnet. Deze trend is niet-lineair.



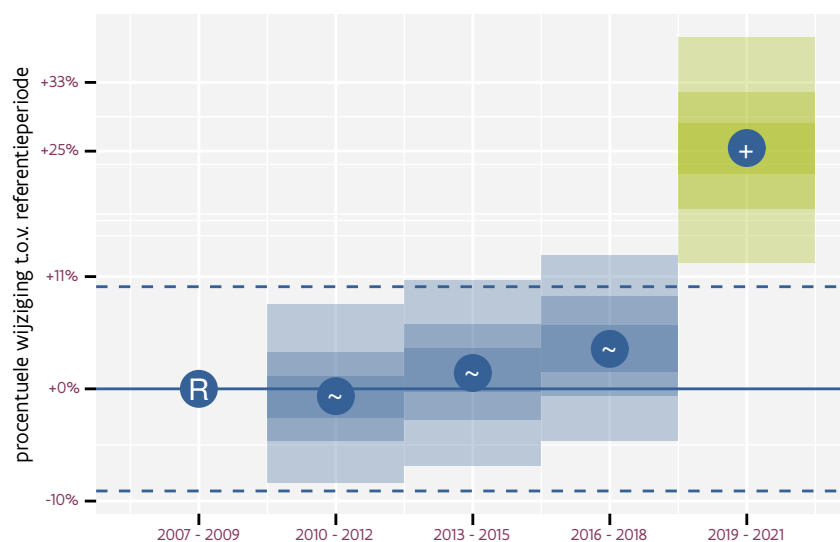
Figuur 99.1: Evolutie van het gemodeleerde gemiddeld aantal waargenomen dieren op een meetpunt voor Witte kwikstaart tijdens de referentieperiode. Zie §4.1 voor een verklaring van de intervallen.



Figuur 99.2: Evolutie van het gemodeleerde gemiddeld aantal waargenomen dieren op een meetpunt voor Witte kwikstaart tijdens de referentieperiode. Zie §4.1 voor een verklaring van de intervallen.



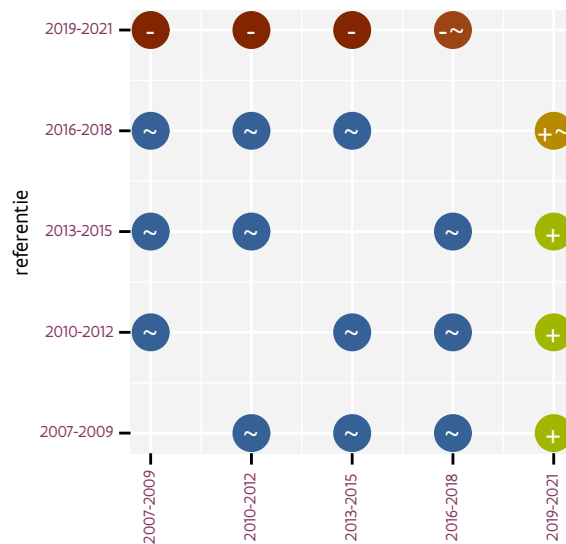
Figuur 99.3: Wijzigingen tussen jaren voor Witte kwikstaart. Zie §4.1 voor een verklaring van de intervallen en §4.2 voor uitleg over de symbolen en referentielijnen.



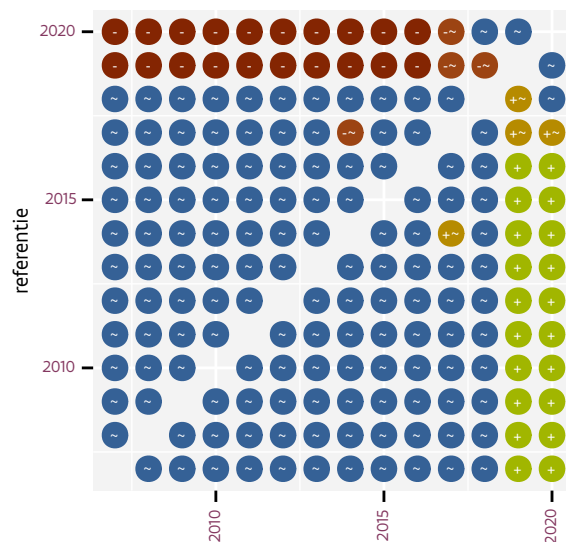
Figuur 99.4: Wijzigingen per driejarige cyclus voor Witte kwikstaart. Zie §4.1 voor een verklaring van de intervallen en §4.2 voor uitleg over de symbolen en referentielijnen.

Tabel 99.1: Stratumgewicht, raming aan het aantal hokken waarin de soort aanwezig is, aantal relevant hokken voor de analyse, aantal onderzochte hokken in het stratum, totaal aantal hokken van het stratum in Vlaanderen en aantal bezoeken aan een meetpunt voor Witte kwikstaart (zie §3.5).

stratum	gewicht	aanwezig	relevant	onderzocht	totaal	bezoeken
Landbouw	92.4%	3777.7	255	426	6311	16578
Suburbaan	2.0%	79.8	27	68	201	1549
Urbaan	1.6%	62.2	13	87	416	983
Heide en duin	1.5%	59.0	27	91	199	1944
Moeras en water	1.4%	56.5	33	80	137	2157
Bos	1.0%	40.3	24	190	319	1866



Figuur 99.5: Paarsgewijze vergelijking tussen driejarige cycli voor Witte kwikstaart. Uitleg van de symbolen in tabel 4.1.



Figuur 99.6: Paarsgewijze vergelijking tussen jaren voor Witte kwikstaart. Uitleg van de symbolen in tabel 4.1.

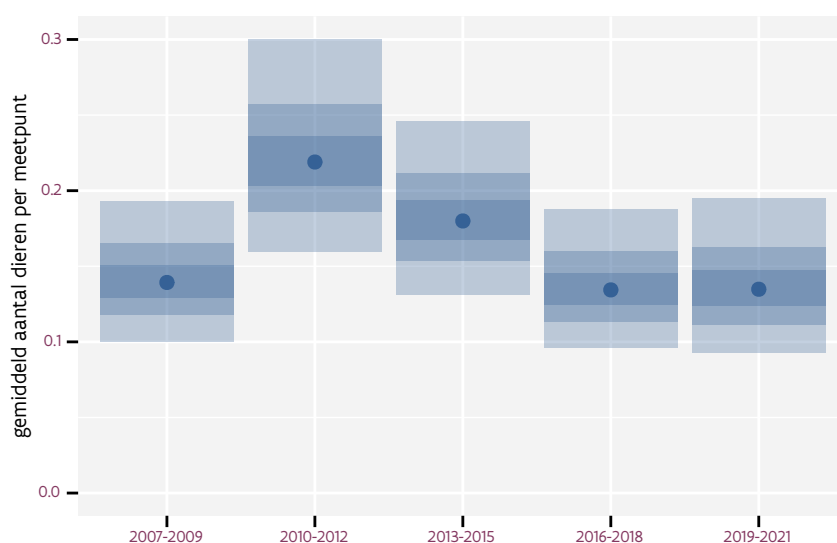
Tabel 99.2: Data-hashes van de analyses in het kader van traceerbaarheid (zie §5.3).

frequentie	model	analyse	status
jaarlijks	lineair	bae41ef7724dba3f42d1 1a39030b868a4eb4ec14	46dabe6f268e89462d9b b927ddfdab3229bdd31f
jaarlijks	niet-lineair	1361738fd9c2e9a98b34 b2bcee817cc56007f531	e6dc4ba85e54e73218c4 328354d4599f22bdd23a
driejaarlijks	lineair	a4a42bc3eb7b77e0b079 a51187455d789dc1743d	baa8f563e71c45689894 d8b6bd2d0f4bf2ddc823
driejaarlijks	niet-lineair	bb2c6774ab5ef8396700 e2c016a9b149e6c65a79	8474673303b96ae4d2cf 0638f309fbd887db1bfa

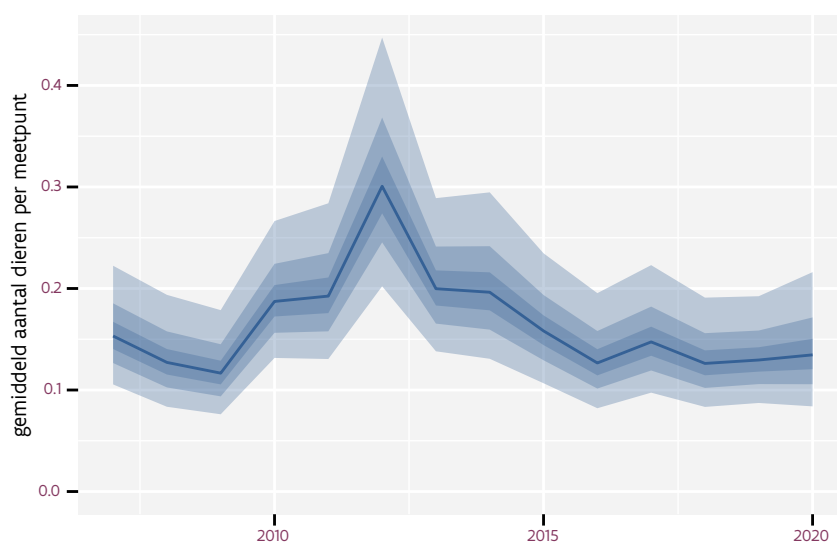
## 100 WULP

Op basis van driejaarlijkse gegevens zien we gemiddeld een mogelijk afname met -1.9% (-3.9%; +0.1%) per jaar of -23% (-40%; +1%) over de volledige looptijd van het meetnet. Deze trend is niet-lineair.

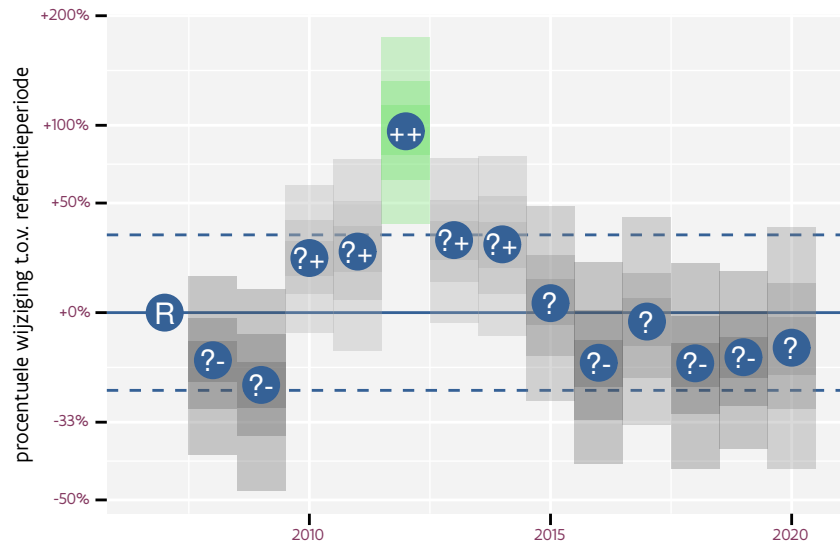
Op basis van jaarlijkse gegevens zien we gemiddeld een mogelijk afname met -1.8% (-3.8%; +0.2%) per jaar of -21% (-39%; +2%) over de volledige looptijd van het meetnet. Deze trend is niet-lineair.



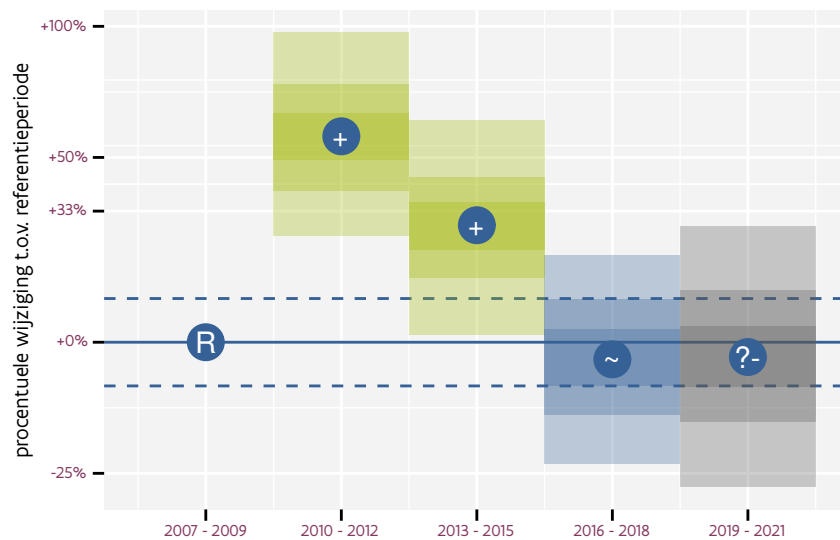
Figuur 100.1: Evolutie van het gemodeleerde gemiddeld aantal waargenomen dieren op een meetpunt voor Wulp tijdens de referentieperiode. Zie §4.1 voor een verklaring van de intervallen.



Figuur 100.2: Evolutie van het gemodeleerde gemiddeld aantal waargenomen dieren op een meetpunt voor Wulp tijdens de referentieperiode. Zie §4.1 voor een verklaring van de intervallen.



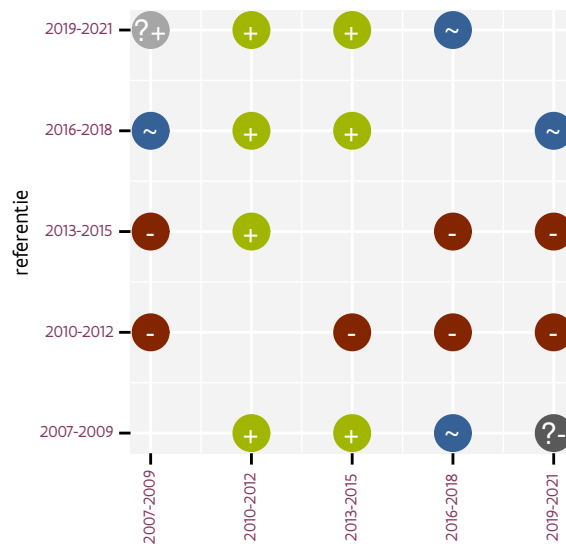
Figuur 100.3: Wijzigingen tussen jaren voor Wulp. Zie §4.1 voor een verklaring van de intervallen en §4.2 voor uitleg over de symbolen en referentielijnen.



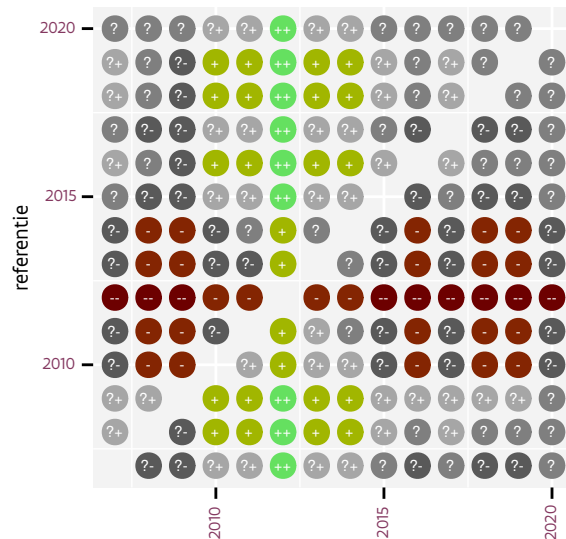
Figuur 100.4: Wijzigingen per driejarige cyclus voor Wulp. Zie §4.1 voor een verklaring van de intervallen en §4.2 voor uitleg over de symbolen en referentielijnen.

Tabel 100.1: Stratumgewicht, raming aan het aantal hokken waarin de soort aanwezig is, aantal relevant hokken voor de analyse, aantal onderzochte hokken in het stratum, totaal aantal hokken van het stratum in Vlaanderen en aantal bezoeken aan een meetpunt voor Wulp (zie §3.5).

stratum	gewicht	aanwezig	relevant	onderzocht	totaal	bezoeken
Landbouw	88.5%	488.9	33	426	6311	2222
Heide en duin	8.5%	48.1	22	91	199	1568
Moeras en water	1.5%	6.8	4	80	137	276
Bos	1.5%	6.7	4	190	319	258



Figuur 100.5: Paarsgewijze vergelijking tussen driejarige cycli voor Wulp. Uitleg van de symbolen in tabel 4.1.



Figuur 100.6: Paarsgewijze vergelijking tussen jaren voor Wulp. Uitleg van de symbolen in tabel 4.1.

Tabel 100.2: Data-hashes van de analyses in het kader van traceerbaarheid (zie §5.3).

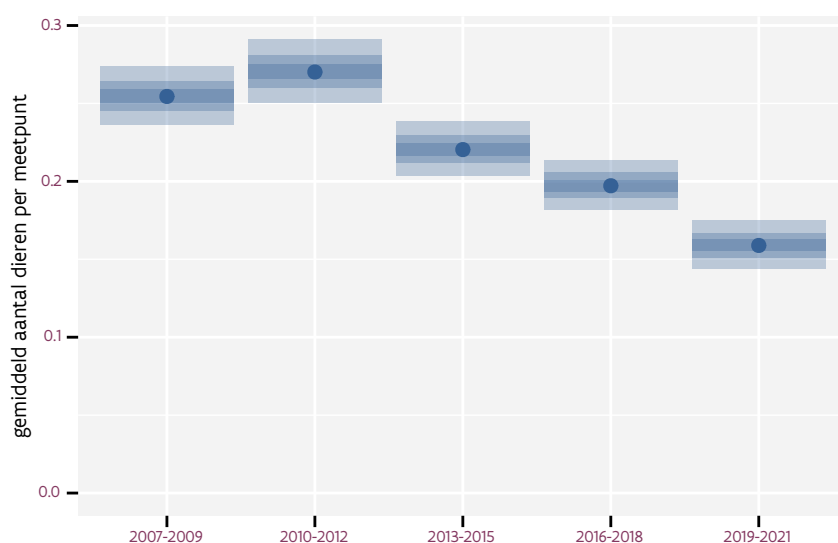
frequentie	model	analyse	status
jaarlijks	lineair	ea325e5775f8dc1a4680 687d98b9069a5e9d14ea	fdb08a75db5f603fd7be 1cd4d434417367185973
jaarlijks	niet-lineair	f5cb693184e12ac2ebcf 2cabdd1ca26f5a627df5	31bf3a7bd85e56cb5fbd a5d954c423e656216a96
driejaarlijks	lineair	65883ee13f2bd338620c 2ebb0a4f87d2cdbcae14	7e98fc622406587f4662 d2ac307da713085eb96a
driejaarlijks	niet-lineair	65cb574590af0ee72dd0 f532bf8ffb21227b156a	9d78f4981f99b4461476 1b033b0496ebb9ac1a8f



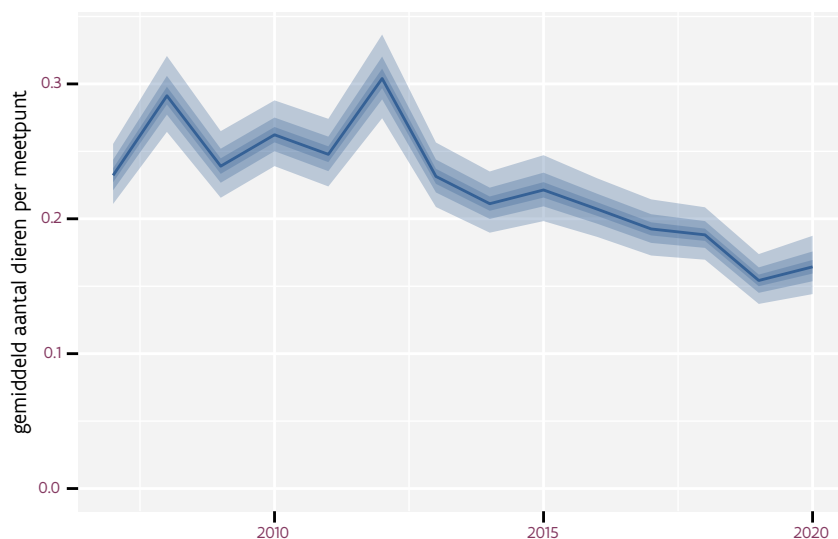
## 101 ZANGLIJSTER

Op basis van driejaarlijkse gegevens zien we gemiddeld een sterke afname met -3.6% (-4.2%; -3.1%) per jaar of -38.2% (-42.8%; -33.2%) over de volledige looptijd van het meetnet. Deze trend is niet-lineair.

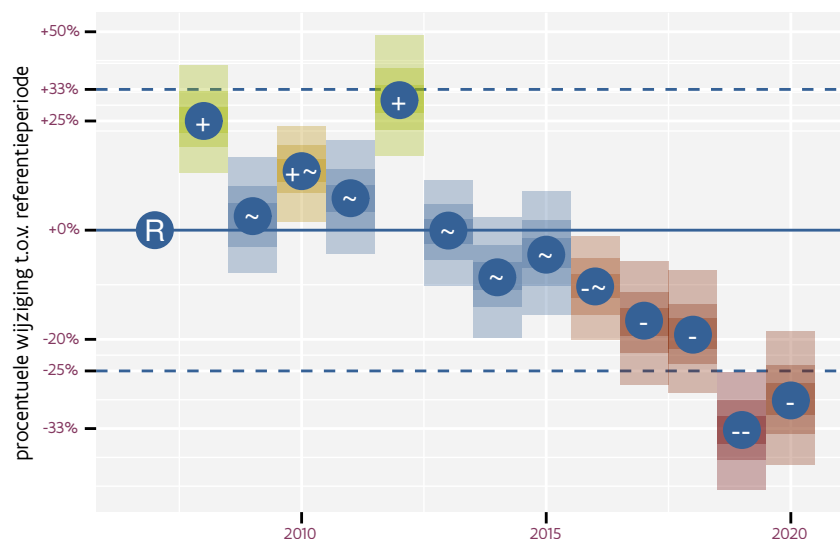
Op basis van jaarlijkse gegevens zien we gemiddeld een sterke afname met -3.5% (-4.1%; -3.0%) per jaar of -37.4% (-42.0%; -32.4%) over de volledige looptijd van het meetnet. Deze trend is niet-lineair.



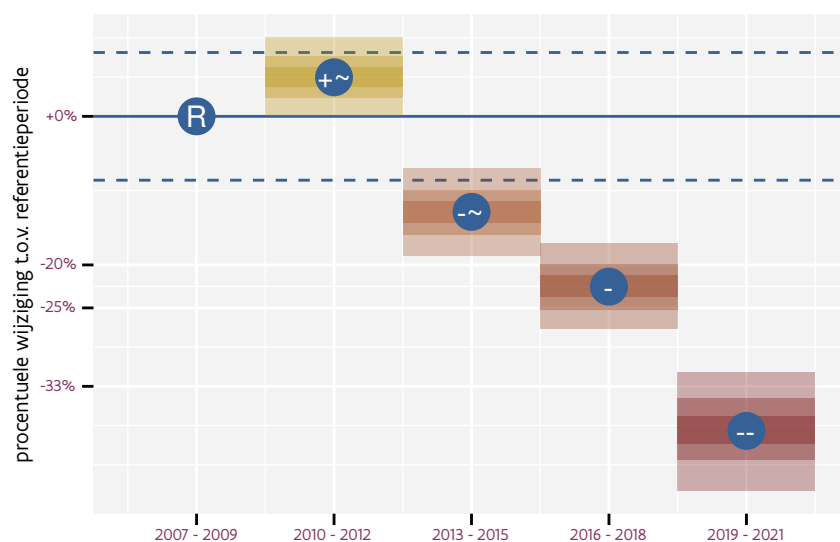
Figuur 101.1: Evolutie van het gemodeleerde gemiddeld aantal waargenomen dieren op een meetpunt voor Zanglijster tijdens de referentieperiode. Zie §4.1 voor een verklaring van de intervallen.



Figuur 101.2: Evolutie van het gemodeleerde gemiddeld aantal waargenomen dieren op een meetpunt voor Zanglijster tijdens de referentieperiode. Zie §4.1 voor een verklaring van de intervallen.



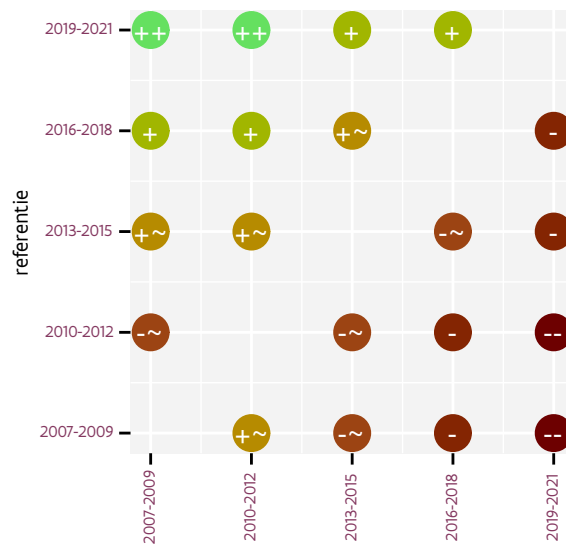
Figuur 101.3: Wijzigingen tussen jaren voor Zanglijster. Zie §4.1 voor een verklaring van de intervallen en §4.2 voor uitleg over de symbolen en referentielijnen.



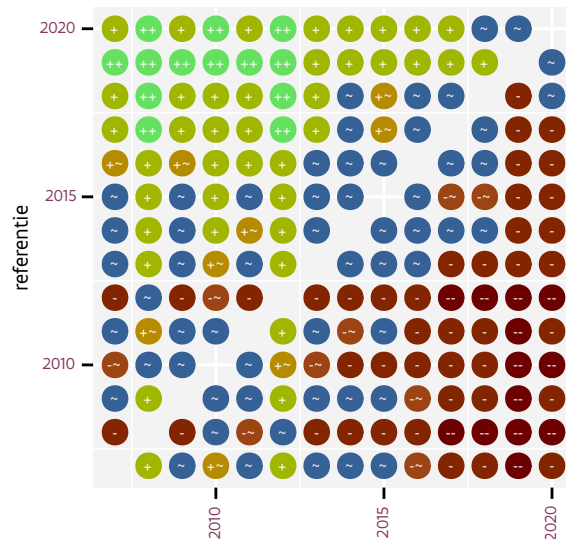
Figuur 101.4: Wijzigingen per driejarige cyclus voor Zanglijster. Zie §4.1 voor een verklaring van de intervallen en §4.2 voor uitleg over de symbolen en referentielijnen.

Tabel 101.1: Stratumgewicht, raming aan het aantal hokken waarin de soort aanwezig is, aantal relevant hokken voor de analyse, aantal onderzochte hokken in het stratum, totaal aantal hokken van het stratum in Vlaanderen en aantal bezoeken aan een meetpunt voor Zanglijster (zie §3.5).

stratum	gewicht	aanwezig	relevant	onderzocht	totaal	bezoeken
Landbouw	82.5%	3955.5	267	426	6311	16983
Urbaan	5.6%	263.0	55	87	416	3394
Bos	4.6%	219.9	131	190	319	8400
Heide en duin	2.8%	133.4	61	91	199	4112
Suburbaan	2.5%	115.3	39	68	201	2476
Moeras en water	1.9%	89.0	52	80	137	3282



Figuur 101.5: Paarsgewijze vergelijking tussen driejarige cycli voor Zanglijster. Uitleg van de symbolen in tabel 4.1.



Figuur 101.6: Paarsgewijze vergelijking tussen jaren voor Zanglijster. Uitleg van de symbolen in tabel 4.1.

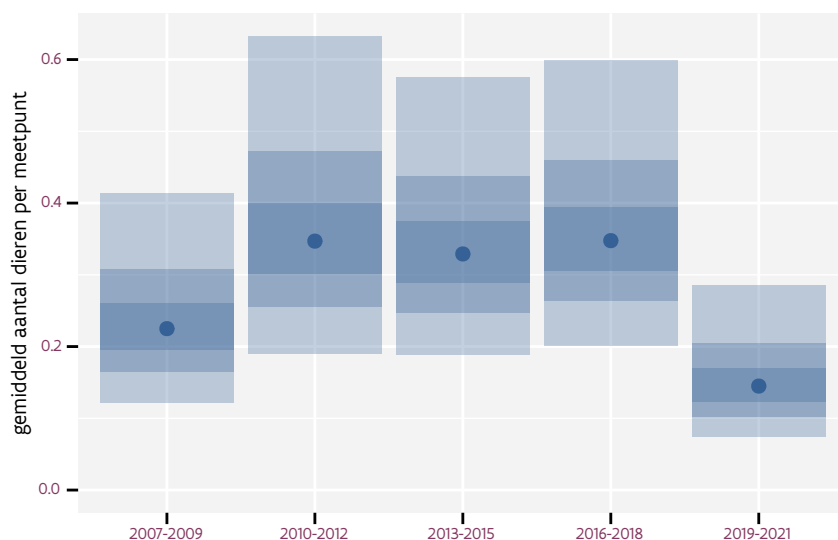
Tabel 101.2: Data-hashes van de analyses in het kader van traceerbaarheid (zie §5.3).

frequentie	model	analyse	status
jaarlijks	lineair	8e022bbf8ec23480cf84 75d2130b335a8eef5ffe	d6c2a856e30cdc22c357 4d98db829f49191804bc
jaarlijks	niet-lineair	fe54068c11eeb15594ef 78756bc77db7d2f4a87b	b98f62c964aa3a7669ae 0c6278342955ab564078
driejaarlijks	lineair	a711fba82786b0277d5b 780a476287a333fb0c2	6bfbbb2b78b493aa47fd f1b1d265b4f4bb7ba962
driejaarlijks	niet-lineair	4747e6440f8c2c009da6 5ad6ecf94b47e4258ae0	7ed1209fa76ab569faa1 d18fef1e8fe4971034ee

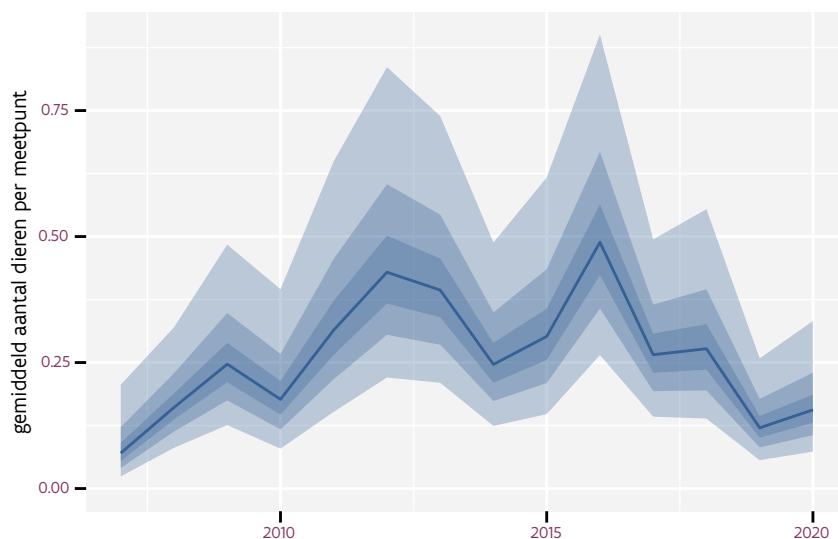
## 102 ZILVERMEEUW

Op basis van driejaarlijkse gegevens zien we gemiddeld een onduidelijke trend van -1.4% (-5.6%; +3.1%) per jaar of -20% (-50%; +50%) over de volledige looptijd van het meetnet. Deze trend is niet-lineair.

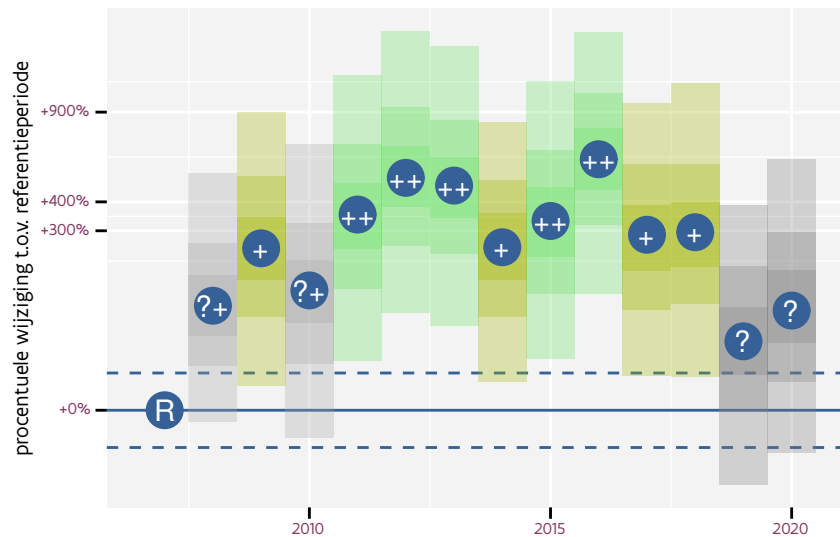
Op basis van jaarlijkse gegevens zien we gemiddeld een onduidelijke trend van -0.9% (-5.2%; +3.6%) per jaar of -10% (-50%; +60%) over de volledige looptijd van het meetnet. Deze trend is niet-lineair.



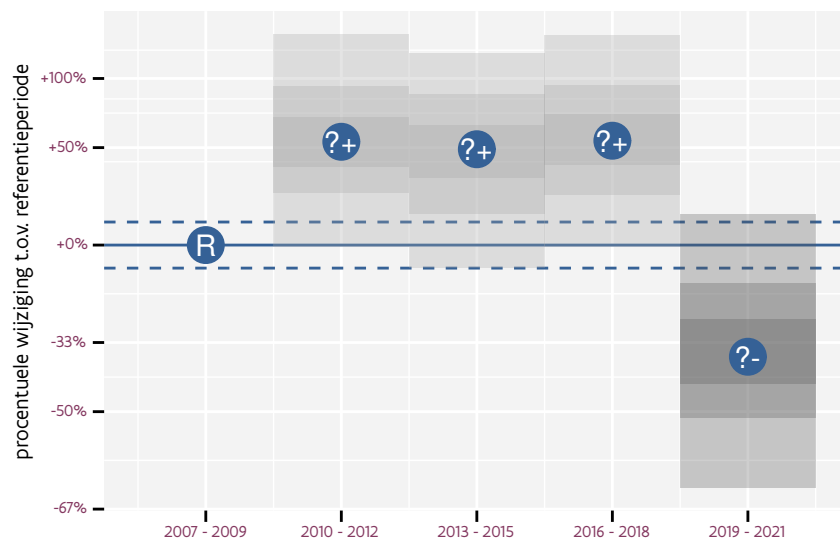
Figuur 102.1: Evolutie van het gemodeleerde gemiddeld aantal waargenomen dieren op een meetpunt voor Zilvermeeuw tijdens de referentieperiode. Zie §4.1 voor een verklaring van de intervallen.



Figuur 102.2: Evolutie van het gemodeleerde gemiddeld aantal waargenomen dieren op een meetpunt voor Zilvermeeuw tijdens de referentieperiode. Zie §4.1 voor een verklaring van de intervallen.



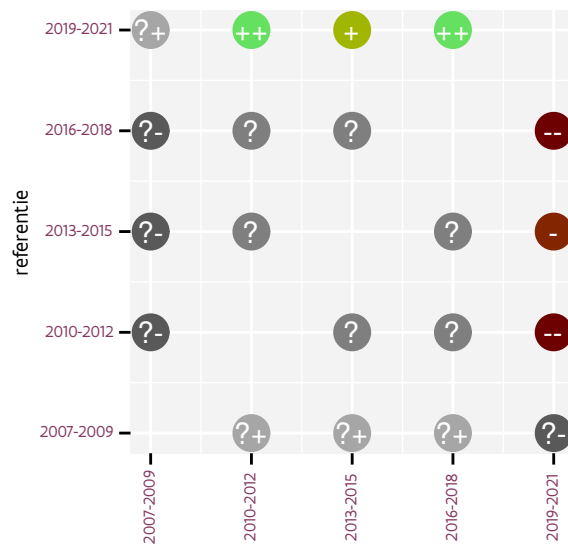
Figuur 102.3: Wijzigingen tussen jaren voor Zilvermeeuw. Zie §4.1 voor een verklaring van de intervallen en §4.2 voor uitleg over de symbolen en referentielijnen.



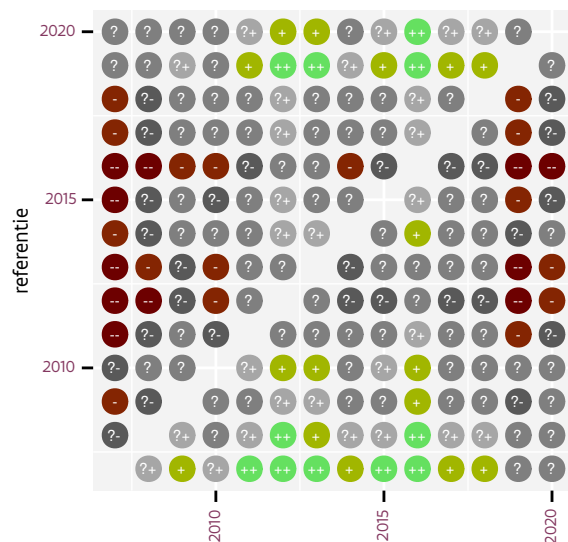
Figuur 102.4: Wijzigingen per driejarige cyclus voor Zilvermeeuw. Zie §4.1 voor een verklaring van de intervallen en §4.2 voor uitleg over de symbolen en referentielijnen.

Tabel 102.1: Stratumgewicht, raming aan het aantal hokken waarin de soort aanwezig is, aantal relevant hokken voor de analyse, aantal onderzochte hokken in het stratum, totaal aantal hokken van het stratum in Vlaanderen en aantal bezoeken aan een meetpunt voor Zilvermeeuw (zie §3.5).

stratum	gewicht	aanwezig	relevant	onderzocht	totaal	bezoeken
Landbouw	80.6%	222.2	15	426	6311	878
Urbaan	7.0%	14.3	3	87	416	156
Moeras en water	5.0%	12.0	7	80	137	453
Suburbaan	4.3%	8.9	3	68	201	277
Heide en duin	3.2%	6.6	3	91	199	204



Figuur 102.5: Paarsgewijze vergelijking tussen driejarige cycli voor Zilvermeeuw. Uitleg van de symbolen in tabel 4.1.



Figuur 102.6: Paarsgewijze vergelijking tussen jaren voor Zilvermeeuw. Uitleg van de symbolen in tabel 4.1.

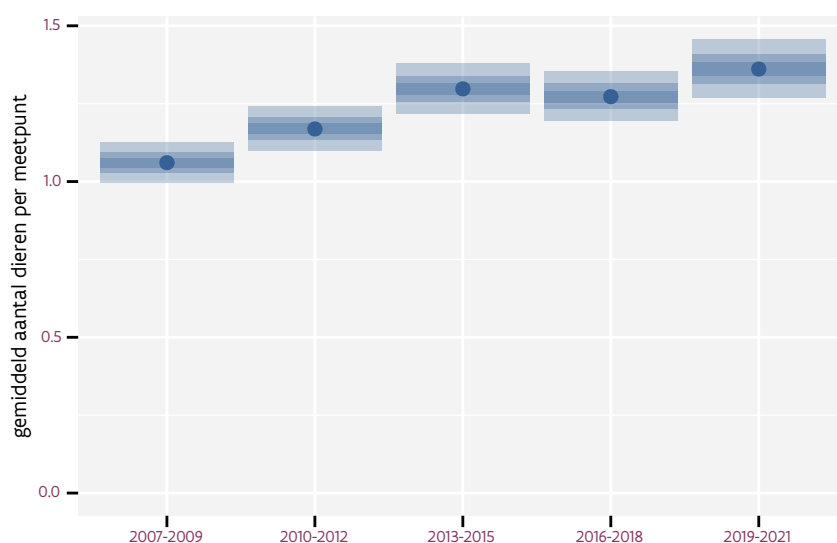
Tabel 102.2: Data-hashes van de analyses in het kader van traceerbaarheid (zie §5.3).

frequentie	model	analyse	status
jaarlijks	lineair	917ebd0fd28fa293d02b 294147620a488eb202d9	c13453e5ae1d4199a6e4 6fb5b00c8e60cba68267
jaarlijks	niet-lineair	c15f5637bad510da0bb8 81f3fa30b93dd87e4400	2e80b38c8816a48b9491 f3a0fd1b70d824d9c1ca
driejaarlijks	lineair	f256e9351432da7fc98d 4947d297292c13f932e9	a375a97c86e1d3ebad2b 89ecaa7f32e8bed9d49c
driejaarlijks	niet-lineair	2f5a5d4da91521bf0eb8 d9311ced68761fc69727	dfa6fd9741ce6ec50127 41a04389719959f45144

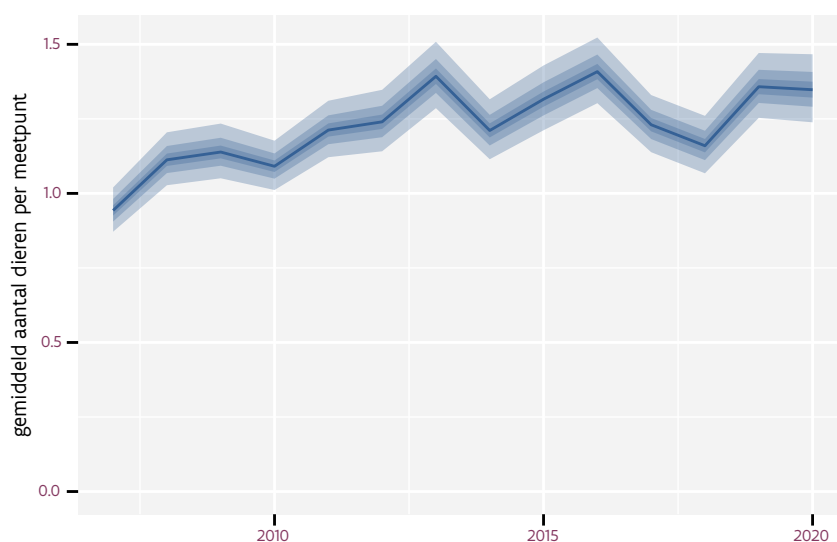
## 103 ZWARTE KRAAI

Op basis van driejaarlijkse gegevens zien we gemiddeld een toename met +2.08% (+1.71%; +2.45%) per jaar of +31% (+25%; +37%) over de volledige looptijd van het meetnet. Deze trend is niet-lineair.

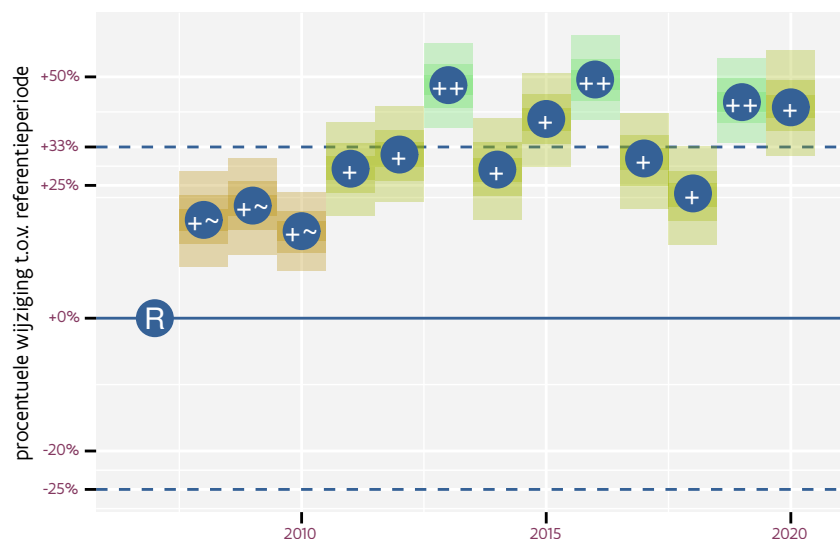
Op basis van jaarlijkse gegevens zien we gemiddeld een toename met +2.07% (+1.69%; +2.44%) per jaar of +30% (+24%; +37%) over de volledige looptijd van het meetnet. Deze trend is niet-lineair.



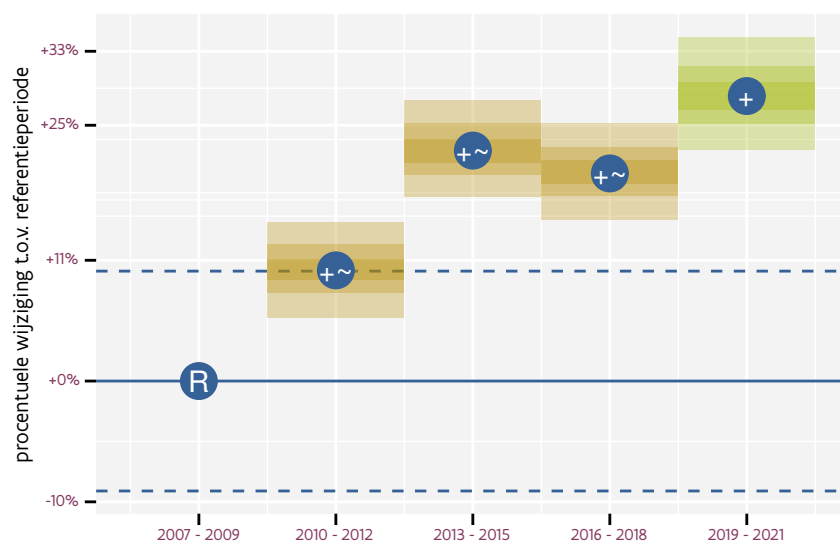
Figuur 103.1: Evolutie van het gemodeleerde gemiddeld aantal waargenomen dieren op een meetpunt voor Zwarte kraai tijdens de referentieperiode. Zie §4.1 voor een verklaring van de intervallen.



Figuur 103.2: Evolutie van het gemodeleerde gemiddeld aantal waargenomen dieren op een meetpunt voor Zwarte kraai tijdens de referentieperiode. Zie §4.1 voor een verklaring van de intervallen.



Figuur 103.3: Wijzigingen tussen jaren voor Zwarte kraai. Zie §4.1 voor een verklaring van de intervallen en §4.2 voor uitleg over de symbolen en referentielijnen.

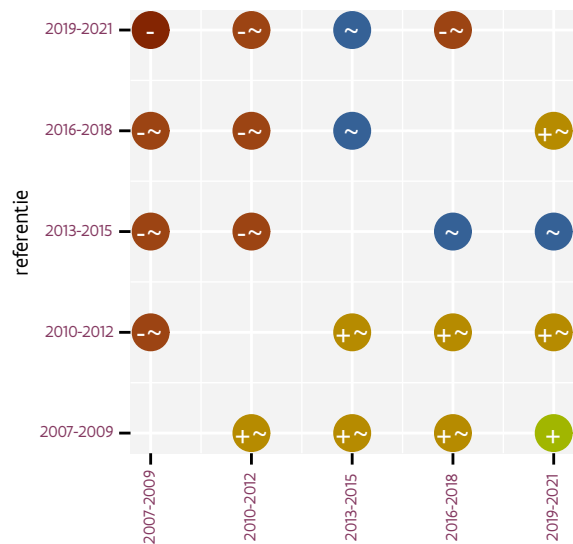


Figuur 103.4: Wijzigingen per driejarige cyclus voor Zwarte kraai. Zie §4.1 voor een verklaring van de intervallen en §4.2 voor uitleg over de symbolen en referentielijnen.

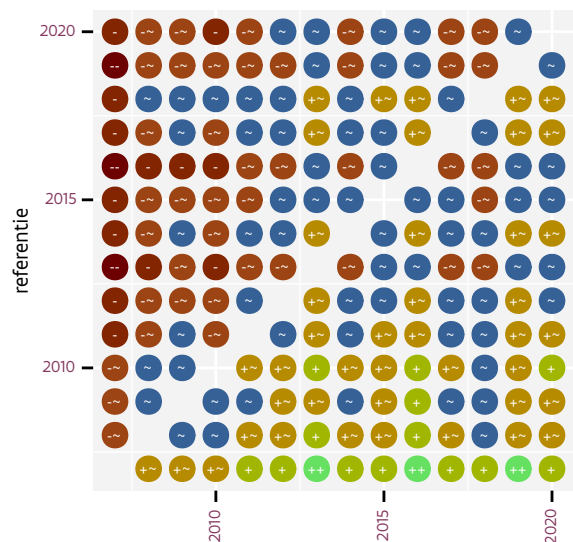
Tabel 103.1: Stratumgewicht, raming aan het aantal hokken waarin de soort aanwezig is, aantal relevant hokken voor de analyse, aantal onderzochte hokken in het stratum, totaal aantal hokken van het stratum in Vlaanderen en aantal bezoeken aan een meetpunt voor Zwarte kraai (zie §3.5).

stratum	gewicht	aanwezig	relevant	onderzocht	totaal	bezoeken
Landbouw	82.9%	4755.5	321	426	6311	19732
Urbaan	5.6%	315.6	66	87	416	4077
Bos	3.8%	216.6	129	190	319	8274
Heide en duin	3.0%	168.4	77	91	199	4665
Suburbaan	2.8%	156.7	53	68	201	3117
Moeras en water	1.8%	102.8	60	80	137	3607





Figuur 103.5: Paarsgewijze vergelijking tussen driejarige cycli voor Zwarte kraai. Uitleg van de symbolen in tabel 4.1.



Figuur 103.6: Paarsgewijze vergelijking tussen jaren voor Zwarte kraai. Uitleg van de symbolen in tabel 4.1.

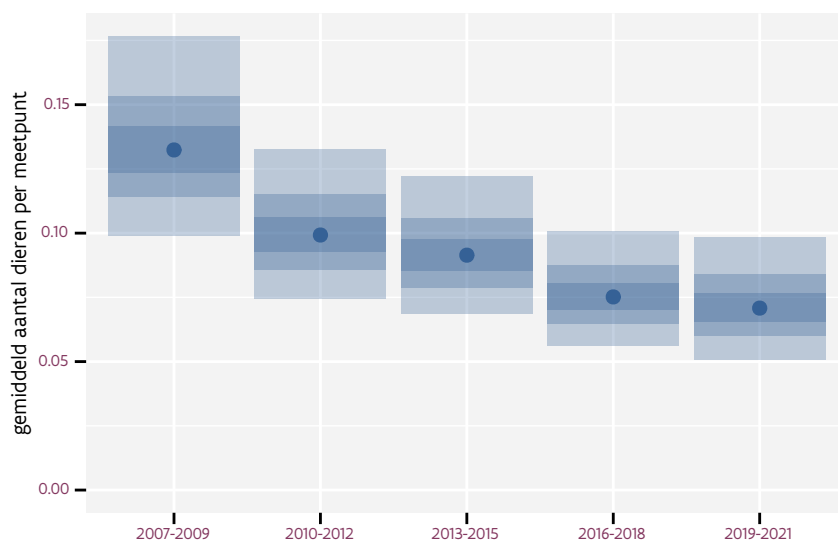
Tabel 103.2: Data-hashes van de analyses in het kader van traceerbaarheid (zie §5.3).

frequentie	model	analyse	status
jaarlijks	lineair	378f59c23ad9b0015824 99712fc1ba0cc97aa4e9	abf77fca34cbcc4a3279 a595386132c3c54f3867
jaarlijks	niet-lineair	373067f2634edac7a339 ca52f155821cb7b267e4	93810b85d3333639e872 210e22ecef468a6cc7af
driejaarlijks	lineair	fac729217d8975ac8aa8 e02f53dc80c4aee9dbd4	d5b68d376e1fbffedf87 f03ded638cbfac1e99ef
driejaarlijks	niet-lineair	4ae24b351ad6637484fc 97030bc7b7b4696e659f	3de1fec51381534a641a 0f98af67a3db8c3ad58b

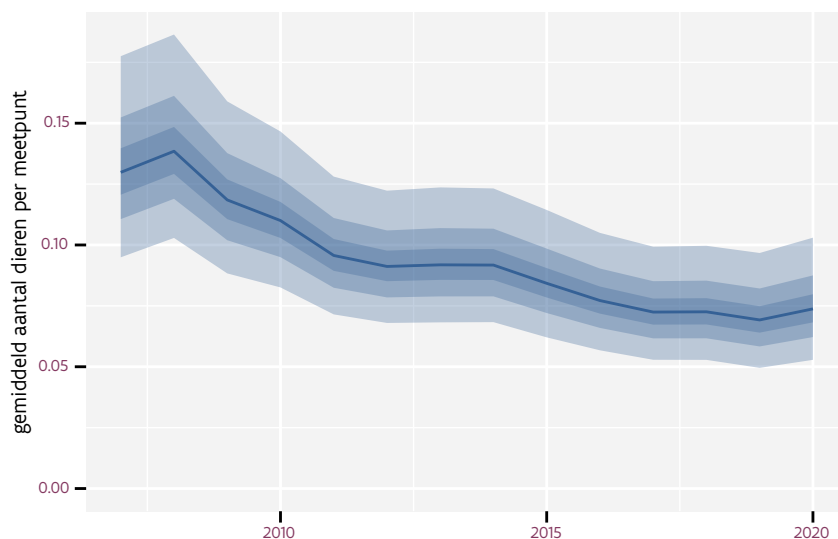
## 104 ZWARTE MEES

Op basis van driejaarlijkse gegevens zien we gemiddeld een sterke afname met -7.30% (-10.24%; -4.27%) per jaar of -63% (-75%; -43%) over de volledige looptijd van het meetnet. Deze trend is mogelijk niet-lineair.

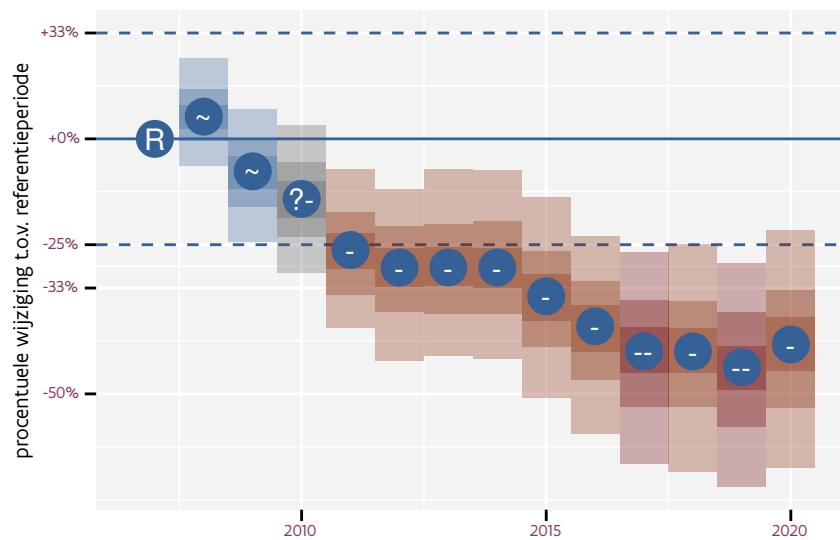
Op basis van jaarlijkse gegevens zien we gemiddeld een sterke afname met -7.0% (-9.9%; -4.0%) per jaar of -61% (-74%; -41%) over de volledige looptijd van het meetnet. Deze trend is niet-lineair.



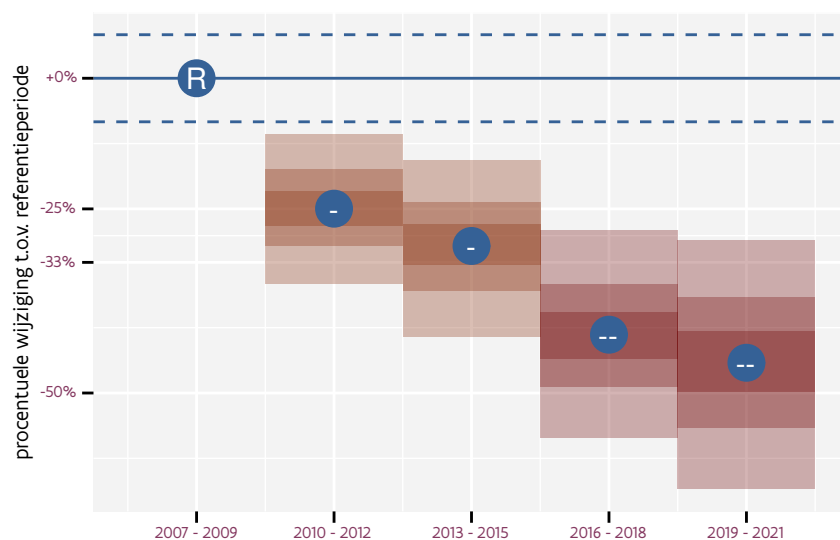
Figuur 104.1: Evolutie van het gemodeleerde gemiddeld aantal waargenomen dieren op een meetpunt voor Zwarte mees tijdens de referentieperiode. Zie §4.1 voor een verklaring van de intervallen.



Figuur 104.2: Evolutie van het gemodeleerde gemiddeld aantal waargenomen dieren op een meetpunt voor Zwarte mees tijdens de referentieperiode. Zie §4.1 voor een verklaring van de intervallen.



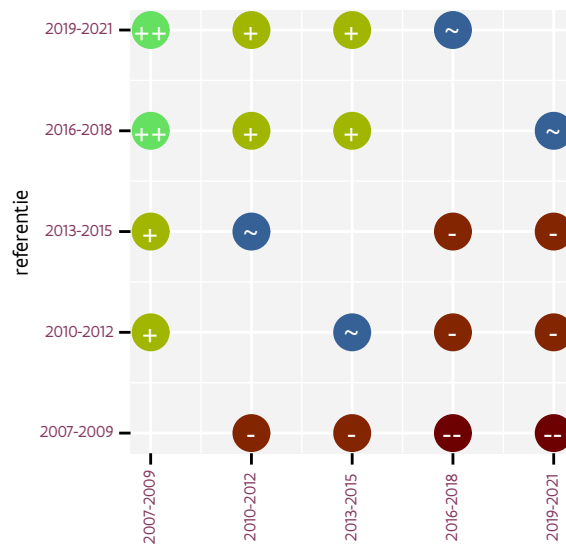
Figuur 104.3: Wijzigingen tussen jaren voor Zwarte mees. Zie §4.1 voor een verklaring van de intervallen en §4.2 voor uitleg over de symbolen en referentielijnen.



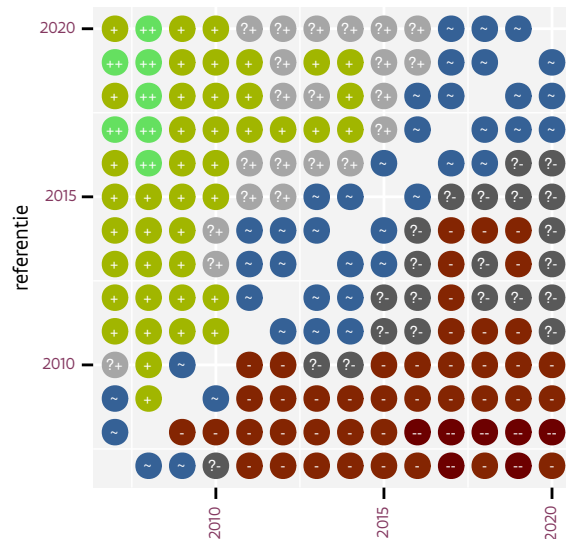
Figuur 104.4: Wijzigingen per driejarige cyclus voor Zwarte mees. Zie §4.1 voor een verklaring van de intervallen en §4.2 voor uitleg over de symbolen en referentielijnen.

Tabel 104.1: Stratungewicht, raming aan het aantal hokken waarin de soort aanwezig is, aantal relevant hokken voor de analyse, aantal onderzochte hokken in het stratum, totaal aantal hokken van het stratum in Vlaanderen en aantal bezoeken aan een meetpunt voor Zwarte mees (zie §3.5).

stratum	gewicht	aanwezig	relevant	onderzocht	totaal	bezoeken
Bos	44.1%	112.5	67	190	319	4808
Landbouw	28.9%	59.3	4	426	6311	372
Heide en duin	18.9%	45.9	21	91	199	1535
Suburbaan	8.1%	17.7	6	68	201	354



Figuur 104.5: Paarsgewijze vergelijking tussen driejarige cycli voor Zwarte mees. Uitleg van de symbolen in tabel 4.1.



Figuur 104.6: Paarsgewijze vergelijking tussen jaren voor Zwarte mees. Uitleg van de symbolen in tabel 4.1.

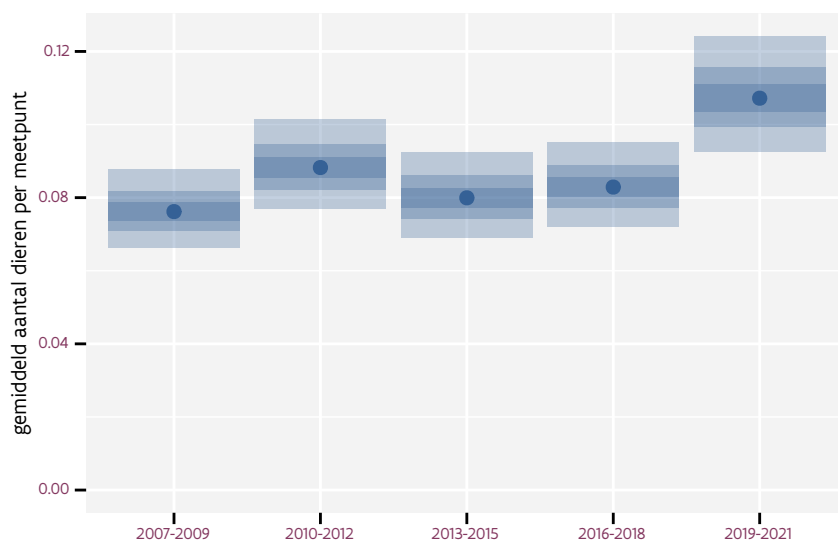
Tabel 104.2: Data-hashes van de analyses in het kader van traceerbaarheid (zie §5.3).

frequentie	model	analyse	status
jaarlijks	lineair	b2d659fe8a7cab95f7c9 92a24354e9747af4fdde	d45052eff91073e536b8 c3c244af877fd94dc680
jaarlijks	niet-lineair	ee889c10791d9564e382 0bf65f4009a5c4a65c96	c12d2fdfe358c31e9565 0e8dfef7037738ad9f4e
driejaarlijks	lineair	21cfd14a79286730ad5f 038b1235da9f7eaac082	efd976cf66b84e71f178 7749b1b5719b269374a8
driejaarlijks	niet-lineair	65d88435e54e047db771 2fd96a31081b058cb43b	5df4e8ab9860686707bb 4d50d0549a7ea2922cf1

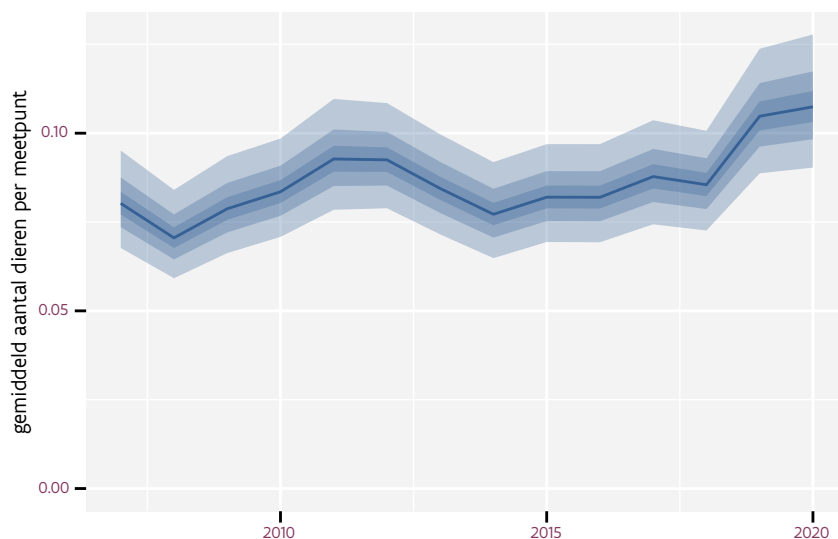
## 105 ZWARTE ROODSTAART

Op basis van driejaarlijkse gegevens zien we gemiddeld een toename met +1.8% (+0.7%; +3.0%) per jaar of +27% (+10%; +46%) over de volledige looptijd van het meetnet. Deze trend is niet-lineair.

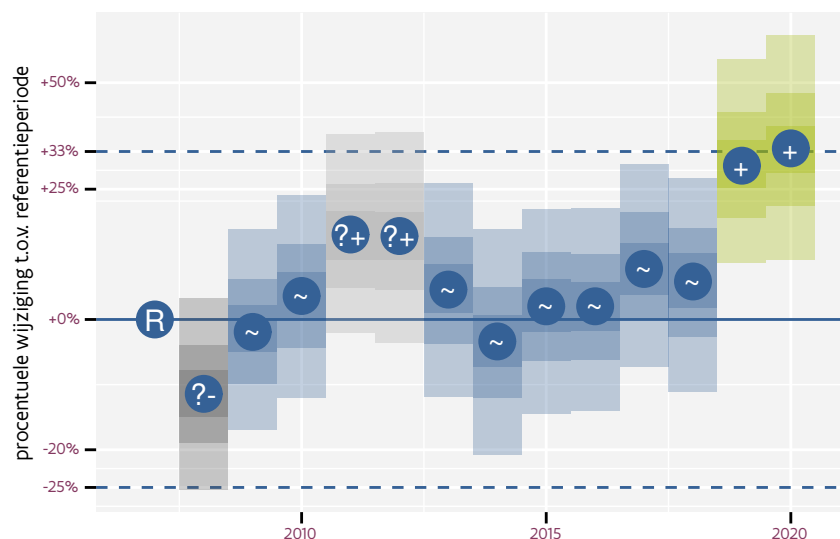
Op basis van jaarlijkse gegevens zien we gemiddeld een toename met +1.8% (+0.7%; +2.9%) per jaar of +25% (+9%; +44%) over de volledige looptijd van het meetnet. Deze trend is niet-lineair.



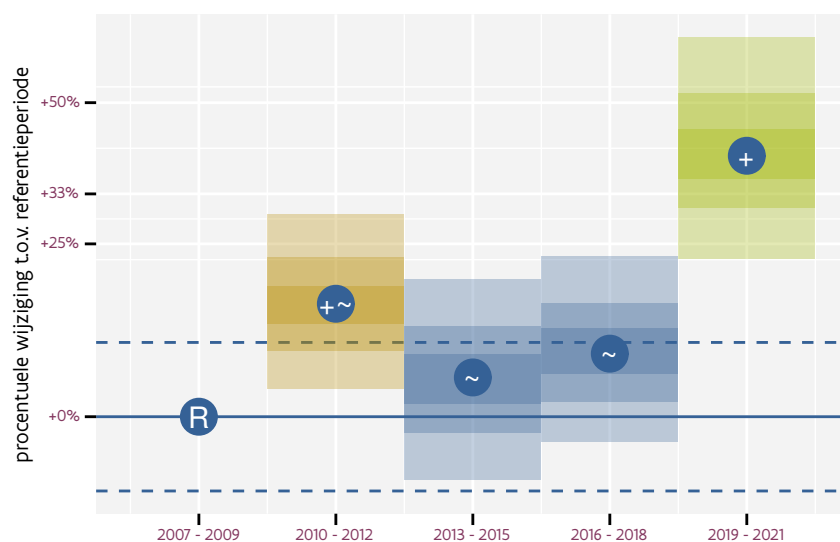
Figuur 105.1: Evolutie van het gemodeleerde gemiddeld aantal waargenomen dieren op een meetpunt voor Zwarte roodstaart tijdens de referentieperiode. Zie §4.1 voor een verklaring van de intervallen.



Figuur 105.2: Evolutie van het gemodeleerde gemiddeld aantal waargenomen dieren op een meetpunt voor Zwarte roodstaart tijdens de referentieperiode. Zie §4.1 voor een verklaring van de intervallen.



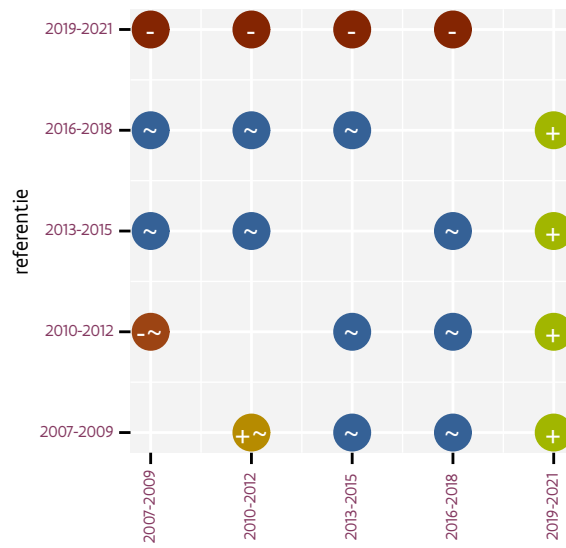
Figuur 105.3: Wijzigingen tussen jaren voor Zwarte roodstaart. Zie §4.1 voor een verklaring van de intervallen en §4.2 voor uitleg over de symbolen en referentielijnen.



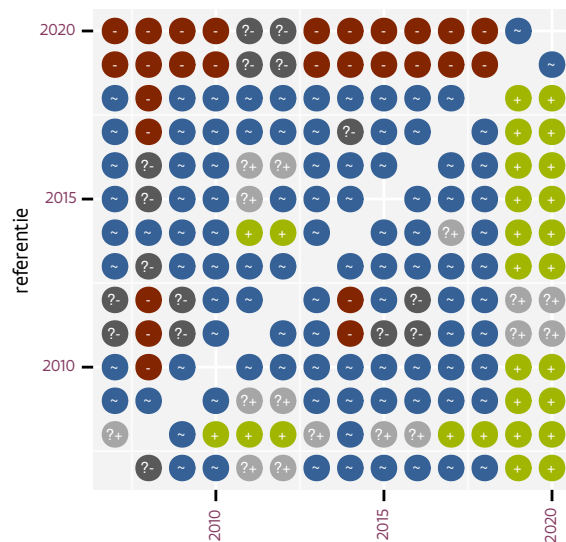
Figuur 105.4: Wijzigingen per driejarige cyclus voor Zwarte roodstaart. Zie §4.1 voor een verklaring van de intervallen en §4.2 voor uitleg over de symbolen en referentielijnen.

Tabel 105.1: Stratumgewicht, raming aan het aantal hokken waarin de soort aanwezig is, aantal relevant hokken voor de analyse, aantal onderzochte hokken in het stratum, totaal aantal hokken van het stratum in Vlaanderen en aantal bezoeken aan een meetpunt voor Zwarte roodstaart (zie §3.5).

stratum	gewicht	aanwezig	relevant	onderzocht	totaal	bezoeken
Landbouw	88.6%	2059.2	139	426	6311	9650
Urbaan	5.2%	114.8	24	87	416	1666
Suburbaan	3.6%	79.8	27	68	201	1702
Moeras en water	1.3%	27.4	16	80	137	1029
Heide en duin	0.9%	17.5	8	91	199	576
Bos	0.6%	11.8	7	190	319	504



Figuur 105.5: Paarsgewijze vergelijking tussen driejarige cycli voor Zwarte roodstaart. Uitleg van de symbolen in tabel 4.1.



Figuur 105.6: Paarsgewijze vergelijking tussen jaren voor Zwarte roodstaart. Uitleg van de symbolen in tabel 4.1.

Tabel 105.2: Data-hashes van de analyses in het kader van traceerbaarheid (zie §5.3).

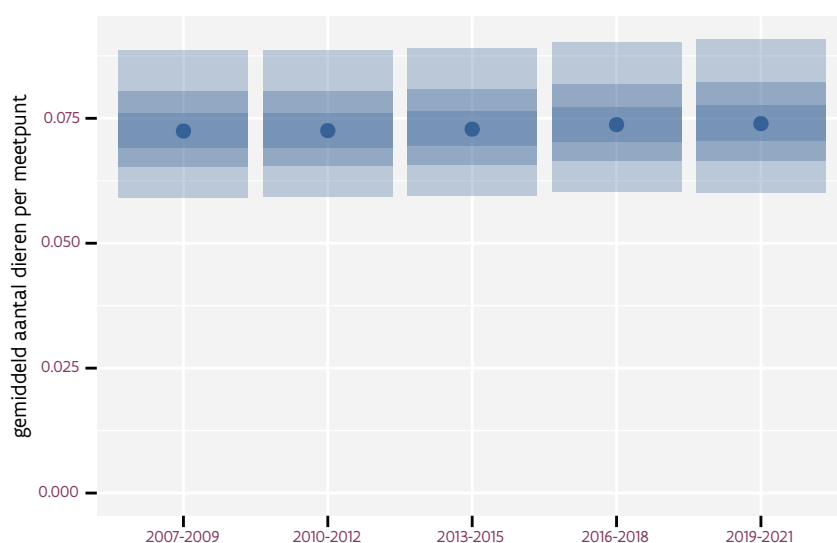
frequentie	model	analyse	status
jaarlijks	lineair	142c5f43993ef9d4e0e0	9a9ee2b6b8d4372941d6
		95b839ceb7b91cb0f8a4	2222cb255b86cd656eb4
jaarlijks	niet-lineair	8306764fa8170abc9e8d	2a528c9151dc54674edb
		73a2c50d9ddbea9abc63	152edac7afab230186db
driejaarlijks	lineair	59f4f42bebcc6fb14df2	55d142adcc38f6320afb
		003d0b227f0af3a317f5	e01fce33478a7f6ada7a
driejaarlijks	niet-lineair	9657260c37cdc56aa947	75f1312c7fccdd4d1fff
		9f5a2be53c15bc633728	28a509dc6b733143a081



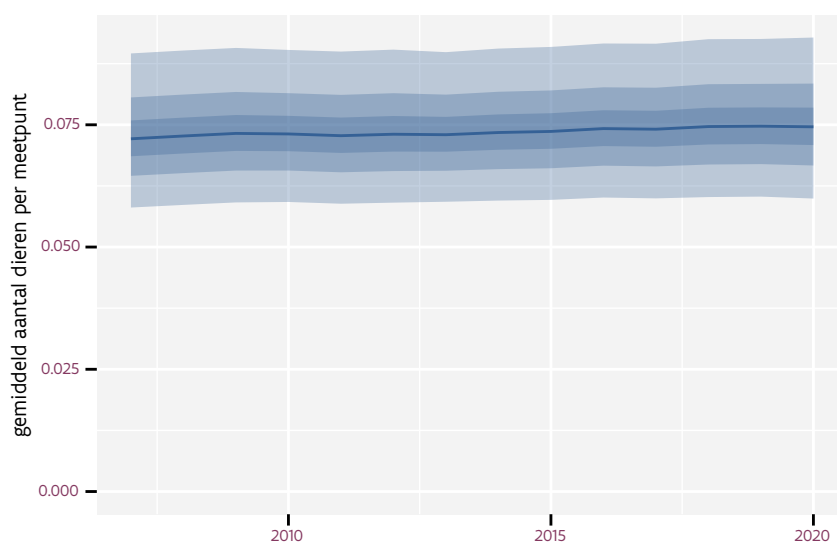
## 106 ZWARTE SPECHT

Op basis van driejaarlijkse gegevens zien we gemiddeld een mogelijk afname met -1.6% (-4.8%; +1.8%) per jaar of -18% (-47%; +26%) over de volledige looptijd van het meetnet. Deze trend is niet-lineair.

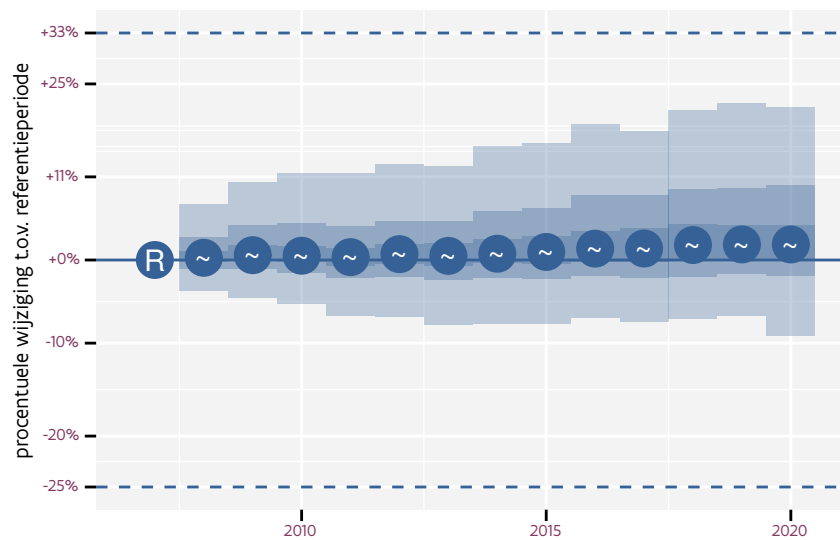
Op basis van jaarlijkse gegevens zien we gemiddeld een mogelijk afname met -1.4% (-4.7%; +2.0%) per jaar of -17% (-47%; +30%) over de volledige looptijd van het meetnet. Deze trend is niet-lineair.



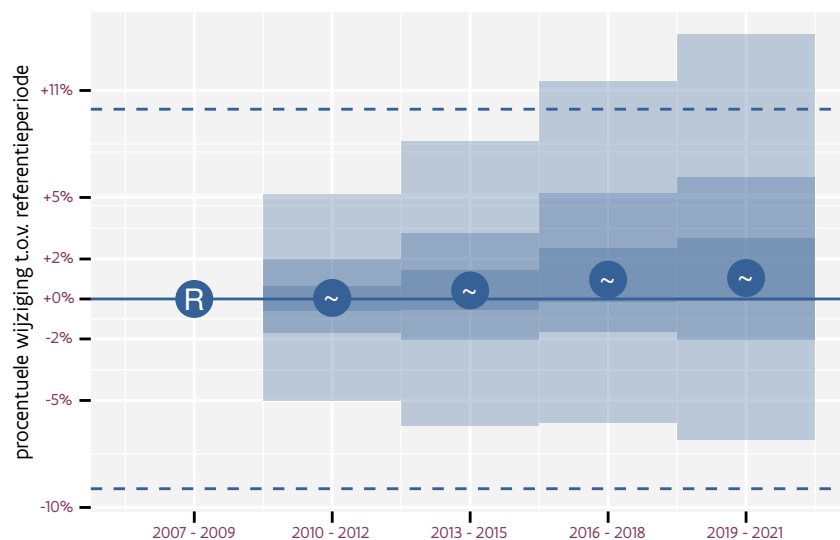
Figuur 106.1: Evolutie van het gemodeleerde gemiddeld aantal waargenomen dieren op een meetpunt voor Zwarte specht tijdens de referentieperiode. Zie §4.1 voor een verklaring van de intervallen.



Figuur 106.2: Evolutie van het gemodeleerde gemiddeld aantal waargenomen dieren op een meetpunt voor Zwarte specht tijdens de referentieperiode. Zie §4.1 voor een verklaring van de intervallen.



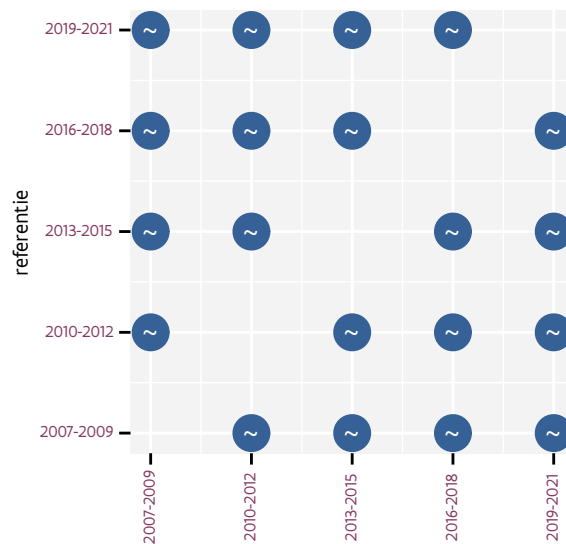
Figuur 106.3: Wijzigingen tussen jaren voor Zwarte specht. Zie §4.1 voor een verklaring van de intervallen en §4.2 voor uitleg over de symbolen en referentielijnen.



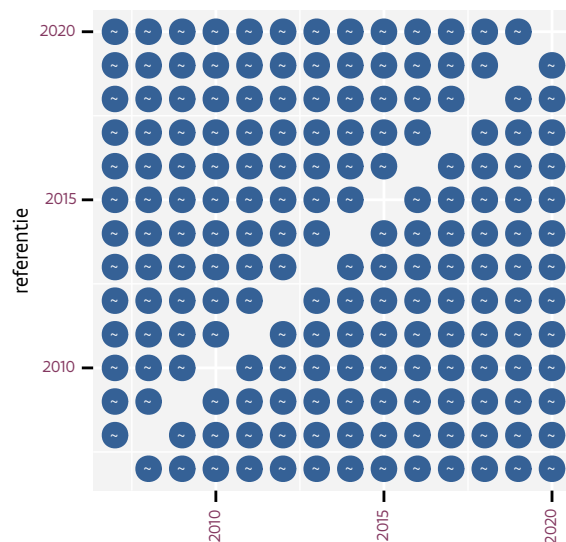
Figuur 106.4: Wijzigingen per driejarige cyclus voor Zwarte specht. Zie §4.1 voor een verklaring van de intervallen en §4.2 voor uitleg over de symbolen en referentielijnen.

Tabel 106.1: Stratungewicht, raming aan het aantal hokken waarin de soort aanwezig is, aantal relevant hokken voor de analyse, aantal onderzochte hokken in het stratum, totaal aantal hokken van het stratum in Vlaanderen en aantal bezoeken aan een meetpunt voor Zwarte specht (zie §3.5).

stratum	gewicht	aanwezig	relevant	onderzocht	totaal	bezoeken
Bos	43.7%	107.5	64	190	319	4753
Heide en duin	26.7%	63.4	29	91	199	2186
Landbouw	24.0%	44.4	3	426	6311	293
Moeras en water	5.6%	12.0	7	80	137	532



Figuur 106.5: Paarsgewijze vergelijking tussen driejarige cycli voor Zwarte specht. Uitleg van de symbolen in tabel 4.1.



Figuur 106.6: Paarsgewijze vergelijking tussen jaren voor Zwarte specht. Uitleg van de symbolen in tabel 4.1.

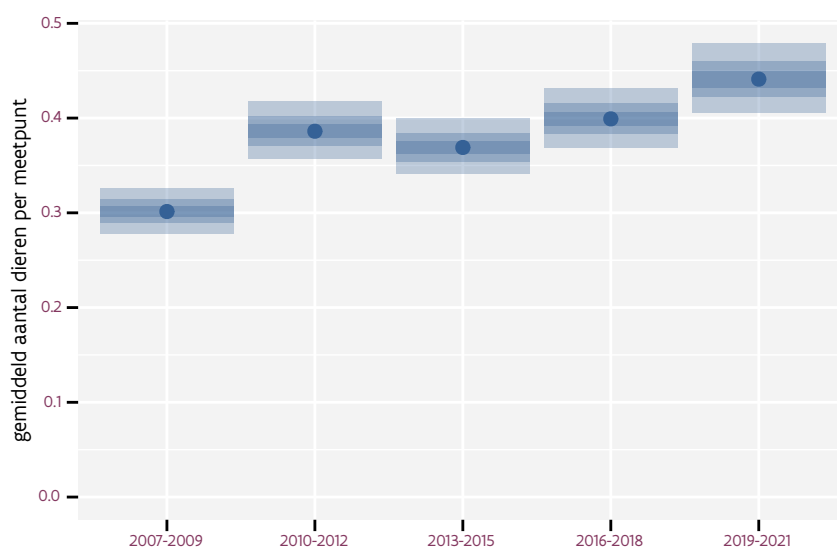
Tabel 106.2: Data-hashes van de analyses in het kader van traceerbaarheid (zie §5.3).

frequentie	model	analyse	status
jaarlijks	lineair	0bd7772a491c059718f6 7cc71fc18ce3085f13e2	c450d1775a89351173fe 112f8c10472ad2156502
jaarlijks	niet-lineair	318598aefc21657273bd 16b57fd338c35bb62e87	f9b33ed91ade74c35250 ca6383ef3aed8d3cb21c
driejaarlijks	lineair	e503a3763255623e255e c7aa6ea855ce1f6bc353	eb574b4acca6e7ae6c92 e98a1a169d44ade45370
driejaarlijks	niet-lineair	e6b00cf14a4371c23371 b0a94133afa4d52411e1	d9b02aaa79ac6528eac1 eea26b5e8c75946cd2de

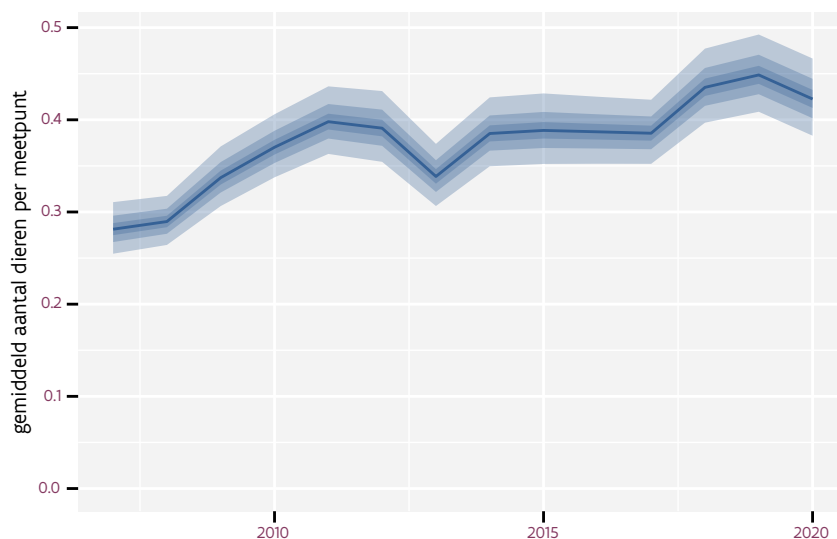
## 107 ZWARTKOP

Op basis van driejaarlijkse gegevens zien we gemiddeld een sterke toename met +2.86% (+2.38%; +3.34%) per jaar of +44% (+36%; +53%) over de volledige looptijd van het meetnet. Deze trend is niet-lineair.

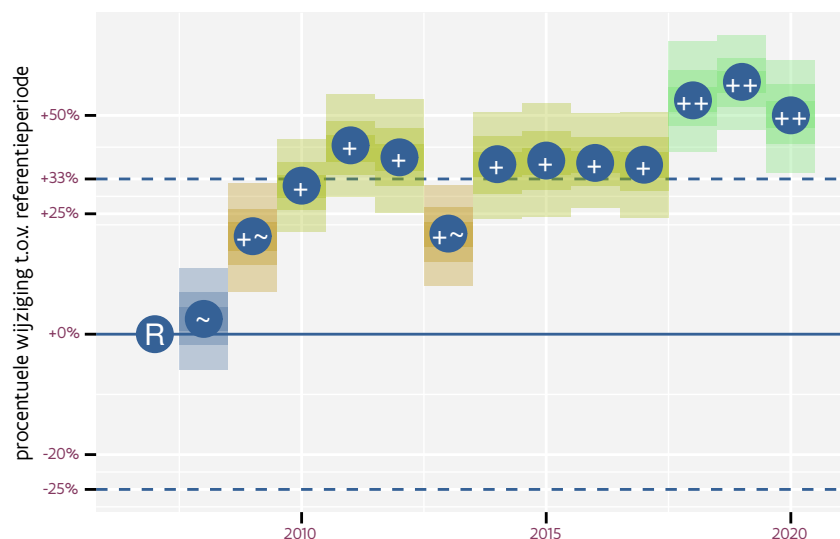
Op basis van jaarlijkse gegevens zien we gemiddeld een sterke toename met +2.95% (+2.47%; +3.43%) per jaar of +46% (+37%; +55%) over de volledige looptijd van het meetnet. Deze trend is niet-lineair.



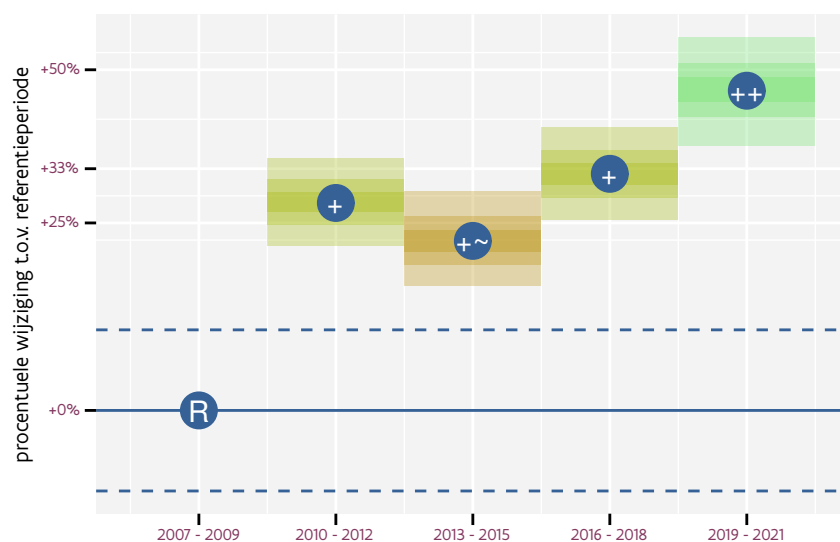
Figuur 107.1: Evolutie van het gemodeleerde gemiddeld aantal waargenomen dieren op een meetpunt voor Zwartkop tijdens de referentieperiode. Zie §4.1 voor een verklaring van de intervallen.



Figuur 107.2: Evolutie van het gemodeleerde gemiddeld aantal waargenomen dieren op een meetpunt voor Zwartkop tijdens de referentieperiode. Zie §4.1 voor een verklaring van de intervallen.



Figuur 107.3: Wijzigingen tussen jaren voor Zwartkop. Zie §4.1 voor een verklaring van de intervallen en §4.2 voor uitleg over de symbolen en referentielijnen.



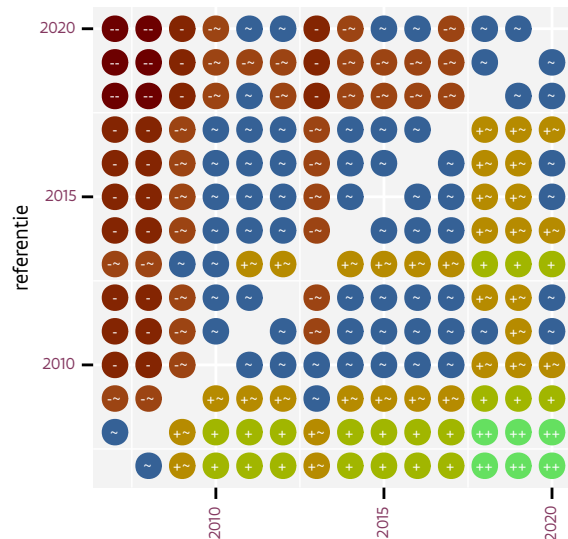
Figuur 107.4: Wijzigingen per driejarige cyclus voor Zwartkop. Zie §4.1 voor een verklaring van de intervallen en §4.2 voor uitleg over de symbolen en referentielijnen.

Tabel 107.1: Stratungewicht, raming aan het aantal hokken waarin de soort aanwezig is, aantal relevant hokken voor de analyse, aantal onderzochte hokken in het stratum, totaal aantal hokken van het stratum in Vlaanderen en aantal bezoeken aan een meetpunt voor Zwartkop (zie §3.5).

stratum	gewicht	aanwezig	relevant	onderzocht	totaal	bezoeken
Landbouw	81.3%	3940.7	266	426	6311	16908
Urbaan	5.7%	267.8	56	87	416	3469
Bos	4.8%	230.0	137	190	319	8682
Heide en duin	3.2%	153.1	70	91	199	4395
Suburbaan	2.9%	138.9	47	68	201	2881
Moeras en water	2.1%	97.6	57	80	137	3517



Figuur 107.5: Paarsgewijze vergelijking tussen driejarige cycli voor Zwartkop. Uitleg van de symbolen in tabel 4.1.



Figuur 107.6: Paarsgewijze vergelijking tussen jaren voor Zwartkop. Uitleg van de symbolen in tabel 4.1.

Tabel 107.2: Data-hashes van de analyses in het kader van traceerbaarheid (zie §5.3).

frequentie	model	analyse	status
jaarlijks	lineair	28274eaf08b76c16ca6a 2cffe91c9b2e7812c396	9682a84f06b595a37257 74f846f405331c3431fd
jaarlijks	niet-lineair	3ff044b2d80aae8b536e f2a771f1b68f2e555d0b	f662a1536f744abafbe5 879b8ac43cbab87b6e0c
driejaarlijks	lineair	1fb314354e2c4a605111 4be7afb97c88977cf8c8	ce714e7dc2201b965d53 952dfa7e33990fb7a05e
driejaarlijks	niet-lineair	dcf4eecd04cf1e834381 0a7115dc693af2a07e08	79b1be841fa306be3263 2c1876a19941898348d4

## Referenties

- Britton E., Fisher P. & Whitley J. (1998). The Inflation Report projections: Understanding the fan chart. Bank of England Quarterly Bulletin 30–37.
- Gelman A., Hwang J. & Vehtari A. (2014). Understanding predictive information criteria for Bayesian models. *Statistics and Computing* 24 (6): 997–1016. <https://doi.org/10.1007/s11222-013-9416-2>.
- Onkelinx T. (2019a). *Abvanalysis*: Analysis of the common breeding bird survey. <https://github.com/inbo/abvanalysis>.
- Onkelinx T. (2019b). *n2kanalysis*: Generic functions to analyse data from the natura 2000 monitoring.
- Onkelinx T. (2021). *git2rdata*: Store and retrieve data.frames in a git repository. <https://CRAN.R-project.org/package=git2rdata>.
- R Core Team (2021). R: A language and environment for statistical computing. R Foundation for Statistical Computing, Vienna, Austria. <https://www.R-project.org/>.
- Rue H., Martino S., Lindgren F., Simpson D. & Riebler A. (2009). INLA: Functions which allow to perform full Bayesian analysis of latent Gaussian models using Integrated Nested Laplace Approximation.
- Simpson D.P., HRue, Martins T.G., Riebler A. & Sørbye S.H. (2017). Penalising model component complexity: A principled, practical approach to constructing priors. *Statistical Science* 32 (1): 1–28. <https://doi.org/10.1214/16-STS576>.
- Vermeersch G., Anselin A., Herremans M. & Brosens D. (2018a). *ABV - Common breeding birds in Flanders, Belgium*. Version 1.7. Research Institute for Nature and Forest (INBO).
- Vermeersch G., Ledegen H. & Feys S. (2018b). *Methodehandleiding bij het project 'Algemene Broedvogel-monitoring Vlaanderen (ABV)'*. No. 2018 93. Instituut voor Natuur- en Bosonderzoek, Brussels, Belgium. <https://doi.org/10.21436/inbor.15674942>.
- Vriens L., Bosch H., De Knijf G., De Saeger S., Guelinckx R., Oosterlynck P., Van Hove M. & Paelinckx D. (2011). *De biologische waarderingskaart: Biotopen en hun verspreiding in vlaanderen en het brussels hoofdstedelijk gewest*. Mededelingen van het instituut voor natuur- en bosonderzoek, No. INBO.M.2011.1. Instituut voor Natuur- en Bosonderzoek, België.